T.C. Anderson

LABRADOR

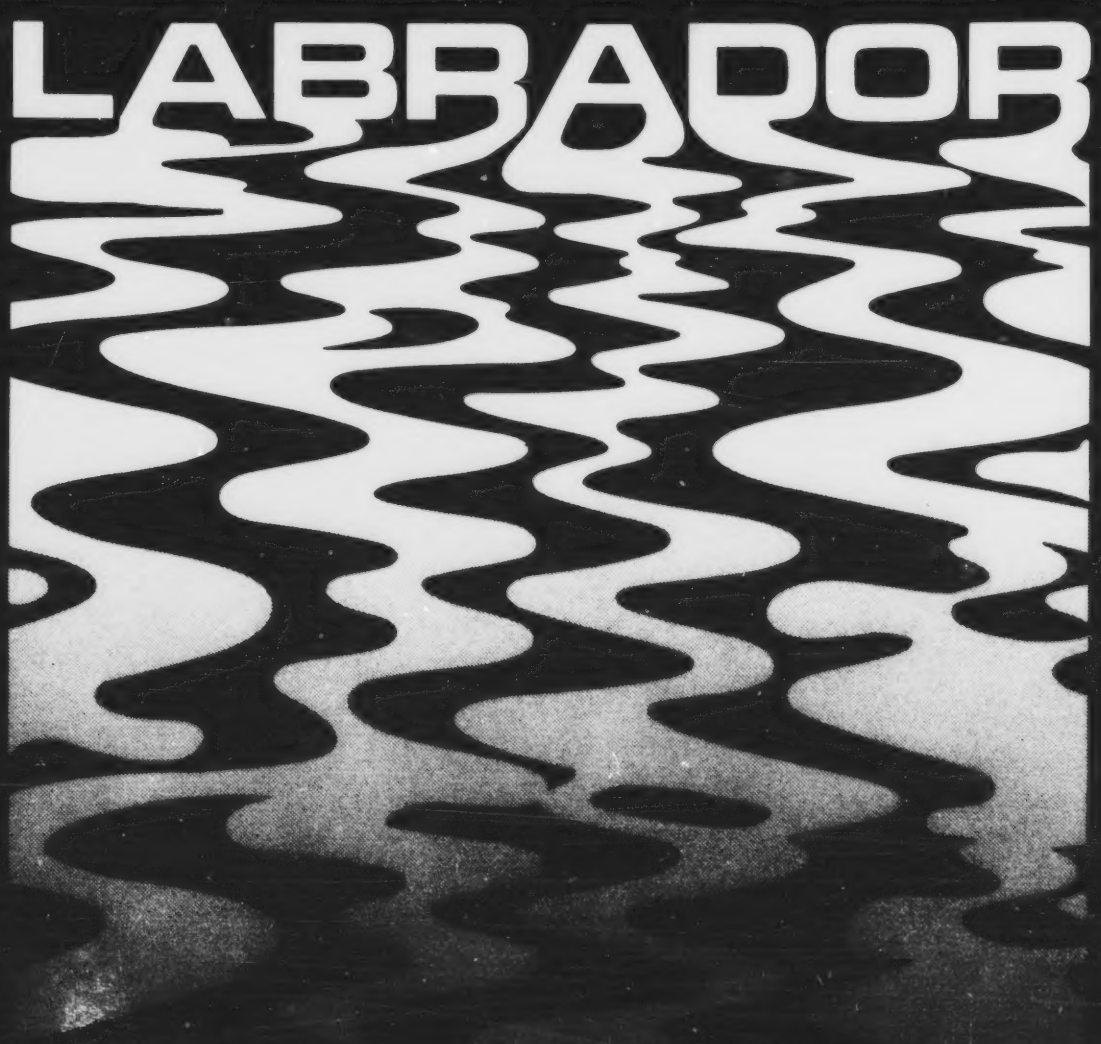

Pêches et Océans
Fisheries and Oceans

Canada

Publication spéciale canadienne des sciences halieutiques et aquatiques 81

(Traduction de l'anglais par Suzanne Chartrand, Maryse Chynchuck et Serge Gagné de la publication spéciale de T.C. Anderson intitulée *The Rivers of Labrador*, publiée en 1985.)

Les cours d'eau du Labrador

T.C. Anderson

Ministère des Pêches et des Océans
Direction de la recherche sur les pêches
Région de Terre-Neuve
St.John's (Terre-Neuve) A1C 5X1

MINISTÈRE DES PÊCHES ET DES OCÉANS
Ottawa 1988

© Ministre des Approvisionnements et Services Canada 1988

En vente dans les librairies autorisées, les autres librairies,
ou encore, par commande payable à l'avance, au
Centre d'édition du gouvernement du Canada,
Approvisionnements et Services Canada, Ottawa (Ontario) K1A 0S9.

Les chèques ou mandats-poste, payables en monnaie canadienne,
doivent être faits à l'ordre du Receveur général du Canada.

Un exemplaire de cette publication a été deposé,
pour référence, dans les bibliothèques partout au Canada.

Canada: 24,95 $ N° de cat. Fs 41-31/81F
Autres pays: 29,95 $ ISBN 0-660-92185-5
ISSN 0706-649X

Prix sujet à changement sans avis préalable

Tous droits réservés. On ne peut reproduire aucune partie du présent ouvrage, sous quelque forme ou par quelque procédé que ce soit (électronique, mécanique, photographique), ni en faire un enregistrement sur support magnétique ou autre pour fins de dépistage ou de diffusion, sans autorisation écrite préalable des Services d'édition, Centre d'édition du gouvernement du Canada, Ottawa, Canada K1A 0S9.

Directrice et rédactrice : Johanna M. Reinhart, M.Sc.
Services de rédaction et d'édition : Micheline Gilbert
Composition : Typoform, Québec (Québec)
Imprimeur : Kromar Printing Ltd.
Conception graphique : Peggy Steele Art & Design Ltd., Ottawa (Ontario)

On devra référer comme suit à cette publication:

ANDERSON, T.C. 1988. Les cours d'eau du Labrador. Publ. spéc. can. sci. halieut. aquat. 81: 393 p.

TABLE DES MATIÈRES

Résumé / Abstract iv

Liste des cours d'eau v

Explication des figures viii

Introduction 1

Région I — Détroit de Belle Isle 9

Région II — Région sud 25

Région III — Inlet Hamilton 149

Région IV — Makkovik–Davis Inlet 223

Région V — Nain–Okak 299

Région VI — Saglek–Cap Chidley 349

Remerciements 388

Glossaire 389

Références 391

RÉSUMÉ

ANDERSON, T.C. 1988. Les cours d'eau du Labrador. Publ. spéc. can. sci. halieut. aquat. 81 : 393 p.

On présente les données physiques et biologiques pour 120 bassins fluviaux situés au Labrador. À partir de paramètres bio-physiques, le Labrador a été divisé en six régions. Après une description générale de chaque région, vient un résumé détaillé de l'information provenant de chaque cours d'eau dans cette région, en allant du sud vers le nord. Les réalisations actuelles et passées à l'intérieur des bassins versants sont passées en revue. Les données physiques présentées comprennent les caractéristiques de chaque bassin de drainage de même que l'emplacement et la description des obstacles au passage des poissons. Les résultats des analyses de la qualité de l'eau sont mentionnés lorsqu'ils sont connus. On donne pour 82 cours d'eau les dimensions et l'emplacement des aires de frai et d'élevage des salmonidés. On résume ensuite la distribution au Labrador de 24 espèces de poissons d'eau douce anadromes et catadromes. L'accent est mis sur la production et l'exploitation en eau douce du saumon de l'Atlantique. Des estimations de production, basées sur les aires de croissance que peuvent utiliser les tacons de saumon, sont données pour 60 cours d'eau. Les statistiques sur la pêche à la ligne du saumon de l'Atlantique dans 19 cours d'eau sont mentionnées et les caractéristiques biologiques des prises sont incluses lorsqu'elles sont disponibles. On résume les données recueillies à des barrières de comptage dans cinq cours d'eau. Les données sur les prises et l'effort de pêche provenant de la pêche commerciale de l'omble arctique au nord du Labrador sont présentées sous forme de tableaux. On a inclus également les données existantes provenant de l'exploitation en eau douce d'espèces autres que le saumon de l'Atlantique.

ABSTRACT

ANDERSON, T.C. 1988. Les cours d'eau du Labrador. Publ. spéc. can. sci. halieut. aquat. 81 : 393 p.

Physical and biological data are presented for 120 river systems in Labrador. Based on bio-physical parameters, Labrador has been divided into six regions. A general description of each region is followed by a detailed summary of information from each individual river in that region, proceeding south to north. Past and present developments within the watersheds are documented. Physical data presented include characteristics of each drainage system, and locations and descriptions of obstructions to fish passage. Results of water quality analyses, where available, are also included. The size and location of salmonid rearing and spawning habitat are presented for 82 rivers. The distribution within Labrador of 24 freshwater, anadromous and catadromous fishes is summarized. Emphasis is placed on the production and freshwater exploitation of Atlantic salmon. Production estimates, based on available rearing habitat for salmon parr, are presented for 60 rivers. Data on Atlantic salmon angling are reported from 19 rivers and the biological characteristics of the catch, where available, are included. Data collected at counting fences on five rivers are summarized. Catch/effort data from the commercial fishery for Arctic char in northern Labrador are tabulated. Data available from the freshwater exploitation of species other than Atlantic salmon are also included.

LISTE DES COURS D'EAU

Nom du cours d'eau	Numéro du cours d'eau	Numéro de la figure	Superficie du bassin versant (km^2)	Page
Ruisseau Forteau	1	3	389	13
Ruisseau de l'Anse-au-Loup	2	4	130	17
Rivière Pinware	3	5	2 486	20
Ruisseau Temple	4	7	181	29
Rivière St. Peters	5	8	140	31
Rivière St. Charles	6	9	311	33
Rivière Mary's Harbour	7	10	414	38
Rivière St. Lewis	8	11	2 590	41
Ruisseau Notleys	9	12	46	43
Ruisseau Bobbys	10	13	245	45
Rivière Alexis	11	14	3 160	47
Ruisseau Shinneys	12	15	313	50
Rivière Gilbert	13	16	642	53
Rivière 14 (sans nom)	14	17	98	56
Rivière White Bear Arm	15	18	233	58
Rivière 16 (sans nom)	16	19	45	60
Rivière Hawke	17	20	1 891	62
Ruisseau Caplin Bay	18	21	150	65
Ruisseau Partridge Bay	19	22	70	67
Rivière 20 (sans nom)	20	23	119	69
Ruisseau Shoal Bay	21	24	18	71
Rivière 22 (sans nom)	22	25	13	73
Rivière Black Bear	23	26	645	75
Ruisseau Open Bay	24	27	39	77
Rivière Porcupine Harbour	25	28	155	79
Rivière 26 (sans nom)	26	29	70	81
Ruisseau Reeds Pond	27	30	233	83
Rivière Sandhill	28	31	1 142	85
Rivière Dykes	29	41	337	131
Rivière Paradise	30	42	5 276	133
Rivière Eagle	31	43	10 824	136
Rivière White Bear	32	44	1 075	144
Rivière North	33	45	2 234	147
Ruisseau Flatwater	34	47	299	154
Rivière English	35	48	640	156
Rivière Kenemich	36	49	699	158
Rivière Kenamu	37	50	4 403	160
Rivière Traverspine	38	51	728	163
Rivière Churchill	39	52	93 415	165
Rivière Goose	40	62	3 432	178
Rivière Cape Caribou	41	63	546	182
Rivière Beaver	42	64	1 878	184
Rivière Susan	43	65	363	187
Rivière Naskaupi	44	66	12 691	189
Rivière Crooked	45	67	2 391	197
Rivière Sebaskachu	46	68	580	201
Rivière Mulligan	47	69	1 062	203
Rivière Doubler Mer	48	70	1 425	205
Rivière 49 (sans nom)	49	71	855	209

LISTE DES COURS D'EAU (*suite*)

Nom du cours d'eau	Numéro du cours d'eau	Numéro de la figure	Superficie du bassin versant (km^2)	Page
Ruisseau Tom Luscombe	50	72	1 010	211
Ruisseau West	51	73	149	213
Ruisseau Middle	52	74	323	216
Rivière 53 (sans nom)	53	75	135	220
Rivière 54 (sans nom)	54	76	78	220
Rivière 55 (sans nom)	55	78	163	228
Rivière Michael	56	79	285	229
Ruisseau Jeanette Bay	57	80	67	232
Rivière 58 (sans nom)	58	81	13	234
Rivière Tukialik	59	82	47	236
Rivière Pamiulik	60	83	493	238
Ruisseau Stag Bay	61	84	155	240
Ruisseau Rattling	62	85	285	242
Rivière Big	63	86	2 849	244
Ruisseau Adlavik	64	87	233	250
Rivière 65 (sans nom)	65	88	39	253
Rivière 66 (sans nom)	66	89	29	255
Ruisseau Makkovik	67	90	111	257
Rivière Makkovik	68	91	259	259
Ruisseau South	69	92	399	262
Rivière Kaipokok	70	93	2 499	264
Rivière English	71	94	326	267
Rivière 72 (sans nom)	72	95	399	269
Rivière Kanairiktok	73	96	12 274	271
Rivière Little Bay	74	97	244	276
Rivière 75 (sans nom)	75	98	475	277
Rivière Adlatok (Ugjoktok)	76	99	11 106	278
Rivière Hunt	77	100	1 344	284
Rivière 78 (sans nom)	78	101	338	289
Rivière Flowers	79	102	1 443	290
Rivière 80 (sans nom)	80	103	200	295
Rivière 81 (sans nom)	81	104	310	295
Ruisseau Sango	82	105	806	297
Rivière Notakwanon	83	107	4 999	304
Rivière Kogaluk	84	108	5 434	307
Ruisseau Konrad	85	109	569	310
Ruisseau Toma	86	110	46	312
Ruisseau Kogluktokoluk	87	111	1 095	313
Ruisseau Reid	88	112	171	315
Ruisseau Anaktalik	89	113	1 813	316
Ruisseau Tasiyuyaksuk	90	114	104	319
Rivière Fraser	91	115	1 606	320
Ruisseau Kamanatsuk	92	116	829	326
Rivière Kingurutik	93	117	4 157	329
Ruisseau Webb	94	118	378	332
Rivière Avakutak	95	119	278	334
Ruisseau Avakutak	96	120	166	336
Ruisseau Puttuaalu	97	121	1 471	338
Ruisseau Nakavik	98	122	113	340

LISTE DES COURS D'EAU (*fin*)

Nom du cours d'eau	Numéro du cours d'eau	Numéro de la figure	Superficie du bassin versant (km^2)	Page
Ruisseau Ikinet	99	123	872	341
Rivière North	100	124	1 655	342
Rivière Sipukat	101	125	75	345
Ruisseau Siugak	102	126	1 072	346
Rivière 103 (sans nom)	103	128	790	353
Rivière 104 (sans nom)	104	129	1 461	355
Rivière 105 (sans nom)	105	130	1 347	357
Rivière Ikarut	106	131	474	359
Ruisseau Kiyuktok	107	132	86	361
Rivière Pangertok Inlet	108	133	278	362
Rivière 109 (sans nom)	109	134	212	363
Rivière 110 (sans nom)	110	135	168	365
Ruisseau Southwest Arm	111	136	707	367
Ruisseau North Arm	112	137	104	369
Ruisseau Nakvak	113	138	844	371
Rivière Stecker	114	139	172	374
Rivière Palmer	115	140	311	375
Rivière Nachvak	116	141	680	377
Ruisseau Kogarsok	117	142	86	380
Rivière Komaktorvik	118	143	699	382
Rivière Kangalaksiorvik	119	144	654	384
Rivière Eclipse	120	145	1 098	386

EXPLICATION DES FIGURES

Des cartes en couleurs illustrent les secteurs des différents cours d'eau accessibles au saumon de l'Atlantique migrateur. Les zones en bleu sont habituellement accessibles au poisson migrateur contrairement aux zones en rouge qui sont bloquées par des obstacles comme des rapides, des chutes, des barrages ou des lits fluviaux asséchés ; les cours d'eau dont le degré d'accessibilité n'est pas connu ne sont pas colorés. Les nombres encerclés sur les cartes indiquent la présence d'obstacles franchissables qui retardent la migration ; les nombres entourés d'un carré représentent des obstacles infranchissables par les migrateurs. Les nombres encerclés ou entourés d'un carré sont la clé du tableau des obstacles d'un cours d'eau donné, tableau qui donne généralement une description détaillée de chacun d'eux (hauteur, largeur, pente). Les diagrammes circulaires accompagnant les cartes indiquent les rivières qui ont été prospectées par le ministère des Pêches et des Océans (MPO) et le pourcentage d'aires d'élevage, de frayères et de secteurs non productifs accessibles et inaccessibles. Les superficies des aires d'élevage et des frayères (en m^2) sont présentées sous forme de tableaux pour les différents tronçons de cours d'eau. Les lacs et les étangs désignés sur les cartes ou exploités d'une façon quelconque et cités dans le texte sont singularisés par la lettre « L » suivie d'un chiffre. Il en va de même pour certains tributaires qui sont désignés par la lettre « T » accompagnée d'un chiffre. D'autres emplacements mentionnés dans le texte (postes d'électro-pêche, camps de pêche à la ligne) sont indiqués sur les cartes et expliqués dans une légende. Au début de chaque chapitre, on trouvera une figure qui donne les limites de la région traitée et l'emplacement des principaux centres et des activités majeures. Cette figure est en fait une carte qui donne l'emplacement des différents cours d'eau. Dans le texte, chaque cours d'eau a été numéroté et le numéro a été reporté sur la carte régionale pour montrer l'emplacement de son embouchure.

INTRODUCTION

Cette publication est le répertoire de tous les principaux cours d'eau du Labrador, l'une des dernières grandes régions sauvages de l'Amérique du Nord. En raison de son isolement géographique, de la rigueur de son climat et de sa faible population, les recherches sur ses ressources naturelles et leurs relevés se sont déroulés plus lentement que ceux effectués à des latitudes méridionales plus clémentes. Jusqu'à tout récemment, les rares études fluviales ne portaient que sur des descriptions des populations de poissons, avec peu ou pas de référence aux caractéristiques physiques des bassins versants. Des explorateurs comme Wallace (1905) et Scott (1933) ont décrit certains cours d'eau dans leurs récits de voyages dans l'intérieur du Labrador. Blair (1943) a publié une brève description des principaux cours d'eau du Labrador et Sollows *et al.* (1953, 1954) ont publié des relevés préliminaires des cours d'eau et des pêcheries commerciales au saumon de cette région. Peet (1968, 1971) a effectué des relevés des caractéristiques physiques et des populations de poissons de plusieurs cours d'eau du sud du Labrador en 1966 et en 1967. Des relevés détaillés des cours d'eau du sud (Murphy 1971, 1972a, 1973) et du nord (Murphy et Porter 1974a, b) de cette région présentent des données sur plus d'une centaine de cours d'eau, dont la composition de leur lit, le degré d'obstruction de la migration du poisson et la largeur de leur chenal. Collins *et al.* (1972a, b, c, d) ont fait des relevés dans quatre cours d'eau et produit des rapports. L'auteur de la présente publication a effectué des relevés dans 11 cours d'eau du sud du Labrador en 1975. Jamieson (1979) a publié un atlas sur la qualité des eaux douces superficielles du Labrador à partir de 357 échantillons qu'il y a prélevés (1972–1978), y compris les résultats des analyses des échantillons des différents bassins versants. Ces résultats sont souvent les seuls renseignements existants sur un bassin versant donné dans une série de rapports officiels du MPO. Il peut arriver que les résultats d'analyse d'un échantillon soient peu significatifs à eux seuls, mais qu'ils indiquent une tendance générale de la qualité de l'eau lorsqu'ils sont associés à ceux d'autres cours d'eau de la région.

Cet ouvrage présente un résumé des données pertinentes des sources susmentionnées de même que d'autres renseignements inédits de dossiers du MPO sur les caractéristiques physiques des cours d'eau et leurs populations de poissons (notamment sur le saumon de l'Atlantique). Il touche surtout les cours d'eau dont le bassin versant a une superficie de plus de 50 km^2 même s'il présente les renseignements recueillis dans d'autres cours d'eau.

Aux fins du présent répertoire, le Labrador a été divisé en six régions (fig. 1) selon la géologie, la végétation et la répartition des populations de poissons. Une description générale de chaque région est d'abord présentée, suivie de renseignements particuiers sur chacun des bassins versants.

L'auteur a terminé les derniers relevés des cours d'eau du Labrador en 1975, complétant ainsi le programme de relevés fluviaux du Labrador entrepris en 1966 par le MPO. L'achèvement de ce programme constitue un jalon important de l'inventaire des habitats dulçaquicoles du Canada. Même si la majeure partie des données recueillies ont déjà été pubiées, leur diffusion est limitée et le nombre de recueils insuffisant. Nous avons donc jugé légitime, compte tenu de la valeur des données et de la grande quantité de temps, d'efforts et d'argent que leur rassemblement a exigée, de réunir tous les résultats en une seule publication. Nous avons ajouté en cours d'autres renseignements pertinents sur les cours d'eau. Nous espérons que le tout formera un document utile à un grand nombre d'intéressés de divers secteurs.

Aperçu historique

Le Labrador occupe la partie nord-est du continent nord-américain et représente 3 % de l'ensemble des terres du Canada avec une superficie de 293 000 km^2. Même s'il n'y a que 1 125 km entre Blanc-Sablon, à la frontière québécoise, et l'extrémité nord du cap Chidley, le rivage se compose de milliers d'inlets et d'îles et s'étend sur plus de 8 000 km (Parsons 1970).

Les Algonquins et les Inuit, premiers habitants du Labrador, furent seuls dans la région pendant des centaines d'années. Selon une théorie, les Normands ou les Vikings, après avoir dévié de leur cours lors d'un voyage entre l'Islande et le Groenland en 986, furent les premiers étrangers à visiter la côte. Ils organisèrent d'autres expéditions mais ne réussirent pas à coloniser la région (Parsons 1970). Jean Cabot visita la côte du Labrador en 1498, suivi du navigateur portugais Gaspar Corte-Real en 1501. En 1534, Jacques Cartier navigua dans ce que l'on appelle maintenant le détroit de Belle Isle. Après la découverte de stocks importants de morues, plusieurs pays d'Europe y envoyèrent des flottes de pêche pendant les années 1500 et 1600 et de petits établissements furent créés le long des côtes du détroit de Belle Isle et du sud du Labrador. Ces pêcheurs et explorateurs furent les premiers colons blancs du Labrador.

Trois événements importants contribuèrent à la survie des populations côtières: la création de la mission des frères Moraves en 1772, l'implantation de la Compagnie de la Baie d'Hudson en 1834 et l'arrivée de l'International Grenfell Association en 1912. Tous ces organismes sont toujours présents au Labrador. De nos jours, la côte du Labrador est parsemée de petites collectivités de pêcheurs isolées, des centres plus importants étant situés près de l'aéroport de Goose Bay, du barrage hydro-

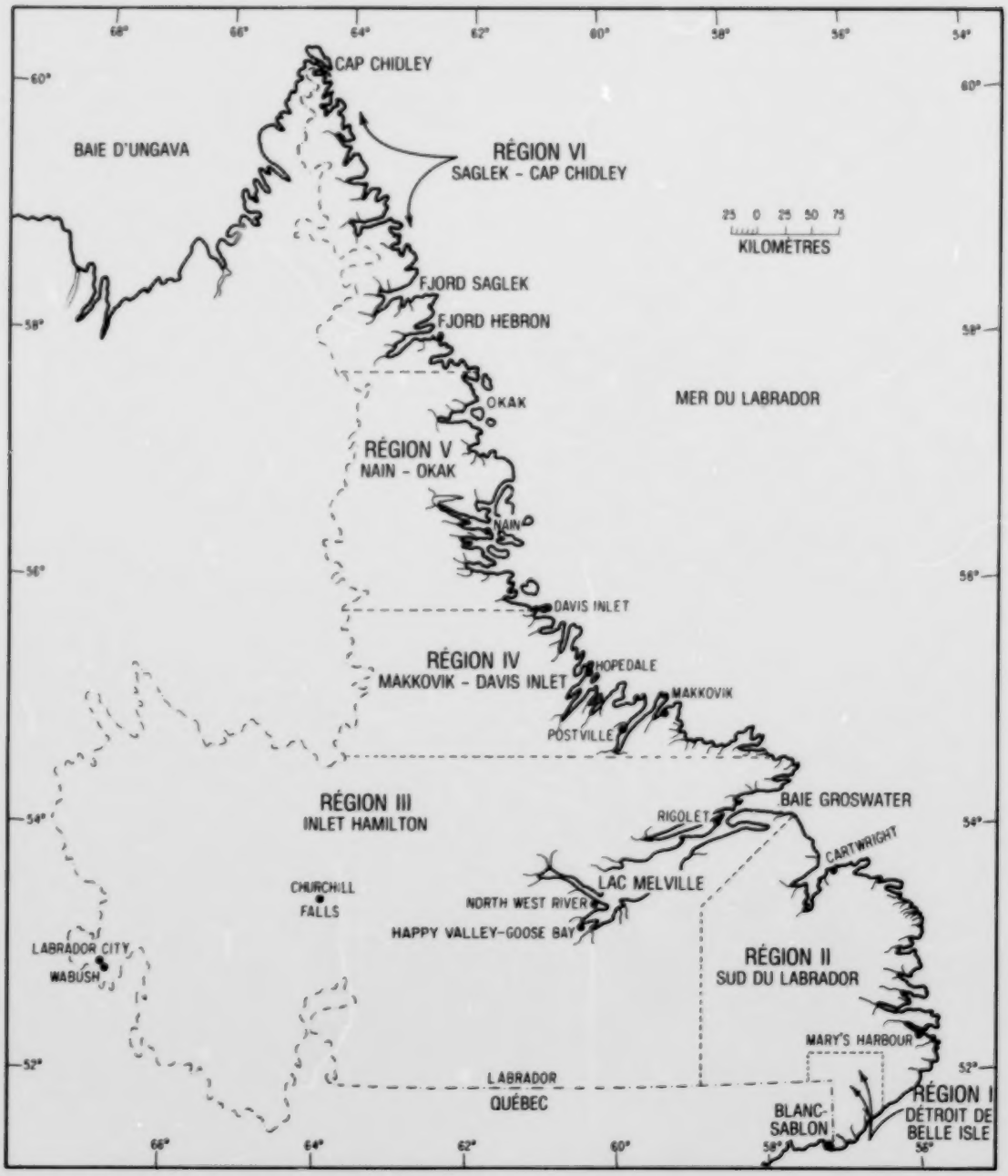

FIG. 1. Carte du Labrador montrant les régions I à VI décrites dans le texte.

électrique des chutes Churchill et des industries minières de Labrador City et de Wabush.

Les Français dirigèrent le Labrador jusqu'à la signature du Traité de Paris de 1763 qui transféra cette compétence au gouverneur de Terre-Neuve. Toutefois, le Labrador tomba sous la tutelle du Québec en 1774 et le resta jusqu'à ce que les lois du Parlement britannique adoptées en 1809 et 1825 le restituèrent à Terre-Neuve. En 1927, le Comité judiciaire du Conseil privé de Sa Majesté proclama à nouveau la propriété du Labrador par Terre-Neuve en déclarant :

> « La frontière entre le Canada et Terre-Neuve dans la péninsule du Labrador est une ligne tirée en direction franc nord à partir de la limite est de la baie ou du havre de Blanc-Sablon jusqu'au cinquante-deuxième parallèle, puis jusqu'à la rivière Romaine et ensuite vers le nord le long de la rive gauche ou est de cette rivière et de ses eaux d'amont jusqu'à leur source et, de là, franc nord jusqu'à la crête du bassin versant des cours d'eau se jetant dans l'océan Atlantique jusqu'au cap Chidley. »*

Population

La majeure partie des 31 300 habitants du Labrador, soit près de la moitié de la population, résident dans la région de Labrador City–Wabush. D'autres collectivités relativement grandes sont Happy Valley–Goose Bay (7 103 habitants) et Churchill Falls (936 habitants). La plus grande collectivité côtière est Nain (938 habitants) (Statistique Canada 1981). De nos jours, la population autochtone du Labrador est inférieure à 2 personnes et se compose d'un petit groupe d'Inuit vivant sur la côte (moins de 1 000) et de deux groupes de la tribu des Algonquins, les Montagnais à Sheshatshit et les Naskapis à Davis Inlet.

Géologie

Le Labrador constitue la limite est du Bouclier canadien, une vaste région reposant sur des roches du Précambrien (Sutton 1972). Des dépôts du Cambrien se trouvent dans la région du détroit de Belle Isle et du granite et des roches associées recouverts de grandes quantités de débris glaciaires occupent le reste du sud du Labrador. Les monts Mealy, situés du côté sud du lac Melville, sont formés d'anorthosites (roches ignées) tandis que le reste de la partie méridionale de la région du lac Melville se compose de grès récents. Le géosynclinal du Labrador, bande de roches sédimentaires riches en dépôts minéraux s'étendant de l'ouest du Labrador au Québec, est situé à l'ouest du lac Melville. Le minerai de fer extrait de ce géosynclinal dans l'ouest du Labrador constitue 85 % de la production minière de la province de Terre-Neuve. Une autre bande de roches sédimentaires, appelée Ceinture minérale centrale (Central Ore Belt), s'étend à l'intérieur des terres à partir de la collectivité de Makkovik. De l'uranium y a été découvert en 1958. Des dépôts importants d'anorthosite se trouvent à l'intérieur des terres près de Harp Lake et plus au nord près de Nain où ils forment le début des chaînes de montagnes du nord du Labrador. Celles-ci se composent de sédiments et de roches volcaniques du Précambrien, certaines des plus anciennes roches de la terre (2,5–3,0 milliards d'années) étant situées près du fjord Saglek. Les monts Torngat se trouvent immédiatement au sud du cap Chidley et, avec une élévation allant jusqu'à 1 450 m, ils sont le plus haut chaînon à l'est des montagnes Rocheuses. La Carte géologique du Labrador [1] et la Classification écologique biophysique des terres du Labrador (1977)[2] présentent des exposés très détaillés sur la géologie et la topographie du Labrador.

Végétation

La forêt se retrouve surtout dans le sud et dans la partie intérieure centrale du Labrador. Les résineux, l'épinette noire (*Picea mariana*) et le sapin baumier (*Abies balsamea*) sont les espèces dominantes, la région forestière comptant quelques épinettes blanches (*Picea glauca*) dispersées çà et là. Les régions où le couvert forestier a un bon taux de croissance sont occupées par des peuplements de feuillus, dont le bouleau à papier (*Betula papyrifera*) et le peuplier faux-tremble (*Populus tremuloides*) (Wilton 1975).

Le couvert forestier le plus dense du Labrador se retrouve le long du cours inférieur de la rivière Churchill et autour des berges occidentales du lac Melville et se compose d'importants peuplements de résineux matures. Des forêts de résineux à pâte à papier dominent autour du reste du lac Melville, dans les vallées fluviales de Kanairiktok et d'Adlatok et sur les collines onduleuses formées par les dépôts glaciaires dans le sud du Labrador. Un couvert forestier marginal composé de peuplements éparpillés d'épinettes noires alternant avec des zones couvertes de lichens occupe presque tout le sud du Labrador près des eaux d'amont de la rivière Eagle, dans les régions situées le long du cours médian de la rivière Churchill et à l'intérieur des terres entre le cap Harrison et l'inlet Davis. Une forêt submarginale composée d'arbres et d'arbustes rabougris et éparpillés se retrouve un peu partout dans l'ouest du Labrador et la toundra côtière borde l'ensemble du littoral. La toundra arctique fait son apparition dans les monts Mealy et couvre l'ensemble de l'intérieur des terres de Hopedale à Nain et d'Okak au cap Chidley.

* Traduction libre.

[1] Disponible auprès du ministère des Mines et de l'Énergie, province de Terre-Neuve.

[2] Disponible auprès de la Direction générale des terres (région de l'Atlantique), Service de la gestion de l'environnement, Environnement Canada.

Cours d'eau

Le Labrador compte de vastes étendues d'eau douce. Les cours d'eau ont toujours eu de l'importance: non seulement ils délimitaient une grande partie de la frontière Québec–Terre-Neuve, mais ils servaient également pour les transports. Les trappeurs les ont empruntés pour obtenir les précieuses fourrures des régions de l'intérieur et les premiers explorateurs, comme Low (1896) et Wallace (1905), s'en sont servis pour accéder à l'intérieur des terres.

Les cours d'eau de la région côtière méridionale du Labrador coulent en pente douce à travers une forêt productive. Les six plus grandes rivières de cette région, soit la Pinware, la St. Lewis, l'Alexis, la Paradise, l'Eagle et la North ont toutes un bassin versant de plus de 2 000 km^2. Les deux plus grands cours d'eau du Labrador, la rivière Churchill et la rivière Naskaupi, se jettent dans le lac Melville, situé au centre de ce territoire. Les eaux d'amont de ces deux cours d'eau ont été dérivées vers le réservoir Smallwood pour la production hydro-électrique. D'autres cours d'eau importants, affluents du lac Melville, sont la rivière Crooked, la rivière Beaver et la rivière Goose qui drainent l'immense plateau dénudé de l'ouest du Labrador. Les rivières Kenamu, Kenemich et English drainent les monts Mealy qui s'étendent au sud du lac Melville. Les rivières Kanairiktok, Adlatok et Kogaluk, situées au nord du même lac, ont des bassins versants de plus de 5 000 km^2. Cette configuration, associée à de brusques baisses de l'élévation des terres près de l'embouchure de ces cours d'eau, explique les vitesses élevées du courant et l'abondance des chutes et des rapides. Les eaux d'amont de la rivière Kanairiktok ont également été dérivées vers le réservoir Smallwood. Les cours d'eau situés au nord de Nain coulent dans des vallées ou des gorges abruptes, dont certaines sont bordées de falaises verticales de plus de 300 m de hauteur. La plupart de ces rivières sont caractéristiques de l'étage alpin où les cours d'eau sont petits et rapides, et dont le débit fluctue rapidement.

La majeure partie des cours d'eau du Labrador sont toujours vierges, principalement à cause de leur éloignement et de la faible densité de la population. Comme nous l'avons noté précédemment, certaines parties des bassins versants ont été dérivées pour la production d'hydro-électricité; des études du potentiel hydro-électrique de 19 autres sites ont été effectuées (Millan 1974). Nul doute que les eaux douces du Labrador seront utilisées de plus en plus.

Populations de poissons

Vingt-quatre espèces de poissons dulçaquicoles, anadromes et catadromes ont été dénombrées au Labrador. Stearns (1883) a relevé la présence de l'épinoche à trois épines, de l'épinoche à neuf épines, de l'éperlan arc-en-ciel, de l'omble de fontaine et du saumon de l'Atlantique. Kendall (1909) a énuméré 10 espèces recueillies lors d'une expédition en 1891 et a joint à son rapport une bibliographie chronologique et une liste des espèces de poissons capturées sur la côte est de l'Amérique du Nord. Weed (1934) a étudié les truites du Labrador, établissant une différence entre le touladi, l'omble de fontaine et l'omble arctique à partir de leur migration vers la mer, de leur distribution dans les cours d'eau et des caractéristiques de leur méristème. Backus (1957) a décrit 22 espèces différentes en se fondant principalement sur les spécimens capturés lors des expéditions du *Blue Dolphin* au Labrador en 1949, 1950 et 1951. Bruce *et al.* (1979) ont établi une documentation sur la répartition de 14 espèces pendant leur étude sur la teneur en mercure du poisson du Labrador en 1977–1978. Le tableau 1 présente une liste mise à jour de l'état et de la répartition des populations de poissons au Labrador; la majeure partie des renseignements sont tirés de Scott et Crossman (1974), mais certains ajouts et variations sont soulignés.

TABLEAU 1. Liste, état et répartition des espèces de poissons signalées dans les cours d'eau du Labrador (A: abondante; C: répandue; R: rare). Les variations par rapport aux informations de Scott et Crossman (1974) sont données en référence à la fin du tableau.

	Région					
Espèces	I Détroit de Belle Isle	II Sud du Labrador	III Hamilton Inlet	IV Makkovik–Davis Inlet	V Nain–Okak	VI Saglek–Cape Chidley
Petromyzon marinus (lamproie marine)		R[a]				
Acipenser oxyrhynchus (esturgeon noir)			R			
Alosa pseudoharengus (gaspareau)	R[b]	R				
Alosa sapidissima (alose savoureuse)		R[c]				

TABLEAU 1. Liste, état et répartition des espèces de poissons signalées dans les cours d'eau du Labrador (A: abondante; C: répandue; R: rare). Les variations par rapport aux informations de Scott et Crossman (1974) sont données en référence à la fin du tableau. (*suite*)

	Région					
Espèces	I Détroit de Belle Isle	II Sud du Labrador	III Hamilton Inlet	IV Makkovik–Davis Inlet	V Nain–Okak	VI Saglek–Cape Chidley
Salmo salar (saumon de l'Atlantique)	C	C	C	C	C	R
Salmo salar (ouananiche)	C	C	C	C		
Salvelinus alpinus (omble chevalier)	R	A	A	A	A	A
Salvelinus fontinalis (omble de fontaine)	A	A	A	A	A	R[d]
Salvelinus namaycush (touladi)			A	A	A	
Coregonis clupeaformis (grand corégone)			A	A		
Prospium cylindraceum (ménomini rond)			R		R[e]	
Osmerus mordax (éperlan arc-en-ciel)	C	C	C	R[f]		
Esox lucius (grand brochet)	C	C	C	C		
Couesius plumbeus (méné de lac)			R			
Rhinichthys cataractae (naseux de rapides)			R			
Semotilus margarita (mulet perlé)			R			
Catostomus catostomus (meunier rouge)		A	A	A		
Catostomus commersoni (meunier noir)		A	A	A[c]		
Anguilla rostrata (anguille d'Amérique)	C	R	R			
Lota lota (lotte)			R	R		
Microgadus tomcod (poulamon atlantique)	R	R	R			
Gasterosteus aculeatus (épinoche à trois épines)	C	C	C	C	C	C
Pungitius pungitius (épinoche à neuf épines)	C	C	C	C	C	C
Cottus bairdi (chabot tacheté)			R			
Cottus cognatus (chabot visqueux)			R		C[g]	

[a]Murphy (1972b) [b]Backus (1957) [c]Hare et Murphy (1974) [d]Kendall (1910) [e]Bruce *et al.* (1979) [f]Labrador Inuit Association (1977) [g]J. B. Dempson, comm. pers.

Exploitation des populations de poissons

L'exploitation des stocks de poissons anadromes dulçaquicoles est une importante source de revenu et de nourriture pour les résidents du Labrador. Les habitants de collectivités côtières pêchent le saumon de l'Atlantique, l'omble arctique et l'omble de fontaine en mer, activité qui, dans certains cas, constitue leur principale source de revenu. Les camps de pêche à la ligne, entreprises commerciales exploitées par tout le Labrador, assurent des revenus et de l'emploi aux propriétaires, aux exploitants et aux guides. La pêche à la ligne et la pêche au filet, pratiquées grâce à un permis spécial, permet aux Labradoriens de capturer du poisson pour leur propre consommation.

Les titulaires de permis de pêche au saumon de l'Atlantique peuvent capturer du saumon en mouillant un filet dans une pêcherie marine côtière pendant la saison de pêche. En 1980, cette saison s'étendait du 15 mai au 31 décembre. Le début de la saison varie et dépend de l'état des glaces au printemps. En général, la majeure partie des prises ont lieu en juillet et août et les filets sont enlevés en septembre. Les engins sont limités aux filets maillants ou aux parcs en filet dont le maillage est d'au moins 127 mm. Moores et Dawe (1980) rapportent que les débarquements annuels moyens de cette pêche ont été de 580,5 t de 1969 à 1979 (tableau 2). Pratt *et al.* (1974) estiment que de 25 à 50 % des madeleineaux des cours d'eau du Labrador sont capturés par la pêche commerciale dans les rivières natales et que 82 à 98 % des grands saumons le sont par l'ensemble des pêcheurs commerciaux du Labrador, de Terre-Neuve et du Groenland. La pêche commerciale à l'omble arctique, qui se déroule principalement près des collectivités situées au nord de l'inlet Hamilton, a été permise du 1er juillet au 30 septembre en 1980. Au nord et au sud de Davis Inlet, le maillage minimum exigé par la loi pour les filets maillants était respectivement de 127 et 114 mm en 1979. De 1974 à 1979, les débarquements moyens d'ombles dans cette pêcherie ont été de 170,7 tonnes/année (tableau 3). Le MPO réglemente la pêche commerciale au saumon de l'Atlantique et à l'omble arctique et détermine les prises et l'effort de pêche grâce aux doubles des bordereaux d'achat fournis par les acheteurs de poissons. Ces bordereaux ne tiennent pas compte des prises des résidents du nord du Labrador qui détiennent des permis de pêche à l'omble à des fins de consommation domestique (en 1979, 37 permis de pêche de consommation ont été délivrés dans le nord du Labrador). De plus, les données sur la pêche à la « truite » du sud du Labrador ne sont pas réparties adéquatement en débarquements d'ombles arctiques et d'ombles de fontaine anadromes. En 1979, l'utilisation de filets maillants à maillage de 51 à 89 mm a été permise aux 268 titulaires de permis de pêche commerciale et aux 360 détenteurs de permis de pêche de consommation.

Le MPO a également la main mise sur l'exploitation des stocks de poissons dulçaquicoles au Labrador. Au total, 17 cours d'eau sont « désignés » pour la pêche au saumon à la ligne; en d'autres termes, les pêcheurs à la ligne doivent être titulaires d'un permis et ne peuvent y pêcher qu'avec une mouche artificielle. En 1980, la saison de pêche à la ligne s'étendait du 20 juin au 15 septembre et la limite quotidienne de prises était de deux saumons. La Division de la gestion des ressources du MPO est chargée de l'application de ces règlements et, de concert avec les exploitants des camps de pêche à la ligne, de faire rapport sur les prises et l'effort de pêche dans les différents réseaux fluviaux. De 1965 à 1980, les prises moyennes de saumons de l'Atlantique par jour de pêche à la ligne dans les cours d'eau du Labrador étaient de 0,86 (tableau 4), soit plus du double de celles de l'île de Terre-Neuve de 1964 à 1977 (Moores *et al.* 1978; Moores et Tucker 1979, 1980, 1981). Les populations de saumon de l'Atlantique des rivières du Labrador attirent très peu de pêcheurs à la ligne sauf dans les cours d'eau qui sont relativement accessibles à ces derniers, comme ceux de la région du détroit de Belle Isle. Ainsi, Pratt *et al.* (1974) estiment que la pêche sportive de la rivière Sandhill dans le sud du Labrador n'exploite que de 2 à 3 % de la production de madeleineaux.

L'omble de fontaine dulçaquicole et anadrome, l'omble arctique, le touladi, la ouananiche ou saumon landlocké, le grand brochet et le corégone sont d'autres espèces de poissons pêchées à la ligne (tableau 5). Plusieurs camps sont exploités chaque année pour répondre à la demande des pêcheurs à la ligne. La pêche à la ligne de l'omble de fontaine et de l'omble arctique attire les pêcheurs sportifs de tout le globe.

Méthodes de relevé

Les relevés dans les cours d'eau du Labrador remontent à Blair (1943) qui a obtenu des renseignements directement des trappeurs pour son rapport sur les obstacles dans les cours d'eau du Labrador. Sollows *et al.* (1953, 1954) ont visité plusieurs grandes rivières à saumons en bateau ou en canot et parcouru à pied les rives des cours inférieurs de nombreuses rivières, en mesurant la vitesse des courants et en observant le genre de lit, la végétation environnante et les poissons, les insectes et les mammifères. Peet (1968, 1971) a effectué des relevés en 1967 et 1968 à bord d'un bateau patrouilleur des pêcheries et d'un hélicoptère afin d'établir les différentes catégories de bassins versants et de repérer les obstacles. Même s'il n'a pas relevé la composition du substrat des lits, sauf pour indiquer les frayères probables, l'utilisation qu'il a faite des barrières de comptage temporaires installées dans quatre cours d'eau a permis d'obtenir des données sur les principales espèces de poissons et l'ampleur de leur migration.

TABLEAU 2. Résumé des débarquements de la pêche commerciale au saumon de l'Atlantique, Labrador, 1969–1979 (Moores et Dawe 1980).

Année	Prises (kg en poids rond)			Effort (unités d'engin)[a]
	Madeleineaux <2,7 kg	Grands saumons ≥2,7 kg	Poids total	
1969	71 896	389 481	461 377	2208
1970	95 409	362 806	458 215	3052
1971	124 311	516 988	641 299	2720
1972	93 044	444 410	537 454	2795
1973	20 313	618 600	638 913	2976
1974	108 836	605 531	714 367	2742
1975	212 654	492 246	704 900	3154
1976	162 510	593 761	756 271	3558
1977	138 241	574 186	712 427	3408
1978	53 999	381 159	435 158	3725
1979	96 686	228 627	325 313	3795
Moyenne	107 082	473 436	580 518	3103

[a]1 unité d'engin = 50 brasses de filet

TABLEAU 3. Résumé des débarquements de la pêche commerciale à l'omble arctique, nord du Labrador, 1974–1979.

Année	Prises totales (kg en poids rond)	Semaines-personnes de pêche
1974	148 546	655
1975	53 661	376
1976	150 543	566
1977	210 406	986
1978	248 334	1090
1979	212 985	914
Moyenne	170 746	765

TABLEAU 4. Résumé des données sur la pêche à la ligne du saumon de l'Atlantique, Labrador, 1965–1980 (Moores *et al.* 1978; Moores et Tucker 1979, 1980, 1981).

Année	Madeleinaux <2,7 kg	Grands saumons ≥2,7 kg	Total	Jours de pêche à la ligne	Prises par jour de pêche à la ligne
1965	2345	627	2972	3422	0,87
1966	3315	706	4021	4619	0,87
1967	2206	589	2795	3337	0,84
1968	3776	665	4441	4054	1,10
1969	2877	393	3270	3646	0,90
1970	4013	562	4575	5308	0,86
1971	3934	486	4420	4898	0,90
1972	2947	424	3371	5165	0,65
1973	7492	1009	8501	8271	1,03
1974	2501	803	3304	5492	0,60
1975	3972	327	4299	4209	1,02
1976	5726	830	6556	7155	0,92
1977	4594	1286	5880	7234	0,81
1978	2691	767	3458	6248	0,55
1979	4118	609	4227	5333	0,89
1980	3800	889	4689	4948	0,95
Moyenne	3769	686	4455	5209	0,86

TABLEAU 5. Résumé des données sur les prises de la pêche sportive (à l'exclusion du saumon de l'Atlantique), Labrador, 1965–1977 (MPO, données inédites).

Année	Omble de fontaine dulçaquicole	Omble de fontaine anadrome	arctique	Touladi	Saumon landlocké	Grand brochet	Corégone
1965	9 049	7 000	0	612	654	984	0
1966	9 649	4 000	62	975	796	909	0
1967	28 836	7 750	175	5 211	5 022	2 051	991
1968	115 191	9 925	242	12 759	7 190	2 013	2 715
1969	93 459	16 106	395	9 905	5 688	1 580	2 000
1970	82 597	13 763	1 119	8 127	4 848	1 346	2 000
1971	84 415	10 433	352	7 765	8 560	2 577	2 500
1972	74 387	10 109	822	10 316	5 373	4 255	1 275
1973	66 205	13 406	103	7 698	4 281	4 409	950
1974	25 711	9 439	604	3 928	2 107	3 434	549
1975[a]	5 105	4 675	—	—	—	1 180	—
1976[a]	1 018	1 173	—	—	—	110	—
1977[a]	1 554	757	14	—	111	522	—
Moyenne (1965–1974)	58 950	10 193	387	6 730	4 452	2 356	1 298

[a]Dénombrement partiel

Riche (1972) donne les grandes lignes des méthodes utilisées pour effectuer des relevés dans les cours d'eau et évaluer la production de saumon de l'Atlantique, méthodes qui ont servi de base aux relevés de Murphy (1971, 1972a, 1973), de Murphy et Porter (1974a, b) et de l'auteur. Cette méthode exige l'estimation et l'enregistrement sur une carte de la largeur des cours d'eau et de la composition des substrats des lits à partir d'un hélicoptère volant à basse altitude. Riche (1972) a évalué à 70 à 80 % le degré de précision des résultats consignés par une personne d'expérience. Les obstacles empêchant la migration du poisson sont examinés et photographiés au sol pour qu'on puisse s'assurer que le degré d'obstruction de chacun d'eux est évalué avec précision. Il est souvent possible de formuler sur les lieux des recommandations provisoires pour pallier la retenue des poissons par les obstacles. Grâce aux renseignements recueillis, les aires d'élevage ou les frayères, ou les deux, sont localisées dans un bassin versant. La supeficie des aires d'élevage est habituellement exprimée en unités (carrés de 100 m^2). Grâce aux barrières de comptage et aux résultats d'études de marquage effectuées au Labrador, Riche (1972) a évalué la production de smolts des cours d'eau du Labrador à deux par unité d'élevage et celle de saumons adultes à 15 % de la production de smolts. Les évaluations ont servi à effectuer les calculs présentés dans cette publication. Il est à noter que, puisque bon nombre des résultats antérieurs ont été consignés en unités de mesure anglo-saxonnes, il peut exister un certain écart entre les estimations d'anciens rapports et celles de la présente publication en raison de la conversion en unités métriques.

RÉGION I
DÉTROIT DE BELLE ISLE

La région du détroit de Belle Isle est la partie la plus méridionale du Labrador, bornée sur la côte par la frontière du Québec et un point situé à 20 km au nord de la collectivité de Red Bay (fig. 2). C'est la région côtière du Labrador la plus densément peuplée et la majeure partie de ses 2 243 résidents (Statistique Canada 1981) sont regroupés dans six collectivités constituées en municipalités, toutes reliées par le seul réseau routier côtier du Labrador. Les habitants peuvent se rendre dans l'île de Terre-Neuve pendant les mois d'été grâce à un service quotidien de traversiers entre le village de Blanc-Sablon à la frontière québécoise et St. Barbe (Terre-Neuve). La pêche commerciale à la morue est la principale source d'emploi, suivie de la pêche au saumon. Le travail des patrouilleurs des rivières à saumons et celui des guides des pêcheurs à la ligne sont d'autres emplois liés à cette dernière ressource.

Cette région est différente des autres régions du Labrador sur le plan géologique car elle renferme de nombreux dépôts du Cambrien (Sutton 1972). Elle contient de nombreux dépôts de grès et de calcaire, d'où la forte teneur en minéraux de certains cours d'eau de la région. Du granite et du gneiss granitique se retrouvent partout dans le nord de cette région, les roches exposées témoignant souvent de l'absence de dépôts glaciaires.

Le couvert végétal est épars presque partout dans la région. Le littoral est presque totalement dénudé en raison du brouillard engendré par les courants océaniques froids associés aux embruns salés (Wilton 1965). Des forêts rabougries d'épinettes noires et d'épinettes blanches se retrouvent plus loin à l'intérieur des terres, protégées dans une certaine mesure par les vallées fluviales. Dans l'extrême nord de l'intérieur, la végétation est dominée par l'épinette noire, les zones les mieux drainées étant peuplées d'épinettes blanches et de sapins baumiers.

Les espèces de poissons les plus répandues dans les trois principaux cours d'eau de la région sont la ouananiche, le saumon de l'Atlantique anadrome, l'omble de fontaine dulçaquicole et anadrome, l'éperlan arc-en-ciel, le grand brochet, l'anguille d'Amérique, l'épinoche à trois épines et l'épinoche à neuf épines. Le gaspareau (Backus 1957), l'omble arctique et le poulamon atlantique y sont plus rares (Scott et Crossman 1974). La présence de gros ombles de fontaine anadromes (pesant jusqu'à 2,5 kg) et le fort pourcentage de grands saumons par rapport aux madeleineaux y rendent la pêche à la ligne excellente. Depuis quelques années, la pression de pêche a énormément augmenté en raison de l'accessibilité de cette région, mais les prises quotidiennes à la ligne de saumon de l'Atlantique sont restées constantes.

Sollows (1953) a effectué le premier relevé des cours d'eau dans cette région. Peet (1968), et l'auteur en 1975, y ont également fait des études.

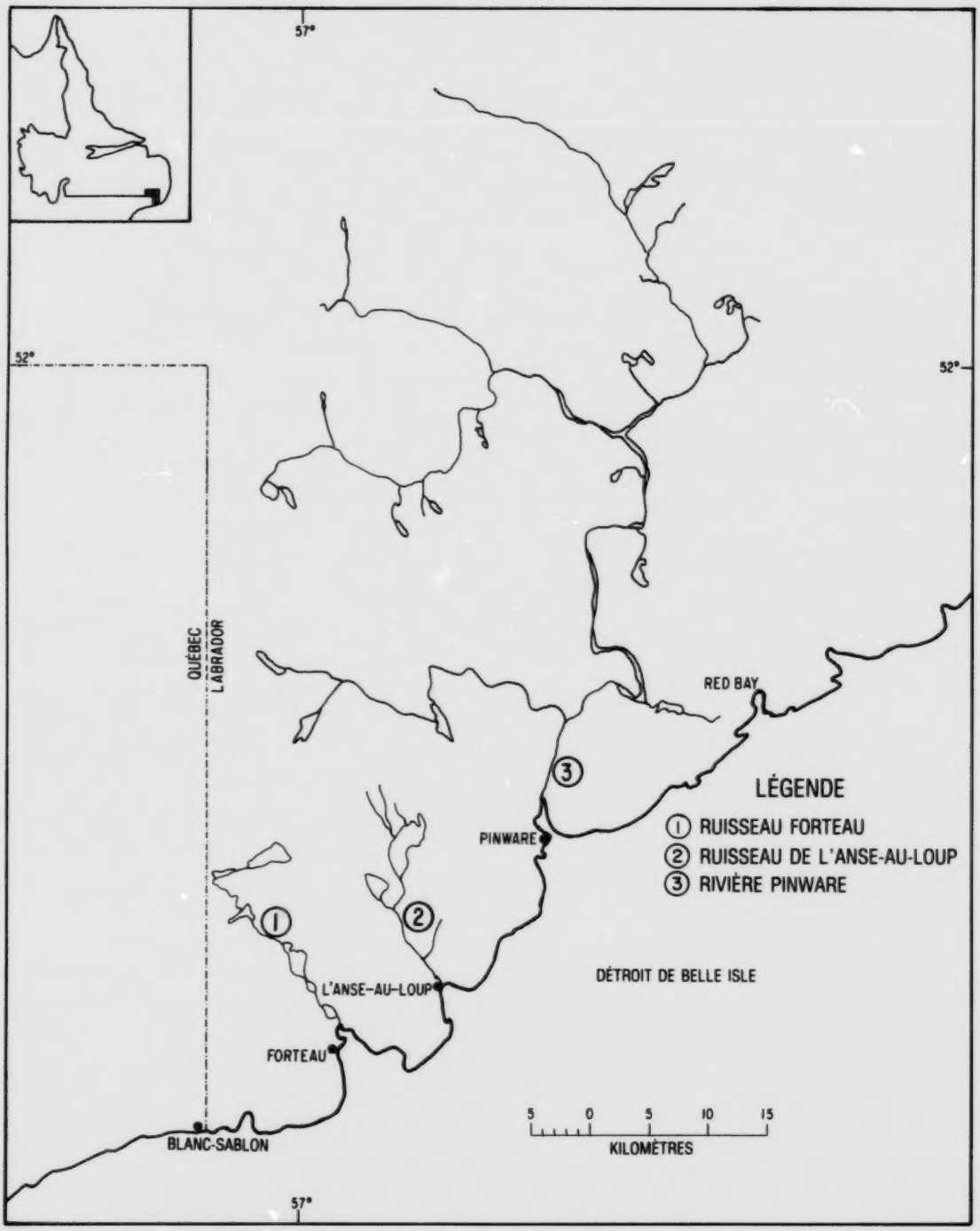

FIG. 2. Carte de la région I, détroit de Belle Isle. Les cours d'eau ont été numérotés pour les renvois dans le texte.

Ruisseau Forteau *N° 1, fig. 2*

Le ruisseau Forteau se jette dans la baie Forteau, qui borde le détroit de Belle Isle (fig. 3). La collectivité de Forteau, établissement de pêche comptant 520 résidents (Statistique Canada 1981), se trouve près de son embouchure.

Le bassin versant de ce ruisseau est de 389 km^2 et est alimenté par 35 tributaires (tableau 6). L'ensemble du réseau comprend de nombreuses étendues d'eaux dormantes, le premier étang (L1), appelé étang Hospital, servant de base d'hydravions. Les chutes Forteau se trouvent en amont de l'étang et forment le premier obstacle à la migration du poisson. Même si elles ont plus de 12 m de hauteur, Peet (1968) rapporte qu'elles n'obstruent que partiellement la migration en raison de leur faible pente de 30 degrés (tableau 7). Des obstacles infranchissables sont situés aux kilomètres 10,8 et 13,4 de l'axe principal du ruisseau et dans le tributaire 7 (T7). Deux échantillons d'eau ont été prélevés dans le ruisseau Forteau en 1978 et le tableau 8 présente les résultats de leur analyse (Jamieson 1979).

L'omble de fontaine et le saumon de l'Atlantique sont les espèces de poissons les plus nombreuses dans le ruisseau Forteau. En 1969, les pêcheurs à la ligne y ont capturé plus de 1 300 ombles de fontaine anadromes; en 1974, cinq des ombles pêchés pesaient plus de 1,8 kg chacun (tableau 9). Les prises de saumons de l'Atlantique effectuées par les pêcheurs à la ligne ont été échantillonnées en 1974, 1979 et 1980. La majorité de ces échantillons étaient des madeleineaux qui avaient passé quatre année en eau douce avant de devenir smolts (tableau 10). Le tableau 11 résume les données sur les prises à la ligne de saumons. La moyenne de 0,50 prise par jour de pêche à la ligne pour les années 1964 à 1980 est relativement élevée comparativement à celle de l'île de Terre-Neuve qui n'est que de 0,40 pour la même période (Moores *et al.* 1978; Moores et Tucker 1979, 1980 et 1981).

La production potentielle estimative des secteurs accessibles est de 428 saumons adultes et de 329 dans les secteurs inaccessibles (tableau 12). Toutefois, les données sur la pêche à la ligne révèlent que la productivité doit être beaucoup plus élevée (tableau 11). Comme nous l'avons souligné dans la section portant sur les méthodes de relevé, le modèle d'estimation utilisé était basé sur l'évaluation des aires d'élevage « classiques » (haut-fonds composés de blocs-moellons uniquement). Une étude effectuée par Pepper (1976) montre toutefois que le tacon

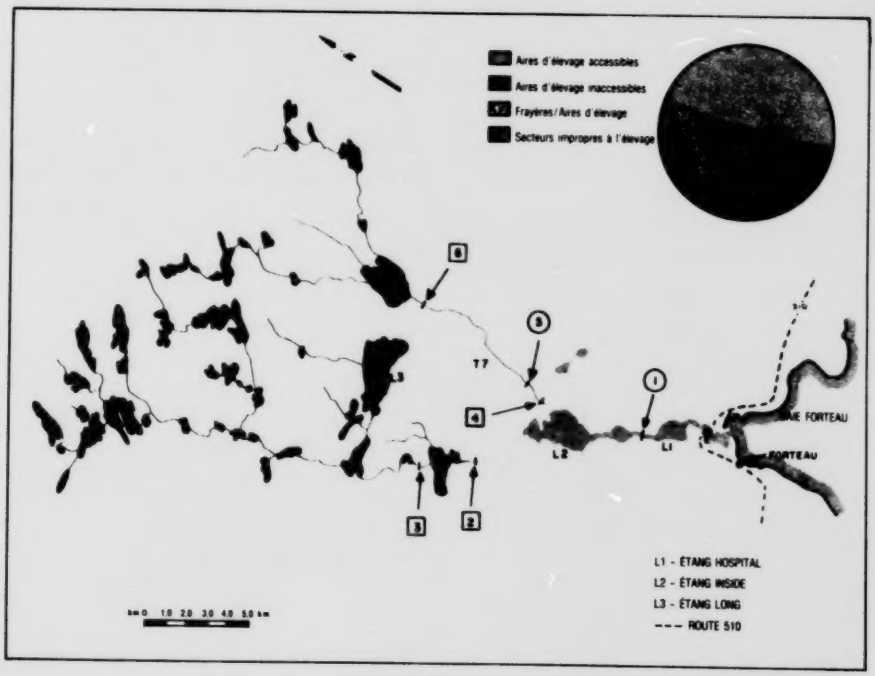

FIG. 3. Carte du ruisseau Forteau montrant les aires d'élevage accessibles et inaccessibles au tacon du saumon de l'Atlantique.

TABLEAU 6. Caractéristiques physiques du ruisseau Forteau.

Référence cartographique:	Blanc Sablon 12P 1:250 000	Élévation maximale du bassin versant	336 m
Latitude de l'embouchure:	51°29′N	Longueur réelle de l'axe principal (en suivant les méandres):	37 km
Longitude de l'embouchure:	56°58′W	Longueur totale, y compris des tributaires:	198 km
Direction générale de l'écoulement:	Sud-est	Nombre de tributaires:	35
Superficie du bassin versant:	389 km^2	Formation géologique:	Sédiments du Cambrien
Largeur moyenne	11 km		
Longueur de l'axe	33 km		
Périmètre du bassin versant	93 km		

TABLEAU 7. Obstacles du ruisseau Forteau.

Renvoi à la figure 3	Emplacement	Distance de l'embouchure (km)	Type	Description			Obstacle au passage du poisson
				Hauteur (m)	Largeur (m)	Pente (°)	
1	Axe principal	3,6	Chutes	12,1	—	30	Franchissable
2	Axe principal	10,8	Chutes	12,1	4,6	60	Infranchissable
3	Axe principal	13,4	Chutes	6,1	—	90	Infranchissable
4	T7	0,8	Chutes	6,1	—	60	Infranchissable
5	T7	1,4	Chutes	2,4	—	—	Franchissable
6	T7	8,4	Chutes	3,1	—	90	Infranchissable

TABLEAU 8. Résultats des analyses de deux échantillons d'eau prélevés dans le ruisseau Forteau en 1978 (Jamieson 1979).

Année	pH	Dureté totale (ppm)	Conductivité spécifique ($\mu S \cdot cm^{-1}$ à 25°C)	Turbidité (UTJ)	Alcalinité totale (ppm)	Calcium (ppm)	Chlorure (ppm)	Bicarbonate (ppm)
1978	6,5	16,0	33,0	0,4	14,0	1,7	4,0	17,1
1978	6,6	20,0	39,0	0,4	16,0	2,5	4,5	18,5

TABLEAU 9. Résumé des données sur les prises à la ligne d'ombles de fontaine dulçaquicoles et anadromes, ruisseau Forteau, 1969–1975 (MPO, données inédites).

Année	Ombles <0,9 kg	Ombles 0,9–1,8 kg	Ombles >1,8 kg	Total
1969	1315	15	0	1330
1970	966	12	0	978
1971	689	33	0	722
1972	520	13	1	534
1973	693	26	0	719
1974	824	20	5	849
1975	724	31	0	755
Moyenne	819	21	1	841

TABLEAU 10. Rapport des sexes (% de F), âge, poids et longueur à la fourche du saumon de l'Atlantique d'après les prises à la ligne de 1974, 1979 et 1980 dans le ruisseau Forteau (MPO, données inédites)

	Madeleineaux								Saumons dibermarins							
	Femelles		Nombre d'années passées en eau douce		Poids (g)		Longueur à la fourche (cm)		Femelles		Nombre d'années passées en eau douce		Poids (g)		Longueur à la fourche (cm)	
Période de prélèvement	%	*n*	an	*n*	$\bar{x}$	*n*	$\bar{x}$	*n*	%	*n*	an	*n*	$\bar{x}$	*n*	$\bar{x}$	*n*
Juillet–août 1974	60,0	5	3	5												
	89,7	39	4	39												
	91,7	24	5	24												
	0,0	1	6	1												
		69		69												
Moyenne	86,9		4,3													
Juillet–août 1979	66,7	3	3	3	1557	3	52,5	3			3					
	38,1	21	4	21	1774	21	54,2	21	0,0	1	4	1	4100	1	74,9	1
	50,0	4	5	4	1890	4	54,8	4			5					
		28		28		28		28		1		1		1		1
Moyenne	42,9		4,0		1769		54,1		0,0		4,0		4100		74,9	
Juillet 1980	50,0	2	3	2	2000	2	57,5	2	100	2	3	2	4200	2	76,5	2
	78,7	47	4	47	1897	47	54,9	47	62,5	8	4	8	4000	8	71,9	8
	70,6	17	5	17	1903	17	55,0	17			5					
	100	2	6	2	1500	2	51,5	2			6					
		68		68		68		68		10		10		10		10
Moyenne	76,5		4,3		1890		54,9		70,0		3,8		4040		72,8	

peut utiliser les aires d'élevage des étangs et des lacs au même titre que celles des cours d'eau. Le réseau fluvial Forteau comporte de nombreux étangs qui, associés avec la forte teneur en minéraux de l'eau, pourraient expliquer la production supérieure dont le modèle ne tient pas compte. Des études des cours d'eau terre-neuviens fortement exploités révèlent des prises approximatives de plus de 25 % des adultes de la remonte. En supposant un prélèvement de 25 % par les pêcheurs à la ligne dans le ruisseau Forteau, on calcule que près de 2 000 saumons adultes réussissent à gagner les frayères. Ainsi, une évaluation plus réaliste de la production serait de 5 000 saumons adultes.

TABLEAU 11. Résumé des données sur les prises à la ligne de saumon de l'Atlantique, ruisseau Forteau, 1964–1980 (Moores *et al.* 1978; Moores et Tucker 1979, 1980, 1981).

Année	Madeleineaux <2,7 kg	Grands saumons ≥2,7 kg	Total	Jours de pêche à la ligne	Prises par jour de pêche à la ligne
1964	391	129	520	534	0,97
1965	336	84	420	737	0,57
1966	466	137	603	1065	0,57
1967	459	153	612	937	0,65
1968	568	118	686	898	0,76
1969	525	83	608	873	0,70
1970	629	13	642	1351	0,48
1971	342	24	366	703	0,52
1972	178	5	183	886	0,21
1973	472	20	492	1151	0,43
1974	258	14	272	785	0,35
1975	284	7	291	748	0,39
1976	818	19	837	1482	0,56
1977	612	32	644	1367	0,47
1978	164	19	183	925	0,20
1979	394	27	421	996	0,42
1980	339	31	370	799	0,46
Moyenne	426	54	479	955	0,50

TABLEAU 12. Résumé des données sur les unités d'élevage et de frai et la production annuelle potentielle estimative de smolts et de saumons de l'Atlantique adultes du ruisseau Forteau.

	Secteurs accessibles		Secteurs inaccessibles	
Emplacement	Unité de frai	Unités d'élevage	Unités de frai	Unités d'élevage
Axe principal	124	1242	0	111
T7	37	184	0	986
Total	161	1426	0	1097
Production estimative[a]				
Smolts		2852		2194
Adultes		428		329

[a] Sous-estimation; voir le texte.

Ruisseau de l'Anse-au-Loup *N° 2, fig. 2*

Ce cours d'eau se jette dans l'Anse-au-Loup, qui donne sur le détroit de Belle Isle (fig. 4). La collectivité de l'Anse-au-Loup, établissement de pêche de 589 habitants (Statistique Canada 1981) se trouve à l'embouchure de ce cours d'eau.

Le ruisseau traverse une vallée bordée de collines rocheuses dénudées et a un bassin versant de 130 km^2 (tableau 13). Son cours inférieur serpente sur un substrat de gravier et de sable. Au kilomètre 1,0, il se rétrécit pour former des rapides qui obstruent la migration du poisson lorsque le niveau de l'eau est bas (tableau 14). Des obstacles barrent totalement l'axe principal aux kilomètres 9,6 et 10,6. Le tableau 15 présente les résultats des analyses d'un échantilon d'eau prélevé en 1978 (Jamieson 1979). Le personnel local du MPO signale que 1 200 ombles de fontaine anadromes ont été pêchés à la ligne dans le ruisseau de l'Anse-au-Loup en 1969; en 1974 et 1975, les prises de gros ombles ont été importantes (tableau 16). Ce cours d'eau n'est pas désigné pour la pêche à la ligne au saumon de l'Atlantique même si un certain nombre de rapports inédits mentionnent qu'une petite montaison s'y produit; en 1973, deux madeleineaux y ont été pêchés à la ligne (Moores *et al.* 1978). Depuis l'affectation d'un garde-pêche saisonnier dans la région au début des années 60, les activités illégales de pêche au filet y ont diminué. Il s'est ensuivi que des nombres relativement importants de smolts de saumons de l'Atlantique y ont été observés à chaque printemps (Peet 1968). D'après un relevé des aires d'élevage effectué par l'auteur en 1975, le ruisseau de l'Anse-au-Loup devrait produire 281 saumons adultes par année (tableau 17).

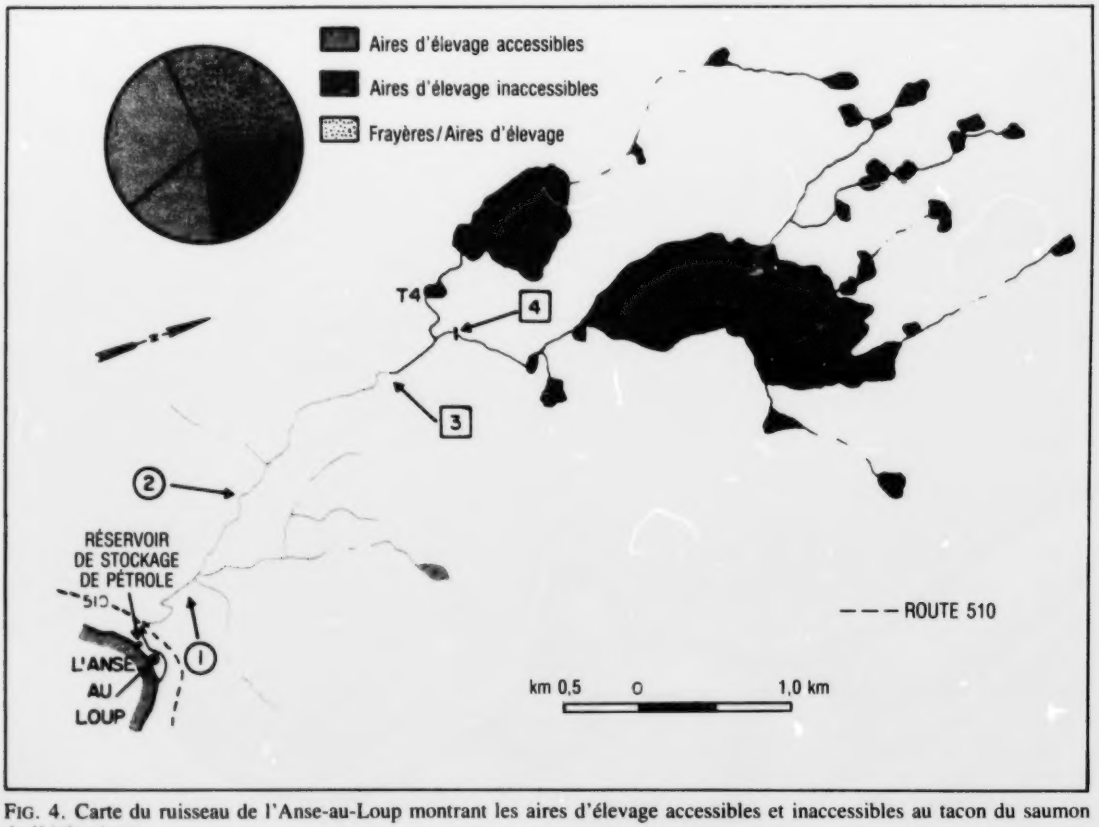

FIG. 4. Carte du ruisseau de l'Anse-au-Loup montrant les aires d'élevage accessibles et inaccessibles au tacon du saumon de l'Atlantique.

TABLEAU 13. Caractéristiques physiques du ruisseau de l'Anse-au-Loup.

Référence cartographique:	Blanc Sablon 12P 1:250 000	Élévation maximale du bassin versant	305 m
Latitude de l'embouchure:	51°32′N	Longueur réelle de l'axe principal (en suivant les méandres):	13 km
Longitude de l'embouchure:	56°49′W	Longueur totale, y compris des tributaires:	37 km
Direction générale de l'écoulement:	Sud-est	Nombre de tributaires:	11
Superficie du bassin versant:	130 km^2	Formation géologique:	Sédiments du Cambrien et du Précambrien
Largeur moyenne	7 km		
Longueur de l'axe	23 km		
Périmètre du bassin versant	55 km		

TABLEAU 14. Obstacles du ruisseau de l'Anse-au-Loup.

Renvoi à la figure 3	Emplacement	Distance de l'embouchure (km)	Type	Description			Obstacle au passage du poisson
				Hauteur (m)	Largeur (m)	Pente (°)	
1	Axe principal	1,0	Rapides	15,2	70,0	30	Franchissable
2	Axe principal	5,8	Chutes	4,9	—	55	Franchissable
3	Axe principal	9,6	Chutes	4,6	6,1	90	Infranchissable
4	Axe principal	10,6	Chutes	15,2	—	90	Infranchissable

TABLEAU 15. Résultats des analyses d'un échantillon d'eau prélevé dans le ruisseau de l'Anse-au-Loup, 1978 (Jamieson 1979).

Année	pH	Dureté totale (ppm)	Conductivité spécifique ($\mu S \cdot cm^{-1}$ à 25°C)	Turbidité (UTJ)	Alcalinité totale (ppm)	Calcium (ppm)	Chlorure (ppm)	Bicarbonate (ppm)
1978	6,7	26,0	49,0	0,6	20,0	3,0	6,0	24,4

TABLEAU 16. Résumé des données sur les prises à la ligne d'ombles de fontaine dulçaquicoles et anadromes, ruisseau de l'Anse-au-Loup, 1969–1975 (MPO, données inédites).

Année	Ombles <0,9 kg	Ombles 0,9–1,8 kg	Ombles >1,8 kg	Total
1969	1000	200	0	1200
1970	—	—	—	—
1971	238	0	0	238
1972	292	14	0	306
1973	390	115	0	505
1974	439	223	25	687
1975	615	280	78	973
Moyenne	496	139	17	652

TABLEAU 17. Résumé des données sur les unités d'élevage et de frai et la production annuelle potentielle estimative de smolts et de saumons de l'Atlantique adultes du ruisseau de l'Anse-au-Loup.

Emplacement	Secteurs accessibles		Secteurs inaccessibles	
	Unités de frai	Unités d'élevage	Unités de frai	Unités d'élevage
Axe principal	484	936	19	290
T4	0	0	0	69
Total	484	936	19	359
Production estimative				
Smolts		1872		718
Adultes		281		108

Rivière Pinware

N° 3, fig. 2

Cette rivière traverse Pinware, village de pêcheurs de 201 habitants (Statistique Canada 1981) et se jette dans la baie du même nom, qui donne sur le détroit de Belle Isle (fig. 5). Des levés effectués à des fins d'aménagement hydro-électrique ont établi le potentiel de la rivière Pinware à 120 MW, soit l'équivalent de celui des rivières Piper's Hole ou Cat Arm dans l'île de Terre-Neuve (Millan 1974).

La rivière Pinware est le plus grand cours d'eau de la région avec son bassin versant de 2 486 km^2 (tableau 18). Le tableau 19 présente les résultats des analyses de 11 échantillons d'eau prélevés en 1978 (Jamieson 1979). Le cours inférieur de la rivière, large et rapide, se déverse dans un estuaire peu profond à son embouchure. Le premier tributaire (T1), le cours d'eau Trout, se jette dans cet estuaire et une petite remonte de saumons y a été signalée (Peet 1968). Un pont enjambe la rivière à 9 km de son embouchure et, à 1 km de celui-ci, l'affluent Western Waters (T8) se jette dans la rivière. Ce dernier est obstrué près de son embouchure par une chute de 9,1 m de hauteur, d'autres obstacles se retrouvant plus loin en amont (tableau 20). Les gens de l'endroit appellent l'axe principal de la rivière, en amont de son point de confluence avec le Western Waters, la rivière County Cat, qui est accessible aux poissons migrateurs jusqu'au kilomètre 49,0. À cet endroit, des chutes de 6,1 m de hauteur empêchent toute migration plus en amont. Peet (1971) a repéré des frayères éventuelles pour le saumon de l'Atlantique en amont de ces chutes, et un relevé des aires d'élevage effectué par l'auteur en 1975 indique que les secteurs accessibles ont une production estimative d'environ 14 000 saumons adultes (tableau 21). Le potentiel de production des secteurs inaccessibles a été évalué à 3 200 poissons adultes.

Le saumon de l'Atlantique, l'omble de fontaine et l'anguille d'Amérique sont les espèces de poissons indigènes les plus répandues qui ont été observées dans la rivière Pinware par le personnel local du MPO. Les prises à la ligne de saumons de l'Atlantique ont été échantillonnées en 1974 et 1980. Le MPO a également effectué en 1980 un relevé des prises à la ligne des jeunes saumons. La majorité des madeleineaux échantillonnés étaient des mâles et plus de 80 % des grands saumons, des femelles (tableau 22). L'âge des jeunes saumons capturés était de 1 à 4 ans, la moyenne étant de 2,5 ans. Les adultes qui reviennent de la mer pénètrent dans la rivière de la mi-juin au début de septembre, la principale montaison se produisant en juillet. Cette rivière est renommée mondialement pour sa pêche au saumon à la ligne en raison du grand nombre de captures et du rapport élevé entre grands saumons et madeleineaux. La meilleure pêche est pratiquée dans la gorge, en aval, près du pont, où sont situés plusieurs camps de pêche sportive. Les prises moyennes à la ligne de saumon de l'Atlantique pour les années 1964 à 1980 sont de 985 poissons, dont 25 % des grands saumons (tableau 23). Les prises et l'effort

TABLEAU 18. Caractéristiques physiques de la rivière Pinware.

Référence cartographique:	Blanc Sablon 12P 1:250 000	Élévation maximale du bassin versant:	427 m
Latitude de l'embouchure:	51°39′N	Longueur réelle de l'axe principal (en suivant les méandres):	97 km
Longitude de l'embouchure:	56°42′W	Longueur totale, y compris des tributaires:	579 km
Direction générale de l'écoulement:	Sud	Nombre de tributaires:	50
Superficie du bassin versant:	2486 km^2	Formation géologique:	Roches métamorphiques et du Précambrien
Largeur moyenne	36 km		
Longueur de l'axe	71 km		
Périmètre du bassin versant	274 km		

TABLEAU 19. Résultats des analyses de 11 échantillons d'eau prélevés dans la rivière Pinware, 1978 (Jamieson 1979).

Année	pH	Dureté totale (ppm)	Conductivité spécifique ($\mu S \cdot cm^{-1}$ à 25°C)	Turbidité (UTJ)	Alcalinité totale (ppm)	Calcium (ppm)	Chlorure (ppm)	Bicarbonate (ppm)
1978[a]	6,8	6,0	16,0	0,6	2,0	2,0	0,7	2,4
1978[b]	6,7	5,0	14,0	0,6	1,0	2,0	0,5	1,2

[a]Un échantillon.
[b]Moyenne de 10 échantillons.

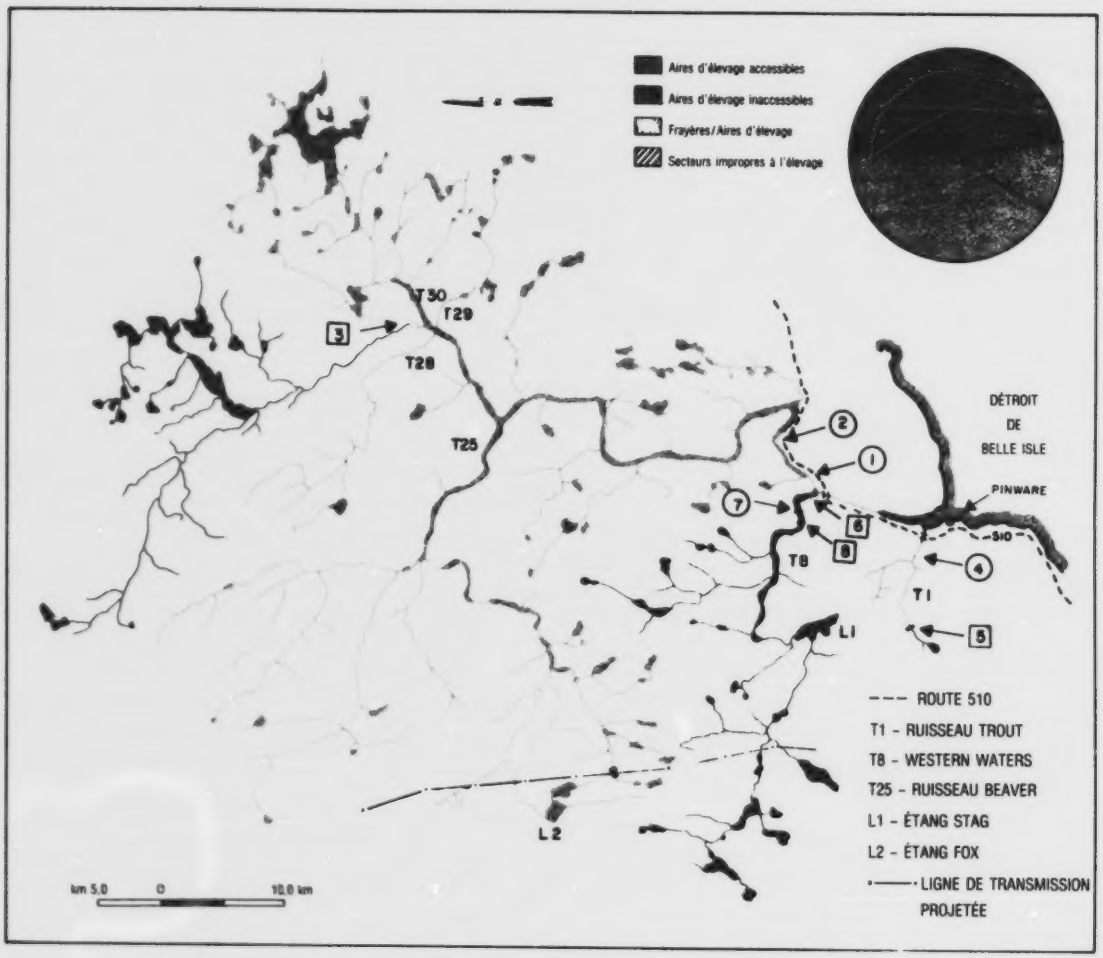

FIG. 5. Carte de la rivière Pinware montrant les aires d'élevage accessibles et inaccessibles au tacon du saumon de l'Atlantique.

TABLEAU 20. Obstacles de la rivière Pinware.

Renvoi à la figure 5	Emplacement	Distance de l'embouchure (km)	Type	Description			Obstacle au passage du poisson
				Hauteur (m)	Largeur (m)	Pente (°)	
1	Axe principal	3,8	Chutes	2,7	—	90	Franchissable
2	Axe principal	7,9	Rapides	—	3,0	—	Franchissable
3	Axe principal	49,0	Chutes	6,1	6,1	90	Infranchissable
4	T1	1,4	Chutes	2,4	—	90	Franchissable
5	T1	7,0	Chutes	7,6	—	90	Infranchissable
6	T8	0,7	Chutes	9,1	6,1	90	Infranchissable
7	T8	2,8	Rapides	—	—	—	Franchissable
8	T8	3,5	Chutes	9,1	—	90	Infranchissable

TABLEAU 21. Résumé des données sur les unités d'élevage et de frai et la production annuelle potentielle estimative de smolts et de saumons de l'Atlantique adultes de la rivière Pinware.

	Secteurs accessibles		Secteurs inaccessibles	
Emplacement	Unités de frai	Unités d'élevage	Unités de frai	Unités d'élevage
Axe principal	4 642	23 246	0	385
T1	361	529	0	0
T8	42	210	3 499	10 423
T25	2 443	17 358	0	0
T28	322	1 022	0	0
T29	0	504	0	0
T30	1 915	3 822	0	0
Total	9 725	46 691	3 499	10 808
Production estimative				
Smolts		93 382		21 616
Adultes		14 007		3 242

de pêche ont augmenté régulièrement de 1964 à 1977, mais elles ont commencé à diminuer depuis 1978. Ces diminutions sont attribuables, soit à la réduction de la durée de la saison de pêche décrétée en 1978 (Chadwick *et al.* 1978), soit à une classe d'âge inadéquate ou à une surexploitation des stocks. La pêche à la ligne de l'omble de fontaine dulçaquicole et anadrome est bonne en mai et juin, les prises totales dépassant 1 500 poissons depuis quelques années (tableau 24).

TABLEAU 22. Rapport des sexes (% de F), âge, poids et longueur à la fourche du saumon de l'Atlantique d'après les prises à la ligne de juillet et août 1974 et de juillet 1980 et d'après une enquête du MPO sur la pêche à la ligne du jeune saumon menée en août 1980 dans la rivière Pinware (MPO, données inédites).

	Jeunes saumons								Madeleineaux								Saumons dibermarins ou tribermarins							
			Nombre d'années passées en eau douce		Poids (g)		Longueur à la fourche (cm)				Nombre d'années passées en eau douce		Poids (g)		Longueur à la fourche (cm)				Nombre d'années passées en eau douce		Poids (g)		Longueur à la fourche (cm)	
Période de prélèvement	Femelles								Femelles								Femelles							
	%	*n*	an	*n*	$\bar{x}$	*n*	$\bar{x}$	*n*	%	*n*	an	*n*	$\bar{x}$	*n*	$\bar{x}$	*n*	%	*n*	an	*n*	$\bar{x}$	*n*	$\bar{x}$	*n*
Juillet–août 1974									0,0	3	3	3					75,0	4	3	4				
									4,4	45	4	45					82,4	34	4	34				
									15,6	64	5	64					76,0	25	5	25				
									12,5	8	6	8					100,0	4	6	4				
										120		120						67		67				
Moyenne									10,8		4,6						80,6		4,4					
Juillet 1980									42,9	7	3	7	1819	11	53,0	10	71,4	7	3	7	4894	8	77,4	8
									47,1	53	4	53	1846	77	54,6	76	88,2	17	4	17	4517	21	72,3	21
									55,6	9	5	9	2147	13	56,3	12	71,4	7	5	7	4810	7	72,4	5
										69		69		101		98		31		31		36		34
Moyenne									47,8		4,0		1882		54,6		80,6		4,0		4658		73,5	
Août 1980	0,0	1	1	1	6,0	1	8,2	1																
	54,6	44	2	44	16,0	44	10,9	44																
	38,1	21	3	21	34,8	21	14,3	21																
	62,5	8	4	8	49,3	8	16,0	8																
		74		74		74		74																
Moyenne	50,0		2,5		24,8		12,4																	

TABLEAU 23. Résumé des données sur la pêche au saumon de l'Atlantique à la ligne, rivière Pinware, 1964–1980 (Moores *et al.* 1978; Moores et Tucker 1979, 1980, 1981).

Année	Madeleinaux <2,7 kg	Grands saumons ≥2,7 kg	Total	Jours de pêche	Prises par jour de pêche à la ligne
1964	443	206	649	672	0,97
1965	465	307	772	859	0,90
1966	871	207	1078	1274	0,85
1967	662	241	903	964	0,94
1968	1077	238	1315	1335	0,99
1969	740	190	930	1154	0,81
1970	937	308	1245	1207	1,03
1971	585	223	808	1556	0,52
1972	245	75	320	1471	0,22
1973	957	412	1369	1738	0,79
1974	482	277	759	1928	0,39
1975	785	147	932	1432	0,65
1976	1680	291	1971	2414	0,82
1977	1050	561	1611	2551	0,63
1978	409	164	573	1488	0,39
1979	507	92	599	1153	0,52
1980	599	306	905	1677	0,54
Moyenne	735	250	985	1463	0,67

TABLEAU 24. Résumé des données sur les prises à la ligne d'ombles de fontaine dulçaquicoles et anadromes dans la rivière Pinware, 1969–1975 (MPO, données inédites).

Année	Ombles <0,9 kg	Ombles 0,9–1,8 kg	Ombles >1,8 kg	Total
1969	584	74	0	658
1970	456	137	0	593
1971	576	41	1	618
1972	519	22	0	541
1973	483	273	10	766
1974	775	576	262	1613
1975	2274	445	192	2911
Moyenne	810	224	66	1100

RÉGION II
RÉGION SUD

La limite côtière de la région sud du Labrador s'étend d'un point situé à 20 km au nord de la collectivité de Red Bay jusqu'à la baie Groswater, sur une distance d'environ 300 km (fig. 6). La pêche a toujours été le gagne-pain des habitants de cette région et de petits villages sont éparpillés dans les centaines de baies et d'îles qui s'y trouvent. Certains de ces endroits ne sont occupés qu'en saison, les résidents retournant dans les grands centres comme Mary's Harbour, Black Tickle et Cartwright à l'automne, après la saison de pêche. La frénésie de la pêche à la morue y a attiré des pêcheurs de toute l'île de Terre-Neuve du XVIII[e] siècle jusqu'au début du XX[e] siècle, mais, de nos jours, à la suite d'échecs répétés, seul un petit nombre de bateaux de pêche sillonne encore la région. Le fiasco de la pêche à la morue a entraîné une augmentation de l'effort de pêche au saumon qui s'est avérée une entreprise très rentable. Les prises annuelles moyennes dans la région, de 1975 à 1977, ont été d'environ 475 000 kg. En raison de l'augmentation de leur valeur (3,50 $/kg en 1977), les résidents de la côte et les pêcheurs saisonniers de l'île de Terre-Neuve gagnent un salaire relativement élevé pendant la courte saison de pêche.

Les roches de la région sont surtout des granites, des gneiss et des paragneiss éparpillés çà et là (Sutton 1972). Ces roches qui se météorisent lentement sont recouvertes de dépôts glacaires étendus qui forment les collines onduleuses de cette région assez basse. Ces dépôts riches en minéraux offrent un milieu de croissance excellent au sapin baumier et à l'épinette noire dans l'intérieur (Wilton 1965). Le lichen prédomine sur les sols décimés par des feux de forêt (Lopoukhine *et al.* 1978). Le littoral est dénudé, les affleurements rocheux alternant avec une végétation d'arbustes rabougris.

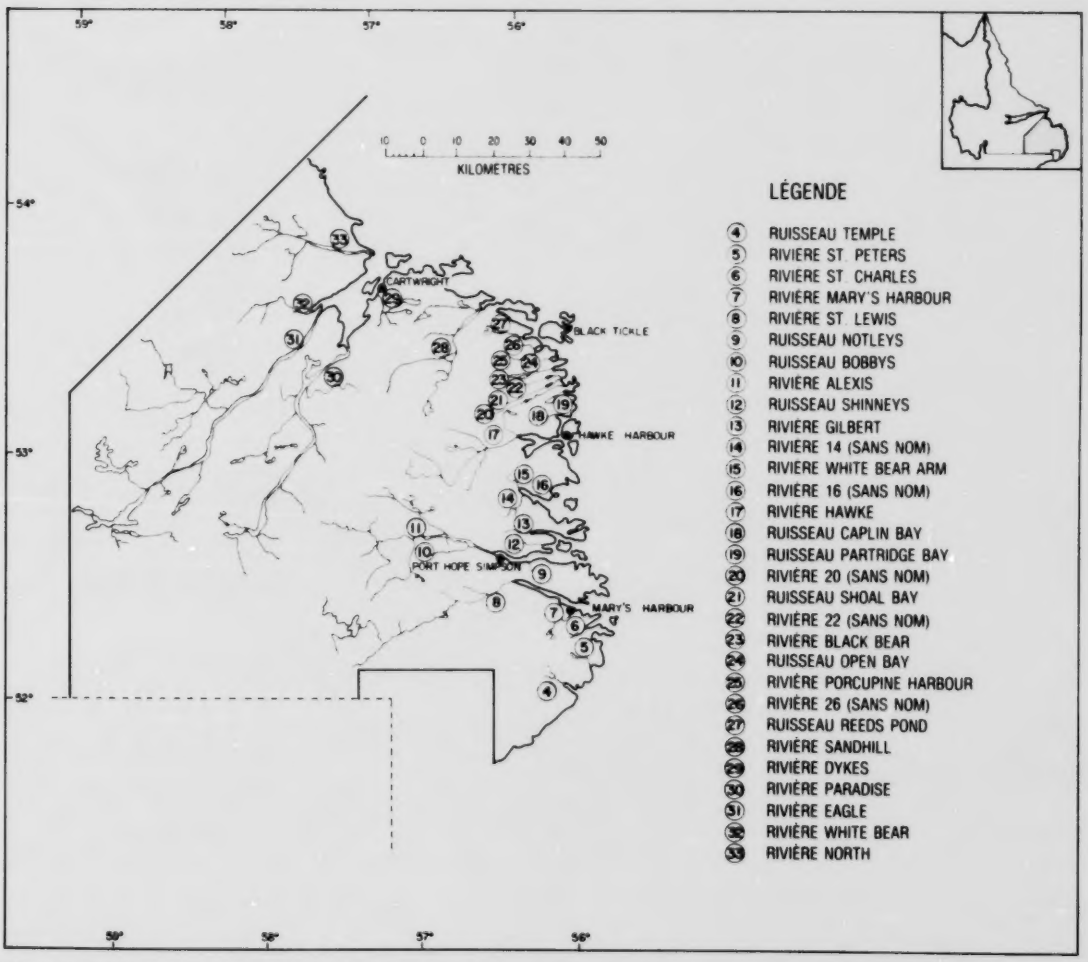

FIG. 6. Carte de la région II, région sud du Labrador. Les cours d'eau ont été numérotés pour faciliter les renvois dans le texte.

Cette région abrite plusieurs des cours d'eau les plus importants du Labrador; le potentiel hydro-électrique de cinq de ceux-ci a été évalué (Millan 1974). Le saumon de l'Atlantique et l'omble de fontaine y sont les principales espèces, l'omble arctique pullulant dans certains secteurs. Le meunier rouge, le meunier noir, l'épinoche à trois épines, l'épinoche à neuf épines, l'anguille d'Amérique, le grand brochet, l'alose savoureuse, le gaspareau, l'éperlan arc-en-ciel et le poulamon atlantique sont parmi les autres espèces observées. Une lamproie marine y a été trouvée en 1971. Des camps de pêche sportive au saumon de l'Atlantique et à l'omble de fontaine, accessibles uniquement par hydravion, sont situés partout dans la région. La pêche à la ligne y est habituellement excellente et ils sont souvent la seule source de statistiques sur les prises et l'effort de pêche dans les cours d'eau isolés.

Ruisseau Temple *N° 4, fig. 6*

Le ruisseau Temple coule vers le sud-est et se jette dans la baie Temple (fig. 7). Le village isolé de pêcheurs de Henley Harbour est situé à 6 km de son embouchure. Le ruisseau Temple a un bassin versant de 181 km^2 (tableau 25) et coule sur un plateau dénudé, à l'exception des conifères qui bordent ses berges. Son axe principal et son deuxième tributaire contiennent des obstacles qui barrent partiellement la route aux poissons migrateurs. Le seul obstacle infranchissable est situé dans l'un des bras du deuxième tributaire (tableau 26).

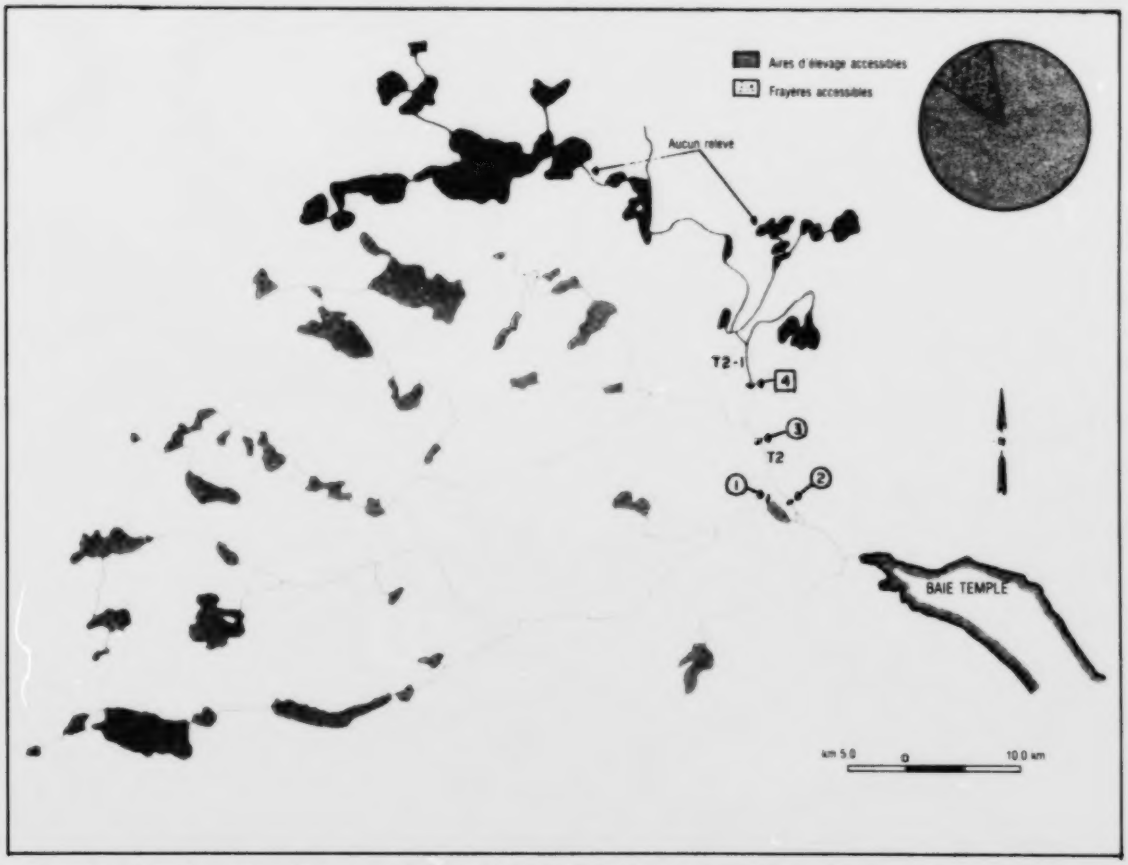

FIG. 7. Carte du ruisseau Temple montrant les aires d'élevage accessibles et inaccessibles au tacon du saumon de l'Atlantique.

L'omble de fontaine et le saumon de l'Atlantique landlocké (ouananiche) y ont été observés. La pêche commerciale au saumon est excellente dans la baie Chateau; Peet (1968) laisse toutefois à entendre que la majeure partie de ces saumons viennent probablement des cours d'eau situés au nord ou au sud du ruisseau Temple. Cette hypothèse est corroborée par T. Curran (comm. pers.) qui souligne que cette pêche est surtout une pêche « de cap », qui permet de capturer non seulement le saumon des cours d'eau du Labrador, mais également les poissons gagnant les cours d'eau des autres provinces du Canada. Aucun rapport n'indique que la pêche à la ligne est pratiquée dans le ruisseau Temple; on soupçonne qu'une petite remonte de saumons s'y déroule. D'après un relevé effectué par l'auteur en 1975, le ruisseau Temple devrait pouvoir produire 4 622 smolts; le taux ultérieur de survie en mer devrait permettre à 693 adultes d'y retourner (tableau 27).

TABLEAU 25. Caractéristiques physiques du ruisseau Temple.

Référence cartographique:	Battle Harbour 13A, 3D 1:250 000	Élévation maximale du bassin versant:	305 m
Latitude de l'embouchure:	52°02′N	Longueur réelle de l'axe principal (en suivant les méandres):	19 km
Longitude de l'embouchure:	55°59′W	Longueur totale, y compris des tributaires:	55 km
Direction générale de l'écoulement:	Sud-est	Nombre de tributaires:	7
Superficie du bassin versant:	181 km²	Formation géologique:	Roches métamorphiques du Précambrien
Largeur moyenne	11 km		
Longueur de l'axe	19 km		
Périmètre du bassin versant	61 km		

TABLEAU 26. Obstacles du ruisseau Temple.

Renvoi à la figure 7	Emplacement	Distance de l'embouchure (km)	Type	Description			Obstacle au passage du poisson
				Hauteur (m)	Largeur (m)	Pente (°)	
1	Axe principal	2,3	Chutes	2,4	1,2	80	Franchissable
2	T2	0,2	Chutes	6,1	—	30	Franchissable
3	T2	1,7	Rapides(2)	—	—	—	Franchissable
4	T2-1	1,1	Chutes	6,1	—	90	Infranchissable

TABLEAU 27. Résumé des données sur les unités d'élevage et de frai et la production annuelle potentielle estimative de smolts et de saumons de l'Atlantique adultes du ruisseau Temple.

	Secteurs accessibles	
Emplacement	Unités de frai	Unités d'élevage
Axe principal	207	1249
T2	86	1062
Total	293	2311
Production estimative		
Smolts	4622	
Adultes	693	

Rivière St. Peters

N° 5, fig. 6

La rivière St. Peters coule vers l'est et se jette dans la baie du même nom (fig. 8). Son cours supérieur traverse des peuplements matures d'épinettes noires et de sapins baumiers tandis que son cours inférieur occupe une région où domine la toundra côtière. Le bassin versant de 140 km^2 contient une étendue d'eau stagnante relativement grande (L1) appelée étang St. Peters (tableau 28). Des obstacles barrent complètement la route aux poissons migrateurs dans l'axe principal aux kilomètres 2,2 et 8,6 (tableau 29); il n'y a aucun obstacle dans ses huit tributaires. Le tableau 30 présente les résultats des analyses d'un échantillon d'eau prélevé en 1976 par Jamieson (1979).

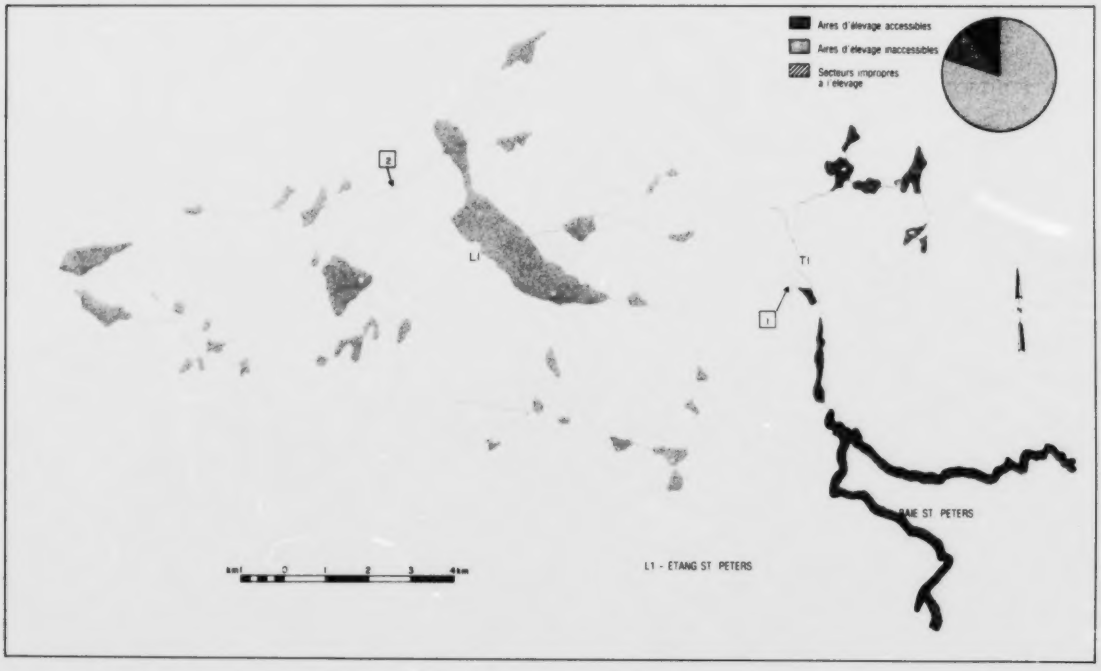

FIG. 8. Carte de la rivière St. Peters montrant les aires d'élevage accessibles et inaccessibles au tacon du saumon de l'Atlantique.

TABLEAU 28. Caractéristiques physiques de la rivière St. Peters.

Référence cartographique:	Battle Harbour 13A, 3D 1:250 000	Élévation maximale du bassin versant:	214 m
Latitude de l'embouchure:	52°06′N	Longueur réelle de l'axe principal (en suivant les méandres):	23 km
Longitude de l'embouchure:	55°48′W	Longueur totale, y compris des tributaires:	61 km
Direction générale de l'écoulement:	Sud-est	Nombre de tributaires:	8
Superficie du bassin versant:	140 km^2	Superficie des lacs de plus de 100 ha:	
Largeur moyenne	7 km	L1, étang St. Peters –	360 ha
Longueur de l'axe	18 km		
Périmètre du bassin versant	52 km	Formation géologique:	Gneiss

On n'a relevé la présence d'aucune espèce de poisson dans la rivière St. Peters, bien qu'il soit presque certain que l'omble de fontaine la fréquente. Ce réseau fluvial pourrait probablement accueillir une petite montaison de saumon de l'Atlantique. D'après un relevé effectué par l'auteur en 1975, la production potentielle annuelle dans les secteurs accessibles est évaluée à 20 saumons adultes (tableau 31).

TABLEAU 29. Obstacles de la rivière St. Peters.

Renvoi à la figure 8	Emplacement	Distance de l'embouchure (km)	Type	Description			Obstacle au passage du poisson
				Hauteur (m)	Largeur (m)	Pente (°)	
1	Axe principal	2,2	Chutes	4,6	—	90	Infranchissable
2	Axe principal	8,6	Chutes	6,1	—	90	Infranchissable

TABLEAU 30. Résultats des analyses d'un échantillon d'eau prélevé dans la rivière St. Peters, 1976 (Jamieson 1979)

Année	pH	Dureté totale (ppm)	Conductivité spécifique ($\mu S \cdot cm^{-1}$ à 25°C)	Turbidité (UTJ)	Alcalinité totale (ppm)	Calcium (ppm)	Chlorure (ppm)	Bicarbonate (ppm)
1976	6,3	6,0	22,0	0,7	4,0	1,1	2,0	4,9

TABLEAU 31. Résumé des données sur les unités d'élevage et de frai et la production annuelle potentielle estimative de smolts et de saumons de l'Atlantique adultes de la rivière St. Peters.

Emplacement	Secteurs accessibles		Secteurs inaccessibles	
	Unités de frai	Unités d'élevage	Unités de frai	Unités d'élevage
Axe principal	0	30	0	510
T1	0	35	0	0
Total	0	65	0	510
Production estimative				
Smolts		130		1020
Adultes		20		153

Rivière St. Charles *N° 6, fig. 6*

La rivière St. Charles coule en direction est et se jette dans l'inlet Lodge (fig. 9). La collectivité de Lodge, petit village habité l'hiver par des pêcheurs et leur famille, est située à son embouchure. Un sentier de 8 km relie le village à Mary's Harbour.

Les eaux d'amont ont formé plusieurs lacs entre les collines onduleuses au couvert forestier dense. Le cours inférieur est large et les berges ont un couvert forestier fourni entre l'étang Lodge (L1) et l'embouchure, même si des incendies ont en partie détruit certaines des forêts de cette région. Le bassin versant a une superficie de 311 km^2 et est drainé par l'axe principal et ses 13 tributaires (tableau 32). Au kilomètre 15,2 de l'axe principal, on trouve des rapides qui obstruent partiellement la migration du poisson (tableau 33).

En raison de l'isolement et de l'abandon de ce cours d'eau pendant les mois d'été, la pêche à la ligne y est très peu pratiquée, même si en 1966, cinq ombles arctiques, trois ombles de fontaine anadromes et un saumon de l'Atlantique y ont été pêchés (Peet 1968). Peet (1968) a également dressé une liste des espèces à partir des résultats obtenus à une barrière de comptage en 1966 (voir tableau 34). La barrière, installée à 100 m de l'embouchure, a été utilisée en juin et en juillet. Soixante-quatre poissons ont été capturés lors de leur descente (tableau 35) et 1 002 lors de leur remonte (tableau 36). Le tableau 37 donne la répartition de la longueur à la fourche (cm), du poids rond (g) et de l'âge (années) d'un échantillon de 24 saumons de l'Atlantique migrateurs remontant la rivière. Les tableaux 38 et 39 présentent les mêmes renseignements pour l'omble arctique. Cette barrière de comptage a été le premier dispositif de surveillance de la migration du poisson à être utilisé officiellement dans le sud du Labrador. L'auteur a terminé un levé aérien d'une aire d'élevage de jeunes saumons en 1975; le tableau 40 présente la production annuelle estimative de saumons basée sur ce levé.

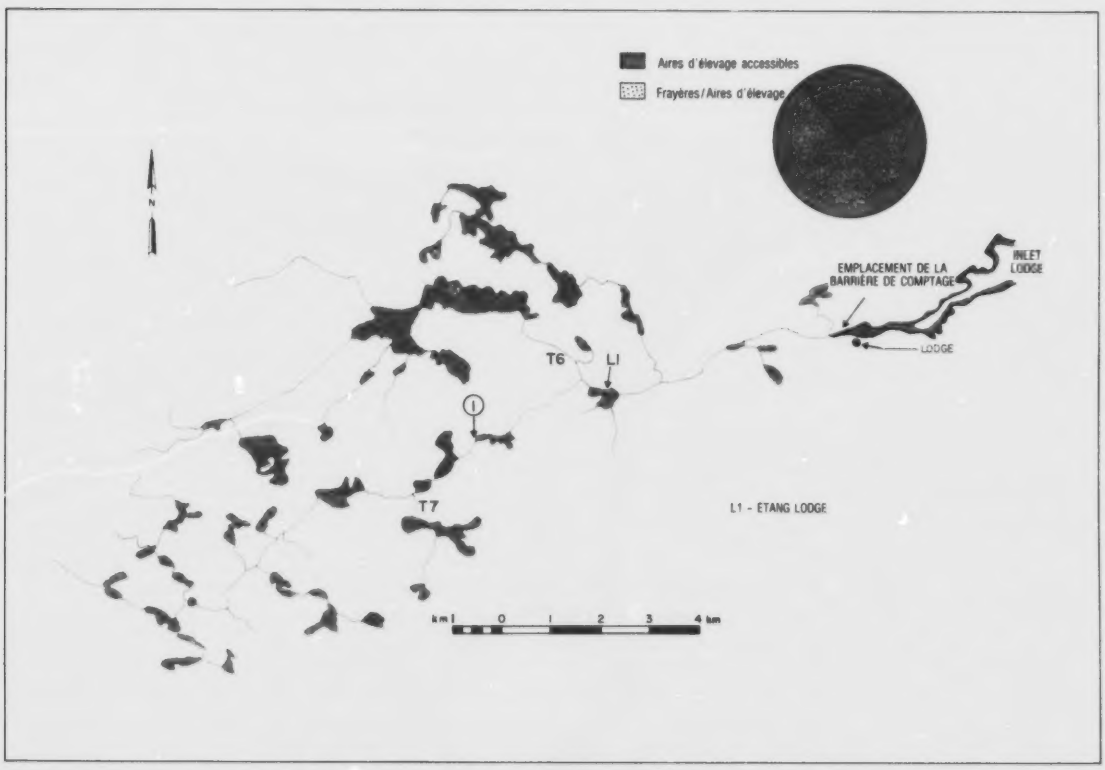

FIG. 9. Carte de la rivière St. Charles montrant les aires d'élevage accessibles au tacon du saumon de l'Atlantique.

TABLEAU 32. Caractéristiques physiques de la rivière St. Charles.

Référence cartographique:	Battle Harbour 13A, 3D 1:250 000	Élévation maximale du bassin versant:	305 m
Latitude de l'embouchure:	52°15′N	Longueur réelle de l'axe principal (en suivant les méandres):	45 km
Longitude de l'embouchure:	55°46′W	Longueur totale, y compris des tributaires:	145 km
Direction générale de l'écoulement:	Est	Nombre de tributaires:	13
Superficie du bassin versant:	311 km²	Formation géologique:	Roches métamorphiques du Précambrien
Largeur moyenne	9 km		
Longueur de l'axe	32 km		
Périmètre du bassin versant	101 km		

TABLEAU 33. Obstacles de la rivière St. Charles.

Renvoi à la figure 9	Emplacement	Distance de l'embouchure (km)	Type	Description			Obstacle au passage du poisson
				Hauteur (m)	Largeur (m)	Pente (°)	
1	Axe principal	15,2	Rapides	—	—	—	Franchissable

TABLEAU 34. Liste et état des populations des espèces de poissons présentes dans la rivière St. Charles (Peet 1968).

Espèces de poissons	Nom commun	État des populations dans le réseau
Alosa pseudoharengus	Gaspareau	RU
Salmo salar	Saumon de l'Atlantique	CI
Salvelinus alpinus	Omble arctique	CI
Salvelinus fontinalis	Omble de fontaine	CI
Anguilla rostrata	Anguille d'Amérique	CI
Gasterosteus aculeatus	Épinoche à trois épines	CI

[a]L'état des populations dans le réseau fait référence à leur présence, c.-à-d., R: rare ou C: répandu, et à leur origine, c.-à-d., I: indigène et U: d'origine inconnue.

TABLEAU 35. Nombres hebdomadaires de poissons dévalant la rivière St. Charles, 1966. Parc en filet situé à 100 m de l'embouchure (Peet 1968).

Semaine se terminant le	Saumon de l'Atlantique		Omble de fontaine	Omble arctique	Gaspareau	Épinoche à trois épines	Nombre total de poissons	Température moyenne de l'eau (°C)	Hauteur moyenne de l'eau (m)
	Smolts	Tacons							
26 juin	14	4	2	0	0	17	37	12,5	—
3 juillet[a]	8	2	0	0	1	0	11	18,4	0,79
10 juillet	8	6	0	0	0	0	14	16,4	0,77
17 juillet	0	0	0	2	0	0	2	19,0	0,73
24 juillet	0	0	0	0	0	0	0	17,5	0,70
Total	30	12	2	2	1	17	64		

[a]Barrière installée le 28 juin.

TABLEAU 36. Nombres hebdomadaires de poissons dévalant la rivière St. Charles, 1966. Parc en filet situé à 100 m de l'embouchure (Peet 1968).

Semaine se terminant le	Saumon de l'Atlantique		Omble de fontaine	Omble arctique	Gaspareau	Anguille d'Amérique	Nombre total de poissons	Température moyenne de l'eau (°C)	Hauteur moyenne de l'eau (m)
	<2,7 kg	≥2,7 kg							
3 juillet[a]	0	0	1	16	2	0	19	18,4	0,79
10 juillet	5	4	156	26	0	1	192	16,4	0,77
17 juillet	7	1	426	25	0	0	459	19,0	0,73
24 juillet	13	0	291	28	0	0	332	17,5	0,70
Total	25	5	874	95	2	1	1002		

[a]Barrière installée le 28 juin.

TABLEAU 37. Répartition de la longueur à la fourche, du poids rond et de l'âge des saumons de l'Atlantique remontant la rivière St. Charles, 1966 (Peet 1968).

Longueur à la fourche (cm)	Poids rond (g)	Âge (années)[a]
48,2	1406,2	5:1
48,9	1451,5	5:1
49,8	1134,0	—
49,8	1451,5	5:1
50,1	1496,9	5:1
50,5	1678,3	5:1
50,5	1723,7	5:1
50,6	1587,6	5:1
51,1	1406,2	—
51,2	1587,6	5:1
51,3	1769,0	5:1
51,5	1270,1	5:1
52,0	1859,8	5:1
52,5	1587,6	5:1
52,5	2041,2	5:1
53,5	1633,0	5:1
53,5	1723,7	5:1
53,5	1769,0	—
53,5	1859,8	5:1
54,3	1678,3	—
55,4	2540,2	—
70,2	3492,7	5:1,1
70,2	3855,6	4:1,1
71,1	4581,4	5:1,1

Nombre: 21 madeleineaux, 3 grands saumons — Poids rond moyen: 1 941,0 g
Longueur moyenne à la fourche: 54,0 cm — Âge moyen: 5:1

[a]Pour une définition de ce terme, voir le Glossaire.

TABLEAU 38. Répartition de la longueur à la fourche et du poids des ombles arctiques remontant la rivière St. Charles, 1966 (Peet 1968).

Longueur		Poids rond	
Limites des classes (cm)	Fréquence	Limites des classes (g)	Fréquence
23,95–26,94	3	0,00–324,94	2
26,95–29,94	12	324,95–649,94	101
29,95–32,94	36	649,95–974,94	138
32,95–35,94	51	974,95–1299,94	108
35,95–38,94	74	1299,95–1624,94	78
38,95–41,94	99	1624,95–1949,94	74
41,95–44,94	73	1949,95–2274,94	70
44,95–47,94	74	2274,95–2599,94	47
47,95–50,94	94	2599,95–2924,94	35
50,95–53,94	74	2924,95–3249,94	18
53,95–56,94	58	3249,95–3574,94	7
56,95–59,94	19	3574,95–3899,94	9
59,95–62,94	17	3899,95–4224,94	3
62,95–65,94	7	4224,95–4549,94	3
65,95–68,94	2	4549,95–4874,94	0
68,95–71,94	1	4874,95–5199,94	1
Total	694		694

TABLEAU 39. Répartition de l'âge par longueur à la fourche des ombles arctiques remontant la rivière St. Charles, 1966 (Peet 1968).

Limite des classes de longueur à la fourche (cm)	Âge (années)									
	2+	3+	4+	5+	6+	7+	8+	9+	10+	Total
23,95–26,94			1	1						2
26,95–29,94			1	1	3					5
29,95–32,94			2	12	3					17
32,95–35,94			2	12	8	1				23
35,95–38,94				6	6	3				15
38,95–41,94				1	9	1				11
41,95–44,94				4	5	6	1			16
44,95–47,94					5	3				8
47,95–50,94					2	9	3			14
50,95–53,94					2	6	5			13
53,95–56,94						4	2			6
56,95–59,94						2	3			5
59,95–62,94						1		1		2
62,95–65,94							1			1
65,95–68,94										0
68,95–71,94								1		1
Total			6	37	43	36	15	2		139
Âge moyen (années): 6.2										

TABLEAU 40. Résumé des données sur les unités d'élevage et de frai et la production annuelle potentielle estimative de smolts et de saumons de l'Atlantique adultes de la rivière St. Charles. Aucun secteur inaccessible n'a été repéré.

	Secteurs accessibles	
Emplacement	Unités de frai	Unités d'élevage
Axe principal	1 802	5 265
T6	0	912
T7	0	60
Total	1 802	6 237
Production estimative		
Smolts	12 474	
Adultes	1 871	

Rivière Mary's Harbour *N° 7, fig. 6*

La rivière Mary's Harbour (rivière St. Mary's, rivière Trout) coule vers l'est et se jette dans la baie St. Lewis (fig. 10). Son bassin versant est de 414 km^2 (tableau 41). Peet (1968, 1971) l'a divisé en deux parties: le cours supérieur renfermant de grands lacs qui occupent des bassins très boisés entourés de collines onduleuses basses, et le cours inférieur coulant au travers de collines complètement dénudées par des incendies de forêt. Les rapides Steeles, situés à l'embouchure, obstruent partiellement la migration du poisson; des obstacles aux kilomètres 2,6 (chutes White Rock) et 10,0 retardent considérablement la migration en période d'étiage (tableau 42).

Le saumon de l'Atlantique, l'omble arctique, l'omble de fontaine et l'épinoche à trois épines ont été observés dans ce cours d'eau. Backus (1957) signale que ces espèces ont été capturées pendant les expéditions du *Blue Dolphin* au Labrador en 1949 et 1950 (tableau 43). Blair (1943) affirme que la montaison du saumon, surtout composée de madeleineaux, se produit de la fin juillet à la fin août. La pêche à la ligne n'y exerce pas beaucoup de pression car la rivière n'est pas accessible par la route; les pêcheurs à la ligne se rendent par avion nolisé jusqu'aux rivières plus importantes situées au nord de Mary's Harbour. De 1970 à 1980, les prises moyennes de saumon de l'Atlantique par jour de pêche à la ligne ont été de 0,83 (tableau 44). Cette moyenne est élevée comparativement à celle des autres cours d'eau du Labrador. Selon Sollows *et al.* (1953), la pêche à la truite y est également excellente, 145 ombles de fontaine anadromes ayant été capturés par 10 pêcheurs à la ligne en 4 heures. Peet (1968) a évalué que 2 700 à 4 000 saumons de l'Atlantique parviennent à frayer dans la rivière Mary's Harbour chaque année, d'après les données sur la pêche à la ligne. Un autre relevé des aires d'élevage accessibles effectué par l'auteur en 1975 évalue la production potentielle à environ 1 950 saumons adultes (tableau 45). Ces deux estimations révèlent que cette rivière relativement inexploitée a ou devrait avoir une population importante de saumons de l'Atlantique.

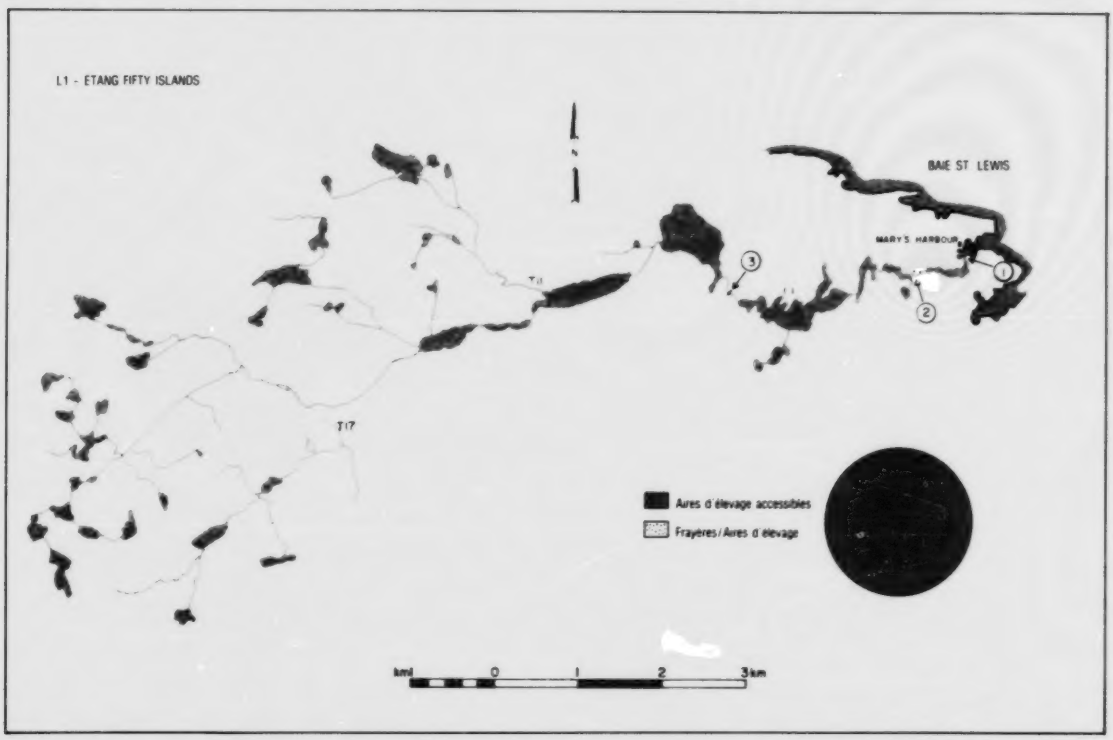

FIG. 10. Carte de la rivière Mary's Harbour montrant les aires d'élevage accessibles au tacon du saumon de l'Atlantique.

TABLEAU 41. Caractéristiques physiques de la rivière Mary's Harbour (rivière St. Mary's, rivière Trout).

Référence cartographique:	Battle Harbour 13A, 3D 1:250 000	Élévation maximale du bassin versant:	305 m
Latitude de l'embouchure:	52°18′N	Longueur réelle de l'axe principal (en suivant les méandres):	48 km
Longitude de l'embouchure:	55°50′W	Longueur totale, y compris des tributaires:	87 km
Direction générale de l'écoulement:	Nord-est	Nombre de tributaires:	27
Superficie du bassin versant:	414 km^2	Formation géologique:	Roches métamorphiques du Précambrien
Largeur moyenne	10 km		
Longueur de l'axe	48 km		
Périmètre du bassin versant	135 km		

TABLEAU 42. Obstacles de la rivière Mary's Harbour.

Renvoi à la figure 10	Emplacement	Distance de l'embouchure (km)	Type	Description			Obstacle au passage du poisson
				Hauteur (m)	Largeur (m)	Pente (°)	
1	Axe principal	0,0	Rapides	—	—	—	Franchissable
2	Axe principal	2,6	Chutes	6,1	3,0	45	Franchissable
3	Axe principal	10,0	Chutes	2,4	—	45	Franchissable

TABLEAU 43. Résumé des données sur les échantillons prélevés lors de l'expédition du *Blue Dolphin* au Labrador, rivière Mary's Harbour, 1949 et 1950 (Backus 1957).

Date de prélèvement	Espèces	Méthode de capture	Nombre d'échantillons	Longueur (mm)
12 juillet 1949	Saumon de l'Atlantique	Seine de 18,6 m	9	102-168
12 juillet 1949	Omble de fontaine	Seine de 18,6 m	4	168-215
12 juillet 1949	Épinoche à trois épines	Seine de 18,6 m	2	58, 66
31 août 1950	Omble arctique	Ligne à pêche à moulinet	1	184

TABLEAU 44. Résumé des données sur la pêche à la ligne au saumon de l'Atlantique, rivière Mary's Harbour, 1964–1980 (Moores *et al.* 1978; Moores et Tucker 1979, 1980, 1981).

Année	Madeleineaux <2,7 kg	Grands saumons ≥2,7 kg	Total	Jours de pêche à la ligne	Prises par jour de pêche à la ligne
1964	161	32	193	160	1,21
1965	130	29	159	259	0,61
1966	88	7	95	50	1,90
1967	78	0	78	48	1,63
1968	23	0	23	27	0,85
1969	—	—	—	—	—
1970	201	5	206	109	1,89
1971	104	6	110	78	1,41
1972	58	2	60	52	1,15
1973	170	0	170	43	3,95
1974	45	0	45	99	0,45
1975	56	1	57	169	0,34
1976	81	11	92	183	0,50
1977	144	1	145	217	0,67
1978	74	0	74	140	0,53
1979	206	0	206	232	0,89
1980	49	5	54	142	0,38
Moyenne					
1964-1968	96	14	110	109	1,01
1970-1980	108	3	111	133	0,83

TABLEAU 45. Résumé des données sur les unités d'élevage et de frai et la production annuelle potentielle estimative de smolts et de saumons de l'Atlantique de la rivière Mary's Harbour. Aucun secteur inaccessible n'a été repéré.

	Secteurs accessibles	
Emplacement	Unités de frai	Unités d'élevage
Axe principal	1 478	5 974
T11	0	300
T17	0	252
Total	1 478	6 526
Production estimative		
Smolts	13 052	
Adultes	1 958	

Rivière St. Lewis

N° 8, fig. 6

La rivière St. Lewis (rivière North East) se jette dans l'inlet du même nom, un estuaire de 30 km de longueur parsemé d'îles et de bancs de sable (fig. 11). Les établissements les plus proches sont Mary's Harbour, Battle Harbour et Fox Harbour, tous situés à l'extérieur de l'inlet, dans la baie St. Lewis. Blair (1943) signale que des étançons (servant d'étais de mine) et du bois à pâte ont été coupés à 8 km de l'embouchure de la rivière et au fond de l'inlet St. Lewis au début des années 30 et pendant les années 40. Millan (1974) a évalué le potentiel hydro-électrique du cours d'eau à 200 MW, ce qui le place au douzième rang parmi toutes les rivières du Labrador étudiées.

La rivière St. Lewis a un bassin versant de 2 590 km^2, comportant un axe principal de 145 km de longueur et 45 tributaires (tableau 46). Le cours inférieur de l'axe principal se caractérise par des gorges et des canyons étroits entourés de collines abruptes décimées par le feu. Ce tronçon comprend trois chutes, la plus en amont obstruant complètement la migration du poisson au kilomètre 26,8 (tableau 47). Plus haut, la rivière alterne entre des gorges et de larges vallées très boisées et renferme trois autres obstacles infranchissables. Au kilomètre 80, elle se sépare en deux bras, et Peet (1968) a découvert d'excellentes frayères dans le bras gauche, soit le tributaire 39 (T39). La pente de la rivière en amont du bras est faible, à l'exception d'un obstacle infranchissable, et les eaux d'amont se composent d'une série de petits étangs et d'eaux calmes.

Selon Sollows *et al.* (1953), le tacons de saumons de l'Atlantique et de truites pullulaient dans le cours inférieur de la rivière St. Lewis en 1953. Un grand nombre d'éperlans fréquentent l'inlet St. Lewis; anciennement on en attrapait pendant l'hiver pour nourrir les hommes et leurs chiens. La pêche à la ligne est peu pratiquée en raison de l'inaccessibilité de la rivière et des berges abruptes de son cours inférieur. Moores *et al.* (1978) ont relevé des captures à la ligne de 8 madeleineaux en 1977. T. Curran (comm. pers.) signale que 12 saumons de l'Atlantique y ont été capturés en 1977. Le poids de ces poissons allait de 1,8 à 3,2 kg et ils ont été pêchés à l'aide de 3 lignes à pêche en deux heures dans un bassin situé à 8 km de l'embouchure de la rivière. D'après un relevé effectué par l'auteur en 1975, les secteurs accessibles de la rivière St. Lewis pourraient produire 4 117 saumons de l'Atlantique adultes par année (tableau 48). Les secteurs inaccessibles ont un potentiel de près de 11 000 saumons adultes, mais le nombre, la difficulté et l'inaccessibilité de ces obstacles rendraient tout projet d'amélioration coûteux et difficile sur le plan technique.

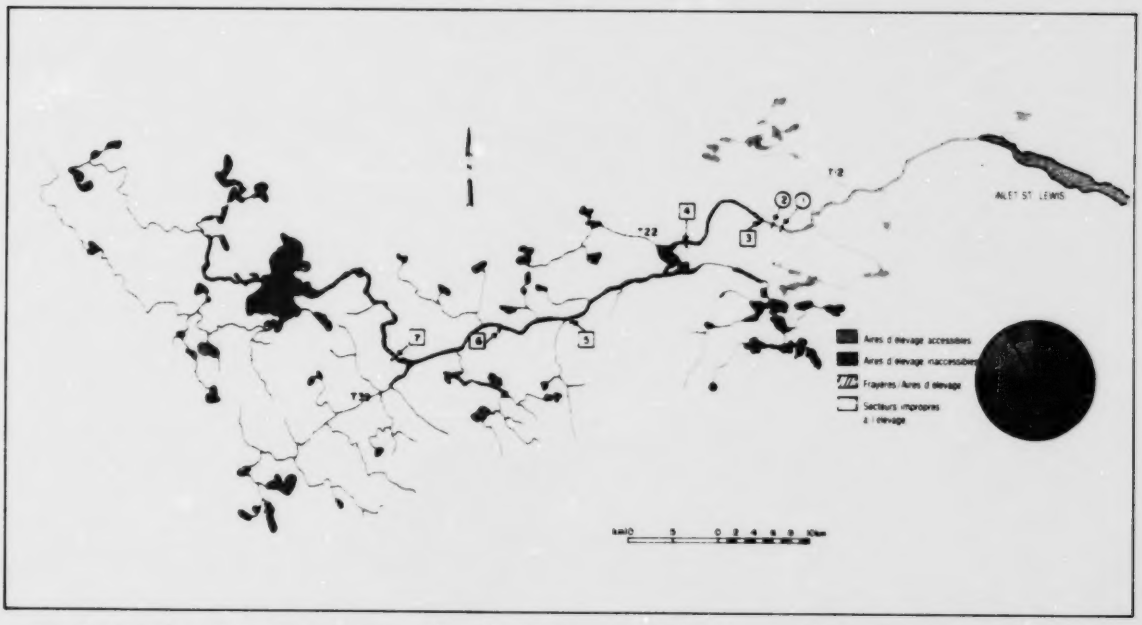

FIG. 11. Carte de la rivière St. Lewis montrant les aires d'élevage accessibles et inaccessibles au tacon du saumon de l'Atlantique.

TABLEAU 46. Caractéristiques physiques de la rivière St. Lewis (rivière North East).

Référence cartographique:	Battle Harbour 13A, 3D 1:250 000	Élévation maximale du bassin versant:	427 m
Latitude de l'embouchure:	52°26′N	Longueur réelle de l'axe principal (en suivant les méandres):	145 km
Longitude de l'embouchure:	56°11′W	Longueur totale, y compris des tributaires:	579 km
Direction générale de l'écoulement:	Nord-est	Nombre de tributaires:	45
Superficie du bassin versant:	2590 km²	Formation géologique:	Roches métamorphiques du Précambrien
Largeur moyenne	24 km		
Longueur de l'axe	99 km		
Périmètre du bassin versant	335 km		

TABLEAU 47. Obstacles de la rivière St. Lewis.

Renvoi à la figure 11	Emplacement	Distance de l'embouchure (km)	Type	Description			Obstacle au passage du poisson
				Hauteur (m)	Largeur (m)	Pente (°)	
1	Axe principal	25,4	Chutes	12,2	—	55	Franchissable
2	Axe principal	25,9	Chutes	3,0	—	75	Franchissable
3	Axe principal	26,8	Chutes	6,1	15,2	45	Infranchissable
4	Axe principal	41,5	Chutes	7,6	15,2	70	Franchissable
5	Axe principal	60,1	Chutes	6,1	15,2	90	Infranchissable
6	Axe principal	70,0	Chutes (3)	9,1	—	90	Infranchissable
7	Axe principal	82,3	Chutes	6,1	15,2	90	Infranchissable

TABLEAU 48. Résumé des données sur les unités d'élevage et de frai et la production annuelle potentielle estimative de smolts et de saumons de l'Atlantique adultes de la rivière St. Lewis.

Emplacement	Secteurs accessibles		Secteurs inaccessibles	
	Unités de frai	Unités d'élevage	Unités de frai	Unités d'élevage
Axe principal	5 613	13 603	6 333	28 076
T12	0	120	0	0
T22	0	0	55	380
T39	0	0	4 069	7 358
Total	5 613	13 723	10 457	35 814
Production estimative				
Smolts	27 446		71 628	
Adultes	4 117		10 744	

Ruisseau Notleys *N° 9, fig. 6*

Le ruisseau Notleys est un petit cours d'eau qui coule en direction nord pour se jeter dans la baie Alexis, à 8 km de la collectivité de Port Hope Simpson (fig. 12). Son bassin versant a une superficie de 46 km^2 et l'axe *principal est alimenté par sept tributaires. Le tableau 49 donne les caractéristiques* physiques du bassin versant; nous ne disposons d'aucun autre renseignement sur ce cours d'eau ou ses populations de poissons.

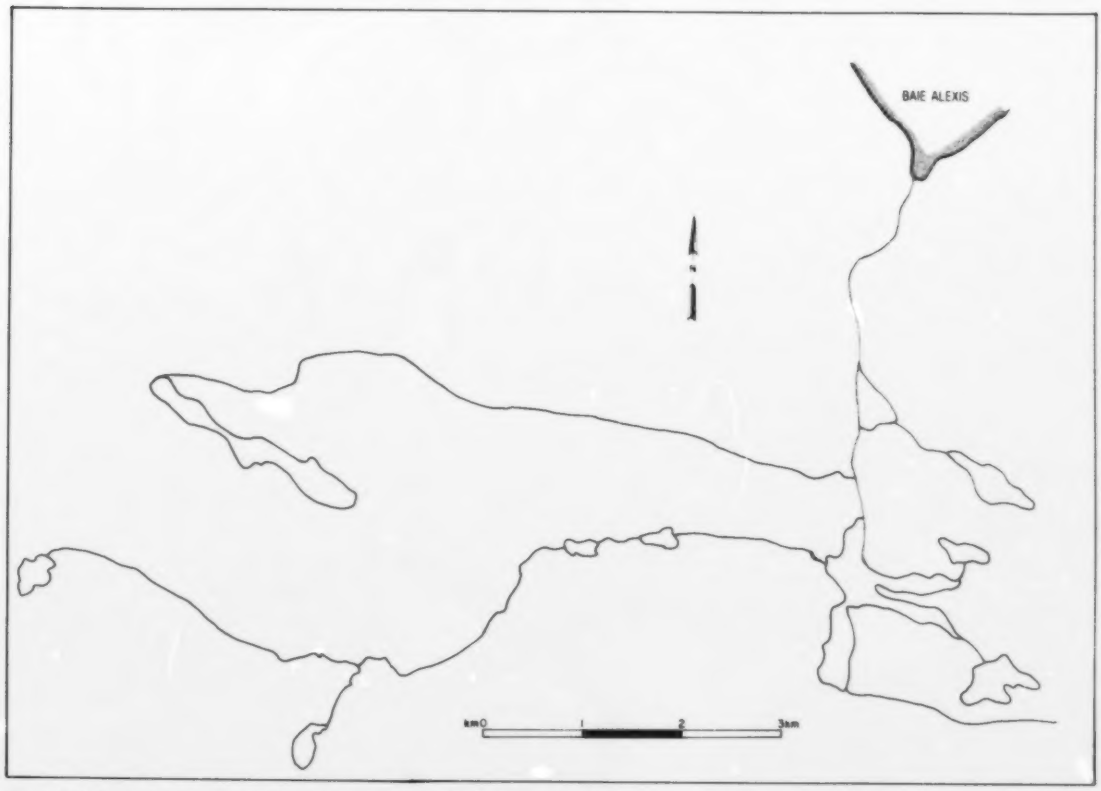

FIG. 12. Carte du ruisseau Notleys (n'ayant pas fait l'objet de relevés).

TABLEAU 49. Caractéristiques physiques du ruisseau Notleys.

Référence cartographique:	Battle Harbour 13A, 3D 1:250 000	Élévation maximale du bassin versant:	183 m
Latitude de l'embouchure:	52°32′N	Longueur réelle de l'axe principal (en suivant les méandres):	6 km
Longitude de l'embouchure:	56°10′W	Longueur totale, y compris des tributaires:	29 km
Direction générale de l'écoulement:	Nord	Nombre de tributaires:	7
Superficie du bassin versant:	46 km^2	Formation géologique:	Gneiss
Largeur moyenne	18 km		
Longueur de l'axe	11 km		
Périmètre du bassin versant	32 km		

Ruisseau Bobbys

N° 10, fig. 6

Le ruisseau Bobbys, qui coule vers le nord-ouest, se jette dans la baie Alexis à 5 km à l'ouest de Port Hope Simpson, village permanent situé sur la rive sud de l'inlet (fig. 13). Le flottage du bois y a déjà été pratiqué mais, depuis quelques années, des routes d'accès à la rivière, près du Grand étang Bobbys (L2), servent au transport du bois à Port Hope Simpson. En 1975, un incendie de forêt majeur a détruit la plus grande partie du bois et entraîné l'évacuation partielle de cette collectivité. En 1967, la Bowaters (Nfld.) Ltd. a entrepris la première expérience à être faite à Terre-Neuve afin d'évaluer l'efficacité du DDT comme larvicide de la mouche noire et le MPO a surveillé les effets du produit sur la vie aquatique dans le ruisseau. Les ombles de fontaine sont morts rapidement et l'expérience a été interrompue après deux semaines (Hatfield 1968).

Le bassin versant du ruisseau Bobbys, d'une étendue de 245 km^2 (tableau 50), a fait l'objet d'une exploitation forestière jusqu'à l'incendie de 1975 qui a tout ravagé sauf le bassin supérieur, en amont du Grand étang Bobbys (L2). Le cours d'eau a deux obstacles qui barrent partiellement la migration du poisson, le premier à l'embouchure et l'autre au kilomètre 5,2. Des chutes verticales de 6,1 m rendent le ruisseau infranchissable immédiatement en aval de l'étang tributaire Bobbys (L1), au kilomètre 7,5 (tableau 51).

La seule espèce de poisson dulçaquicole signalée par Hatfield (1968) était l'omble de fontaine. Le tronçon situé en aval du premier obstacle infranchissable, non échantillonné par Hatfield, pourrait être fréquenté par une petite population de saumons de l'Atlantique même si l'incendie de 1975 a complètement dénudé les berges et recouvert le lit de cendres et de tisons. Les estimations établies à partir du relevé effectué par l'auteur en 1975 révèlent que la production potentielle des secteurs accessibles est de 2 720 smolts de saumons de l'Atlantique et de 1 282 dans les secteurs inaccessibles (tableau 52). La production de saumons adultes est évaluée à 408.

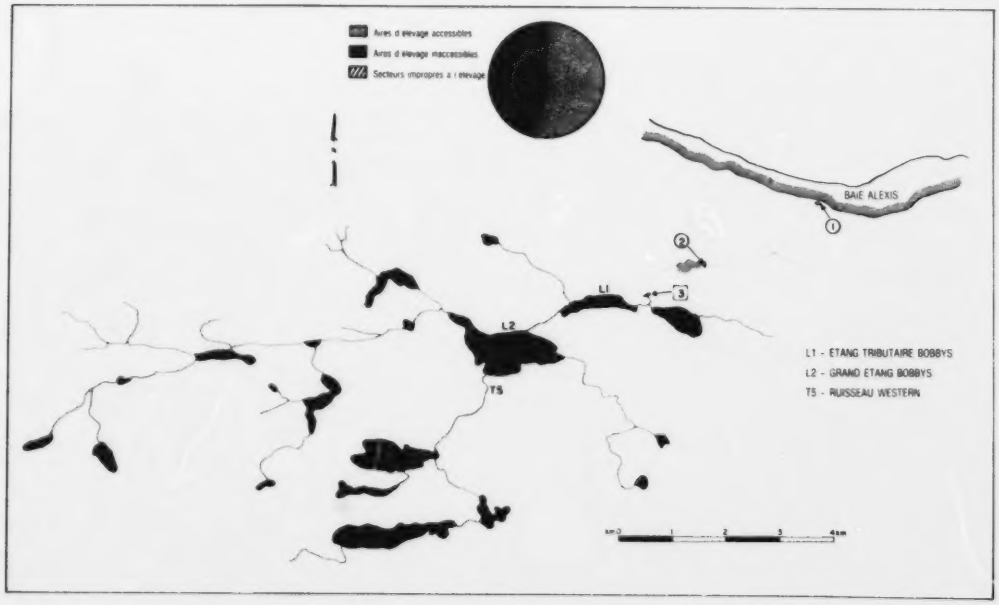

FIG. 13. Carte du ruisseau Bobbys montrant les aires d'élevage accessibles et inaccessibles au tacon du saumon de l'Atlantique.

TABLEAU 50. Caractéristiques physiques du ruisseau Bobbys.

Référence cartographique:	Battle Harbour 13A, 3D 1:250 000	Élévation maximale du bassin versant:	214 m
Latitude de l'embouchure:	52°34′N	Longueur réelle de l'axe principal (en suivant les méandres):	31 km
Longitude de l'embouchure:	56°25′W	Longueur totale, y compris des tributaires:	92 km
Direction générale de l'écoulement:	Nord-est	Nombre de tributaires:	54
Superficie du bassin versant:	245 km^2	Formation géologique:	Gneiss
Largeur moyenne	9 km		
Longueur de l'axe	30 km		
Périmètre du bassin versant	79 km		

TABLEAU 51. Obstacles du ruisseau Bobbys.

Renvoi à la figure 13	Emplacement	Distance de l'embouchure (km)	Type	Description			Obstacle au passage du poisson
				Hauteur (m)	Largeur (m)	Pente (°)	
1	Axe principal	0,0	Chutes	3,0	15,2	65	Franchissable
2	Axe principal	5,2	Chutes	1,5	—	60	Franchissable
3	Axe principal	7,5	Chutes	6,1	6,1	90	Infranchissable

TABLEAU 52. Résumé des données sur les unités d'élevage et de frai et la production annuelle potentielle estimative de smolts et de saumons de l'Atlantique adultes du ruisseau Bobbys.

Emplacement	Secteurs accessibles		Secteurs inaccessibles	
	Unités de frai	Unités d'élevage	Unités de frai	Unités d'élevage
Axe principal	0	1360	0	407
T5	0	0	0	234
Total	0	1360	0	641
Production estimative				
Smolts		2720		1282
Adultes		408		192

Rivière Alexis *N° 11, fig. 6*

La rivière Alexis, la troisième en importance dans le sud du Labrador, coule vers l'est sur près de 100 km pour se jeter dans la baie Alexis, un inlet s'étendant sur 37 km jusqu'à la mer du Labrador (fig. 14). Port Hope Simpson, collectivité de 581 habitants (Statistique Canada 1981) qui vivent de la pêche en été et d'un peu d'exploitation forestière en hiver, est située sur la côte sud de la baie Alexis. Millan (1974) signale, à la suite d'un relevé des sites éventuels d'aménagement hydro-électrique, que le potentiel utilisable de la rivière est de 143 MW, la classant au seizième rang des principaux cours d'eau du Labrador qu'il a étudiés. La faune pullule dans les eaux d'amont et les trappeurs empruntaient autrefois la rivière pour gagner les tronçons supérieurs et s'y procurer des fourrures de prix.

L'axe principal de la rivière Alexis a une longueur de 97 km. Il est alimenté par 40 tributaires et draine un bassin de plus de 3 100 km^2 (tableau 53). L'embouchure de la rivière est occupée par des bancs de vase et de sable dispersés entre plusieurs petites îles. En amont de l'embouchure, la rivière serpente dans une large vallée sur environ 30 km jusqu'à ce que son chenal rétrécisse. Aux kilomètres 30,0 et 32,8 des obstacles bloquent partiellement la migration du poisson. Au kilomètre 38,3 (tableau 54), des chutes verticales de 3,0 m empêchent le poisson d'aller plus loin. Blair (1943) et Peet (1968) ont tous deux décrit ces chutes d'amont et conclu que les poissons pourraient peut-être finir par les franchir, non sans grande difficulté, mais l'auteur, après un relevé effectué en 1975, les a classées comme infranchissables. D'autres obstacles de ce genre sont situés à l'embouchure et dans les tronçons supérieurs du tributaire 17 (T17) et dans le tributaire 37 (T37). Le reste de la rivière Alexis traverse un plateau ondulé en pente douce et recouvert de peuplements forestiers matures par endroits et d'étendues planes de marécages et de lichens à d'autres. Peet (1971) a relevé la présence de frayères éventuelles dans les eaux d'amont des tributaires 15, 17, 27 et 29 (T15, T17, T27 et T29).

Le saumon de l'Atlantique et l'omble de fontaine duçaquicole et anadrome sont les espèces de poissons signalées dans la rivière Alexis. Pendant les années 30 et 40, les employés de la Labrador Development Company Ltd. y ont pêché un grand nombre d'ombles anadromes et de saumons (T. Curran, comm. pers.). Par contre, Sollows *et al.* (1953) considèrent ce cours d'eau tout à fait impropre à la pêche à la ligne. Il n'existe que des relevés partiels de l'effort de pêche et des prises à la ligne de saumon de l'Atlantique (Moores *et al.* 1978), relevés qui ont été joints à ceux du ruisseau Shinneys et de la rivière Gilbert. Selon T. Curran (comm. pers.), la majeure partie des prises à la ligne et de l'effort de pêche (tableau 55) touche ces deux derniers cours d'eau. Peet (1968)

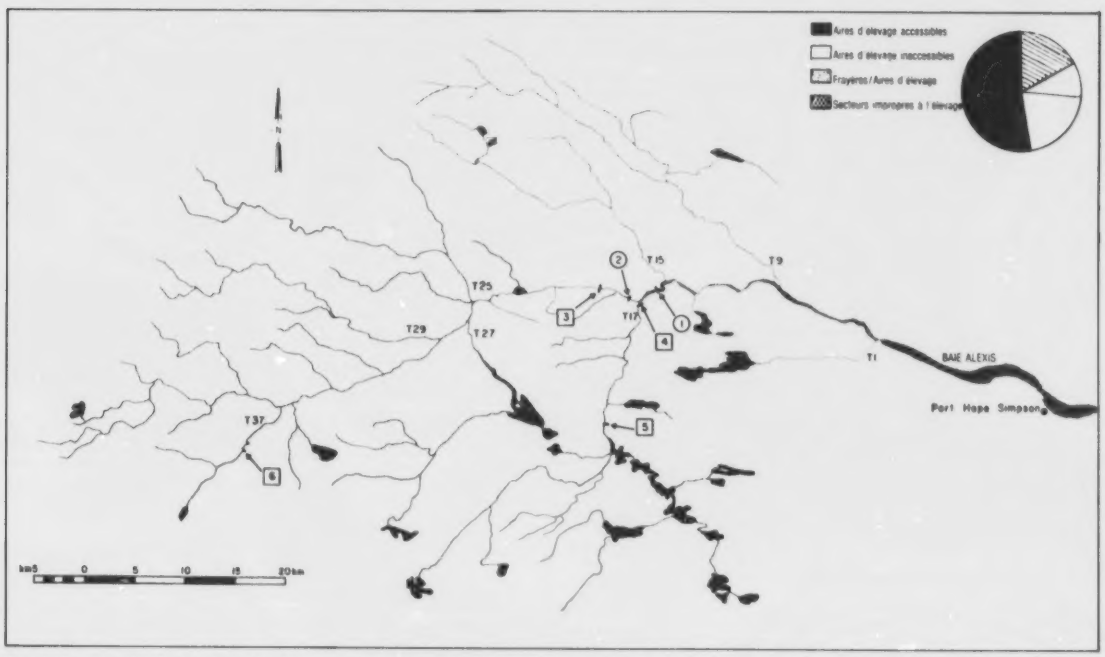

FIG. 14. Carte de la rivière Alexis montrant les aires d'élevage accessibles et inaccessibles au tacon du saumon de l'Atlantique.

TABLEAU 53. Caractéristiques physiques de la rivière Alexis.

Référence cartographique:	Battle Harbour 13A, 3D 1:250 000	Élévation maximale du bassin versant:	485 m
Latitude de l'embouchure:	52°33′N	Longueur réelle de l'axe principal (en suivant les méandres):	97 km
Longitude de l'embouchure:	56°08′W	Longueur totale, y compris des tributaires:	611 km
Direction générale de l'écoulement:	Est	Nombre de tributaires:	40
Superficie du bassin versant:	3160 km²	Formation géologique:	Roches métamorphiques du Précambrien
Largeur moyenne	35 km		
Longueur de l'axe	95 km		
Périmètre du bassin versant	335 km		

TABLEAU 54. Obstacles de la rivière Alexis.

Renvoi à la figure 14	Emplacement	Distance de l'embouchure (km)	Type	Description			Obstacle au passage du poisson
				Hauteur (m)	Largeur (m)	Pente (°)	
1	Axe principal	30,0	Chutes	6,1	—	45	Franchissable
2	Axe principal	32,8	Chutes	2,4	15,2	90	Franchissable
3	Axe principal	38,3	Chutes	3,0	6,1	90	Infranchissable
4	T17	0,6	Chutes (2)	12,2	15,2	75	Infranchissable
5	T17	12,7	Chutes	9,1	3,0	90	Infranchissable
6	T37	4,4	Chutes	4,6	—	90	Infranchissable

TABLEAU 55. Résumé de toutes les données sur la pêche au saumon de l'Atlantique dans la rivière Alexis, le ruisseau Shinneys et la rivière Gilbert, 1964–1980 (Moores *et al.* 1978; Moores et Tucker 1979, 1980, 1981).

Année	Madeleineaux <2,7 kg	Grands saumons ≥2,7 kg	Total	Jours de pêche à la ligne	Prises par jour de pêche à la ligne
1964	41	0	41	15	2,73
1965	10	0	10	18	0,56
1966	—	—	—	—	—
1967	—	—	—	—	—
1968	23	0	23	23	1,00
1969	—	—	—	—	—
1970	—	—	—	—	—
1971	—	—	—	—	—
1972	—	—	—	—	—
1973	109	0	109	85	1,28
1974	187	2	189	178	1,06
1975	12	0	12	27	0,44
1976	63	0	63	110	0,57
1977	61	8	69	78	0,88
1978	22	0	22	82	0,27
1979	9	0	9	42	0,21
1980	43	0	43	46	0,93
Moyenne	53	1	54	64	0,84

signale qu'un habitant de Port Hope Simpson a pratiqué la pêche commerciale à l'omble et que plusieurs autres en ont attrapé au filet à des fins de consommation domestique. D'après un relevé effectué par l'auteur en 1975, les secteurs accessibles de la rivière Alexis pourraient produire 2 676 saumons de l'Atlantique adultes par année (tableau 56). Les secteurs inaccessibles ont une production annuelle potentielle de 6 457 saumons de l'Atlantique adultes.

TABLEAU 56. Résumé des données sur les unités d'élevage et de frai et la production annuelle potentielle estimative de smolts et de saumons de l'Atlantique adultes de la rivière Alexis.

	Secteurs accessibles		Secteurs inaccessibles	
Emplacement	Unités de frai	Unités d'élevage	Unités de frai	Unités d'élevage
Axe principal	0	4 578	2 890	11 581
T1	66	366	0	0
T9	2 218	2 970	0	0
T15	202	915	0	0
T17	0	90	3 163	5 864
T25	0	0	0	204
T27	0	0	466	2 124
T29	0	0	79	1 353
T37	0	0	0	396
Total	2 486	8 919	6 598	21 522
Production estimative				
Smolts	17 838		43 044	
Adultes	2 676		6 457	

Ruisseau Shinneys *N° 12, fig. 6*

Le ruisseau Shinneys coule en direction sud-est dans un chenal étroit appelé « The Pass » entre les baies Alexis et Gilbert (fig. 15). Port Hope Simpson, situé à 20 km au sud-ouest, est le village le plus proche de ce cours d'eau isolé.

Le bassin versant du ruisseau Shinneys est très boisé et a une superficie de 313 km^2 (tableau 57). Les rives des eaux d'amont sont étroites et peuplées d'aulnes. Même si Blair (1943) a noté que les eaux d'amont rejoignent le cours supérieur de la rivière Gilbert, l'auteur et T. Curran (comm. pers.) ne sont pas d'accord avec lui. Le cours d'eau serpente lentement à partir de cette source à travers une étroite vallée fluviale anciennement boisée. Les eaux sont souvent obstruées par des barrages de castors. Quatre grands lacs sont situés dans les cours moyen et inférieur et reliés par de larges tronçons dont le lit est parsemé de blocs et de moellons. En aval du plus grand lac, une section d'eau vive mène à l'océan. C'est là que se trouve le seul obstacle à la migration du poisson, une chute de 4,6 m qui retarde la montaison pendant les périodes d'étiage (tableau 58).

Le saumon de l'Atlantique, l'omble de fontaine dulçaquicole et anadrome, l'omble arctique et l'épinoche à trois épines sont les espèces de poissons observées dans le ruisseau Shinneys. Même si Peet (1968) estime que la population de poissons se compose principalement d'ombles arctiques et de populations plus petites d'ombles de fontaine et de madeleineaux de saumon de l'Atlantique, T. Curran (comm. pers.) signale que l'omble de fontaine anadrome y est l'espèce la plus abondante. Un omble arctique de 54 cm de longueur et de 1,8 kg a été capturé en 1967 près de l'embouchure. Un examen a permis d'établir que le poisson était une femelle immature âgée, d'après ses écailles, d'au moins six ans.

Des statistiques sur l'effort de pêche à la ligne et les prises ont été recueillies à intervalles dans le ruisseau Shinneys depuis 1964 (tableau 59). Ces données sont combinées à celles obtenues dans les rivières Alexis et Gilbert, même si la majorité d'entre elles proviendraient du ruisseau Shinneys et de la rivière Gilbert (T. Curran, comm. pers.). Ce cours d'eau attire beaucoup de braconniers en raison de son inaccessibilité et des obstacles

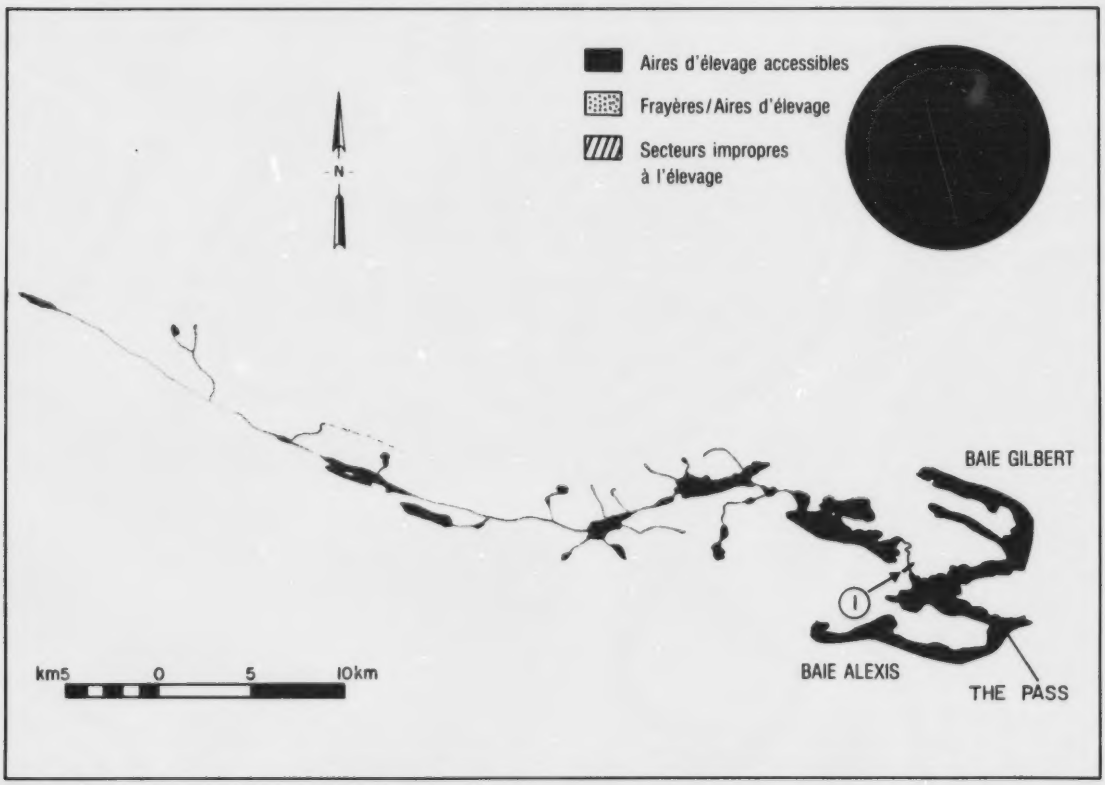

FIG. 15. Carte du ruisseau Shinneys montrant les aires d'élevage accessibles au tacon du saumon de l'Atlantique.

situés à son embouchure. Sollows *et al.* (1953) signalent qu'un seul pêcheur a capturé, en 1952, 28 barils (un baril équivaut à 100 kg) d'ombles de fontaine et de madeleineaux avec un épervier dans une mare juste en aval de l'obstacle susmentionné. Peet (1968) souligne que des avertissements ont été affichés afin de protéger la mare et qu'un service régulier de protection a été mis sur pied; toutefois, l'inaccessibilité de ce cours d'eau empêche toute surveillance adéquate.

D'après la superficie des aires d'élevage accessibles, l'auteur estime, à partir d'un relevé effectué en 1975, que la production annuelle potentielle du ruisseau Shinneys est de 306 saumons adultes (tableau 60). Selon les renseignements fournis par le personnel régional de la Division de la gestion des ressources du MPO, ce chiffre est très modeste.

TABLEAU 57. Caractéristiques physiques du ruisseau Shinneys.

Référence cartographique:	Battle Harbour 13A, 3D 1:250 000	Élévation maximale du bassin versant:	214 m
Latitude de l'embouchure:	52°35′N	Longueur réelle de l'axe principal (en suivant les méandres):	56 km
Longitude de l'embouchure:	56°03′W	Longueur totale, y compris des tributaires:	76 km
Direction générale de l'écoulement:	Sud-est	Nombre de tributaires:	14
Superficie du bassin versant:	313 km^2	Formation géologique:	Roches métamorphiques du Précambrien
Largeur moyenne	4 km		
Longueur de l'axe	52 km		
Périmètre du bassin versant	116 km		

TABLEAU 58. Obstacles du ruisseau Shinneys.

Renvoi à la figure 15	Emplacement	Distance de l'embouchure (km)	Type	Description			Obstacle au passage du poisson
				Hauteur (m)	Largeur (m)	Pente (°)	
1	Axe principal	0,9	Chutes	4,6	—	45	Franchissable

TABLEAU 59. Résumé de toutes les données sur la pêche à la ligne du saumon de l'Atlantique dans le ruisseau Shinneys, la rivière Alexis et la rivière Gilbert, 1964-1980 (Moores *et al.* 1978; Moores et Tucker 1979, 1980, 1981).

Année	Madeleineaux <2,7 kg	Grands saumons ≥2,7 kg	Total	Jours de pêche à la ligne	Prises par jour de pêche à la ligne
1964	41	0	41	15	2,73
1965	10	0	10	18	0,56
1966	—	—	—	—	—
1967	—	—	—	—	—
1968	23	0	23	23	1,00
1969	—	—	—	—	—
1970	—	—	—	—	—
1971	—	—	—	—	—
1972	—	—	—	—	—
1973	109	0	109	85	1,28
1974	187	2	189	178	1,06
1975	12	0	12	27	0,44
1976	63	0	63	110	0,57
1977	61	8	69	78	0,88
1978	22	0	22	82	0,27
1979	9	0	9	42	0,21
1980	43	0	43	46	0,93
Moyenne	53	1	54	64	0,84

TABLEAU 60. Résumé des données sur les unités d'élevage et de frai et la production annuelle potentielle estimative de smolts et de saumons de l'Atlantique adultes du ruisseau Shinneys. Aucun secteur inaccessible n'y a été repéré.

	Secteurs accessibles	
Emplacement	Unités de frai	Unités d'élevage
Axe principal	390	1020
Total	390	1020
Production estimative		
Smolts	2040	
Adultes	306	

Rivière Gilbert *N° 13, fig. 6*

La rivière Gilbert coule en direction sud-est pour se jeter dans la baie du même nom, un inlet étroit s'étendant sur 30 km jusqu'à la mer du Labrador (fig. 16). Un camp de pêche sportive est situé à son embouchure. Elle se caractérise par de longs lacs étroits et de nombreux affluent courts, son bassin versant étant de 642 km^2 (tableau 61). Le premier lac, le lac Gilbert (L1), est situé à 3 km en amont de l'embouchure et a une superficie de près de 1 300 ha. Le deuxième lac (L2), de 648 ha, se jette directement dans le lac Gilbert. Entre le deuxième lac et l'étang Jefferies (L3), soit sur une distance de 15 km, la rivière renferme de nombreux secteurs caractérisés par des eaux calmes et des frayères (Murphy 1972a). En amont de l'étang Jefferies, la rivière est formée d'eaux calmes et de marécages; ses eaux d'amont comportent de nombreux petits tributaires alimentant l'axe principal étroit. Le tronçon et les lacs des cours moyen et inférieur sont entourés de forêts denses d'épinettes noires et de sapins baumiers tandis que, plus en amont, à partir de l'étang Jefferies, les rives sont recouvertes d'une végétation marécageuse et d'arbustes; des incendies y ont détruit le couvert forestier (Peet 1968).

Une chute verticale de 6,1 m située à l'embouchure de la rivière Gilbert (tableau 62) est le seul obstacle à la migration du poisson. Le degré d'obstruction de ces chutes a longtemps fait l'objet de controverses. Blair (1943) a reçu des rapports affirmant que le saumon et l'omble sautaient les chutes. D'après Sollows *et al.* (1953), les gens de l'endroit qui ont été interrogés soutiennent que le saumon ne peut dépasser les chutes; Peet (1968) estime que celles-ci empêchent complètement la migration du poisson. Murphy (1972a) les classe comme un obsta-

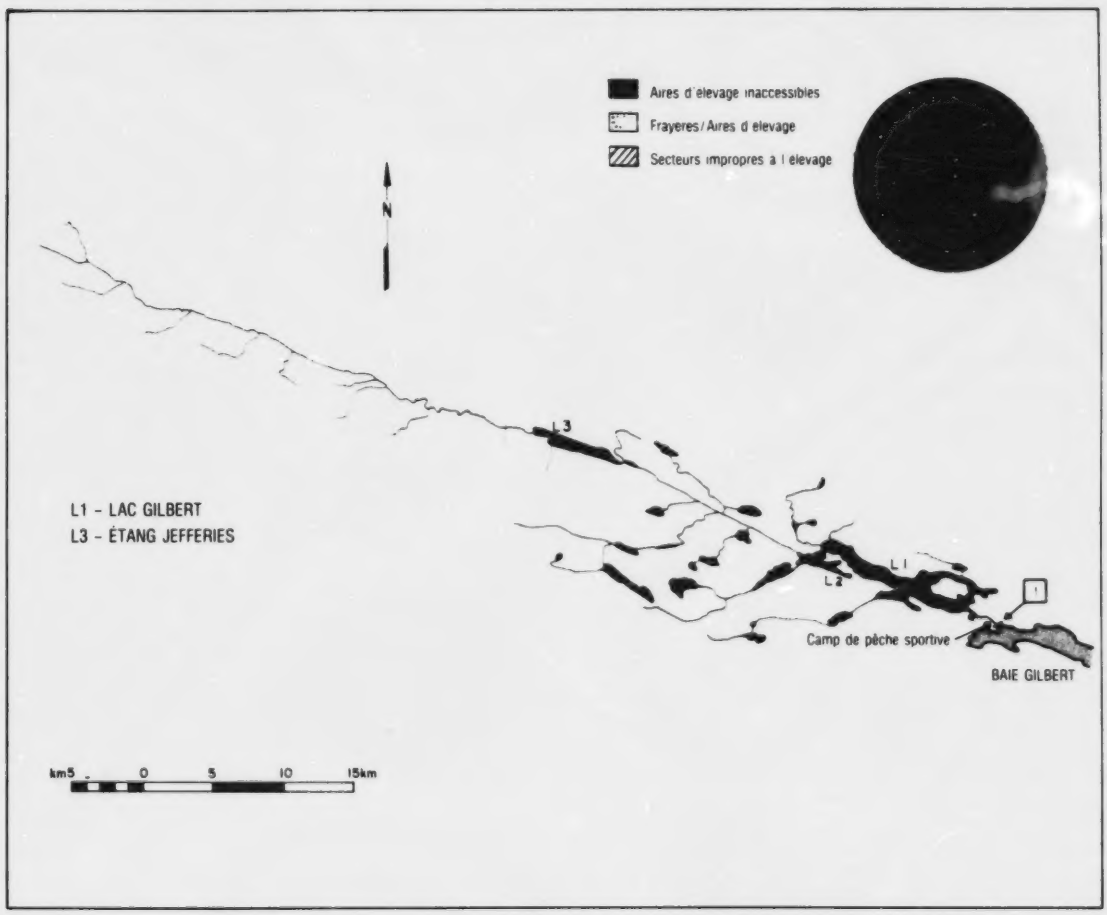

FIG. 16. Carte de la rivière Gilbert montrant les aires d'élevage inaccessibles au tacon du saumon de l'Atlantique.

cle infranchissable, mais il n'est pas certain que le poisson ne puisse les remonter pendant de fortes marées. Elles seront considérées comme un obstacle infranchissable jusqu'à ce que des preuves concluantes de la présence de poissons anadromes en amont soient obtenues. À partir de résultats d'une étude technique effectuée par le personnel du MPO en 1973, il a été estimé qu'il serait possible de rendre les chutes accessibles en les dynamitant à un coût de 10 000 $, tandis que la construction d'une échelle à poissons, méthode plus souhaitable, coûterait 200 000 $.

Blair (1943) signale la présence de saumons et de madeleineaux dans la rivière Gilbert. Ce cours d'eau est inscrit à l'annexe du Règlement de pêche de Terre-Neuve depuis 1974 même si toutes les activités de pêche à la ligne au saumon de l'Atlantique se déroulent en aval des chutes, dans l'estuaire. Les données sur l'effort de pêche à la ligne et les prises sont combinées à celles de la rivière Alexis et du ruisseau Shinneys, même si la majeure partie des données provient du ruisseau Shinneys et de la rivière Gilbert (T. Curran, comm. pers.). Le tableau 63 présente les données des années où un rapport a été rédigé. Un échantillon de 27 madeleineaux et d'un grand saumon a été prélevé dans les prises de 1974; la détermination de l'âge par les écailles révèle que 67 % de ces poissons sont devenus smolts après leur cinquième année en eau douce, 26 % après leur quatrième année et 7 % après leur sixième année (tableau 64). Murphy (1972a) estime la production annuelle potentielle de la rivière Gilbert à près de 6 500 smolts de saumons de l'Atlantique, qui pourraient produire 971 saumons adultes (tableau 65).

TABLEAU 61. Caractéristiques physiques de la rivière Gilbert.

Référence cartographique:	Battle Harbour 13A, 3D 1:250 000	Élévation maximale du bassin versant:	366 m
Latitude de l'embouchure:	52°39′N	Longueur réelle de l'axe principal (en suivant les méandres):	81 km
Longitude de l'embouchure:	56°06′W	Longueur totale, y compris des tributaires:	132 km
Direction générale de l'écoulement:	Sud-est	Nombre de tributaires:	30
Superficie du bassin versant:	642 km²	Superficie des lacs de plus de 100 ha:	
Largeur moyenne	8 km	L1, lac Gilbert	1296 ha
Longueur de l'axe	76 km	L2	648 ha
Périmètre du bassin versant	167 km	L3, lac Jefferies	829 ha
		Formation géologique:	Roches métamorphiques du Précambrien

TABLEAU 62. Obstacles de la rivière Gilbert (Murphy 1972a).

Renvoi à la figure 16	Emplacement	Distance de l'embouchure (km)	Type	Description			Obstacle au passage du poisson
				Hauteur (m)	Largeur (m)	Pente (°)	
1	Axe principal	0,0	Chutes	6,1	—	90	Infranchissable

TABLEAU 63. Résumé de toutes les données sur la pêche à la ligne du saumon de l'Atlantique dans la rivière Gilbert, la rivière Alexis et le ruisseau Shinneys, 1964–1980 (Moores *et al.* 1978; Moores et Tucker 1979, 1980, 1981).

Année	Madeleineaux <2,7 kg	Grands saumons ≥2,7 kg	Total	Jours de pêche à la ligne	Prises par jour de pêche à la ligne
1964	41	0	41	15	2,73
1965	10	0	10	18	0,56
1966	—	—	—	—	—
1967	—	—	—	—	—
1968	23	0	23	23	1,00
1969	—	—	—	—	—
1970	—	—	—	—	—
1971	—	—	—	—	—
1972	—	—	—	—	—
1973	109	0	109	85	1,28
1974	187	2	189	178	1,06
1975	12	0	12	27	0,44
1976	63	0	63	110	0,57
1977	61	8	69	78	0,88
1978	22	0	22	82	0,27
1979	9	0	9	42	0,21
1980	43	0	43	46	0,93
Moyenne	53	1	54	64	0,84

TABLEAU 64. Rapport des sexes (% de F), âge et poids du saumon de l'Atlantique prélevé dans les prises des pêcheurs à la ligne, juillet et août 1974, estuaire de la rivière Gilbert (MPO, données inédites).

	Madeleineaux						Saumons dibermarins			
	Femelles		Nombre d'années passées en eau douce		Poids (g)		Femelles		Nombre d'années passées en eau douce	
	%	*n*	an	*n*	$\bar{x}$	*n*	%	*n*	an	*n*
	57,1	7	4	7	2173	7				
	61,1	18	5	18	2194	3	0,0	1	5	1
	50,0	2	6	2						
		27		27		10		1		1
Moyenne	59,2		4,8		2179		0,0		5	

TABLEAU 65. Résumé des données sur les unités d'élevage et de frai et la production annuelle potentielle estimative de smolts et de saumons de l'Atlantique adultes de la rivière Gilbert (Murphy 1972a)

	Secteurs accessibles		Secteurs inaccessibles	
Emplacement	Unités de frai	Unités d'élevage	Unités de frai	Unités d'élevage
Axe principal	0	0	283	3238
Total	0	0	283	3238
Production estimative				
Smolts		0		6476
Adultes		0		971

Rivière 14 (sans nom) *N° 14, fig. 6*

Cette rivière coule en direction nord-est pour se jeter dans le passage White Bear (fig. 17). Son bassin versant est recouvert de forêts d'épinettes noires, et une petite scierie a déjà été exploitée à son embouchure. Il couvre une superficie de près de 100 km^2 (tableau 66) et renferme plusieurs lacs et étangs, le plus grand étant l'étang Seven Mile (L1), situé plus en amont, dans l'axe principal de la rivière.

Le cours inférieur de l'axe principal comprend deux chutes qui ne sont pas considérées comme des obstacles infranchissables (tableau 67). Murphy (1972a) considère que les aires d'élevage sont adéquates pour l'omble de fontaine, bien qu'il puisse y avoir une petite montaison de saumons de l'Atlantique. À partir d'un relevé qu'il a lui-même effectué, Murphy a évalué la production annuelle de smolts de saumons de l'Atlantique à 4 256. Le taux ultérieur de survie en mer devrait donner lieu à une production de 638 saumons adultes (tableau 68).

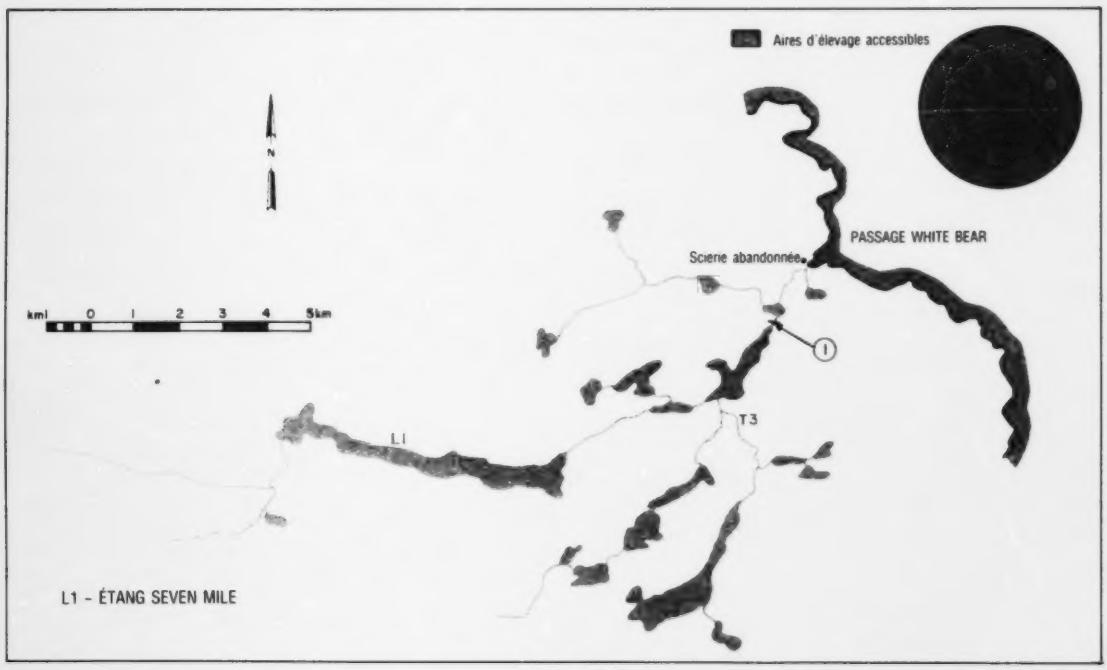

FIG. 17. Carte de la rivière 14 (sans nom) montrant les aires d'élevage accessibles au tacon du saumon de l'Atlantique.

TABLEAU 66. Caractéristiques physiques de la rivière 14.

Référence cartographique:	Battle Harbour 13A, 3D 1:250 000	Élévation maximale du bassin versant:	153 m
Latitude de l'embouchure:	52°48′N	Longueur réelle de l'axe principal (en suivant les méandres):	16 km
Longitude de l'embouchure:	55°12′W	Longueur totale, y compris des tributaires:	42 km
Direction générale de l'écoulement:	Nord-est	Nombre de tributaires:	5
Superficie du bassin versant:	98 km^2	Formation géologique:	Roches intrusives acides du Précambrien
Largeur moyenne	5 km		
Longueur de l'axe	11 km		
Périmètre du bassin versant	52 km		

TABLEAU 67. Obstacles de la rivière 14 (Murphy 1972a).

Renvoi à la figure 17	Emplacement	Distance de l'embouchure (km)	Type	Description			Obstacle au passage du poisson
				Hauteur (m)	Largeur (m)	Pente (°)	
1	Axe principal	1,6	Chutes (2)	—	—	—	Franchissable

TABLEAU 68. Résumé des données sur les unités d'élevage et de frai et la production annuelle potentielle estimative de smolts et de saumons de l'Atlantique adultes de la rivière 14 (Murphy 1972a). Aucun secteur inaccessible n'y a été repéré.

Emplacement	Secteurs accessibles	
	Unités de frai	Unités d'élevage
Axe principal	0	1104
T3	0	1024
Total	0	2128
Production estimative		
Smolts	4256	
Adultes	638	

Rivière White Bear Arm *N° 15, fig. 6*

Cette rivière coule vers le sud-est pour se jeter dans le passage White Bear (fig. 18). La végétation des environs se compose surtout d'épinettes noires qui approvisionnent une petite scierie exploitée près de l'embouchure.

Le bassin versant, d'une superficie de 233 km^2 (tableau 69), se caractérise par des étangs et des lacs petits et nombreux reliés par des tronçons d'eau vive. On n'y trouve aucun obstacle à la migration du poisson (Murphy 1972a). Nous ne disposons d'aucune donnée sur les espèces de poisson, mais l'omble de fontaine et le saumon de l'Atlantique la fréquentent probablement. Murphy (1972a) a évalué le potentiel de cette rivière à plus de 8 000 smolts par année; leur taux de survie en mer donnerait lieu à une production de 1 216 saumons de l'Atlantique adultes (tableau 70).

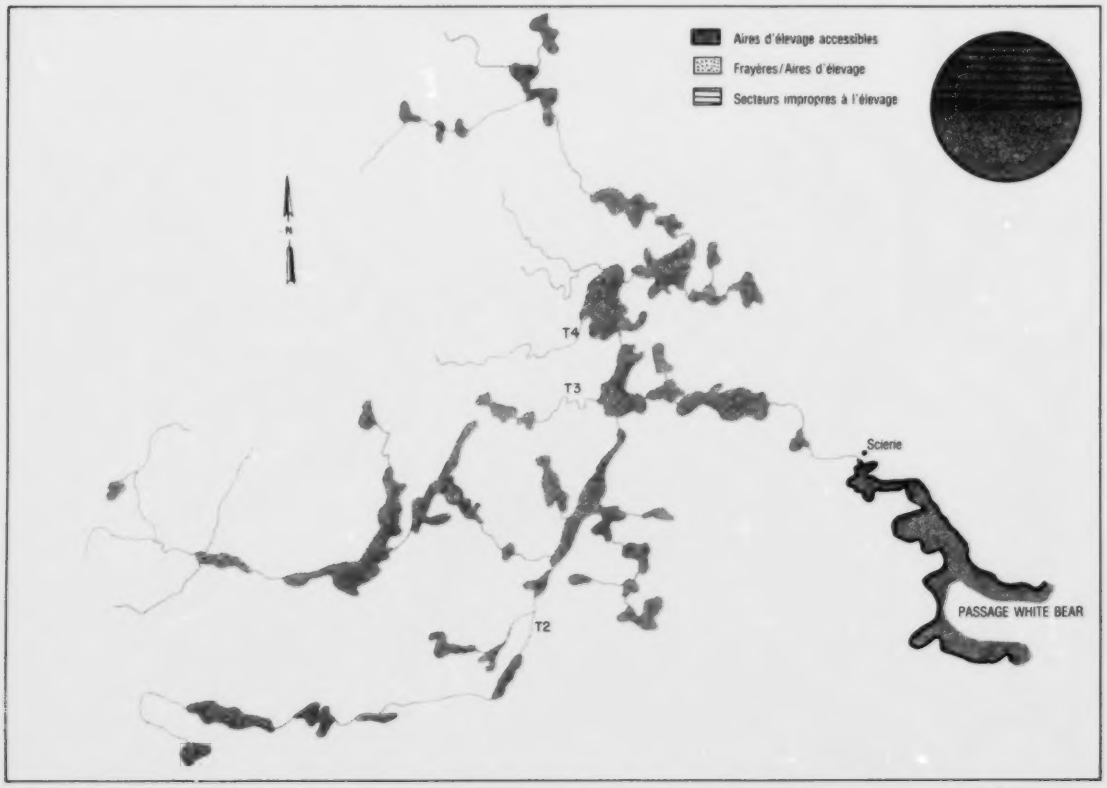

FIG. 18. Carte de la rivière White Bear Arm montrant les aires d'élevage accessibles au tacon du saumon de l'Atlantique.

TABLEAU 69. Caractéristiques physiques de la rivière White Bear Arm.

Référence cartographique:	Battle Harbour 13A, 3D 1:250 000	Élévation maximale du bassin versant:	275 m
Latitude de l'embouchure:	52°51′N	Longueur réelle de l'axe principal (en suivant les méandres):	64 km
Longitude de l'embouchure:	56°12′W	Longueur totale, y compris des tributaires:	83 km
Direction générale de l'écoulement:	Sud-est	Nombre de tributaires:	8
Superficie du bassin versant:	233 km^2	Formation géologique:	Roches intrusives acides du Précambrien
Largeur moyenne	13 km		
Longueur de l'axe	19 km		
Périmètre du bassin versant	63 km		

TABLEAU 70. Résumé des données sur les unités d'élevage et de frai et la production annuelle potentielle estimative de smolts et de saumons de l'Atlantique adultes de la rivière White Bear Arm (Murphy 1972a). Aucun secteur inaccessible n'y a été repéré.

	Secteurs accessibles	
Emplacement	Unités de frai	Unités d'élevage
Axe principal	86	2631
T2	0	1158
T3	0	96
T4	0	168
Total	86	4053
Production estimative		
Smolts	8106	
Adultes	1216	

Rivière 16 (sans nom) *N° 16, fig. 6*

Cette petite rivière qui coule vers le sud-est se jette dans la partie nord du passage White Bear (fig. 19). Son bassin versant a une superficie de 45 km^2 (tableau 71) et comporte en grande partie des lacs et des étangs. Murphy (1972a) signale l'absence d'obstacles à la migration du poisson et la présence d'aires d'élevage et de frayères propices dans le seul tributaire relativement important (T2). Un camp de pêche sportive est situé à l'embouchure de la rivière. Selon l'auteur, on y trouve de l'omble de fontaine et du saumon. Murphy (1972a) estime que cette rivière devrait pouvoir produire 250 saumons de l'Atlantique adultes par année (tableau 72).

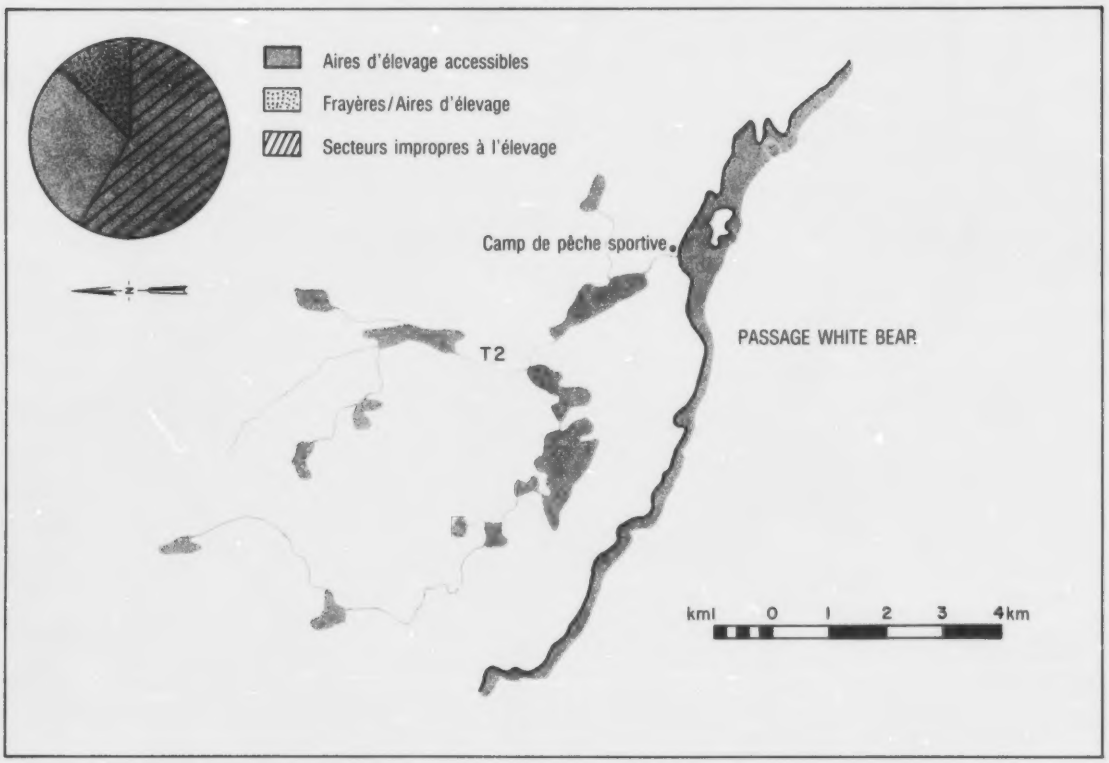

FIG. 19. Carte de la rivière 16 (sans nom) montrant les aires d'élevage accessibles au tacon du saumon de l'Atlantique.

TABLEAU 71. Caractéristiques physiques de la rivière 16.

Référence cartographique:	Battle Harbour 13A, 3D 1:250 000	Élévation maximale du bassin versant:	122 m
Latitude de l'embouchure:	52°48′N	Longueur réelle de l'axe principal (en suivant les méandres):	14 km
Longitude de l'embouchure:	56°04′W	Longueur totale, y compris des tributaires:	26 km
Direction générale de l'écoulement:	Sud-est	Nombre de tributaires:	3
Superficie du bassin versant:	45 km^2	Formation géologique:	Roches intrusives acides du Précambrien
Largeur moyenne	5 km		
Longueur de l'axe	11 km		
Périmètre du bassin versant	36 km		

TABLEAU 72. Résumé des données sur les unités d'élevage et de frai et la production annuelle potentielle estimative de smolts et de saumons de l'Atlantique adultes de la rivière 16 (Murphy 1972a). Aucun secteur inaccessible n'y a été repéré.

	Secteurs accessibles	
Emplacement	Unités de frai	Unités d'élevage
Axe principal	0	430
T2	58	403
Total	58	833
Production estimative		
Smolts	1666	
Adultes	250	

Rivière Hawke *N° 17, fig. 6*

La rivière Hawke a environ 84 km de longueur et coule vers l'est pour se jeter dans le bras nord de la baie Hawke (fig. 20). Le potentiel hydro-électrique de ce cours d'eau a été évalué par Millan (1974) à 45 MW, le moins intéressant des 19 sites étudiés au Labrador. Un petit camp de pêche sportive est exploité à chaque année à l'embouchure. L'établissement le plus proche est Hawke Harbour, petit village de pêcheurs situé à 20 km à l'est de la rivière, à l'entrée de la baie Hawke.

Le bassin versant, qui draine un territoire de près de 1 900 km^2 (tableau 73), se caractérise par de hautes collines onduleuses séparées par des vallées fluviales arrondies. L'axe principal est alimenté par 39 tributaires. Une végétation moyenne à dense d'épinettes noires et de sapins baumiers recouvre les collines et les rives, sauf le long des cours moyen et inférieur de l'axe principal, où des incendies ont dégarni le paysage. Le bassin versant contient de nombreux petits lacs et de larges tronçons au faible débit. Murphy (1972a) signale la présence de deux obstacles franchissables (tableau 74) dans l'affluent Northwest (T13). La présence d'un obstacle infranchissable signalé par Blair dans l'axe principal (1943) n'a pas été vérifiée au cours des relevés effectués par Sollows *et al.* (1953) ou par Murphy (1972a).

Les espèces de poissons observées dans la rivière Hawke sont le saumon de l'Atlantique et l'omble de fontaine anadrome et dulçaquicole. Ce cours d'eau est désigné pour la pêche au saumon à la ligne. Murphy (1972a) laisse à entendre que cette pêche est mauvaise dans le cours inférieur en raison de l'absence de mares. Toutefois, les activités limitées de pêche à la ligne enregistrées de 1973 à 1980 (effort annuel moyen de 54 jours de pêche à la ligne) montrent des prises à la ligne par jour de pêche de 1,14, résultat exceptionnel (tableau 75). En 1975, 22 madeleineaux et 4 grands saumons ont été échantillonnés prami les prises à la ligne; 77 % des madeleineaux et 75 % des grands saumons étaient devenus smolts après quatre années en eau douce (tableau 76).

Sollows *et al.* (1953) affirment que, depuis le début des années 50, la majeure partie de l'effort de pêche commerciale au saumon ne se fait plus dans la baie Hawke car les pêcheurs doivent maintenant rallier les bateaux

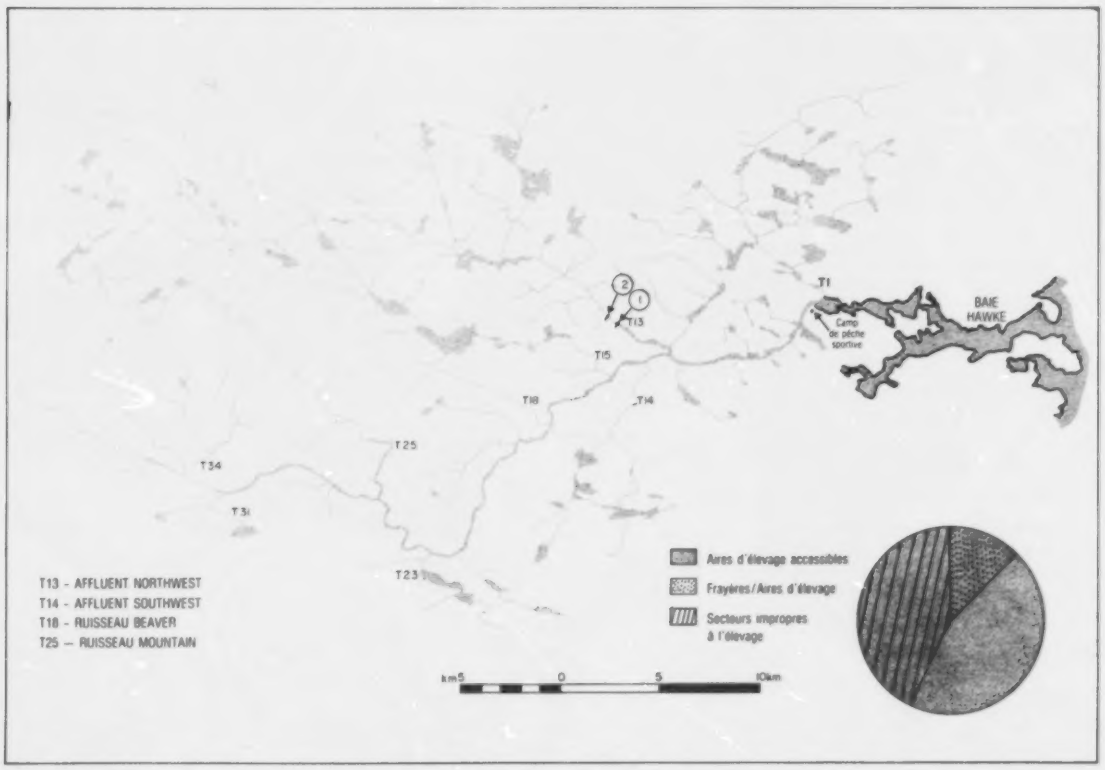

FIG. 20. Carte de la rivière Hawke montrant les aires d'élevage accessibles au tacon du saumon de l'Atlantique.

TABLEAU 73. Caractéristiques physiques de la rivière Hawke.

Référence cartographique:	Battle Harbour 13H, 3E 1:250 000	Élévation maximale du bassin versant:	366 m
Latitude de l'embouchure:	53°02′N	Longueur réelle de l'axe principal (en suivant les méandres):	84 km
Longitude de l'embouchure:	56°04′W	Longueur totale, y compris des tributaires:	649 km
Direction générale de l'écoulement:	Est	Nombre de tributaires:	39
Superficie du bassin versant:	1891 km²	Formation géologique:	Roches intrusives acides du Précambrien
Largeur moyenne	32 km		
Longueur de l'axe	68 km		
Périmètre du bassin versant	222 km		

TABLEAU 74. Obstacles de la rivière Hawke (Murphy 1972a).

Renvoi à la figure 20	Emplacement	Distance de l'embouchure (km)	Type	Description			Obstacle au passage du poisson
				Hauteur (m)	Largeur (m)	Pente (°)	
1	T13	4,8	Chutes	2,0	22,9	—	Franchissable
2	T13	8,0	Chutes	1,7	15,3	90	Franchissable

TABLEAU 75. Résumé des données sur la pêche à la ligne du saumon de l'Atlantique, rivière Hawke, 1973-1980 (Moores *et al.* 1978; Moores et Tucker 1979, 1980, 1981).

Année	Madeleineaux <2,7 kg	Grands saumons ≥2,7 kg	Total	Jours de pêche à la ligne	Prises par jour de pêche à la ligne
1973	22	2	24	70	0,34
1974	0	1	1	35	0,03
1975	23	8	31	14	2,21
1976	35	0	35	31	1,13
1977	44	29	73	75	0,97
1978	58	26	84	79	1,06
1979	84	18	102	79	1,29
1980	106	40	146	52	2,81
Moyenne	47	16	62	54	1,14

TABLEAU 76. Rapport des sexes (% de F), âge et poids du saumon de l'Atlantique échantillonné dans les prises à la ligne, juillet et août 1975, rivière Hawke (MPO, données inédites).

	Madeleineaux						Saumons dibermarins					
	Femelles		Nombre d'années passées en eau douce		Poids (g)		Femelles		Nombre d'années passées en eau douce		Poids (g)	
	%	*n*	an	*n*	$\bar{x}$	*n*	%	*n*	an	*n*	$\bar{x}$	*n*
	100,0	1	3	1	1589	1	100,0	1	3	1	3632	1
	41,2	17	4	17	1676	17	66,7	3	4	3	5599	3
	0,0	4	5	4	1703	4			5			
		22		22		22		4		4		4
Moyenne	36,4		4,1		1677		75,0		3,8		5107	

de ramassage pour vendre leur poisson frais. Autrefois, cette pêche était pratiquée près de l'embouchure de la rivière Hawke et les prises étaient salées et transportées dans des barils à la fin de la saison. À partir de ce relevé, Murphy (1972a) a évalué le potentiel de la rivière à près de 93 000 smolts de saumons de l'Atlantique par année; le taux de survie ultérieur en mer devrait permettre à 13 910 saumons de l'Atlantique adultes d'y retourner (tableau 77).

TABLEAU 77. Résumé des données sur les unités d'élevage et de frai et la production annuelle potentielle estimative de smolts et de saumons de l'Atlantique adultes de la rivière Hawke (Murphy 1972a). Aucun secteur inaccessible n'y a été repéré.

	Secteurs accessibles	
Emplacement	Unités de frai	Unités d'élevage
Axe principal	8 846	26 239
T1	77	904
T13	433	7 501
T13-1	38	653
T13-2	192	1 864
T13-3	0	1 355
T13-4	131	1 312
T14	165	1 447
T15	0	1 045
T18	0	240
T23	0	564
T25	0	1 960
T31	360	136
T34	0	1 146
Total	10 242	46 366
Production estimative		
Smolts	92 732	
Adultes	13 910	

Ruisseau Caplin Bay

N° 18, fig. 6

Le ruisseau Caplin Bay coule vers l'est pour se jeter dans la baie Caplin, inlet étroit qui s'étend sur 5 km jusque dans la mer du Labrador (fig. 21). Hawke Harbour, située dans l'île du même nom, qui elle-même est située à l'entrée de la baie Caplin, est la collectivité la plus proche.

Le bassin versant du ruisseau Caplin Bay a une superficie de 150 km^2 (tableau 78), est très boisé et comprend plusieurs lacs et étangs. Ce réseau fluvial ne contient aucun obstacle à la migration du poisson et la pêche à la truite y est excellente en raison du grand nombre d'ombles de fontaine anadromes qui y migrent (T. Curran, comm. pers.). Murphy (1972a), grâce au relevé qu'il a effectué dans le ruisseau Caplin Bay, a évalué le potentiel de ce cours d'eau à 3 182 smolts de saumons de l'Atlantique par année ; le taux ultérieur de survie en mer permettrait d'obtenir 477 saumons adultes (tableau 79).

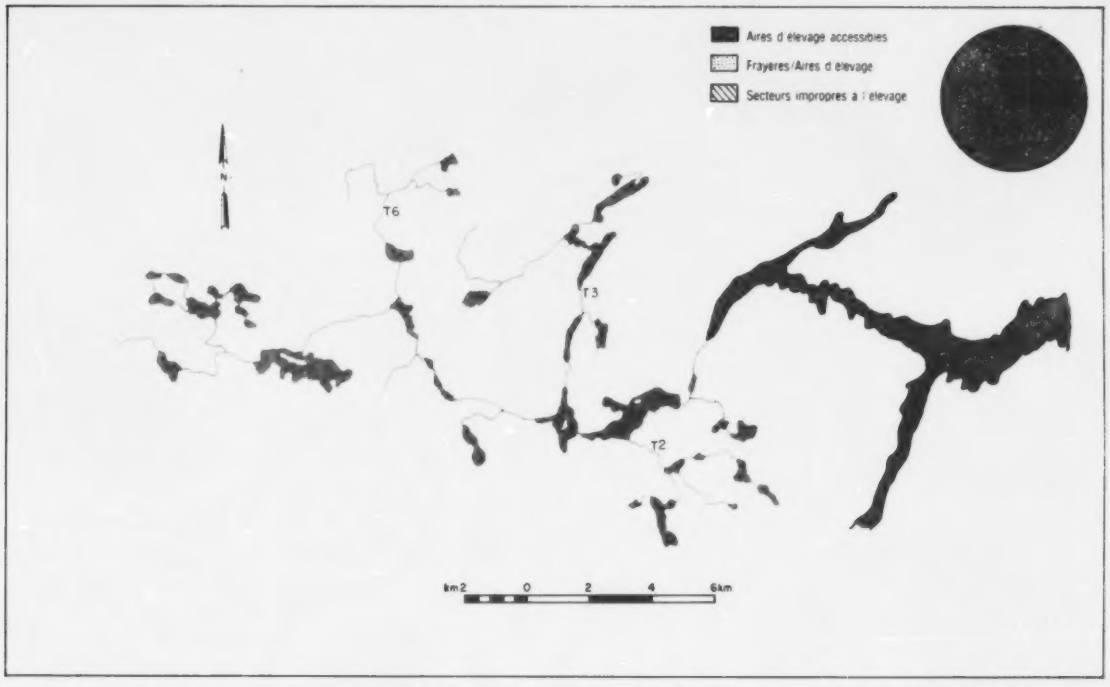

FIG. 21. Carte du ruisseau Caplin Bay montrant les aires d'élevage accessibles au tacon du saumon de l'Atlantique.

TABLEAU 78. Caractéristiques physiques du ruisseau Caplin Bay.

Référence cartographique:	Cartwright 13H, 3E 1:250 000	Élévation maximale du bassin versant:	31 m
Latitude de l'embouchure:	52°06′N	Longueur réelle de l'axe principal (en suivant les méandres):	18 km
Longitude de l'embouchure:	56°58′W	Longueur totale, y compris des tributaires:	64 km
Direction générale de l'écoulement:	Est	Nombre de tributaires:	9
Superficie du bassin versant:	150 km^2	Formation géologique:	Roches intrusives acides du Précambrien
Largeur moyenne	8 km		
Longueur de l'axe	19 km		
Périmètre du bassin versant	61 km		

TABLEAU 79. Résumé des données sur les unités d'élevage et de frai et la production annuelle potentielle estimative de smolts et de saumons de l'Atlantique adultes du ruisseau Caplin Bay (Murphy 1972a). Aucun secteur inaccessible n'y a été repéré.

	Secteurs accessibles	
Emplacement	Unités de frai	Unités d'élevage
Axe principal	10	811
T2	0	96
T3	32	160
T6	0	524
Total	42	1591
Production estimative		
Smolts	3182	
Adultes	477	

Ruisseau Partridge Bay *N° 19, fig. 6*

Le ruisseau Partridge Bay coule en direction nord-est et traverse des terres parsemées de bouquets d'épinettes noires, sur une distance totale d'environ 10 km, avant de se jeter dans le fond de la baie Partridge (fig. 22). Même si le cours d'eau a un bassin versant de 70 km^2, son axe principal n'a que 10 km de longueur (tableau 80). Le cours moyen de ce ruisseau est en fait un grand lac alimenté par six des neuf tributaires du réseau. Une chute signalée par Murphy (1972a) comme un obstacle franchissable, est située à 0,5 km en amont de l'embouchure (tableau 81). Murphy estime que ce cours d'eau comprend des habitats propices à l'élevage de l'omble de fontaine. Par contre, son estimation de la production potentielle annuelle de saumons de l'Atlantique adultes est très faible, soit de 262 poissons (tableau 82).

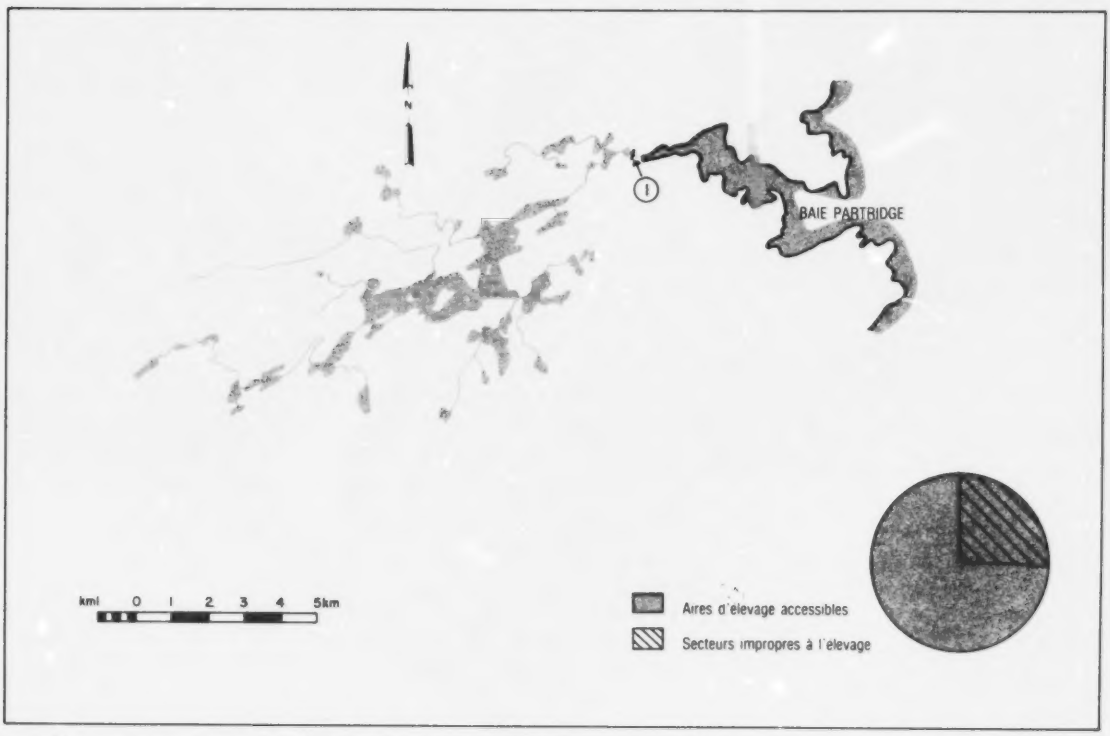

FIG. 22. Carte du ruisseau Partridge Bay montrant les aires d'élevage accessibles au tacon du saumon de l'Atlantique.

TABLEAU 80. Caractéristiques physiques du ruisseau Partridge Bay.

Référence cartographique:	Cartwright 13H, 3E 1:250 000	Élévation maximale du bassin versant:	61 m
Latitude de l'embouchure:	53°12′N	Longueur réelle de l'axe principal (en suivant les méandres):	10 km
Longitude de l'embouchure:	55°52′W	Longueur totale, y compris des tributaires:	49 km
Direction générale de l'écoulement:	Nord-est	Nombre de tributaires:	9
Superficie du bassin versant:	70 km^2	Formation géologique:	Roches intrusives du Précambrien et gneiss granitique de l'Hélikien
Largeur moyenne	7 km		
Longueur de l'axe	9 km		
Périmètre du bassin versant	39 km		

TABLEAU 81. Obstacles du ruisseau Partridge Bay (Murphy 1972a).

Renvoi à la figure 22	Emplacement	Distance de l'embouchure (km)	Type	Description			Obstacle au passage du poisson
				Hauteur (m)	Largeur (m)	Pente (°)	
1	Axe principal	0,5	Chutes	6,1	—	—	Franchissable

TABLEAU 82. Résumé des données sur les unités d'élevage et de frai et la production annuelle potentielle estimative de smolts et de saumons de l'Atlantique adultes du ruisseau Partridge Bay (Murphy 1972a). Aucun secteur inaccessible n'y a été repéré.

	Secteurs accessibles	
Emplacement	Unités de frai	Unités d'élevage
Axe principal	0	224
T9	0	648
Total	0	872
Production estimative		
Smolts	1744	
Adultes	262	

Rivière 20 (sans nom) *N° 20, fig. 6*

Cette rivière coule vers l'est pour se jeter dans la baie Shoal (fig. 23). Des postes de pêche estivale sont occupés par des pêcheurs de l'île de Terre-Neuve; ils sont situés dans plusieurs petites îles à l'entrée de la baie Shoal (Parsons 1970).

La rivière a un bassin versant d'une superficie de 119 km^2 (tableau 83).Son cours inférieur renferme de vastes étendues d'eaux calmes et des étangs reliés par des tronçons au courant rapide. Les tronçons d'amont serpentent dans des tourbières. Le paysage est généralement denudé et parsemé à l'occasion d'un bouquet d'épinettes noires. Murphy (1972a) y a signalé deux obstacles franchissables (tableau 84), dans le tributaire 5 (T5). Murphy, à partir de ses relevés, a conclu que la lenteur du courant et les grandes étendues d'eaux dormantes offraient des habitats adéquats à l'omble de fontaine; il a également évalué le potentiel de ce cours d'eau à 320 saumons adultes par année (tableau 85).

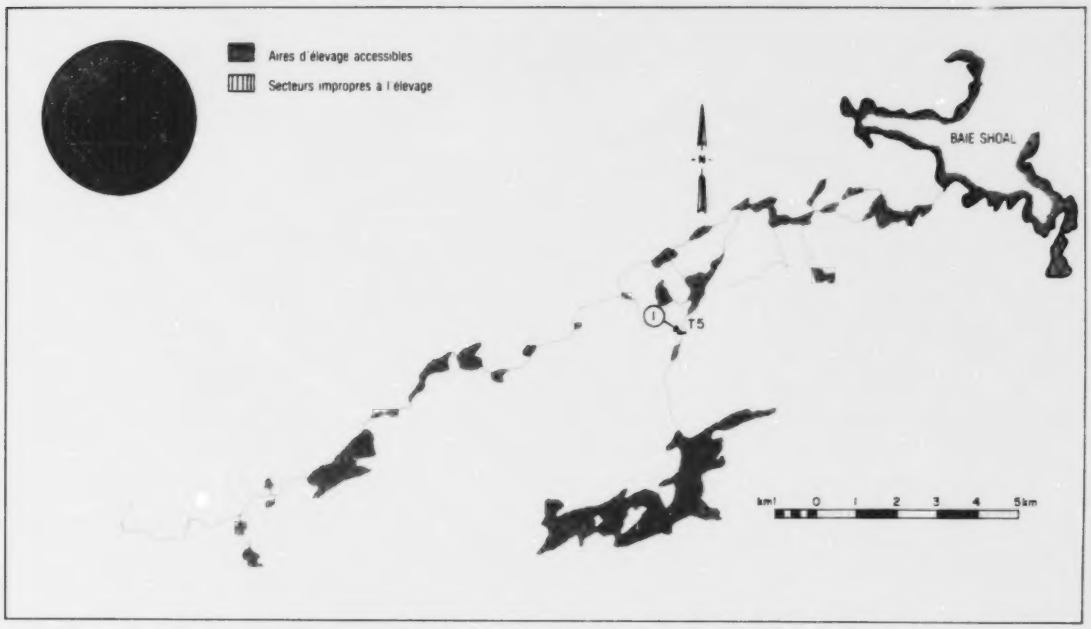

FIG. 23. Carte de la rivière 20 (sans nom) montrant les aires d'élevage accessibles au tacon du saumon de l'Atlantique.

TABLEAU 83. Caractéristiques physiques de la rivière 20.

Référence cartographique:	Cartwright 13H, 3E 1:250 000	Élévation maximale du bassin versant:	92 m
Latitude de l'embouchure:	53°14′N	Longueur réelle de l'axe principal (en suivant les méandres):	35 km
Longitude de l'embouchure:	55°50′W	Longueur totale, y compris des tributaires:	57 km
Direction générale de l'écoulement:	Nord-est	Nombre de tributaires:	16
Superficie du bassin versant:	119 km^2	Formation géologique:	Roches intrusives du Cambrien et gneiss granitique de l'Hélikien
Largeur moyenne	4 km		
Longueur de l'axe	32 km		
Périmètre du bassin versant	74 km		

TABLEAU 84. Obstacles de la rivière 20 (Murphy 1972a).

Renvoi à la figure 23	Emplacement	Distance de l'embouchure (km)	Type	Description			Obstacle au passage du poisson
				Hauteur (m)	Largeur (m)	Pente (°)	
1	T5	0,2	Chutes (2)	—	—	—	Franchissable

TABLEAU 85. Résumé des données sur les unités d'élevage et de frai et la production annuelle potentielle estimative de smolts et de saumons de l'Atlantique adultes de la rivière 20 (Murphy 1972a). Aucun secteur inaccessible n'y a été repéré.

Emplacement	Secteurs accessibles	
	Unités de frai	Unités d'élevage
Axe principal	0	955
T5	0	112
Total	0	1067
Production estimative		
Smolts	2134	
Adultes	320	

Ruisseau Shoal Bay

N° 21, fig. 6

Ce petit cours d'eau, qui coule vers le nord-est, traverse des terres dénudées jusqu'à son embouchure, dans la baie Shoal (fig. 24). Ce bassin ne présente aucun obstacle à la migration du poisson. Sa superficie est de 18 km^2 (tableau 86) et Murphy (1972a) le classe comme un habitat adéquat pour l'omble de fontaine. Cet auteur a également évalué sa production potentielle à 174 saumons de l'Atlantique adultes par année (tableau 87).

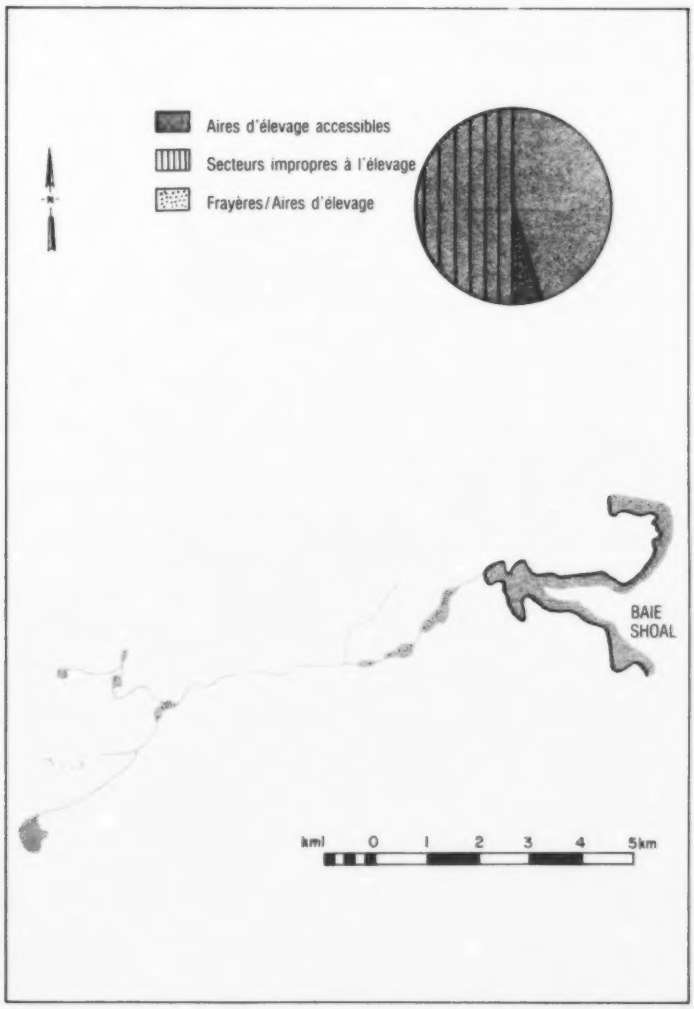

FIG. 24. Carte du ruisseau Shoal Bay montrant les aires d'élevage accessibles au tacon du saumon de l'Atlantique.

TABLEAU 86. Caractéristiques physiques du ruisseau Shoal Bay.

Référence cartographique:	Cartwright 13H, 3E 1:250 000	Élévation maximale du bassin versant:	61 m
Latitude de l'embouchure:	53°15′N	*Longueur réelle de l'axe principal* (en suivant les méandres):	11 km
Longitude de l'embouchure:	55°53′W	Longueur totale, y compris des tributaires:	16 km
Direction générale de l'écoulement:	Nord-est	Nombre de tributaires:	3
Superficie du bassin versant:	18 km^2	Formation géologique:	Roches intrusives du Cambrien et gneiss granitique de l'Hélikien
Largeur moyenne	2 km		
Longueur de l'axe	11 km		
Périmètre du bassin versant	17 km		

TABLEAU 87. Résumé des données sur les unités d'élevage et de frai et la production annuelle potentielle estimative de smolts et de saumons de l'Atlantique adultes du ruisseau Shoal Bay (Murphy 1972a). Aucun secteur inaccessible n'y a été repéré.

	Secteurs accessibles	
Emplacement	Unités de frai	Unités d'élevage
Axe principal	58	581
Total	58	581
Production estimative		
Smolts	1162	
Adultes	174	

Rivière 22 (sans nom) *N° 22, fig. 6*

Ce petit cours d'eau serpente dans des terres dénudées parsemées de petits bouquets d'épinettes rabougries jusqu'à son embouchure, dans la baie Shoal (fig. 25). Il ne renferme aucun obstacle à la migration du poisson. En raison de la petite superficie (13 km^2) du bassin versant de ce cours d'eau (tableau 88), Murphy (1972a) était d'avis que l'omble de fontaine était probablement la principale espèce à le fréquenter. Il a également évalué sa production potentielle annuelle à 102 saumons de l'Atlantique adultes (tableau 89).

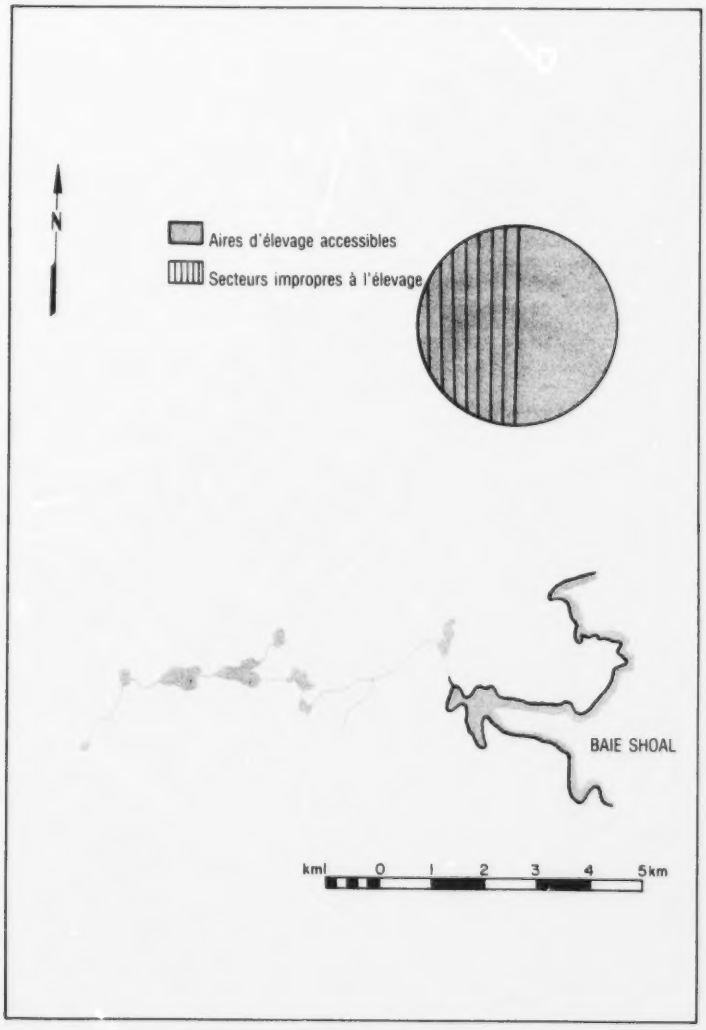

FIG. 25. Carte de la rivière 22 (sans nom) montrant les aires d'élevage accessibles au tacon du saumon de l'Atlantique.

TABLEAU 88. Caractéristiques physiques de la rivière 22.

Référence cartographique:	Cartwright 13H, 3E 1:250 000	Élévation maximale du bassin versant:	31 m
Latitude de l'embouchure:	53°15′N	Longueur réelle de l'axe principal (en suivant les méandres):	9 km
Longitude de l'embouchure:	55°52′W	Longueur totale, y compris des tributaires:	10 km
Direction générale de l'écoulement:	Est	Nombre de tributaires:	2
Superficie du bassin versant:	13 km^2	Formation géologique:	Roches intrusives du Cambrien et gneiss granitique de l'Hélikien
Largeur moyenne	1 km		
Longueur de l'axe	7 km		
Périmètre du bassin versant	16 km		

TABLEAU 89. Résumé des données sur les unités d'élevage et de frai et la production annuelle potentielle estimative de smolts et de saumons de l'Atlantique adultes de la rivière 22 (Murphy 1972a). Aucun secteur inaccessible n'y a été repéré.

	Secteurs accessibles	
Emplacement	Unités de frai	Unités d'élevage
Axe principal	0	340
Total	0	340
Production estimative		
Smolts	680	
Adultes	102	

Rivière Black Bear

N° 23, fig. 6

La rivière Black Bear coule vers le nord-est pour se jeter dans la baie du même nom (fig. 26) où certains pratiquent la pêche commerciale au saumon.

L'ensemble de ce bassin versant d'une superficie de plus de 600 km^2 (tableau 90) est accessible aux poissons migrateurs. Les tronçons inférieurs, près de l'embouchure, traversent une gorge. Les tronçons moyen et supérieur de la rivière se composent en grande partie d'eaux calmes (Murphy 1972a). L'épinette noire, qui alterne avec des étendues de terres dénudées et de tourbières, se retrouve partout dans le bassin. Le seul obstacle à la migration du poisson dans l'axe principal est situé à 35,4 km en amont de l'embouchure (tableau 91). Il existe un « détour » naturel permettant aux poissons de contourner l'obstacle. Le tronçon souterrain du cours d'eau signalé au kilomètre 16,1 par Sollows *et al.* (1953) n'a pas été repéré par Murphy (1972a). Le tronçon le plus en aval du premier tributaire présente un autre obstacle mineur à la migration du poisson (T1).

Les résidents de l'endroit signalent des montaisons de saumons de l'Atlantique et d'ombles de fontaine dans ce cours d'eau. Selon l'auteur, d'autres poissons comme les épinoches, les anguilles d'Amérique et les meuniers noirs la fréquentent. En raison de l'absence de camps de pêche sportive le long de ce cours d'eau, Murphy (1972a) a supposé que ce type de pêche y était très peu pratiqué. Sollows *et al.* (1953) pensent que les poteaux pouvus d'anneaux qu'il a vus des deux côtés de l'étroite gorge située à l'embouchure servaient à tendre les filets en travers de la rivière, méthode qui peut avoir été la cause du déclin de la montaison de poissons signalé dans la rivière Black Bear au début des années 50. Murphy (1972a), en se basant sur son relevé de 1971, a évalué la production potentielle annuelle de smolts à plus de 15 000 poissons; en supposant un taux de survie en mer de 15 %, on obtiendrait 2 376 poissons adultes (tableau 92).

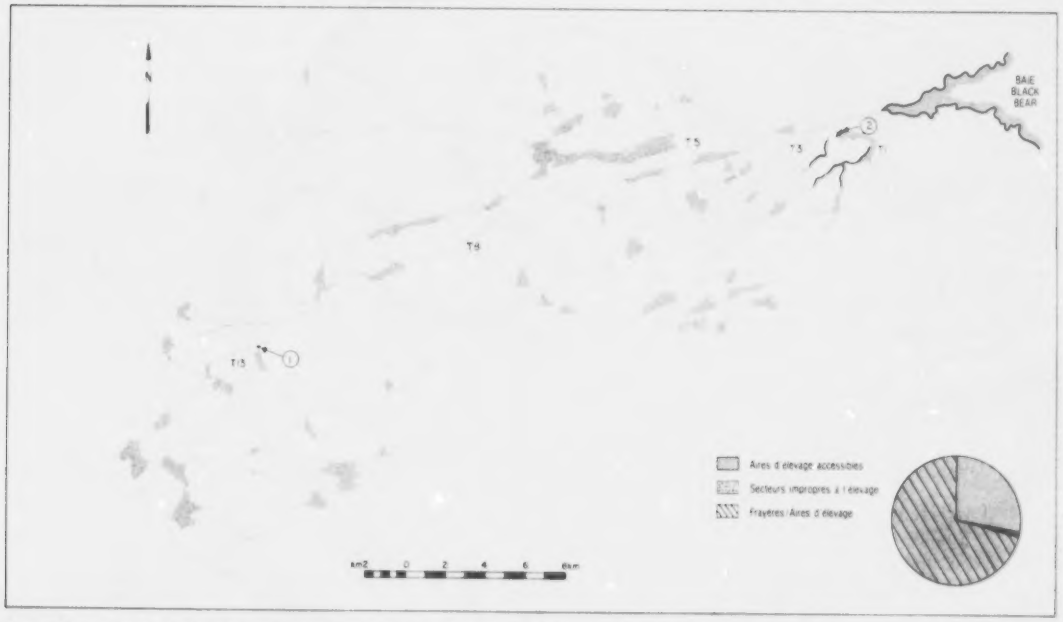

FIG. 26. Carte de la rivière Black Bear montrant les aires d'élevage accessibles au tacon du saumon de l'Atlantique.

TABLEAU 90. Caractéristiques physiques de la rivière Black Bear.

Référence cartographique:	Cartwright 13H, 3E 1:250 000	Élévation maximale du bassin versant:	122 m
Latitude de l'embouchure:	53°18′N	Longueur réelle de l'axe principal (en suivant les méandres):	42 km
Longitude de l'embouchure:	55°56′W	Longueur totale, y compris des tributaires:	302 km
Direction générale de l'écoulement:	Nord-est	Nombre de tributaires:	20
Superficie du bassin versant:	645 km²	Formation géologique:	Gneiss granitique de l'Hélikien
Largeur moyenne	13 km		
Longueur de l'axe	46 km		
Périmètre du bassin versant	207 km		

TABLEAU 91. Obstacles de la rivière Black Bear (Murphy 1972a).

Renvoi à la figure 26	Emplacement	Distance de l'embouchure (km)	Type	Description			Obstacle au passage du poisson
				Hauteur (m)	Largeur (m)	Pente (°)	
1	Axe principal	35,4	Chutes	2,1	—	90	Franchissable
2	T1	0,8	Chutes	2,0	—	80	Franchissable

TABLEAU 92. Résumé des données sur les unités d'élevage et de frai et la production annuelle potentielle estimative de smolts et de saumons de l'Atlantique adultes de la rivière Black Bear (Murphy 1972a). Aucun secteur inaccessible n'y a été repéré.

	Secteurs accessibles	
Emplacement	Unités de frai	Unités d'élevage
Axe principal	126	5 385
T1	97	587
T3	0	160
T5	39	1 680
T8	0	32
T13	0	77
Total	262	7 921
Production estimative		
Smolts	15 842	
Adultes	2 376	

Ruisseau Open Bay

N° 24, fig. 6

Ce petit ruisseau coule vers l'est pour se jeter dans la baie Open (fig. 27). Composé principalement de lacs et d'étangs peu étendus, le bassin versant a une superficie de 39 km^2 (tableau 93) et est recouvert d'épinettes noires et parsemé de terres dénudées le long des eaux d'amont (Murphy 1972a). Ce réseau ne comporte aucun obstacle à la migration du poisson. Murphy (1972a) a évalué la production annuelle potentielle de saumons de l'Atlantique adultes à 108 (tableau 94).

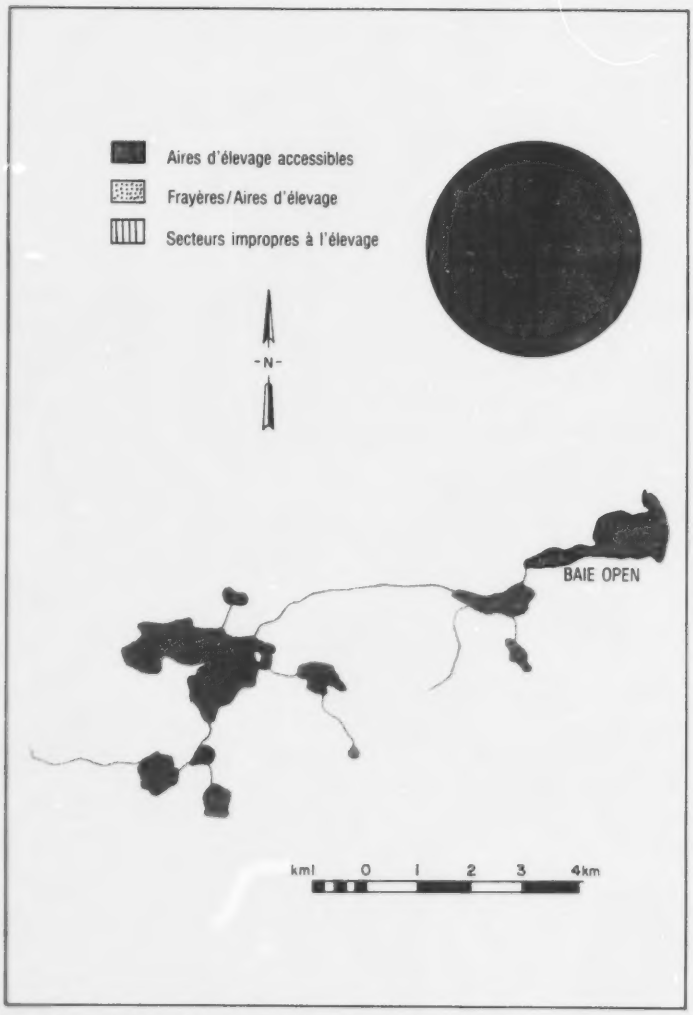

FIG. 27. Carte du ruisseau Open Bay montrant les aires d'élevage accessibles au tacon du saumon de l'Atlantique.

TABLEAU 93. Caractéristiques physiques du ruisseau Open Bay.

Référence cartographique:	Cartwright 13H, 3E 1:250 000	Élévation maximale du bassin versant:	61 m
Latitude de l'embouchure:	53°20′N	Longueur réelle de l'axe principal (en suivant les méandres):	6 km
Longitude de l'embouchure:	55°55′W	Longueur totale, y compris des tributaires:	16 km
Direction générale de l'écoulement:	Est	Nombre de tributaires:	5
Superficie du bassin versant:	39 km^2	Formation géologique:	Gneiss granitique de l'Hélikien
Largeur moyenne	4 km		
Longueur de l'axe	10 km		
Périmètre du bassin versant	23 km		

TABLEAU 94. Résumé des données sur les unités d'élevage et de frai et la production annuelle potentielle estimative de smolts et de saumons de l'Atlantique adultes du ruisseau Open Bay (Murphy 1972a). Aucun secteur inaccessible n'y a été repéré.

	Secteurs accessibles	
Emplacement	Unités de frai	Unités d'élevage
Axe principal	43	360
Total	43	360
Production estimative		
Smolts	720	
Adultes	108	

Rivière Porcupine Harbour *N° 25, fig. 6*

La rivière Porcupine Harbour coule vers l'est jusque dans le havre Porcupine (fig. 28). Un village abandonné est situé à l'embouchure de ce cours d'eau.

La superficie de son bassin versant est relativement petite (155 km^2) (tableau 95). Dix tributaires alimentent l'axe principal. La végétation est caractéristique de cette région, les peuplements d'épinettes noires alternant avec les tourbières et les terres dénudées. Murphy (1972a) a estimé que la chute de 2,4 m située sur l'axe principal, au kilomètre 1,6, formait un obstacle infranchissable ; il a également signalé l'inaccessibilité du premier tributaire (T1) en amont du kilomètre 0,8 (tableau 96). Nous ne disposons d'aucun renseignement sur les espèces de poissons

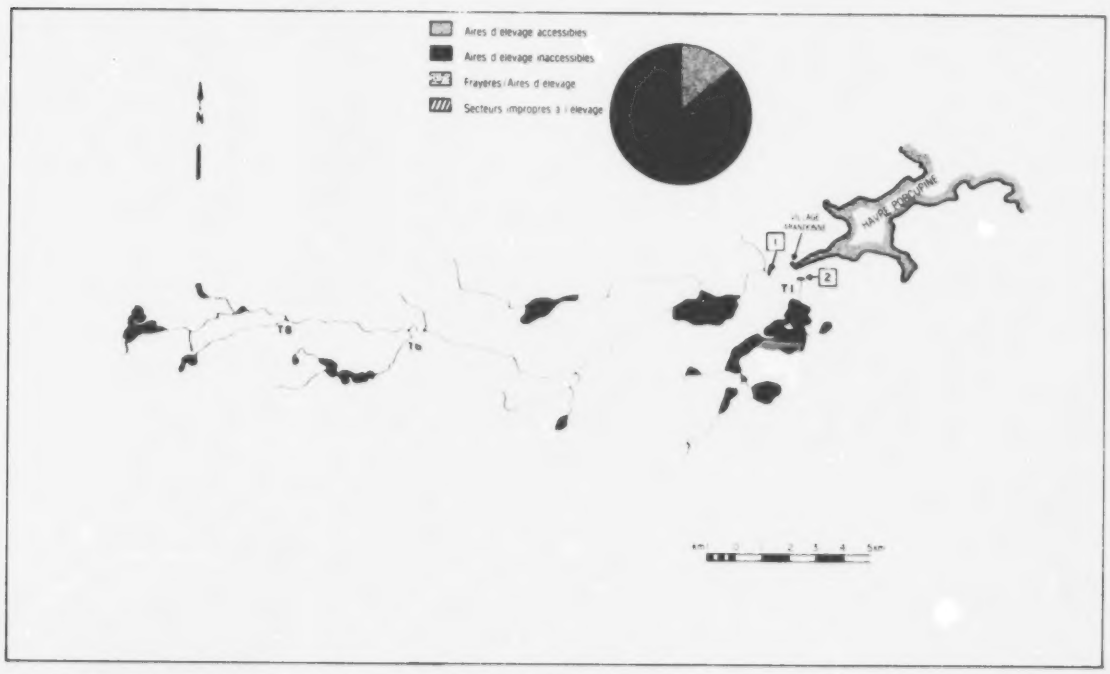

FIG. 28. Carte de la rivière Porcupine Harbour montrant les aires d'élevage accessibles et inaccessibles au tacon du saumon de l'Atlantique.

TABLEAU 95. Caractéristiques physiques de la rivière Procupine Harbour.

Référence cartographique:	Cartwright 13H, 3E 1:250 000	Élévation maximale du bassin versant:	122 m
Latitude de l'embouchure:	53°22'N	Longueur réelle de l'axe principal (en suivant les méandres):	29 km
Longitude de l'embouchure:	56°01'W	Longueur totale, y compris des tributaires:	68 km
Direction générale de l'écoulement:	Est	Nombre de tributaires:	10
Superficie du bassin versant:	155 km^2	Formation géologique:	Gneiss granitique de l'Hélikien et roches intrusives du Néohélikien
Largeur moyenne	6 km		
Longueur de l'axe	27 km		
Périmètre du bassin versant	64 km		

qui la fréquentent, mais, selon l'auteur, la rivière est probablement fréquentée par de petites populations de saumons de l'Atlantique et d'ombles de fontaine. La production potentielle annuelle de saumons de l'Atlantique adultes dans les secteurs accessibles et inaccessibles estimée par Murphy (1972a) est relativement petite, ne totalisant que 524 poissons (tableau 97).

TABLEAU 96. Obstacles de la rivière Porcupine Harbour (Murphy 1972a).

Renvoi à la figure 28	Emplacement	Distance de l'embouchure (km)	Type	Description			Obstacle au passage du poisson
				Hauteur (m)	Largeur (m)	Pente (°)	
1	Axe principal	1,6	Chutes	2,4	3,1	—	Infranchissable
2	T1	0,8	Chutes	—	—	—	Infranchissable

TABLEAU 97. Résumé des données sur les unités d'élevage et de frai et la production annuelle potentielle estimative de smolts et de saumons de l'Atlantique adultes de la rivière Porcupine Harbour (Murphy 1972a).

Emplacement	Secteurs accessibles		Secteurs inaccessibles	
	Unités de frai	Unités d'élevage	Unités de frai	Unités d'élevage
Axe principal	18	368	18	1141
T6	0	0	0	144
T8	0	0	0	96
Total	18	368	18	1381
Production estimative				
Smolts		736		2762
Adultes		110		414

Rivière 26 (sans nom) *N° 26, fig. 6*

Ce petit ruisseau se déverse du côté nord du havre Porcupine (fig. 29). La toundra côtière et des épinettes rabougries caractérisent le bassin versant, d'une superficie de 70 km^2 (tableau 98). Le réseau ne comporte aucun obstacle à la migration du poisson et, d'après Murphy (1972a), il a une production potentielle de 76 saumons adultes par année (tableau 99).

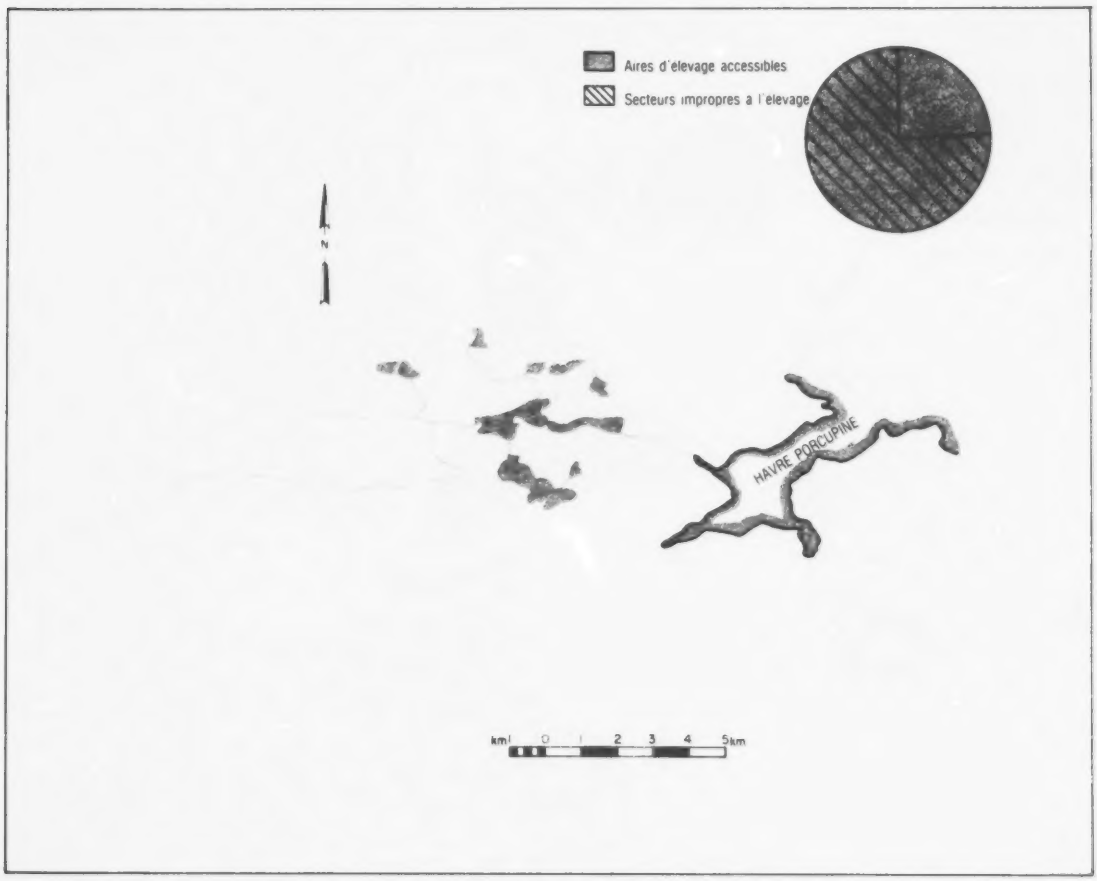

FIG. 29. Carte de la rivière 26 (sans nom) montrant les aires d'élevage accessibles au tacon du saumon de l'Atlantique.

TABLEAU 98. Caractéristiques physiques de la rivière 26.

Référence cartographique:	Cartwright 13H, 3E 1:250 000	Élévation maximale du bassin versant:	122 m
Latitude de l'embouchure:	53°23'N	Longueur réelle de l'axe principal (en suivant les méandres):	26 km
Longitude de l'embouchure:	56°01'W	Longueur totale, y compris des tributaires:	34 km
Direction générale de l'écoulement:	Est	Nombre de tributaires:	4
Superficie du bassin versant:	70 km^2	Formation géologique:	Gneiss granitique et roches intrusives
Largeur moyenne	5 km		
Longueur de l'axe	22 km		
Périmètre du bassin versant	50 km		

TABLEAU 99. Résumé des données sur les unités d'élevage et de frai et la production annuelle potentielle estimative de smolts et de saumons de l'Atlantique adultes de la rivière 26 (Murphy 1972a). Aucun secteur inaccessible n'y a été repéré.

	Secteurs accessibles	
Emplacement	Unités de frai	Unités d'élevage
Axe principal	0	252
Total	0	252
Production estimative		
Smolts	504	
Adultes	76	

Ruisseau Reeds Pond

N° 27, fig. 6

Le ruisseau Reeds Pond serpente vers l'est sur un plateau uni pour se jeter dans la baie Porcupine (fig. 30). Son cours est interrompu par de nombreux lacs et étangs. Murphy (1972a) n'y relève la présence d'eau courante que sur 6,4 km dans l'ensemble du bassin versant, d'une superficie de 233 km^2 (tableau 100). Ce bassin versant est complètement accessible aux poissons migrateurs. Le ruisseau Reeds Pond est désigné à l'annexe du Règlement de pêche de Terre-Neuve pour la pêche à la ligne au saumon de l'Atlantique, même si Murphy (1972a), compte tenu de la quantité d'eaux dormantes qui s'y trouvent, juge qu'il convient mieux à l'omble de fontaine et à l'omble arctique. Un camp de pêche sportive est situé près de son embouchure. En 1967, 200 ombles de fontaine anadromes, pesant chacune plus de 1,5 kg, y ont été pêchés à la ligne, selon les rapports. Murphy, en se basant sur son relevé de 1971, a évalué la production annuelle à 953 saumons de l'Atlantique adultes (tableau 101).

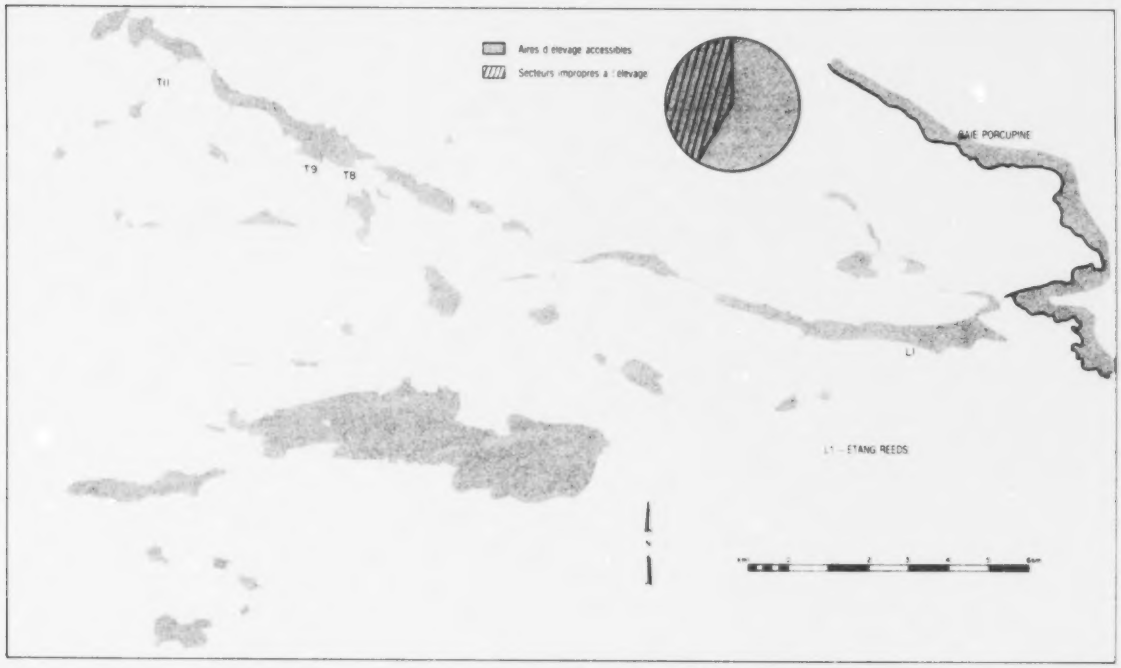

FIG. 30. Carte du ruisseau Reeds Pond montrant les aires d'élevage accessibles au tacon du saumon de l'Atlantique.

TABLEAU 100. Caractéristiques physiques du ruisseau Reeds Pond.

Référence cartographique:	Cartwright 13H, 3E 1:250 000	Élévation maximale du bassin versant:	122 m
Latitude de l'embouchure:	53°27′N	Longueur réelle de l'axe principal (en suivant les méandres):	26 km
Longitude de l'embouchure:	56°02′W	Longueur totale, y compris des tributaires:	68 km
Direction générale de l'écoulement:	Est	Nombre de tributaires:	11
Superficie du bassin versant:	233 km^2	Formation géologique:	Gneiss granitique de l'Hélikien; petite zone de gneiss intermédiaire à basique
Largeur moyenne	10 km		
Longueur de l'axe	26 km		
Périmètre du bassin versant	74 km		

TABLEAU 101. Résumé des données sur les unités d'élevage et de frai et la production annuelle potentielle estimative de smolts et de saumons de l'Atlantique adultes de l'étang Reeds Pond (Murphy 1972a). Aucun secteur inaccessible n'y a été repéré.

	Secteurs accessibles	
Emplacement	Unités de frai	Unités d'élevage
Axe principal	0	1399
T8	0	984
T9	0	648
T11	0	144
Total	0	3175
Production estimative		
Smolts	6350	
Adultes	953	

Rivière Sandhill
(rivière Sand Hill)

N° 28, fig. 6

La rivière Sandhill coule vers le nord-est et se jette dans l'anse Sandhill, inlet peu profond de la baie Table (fig. 31). Une pêcherie saisonnière, propriété de la famille Burdett de Cartwright, est située à l'embouchure où se trouvent des postes de mouillage adéquats pour des embarcations de pêche aux casiers. Les chenaux étroits et les bancs de sable de l'anse Sandhill empêchent les bateaux et les navires plus gros de se rendre dans l'embouchure de la rivière. Les établissements les plus proches de celle-ci sont les postes de pêche estivale d'Indian Tickle (24 km à l'est) et de Gready (32 km au nord). Le village permanent le plus important de la région est Cartwright (population de 658 habitants; Statistique Canada 1981), situé à 47 km au nord-est. Les premières études de la rivière Sandhill ont été entreprises par Blair (1943), suivi de Sollows *et al.* (1953). En 1967, une barrière de comptage temporaire a été installée dans cette rivière. À partir des résultats obtenus, la rivière Sandhill a été choisie comme lieu d'une étude quinquennale de l'exploitation du saumon originaire du Labrador par les pêcheries de l'ouest du Groenland. En 1968, des barrières de comptage permanentes ont été construites et la montaison et la dévalaison du poisson ont été surveillées de 1969 à 1973. Peet (1971), Peet et Pratt (1972), Murphy (1972b, 1974) et Pratt *et al.* (1974) ont rédigé des rapports sur les résultats de cette étude. Peet, lors de sa reconnaissance de la rivière, a noté les caractéristiques du cours d'eau (1971); la description qui suit est en grande partie basée sur son relevé.

Le bassin versant de la rivière Sandhill a une superficie de près de 1 150 km^2; la longueur totale de l'axe principal et des affluents est de 611 km (tableau 102). La majeure partie du bassin versant est couverte de peuplements matures de conifères. Le terrain se caractérise par des lacs, des étangs et des eaux calmes entourés de collines onduleuses, relief typique de la région. Des hydravions amerrissent sur le lac situé à 1 km en amont de l'embouchure pour ravitailler le camp situé près de la barrière de comptage du poisson. En amont de ce lac, la rivière se rétrécit, passant d'un large tronçon (300 m) d'eau calme à un haut fond de blocs et de moellons plus étroit (150 m). C'est à cet endroit, à 5,6 km de l'embouchure, que la barrière de comptage permanente a été installée. Le reste de l'axe principal (environ 75 km) alterne entre des étangs et de courts secteurs de rapides et un substrat grossier. Le tributaire Northwest (T1) est l'un des plus importants affluents de la rivière Sandhill car il est fréquenté par la seule population relativement importante d'ombles arctiques anadromes du réseau. Ce tributaire se compose en grande partie d'une série de lacs et est à peu près parallèle au rivage de la baie Table sur une distance de 25 km avant de se jeter dans le lac situé à 1 km en amont de l'embouchure de la rivière principale. Deux des affluents les plus importants, le T13 et le T21, coulent vers le sud-est et confluent respectivement avec les tronçons moyen et supérieur de la rivière principale.

Peet (1971) n'y a observé aucun obstacle infranchissable. Il a relevé des obstacles franchissables dans l'axe principal aux kilomètres 0,4, 11,2, 24,2 et 45,1 (tableau 103). L'obstacle franchissable du kilomètre 11,2 pourrait être les chutes que Blair (1943) a qualifiées d'insurmontables. Peet a également relevé deux obstacles franchissables dans le T13 et un autre dans le T21 entre l'étang Check (L1) et l'étang Big Tilt (L2). La qualité de l'eau de la rivière Sandhill a été analysée à partir d'échantillons qui y ont été prélevés en 1971, 1973 et 1977 (tableau 104).

Les espèces de poissons abondantes observées dans la rivière Sandhill sont notamment le saumon de l'Atlantique, l'omble arctique, l'anguille d'Amérique et le meunier noir. On y trouve également l'épinoche à trois épines, l'épinoche à neuf épines, le gaspareau et l'éperlan arc-en-ciel. Hare et Murphy (1974) signalent la présence de l'alose savoureuse, et l'auteur y a capturé une lamproie marine en 1971. Même si Sollows *et al.* (1953) jugent la rivière impropre à la pêche au saumon à la ligne, elle est toutefois désignée à cette fin à l'annexe du Règlement de pêche de Terre-Neuve. Les prises moyennes par jour de pêche à la ligne de 1,34 pour la période allant de 1964 à 1980 sont élevées par rapport à celles de Terre-Neuve et du Labrador (tableau 105). Ce sont surtout les membres d'un camp privé de pêche sportive qui pratiquent la pêche à la ligne sur le deuxième lac, et les clients du camp de Gander Aviation situé entre les premier et deuxième lacs. À l'anse Sandhill, la famille Burdett poursuit en justice les pêcheurs commerciaux de saumons depuis plus d'un siècle. Cette famille demeurait autrefois en bordure du tributaire Northwest (T1) et y pêchait au filet jusqu'à ce que le nouveau règlement interdise ce type de pêche dans les eaux intérieures.

Des échantillons de saumon de l'Atlantique de la rivière Sandhill ont été prélevés dans les prises commerciales et les prises des pêcheurs à la ligne et à la barrière de comptage. Le tableau 106 présente une synthèse des résultats pour la période de 1969 à 1973 et montre la prédominance des mâles chez les madeleineaux et des femelles chez les saumons dibermarins. Les enquêtes sur la montaison ont débuté en 1967 à une installation temporaire de comptage située à 4,8 km de l'embouchure. Cinq cent cinquante-trois madeleineaux et 87 grands saumons y ont été piégés de juillet à septembre 1967 (tableau 107). En 1968, des installations permanentes de comptage ont été installées au kilomètre 5,6. De 1969 à 1973, les remontes de saumons allaient de 947 à 5 040 poissons par année

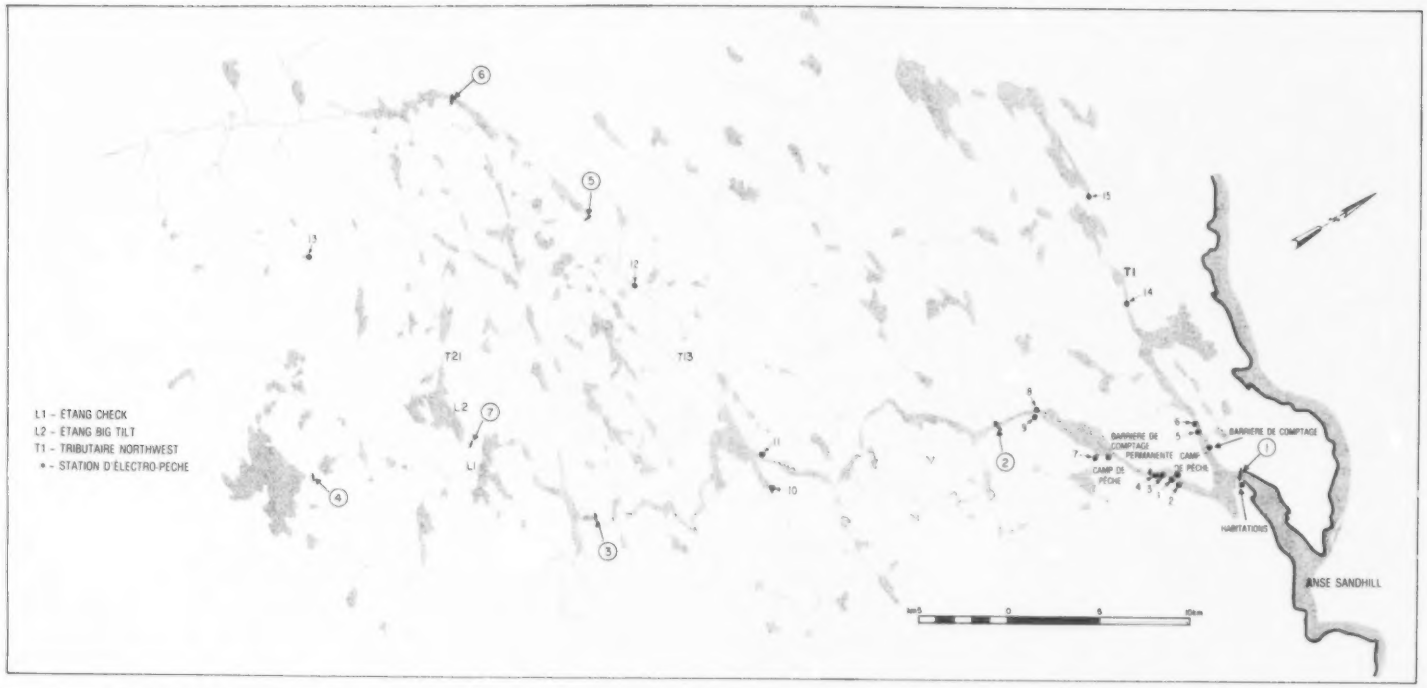

FIG. 31. Carte de la rivière Sandhill montrant les aires d'élevage accessibles au tacon du saumon de l'Atlantique.

(tableaux 108 à 112). Les tableaux 113 à 126 présentent des résumés détaillés des données sur la longueur à la fourche, le poids, le rapport des sexes et de l'âge des échantillons prélevés en 1967 et entre 1969 et 1973. Les sources de ces données, indiquées dans le titre du tableau, présentent des informations plus détaillées.

En 1969, Murphy a pu dénombrer une partie des smolts de saumons de l'Atlantique migrateurs dans l'axe principal de la rivière Sandhill (tableau 127). Pendant les années suivantes (1970–1973), leur nombre total allait de 37 007 à 52 607 (tableaux 128 à 131). Une analyse des spécimens de smolts capturés pendant leur migration, de 1969 à 1973, montre que la longueur moyenne à la fourche variait de 15,6 à 16,4 cm et le poids moyen annuel, de 32,3 à 39,7 g. Les smolts de quatre ans ont dominé pendant la période de l'étude (tableaux 132 à 141).

Pendant les premières études de reconnaissance de la rivière Sandhill en 1967, un dispositif temporaire de comptage du poisson destiné à surveiller la montaison a été installé dans le tributaire Northwest (T1). Ce dispositif a également été utilisé en 1969 et de 1971 à 1973. La principale espèce de poisson était l'omble arctique, les prises totales annuelles allant de 524 à 5 220 (tableaux 142 à 146). L'échantillon de 80 ombles prélevé en 1967 avait un âge moyen de 5,2 ans (tableau 147). Les échantillons d'ombles recueillis en 1967, 1971 et 1973 avaient respectivement une longueur moyenne à la fourche de 39,9, 39,6 et 43,0 cm et un poids moyen de 1 356,3, 950,8 et 1 449,4 g (tableaux 148 à 150).

Les saumons de l'Atlantique remontant le tributaire Northwest en 1967 avaient une longueur moyenne à la fourche de 56,2 cm et un poids moyen de 1 954,6 g (tableau 151). Plus de 90 % d'entre eux étaient des madeleineaux et plus de 50 % avaient passé 4 années en eau douce (tableau 152). La dévalaison a été surveillée dans le tributaire Northwest en 1973 et n'a permis de dénombrer que 1 014 smolts de saumon de l'Atlantique (tableau 153).

Les prises commerciales de saumons ont été échantillonnées à l'anse Sandhill de 1971 à 1973. Elles se composaient principalement de madeleineaux et les tableaux 154 à 159 présentent les données sur la longueur à la fourche, le poids, le rapport des sexes et l'âge des poissons capturés. En 1971 et 1973, un échantillon composé respectivement de 112 et 80 ombles arctiques a été prélevé dans les prises commerciales de l'anse Sandhill (tableaux 160 et 161).

En 1971, une étude d'électro-pêche a été effectuée dans 15 endroits de la rivière Sandhill pour déterminer la biomasse de jeunes saumons. Le tableau 162 énumère les caractéristiques physiques de ces endroits. Le tableau 163 présente les densités approximatives du jeune saumon, de l'omble de fontaine, du meunier noir, de l'épinoche à trois épines et de l'anguille d'Amérique, calculées par la méthode des moindres carrés (Ricker 1958). La densité des jeunes saumons variait énormément, probablement en raison de différents habitats échantillonnés et de l'éloignement des sites par rapport à l'embouchure.

Au milieu des années 60, les effets de la pêche à l'ouest du Groenland des stocks indigènes de saumon de l'Atlantique du Labrador sont devenus de plus en plus préoccupants, car les prises de ce dernier pays sont passées à près de 3 000 t.

C'est pourquoi un programme d'étiquetage des smolts et des adultes a été exécuté dans la rivière Sandhill de 1969 à 1972 à partir de l'hypothèse que le stock de ce cours d'eau était représentatif de la plupart des populations de saumons du sud du Labrador. Les tableaux 164 à 168 présentent le nombre de poissons recapturés dans leur rivière natale par les pêches commerciales canadiennes et celles de l'ouest du Groenland et les figures 32 à 40 présentent ces données sous forme de graphiques. Les conclusions sont les suivantes: de 82 à 98 % des grands saumons produits par la rivière Sandhill ont été capturés par les pêches commerciales de l'ouest du Groenland et du Canada, de 25 à 50 % des madeleineaux ont été capturés par la pêche commerciale dans leur rivière natale et de 2 à 3 % l'on été par la pêche sportive (Pratt *et al.* 1974).

Depuis 1973, les renseignements sur cette espèce de poisson dans la rivière Sandhill se sont limités aux rapports annuels sur les prises à la ligne de saumons et, en 1977, aux prises aux filets maillants tendus le 14 août (Bruce *et al.* 1979) qui ont permis de capturer des spécimens d'ombles de fontaine, d'ombles arctiques et de meuniers noirs (tableau 169).

TABLEAU 102. Caractéristiques physiques de la rivière Sandhill.

Référence cartographique:	Cartwright 13H, 3E 1:250 000	Élévation maximale du bassin versant:	632 m
Latitude de l'embouchure:	53°34′N	Longueur réelle de l'axe principal (en suivant les méandres):	80 km
Longitude de l'embouchure:	56°21′W	Longueur totale, y compris des tributaires:	611 km
Direction générale de l'écoulement:	Nord-est	Nombre de tributaires:	30
Superficie du bassin versant:	1142 km^2	Formation géologique:	Gneiss
Largeur moyenne	31 km		
Longueur de l'axe	66 km		
Périmètre du bassin versant	213 km		

TABLEAU 103. Obstacles de la rivière Sandhill (Peet 1971).

Renvoi à la figure 31	Emplacement	Distance de l'embouchure (km)	Type	Description			Obstacle au passage du poisson
				Hauteur (m)	Largeur (m)	Pente (°)	
1	Axe principal	0,4	Rapides	—	—	—	Franchissable
2	Axe principal	11,2	Chutes	—	—	—	Franchissable
3	Axe principal	24,2	Chutes (2)	—	—	—	Franchissable
4	Axe principal	45,1	Gorge et rapides	—	—	—	Franchissable
5	T13	12,9	Chutes	—	—	—	Franchissable
6	T13	19,3	Chutes	—	—	—	Franchissable
7	T21	0,8	Rapides et chutes	—	—	—	Franchissable

TABLEAU 104. Données sur la qualité de l'eau, rivière Sandhill, 1971, 1973 et 1977.

a) Axe principal

Date du prélèvement	Temp. ambiante (°C)	pH	Dureté totale (ppm)	Conductivité spécifique (μS·cm^{-1} à 25°C)	Turbidité (UTJ)	Alcalinité totale (ppm)	Calcium (ppm)	Chlorure (ppm)
3 nov. 1971	—	6,5	12,0	25,0	—	8,0	—	—
14 août 1977	13,9	5,6	6,0	25,0	0,7	2,0	0,6	5,5

b) Tributaire Northwest, échantillon prélevé le 7 août 1973

Turbidité	0,65	Alcanité en $CaCO_3$ (phénolphtaléine) (ppm)	0,0
Coloration (unités Hazen)	50,0	Alcanité totale en $CaCO_3$ (ppm)	3,2
pH	6,3	Dureté totale en $CaCO_3$ (ppm)	4,7
Chlorure dissous (ppm)	3,4	Calcium dissous (ppm)	0,9
Cuivre extractible (ppm)	0,011	Sulfate dissous (ppm)	5,0
Fluorure dissous (ppm)	<0,10	Silice réactive (ppm)	<0,10
Plomb extractible (ppm)	0,005	Sodium dissous (ppm)	2,6
Magnésium dissous (ppm)	0,6	Zinc extractible (ppm)	<0,002
Magnésium extractible (ppm)	<0,01	Cadmium extractible (ppm)	0,001
Azote, nitrite, nitrate dissous (ppm)	<0,01	Dureté (autre que carbonate) (ppm)	1,50
Ammoniac dissous (ppm)	<0,05	Const. de somme (ppm)	14,72
Phosphate inorganique dissous, phosphoreux (ppm)	0,01	SAR	0,52
Potassium dissous	0,03	Indice de saturation	4,63
% de sodium	52,68	Indice de stabilité	15,56
Conductivité spécifique (μmho·cm^{-1})	23,8		

TABLEAU 105. Résumé des données sur les prises à la ligne de saumon de l'Atlantique, rivière Sandhill, 1964–1980 (Moores *et al.* 1978; Moores et Tucker 1979, 1980, 1981).

Année	Madeleineaux <2,7 kg	Grands saumons ≥2,7 kg	Total	Jours de pêche à la ligne	Prises par jour de pêche à la ligne
1964	44	0	44	87	0,51
1965	24	32	56	116	0,48
1966	31	12	43	87	0,49
1967	14	5	19	90	0,21
1968	10	26	36	100	0,36
1969	—	—	—	—	—
1970	111	2	113	115	0,98
1971	112	0	112	74	1,51
1972	219	10	229	148	1,55
1973	519	0	519	272	1,91
1974	311	10	321	219	1,47
1975	—	—	—	—	—
1976	165	7	172	66	2,61
1977	—	—	—	—	—
1978	100	29	129	127	1,02
1979	650	5	655	351	1,87
1980	691	94	785	561	1,40
Moyenne	214	17	231	172	1,34

TABLEAU 106. Nombre d'années en mer et rapport des sexes (% de F) du saumon de l'Atlantique, rivière et anse Sandhill, 1969–1973 (MPO, données inédites).

			Madeleineaux		Saumons dibermarins		Saumons tribermarins	
Année	Emplacement	Méthode de capture	Mâles	Femelles	Mâles	Femelles	Mâles	Femelles
1969	Rivière Sandhill	Pêche à la ligne	20	2	0	5	0	0
1970	Rivière Sandhill	Pêche à la ligne	53	7	0	0	0	0
1971	Rivière Sandhill	Pêche à la ligne	27	3	0	0	0	0
	Anse Sandhill	Pêche au filet	63	9	5	23	1	2
1972	Rivière Sandhill	Pêche à la ligne	47	6	2	2	0	0
	Anse Sandhill	Pêche au filet	114	17	7	44	5	0
1973	Rivière Sandhill	Barrière de comptage	49	11	57	147	0	0
	Rivière Sandhill	Pêche à la ligne	102	59	1	10	0	0
	Anse Sandhill	Pêche au filet	76	25	20	84	0	0
Total			551	139	92	315	6	2
Rapport des sexes (% de F)			20,1		77,4		25,0	

TABLEAU 107. Nombre total de poissons remontant la rivière Sandhill par semaine, 1967. Parc en filet situé à 4,8 km en amont de l'embouchure (MPO, données inédites).

Semaine se terminant le	Saumons		Ombles de fontaine	Ombles arctiques	Meuniers noirs	Anguilles d'Amérique	Gaspareaux	Total	Température moyenne de l'eau (°C)	Hauteur moyenne de l'eau (m)
	<2,7 kg	≥2,7 kg								
2 juillet[a]	0	0	5	0	26	0	0	31	18,3	0,66
9 juillet	62	7	12	0	78	1	0	160	14,5	0,61
16 juillet	175	21	18	0	37	0	2	253	12,6	0,57
23 juillet	199	42	11	1	23	0	0	276	14,2	0,55
30 juillet[b]	116	15	6	2	9	0	0	148	10,5	0,92
6 août	0	0	0	0	0	0	0	0	—	—
13 août	0	0	0	0	0	0	0	0	—	—
20 août	1	1	0	0	1	0	0	3	15,5	0,60
27 août	0	1	2	0	11	0	0	14	13,6	0,55
3 sept.[c]	0	0	1	0	8	0	0	9	13,9	0,53
Total	553	87	55	3	193	1	2	894		

[a] Barrière installée le 2 juillet
[b] Barrière inutilisable du 26 juillet au 16 août
[c] Barrière retirée le 29 août

TABLEAU 108. Nombre total de poissons remontant la rivière Sandhill par semaine, 1969. Parc en filet situé à 5,6 km en amont de l'embouchure (Murphy 1972b).

Semaine se terminant le	Saumons		Ombles de fontaine	Ombles arctiques	Meuniers noirs	Total	Température moyenne de l'eau (°C)	Hauteur moyenne de l'eau (m)
	<2,7 kg	≥2,7 kg						
20 juillet[a]	2	1	9	0	8	20	16,9	0,42
27 juillet	111	5	9	0	10	135	15,7	0,45
3 août	297	7	7	14	28	353	16,8	0,32
10 août	328	13	10	6	20	377	15,1	0,38
17 août	114	5	11	20	1	151	16,7	0,58
24 août	46	4	21	11	27	109	15,7	0,69
31 août	13	1	3	2	21	40	13,9	0,69
Total	911	36	70	53	115	1185		

[a] Barrière installée le 17 juillet

TABLEAU 109. Nombre total de poissons remontant la rivière Sandhill par semaine, 1970. Parc en filet situé à 5,6 km en amont de l'embouchure (Murphy 1972b).

Semaine se terminant le	Saumons		Ombles de fontaine	Ombles arctiques	Meuniers noirs	Total	Nombre de saumons étiquetés	Température moyenne de l'eau (°C)	Hauteur moyenne de l'eau (m)
	<2,7 kg	≥2,7 kg							
5 juillet[a]	4	1	3	0	5	13	0	14,2	0,46
12 juillet	111	14	27	0	67	219	41	16,9	0,43
19 juillet	556	21	26	2	46	651	151	15,3	0,34
26 juillet	588	26	11	6	17	648	92	15,0	0,59
2 août	1063	27	11	18	20	1139	48	17,5	0,57
9 août	761	20	15	21	8	825	0	19,6	0,56
16 août	238	7	15	14	13	287	88	17,4	0,33
23 août	124	4	11	4	31	174	38	15,3	0,28
30 août	40	5	5	5	47	102	25	12,3	0,24
6 sept.	75	8	14	0	191	288	15	9,1	0,44
13 sept.	44	2	10	1	415	472	8	12,8	0,40
20 sept.	3	1	3	0	4	11	0	9,7	0,24
27 sept.	3	3	0	0	1	7	0	6,7	0,19
4 oct.	10	0	0	0	0	10	0	6,5	0,18
11 oct.	13	0	1	0	0	14	0	7,0	0,19
18 oct.[b]	7	0	5	0	5	17	0	6,5	0,21
Total	3640	139	157	71	870	4877	506		

[a] Barrière installée le 4 juillet
[b] Barrière retirée le 16 octobre

TABLEAU 110. Nombre total de poissons remontant la rivière Sandhill par semaine, 1971. Parc en filet situé à 5,6 km en amont de l'embouchure (Murphy 1972b).

Semaine se terminant le	Saumons		Ombles de fontaine	Ombles arctiques	Meuniers noirs	Total	Nombre de saumons étiquetés	Température moyenne de l'eau (°C)	Hauteur moyenne de l'eau (m)
	<2,7 kg	≥2,7 kg							
4 juillet	55	78	2	0	2	137	0	9,4	0,53
11 juillet	280	71	5	0	24	380	90	12,1	0,31
18 juillet[a]	603	35	18	0	13	669	67	14,7	0,28
25 juillet	978	30	9	2	79	1098	55	18,8	0,24
1 août	642	21	9	1	32	705	20	17,8	0,20
8 août	385	9	12	9	18	433	20	14,9	0,11
15 août	249	4	8	3	27	291	54	16,6	0,15
22 août	77	3	7	3	0	90	42	11,7	0,14
29 août	82	8	7	6	29	132	20	11,2	0,17
5 sept.	64	4	6	2	36	112	10	10,1	0,43
12 sept.	25	2	5	1	49	82	2	9,6	0,37
19 sept.	29	0	5	1	109	144	0	10,3	0,38
26 sept.	6	0	1	0	20	27	2	9,0	0,27
3 oct.	12	0	0	0	0	12	1	2,9	0,27
Total	3487	265	94	28	438	4312	383		

[a] Barrière installée le 12 juillet

TABLEAU 111. Nombre total de poissons remontant la rivière Sandhill par semaine, 1972. Parc en filet situé à 5,6 km en amont de l'embouchure (Murphy 1974).

Semaine se terminant le	Saumons		Ombles de fontaine	Ombles arctiques	Meuniers noirs	Total	Température moyenne de l'eau (°C)	Hauteur moyenne de l'eau (m)
	<2,7 kg	≥2,7 kg						
2 juillet[a]	0	0	0	0	0	0	15,6	0,54
9 juillet	1	7	4	0	6	18	18,2	0,34
16 juillet	43	51	2	0	26	122	16,3	0,33
23 juillet	226	32	3	0	1	262	16,3	0,32
30 juillet	465	24	8	0	0	497	15,5	0,36
6 août	444	10	6	5	3	468	16,4	0,31
13 août	417	21	5	7	2	452	14,3	0,43
20 août	132	4	5	9	6	156	12,8	0,54
27 août	97	6	12	13	28	156	14,1	0,38
3 sept.	31	4	1	11	25	72	13,9	0,27
10 sept.	16	3	0	6	28	53	11,5	0,31
17 sept.	5	3	0	2	0	10	7,5	—
24 sept.[b]	0	0	0	0	0	0	6,5	—
Total	1877	165	46	53	125	2266		

[a] Barrière installée le 28 juin
[b] Barrière retirée le 21 septembre

TABLEAU 112. Nombre total de poissons remontant la rivière Sandhill par semaine, 1973. Parc en filet situé à 5,6 km en amont de l'embouchure (Murphy 1972b).

Semaine se terminant le	Saumons		Ombles de fontaine	Ombles arctiques	Meuniers noirs	Aloses	Total	Température moyenne de l'eau (°C)	Hauteur moyenne de l'eau (m)
	<2,7 kg	≥2,7 kg							
17 juin	0	7	0	0	0	0	7	8,5	0,90
24 juin	7	134	0	0	0	0	141	10,7	0,71
1 juillet	68	64	10	0	20	0	162	15,4	0,57
8 juillet[a]	514	100	21	0	84	0	719	18,5	0,52
15 juillet	911	94	8	1	13	1	1028	17,0	0,76
22 juillet	1367	40	14	1	0	0	1422	18,9	0,58
29 juillet	317	1	3	5	0	0	326	14,6	0,49
5 août	488	10	6	1	1	0	506	16,9	0,50
12 août	571	12	7	4	0	0	594	16,7	0,51
19 août	145	11	2	0	0	0	158	15,8	0,51
26 août	41	1	0	1	0	0	43	13,6	0,46
2 sept.	34	5	1	0	1	0	41	11,7	0,49
9 sept.	42	3	2	0	5	0	52	9,2	0,52
16 sept.	17	4	0	0	1	0	22	8,1	0,50
23 sept.[b]	29	3	0	0	0	0	32	7,9	0,53
Total	4551	489	74	13	125	1	5253		

[a] Barrière installée le 8 juillet
[b] Barrière retirée le 18 septembre

TABLEAU 113. Longueur à la fourche, âge et sexe du saumon de l'Atlantique adulte, rivière Sandhill, 1967 (Peet 1971).

Limites des classes de longueur à la fourche (cm)	Âge (années)																
	4+				5+				6+				7+				
	3:1+		2:1,1+		4:1+		3:1,1+		5:1+		4:1,1+		4:1,1,1+		Total		
	M	F	M	F	M	F	M	F	M	F	M	F	M	F	M	F	%
44,95–47,94	0	0	0	0	2	6	0	0	0	0	0	0	0	0	2	6	1,6
47,95–50,94	15	7	0	0	25	23	0	0	1	0	0	0	0	0	41	30	13,9
50,95–53,94	36	22	0	0	60	62	0	0	5	5	1	0	0	0	102	89	37,3
53,95–56,94	26	8	0	0	59	40	0	0	8	3	1	0	0	0	93	51	28,1
56,95–59,94	2	1	0	0	16	8	0	0	0	0	0	0	0	0	19	9	5,5
59,95–62,94	1	0	0	0	2	2	0	0	0	0	0	0	0	0	3	2	1,0
62,95–65,94	0	0	1	0	0	0	1	0	0	0	0	0	0	0	2	0	0,4
65,95–68,94	0	0	0	0	1	1	4	0	0	0	2	0	0	0	7	1	1,6
68,95–71,94	0	0	0	0	1	0	1	2	0	0	7	2	0	0	9	4	2,5
71,95–74,94	0	0	0	0	0	0	4	2	0	0	6	5	0	0	10	7	3,3
74,95–77,94	0	0	0	0	0	0	2	2	0	0	7	6	0	0	9	8	3,3
77,95–80,94	0	0	0	0	0	0	1	0	0	0	2	1	0	0	3	1	0,8
80,95–83,94	0	0	0	0	0	0	1	0	0	0	1	0	0	0	2	0	0,4
83,95–86,94	0	0	0	0	0	0	0	0	0	0	1	0	1	0	2	0	0,4
Total partiel	80	38	1	0	166	142	14	6	14	8	28	14	1	0	304	208	
Total	118		1		308		20		22		42		1		512		
%	23,0		0,2		60,2		3,9		4,3		8,2		0,2		100		100

TABLEAU 114. Longueur à la fourche, poids et sexe du saumon de l'Atlantique adulte, rivière Sandhill, 1967 (Peet 1971).

Longueur à la fourche				Poids	
Limite des classes	Fréquence			Limite des classes	
(cm)	Mâles	Femelles	Total	(g)	Fréquence
44,95–47,94	2	6	8	899–1298	28
47,95–50,94	41	30	71	1299–1698	186
50,95–53,94	102	89	191	1699–2098	194
53,95–56,94	93	51	144	2099–2498	30
56,95–59,94	19	9	28	2499–2898	9
59,95–62,94	3	2	5	2899–3298	2
62,95–65,94	2	0	2	3299–3698	5
65,95–68,94	7	1	8	3699–4098	11
68,95–71,94	9	4	13	4099–4498	12
71,95–74,94	10	7	17	4499–4898	11
74,95–77,94	9	8	17	4899–5298	9
77,95–80,94	3	1	4	5299–5698	5
80,95–83,94	2	0	2	5699–6098	2
83,95–86,94	2	0	2	6099–6498	2
86,95–89,94	0	1	1	6499–6898	2
Total	304	209	513		508
Longueur moyenne à la fourche: 55,95 cm				Poids moyen: 2071 g	

TABLEAU 115. Âge et sexe du saumon de l'Atlantique adulte, rivière Sandhill, 1967 (Peet 1971).

	Nombre d'années en eau douce								Nombre d'années en eau salée								
	2		3		4		5		1		2		3		Fréquence		%
Âge	M	F	M	F	M	F	M	F	M	F	M	F	M	F	M	F	du total
4+	1	0	80	38	0	0	0	0	80	38	1	0	0	0	81	38	23,2
5+	0	0	14	6	166	142	0	0	166	142	14	6	0	0	180	148	64,1
6+	0	0	0	0	28	14	14	8	14	8	28	14	0	0	42	22	12,5
7+	0	0	0	0	1	0	0	0	0	0	0	0	1	0	1	0	0,2
Total partiel	1	0	94	44	195	156	14	8	260	188	43	20	1	0	304	208	
Total	1		138		351		22		448		63		1				
%	0,2		27,0		68,6		4,3		87,5		12,3		0,2				100

TABLEAU 116. Longueur à la fourche et âge du saumon de l'Atlantique adulte, rivière Sandhill, 1969 (Murphy 1972b).

Limites des classes de longueur à la fourche (cm)	Madeleineaux				Saumons dibermarins			Saumons tribermarins			
	3:1+	4:1+	5:1+	6:1+	3:1,1+	4:1,1+	5:1,1+	3:1,S,1+	4:1,1,S+	4:1,1,S+	Total
42,49–45,48	0	2	0	0	0	0	0	0	0	0	2
45,49–48,48	1	4	2	0	0	0	0	0	0	0	7
48,49–51,48	18	55	14	0	0	0	0	0	0	0	87
51,49–54,48	40	124	20	3	0	0	0	0	0	0	187
54,49–57,48	16	80	13	1	0	0	0	0	0	0	110
57,49–60,48	3	10	7	1	0	0	0	0	0	0	21
60,49–63,48	0	0	0	0	0	3	0	0	0	0	3
63,49–66,48	0	0	0	0	0	3	0	0	0	0	3
66,49–69,48	0	0	0	0	2	4	1	0	0	0	7
69,49–72,48	0	0	0	0	2	2	0	0	0	0	4
72,49–75,48	0	0	0	0	1	2	0	0	0	0	3
75,49–78,48	0	0	0	0	0	2	0	1	1	0	4
78,49–81,48	0	0	0	0	0	0	0	0	0	1	1
Total	78	275	56	5	5	16	1	1	1	1	439

TABLEAU 117. Longueur à la fourche et poids du saumon de l'Atlantique adulte, rivière Sandhill, 1969 (Murphy 1972b).

Longueur à la fourche		Poids	
Limites des classes (cm)	Fréquence	Limites des classes (g)	Fréquence
42,49–45,48	2	499–898	1
45,49–48,48	7	899–1298	19
48,49–51,48	88	1299–1698	215
51,49–54,48	190	1699–2098	134
54,49–57,48	111	2099–2498	16
57,49–60,48	22	2499–2898	5
60,49–63,48	3	2899–3298	5
63,49–66,48	3	3299–3698	6
66,49–69,48	7	3699–4098	3
69,49–72,48	4	4099–4498	4
72,49–75,48	4	4499–4898	1
75,49–78,48	4	4899–5298	2
78,49–81,48	0	5299–5698	0
81,49–84,48	0	—	—
84,49–87,48	0	—	—
87,49–90,48	0	—	—
90,49–93,43	1	8899-9298	1
Total	446		412
Longueur moyenne à la fourche: 54,34 cm		Poids moyen: 1791 g	

TABLEAU 118. Longueur à la fourche et âge du saumon de l'Atlantique adulte, rivière Sandhill, 1970 (Murphy 1972b).

Limites des classes de longueur à la fourche (cm)	Madeleineaux				Saumons dibermarins				Saumons tribermarins		Total
	3:1+	4:1+	5:1+	6:1+	3:1,1+	4:1,1+	5:1,1+	5:1,S+	4:1,S,1+	3:1,1,1+	
42,49–45,48	0	1	0	0	0	0	0	0	0	0	1
45,49–48,48	0	9	2	0	0	0	0	0	0	0	11
48,49–51,48	6	49	22	2	0	0	1	0	0	0	80
51,49–54,48	14	130	71	13	0	0	0	0	0	0	228
54,49–57,48	6	107	70	7	0	0	0	0	0	0	190
57,49–60,48	1	33	29	1	0	0	0	0	0	0	64
60,49–63,48	0	5	1	0	0	0	0	0	0	0	6
63,49–66,48	0	1	0	0	0	0	0	0	0	0	1
66,49–69,48	0	0	0	0	1	6	1	0	0	0	8
69,49–72,48	0	0	0	0	1	6	1	1	0	0	9
72,49–75,48	0	0	0	0	0	8	1	1	0	0	10
75,49–78,48	0	0	0	0	0	1	3	0	1	0	5
78,49–81,48	0	0	0	0	0	0	0	0	0	1	1
Total	27	335	195	23	2	21	7	2	1	1	614

TABLEAU 119. Longueur à la fourche et poids du saumon de l'Atlantique adulte, rivière Sandhill, 1970 (Murphy 1972b).

Longueur à la fourche		Poids	
Limites des classes (cm)	Fréquence	Limites des classes (g)	Fréquence
42,49–45,48	1	899–1298	12
45,49–48,48	11	1299–1698	165
48,49–51,48	84	1699–2098	234
51,49–54,48	234	2099–2498	64
54,49–57,48	194	2499–2898	4
57,49–60,48	68	2899–3298	3
60,49–63,48	6	3299–3698	8
63,49–66,48	1	3699–4098	5
66,49–69,48	8	4099–4498	7
69,49–72,48	10	4499–4898	3
72,49–75,48	9	4899–5298	2
75,49–78,48	6	5299–5698	2
78,49–81,48	1		
Total	633		509
Longueur moyenne à la fourche: 55,18 cm		Poids moyen: 1902,26 g	

TABLEAU 120. Longueur à la fourche et âge du saumon de l'Atlantique adulte, rivière Sandhill, 1971 (Murphy 1972b).

Limites des classes de longueur à la fourche (cm)	Madeleineaux					Saumons dibermarins				Saumons tribermarins				
	2:1+	3:1+	4:1+	5:1+	6:1+	3:1,1+	4:1,1+	4:1,S+	5:1,1+	3:1,S,1+	4:1,S,1+	4:1,1,1+	4:1,1,S+	Total
42,49–45,48	0	0	1	0	0	0	0	0	0	0	0	0	0	1
45,49–48,48	0	0	3	0	0	0	0	0	0	0	0	0	0	3
48,49–51,48	0	8	20	5	0	0	0	0	0	0	0	0	0	33
51,49–54,48	1	44	116	12	0	0	0	0	0	0	0	0	0	173
54,49–57,48	0	27	96	12	1	0	0	1	0	0	0	0	0	137
57,49–60,48	0	7	29	5	0	2	1	0	0	0	0	0	0	44
60,49–63,48	0	0	1	1	0	0	0	0	0	0	0	0	0	2
63,49–66,48	0	0	0	0	0	1	3	0	0	0	0	0	0	4
66,49–69,48	0	0	0	0	0	2	8	0	1	0	0	0	0	11
69,49–72,48	0	0	0	0	0	10	15	0	2	0	1	0	0	28
72,49–75,48	0	0	0	0	0	3	12	0	1	0	2	0	0	18
75,49–78,48	0	0	0	0	0	2	3	0	0	0	2	1	0	8
78,49–81,48	0	0	0	0	0	0	1	0	0	1	3	0	0	5
81,49–84,48	0	0	0	0	0	0	0	0	1	0	1	0	1	3
Total	1	86	266	35	1	20	43	1	5	1	9	1	1	470

TABLEAU 121. Longueur à la fourche, poids et âge du saumon de l'Atlantique adulte, rivière Sandhill, 1971 (Murphy 1972b).

Longueur à la fourche				Poids			
Limites des classes		Sexe[a]		Limites des classes		Sexe[a]	
(cm)	Fréquence	M	F	(g)	Fréquence	M	F
42,49–45,48	1	0	1	899–1298	14	6	7
45,49–48,48	5	2	1	1299–1698	197	126	70
48,49–51,48	60	29	28	1699–2098	197	143	52
51,49–54,48	210	138	66	2099–2498	32	22	10
54,49–57,48	151	114	36	2499–2898	9	1	5
57,49–60,48	47	31	15	2899–3298	4	1	3
60,49–63,48	3	2	1	3299–3698	5	2	3
63,49–66,48	4	0	4	3699–4098	17	8	9
66,49–69,48	12	5	6	4099–4498	9	7	2
69,49–72,48	30	14	14	4499–4898	8	3	4
72,49–75,48	18	9	9	4899–5298	8	3	3
75,49–78,48	8	5	3	5299–5698	4	2	2
78,49–81,48	5	3	2	5699–6098	2	1	1
81,49–84,48	3	0	3	6099–6498	1	1	0
				6499–6898	1	0	1
				6899–7298	1	0	1
Total	557	352	189		509	326	173
Longueur moyenne à la fourche: 56,77 cm				Poids moyen: 2062,45 g			

[a] Le sexe de tous les échantillons n'a pas été déterminé.

TABLEAU 122. Longueur à la fourche et âge du saumon de l'Atlantique adulte, rivière Sandhill, 1972 (Murphy 1974).

Limites des classes de longueur à la fourche (cm)	Madeleineaux				Saumons dibermarins				Saumons tribermarins				Total
	3:1+	4:1+	5:1+	6:1+	3:1,1+	4:1,1+	5:1,1+	6:1,1+	3:1,1,1+	4:1,1,1+	5:1,1,1+	6:1,1,1+	
45,49–48,48	0	1	0	0	0	0	0	0	0	0	0	0	1
48,49–51,48	2	19	3	0	0	0	0	0	0	0	0	0	24
51,49–54,48	9	83	18	1	0	0	0	0	0	0	0	0	111
54,49–57,48	11	109	35	3	0	0	0	0	0	0	0	0	158
57,49–60,48	6	30	11	0	0	0	0	0	0	0	0	0	47
60,49–63,48	0	5	5	0	0	2	0	0	0	0	0	0	12
63,49–66,48	0	0	0	0	0	0	0	0	0	0	0	0	0
66,49–69,48	0	0	0	0	0	1	0	0	0	0	0	0	1
69,49–72,48	0	2	0	0	0	4	1	1	0	1	1	0	10
72,49–75,48	0	0	0	0	1	11	6	0	0	1	0	0	19
75,49–78,48	0	0	0	0	1	8	3	0	1	3	0	0	16
78,49–81,48	0	0	0	0	0	6	1	0	0	0	0	1	8
81,49–84,48	0	0	0	0	0	1	0	0	0	0	0	0	1
84,49–87,48	0	0	0	0	0	0	0	1	0	0	0	0	1
Total	28	249	72	4	2	33	11	2	1	5	1	1	409

TABLEAU 123. Longueur à la fourche et poids des madeleineaux de saumon de l'Atlantique, rivière Sandhill, 1972 (Murphy 1974).

Longueur à la fourche		Poids	
Limites des classes (cm)	Fréquence	Limites des classes (g)	Fréquence
46,49–47,48	1	1099–1198	2
47,49–48,48	3	1199–1298	7
48,49–49,48	9	1299–1398	8
49,49–50,48	24	1399–1498	27
50,49–51,48	26	1499–1598	33
51,49–52,48	59	1599–1698	29
52,49–53,48	58	1699–1798	23
53,49–54,48	53	1799–1898	23
54,49–55,48	52	1899–1998	11
55,49–56,48	30	1999–2098	10
56,49–57,48	26	2099–2198	5
57,49–58,48	7	2199–2298	1
58,49–59,48	11	2299–2398	0
59,49–60,48	2	2399–2498	2
60,49–61,48	4	2499–2598	0
61,49–62,48	1	2599–2698	1
Total	366		182
Longueur moyenne à la fourche: 53,72 cm		Poids moyen: 1676 g	

TABLEAU 124. Longueur à la fourche et poids du saumon de l'Atlantique ayant passé plusieurs hivers en mer, rivière Sandhill, 1972 (Murphy 1974).

Longueur à la fourche		Poids	
Limites des classes (cm)	Fréquence	Limites des classes (g)	Fréquence
57,49–60,48	1	3099–3298	2
60,49–63,48	1	3299–3498	0
63,49–66,48	1	3499–3698	2
66,49–69,48	4	3699–3898	4
69,49–72,48	17	3899–4098	4
72,49–75,48	20	4099–4298	1
75,49–78,48	10	4299–4498	4
78,49–81,48	3	4499–4698	5
81,49–84,48	2	4699–4898	3
		4899–5098	4
		5099–5298	2
		5299–5498	1
		5499–5698	0
		5699–5898	1
		5899–6098	0
		6099–6298	0
		6299–6498	0
		6499–6698	1
Total	59		34
Longueur moyenne à la fourche: 73,22 cm		Poids moyen: 4786,36 g	

TABLEAU 125. Longueur à la fourche et âge du saumon de l'Atlantique adulte, rivière Sandhill, 1973 (Murphy 1974).

Limites des classes de longueur à la fourche (cm)	Madeleineaux					Saumons dibermarins				Saumons tribermarins					Saumon quadribermarins	
	3:1+	4:1+	5:1+	6:1+	7:1+	3:1,1+	4:1,1+	5:1,1+	6:1,1+	3:1,S,1+	4:1,1,1+	4:1,S,1+	5:1,S,1+	6:1,S,1+	4:1,1,S,1+	Total
45,49–48,48	1	0	3	0	0	0	0	0	0	0	0	0	0	0	0	4
48,49–51,48	0	27	7	0	0	0	0	0	0	0	0	0	0	0	0	34
51,49–54,48	7	139	77	11	1	0	0	0	0	0	0	0	0	0	0	235
54,49–57,48	17	205	178	30	0	0	0	0	0	0	0	0	0	0	0	430
57,49–60,48	6	97	93	7	0	0	0	0	0	0	0	0	0	0	0	203
60,49–63,48	1	12	20	2	0	0	0	0	0	0	0	0	0	0	0	35
63,49–66,48	0	0	2	1	0	0	1	0	0	0	0	0	0	0	0	4
66,49–69,48	0	0	1	0	0	0	2	1	0	0	0	0	0	0	0	4
69,49–72,48	0	0	1	0	0	2	5	5	1	0	0	0	0	0	0	14
72,49–75,48	0	0	0	0	0	7	19	13	0	1	0	7	2	0	0	49
75,49–78,48	0	0	0	0	0	7	36	21	1	2	0	6	0	0	0	73
78,49–81,48	0	0	0	0	0	1	12	12	3	3	0	7	5	0	0	43
81,49–84,48	0	0	0	0	0	0	6	4	1	0	0	11	3	0	0	25
84,49–87,48	0	0	0	0	0	0	1	0	0	0	0	2	3	0	0	6
87,49–90,48	0	0	0	0	0	0	1	1	0	0	0	0	0	1	0	3
90,49–93,48	0	0	0	0	0	0	0	0	0	0	0	0	0	0	1	1
93,49–96,48	0	0	0	0	0	0	0	0	0	0	0	0	0	0	0	0
96,49–99,48	0	0	0	0	0	0	0	0	0	0	0	0	0	0	0	0
99,49–102,48	0	0	0	0	0	0	0	0	0	0	1	0	0	0	0	1
Total	32	480	382	51	1	17	83	57	6	6	1	33	13	1	1	1164

TABLEAU 126. Longueur à la fourche du saumon de l'Atlantique adulte, rivière Sandhill, 1973 (Murphy 1974).

Longueur à la fourche	
Limites des classes (cm)	Fréquence
44,49–46,48	4
46,49–48,48	9
48,49–50,48	49
50,49–52,48	161
52,49–54,48	282
54,49–56,48	283
56,49–58,48	144
58,49–60,48	44
60,49–62,48	9
62,49–64,48	2
64,49–66,48	0
66,49–68,48	2
68,49–70,48	11
70,49–72,48	24
72,49–74,48	49
74,49–76,48	51
76,49–78,48	38
78,49–80,48	35
80,49–82,48	17
82,49–84,48	7
84,49–86,48	3
86,49–88,48	3
88,49–90,48	2
90,49–92,48	0
92,49–94,48	0
94,49–96,48	0
96,49–98,48	1
Total	1230

TABLEAU 127. Nombre total de poissons dévalant la rivière Sandhill par semaine, 1969. Les dénombrements effectués avec des verveux mouillés à 6,0 km de l'embouchure ont été combinés à ceux effectués avec un parc en filet situé à 5,6 km en amont de l'embouchure. Les totaux ne représentent que des dénombrements partiels (Murphy 1972b).

Semaine se terminant le	Saumons de l'Atlantique			Ombles de fontaine	Anguilles d'Amérique	Meuniers noirs	Aloses	Total	Nombre de smolts étiquetés	Température moyenne de l'eau (°C)	Hauteur moyenne de l'eau (m)
	Smolts	Tacons	Charognards								
29 juin	3 453	47	0	30	23	661	0	4 214	2 403	11,8	1,03
6 juillet	2 752	279	0	48	48	46	0	3 173	2 672	12,4	0,71
13 juillet	1 492	994	0	185	33	63	1	2 768	1 273	12,7	0,48
20 juillet	885	885	0	244	26	85	0	2 125	512	16,9	0,42
27 juillet[a]	49	9	0	13	0	33	1	105	0	15,7	0,45
3 août	16	2	0	8	0	0	0	26	0	16,8	0,32
10 août	0	7	0	3	0	2	0	12	0	15,1	0,38
17 août	6	26	0	8	8	14	0	62	0	16,7	0,58
24 août	0	0	0	2	0	0	0	2	0	15,7	0,69
31 août	0	0	0	1	0	0	0	1	0	13,9	0,69
Total	8 653	2 249	0	542	138	904	2	12 488	6 860		

[a] Barrière installée le 23 juillet

TABLEAU 128. Nombre total de poissons dévalant la rivière Sandhill par semaine, 1970. Parc en filet situé à 5,6 km en amont de l'embouchure (Murphy 1972b).

Semaine se terminant le	Saumons de l'Atlantique			Ombles de fontaine	Anguilles d'Amérique	Meuniers noirs	Total	Nombre de smolts étiquetés	Température moyenne de l'eau (°C)	Hauteur moyenne de l'eau (m)
	Smolts	Tacons	Charognards							
14 juin	34	67	7	59	15	13	195	0	8,9	0,97
21 juin	1 967	154	4	68	13	2 068	4 274	722	11,1	0,83
28 juin	42 886	149	0	48	9	1 122	44 214	4 540	12,4	0,77
5 juillet[a]	4 087	89	0	20	6	62	4 264	2 653	14,2	0,46
12 juillet	1 499	136	0	21	5	45	1 706	223	16,9	0,43
19 juillet	21	1	0	5	3	7	37	0	15,3	0,34
26 juillet	219	71	0	29	16	368	703	0	15,0	0,59
2 août	64	53	0	17	9	276	419	0	17,5	0,57
9 août	14	60	0	5	1	55	135	0	19,6	0,56
Total	50 791	780	11	272	77	4 016	55 947	8 138		

[a] Barrière installée le 30 juin

TABLEAU 129. Nombre total de poissons dévalant la rivière Sandhill par semaine, 1971. Parc en filet situé à 5,6 km en amont de l'embouchure (Murphy 1972b).

Semaine se terminant le	Saumons de l'Antlantique			Ombles de fontaine	Anguilles d'Amérique	Meuniers noirs	Aloses	Total	Nombre de smolts étiquetés	Température moyenne de l'eau (°C)	Hauteur moyenne de l'eau (m)
	Smolts	Tacons	Charognards								
6 juin	0	0	0	0	0	0	0	0	0	5,3	0,89
13 juin	4	4	0	1	0	0	0	9	0	7,9	0,76
20 juin	65	51	0	10	2	51	0	179	0	7,8	0,69
27 juin[a]	27 256	316	1	47	2	1 209	0	28 831	4 418	9,4	0,70
4 juillet	18 301	234	0	24	2	151	1	18 713	5 609	9,4	0,53
11 juillet	6 447	178	0	37	1	82	1	6 746	673	12,1	0,31
18 juillet	531	33	0	23	0	28	0	615	0	14,7	0,28
25 juillet[b]	3	2	0	3	0	4	1	13	0	18,8	0,24
1 août	0	0	0	0	0	0	0	0	0	17,8	0,20
8 août	0	0	0	0	0	0	0	0	0	14,9	0,11
15 août	0	0	0	0	0	0	0	0	0	16,6	0,15
22 août	0	0	0	0	0	0	0	0	0	11,7	0,14
29 août	0	0	0	0	0	0	0	0	0	11,2	0,17
5 sept.	0	0	0	0	0	0	0	0	0	10,3	0,43
12 sept.	0	3	0	10	36	10	0	59	0	9,0	0,37
Total	52 607	821	1	155	43	1 535	3	55 165	10 700		

[a] Barrière installée le 22 juin
[b] Une lamproie le 25 juillet

TABLEAU 130. Nombre total de poissons dévalant la rivière Sandhill par semaine, 1970. Parc en filet situé à 5,6 km en amont de l'embouchure (Murphy 1974).

Semaine se terminant le	Saumons de l'Atlantique			Ombles de fontaine	Anguilles d'Amérique	Meuniers noirs	Épinoches à trois épines	Total	Nombre de smolts étiquetés	Température moyenne de l'eau (°C)	Hauteur moyenne de l'eau (m)
	Smolts	Tacons	Charognards								
25 juin	127	100	0	39	0	68	1	335	73	11,9	0,85
2 juillet[a]	32 736	99	0	50	2	8 385	1	41 273	5 946	15,6	0,54
9 juillet	3 870	55	0	24	1	39	1	3 990	2 196	18,2	0,34
16 juillet	204	10	0	3	0	3	0	220	0	16,3	0,33
23 juillet	60	1	0	2	0	0	0	63	0	16,3	0,32
30 juillet	7	2	1	2	4	2	0	18	0	15,5	0,36
6 août	0	0	0	0	0	0	0	0	0	16,4	0,31
13 août	0	0	0	4	44	119	0	167	0	14,3	0,43
20 août	3	3	3	6	78	76	0	169	0	12,8	0,54
27 août	0	0	0	0	1	0	0	1	0	14,1	0,38
3 sept.	0	0	0	0	0	0	0	0	0	13,9	0,27
10 sept.	0	0	0	0	0	0	0	0	0	11,5	0,31
17 sept.	0	0	0	0	0	0	0	0	0	7,5	—
24 sept.[b]	0	0	0	0	0	0	0	0	0	6,5	—
Total	37 007	270	4	130	130	8 692	3	46 236	8 215		

[a] Barrière installée le 26 juin
[b] Barrière retirée le 21 septembre

TABLEAU 131. Nombre total de poissons dévalant la rivière Sandhill, 1973. Parc en filet situé à 5,6 km en amont de l'embouchure (Murphy 1974).

Semaine se terminant le	Saumons de l'Atlantique			Ombles de fontaine	Anguilles d'Amérique	Meuniers noirs	Aloses	Total	Nombre de smolts étiquetés	Température moyenne de l'eau (°C)	Hauteur moyenne de l'eau (m)
	Smolts	Tacons	Charognards								
10 juin[a]	407	101	0	96	1	1 883	0	2 488	0	11,6	1,03
17 juin	2 974	94	30	93	1	11 200	0	14 392	0	8,5	0,90
24 juin	28 655	68	6	35	1	1 631	0	30 396	3 682	10,7	0,71
1 juillet	13 785	240	3	60	2	54	0	14 144	2 418	15,4	0,57
8 juillet	1 313	117	3	74	0	22	0	1 529	108	18,5	0,52
15 juillet	482	7	6	11	0	79	0	585	0	17,0	0,76
22 juillet	100	3	1	11	0	2	0	117	0	18,9	0,58
29 juillet	3	2	2	1	0	0	0	8	0	14,6	0,49
5 août	48	2	2	4	0	0	0	56	0	16,9	0,50
12 août	4	1	3	1	0	0	1	10	0	16,7	0,51
19 août	0	0	0	0	0	0	0	0	0	15,8	0,51
26 août	0	0	1	0	0	0	0	1	0	13,6	0,46
Total	47 771	635	57	386	5	14 871	1	63 726	6 208		

[a] Barrière installée le 9 juin

TABLEAU 132. Longueur à la fourche et âge des tacons et des smolts de saumon de l'Atlantique, rivière Sandhill, 1969 (Murphy 1972b).

Limites des classes de longueur à la fourche (cm)	Âge (années)						Âge moyen (années)	Total
	1+	2+	3+	4+	5+	6+		
4,49–5,48	7	0	0	0	0	0	1,0	7
5,49–6,48	4	0	0	0	0	0	1,0	4
6,49–7,48	0	2	0	0	0	0	2,0	2
7,49–8,48	0	2	0	0	0	0	2,0	2
8,49–9,48	0	1	0	0	0	0	2,0	1
9,49–10,48	0	0	0	0	0	0	—	0
10,49–11,48	0	0	0	0	0	0	—	0
11,49–12,48	0	0	0	1	0	0	4,0	1
12,49–13,48	0	0	1	0	1	0	4,0	2
13,49–14,48	0	1	2	7	8	1	4,3	19
14,49–15,48	0	0	7	12	12	5	4,4	36
15,49–16,48	0	0	6	25	12	7	4,4	50
16,49–17,48	0	0	1	14	10	2	4,5	27
17,49–18,48	0	0	0	6	4	1	4,5	11
18,49–19,48	0	0	0	4	1	1	4,5	6
Total	11	6	17	69	48	17	4,1	168

TABLEAU 133. Longueur à la fourche et poids des smolts de saumon de l'Atlantique, rivière Sandhill, 1969 (Murphy 1972b).

Longueur à la fourche		Poids	
Limites des classes (cm)	Fréquence	Limites des classes (g)	Fréquence
11,49–12,48	1	16,99–20,98	7
12,49–13,48	2	20,99–24,98	11
13,49–14,48	19	24,99–28,98	18
14,49–15,48	41	28,99–32,98	30
15,49–16,48	51	32,99–36,98	32
16,49–17,48	30	36,99–40,98	27
17,49–18,48	11	40,99–44,98	12
18,49–19,48	6	44,99–48,98	11
		48,99–52,98	7
		52,99–56,98	4
		56,99–60,98	1
Total	161		160
Longueur moyenne à la fourche: 15,87 cm		Poids moyen: 32,27 g	

TABLEAU 134. Longueur à la fourche et âge des smolts de saumon de l'Atlantique, rivière Sandhill, 1969 (Murphy 1972b).

Limites des classes de longueur à la fourche (cm)	Âge (années)					Âge moyen (années)	Total
	3+	4+	5+	6+	7+		
12,49–13,48	0	1	0	0	0	4,0	1
13,49–14,48	2	6	0	0	0	3,8	8
14,49–15,48	3	36	21	1	0	4,3	61
15,49–16,48	3	41	26	2	0	4,4	72
16,49–17,48	3	21	24	3	0	4,5	51
17,49–18,48	0	6	7	0	1	4,7	14
18,49–19,48	0	5	4	1	0	4,6	10
19,49–20,48	0	1	4	0	0	4,2	5
Total	11	117	86	7	1	4,4	222

TABLEAU 135. Longueur à la fourche et poids des smolts de saumon de l'Atlantique, rivière Sandhill, 1970 (Murphy 1972b).

Longueur à la fourche		Poids	
Limites des classes (cm)	Fréquence	Limites des classes (g)	Fréquence
12,49–13,48	1	20,99–24,98	4
13,49–14,48	8	24,99–28,98	16
14,49–15,48	61	28,99–32,98	43
15,49–16,48	70	32,99–36,98	42
16,49–17,48	49	36,99–40,98	40
17,49–18,48	14	40,99–44,98	29
18,49–19,48	10	44,99–48,98	16
19,49–20,48	5	48,99–52,98	10
		52,99–56,98	6
		56,99–60,98	7
		60,99–64,98	2
		64,99–68,98	3
Total	218		218
Longueur moyenne à la fourche: 16,20 cm		Poids moyen: 34,79 g	

TABLEAU 136. Longueur à la fourche et âge des smolts de saumon de l'Atlantique, rivière Sandhill, 1971 (Murphy 1972b).

Limites des classes de longueur à la fourche (cm)	Âge (années)				Âge moyen (années)	Total
	3+	4+	5+	6+		
12,49–13,48	1	2	1	0	4,0	4
13,49–14,48	4	19	6	0	4,1	29
14,49–15,48	8	49	10	0	4,0	67
15,49–16,48	8	50	20	1	4,2	79
16,49–17,48	2	16	8	1	4,3	27
17,49–18,48	0	8	6	2	4,6	16
18,49–19,48	0	2	2	0	4,5	4
19,49–20,48	0	0	0	0	—	0
Total	23	146	53	4	4,2	226

TABLEAU 137. Longueur à la fourche et poids des smolts de saumon de l'Atlantique, rivière Sandhill, 1971 (Murphy 1972b).

Longueur à la fourche		Poids	
Limites des classes (cm)	Fréquence	Limites des classes (g)	Fréquence
12,49–13,48	4	16,99–20,98	2
13,49–14,48	30	20,99–24,98	10
14,49–15,48	66	24,99–28,98	25
15,49–16,48	80	28,99–32,98	34
16,49–17,48	28	32,99–36,98	55
17,49–18,48	16	36,99–40,98	41
18,49–19,48	4	40,99–44,98	26
		44,99–48,98	14
		48,99–52,98	11
		52,99–56,98	4
		56,99–60,98	3
		60,99–64,98	1
Total	228		226
Longueur moyenne à la fourche: 15,70 cm		Poids moyen: 36,80 g	

TABLEAU 138. Longueur à la fourche et âge des smolts de saumon de l'Atlantique, rivière Sandhill, 1972 (Murphy 1974).

Limites des classes de longueur à la fourche (cm)	Âge (années)					Âge moyen (années)	Total
	2+	3+	4+	5+	6+		
12,49–13,48	0	1	1	0	0	3,5	2
13,49–14,48	1	1	10	2	0	3,9	14
14,49–15,48	1	9	38	7	1	4,0	56
15,49–16,48	0	7	41	6	1	4,0	55
16,49–17,48	0	1	5	8	0	4,5	14
17,49–18,48	0	0	6	1	1	4,4	8
18,49–19,48	0	0	0	0	1	6,0	1
Total	2	19	101	24	4	4,1	150

TABLEAU 139. Longueur à la fourche et poids des smolts de saumon de l'Atlantique, rivière Sandhill, 1972 (Murphy 1974).

Longueur à la fourche		Poids	
Limites des classes (cm)	Fréquence	Limites des classes (g)	Fréquence
12,49–13,48	2	20,99–24,98	1
13,49–14,48	14	24,99–28,98	7
14,49–15,48	56	28,99–32,98	28
15,49–16,48	55	32,99–36,98	42
16,49–17,48	14	36,99–40,98	34
17,49–18,48	8	40,99–44,98	17
18,49–19,48	1	44,99–48,98	10
		48,99–52,98	4
		52,99–56,98	3
		56,99–60,98	3
Total	150		149
Longueur moyenne à la fourche: 15,61 cm		Poids moyen: 37,71 g	

TABLEAU 140. Longueur à la fourche et âge des smolts de saumon de l'Atlantique, rivière Sandhill, 1973 (Murphy 1974).

Limites des classes de longueur à la fourche (cm)	Âge (années)					Âge moyen (années)	Total
	3+	4+	5+	6+	7+		
12,49–13,48	1	2	0	0	0	3,7	3
13,49–14,48	1	18	11	1	0	4,4	31
14,49–15,48	3	45	48	2	1	4,5	99
15,49–16,48	1	88	87	16	0	4,6	192
16,49–17,48	11	97	107	21	0	4,6	236
17,49–18,48	3	51	67	12	0	4,7	133
18,49–19,48	1	27	49	8	1	4,8	86
19,49–20,48	0	7	19	1	0	4,8	27
20,49–21,48	0	2	9	0	0	4,8	11
21,49–22,48	0	0	1	0	0	5,0	1
Total	21	337	398	61	2	4,6	819

TABLEAU 141. Longueur à la fourche et poids des smolts de saumon de l'Atlantique, rivière Sandhill, 1973 (Murphy 1974).

Longueur à la fourche		Poids	
Limites des classes (cm)	Fréquence	Limites des classes (g)	Fréquence
12,49–13,48	15	16,99–20,98	1
13,49–14,48	50	20,99–24,98	17
14,49–15,48	176	24,99–28,98	59
15,49–16,48	203	28,99–32,98	116
16,49–17,48	191	32,99–36,98	153
17,49–18,48	128	36,99–40,98	171
18,49–19,48	52	40,99–44,98	99
19,49–20,48	16	44,99–48,98	82
20,49–21,48	4	48,99–52,98	52
21,49–22,48	1	52,99–56,98	29
		56,99–60,98	18
		60,99–64,98	11
		64,99–68,98	6
		68,99–72,98	4
		72,99–76,98	0
		76,99–80,98	1
Total	836		819
Longueur moyenne à la fourche: 16,44 cm		Poids moyen: 39,67 g	

TABLEAU 142. Nombre total de poissons remontant le tributaire Northwest par semaine, rivière Sandhill, 1967.

Semaine se terminant le	Saumons		Ombles de fontaine	Ombles arctiques	Meuniers noirs	Total	Mortalité causée par le parc en filet			Température moyenne de l'eau (°C)	Hauteur moyenne de l'eau (m)
	<2,7 kg	≥2,7 kg					Ombles de fontaine	Ombles arctiques	Meuniers noirs		
9 juillet[a]	0	0	56	34	19	109	0	0	4	16,4	—
16 juillet	8	2	398	984	38	1430	22	6	14	15,1	0,53
23 juillet	9	1	231	267	128	636	11	0	21	16,5	0,53
30 juillet[b]	15	2	119	1345	264	1745	8	6	46	12,1	0,82
6 août[b]	23	5	157	1198	183	1566	7	43	25	15,1	0,85
13 août	28	0	26	662	32	748	5	50	25	17,0	0,71
20 août	14	2	23	389	4	432	7	44	4	16,6	0,62
27 août	8	1	18	287	2	316	3	59	1	14,4	0,59
3 sept.[c]	6	1	9	54	2	72	1	8	2	13,8	0,64
Total	111	14	1037	5220	672	7054	64	216	142		

[a] Barrière installée le 8 juillet
[b] Parc en filet fermé le 29 juillet et le 2 août en raison du haut niveau de l'eau
[c] Barrière retirée le 1er septembre

TABLEAU 143. Nombre total de poissons remontant le tributaire Northwest par semaine, rivière Sandhill, 1969 (Murphy 1972b).

Semaine se terminant le	Saumons		Ombles de fontaine	Ombles arctiques	Meuniers noirs	Éperlans	Total	Température moyenne de l'eau (°C)	Hauteur moyenne de l'eau (m)
	<2,7 kg	≥2,7 kg							
20 juillet[a]	1	0	6	25	11	0	43	—	—
27 juillet	6	1	55	65	45	0	172	—	—
3 août	3	0	83	416	10	0	512	—	—
10 août	5	0	28	322	0	0	355	—	—
17 août	1	0	10	336	5	0	352	—	—
24 août	0	0	3	190	2	92	287	—	—
31 août[b]	0	0	0	5	0	107	112	—	—
Total	16	1	185	1359	73	199	1833		

[a] Barrière installée le 19 juillet
[b] Barrière retirée le 30 août

TABLEAU 144. Nombre total de poissons remontant le tributaire Northwest par semaine, rivière Sandhill, 1971 (Murphy 1972b).

Semaine se terminant le	Saumons		Ombles de fontaine	Ombles arctiques	Meuniers noirs	Éperlans	Total	Température moyenne de l'eau (°C)
	<2,7 kg	≥2,7 kg						
11 juillet[a]	4	1	2	0	92	0	99	13,6
18 juillet	24	0	14	1	111	0	150	15,1
25 juillet	23	0	25	12	126	0	186	18,1
1 août	8	0	15	15	13	0	51	19,6
8 août	5	0	62	203	4	0	274	18,4
15 août	3	0	10	121	15	0	149	18,8
22 août	0	0	6	73	4	0	83	16,0
29 août	26	0	27	74	8	0	135	14,0
5 sept.	5	0	5	21	1	19	51	13,2
12 sept.	0	0	1	1	0	154	156	12,4
19 sept.	2	0	2	3	0	52	59	12,1
26 sept.	0	0	1	0	0	11	12	11,3
3 oct.	0	0	0	0	0	6	6	3,7
Total	100	1	170	524	374	242	1411	

[a] Barrière installée le 8 juillet

TABLEAU 145. Nombre total de poissons remontant le tributaire Northwest par semaine, rivière Sandhill, 1972 (Murphy 1974).

Semaine se terminant le	Saumons		Ombles de fontaine	Ombles arctiques	Meuniers noirs	Total	Température moyenne de l'eau (°C)
	<2,7 kg	≥2,7 kg					
16 juillet[a]	0	1	7	0	0	8	15,8
23 juillet	2	0	15	21	6	44	15,5
30 juillet	13	0	63	119	3	198	13,5
6 août	2	0	30	119	0	151	15,5
13 août	9	2	37	274	4	326	13,8
20 août[b]	3	0	5	29	0	37	11,6
27 août[c]	0	0	3	19	0	22	12,6
3 sept.	0	0	10	27	0	37	10,9
10 sept.[d]	0	0	3	4	0	7	12,8
Total	29	3	173	612	13	830	

[a] Barrière installée le 13 juillet
[b] Barrière partiellement inutilisable le 15 août
[c] Barrière réparée le 25 août
[d] Barrière retirée le 6 septembre

TABLEAU 146. Nombre total de poissons remontant le tributaire Northwest par semaine, rivière Sandhill, 1973 (Murphy 1974).

Semaine se terminant le	Saumons		Ombles de fontaine	Ombles arctiques	Meuniers noirs	Éperlans	Total	Température moyenne de l'eau (°C)
	<2,7 kg	≥2,7 kg						
24 juin[a]	0	7	1	0	448	0	456	10,9
1 juillet	6	9	5	0	303	0	323	15,2
8 juillet	46	12	2	1	171	0	232	18,8
15 juillet	89	15	4	11	115	0	234	18,1
22 juillet	63	2	17	194	31	0	307	19,6
29 juillet	40	2	13	263	1	0	319	17,4
5 août	46	2	15	78	5	0	146	18,8
12 août	43	3	11	55	6	0	118	17,1
19 août	28	1	7	18	4	0	58	17,5
26 août	15	0	9	6	4	18	52	14,2
2 sept.	8	1	7	0	0	58	74	12,3
9 sept.	5	0	6	0	1	829	841	12,4
16 sept.	0	0	3	0	0	485	488	11,1
Total	389	54	100	626	1089	1390	3648	

[a] Barrière installée le 21 juin

TABLEAU 147. Longueur à la fourche et âge de l'omble arctique, tributaire Northwest, rivière Sandhill, 1967 (Peet 1971).

Limites des classes de longueur à la fourche (cm)	Âge (années)									Total
	2 +	3 +	4 +	5 +	6 +	7 +	8 +	9 +	10 +	
17,95–20,94	3	2	0	0	0	0	0	0	0	5
20,95–23,94	0	2	3	2	0	0	0	0	0	7
23,95–26,94	0	2	9	2	1	0	0	0	0	14
26,95–29,94	0	0	4	3	0	0	0	0	0	7
29,95–32,94	0	1	1	7	0	0	0	0	0	9
32,95–35,94	0	0	0	5	0	0	0	0	0	5
35,95–38,94	0	0	0	2	1	0	0	0	0	3
38,95–41,94	0	0	0	0	2	1	0	0	0	3
41,95–44,94	0	0	0	1	1	0	0	0	0	2
44,95–47,94	0	0	0	0	3	3	1	0	0	7
47,95–50,94	0	0	0	0	0	1	0	1	1	3
50,95–53,94	0	0	0	0	4	2	2	0	0	8
53,95–56,94	0	0	0	0	1	2	0	1	0	4
56,95–59,94	0	0	0	0	1	1	1	0	0	3
Total	3	7	17	22	14	10	4	2	1	80
%	3,8	8,8	21,3	27,5	17,5	12,5	5,0	2,5	1,3	100

Âge moyen: 5,2 ans

TABLEAU 148. Longueur à la fourche et poids de l'omble arctique, tributaire Northwest, rivière Sandhill, 1967 (Peet 1971).

Longueur à la fourche		Poids	
Limites des classes (cm)	Fréquence	Limites des classes (g)	Fréquence
17,95–20,94	19	0–258	189
20,95–23,94	80	259–518	60
23,95–26,94	165	519–778	32
26,95–29,94	90	779–1038	42
29,95–32,94	49	1039–1298	60
32,95–35,94	26	1299–1558	52
35,95–38,94	22	1559–1818	61
38,95–41,94	60	1819–2078	84
41,95–44,94	63	2079–2338	80
44,95–47,94	77	2339–2598	51
47,95–50,94	116	2599–2858	54
50,95–53,94	126	2859–3118	24
53,95–56,94	90	3119–3378	10
56,95–59,94	43	3379–3638	3
59,95–62,94	2	3639–3898	1
62,95–65,94	1	3899–4158	1
Total	1029		804
Longueur moyenne à la fourche: 39,90 cm		Poids moyen: 1356,25 g	

TABLEAU 149. Longueur à la fourche et poids de l'omble arctique, tributaire Northwest, rivière Sandhill, 1971 (Murphy 1972b).

Longueur à la fourche		Poids	
Limites des classes (cm)	Fréquence	Limites des classes (g)	Fréquence
23,95–26,94	7	0–258	7
26,95–29,94	22	259–518	40
29,95–32,94	16	519–778	18
32,95–35,94	12	779–1038	16
35,95–38,94	15	1039–1298	8
38,95–41,94	11	1299–1558	10
41,95–44,94	9	1559–1818	8
44,95–47,94	7	1819–2078	11
47,95–50,94	12	2079–2338	7
50,95–53,94	12	2339–2598	1
53,95–56,94	5	2599–2858	3
56,95–59,94	4		
59,95–62,94	2		
Total	134		129
Longueur moyenne à la fourche: 39,55 cm		Poids moyen: 950,75 g	

TABLEAU 150. Longueur à la fourche et poids de l'omble arctique, tributaire Northwest, rivière Sandhill, 1973 (Murphy 1974).

Longueur à la fourche		Poids	
Limites des classes (cm)	Fréquence	Limites des classes (g)	Fréquence
22,49–24,48	1	199–298	2
24,49–26,48	1	299–398	5
26,49–28,48	0	399–498	6
28,49–30,48	7	499–598	5
30,49–32,48	5	599–698	8
32,49–34,48	3	699–798	4
34,49–36,48	17	799–898	2
36,49–38,48	6	899–998	5
38,49–40,48	24	999–1098	7
40,49–42,48	31	1099–1198	8
42,49–44,48	46	1199–1298	9
44,49–46,48	41	1299–1398	22
46,49–48,48	29	1399–1498	26
48,49–50,48	19	1499–1598	17
50,49–52,48	6	1599–1698	24
52,49–54,48	3	1699–1798	30
54,49–56,48	3	1799–1898	15
		1899–1998	9
		1999–2098	3
		2099–2198	2
		2199–2298	4
		2299–2398	0
		2399–2498	2
Total	242		215
Longueur moyenne à la fourche: 42,95 cm		Poids moyen: 1449,35 g	

TABLEAU 151. Longueur à la fourche et sexe du saumon de l'Atlantique adulte, tributaire Northwest, rivière Sandhill, 1967 (Peet 1971).

Longueur à la fourche				Poids	
Limites des classes (cm)	Fréquence			Limites des classes (g)	Fréquence
	Mâles	Femelles	Total		
42,95–46,44	0	1	1	699–1248	11
46,45–49,94	0	2	2	1249–1798	49
49,95–53,44	12	16	28	1799–2348	33
53,45–56,94	39	16	55	2349–2898	3
56,95–60,44	6	3	9	2899–3448	3
60,45–63,94	1	1	2	3449–3998	2
63,95–67,44	0	2	2	3999–4548	2
67,45–70,94	1	1	2	4549–5098	1
70,95–74,44	0	1	1	5099–5648	0
74,45–79,94	2	0	2	5649–6198	0
77,95–81,44	0	0	0	6199–6748	1
81,45–84,94	0	0	0	6749–7298	0
84,95–88,94	1	0	1	7299–7848	0
88,45–91,94	0	0	0	7849–8398	0
91,95–95,44	1	0	1	8399–8948	1
Total	63	43	106		106
Longueur moyenne à la fourche: 56,15 cm				Poids moyen: 1954,60 g	

TABLEAU 152. Longueur à la fourche, âge et sexe du saumon de l'Atlantique adulte, tributaire Northwest, rivière Sandhill, 1967 (Peet 1971).

Limites des classes de longueur à la fourche (cm)	Âge (années)																
	4+		5+				6+				7+				Total		
	3:1		4:1		3:2		5:1		4:2		6:1		5:2				
	M	F	M	F	M	F	M	F	M	F	M	F	M	F	M	F	%
42,95–46,44	0	0	0	1	0	0	0	0	0	0	0	0	0	0	0	1	0,9
46,45–49,94	0	0	0	2	0	0	0	0	0	0	0	0	0	0	0	2	1,9
49,95–53,44	2	3	7	10	0	0	3	3	0	0	0	0	0	0	12	16	26,4
53,45–56,94	5	3	25	6	0	0	9	7	0	0	0	0	0	0	39	16	51,9
56,95–60,44	0	0	5	2	0	0	1	1	0	0	0	0	0	0	6	3	8,5
60,45–63,94	0	0	1	0	0	0	0	1	0	0	0	0	0	0	1	1	1,9
63,95–67,44	0	0	0	0	0	0	0	0	0	1	0	0	0	1	0	2	1,9
67,45–70,94	0	0	0	0	0	1	0	0	1	0	0	0	0	0	1	1	1,9
70,95–74,44	0	0	0	0	0	0	0	0	0	1	0	0	0	0	0	1	0,9
74,45–77,94	0	0	0	0	0	0	0	0	1	0	0	0	1	0	2	0	1,9
77,95–81,44	0	0	0	0	0	0	0	0	0	0	0	0	0	0	0	0	0,0
81,45–84,94	0	0	0	0	0	0	0	0	0	0	0	0	0	0	0	0	0,0
84,95–88,44	0	0	0	0	0	0	0	0	1	0	0	0	0	0	1	0	0,9
88,45–91,94	0	0	0	0	0	0	0	0	0	0	0	0	0	0	0	0	0,0
91,95–95,44	0	0	0	0	0	0	0	0	1	0	0	0	0	0	1	0	0,9
Total par sexe	7	6	38	21	0	1	13	12	4	2	0	0	1	1	63	43	
Total	13		59		1		25		6		0		2		106		
%	12,3		55,7		0,9		23,6		5,7		0,0		1,9				100,0

TABLEAU 153. Nombre total de poissons dévalant le tributaire Northwest par semaine, rivière Sandhill, 1973 (Murphy 1974).

Semaine se terminant le	Saumons de l'Atlantique			Ombles de fontaine	Anguilles d'Amérique	Meuniers noirs	Éperlans	Ombles arctiques	Épinoches à trois épines	Total	Température moyenne de l'eau (°C)
	Smolts	Tacons	Charognards								
17 juin	50	13	0	41	4	57	26	390	7	588	—
24 juin	555	25	1	77	8	126	20	139	28	979	10,9
1 juillet	294	97	0	138	5	302	3	39	40	918	15,2
8 juillet	47	107	0	129	3	79	58	18	46	487	18,8
15 juillet	48	69	0	75	12	67	2	18	27	318	18,1
22 juillet	18	13	0	32	2	9	1	10	1	86	19,6
29 juillet	0	2	0	4	0	0	0	0	1	7	17,4
5 août	0	1	0	0	0	13	0	0	5	19	18,8
12 août	0	2	0	6	1	6	1	0	24	40	17,1
19 août	1	5	0	4	2	4	0	0	10	26	17,5
26 août	1	3	0	2	0	5	0	0	2	13	14,2
2 sept.	0	6	0	5	5	1	0	0	8	25	12,3
Total	1014	343	1	513	42	669	111	614	199	3506	

TABLEAU 154. Longueur à la fourche et âge des prises commerciales de saumon, anse Sandhill, 1971 (Murphy 1972b).

Limites des classes de longueur à la fourche (cm)	Madeleineaux			Saumon dibermarins				Saumons tribermarins	Total
	3:1+	4:1+	5:1+	3:1,1+	4:1,1+	4:1,S+	5:1,1+	3:1,S,1+	
48,49–51,48	3	8	0	0	0	0	0	0	11
51,49–54,48	7	20	1	0	0	0	0	0	28
54,49–57,48	4	25	1	0	0	0	0	0	30
57,49–60,48	2	2	1	0	0	0	0	0	5
60,49–63,48	0	0	0	0	0	1	0	0	1
63,49–66,48	0	0	0	1	2	0	1	0	4
66,49–69,48	0	0	0	0	4	0	1	0	5
69,49–72,48	0	0	0	1	2	0	0	0	3
72,49–75,48	0	0	0	2	5	0	1	1	9
75,49–78,48	0	0	0	2	3	0	1	0	6
78,49–81,48	0	0	0	0	1	0	0	1	2
81,49–84,48	0	0	0	0	0	0	0	1	1
Total	16	55	3	6	17	1	4	3	105

TABLEAU 155. Relevé hebdomadaire du sexe (% de F), de la longueur à la fourche et du poids des prises commerciales de saumon, anse Sandhill, 1971 (Murphy 1972b).

Semaine se terminant le	Nombre d'échantillons						Longueur moyenne à la fourche (cm)				Poids moyen (kg)				
	Madeleineaux			Saumons ayant passé 2 ans en mer ou plus			Madeleineaux		Saumons ayant passé 2 ans en mer ou plus		Madeleineaux		Saumons ayant passé 2 ans en mer ou plus		
	M	F	% F	M	F	% F	M	F	M	F	M	F	M	F	Total
20 juin	0	0	—	0	1	100	—	—	—	71,0	—	—	—	3,9	1
27 juin	0	0	—	1	1	50,0	—	—	68,9	75,4	—	—	3,4	5,2	2
4 juillet	5	0	0,0	3	8	72,7	54,7	—	74,7	73,8	1,9	—	4,7	4,2	16
11 juillet	18	4	18,2	0	9	100	53,5	54,0	—	70,1	1,8	1,8	—	3,8	31
18 juillet	25	3	10,7	0	6	100	54,8	54,9	—	75,0	2,0	1,9	—	4,6	34
25 juillet	12	2	14,3	1	0	0,0	54,0	54,5	62,6	—	1,8	1,7	2,4	—	15
1 août	1	0	0,0	1	0	0,0	50,8	—	60,3	—	1,5	—	2,3	—	2
Total	61	9		6	25										101
Moyenne			12,9			80,6	54,2	54,4	69,3	72,7	1,9	1,8	3,6	4,2	

TABLEAU 156. Longueur à la fourche et poids des madeleineaux des prises commerciales, anse Sandhill, 1972 (Murphy 1974).

Longueur à la fourche		Poids	
Limites des classes (cm)	Fréquence	Limites des classes (g)	Fréquence
48,49–49,48	2	1199–1298	1
49,49–50,48	1	1299–1398	3
50,49–51,48	5	1399–1498	4
51,49–52,48	11	1499–1598	16
52,49–53,48	17	1599–1698	14
53,49–54,48	14	1699–1798	24
54,49–55,48	24	1799–1898	24
55,49–56,48	19	1899–1998	16
56,49–57,48	10	1999–2098	16
57,49–58,48	17	2099–2198	3
58,49–59,48	6	2199–2298	5
59,49–60,48	1	2299–2398	2
60,49–61,48	2	2399–2498	2
61,49–62,48	2	2499–2598	0
		2599–2698	1
Total	131		131
Longueur moyenne de la fourche: 55,37 cm		Poids moyen: 1750,27 g	

TABLEAU 157. Longueur à la fourche et poids des prises commerciales du saumon ayant passé plusieurs hivers en mer, anse Sandhill, 1972 (Murphy 1974).

Longueur à la fourche		Poids	
Limites des classes (cm)	Fréquence	Limites des classes (g)	Fréquence
64,49–65,48	1	2899–3098	2
65,49–66,48	0	3099–3298	1
66,49–67,48	1	3299–3498	3
67,49–68,48	2	3499–3698	4
68,49–69,48	4	3699–3898	6
69,49–70,48	8	3899–4098	7
70,49–71,48	2	4099–4298	8
71,49–72,48	4	4299–4498	7
72,49–73,48	5	4499–4698	7
73,49–74,48	8	4699–4898	5
74,49–75,48	10	4899–5098	2
75,49–76,48	2	5099–5298	7
76,49–77,48	5	5299–5498	2
77,49–78,48	6	5499–5698	2
78,49–79,48	2	5699–5898	1
79,49–80,48	1		
80,49–81,48	3		
Total	64		64
Longueur moyenne à la fourche: 75,81 cm		Poids moyen: 4198,66 g	

TABLEAU 158. Longueur à la fourche et poids des prises commerciales du saumon, anse Sandhill, 1973 (Murphy 1974).

Longueur à la fourche		Poids	
Limites des classes (cm)	Fréquence	Limites des classes (g)	Fréquence
48,49–50,48	1	1299–1498	5
50,49–52,48	6	1499–1698	8
52,49–54,48	25	1699–1898	25
54,49–56,48	32	1899–2098	27
56,49–58,48	23	2099–2298	19
58,49–60,48	10	2299–2498	9
60,49–62,48	0	2499–2698	3
62,49–64,48	1	2699–2898	1
64,49–66,48	1	2899–3098	2
66,49–68,48	1	3099–3298	0
68,49–70,48	10	3299–3498	1
70,49–72,48	15	3499–3698	1
72,49–74,48	17	3699–3898	5
74,49–76,48	20	3899–4098	9
76,49–78,48	24	4099–4298	14
78,49–80,48	10	4299–4498	10
80,49–82,48	6	4499–4698	14
82,49–84,48	2	4699–4898	8
		4899–5098	9
		5099–5298	10
		5299–5498	11
		5499–5698	5
		5699–5898	3
		5899–6098	3
		6099–6298	1
Total	204		203

TABLEAU 159. Longueur à la fourche et âge des prises commerciales du saumon, anse Sandhill, 1973 (Murphy 1974).

Limites des classes de longueur à la fourche (cm)	Madeleineaux				Saumons dibermarins				Saumons tribermarins			
	3:1+	4:1+	5:1+	6:1+	3:1,1+	4:1,1+	5:1,1+	6:1,1+	3:1,S,1+	4:1,S,1+	5:1,S,1+	Total
48,49–51,48	1	0	0	0	0	0	0	0	0	0	0	1
51,49–54,48	0	6	6	0	0	0	0	0	0	0	0	12
54,49–57,48	2	22	13	2	0	0	0	0	0	0	0	39
57,49–60,48	0	14	16	4	0	0	0	0	0	0	0	34
60,49–63,48	0	2	3	1	0	0	0	0	0	0	0	6
63,49–66,48	0	1	0	0	0	0	0	0	0	0	0	1
66,49–69,48	0	1	0	0	0	1	0	0	0	0	0	2
69,49–72,48	0	0	0	0	1	9	5	1	0	1	0	17
72,49–75,48	0	0	0	0	2	8	10	2	0	0	0	22
75,49–78,48	0	0	0	0	0	18	9	0	0	0	1	28
78,49–81,48	0	0	0	0	2	5	10	1	1	4	2	25
81,49–84,48	0	0	0	0	0	2	3	0	0	4	0	9
84,49–87,48	0	0	0	0	0	0	0	0	0	1	0	1
Total	3	46	38	7	5	43	37	4	1	10	3	197

TABLEAU 160. Longueur à la fourche, poids et sexe des prises commerciales d'omble arctique, anse Sandhill, 1971 (Murphy 1972b).

Longueur à la fourche				Poids			
	Fréquence (*f*)				Fréquence (*f*)		
Limites des classes (cm)	*f*	Mâles	Femelles	Limites des classes (g)	*f*	Mâles	Femelles
29,95–32,94	2	1	1	259–518	3	1	2
32,95–35,94	0	0	0	519–778	14	8	6
35,95–38,94	9	3	6	779–1038	36	20	15
38,95–41,94	16	10	6	1039–1298	23	9	14
41,95–44,94	21	9	11	1299–1558	20	10	10
44,95–47,94	27	16	11	1559–1818	10	5	5
47,95–50,94	20	9	11	1819–2078	4	1	3
50,95–53,94	11	5	6	2079–2338	1	1	0
53,95–56,94	3	1	2	2339–2598	0	0	0
56,95–59,94	0	0	0	2599–2858	0	0	0
59,95–62,94	3	1	2	2859–3118	1	0	1
Total	112[a]	55	56		112[a]	55	56
Longueur moyenne à la fourche: 45,81 cm				Poids moyen: 1145,78 g			

[a] Le sexe d'un seul poisson n'a pas été déterminé.

TABLEAU 161. Longueur à la fourche et poids des prises commerciales d'omble arctique, anse Sandhill, 1973 (Murphy 1974).

Longueur à la fourche		Poids	
Limites des classes (cm)	Fréquence	Limites des classes (g)	Fréquence
36,49–38,48	1	799–898	1
38,49–40,48	2	899–998	3
40,49–42,48	0	999–1098	2
42,49–44,48	4	1099–1198	2
44,49–46,48	11	1199–1298	6
46,49–48,48	19	1299–1398	6
48,49–50,48	14	1399–1498	14
50,49–52,48	12	1499–1598	4
52,49–54,48	10	1599–1698	8
54,49–56,48	4	1699–1798	10
56,49–58,48	2	1799–1898	10
58,49–60,48	1	1899–1998	3
		1999–2098	6
		2099–2198	2
		2199–2298	1
		2299–2398	1
		2399–2498	1
Total	80		80
Longueur moyenne à la fourche: 49,15 cm		Poids moyen: 1649,37 g	

TABLEAU 162. Caractéristiques physiques des postes d'électro-pêche, rivière Sandhill, 1971 (B: bloc; M: vase; R: moellons; G: gravier).

N° du poste (fig. 31)	Superficie (m^2)	Profondeur moyenne (m)	Débit moyen ($m \cdot s^{-1}$)	Température de l'air (°C)	Température de l'eau (°C)	Couvert végétal du rivage	Type de fond
1	159	0,4	0,4	18	13	Forêt	B/M
2	239	0,5	0,5	19	14	Forêt	B/M
3	109	0,4	0,2	11	13	Forêt	B
4	139	0,4	0,3	20	16	Forêt	R/B
5	464	0,5	0,6	16	18	Forêt	R
6	464	0,3	0,3	14	16	Forêt	R/B
7	406	0,3	0,9	22	19	Forêt	R/G
8	696	0,4	0,5	24	23	Aulnaie	R/B
9	464	0,3	0,5	23	22	Forêt	G
10	724	0,2	0,3	20	22	Broussailles	B
11	546	0,4	0,6	21	22	Lande	B
12	334	0,2	0,2	10	12	Broussailles basses	M/B/R
13	882	0,2	0,2	21	12	Broussailles basses	G/B/R
14	562	0,3	0,1	12	11	Broussailles basses	R/B
15	495	0,2	0,3	12	12	Broussailles basses	R/B
Superficie totale	6683						

TABLEAU 163. Estimation du nombre de poissons par 100 m^2 obtenue par l'étude d'électro-pêche, rivière Sandhill, 1971 (méthode des moindres carrés, Ricker (1958)).

Poste (fig. 31)	Date	Jeunes saumons	Ombles de fontaine	Meuniers noirs	Épinoches à trois épines	Anguilles d'Amérique
1	10 juillet	10,49	—	—	1,24	—
2	10 juillet	7,49	1,73	—	—	—
3	13 juillet	22,57	1,83	—	—	1,38
4	13 juillet	4,26	2,50	—	—	—
5	15 juillet	28,91	18,16	—	—	3,40
6	16 juillet	27,03	10,47	—	—	—
7	22 juillet	8,09	28,43	—	36,47	—
8	23 juillet	2,63	2,99	0,14	—	—
9	24 juillet	0,89	2,80	—	0,22	—
10	29 juillet	19,48	10,62	—	8,22	0,73
11	30 juillet	6,08	0,18	—	0,18	0,45
12	26 août	5,23	—	—	—	—
13	27 août	1,09	6,77	—	—	—
14	30 août	50,96	3,98	—	—	0,38
15	1 sept.	3,68	27,51	—	—	—

TABLEAU 164. Résultats du programme d'étiquetage des smolts et du saumon de l'Atlantique adulte, rivière Sandhill, 1969.

Étiquette	Stock	Année d'étiquetage	Nombre de poissons remis à l'eau	Année de reprise	Eaux canadiennes					Eaux étrangères: Groenland ouest	Nombre total de reprises
					Rivière natale		Pêche commerciale				
					Barrière de comptage[a]	Pêche à la ligne	Eaux natales[b]	Secteurs éloignés	Origine inconnue		
Atkins (bleue)	Adultes remontant le cours d'eau	1969	399	1969	0	0	0	0	0	0	0
				1970	2[c]	0	11[c]	1[c]	0	3	17
				1971	1	0	2	2	0	0	5
					3	0	13	3	0	3	22
Carlin (verte)	Smolts indigènes	1969	6736	1969	0	0	14	1	0	0	15
				1970	32	0	0	15	0	4	51
				1971	4	0	3	30	2	2	41
				1972	0	0	0	3	1	0	4
				1973	0	0	0	1	0	0	1
					36	0	17	50	3	6	112

[a] Barrière non utilisée après 1973

[b] Les eaux natales sont le secteur compris à l'intérieur d'une ligne tirée de 53°46′00″ N, 56°29′00″ W à 53°32′00″ N, 55°57′00″ W.

[c] Recapturés à l'état de charognards

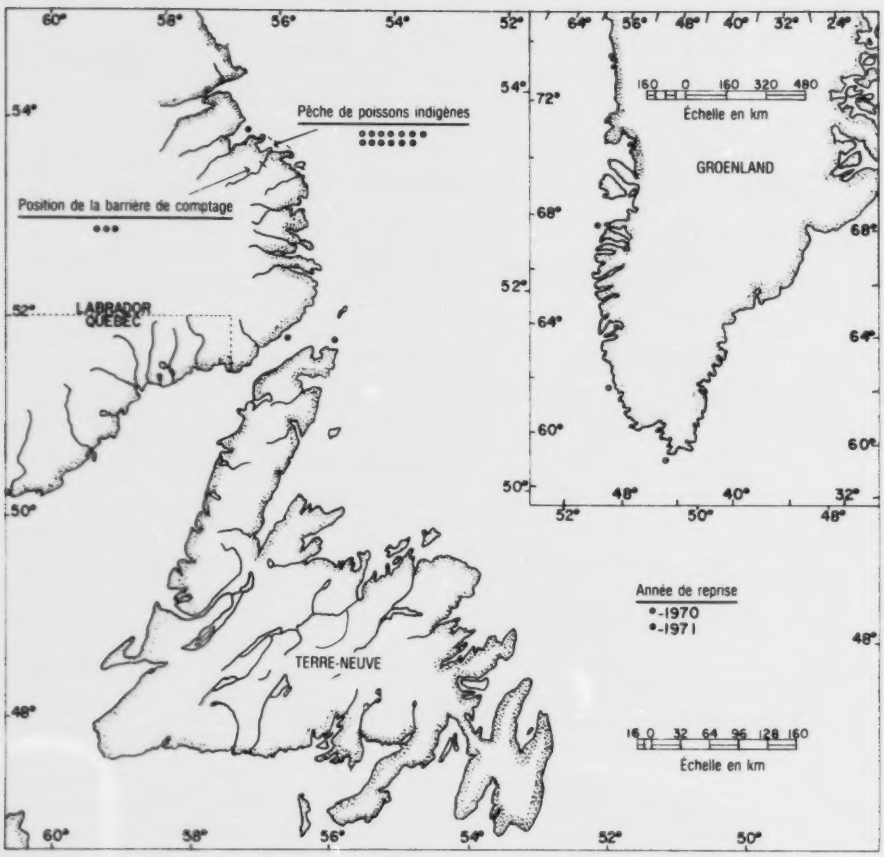

FIG. 32. Carte des reprises du programme d'étiquetage du saumon de l'Atlantique adulte de 1969, rivière Sandhill.

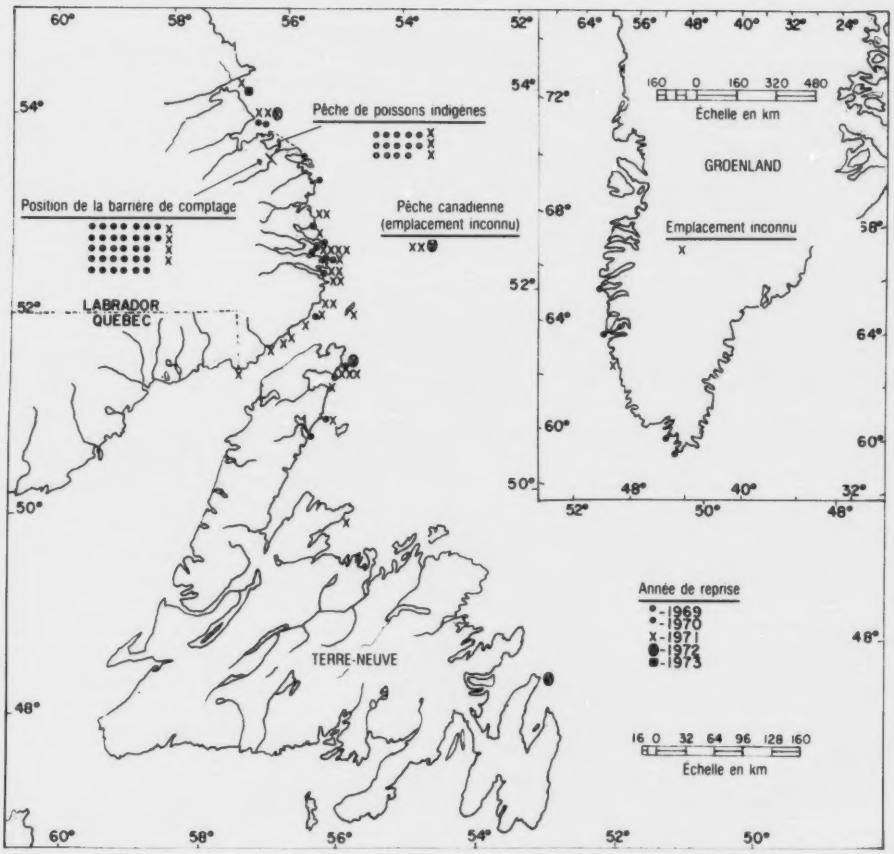

FIG. 33. Carte des reprises du programme d'étiquetage du smolt du saumon de l'Atlantique de 1969, rivière Sandhill.

TABLEAU 165. Résultats du programme d'étiquetage des smolts et du saumon de l'Atlantique adulte, rivière Sandhill, 1970.

Étiquette	Stock	Année d'étiquetage	Nombre de poissons remis à l'eau	Année de reprise	Eaux canadiennes					Eaux étrangères: Groenland ouest	Nombre total de reprises
					Rivière natale		Pêche commerciale				
					Barrière de comptage[a]	Pêche à la ligne	Eaux natales[b]	Secteurs éloignés	Origine inconnue		
Atkins (bleue)	Adultes remontant le cours d'eau	1970	516	1970	0	0	0	0	0	0	0
				1971	0	0	11[c]	7[c]	0	16	34
				1972	2	0	0	13	0	1	16
					2	0	11	20	0	17	50
Carlin (verte)	Smolts indigènes	1970	7997	1970	0	0	38	1	1	0	40
				1971	72	2	5	26	4	45	154
				1972	2	0	3	41	4	3	53
				1973	1	0	3	6	0	2	12
					75	2	49	74	9	50	259

[a] Barrière non utilisée après 1973

[b] Les eaux natales sont le secteur compris à l'intérieur d'une ligne tirée de 53°46′00″ N, 56°29′00″ W à 53°32′00″ N, 55°57′00″ W.

[c] Recapturés à l'état de charognards

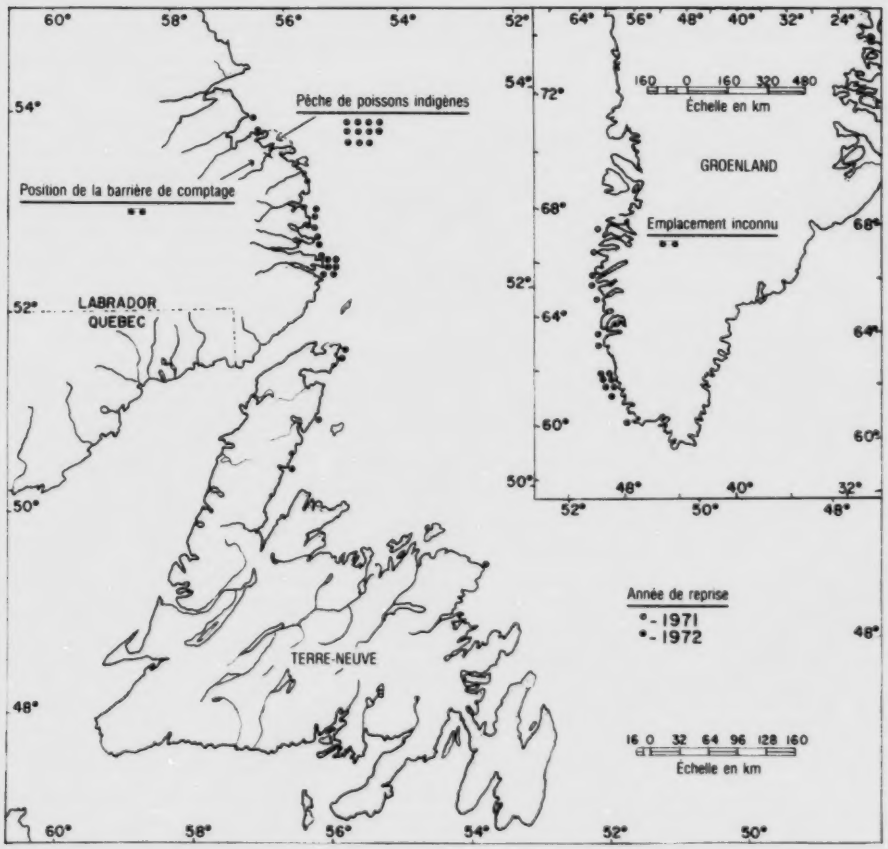

FIG. 34. Carte des reprises du programme d'étiquetage du saumon de l'Atlantique adulte de 1970, rivière Sandhill.

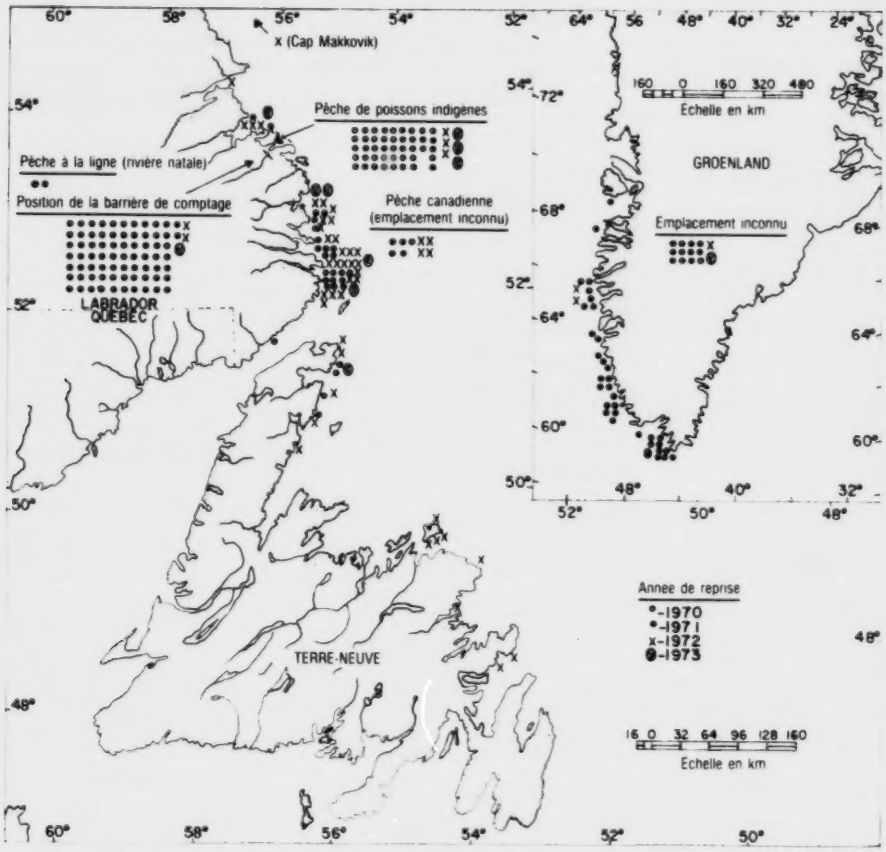

FIG. 35. Carte des reprises du programme d'étiquetage du smolt du saumon de l'Atlantique de 1970, rivière Sandhill.

TABLEAU 166. Résultats du programme d'étiquetage des smolts et du saumon de l'Atlantique adulte, rivière Sandhill, 1971.

Étiquette	Stock	Année d'étiquetage	Nombre de poissons remis à l'eau	Année de reprise	Eaux canadiennes					Eaux étrangères: Groenland ouest	Nombre total de reprises
					Rivière natale		Pêche commerciale				
					Barrière de comptage[a]	Pêche à la ligne	Eaux natales[b]	Secteurs éloignés	Origine inconnue		
Atkins (bleue)	Adultes remontant le cours d'eau	1971	391	1971	0	0	0	0	0	0	0
				1972	0	0	6	2	0	7	15
				1973	11	0	7	19	0	0	37
				1974	—	0	0	1	0	0	1
					11	0	13	22	0	7	53
Carlin (verte)	Smolts indigènes	1971	10 511	1971	0	0	190	1	0	0	191
				1972	15	1	0	14	1	7	38
				1973	8	0	4	25	2	0	39
				1974	—	0	0	1	0	0	1
				Inconnue	0	0	0	0	0	1	1
					23	1	194	41	3	8	270

[a] Barrière non utilisée après 1973

[b] Les eaux natales sont le secteur compris à l'intérieur d'une ligne tirée de 53°46′00″ N, 56°29′00″ W à 53°32′00″ N, 55°57′00″ W.

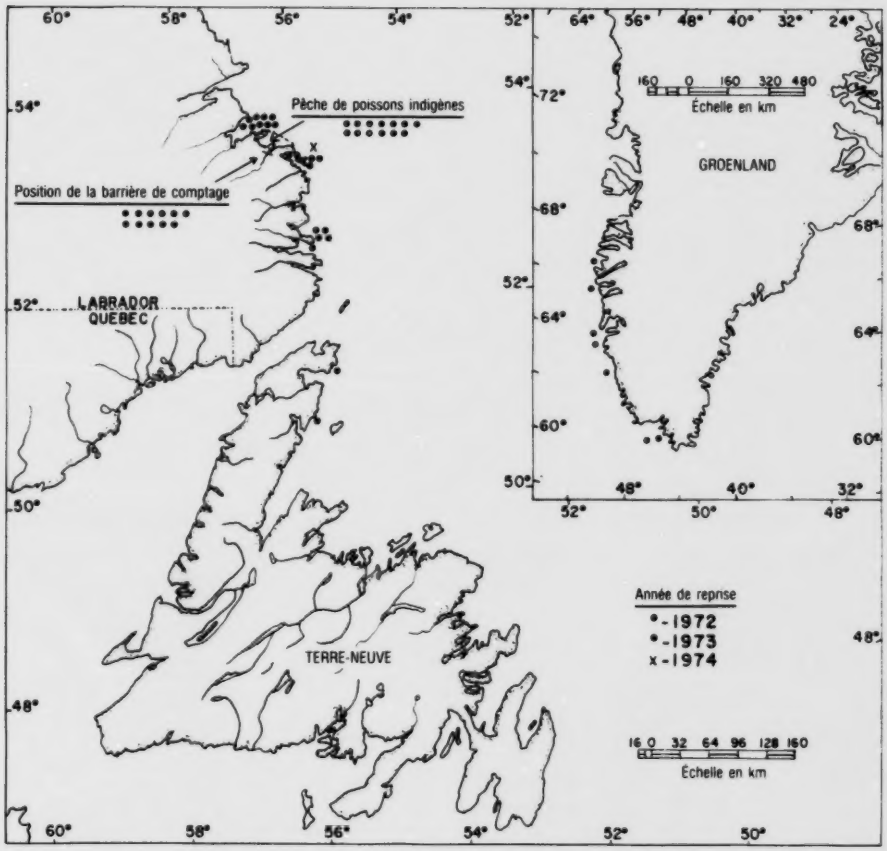

FIG. 36. Carte des reprises du programme d'étiquetage du saumon de l'Atlantique adulte de 1971, rivière Sandhill.

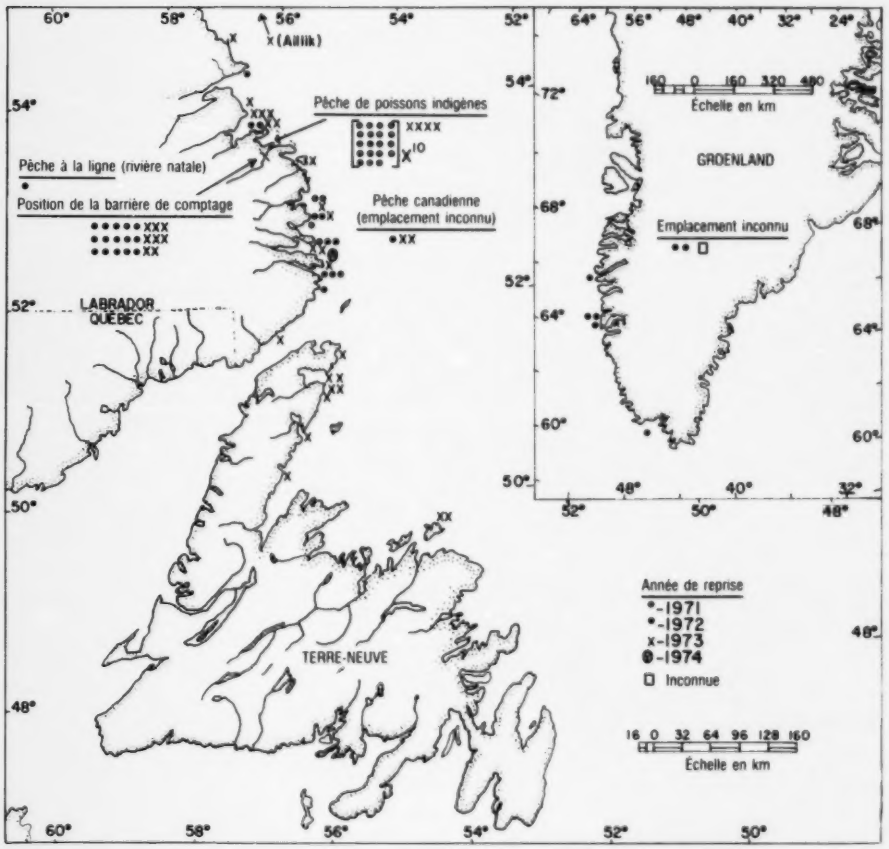

FIG. 37. Carte des reprises du programme d'étiquetage du smolt du saumon de l'Atlantique de 1971, rivière Sandhill.

TABLEAU 167. Résultats du programme d'étiquetage des smolts et du saumon de l'Atlantique adulte, rivière Sandhill, 1972.

Étiquette	Stock	Année d'étiquetage	Nombre de poissons remis à l'eau	Année de reprise	Eaux canadiennes					Eaux étrangères: Groenland ouest	Nombre total de reprises
					Rivière natale		Pêche commerciale				
					Barrière de comptage[a]	Pêche à la ligne	Eaux natales[b]	Secteurs éloignés	Origine inconnue		
Carlin (verte)	Adultes remontant le cours d'eau	1972	361	1972	0	2	0	0	0	0	2
				1973	7[c]	0	4[c]	0	0	9	20
				1974	—	0	1	9	1	0	11
					7	2	5	9	1	9	33
Carlin (verte)	Smolts indigènes	1972	8149	1972	0	0	18	1	0	0	19
				1973	24	1	1	8	0	3	37
				1974	—	0	1	7	3	0	11
				1975	—	0	0	2	0	0	2
					24	1	20	18	3	3	69

[a] Barrière non utilisée après 1973

[b] Les eaux natales sont le secteur compris à l'intérieur d'une ligne tirée de 53°46′00″ N, 56°29′00″ W à 53°32′00″ N, 55°57′00″ W.

[c] Recapturés à l'état de charognards

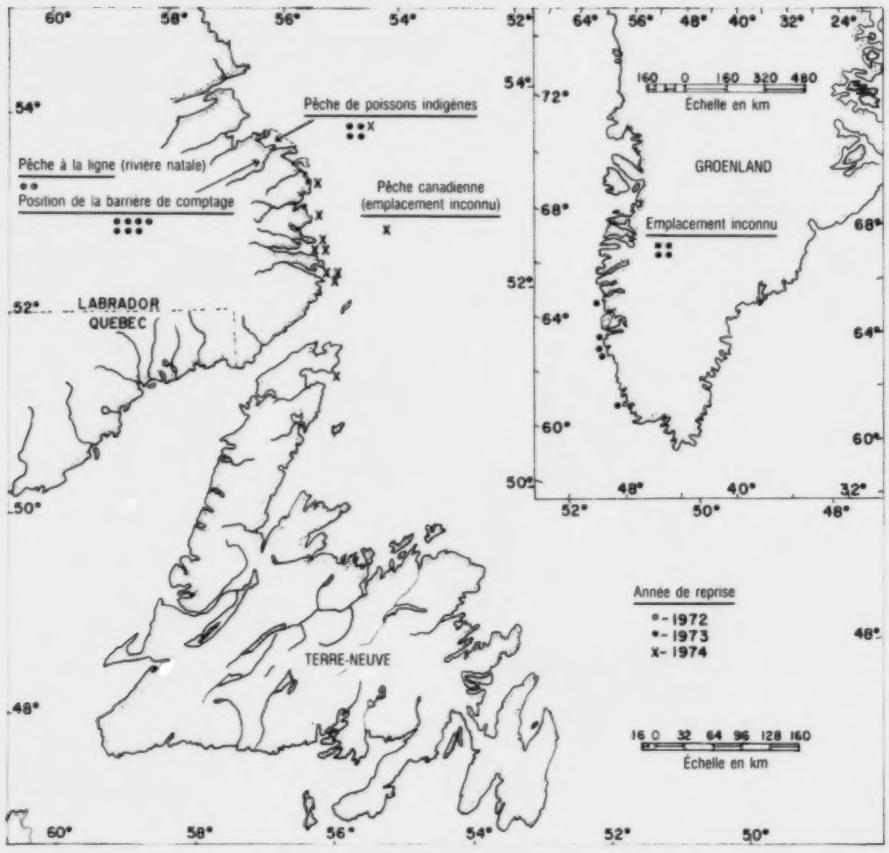

FIG. 38. Carte des reprises du programme d'étiquetage du saumon de l'Atlantique adulte de 1972, rivière Sandhill.

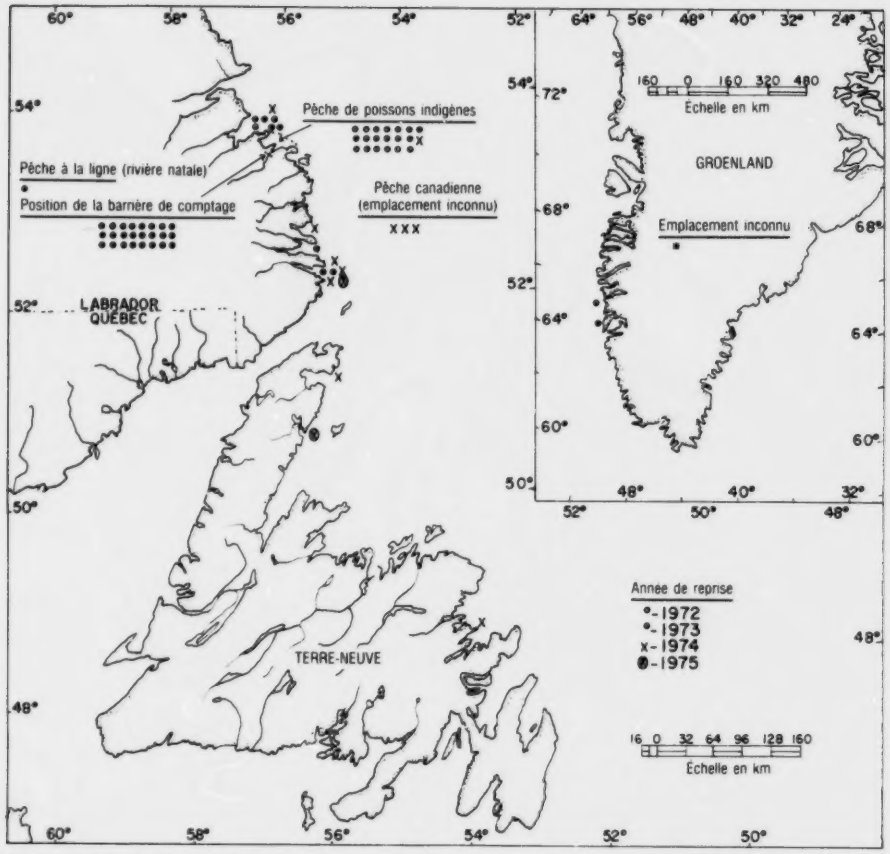

FIG. 39. Carte des reprises du programme d'étiquetage du smolt du saumon de l'Atlantique de 1972, rivière Sandhill.

TABLEAU 168. Résultats du programme d'étiquetage des smolts de saumon de l'Atlantique, rivière Sandhill, 1973.

					Eaux canadiennes						
					Rivière natale		Pêche commerciale			Eaux étrangères:	
Étiquette	Stock	Année d'étiquetage	Nombre de poissons remis à l'eau	Année de reprise	Barrière de comptage[a]	Pêche à la ligne	Eaux natales[b]	Secteurs éloignés	Origine inconnue	Groenland ouest	Nombre total de reprises
Carlin (verte)	Smolts indigènes	1973	6204	1973	0	0	32	0	0	0	32
				1974	—	1	3	28	2	10	44
				1975	—	0	1	23	2	1	27
				1976	—	0	0	2	0	0	2
					0	1	36	53	4	11	105

[a] Barrière non utilisée après 1973

[b] Les eaux natales sont le secteur compris à l'intérieur d'une ligne tirée de 53°46′00″ N, 56°29′00″ W à 53°32′00″ N, 55°57′00″ W.

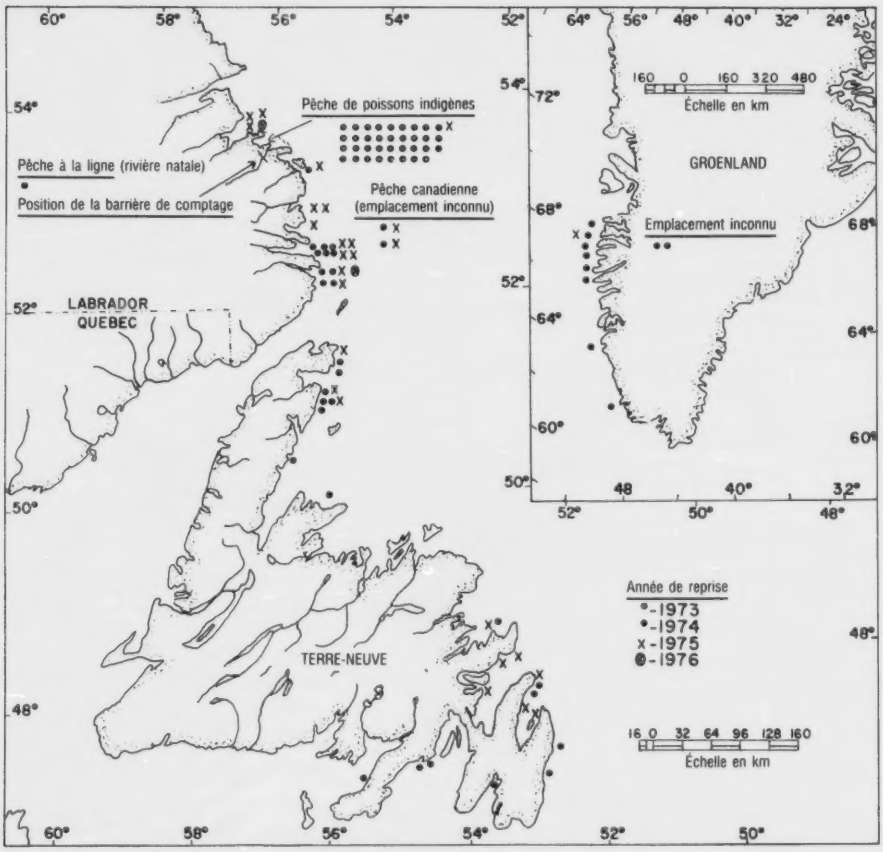

FIG. 40. Carte des reprises du programme d'étiquetage du smolt du saumon de l'Atlantique de 1973, rivière Sandhill.

TABLEAU 169. Résumé des données sur le sexe, la longueur à la fourche, le poids entier, l'âge et la teneur en mercure de l'omble de fontaine, de l'omble arctique et du meunier noir capturés dans la rivière Sandhill, 14 août 1977 (Bruce *et al*. 1979).

Espèce	Sexe	*N*	Longueur moyenne à la fourche (cm)	Poids entier moyen (kg)	Âge moyen (années)	Teneur moyenne en mercure (ppm)	Plage des teneurs en en mercure (ppm)
Omble de	M	1	24,3	0,20	4,0	0,03	—
fontaine	F	8	24,2	0,21	3,4	0,09	0,05–0,16
Total		9	24,2	0,21	3,4	0,08	0,03–0,16
Omble	M	7	45,1	1,11	8,3	0,05	0,02–0,07
arctique	F	4	36,9	0,62	8,0	0,06	0,05–0,06
Total		11	42,1	0,94	8,2	0,05	0,02–0,07
Meunier	M	14	33,5	0,30	8,7	0,13	0,07–0,21
noir	F	10	31,8	0,30	7,9	0,10	0,04–0,20
Total		24	32,8	0,30	8,4	0,12	0,04–0,21

Rivière Dykes

N° 29, fig. 6

La rivière Dykes coule vers le nord-ouest pour se jeter dans la baie Sandwich, à 8 km au sud de Cartwright (fig. 41). Cartwright compte 658 habitants (Statistique Canada 1981) et est tenue généralement pour le centre névralgique du littoral du sud du Labrador. En 1974, le tracé d'une route reliant Cartwright et la collectivité de Paradise River a été complété. Cette route permettra d'accéder facilement à la rivière car elle en traversera le cours inférieur et elle sera parallèle au bassin versant sur une distance de 13 km.

La rivière Dykes, dont le bassin versant a une superficie de 337 km^2, est alimentée par 11 tributaires, et l'ensemble du réseau est parsemé de petits lacs et étangs (tableau 170). Le cours inférieur de la rivière serpente au travers d'une plaine unie et dénudée jusqu'à une batture de vase située à son embouchure. Même si l'inclinaison augmente à environ 6 km de l'embouchure, le réseau ne comporte aucun obstacle à la migration du poisson. Peet (1971) signale que le cours supérieur de la rivière traverse une région boisée et accidentée et que des tronçons renfermant d'excellents graviers de frai sont situés à 10 km de l'embouchure. Le cours supérieur de l'axe principal se compose d'un long chapelet de 18 km de lacs qui bordent le bassin versant du tributaire Northwest de la rivière Sandhill.

FIG. 41. Carte de la rivière Dykes montrant les aires d'élevage accessibles au tacon du saumon de l'Atlantique.

Selon Peet (1971), les espèces de poissons indigènes les plus répandues dans la rivière Dykes sont le saumon de l'Atlantique, l'omble de fontaine et l'omble arctique. Peet signale également que plusieurs pêcheries commerciales au saumon sont situées près de l'embouchure de la rivière, où la pêche au filet était autrefois pratiquée pour nourrir les chiens. Bien qu'il n'existe aucun relevé des activités de pêche à la ligne, les résidents de Cartwright se rendent à l'embouchure pour y pêcher l'omble de fontaine anadrome. La rivière n'est pas désignée pour la pêche à la ligne du saumon de l'Atlantique, même si des madeleineaux y sont quelquefois capturés. Les aires d'élevage et les frayères de la rivière Dykes n'ont pas fait l'objet de relevés et la production potentielle de smolts de saumon de l'Atlantique n'a pas été évaluée. Peet (1971) déclare que la rivière reçoit probablement une belle remonte, probablement d'ombles de fontaine anadromes et d'ombles arctiques, ainsi qu'une remonte plus petite de saumons de l'Atlantique (surtout des madeleineaux).

TABLEAU 170. Caractéristiques physiques de la rivière Dykes.

Référence cartographique:	Cartwright 13H, 3E 1:250 000	Élévation maximale du bassin versant:	183 m
Latitude de l'embouchure:	53°38′N	Longueur réelle de l'axe principal (en suivant les méandres):	13 km
Longitude de l'embouchure:	57°04′W	Longueur totale, y compris des tributaires:	167 km
Direction générale de l'écoulement:	Nord-ouest	Nombre de tributaires:	11
Superficie du bassin versant:	337 km²	Formation géologique:	Granite et roches associées et une certaine quantité de gneiss
Largeur moyenne	15 km		
Longueur de l'axe	19 km		
Périmètre du bassin versant	87 km		

Rivière Paradise

N° 30, fig. 6

La rivière Paradise coule vers le nord-est pour se jeter dans la baie Sandwich à environ 20 km au sud de Cartwright (fig. 42). La collectivité de Paradise River est située à l'embouchure de la rivière, et le tracé de la route reliant ce village à Cartwright a été achevé en 1974. Un relevé hydro-électrique effectué dans ce cours d'eau par Millan (1974) établit le potentiel disponible à 292 MW, soit la moitié de la production actuelle de l'ensemble du complexe Baie d'Espoir dans l'île de Terre-Neuve.

Le bassin versant de la rivière Paradise a une superficie de 5 276 km^2; la longueur totale de l'axe principal et des tributaires est de 3 373 km (tableau 171). Les eaux d'amont, situées à plus de 129 km de l'embouchure, sont un mélange de petits étangs et de tourbières (Murphy 1971). En aval, l'inclinaison de la rivière est faible sur 75 km, sa largeur moyenne est de 100 m et la région est propice à l'élevage des salmonidés. Les incendies de forêt ont détruit la majeure partie de la végétation environnante qui se composait autrefois d'épinettes noires et de sapins baumiers matures. La rivière commence à être abrupte à 35 km de son embouchure, où se trouve une série de rapides. En aval de ces obstacles, elle se compose d'une série de larges plans d'eau calme (300 m) et d'un lac et elle est généralement considérée comme peu propice à l'élevage des jeunes saumons. Des peuplements matures d'épinettes noires et de sapins baumiers bornent les rives et couvrent les collines onduleuses et peu inclinées de la partie inférieure du bassin versant. Murphy (1971), contrairement à Blair (1943) et à Sollows *et al.* (1953), a repéré deux obstacles franchissables dans les tributaires 14 (T14) et 24 (T24) (tableau 172). Le tableau 173 présente les résultats d'analyses d'un échantillon d'eau prélevé en août 1976 (Jamieson 1979).

Le saumon de l'Atlantique et l'omble de fontaine dulçaquicole et anadrome sont les espèces de poissons indigènes signalées dans la rivière Paradise. On doit presque certainement y retrouver d'autres espèces, comme l'épi-

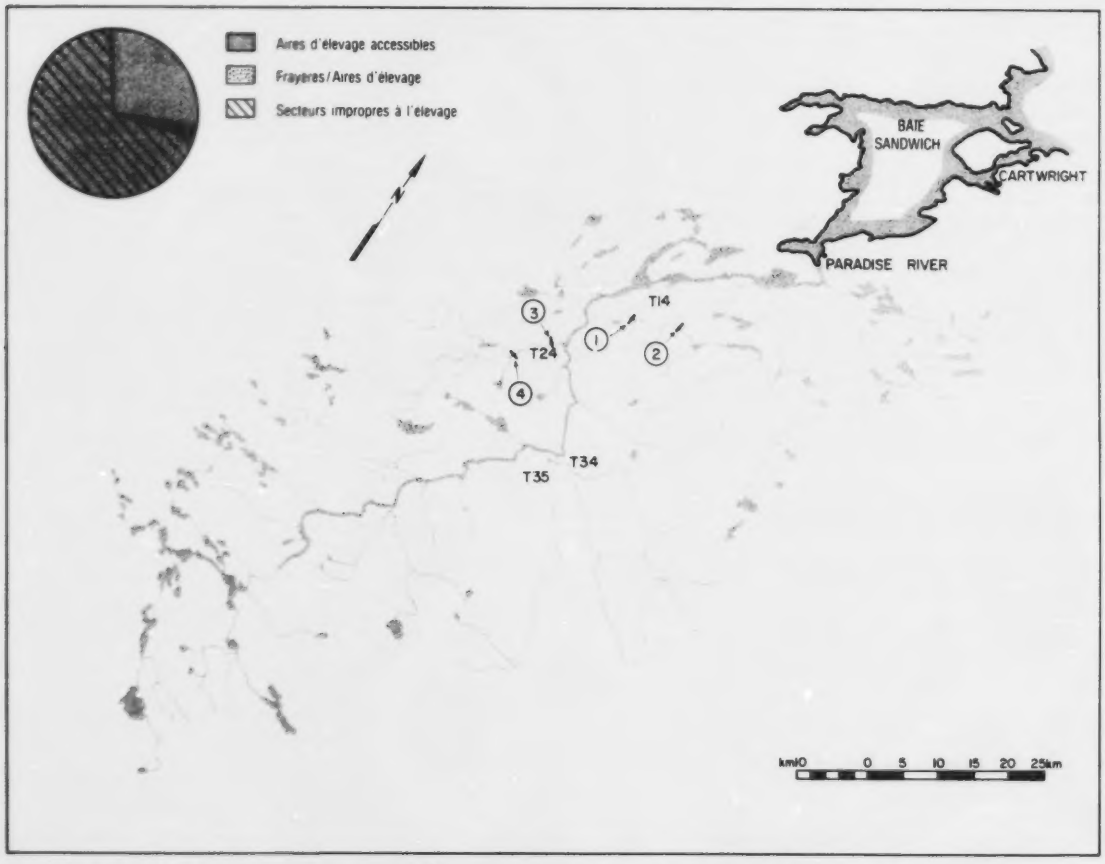

FIG. 42. Carte de la rivière Paradise montrant les aires d'élevage accessibles au tacon du saumon de l'Atlantique.

noche à trois épines, l'épinoche à neuf épines, l'anguille d'Amérique et le meunier noir; un grand brochet y a également été observé, mais ce rapport n'a pas été vérifié. Sollows *et al.* (1953) et Murphy (1971) ont signalé que la rivière ne se prêtait pas à la pêche à la ligne au saumon en raison de l'absence de bassins. Nous n'avons reçu aucun relevé sur les prises à la ligne.

La production annuelle estimative de smolts de saumon de l'Atlantique de la rivière Paradise est de 112 850 (tableau 174). Toutefois, ce chiffre relativement élevé est dû principalement à la taille du bassin versant plutôt qu'au fort pourcentage d'habitats propices à l'élevage du tacon. La production estimative de saumons adultes est d'environ 17 000. Certains croient que les stocks de saumons de cette rivière contribuent énormément à l'excellente pêche commerciale de la baie Sandwich.

TABLEAU 171. Caractéristiques physiques de la rivière Paradise.

Référence cartographique:	Cartwright 13H, 3E 1:250 000	Élévation maximale du bassin versant:	485 m
Latitude de l'embouchure:	53°27'N	Longueur réelle de l'axe principal (en suivant les méandres):	129 km
Longitude de l'embouchure:	57°19'W	Longueur totale, y compris des tributaires:	3373 km
Direction générale de l'écoulement:	Nord-est	Nombre de tributaires:	94
Superficie du bassin versant:	5276 km^2	Formation géologique:	Gneiss granitique
Largeur moyenne	38 km		
Longueur de l'axe	122 km		
Périmètre du bassin versant	359 km		

TABLEAU 172. Obstacles de la rivière Paradise (Murphy 1971).

Renvoi à la figure 42	Emplacement	Distance de l'embouchure (km)	Type	Description			Obstacle au passage du poisson
				Hauteur (m)	Largeur (m)	Pente (°)	
1	T14	9,7	Chutes	2,4	30,5	—	Franchissable
2	T14	12,9	Chutes	1,8	6,1	—	Franchissable
3	T24	3,2	Chutes	2,4	15,3	—	Franchissable
4	T24	8,1	Chutes	1,8	3,1	—	Franchissable

TABLEAU 173. Résultats des analyses d'un échantillon d'eau prélevé dans la rivière Paradise, 1976 (Jamieson 1979).

Année	pH	Dureté totale (ppm)	Conductivité spécifique ($\mu S \cdot cm^{-1}$ à 25°C)	Turbidité (UTJ)	Alcalinité totale (ppm)	Calcium (ppm)	Chlorure (ppm)	Bicarbonate (ppm)
1976	6,3	9,0	22,0	3,0	5,0	1,3	1,5	6,1

TABLEAU 174. Résumé des données sur les unités d'élevage et de frai et de la production annuelle potentielle estimative de smolts et de saumons de l'Atlantique adultes de la rivière Paradise (Murphy 1971). Aucun secteur inaccessible n'a été repéré.

	Secteurs accessibles	
Emplacement	Unités de frai	Unités d'élevage
Axe principal	1 581	38 287
T14	740	4 094
T24	259	2 136
T34	721	5 493
T35	892	6 415
Total	4 193	56 425
Production estimative		
Smolts	112 850	
Adultes	16 928	

Rivière Eagle *N° 31, fig. 6*

La rivière Eagle, le cinquième cours d'eau en importance du Labrador, coule en direction nord-est pour se jeter dans la baie Sandwich à la pointe Separation (fig. 43). C'est l'une des plus importantes rivières productrices de saumons d'Amérique du Nord. Les forêts matures de conifères du bassin versant n'ont pas encore été exploitées, pas plus que le potentiel hydro-électrique, évalué par Millan (1974) à 983 MW (troisième du Labrador).

La rivière Eagle est alimentée par 81 tributaires et draine une région de 10 824 km^2 (tableau 175). Elle prend naissance dans un chapelet de tourbières et de plans d'eau calme situé sur un plateau dénudé des monts Mealy. Les aires d'élevage du tacon n'ont pas été évaluées car la majeure partie du réseau se compose de lacs, d'étendues d'eau calme et de cours d'eau au faible courant. Cet habitat est jugé plus propice à l'élevage de l'omble de fontaine (Murphy 1972a). Les eaux d'amont de la rivière Kenemich sont adjacentes au cours supérieur de la rivière Eagle. Les Indiens soutiennent que les charognards qui quittent la Kenemich au printemps proviennent de cette dernière (Murphy 1972a).

Le tributaire 73 (T73) se jette dans l'axe principal au kilomètre 135. Il renferme de vastes aires d'élevages du tacon accessibles au saumon de l'Atlantique migrateur. Le tronçon de la rivière Eagle compris entre son point de confluence avec le tributaire 73 et son embouchure est large et rapide, traversant des collines onduleuses très boisées. Dans les sections plus étroites, l'axe principal est profond et obstrué à un endroit, au kilomètre 6,4, par des chutes facilement franchissables (tableau 176). Le bassin situé en aval de ces chutes est le lieu de pêche à la ligne le plus populaire du cours d'eau. Trois camps de pêche à la ligne au saumon sont établis non loin de là. Le ruisseau Owl (T39), situé au kilomètre 64, se compose principalement d'un réseau d'étangs et de plans d'eau calme et les biefs d'amont contiennent deux obstacles infranchissables (tableau 176). En amont de ces chutes, il n'y a que très peu d'aires d'élevages potentielles. Des échantillons d'eau y ont été prélevés en 1975 et 1977 (Jamieson 1979). Le tableau 177 présente les résultats des analyses de ces échantillons.

Le saumon de l'Atlantique, l'omble de fontaine dulçaquicole et anadrome, le meunier noir, le meunier rouge et le grand brochet sont les espèces signalées dans la rivière Eagle. L'épinoche à trois épines, l'épinoche à neuf épines, l'anguille d'Amérique et l'éperlan arc-en-ciel devraient également fréquenter ce réseau parce que ce sont des espèces répandues dans la plupart des cours d'eau du sud du Labrador.

Murphy (1971, 1972a) a évalué la production de la rivière Eagle à 33 000 saumons adultes par année (tableau 178). Blair (1943) a décrit la rivière Eagle comme la meilleure rivière à saumon de la baie Sandwich et Sollows *et al.* (1953) l'ont jugée excellente pour la pêche à la ligne, opinion corroborée par le fait que leur équipe de reconnaissance (5 hommes) a capturé et remis à l'eau 100 saumons en une seule journée. La rivière est désignée dans l'annexe du Règlement de pêche de Terre-Neuve pour la pêche à la ligne au saumon de l'Atlantique. La migration du saumon commence au début de juillet et se termine en septembre. La pêche à la ligne est pratiquée à l'embouchure du ruisseau Owl (T39) ainsi que dans le bassin situé en aval des chutes du cours inférieur ; quelques saumons ont déjà été capturés dans la région du lac Parke (Murphy 1972a). Des prises moyennes élevées de 1,12 par jour de pêche à la ligne de 1964 à 1980 (tableau 179) y ont attiré des pêcheurs de tous les continents. Pour répondre à leurs besoins, quatre camps de pêche sportive au saumon ont été créés en bordure de la rivière. Le tableau 180 présente le rapport des sexes, l'âge, le poids moyen et la longueur moyenne à la fourche des échantillons qui ont été prélevés dans les prises à la ligne en 1971, 1973–1975 et 1979. Ces échantillons se composaient principalement de madeleineaux mâles qui avaient passé 4 à 5 années dans la rivière avant la smoltification.

Quatre postes d'électro-pêche ont été établis dans le tributaire 73 (T73) en 1971 (fig. 43). Les estimations moyennes par 100 m^2 étaient les suivantes: 4,9 jeunes saumons de l'Atlantique, 9,4 ombles de fontaine et 1,9 meunier noir, estimations faites par la méthode des moindres carrés (Ricker 1958). Le tableau 181 présente les densités observées à chaque poste (Murphy 1972a). Le tableau 182 donne la répartition par classe d'âge des jeunes saumons de l'Atlantique. Plus de 55 % des nombres estimés se composaient de jeunes saumons du groupe d'âge 1+. Le peu de saumons du groupe 0+ capturés peut s'expliquer par leur faible vulnérabilité. Les petits nombres de jeunes saumons des classes 2+ et 3+ peuvent indiquer que les individus de ces groupes d'âge migrent hors de ces régions.

Pendant les années 40, le personnel des Forces armées canadiennes et américaines stationné à Goose Bay a fortement puisé dans les ressources en ombles de fontaine de la rivière Eagle (T. Curran, comm. pers.). La pêche de cette espèce y est toujours exceptionnelle et rivalise avec la pêche sportive au saumon pratiquée dans la rivière. La figure 43 montre l'emplacement de huit camps de pêche à l'omble de fontaine qui ont signalé des prises de plus de 66 000 poissons de 1965 à 1977 (tableau 183). Ces chiffres ont été établis par les pourvoyeurs des camps et le personnel du MPO qui vérifiait les prises rapportées par les avions revenant de ces camps. Ces méthodes de cueillette de données n'étant pas fiables, les données sur les prises sont jugées incomplètes et ne devraient être utilisées que comme indicateurs du nombre et de la taille des poissons capturés. Les ombles de

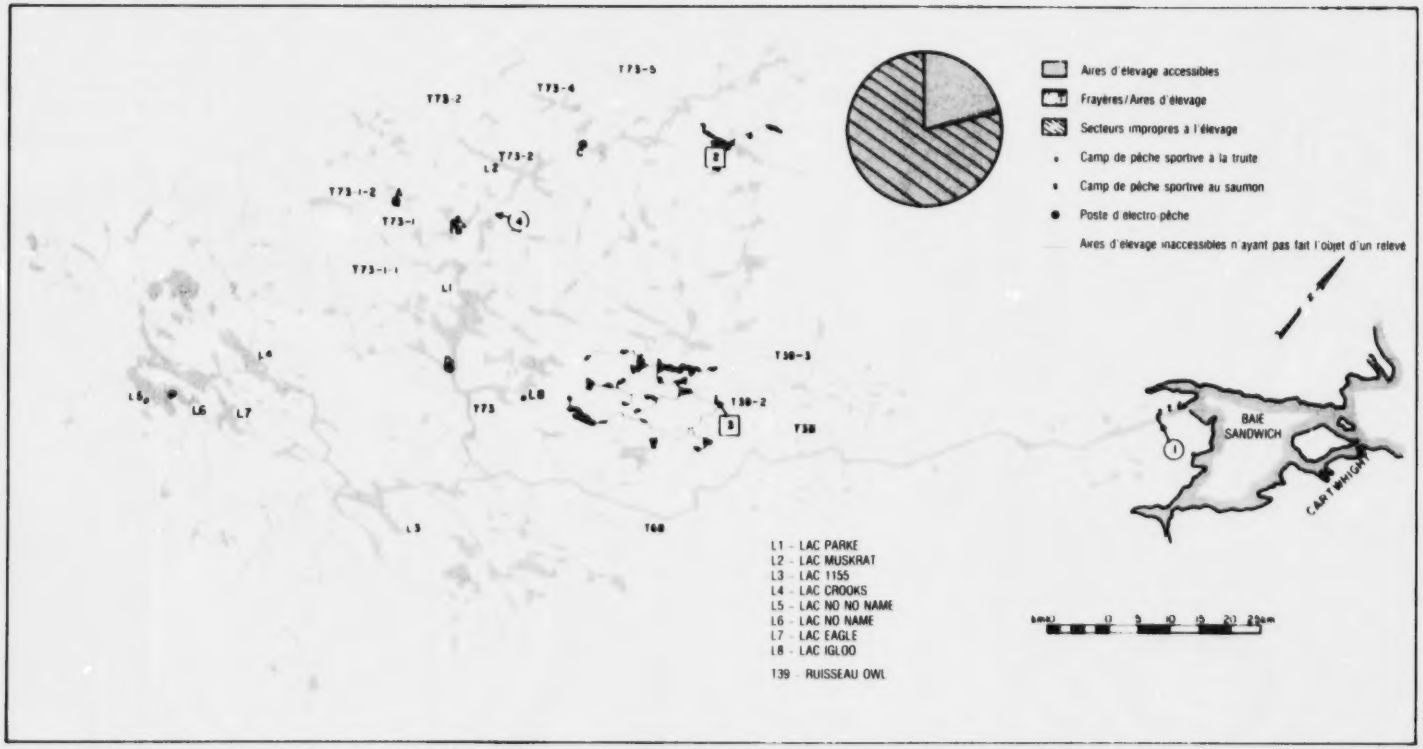

FIG. 43. Carte de la rivière Eagle montrant les aires d'élevage accessibles et inaccessibles au tacon du saumon de l'Atlantique.

fontaine anadromes sont pêchés à la ligne dans le cours inférieur de la rivière Eagle et, selon les rapports, 1 609 des 5 667 poissons capturés entre 1969 et 1977 pesaient plus de 0,9 kg (tableau 184). On a signalé dans trois régions différentes des prises de 5 758 grands brochets de 1965 à 1977, ce poisson étant généralement une espèce secondaire pêchée à la ligne aux camps de pêche à l'omble de fontaine (tableau 185).

En 1977, Bruce *et al.* (1979) ont tendu des filets maillants dans l'axe principal de la rivière Eagle et dans le lac No Name (L6). Des grands brochets et des ombles de fontaine ont été capturés à chacun de ces endroits (tableaux 186, 187).

La rivière Eagle semble être la dernière grande rivière à saumon de l'Atlantique et à l'omble de fontaine anadrome en Amérique du Nord. Il faut planifier et surveiller soigneusement toute tentative d'aménagement hydro-électrique ou d'exploitation des ressources forestières de ce bassin pour éviter de perdre cet habitat si précieux.

TABLEAU 175. Caractéristiques physiques de la rivière Eagle.

Référence cartographique:	Cartwright 13H, 3E 1:250 000	Élévation maximale du bassin versant:	610 m
Latitude de l'embouchure:	53°36'N	Longueur réelle de l'axe principal (en suivant les méandres):	135 km
Longitude de l'embouchure:	57°26'W	Longueur totale, y compris des tributaires:	3548 km
Direction générale de l'écoulement:	Nord-est	Nombre de tributaires:	81
Superficie du bassin versant:	10 824 km^2	Formation géologique:	Gneiss granitique
Largeur moyenne	58 km		
Longueur de l'axe	139 km		
Périmètre du bassin versant	605 km		

TABLEAU 176. Obstacles de la rivière Eagle (Murphy 1971).

Renvoi à la figure 43	Emplacement	Distance de l'embouchure (km)	Type	Description			Obstacle au passage du poisson
				Hauteur (m)	Largeur (m)	Pente (°)	
1	Axe principal	6,4	Chutes	—	—	—	Franchissable
2	T39	45,1	Chutes	—	—	—	Infranchissable
3	T39-2	9,7	Chutes	—	—	—	Infranchissable
4	T73	69,2	Chutes	—	—	—	Franchissable

TABLEAU 177. Résultats des analyses de 5 échantillons d'eau prélevés dans la rivière Eagle, 1975 et 1977 (Jamieson 1979).

Année	pH	Dureté totale (ppm)	Conductivité spécifique ($\mu S \cdot cm^{-1}$ à 25°C)	Turbidité (UTJ)	Alcalinité totale (ppm)	Calcium (ppm)	Chlorure (ppm)	Bicarbonate (ppm)
1975[a]	6,7	5,0	11,0	1,1	4,0	0,5	0,5	5,3
1975	6,3	5,0	11,0	1,5	3,0	0,7	0,8	3,7
1977	6,7	6,0	17,0	3,1	4,0	1,6	1,0	4,9

[a] Moyenne de trois échantillons

TABLEAU 178. Résumé des données sur les unités d'élevage et de frai et de la production annuelle potentielle estimative de smolts et de saumons de l'Atlantique adultes de la rivière Eagle (Murphy 1971, 1972a). Aucun secteur inaccessible n'a été repéré.

	Secteurs accessibles	
Emplacement	Unités de frai	Unités d'élevage
Axe principal	0	34 774
T39	1 333	6 824
T39-2	129	605
T39-3	404	6 934
T73	336	37 486
T73-1	581	4 682
T73-1-1	217	869
T73-1-2	0	5 497
T73-2	0	5 809
T73-2-1	456	3 245
T73-3	0	1 116
T73-4	0	3 095
T73-5	290	580
Total	3 746	111 516
Production estimative		
Smolts	223 032	
Adultes	33 455	

TABLEAU 179. Résumé des données sur la pêche à la ligne du saumon de l'Atlantique, rivière Eagle, 1964-1980 (Moores *et al.* 1978; Moores et Tucker 1979, 1980, 1981).

Année	Madeleineaux <2,7 kg	Grands saumons ≥2,7 kg	Total	Jours de pêche à la ligne	Prises par jour de pêche à la ligne
1964	1652	86	1738	1277	1,36
1965	1323	100	1423	1155	1,23
1966	1473	89	1562	1713	0,91
1967	869	77	946	809	1,17
1968	1882	59	1941	916	2,12
1969	1612	120	1732	1619	1,07
1970	1676	59	1735	1762	0,98
1971	2241	95	2336	1692	1,38
1972	1317	99	1416	1475	0,96
1973	4209	435	4644	3598	1,29
1974	855	177	1032	1420	0,73
1975	2433	47	2480	1574	1,58
1976	1940	124	2064	1897	1,09
1977	1904	81	1985	1991	1,00
1978	955	83	1038	2595	0,40
1979	1363	37	1400	1113	1,26
1980	1269	181	1450	891	1,63
Moyenne	1704	115	1819	1618	1,12

TABLEAU 180. Rapport des sexes (% de F), âge, poids et longueur à la fourche du saumon de l'Atlantique prélevé dans les prises à la ligne de 1971, 1973, 1974, 1975 et 1979 de la rivière Eagle (MPO, données inédites).

	Madeleineaux								Saumons dibermarins							
Période de prélèvement	Femelles		Nombre d'années passées en eau douce		Poids (g)		Longueur à la fourche (cm)		Femelles		Nombre d'années passées en eau douce		Poids (g)		Longueur à la fourche (cm)	
	%	*n*	an	*n*	$\bar{x}$	*n*	$\bar{x}$	*n*	%	*n*	an	*n*	$\bar{x}$	*n*	$\bar{x}$	*n*
1-3 août 1971	0,0	21	3	21	1852	21	55,2	21								
	3,1	65	4	65	1857	65	55,1	65								
	0,0	23	5	23	1940	23	55,8	23								
	0,0	4	6	4	1955	4	56,5	4								
		113		113		113		113								
Moyenne	1,8		4,1		1876		55,3									
Juillet 1973	0,0	1	2	1							2					
	0,0	1	3	1					66,7	3	3	3				
	5,0	40	4	40							4					
	0,0	8	5	8					100	2	5	2				
	0,0	3	6	3					50,0	2	6	2				
		53		53						7		7				
Moyenne	3,8		4,2						71,4		4,4					
Juillet, août 1974	6,7	15	4	15	1876	15			100	8	4	8	5429	8		
	16,7	24	5	24	1873	24			100	8	5	8	5789	8		
	33,3	6	6	6	1778	6					6					
		45		45		45				16		16		16		
Moyenne	15,6		4,8		1861				100		4,5		5609			
Août 1975	10,0	10	3	10	2043	10			100	1	3	1	5335	1		
	1,0	97	4	97	1855	97			80,0	5	4	5	3632	5		
	0,0	67	5	67	1826	67			100	3	5	3	4654	3		
	0,0	17	6	17	1989	17										
		191		191		191				9		9		9		
Moyenne	1,0		4,5		1867				88,9		4,2		4162			
15-19 juillet 1979	0,0	8	3	8	1769	8	54,0	20			3				76,5	1
	3,9	77	4	77	1734	77	53,8	146	60,0	5	4	5	4096	5	74,4	7
	0,0	14	5	14	1746	14	54,1	23			5					
		99		99		99		189		5		5		5		8
Moyenne	3,0		4,1		1739		53,9		60,0		4,0		4096		74,7	

TABLEAU 181. Estimations du nombre de poissons par unité d'élevage (100 m²) obtenues par une étude d'électro-pêche, rivière Eagle, 1971 (Murphy 1972a).

N° du poste (fig. 43)	Date	Jeunes saumons de l'Atlantique	Ombles de fontaine	Meuniers noirs
A	4 sept.	7,81	3,03	0,00
B	5 sept.	0,71	24,11	7,58
C	5 sept.	2,00	7,12	0,00
D	6 sept.	10,17	3,49	0,00
Moyenne		5,17	9,44	1,90

TABLEAU 182. Estimations de jeunes saumons de l'Atlantique par unité d'élevage (100 m²), selon l'âge, obtenues grâce à une étude d'électro-pêche, rivière Eagle, 1971 (Murphy 1972a). L'âge de tous les poissons n'a pas été déterminé.

N° du poste (fig. 43)	Âge (année)					Total
	0+	1+	2+	3+	4+	
A	0,43	5,65	0,86	0,00	0,87	7,81
B	0,00	0,00	0,29	0,29	0,00	0,58
C	0,00	0,60	0,80	0,40	0,20	2,00
D	0,00	4,72	1,57	3,04	0,00	9,33

TABLEAU 183. Résumé des données sur les prises à la ligne d'ombles de fontaine dulçaquicoles, rivière Eagle, 1965-1977 (MPO, données inédites).

	1965 truites		1966 truites		1967 truites		1968 truites		1969 truites		1970 truites		1971 truites	
	<0,5 kg	≥0,5 kg	<0,5 kg	≥0,5 kg	<0,5 kg	≥0,5 kg	<0,5 kg	≥0,5 kg	<0,5 kg	≥0,5 kg	<0,5 kg	≥0,5 kg	<0,5 kg	≥0,5 kg
Lac Parke	0	2052	0	850	0	791	0	1047	0	773	100	932	119	1280
Lac 1155	0	190	0	24	0	400	0	60	0	100	50	124	0	35
Lac No Name	0	1804	0	1603	1081	1437	1509	1839	2464	1705	3440	1757	1585	3550
Lac Crooks	0	770	0	932	0	542	53	903	142	950	112	460	46	849
Lac No No Name	—	—	—	—	—	—	—	—	—	—	—	—	64	257
Lac Igloo	—	—	—	—	—	—	—	—	—	—	—	—	—	—
Lac Eagle	—	—	—	—	—	—	0	213	0	322	0	54	17	207
Ruisseau Owl	—	—	0	170	—	—	—	—	—	—	—	—	—	—
Ruisseau Eagle	0	267	0	250	0	400	0	125	100	50	100	50	150	75
Total	0	5083	0	3829	1081	3570	1562	4187	2706	3900	3802	3377	1981	6253

	1972 truites		1973 truites		1974 truites		1975 truites		1976 truites		1977 truites		Total truites	
	<0,5 kg	≥0,5 kg	<0,5 kg	≥0,5 kg	<0,5 kg	≥0,5 kg	<0,5 kg	≥0,5 kg	<0,5 kg	≥0,5 kg	<0,5 kg	≥0,5 kg	<0,5 kg	≥0,5 kg
Lac Parke	200	748	260	803	120	906	—	—	—	—	—	—	799	10 182
Lake 1155	13	43	0	100	0	85	—	—	—	—	—	—	63	1 161
Lac No Name	821	3197	527	1936	403	1039	257	1793	147	790	105	785	12 339	23 235
Lac Crooks	22	1082	108	1246	214	1296	174	646	—	—	—	—	871	9 676
Lac No No Name	0	394	47	889	13	190	—	—	—	—	—	—	124	1 730
Lac Igloo	—	—	0	22	0	97	—	—	0	34	—	—	0	153
Lac Eagle	0	108	0	1881	2	10	—	—	—	—	—	—	19	2 795
Ruisseau Owl	—	—	—	—	—	—	—	—	—	—	—	—	0	170
Ruisseau Eagle	200	50	631	303	426	230	—	—	—	—	—	—	1 607	1 800
Total	1256	5622	1573	7180	1178	3853	431	2439	147	824	105	785	15 822	50 902

TABLEAU 184. Résumé des données sur les prises à la ligne d'ombles de fontaine anadromes (truites de mer), cours inférieur de la rivière Eagle, 1969–1977 (MPO, données inédites).

	Poids (kg)			
Année	<0,9	0,9–1,8	>1,8	Total
1969	580	359	0	939
1970	404	85	3	492
1971	221	438	1	660
1972	647	105	1	753
1973	631	303	0	934
1974	302	127	0	429
1975	367	77	1	445
1976	381	67	0	448
1977	525	42	0	567
Total	4058	1603	6	5667

TABLEAU 185. Résumé des données sur les prises à la ligne de grands brochets, rivière Eagle, 1965–1977 (MPO, données inédites).

		Poids (kg)		Poids	
Emplacement	Année	<2,3	≥2,3	inconnu	Total
Lac Parke	1966	—	—	50	50
Lac Crooks	1965	247	30	0	277
	1966	—	—	53	53
	1967	—	—	50	50
	1968	—	—	109	109
	1969	—	—	154	154
	1970	38	18	0	56
	1971	208	22	0	230
	1972	143	77	0	220
	1973	231	46	0	277
	1974	441	133	0	574
	1975	495	180	0	675
Lac No Name	1965	60	19	0	79
	1966	—	—	121	121
	1967	—	—	146	146
	1968	—	—	191	191
	1969	—	—	148	148
	1970	111	55	0	166
	1971	217	246	0	463
	1972	189	122	0	311
	1973	195	177	0	372
	1974	115	120	0	235
	1975	140	183	0	323
	1976	56	46	0	102
	1977	202	174	0	376
Total		3088	1648	1022	5758

TABLEAU 186. Résumé des données sur le sexe, le poids entier, l'âge et la teneur en mercure du grand brochet et de l'omble de fontaine capturés dans la rivière Eagle, 9 août 1977 (Bruce *et al.* 1979).

Espèce	Sexe	*N*	Poids entier moyen (kg)	Âge moyen (années)	Teneur moyenne en mercure (ppm)	Plage des teneurs en mercure (ppm)
Grand brochet	M	7	0,16	4,3	0,03	0,01–0,07
	F	1	2,30	8,0	0,12	—
Total		8	0,43	4,8	0,04	0,01–0,12
Omble de fontaine	M	2	1,10	5,5	0,05	—
	F	6	1,28	5,5	0,06	0,03–0,11
Total		8	1,24	5,5	0,06	0,03–0,11

TABLEAU 187. Résumé des données sur le sexe, la longueur à la fourche, le poids entier, l'âge et la teneur en mercure du grand brochet et de l'omble de fontaine capturés dans le lac No Name, rivière Eagle, 17 août 1977 (Bruce *et al.* 1979).

Espèce	Sexe	*N*	Longueur moyenne à la fourche (cm)	Poids entier moyen (kg)	Âge moyen (années)	Teneur moyenne en mercure (ppm)	Plage des teneurs en mercure (ppm)
Grand brochet	M	4	49,6	1,14	4,3	0,11	0,06–0,14
Omble de	M	3	31,8	0,44	4,3	0,05	0,03–0,07
fontaine	F	4	32,4	0,44	3,3	0,04	0,03–0,06
Total		7	32,1	0,44	3,8	0,05	0,03–0,07

Rivière White Bear *N° 32, fig. 6*

La rivière White Bear se jette dans la baie Sandwich à l'ouest de la pointe Separation (fig. 44). Elle draine 1 075 km^2, elle est alimentée par 50 tributaires (tableau 188) et elle est reconnue pour ses nombreux rapides et chutes, dont trois obstruent partiellement la migration du poisson dans l'axe principal (tableau 189). Les premières chutes, situées à l'embouchure, ont déjà été décrites par Blair (1943), Sollows *et al.* (1953), Peet (1971) et Murphy (1971) comme un obstacle difficile à franchir. Le MPO a effectué en 1973 une étude technique détaillée de ces chutes, ce qui lui a permis d'établir qu'il était possible d'y construire une échelle à poissons pour un coût estimatif préliminaire de 400 000 à 500 000 $. Une autre solution pour améliorer le passage du poisson serait d'aménager des bassins à la dynamite et d'installer une dérivation comportant des chicanes sur le côté gauche des chutes (en regardant vers l'amont). Cette solution serait probablement moins efficace qu'une échelle à poissons mais plus attrayante sur le plan économique (coût estimatif de 20 000 $). En amont de la première chute, la rivière contient 22 228 unités d'élevage du tacon (tableau 190).

En amont des chutes de l'embouchure, la rivière a une largeur de 50 à 74 m et coule dans une vallée étroite en forme de U dont les versants sont boisés jusqu'à leur sommet. À dix kilomètres de son embouchure, la rivière White Bear s'élargit. On y trouve alors plusieurs îles et plusieurs secteurs contenant des graviers adéquats pour le frai (Peet 1971 ; Murphy 1971). La rivière se rétrécit à nouveau à 16 km de son embouchure. Le substrat grossier du lit (blocs et moellons) des 15 km suivants offre d'excellents habitats d'élevage du tacon. Un des principaux tributaires (T10) conflue avec la rivière à 22 km de son embouchure, mais une série de chutes, des kilomètres 4,8 à 8,1, le rend inaccessible aux poissons migrateurs. Le deuxième obstacle franchissable de l'axe principal

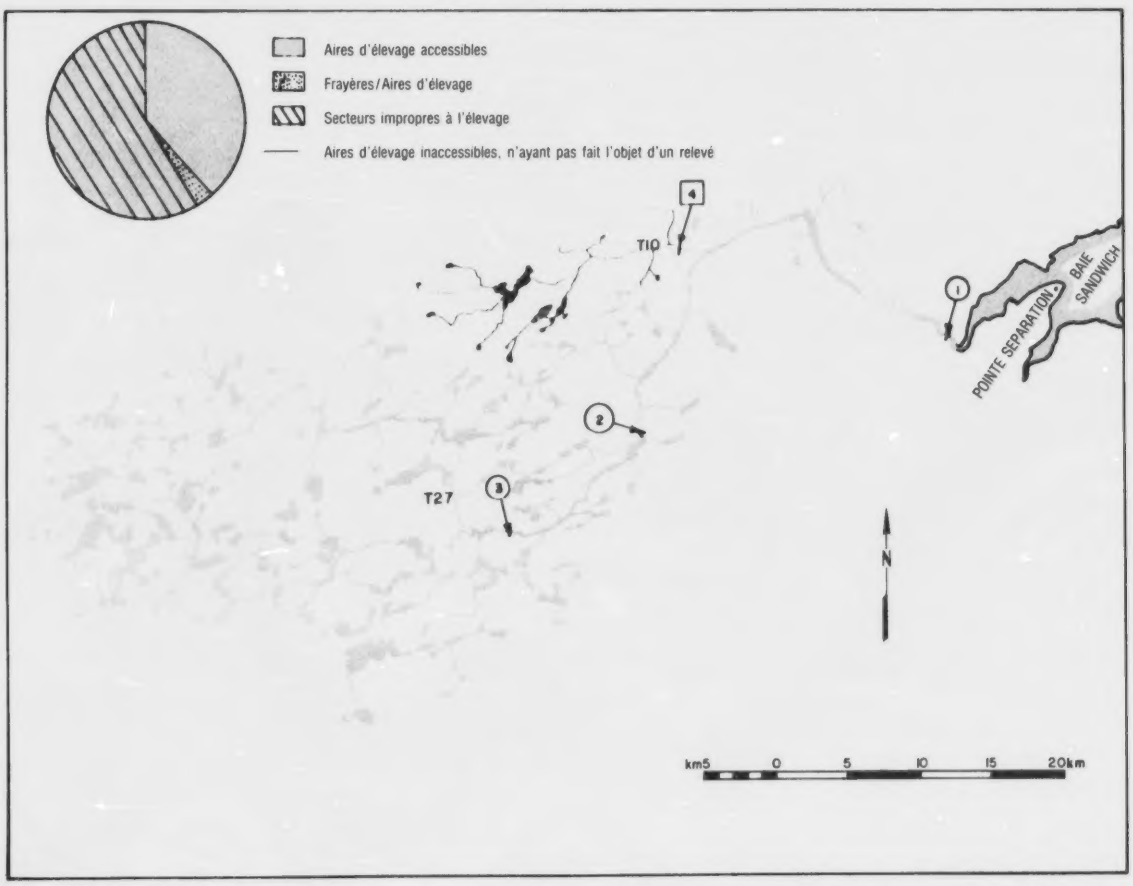

FIG. 44. Carte de la rivière White Bear montrant les aires d'élevage accessibles et inaccessibles au tacon du saumon de l'Atlantique.

est situé au kilomètre 37,0. Une étude technique des troisièmes chutes, obstacle franchisssable mais important situé au kilomètre 49,9, a été effectuée en 1973 par le MPO. Selon les estimations, les nombreux dynamitages nécessaires pour construire une dérivation au débit rapide coûteraient 25 000 à 30 000 $. Murphy (1971) signale que le tributaire 27 (T27), qui se jette dans la rivière White Bear au kilomètre 50, renferme plusieurs secteurs de graviers propices au frai et plus de 5 500 unités d'élevage (tableau 190). Des échantillons d'eau ont été prélevés dans la rivière en 1973, 1976 et 1978; le tableau 191 présente les résultats des analyses de ces échantillons (Jamieson 1979).

Le saumon de l'Atlantique et l'omble de fontaine sont les espèces de poissons les plus répandues dans la rivière White Bear. La pêche à la ligne n'est pratiquée qu'à petite échelle dans les bassins situés en aval des chutes, comme l'indiquent les prises annuelles moyennes de 40 saumons de l'Atlantique et l'effort annuel moyen de 63 jours de pêche à la ligne touchant 11 des 15 dernières années (tableau 192). Des prises d'ombles de fontaine anadromes, qui sont généralement effectuées par les pêcheurs de saumon, ont été enregistrées pour les années 1972 à 1974 et 1977 (tableau 193). Sollows *et al.* (1953) et Peet (1971) signalent que le saumon pêché à la ligne en aval des chutes est habituellement en mauvais état (c'est-à-dire foncé et émacié), indiquant que le poisson s'y trouve depuis longtemmps. Certains croient que les chutes situées à l'embouchure de la rivière retardent énormément les migrations du saumon.

TABLEAU 188. Caractéristiques physiques de la rivière White Bear.

Référence cartographique:	Cartwright 13H, 3E 1:250 000	Élévation maximale du bassin versant:	458 m
Latitude de l'embouchure:	53°37′N	Longueur réelle de l'axe principal (en suivant les méandres):	52 km
Longitude de l'embouchure:	57°30′W	Longueur totale, y compris des tributaires:	399 km
Direction générale de l'écoulement:	Est	Nombre de tributaires:	50
Superficie du bassin versant:	1075 km^2	Formation géologique:	Gneiss granitique
Largeur moyenne	22 km		
Longueur de l'axe	66 km		
Périmètre du bassin versant	206 km		

TABLEAU 189. Obstacles de la rivière White Bear (Murphy 1971).

Renvoi à la figure 44	Emplacement	Distance de l'embouchure (km)	Type	Description			Obstacle au passage du poisson
				Hauteur (m)	Largeur (m)	Pente (°)	
1	Axe principal	0,0	Chutes	7,6	45,8	—	Franchissable
2	Axe principal	37,0	Chutes	3,1	15,3	—	Franchissable
3	Axe principal	49,9	Chutes	8,5	91,5	—	Franchissable
4	T10	4,8–8,1	Chutes	—	—	—	Infranchissable

TABLEAU 190. Résumé des données sur les unités d'élevage et de frai et la production annuelle potentielle estimative de smolts et de saumons de l'Atlantique adultes de la rivière White Bear (Murphy 1971). Aucun secteur inaccessible n'y a fait l'objet d'un relevé.

	Secteurs accessibles	
Emplacement	Unités de frai	Unités d'élevage
Axe principal	708	15 557
T10	0	1 116
T27	926	5 555
Total	1 634	22 228
Production estimative		
Smolts	44 456	
Adultes	6 668	

TABLEAU 191. Résultats des analyses de trois échantillons d'eau prélevés dans la rivière White Bear en 1973, 1976 et 1978 (Jamieson 1979).

Année	pH	Dureté totale (ppm)	Conductivité spécifique ($\mu S \cdot cm^{-1}$ à 25°C)	Turbidité (UTJ)	Alcalinité totale (ppm)	Calcium (ppm)	Chlorure (ppm)	Bicarbonate (ppm)
1973, 1976[a]	6,2	8,0	15,0	3,2	4,5	1,1	1,0	5,5
1978	6,6	6,0	13,0	0,8	1,0	0,4	1,5	1,2

[a] Moyenne.

TABLEAU 192. Résumé des données sur la pêche à la ligne au saumon de l'Atlantique, rivière White Bear, 1966–1980 (Moores *et al.* 1978; Moores et Tucker 1979, 1980, 1981).

Année	Madeleineaux <2,7 kg	Grands saumons ≥2,7 kg	Total	Jours de pêche à la ligne	Prises par jour de pêche à la ligne
1966	19	2	21	33	0,64
1967	5	7	12	21	0,57
1968	1	2	3	7	0,43
1969	—	—	—	—	—
1970	17	5	22	29	0,76
1971	32	18	50	56	0,89
1972	21	24	45	130	0,35
1973	17	12	29	96	0,30
1974	16	11	27	27	1,00
1975	—	—	—	—	—
1976	53	10	63	44	1,43
1977	83	41	124	144	0,86
1978	34	14	48	108	0,44
1979	—	—	—	—	—
1980	—	—	—	—	—
Moyenne	27	13	40	63	0,64

TABLEAU 193. Résumé des données sur les prises à la ligne d'ombles de fontaine anadromes (truites de mer), rivière White Bear, 1972–1974 et 1977 (MPO, données inédites).

	Poids (kg)		
Année	<0,9	0,9–1,8	Total
1972	79	0	79
1973	40	0	40
1974	50	0	50
1977	185	5	190
Total	354	5	359

Rivière North

N° 33, fig. 6

La rivière North, qui prend naissance dans les monts Mealy et se termine à la pointe Sandy, coule vers l'est pour se jeter du côté de la baie Sandwich (fig. 45). Elle a un bassin versant d'une superficie de 2 234 km^2 et elle est alimentée par 60 tributaires (tableau 194). Millan (1974) a évalué son potentiel hydro-électrique à 160 MW, ce qui est beaucoup plus élevé que partout ailleurs dans l'île de Terre-Neuve.

L'embouchure de la rivière est large et parsemée de bancs de sable et de petites îles. La rivière se rétrécit aux rapides du kilomètre 10,5 qui, tout comme les autres chutes et rapides du réseau, retardent peu ou pas la migration du poisson (tableau 195). Une large étendue d'eau calme se trouve entre les premiers et deuxièmes rapides, ces derniers étant situés au kilomètre 37,0. À cet endroit, la vallée fluviale se rétrécit et le gradient s'accroît. On trouve d'autres rapides aux kilomètres 39,6 et 40,4. En amont de cette série de rapides, la rivière s'élargit et se régularise sur une distance de 10 km, traversant une vallée très boisée. L'inclinaison augmente à nouveau à 52,8 km de l'embouchure et le courant s'accélère sur 1,9 km. Plus loin, la rivière s'élargit à nouveau et est parsemée d'îles. Peet (1971) considère les nombreux bancs de gravier de ce secteur comme des frayères propices au saumon de l'Atlantique. Au kilomètre 74,8, la rivière se rétrécit et est parsemée de petites chutes et de petits rapides jusqu'au kilomètre 104,7 où débute le terrain onduleux et relativement plat du secteur des eaux d'amont. Les tronçons supérieurs se composent de nombreux lacs et étangs et ne comportent qu'une seule chute au kilomètre 120,8. Les poissons migrateurs peuvent accéder à tous les tributaires même s'il existe de petits rapides dans la rivière Murphy (T21), à 1,0 km en amont de son embouchure.

Le saumon de l'Atlantique et l'omble de fontaine ont été signalés dans la rivière North. Blair (1943) affirme que le saumon de l'Atlantique remonte toutes les chutes et gagne les eaux d'amont; d'après Sollows *et al.* (1953), la rivière North est une « bonne » rivière à saumons. Peet (1971) souligne, dans son relevé de 1967, que la pêche à la ligne au saumon est probablement peu pratiquée en raison de l'absence de bassins. La rivière est davantage reconnue pour son excellente pêche à la ligne de l'omble de fontaine anadrome pratiquée à son embouchure; les registres montrent que plus de 2 100 poissons ont été capturés en 1969 et 1974 (tableau 196).

TABLEAU 194. Caractéristiques physiques de la rivière North.

Référence cartographique:	Cartwright 13H, 3E 1:250 000	Élévation maximale du bassin versant:	732 m
Latitude de l'embouchure:	53°49′N	Longueur réelle de l'axe principal (en suivant les méandres):	143 km
Longitude de l'embouchure:	57°06′W	Longueur totale, y compris des tributaires:	1 399 km
Direction générale de l'écoulement:	Est	Nombre de tributaires:	60
Superficie du bassin versant:	2 234 km^2	Formation géologique:	Gneiss et une certaine quantité de granite
Largeur moyenne	21 km		
Longueur de l'axe	113 km		
Périmètre du bassin versant	328 km		

TABLEAU 195. Obstacles de la rivière North (Peet 1971).

Renvoi à la figure 45	Emplacement	Distance de l'embouchure (km)	Type	Description			Obstacle au passage du poisson
				Hauteur (m)	Largeur (m)	Pente (°)	
1	Axe principal	10,5	Rapides	—	—	—	Franchissable
2	Axe principal	37,0	Rapides	—	—	—	Franchissable
3	Axe principal	39,6	Rapides	—	—	—	Franchissable
4	Axe principal	40,4	Rapides	—	—	—	Franchissable
5	Axe principal	52,8	Rapides	—	—	—	Franchissable
6	Axe principal	74,8–104,7	Rapides et chutes	—	—	—	Franchissable
7	Axe principal	120,8	Chutes	—	—	—	Franchissable
8	T21	1,0	Rapides	—	—	—	Franchissable

TABLEAU 196. Résumé des données sur les prises à la ligne d'ombles de fontaine anadromes, rivière North, 1969–1974 (MPO, données inédites).

Année	Poids (kg)		Total
	<0,9	0,9–1,8	
1969	27	427	454
1970	300	100	400
1971	200	50	250
1972	150	25	175
1973	100	25	125
1974	700	0	700
Total	1477	627	2104

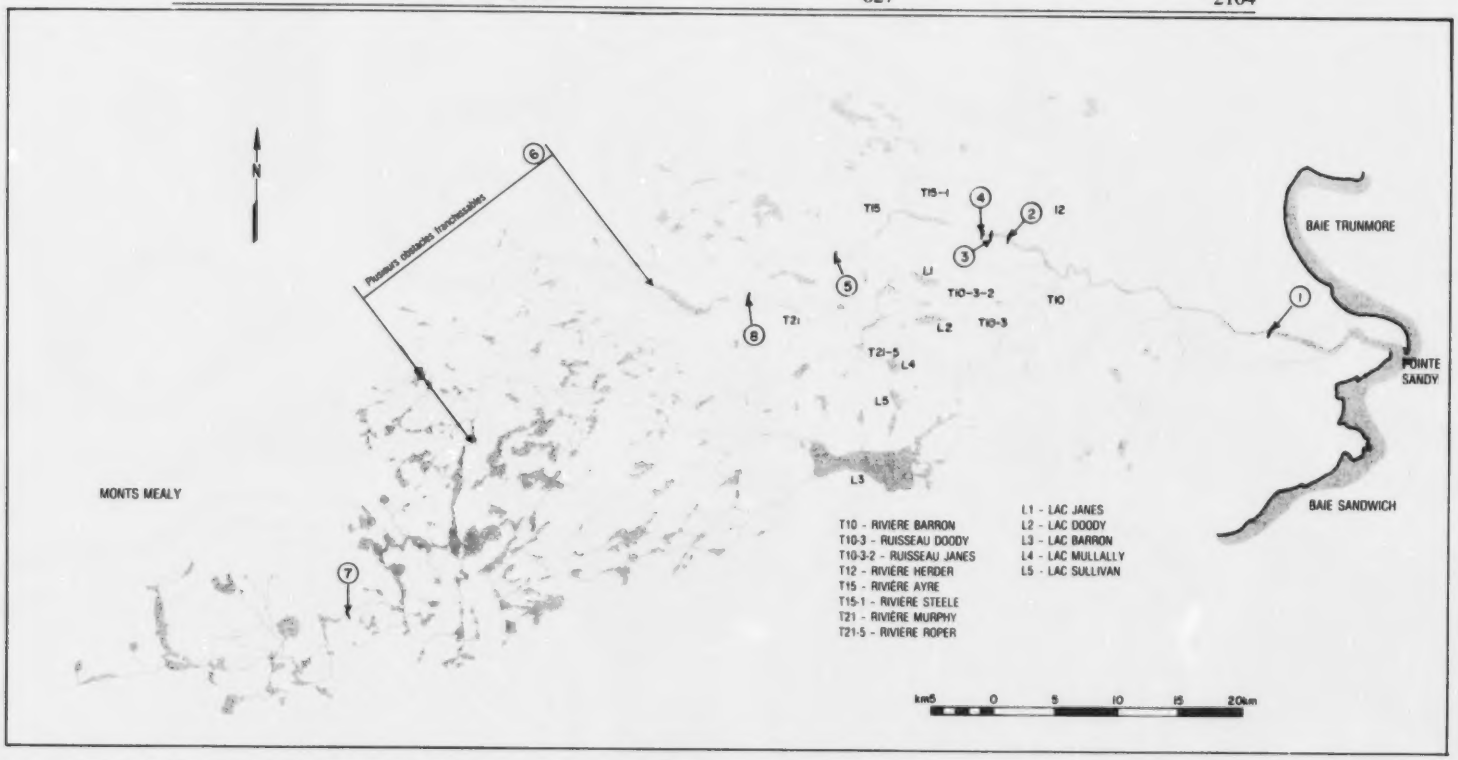

FIG. 45. Carte de la rivière North montrant les aires d'élevage accessibles au tacon du saumon de l'Atlantique.

RÉGION III
INLET HAMILTON

La région de l'inlet Hamilton comprend la zone drainée par les cours d'eau qui se jettent dans la baie Groswater et le lac Melville (fig. 46). Compte tenu de la vaste superficie couverte par les bassins versants de ces cours d'eau, elle est la plus grande des six régions du Labrador. La baie Groswater constitue la partie extérieure de l'inlet Hamilton et mesure plus de 25 km de large à son entrée. Le lac Melville, longue et étroite étendue d'eau saumâtre, s'étire de Rigolet à Goose Bay sur une distance d'environ 160 km. Des cargos et des paquebots naviguent sur cette étroite bande d'eau durant la période libre de glace et ce, avec la seule dextérité des pilotes. Les alluvions formées dans les grandes rivières rendent les conditions de navigation encore plus précaires.

L'inlet Hamilton porte le nom historique de Invuckotoke, et le lac Melville fut d'abord désigné sous le nom de baie Esquimaux, premiers habitants de la région. De nos jours, les derniers vestiges de la célèbre bande inuit qui peuplait la région jusqu'au détroit de Belle Isle se trouvent à Rigolet (Low 1896; Parsons 1970). Plus à l'ouest, dans les terres de l'intérieur, les indiens Naskaupi ont chassé les vastes hordes de caribous pendant des siècles. Depuis lors, les Naskaupis se sont établis sur la côte de l'inlet Davis tandis que les Montagnais se sont établis à Sheshatshit, à l'extrémité ouest du lac Melville.

Pendant des siècles, la baie Groswater fut l'une des principales aires de pêche à la morue des pêcheurs anglais et français, auxquels elle doit d'ailleurs son nom. La partie intérieure du lac Melville a été associée aux explorateurs durant les XIX^{e} et XX^{e} siècles. John MacLean, chef de poste de la Compagnie de la Baie d'Hudson, traversa le Labrador de la baie d'Ungava à l'inlet Hamilton au début des années 1800 et fut le premier Blanc à admirer les imposantes chutes Churchill. Holmes (1888) explora les rivières Kenemich, Kenamu, Traverspine et Churchill durant son séjour dans les terres intérieures du Labrador en 1887. Low (1896) décrivit l'inlet Hamilton, remonta la rivière Churchill et explora trois autres cours d'eau du nord du Québec. Wallace (1905, 1907) et Hubbard (1908) partirent tous deux du lac Grand, étroite étendue d'eau adjacente à la partie occidentale du lac Melville, pour explorer les rivières Susan, Beaver, Crooked et Naskaupi. Scott (1933), au cours de son levé cartographique préliminaire du Labrador, explora les rivières Kenemich, Kenamu, Traverspine, Churchill et Crooked. Blair (1943), Sollows *et al.* (1953), Backus (1957), Peet (1971), Murphy (1972a), Murphy et Porter (1974a), Jamieson (1979), Bruce et Spencer (1979), et Bruce *et al.* (1979) analysèrent les caractéristiques physiques et les populations de poissons des cours d'eau de la région. Enfin, plusieurs chercheurs ont effectué différentes études sur la rivière Churchill, le réservoir Smallwood et leurs poissons.

En dépit du fait que la baie Groswater fut de tout temps un lieu de pêche de prédilection, peu de gens s'établirent en permanence dans la région. Parsons (1970) observe que pendant l'été, la baie entière est fréquentée par les pêcheurs de la côte est de Terre-Neuve. Depuis l'effondrement de la pêche à la morue dans la région dans les années 60, les efforts de pêche commerciale se sont orientés de plus en plus vers le saumon, notamment le long de la côte nord de la baie Groswater et à Rigolet. Plus vers l'intérieur, dans la région du lac Melville, la pêche au saumon et à la morue n'a jamais été aussi importante que le commerce des fourrures.

La géologie régionale est diversifiée. La région située au sud de l'inlet Hamilton, y compris les monts Mealy, est composée d'anorthosites ou de roches ignées âgées de près de 1 400 millions d'années (Sutton 1972). La zone qui s'étend jusqu'à la frontière québécoise contient des sédiments précambriens et des roches volcaniques. Elle comprend la dépression du Labrador, ceinture riche en minéraux de laquelle la société Iron Ore du Canada, la société minière Québec-Cartier et les mines Wabush limitée tirent 75 % de la production canadienne de minerai de fer. Le reste de la région du lac Melville est constitué de gneiss et de roches associées. La société British Newfoundland Exploration (Brinex), qui effectue des travaux de prospection depuis 1954, a décelé de l'uranium dans des affleurements côtiers dans la région de Back Way, au sud de la baie Groswater, et dans une zone de 3 500 km^{2} de roches sédimentaires et volcaniques qui ceinturent le lac Seal, mais l'étendue et le potentiel de ces gisements sont encore inconnus (Brinco Ltd. 1975). Des glaciers ont décapé la quasi totalité de la région du lac Melville et abandonné des débris plus au sud au Labrador.

La végétation de cette région peut être divisée en deux types très distincts. Le premier constitue la forêt la plus productive du Labrador et se retrouve le long de la lisière occidentale du lac Melville et dans le secteur inférieur de la rivière Churchill. Ces peuplements de conifères matures ont déjà été exploités par de petites scieries; de 1969 à 1977, près de 15 000 hectares d'arbres ont été abattus pour être transformés en pâte. Le deuxième type de végétation comprend essentiellement des peuplements d'épinettes noires rabougries et se retrouve dans presque tous les autres secteurs.

Les principaux cours d'eau de la région se jettent dans la partie occidentale du lac Melville, notamment la rivière Churchill et la rivière Naskaupi qui sont également les deux plus grands cours d'eau du Labrador. En 1971, près de 50 % des eaux de la rivière Naskaupi, y compris le lac Michikamau, ont été détournés dans le réseau hydrographique de la rivière Churchill pour produire de l'électricité. La plupart des cours d'eau de la région, à l'exception de ceux drainant les monts Mealy, s'écoulent lentement sur un relief plat et ne font pas

vraiment obstacle à la migration des poissons. Plusieurs chercheurs ont noté une forte turbidité et la présence de grandes quantités de limon, de sable et de gravier dans les secteurs inférieurs de plusieurs cours d'eau.

On a relevé 21 espèces de poissons dans la région (tableau 1). Quatre d'entre elles, le méné de lac, le naseux des rapides, le mulet perlé et le chabot tacheté, sont des espèces exclusives à cette région du Labrador. De plus, on a signalé la présence de l'esturgeon noir dans le lac Melville où le fond vaseux constitue un bon habitat pour ce poisson anadrome qui se nourrit sur le fond. Selon Riche (1965), Peet (1971), LeDrew (1972), Murphy (1972a) et Murphy et Porter (1974a), la région offre d'excellentes possibilités pour le saumon de l'Atlantique anadrome, mais les relevés de pêche commerciale et sportive font état d'une faible migration de l'espèce. Deux cours d'eau seulement sont désignés pour la pêche à la ligne au saumon de l'Atlantique. Cette sous-utilisation apparente des cours d'eau est probablement reliée à l'absence de frayères appropriées, au faible courant en hiver, à la forte turbidité qui détériore les aires d'élevage des tacons, et à l'impact des pêches antérieures. La distance qui sépare l'étroit émissaire du lac Melville de sa rive occidentale, soit près de 160 km, peut aussi réduire la production et nuire également à la montaison des saumons. Dans certains secteurs du Labrador occidental, la biomasse de l'omble de fontaine, du touladi, du grand brochet et du grand corégone est élevée. La taille et l'abondance de ces poissons sont probablement reliées à la disponibilité de la nourriture et à l'absence de toute exploitation.

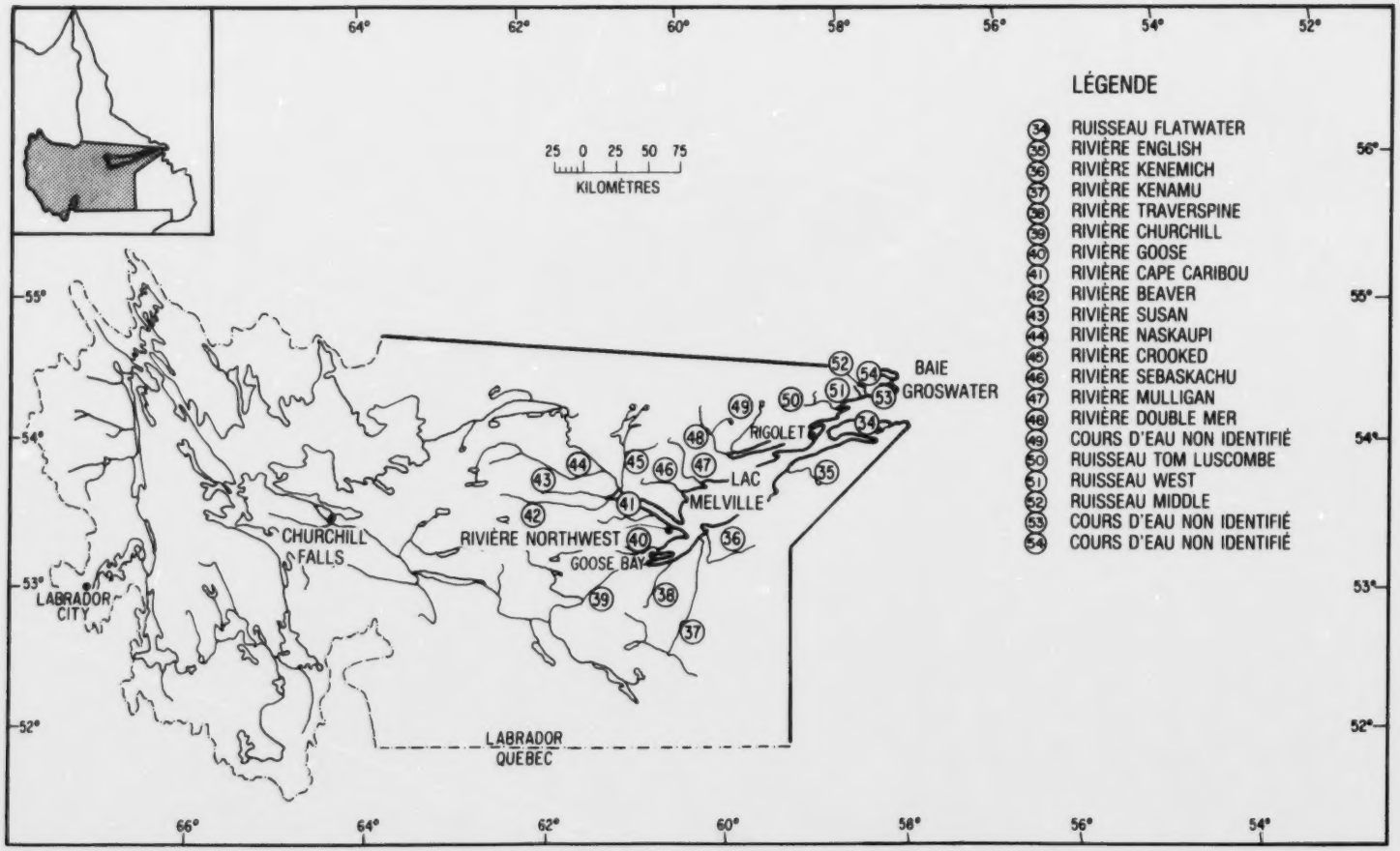

FIG. 46. Carte de la région III, inlet Hamilton. Les cours d'eau sont numérotés de façon à être repérés plus facilement dans le texte.

Ruisseau Flatwater

N° 34, fig. 46

Le ruisseau Flatwater est un cours d'eau isolé qui se jette dans la baie Groswater (fig. 47). Le bassin versant, d'une superficie de 299 km^2 (tableau 197), draine une dépression stérile ceinturée de petites collines. L'axe principal est formé essentiellement d'un réseau de petits étangs qui constituent le bassin hydrographique des neuf tributaires. Peet (1971) a signalé que le substrat était composé principalement de vase, de sable et de limon et parsemé de bancs de gravier grossier, de moellons et de blocs. Il n'a relevé aucun obstacle à la migration des poissons dans le réseau.

Le saumon de l'Atlantique, l'omble arctique et l'omble de fontaine ont été signalés dans le ruisseau Flatwater. En 1967, Peet (1971) a saisi deux filets tendus illégalement à l'embouchure du ruisseau. Ils contenaient un saumon de l'Atlantique, trois ombles arctiques et un omble de fontaine. La longueur, le poids et le sexe de ces poissons sont précisés dans le tableau 198. D'autres preuves de braconnage intensif ont été recueillies par T. Curran (comm. pers.) qui a signalé que treize filets avaient été saisis en 1977 à l'embouchure du ruisseau. Ces filets contenaient également des madeleineaux, des ombles arctiques et des ombles de fontaine. Des résidents locaux ont observé un nombre assez grand de madeleineaux qui remontaient le cours d'eau (T. Curran, comm. pers.). Selon Peet (1971), un bon pourcentage des poissons anadromes qui fréquentent ce bassin versant se compose probablement de saumons, les braconniers n'étant pas intéressés à mettre en jeu leurs filets pour des espèces de moindre valeur. Aucune estimation de l'étendue de l'aire d'élevage des juvéniles dans ce cours d'eau n'est disponible. Selon la description de Peet, il semble que la capacité d'élevage est limitée, et un braconnage généralisé pourrait réduire notablement les populations de poissons anadromes.

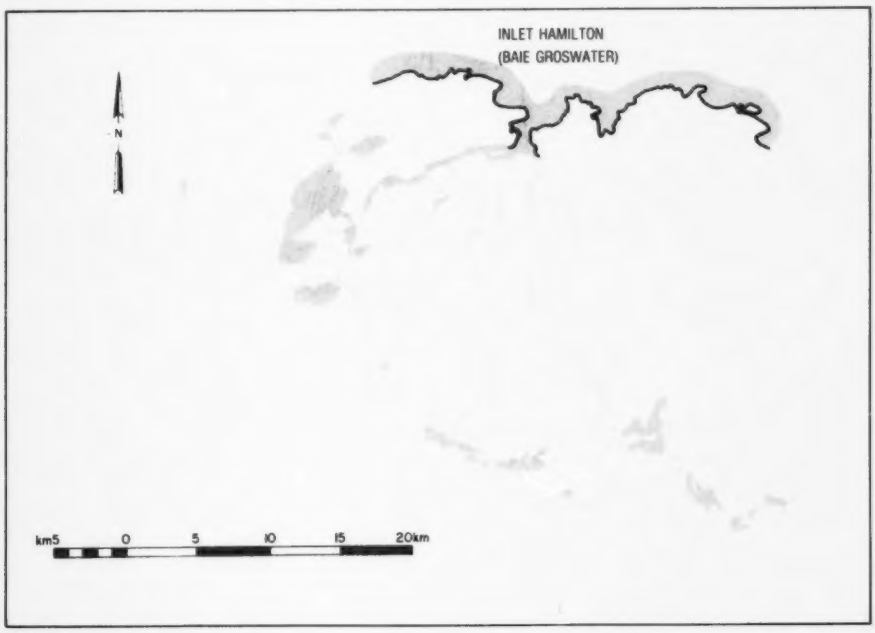

FIG. 47. Carte du ruisseau Flatwater montrant les aires d'élevage accessibles au tacon du saumon de l'Atlantique.

TABLEAU 197. Caractéristiques physiques du ruisseau Flatwater.

Référence cartographique:	Baie Groswater 13I 1:250 000	Élévation maximale du bassin versant:	183 m
Latitude de l'embouchure:	54°10′N	Longueur réelle de l'axe principal (en suivant les méandres):	12 km
Longitude de l'embouchure:	57°37′W	Longueur totale, y compris des tributaires:	166 km
Direction générale de l'écoulement:	Nord	Nombre de tributaires:	9
Superficie du bassin versant:	299 km²	Formation géologique:	Paragneiss
Largeur moyenne	12 km		
Longueur de l'axe	58 km		
Périmètre du bassin versant	130 km		

TABLEAU 198. Longueur à la fourche, poids et sexe des poissons pêchés au filet, ruisseau Flatwater, août 1967 (Peet 1971).

Espèce	Longueur à la fourche (cm)	Poids (g)	Sexe
Saumon de l'Atlantique	54,3	1928	M
Omble arctique	55,5	2495	M
Omble arctique	50,5	1701	M
Omble arctique	43,4	1075	M
Omble de fontaine	48,6	1588	M

Rivière English *N° 35, fig. 46*

La rivière English coule vers le nord-ouest à partir de la limite nord-est des monts Mealy et se jette dans le lac Melville (fig. 48). Les cours inférieurs du bassin versant traversent une plaine côtière composée de marécages et d'arbrisseaux alternant avec des bouquets de conifères. La partie supérieure du bassin est dénudée et très abrupte étant donné qu'elle descend des monts Mealy. Sur toute la superficie du bassin versant (640 km^2) (tableau 199), Murphy et Porter (1974a) ont observé un seul obstacle à la migration des poissons, soit des chutes de 6,1 m de haut situées au kilomètre 1,6 sur l'axe principal (tableau 200). Ces chutes empêchent les poissons anadromes de poursuivre leur remontée et d'atteindre les 12 286 aires d'élevage (tableau 201). La production de saumons de cette zone inaccessible a été estimée à 3 686 poissons adultes, et celle de la zone accessible à 199. Un échantillon d'eau a été prélevé dans le secteur de la rivière en 1973; les résultats des analyses sont donnés dans le tableau 202 (Jamieson 1979).

Cette rivière a été explorée par les membres de l'expédition du *Blue Dolphin* en 1951 (Backus 1957) qui ont recueilli des spécimens de saumon de l'Atlantique, d'omble de fontaine, de meunier rouge et de ménomini rond. Les dates de capture, les méthodes d'échantillonnage et les prises sont indiquées dans le tableau 203. Selon Sollows *et al.* (1953), la rivière English serait l'une des meilleures rivières pour la pêche sportive dans la région. À l'heure actuelle, la pêche à la ligne est surtout pratiquée dans le cours inférieur de la rivière où des ombles de fontaine sont capturés (T. Curran, comm. pers.).

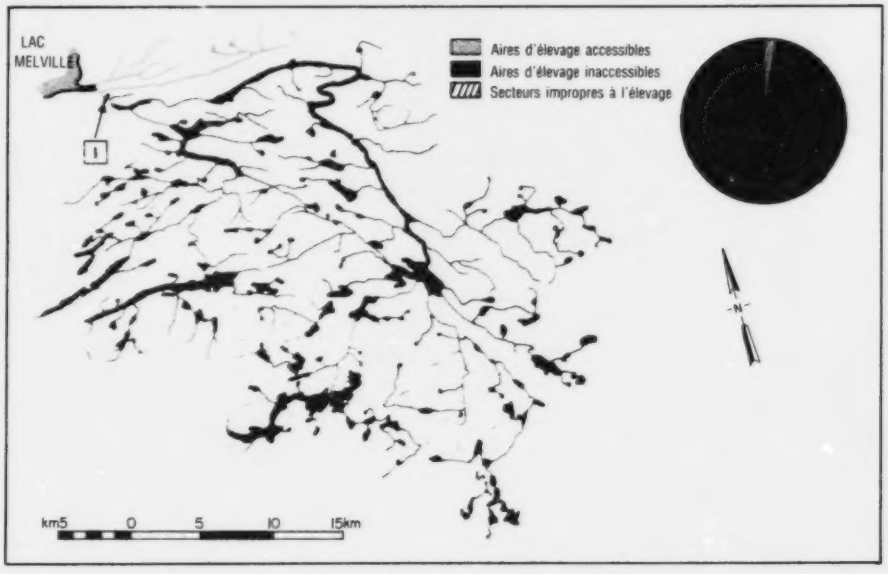

FIG. 48. Carte de la rivière English montrant les aires d'élevage accessibles et inaccessibles au tacon du saumon de l'Atlantique.

TABLEAU 199. Caractéristiques physiques de la rivière English.

Référence cartographique:	Lac Melville 13G 1:250 000	Élévation du bassin versant:	1037 m
Latitude de l'embouchure:	53°54′N	Longueur réelle de l'axe principal (en suivant les méandres):	48 km
Longitude de l'embouchure:	58°52′W	Longueur totale, y compris des tributaires:	417 km
Direction générale de l'écoulement:	Nord-ouest	Nombre de tributaires:	29
Superficie du bassin versant:	640 km²	Formation géologique:	Gneiss granitique
Largeur moyenne	23 km		
Longueur de l'axe	44 km		
Périmètre du bassin versant	161 km		

TABLEAU 200. Obstacles de la rivière English (Murphy et Porter 1974a)

Renvoi à la figure 48	Emplacement	Distance de l'embouchure (km)	Type	Description			Obstacle au passage du poisson
				Hauteur (m)	Largeur (m)	Pente (°)	
1	Axe principal	1,6	Chutes	6,1	12,2	90	Infranchissable

TABLEAU 201. Résumé des données sur les unités d'élevage et de frai et la production annuelle potentielle estimative de smolts et de saumons de l'Atlantique adultes de la rivière English (Murphy et Porter 1974a)

Emplacement	Secteurs accessibles		Secteurs inaccessibles	
	Unités de frai	Unités d'élevage	Unités de frai	Unités d'élevage
Axe principal	0	662	0	12 286
Total	0	662	0	12 286
Production estimative				
Smolts		1324		24 572
Adultes		199		3 686

TABLEAU 202. Résultats des analyses d'un échantillon d'eau prélevé dans la rivière English, 1973 (Jamieson 1979).

Année	pH	Dureté totale (ppm)	Conductivité spécifique ($\mu S \cdot cm^{-1}$ à 25°C)	Turbidité (UTJ)	Alcalinité totale (ppm)	Calcium (ppm)	Chlorure (ppm)	Bicarbonate (ppm)
1973	6,5	6,0	14,0	5,7	4,0	2,0	0,8	4,9

TABLEAU 203. Résumé des données sur les spécimens de poissons recueillis pendant l'expédition du *Blue Dolphin* dans la rivière English, 1951 (Backus 1957).

Date	Espèce	Méthode de capture	Nombre d'échantillons	Longueur (mm)
25 juillet	Saumon de l'Atlantique	Filet maillant	1	156
31 août	Omble de fontaine	Senne de 18,6 m, canne et moulinet	8	38–176
25 juillet	Meunier rouge	Filet maillant	1	197
13 août	Ménomini rond	Senne de 18,6 m	4	46–57

Rivière Kenemich *N° 36, fig. 46*

La rivière Kenemich s'écoule vers l'ouest le long de la limite sud des monts Mealy, tourne brusquement de 90° vers le nord, traverse une vaste plaine et se jette dans le lac Melville à la hauteur du bassin Carter (fig. 49). Le cours inférieur a été exploré en 1928 par Scott qui a observé que la rivière serpentait sans but et que les rives étaient vaseuses. Plus vers l'intérieur des terres, les rives sont couvertes d'une forêt d'épinettes noires et deviennent très abruptes dans le bassin supérieur. À l'embouchure de la rivière, Wallace (1905, 1907) a visité un camp de bûcherons, abandonné depuis lors. Blair (1943) et Murphy (1972a) ont tous deux signalé que le bassin versant supérieur était relié au réseau hydrographique de la rivière Eagle et qu'un saumon de l'Atlantique adulte pouvait pénétrer dans un réseau et quitter l'autre à l'état de charognard. Le bassin versant draine une superficie de 699 km^2 et compte 58 tributaires (tableau 204); bien que Low (1896) ait soutenu que la rivière s'écoulait sur les flancs abrupts des collines en une succession de grandes chutes d'eau magnifiques, Murphy (1972a) ne signale aucun obstacle à la migration des poissons. D'après Sollows *et al.* (1953), l'eau est très foncée, fortement limoneuse et trouble.

Des saumons de l'Atlantique, des ombles de fontaine dulçaquicoles et anadromes et des vairons non identifiés (Cyprinidés) ont été observés dans la rivière Kenemich. Aucune prise à la ligne n'a été effectuée, et la pêche sportive serait très limitée. Sollows *et al.* (1953) et Murphy (1972a) mentionnent que les Indiens locaux tendaient leurs filets dans la partie inférieure de la rivière pour capturer des ombles de fontaine. Dans son étude faite en 1971, Murphy (1972a) estime la production annuelle de la rivière Kenemich à 3 471 saumons adultes (tableau 205). L'effet de la turbidité et de l'envasement sur la reproduction pourrait réduire notablement cette estimation.

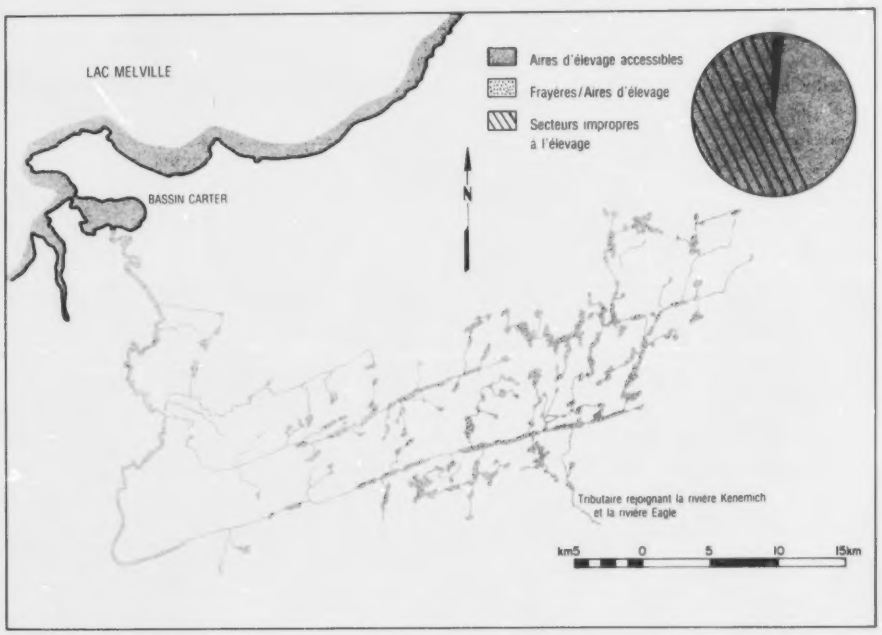

FIG. 49. Carte de la rivière Kenemich montrant les aires d'élevage accessibles au tacon du saumon de l'Atlantique.

TABLEAU 204. Caractéristiques physiques de la rivière Kenemich.

Référence cartographique:	Lac Melville 13G 1:250 000	Élévation du bassin versant:	732 m
Latitude de l'embouchure:	53°29′N	Longueur réelle de l'axe principal (en suivant les méandres):	101 km
Longitude de l'embouchure:	59°50′W	Longueur totale, y compris des tributaires:	517 km
Direction générale de l'écoulement:	Nord-ouest	Nombre de tributaires:	58
Superficie du bassin versant:	699 km^2		
Largeur moyenne	47 km	Formation géologique:	Anorthosite et petites zones de paragneiss
Longueur de l'axe	48 km		
Périmètre du bassin versant	172 km		

TABLEAU 205. Résumé des données sur les unités d'élevage et de frai et la production annuelle potentielle estimative de smolts et de saumons de l'Atlantique adultes de la rivière Kenemich (Murphy et Porter 1974a). Aucun secteur inaccessible n'y a été repéré.

	Secteurs accessibles	
Emplacement	Unités de frai	Unités d'élevage
Axe principal	450	11 570
Total	450	11 570
Production estimative		
Smolts	23 140	
Adultes	3 471	

Rivière Kenamu *N° 37, fig. 46*

La rivière Kenamu, la troisième rivière en importance qui se jette dans le lac Melville, prend sa source dans les terres intérieures du Labrador méridional, près du cours supérieur de la rivière Minipi (fig. 50). Orientée vers le nord, elle traverse une vallée à l'extrémité sud-ouest des monts Mealy jusqu'à son embouchure dans le lac Melville. Holmes (1888) et Low (1896) ont tous deux noté qu'en raison de l'absence de rapides et de chutes majeurs, la rivière constituait une voie d'accès importante aux terres intérieures du Labrador méridional. La grande superficie du bassin versant (4 403 km^2) offre un énorme potentiel hydro-électrique estimé à 313 MW, ce qui représente le cinquième site en importance au Labrador. Le tracé prévu d'une ligne de transmission à partir du complexe hydro-électrique du bas Churchill traverse plusieurs tronçons de la rivière Kenamu dans la partie supérieure du bassin versant. Les cours inférieur et intermédiaire de la rivière traversent une forêt dense composée à 71 % d'épinettes noires, à 21 % de bouleaux, à 5 % d'épinettes blanches et à 3 % d'autres feuillus. Le rendement total approximatif de la forêt se chiffre à 13 millions de cordes de bois (Riche 1965). Dans la partie supérieure du bassin versant, la forêt fait place à un dense tapis de lichens et à des épinettes rabougries.

La rivière Kenamu, y compris ses tributaires, messure 613 km de long (tableau 206). Scott (1933) a exploré l'axe principal sur toute sa longueur (150 km) à bord d'un canot en 1928 dans le cadre d'une étude des cours d'eau du Labrador. Le cours supérieur de la rivière est constitué d'un vaste réseau de lacs et d'étangs orientés vers l'est. La rivière Little Drunken (T56) se jette dans la rivière Kenamu à 100 km de son embouchure. Ce long tributaire comporte des chutes de 4,6 m de haut situées à 8,1 km de son embouchure (tableau 207) et qui retardent la migration des poissons. Au confluent des deux cours d'eau, la rivière Kenamu vire au nord et traverse les monts Mealy. Chose surprenante, elle est obstruée à un seul endroit, soit à 48,3 km de l'embouchure, par des rapides qui retardent probablement un peu la montaison du saumon. Exception faite de ces rapides, la rivière mesure généralement de 50 à 75 m de large, et le lit, dont la composition varie du gravier au gros bloc, est propice au développement des tacons et au frai des saumons adultes. Près de l'embouchure, où la rivière mesure 450 m de large, la baisse du débit entraîne le dépôt de sable et d'autres matières en suspension recueillies plus en amont. Outre la rivière Little Drunken, deux autres gros tributaires, le tributaire 31 (T31) et la rivière Salmon (T40), ont été explorés par Riche (1965). Les deux cours d'eau, accessibles aux poissons en migration, comptent d'excellentes aires de frai.

Les dix expèces de poisson présentes dans la rivière Kenamu sont énumérées au tableau 208. Riche (1965) signale également la présence de suceurs rouges (*Moxostoma aureolum*); toutefois, Scott et Crossman (1974) ont établi la limite orientale de cette espèce dans l'ouest du Québec, et sa présence au Labrador n'a pas encore été confirmée. Le 25 août 1951, les membres de l'expédition du *Blue Dolphin* ont exploré l'embouchure de la rivière Kenamu; à l'aide d'une seine de 18,6 m, ils ont capturé trois meuniers rouges de 27 à 147 mm de long et trois ménominis ronds de 119 à 144 mm de long (Backus 1957). Un esturgeon noir de 2,7 kg a été pris à l'embouchure de la rivière (Riche 1965) et, bien qu'il s'agisse de la première capture enregistrée dans le lac Melville, Backus (1957) signale la présence d'un spécimen dans les eaux extérieures de l'inlet Hamilton. Les prises aux filets maillants effectuées au cours d'une étude faite par Riche (1965) en juillet et août 1964 sont résumées au tableau 209.

Selon Blair (1943), le saumon commence sa migration dans la rivière Kenamu aux environs du 25 juin et la termine à la fin de juillet. La pêche sportive est presque inexistante dans le cours inférieur en raison du faible courant qui crée des conditions peu propices à ce type d'activité. Ainsi, trois membres de l'expédition commandée par Sollows en 1953 ont pêché pendant une heure dans ce secteur et n'ont pris que deux petites truites et un saumon à l'état de tacon. D'après Sollows *et al.* (1953), la rivière est propice à la pêche sportive au-delà des seize premiers kilomètres. Riche (1965) estime la production de saumons de la rivière Kenamu d'après les prises effectuées par les pêcheurs commerciaux près de son embouchure. Son estimation de 15 000 à 18 000 saumons est certainement raisonnable compte tenu des dimensions de la rivière, de son accessibilité et de la présence d'aires d'élevage et de frai. En supposant un taux d'exploitation de 50 %, il estime à près de 9 000 le nombre de saumons de l'Atlantique pénétrant dans la rivière Kenamu.

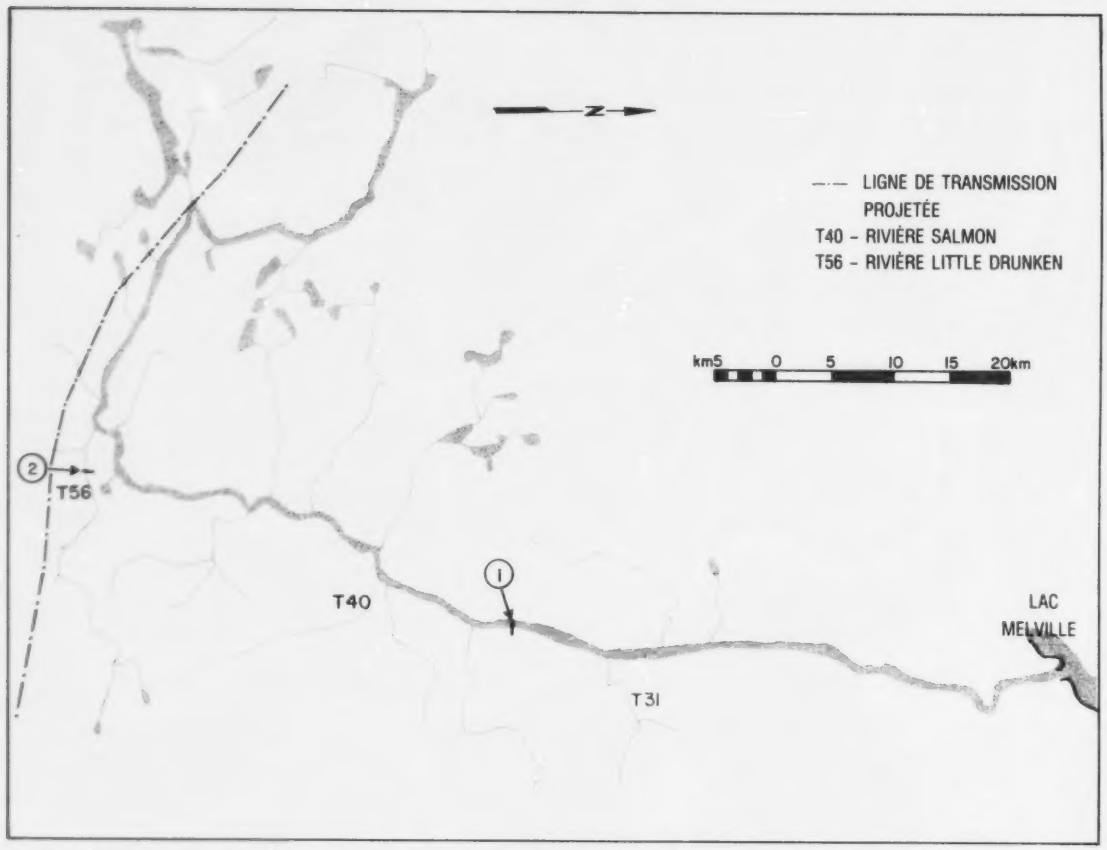

FIG. 50. Carte de la rivière Kenamu montrant les aires d'élevage accessibles au tacon du saumon de l'Atlantique.

TABLEAU 206. Caractéristiques physiques de la rivière Kenamu.

Référence cartographique:	Lac Melville 13G 1:250 000	Élévation du bassin versant:	305 m
Latitude de l'embouchure:	53°28'N	Longueur réelle de l'axe principal (en suivant les méandres):	150 km
Longitude de l'embouchure:	59°54'W	Longueur totale, y compris des tributaires:	613 km
Direction générale de l'écoulement:	Nord	Nombre de tributaires:	77
Superficie du bassin versant:	4403 km^2		
Largeur moyenne	32 km	Formation géologique:	Granite et gneiss granitique
Longueur de l'axe	119 km		
Périmètre du bassin versant	502 km		

TABLEAU 207. Obstacles de la rivière Kenamu (Riche 1965).

Renvoi à la figure 50	Emplacement	Distance de l'embouchure (km)	Type	Description			Obstacle au passage du poisson
				Hauteur (m)	Largeur (m)	Pente (°)	
1	Axe principal	48,3	Rapides	—	—	—	Franchissable
2	T56	8,1	Chutes	4,6	—	—	Franchissable

TABLEAU 208. Liste des espèces de poisson et leur abondance relative dans la rivière Kenamu (A : abondante; C : commune; R : rare) (Riche 1965)

Espèce	Nom commun	Abondance
Salmo salar	Saumon de l'Atlantique	C
Salvelinus fontinalis	Omble de fontaine (anadrome et dulçaquicole)	C
Gasterosteus aculeatus	Épinoche à trois épines	C
Lota lota	Lotte	R
Coregonus clupeaformis	Grand corégone	C
Prosopium cylindraceum	Ménomini rond	C
Catostomus commersoni	Meunier noir	C
Catostomus catostomus	Meunier rouge	C
Osmerus mordax	Éperlan arc-en-ciel	C
Acipenser oxyrhynchus	Esturgeon noir	R

TABLEAU 209. Résumé des données sur les prises au filet maillant dansla rivière Kenamu, juillet-août 1964 (Riche 1965).

Espèces	Prises par gradeur de maille (cm)						Total
	3,8	5,1	7,6	10,2	12,7	16,5	
Omble de fontaine (dulçaquicole)	0	2	2	1	0	0	5
Omble de fontaine (anadrome)	0	1	0	0	0	0	1
Meunier rouge	0	60	16	0	0	0	76
Meunier noir	0	22	35	0	0	0	57
Grand corégone	0	0	1	0	0	0	1
Éperlan arc-en-ciel	0	0	4	0	0	0	4
Saumon de l'Atlantique (adulte)	0	0	0	1	0	0	1
Saumon de l'Atlantique (smolt)	0	2	0	0	0	0	2
Total	0	87	58	2	0	0	147

Rivière Traverspine *N° 38, fig. 46*

La rivière Traverspine se jette dans la partie sud du bas Churchill, à 10 km de son embouchure (fig. 51). La municipalité de Happy Valley-Goose Bay (7 103 habitants) se trouve à 2 km de l'embouchure de la rivière (Statistique Canada 1981). Le cours supérieur de la rivière Traverspine, limité par le cours supérieur de la rivière Kenamu, traverse la partie occidentale des monts Mealy. Après avoir atteint le cours supérieur de la rivière Kenamu, Scott (1933) a descendu la rivière Traverspine en canot, et a éprouvé des difficultés dans le bassin versant supérieur en raison des rapides et des chutes. Durant son voyage d'exploration dans l'intérieur du Labrador, Holmes (1888) a noté que le cours inférieur de la rivière était navigable sur 8 kilomètres; ensuite, celui-ci se rétrécissait et le débit s'accélérait. Le cours inférieur de la rivière traverse des terres boisées et plates.

Le bassin versant de la rivière Traverspine a une superficie de 728 km^2 (tableau 210) et son accessibilité aux poissons anadromes a été étudiée par plusieurs chercheurs. Blair (1943) signale la présence de chutes de 9,1 m de haut à 40 km de l'embouchure. Riche (1965) n'a observé aucune chute à cet endroit, mais a noté une zone de hauts-fonds, caractérisée par un fort débit et une pente très abrupte à 48 km de son embouchure et faisant obstacle à la montaison des poissons. Murphy et Porter (1974a) signalent la présence d'une série de petites chutes allant du kilomètre 51,2 au kilomètre 56,6 qui font partiellement obstacle aux poissons migrateurs, ainsi que des chutes infranchissables de 3,7 m de haut au kilomètre 60,8 (tableau 211).

Le lit de la rivière renferme principalement du sable et de la vase sur les huit premiers kilomètres, et se prête peu au développement des tacons et au frai des saumons adultes. Au-delà, Riche (1965) et Murphy et Porter (1974a) font état de la présence de blocs et de moellons entrecoupés de plaques de gravier. D'après le nombre d'aires d'élevage accessibles, Murphy et Porter estiment à 5 925 poissons la production de saumons adultes de la rivière Traverspine (tableau 212). En dépit du fait que les coûts d'accessibilité à la région située en amont des chutes du kilomètre 60,8 seraient probablement prohibitifs en raison de l'éloignement de l'obstacle, cette région inaccessible pourrait produire 1 114 saumons adultes par année.

Les espèces de poisson observées par Riche (1965) dans la rivière Traverspine sont le saumon de l'Atlantique, l'omble de fontaine dulçaquicole et anadrome, l'éperlan arc-en-ciel et la lotte. Un habitant de l'endroit aurait pêché un méné de lac, mais cela n'a pas été confirmé. Il n'existe aucun relevé de prises sportives dans la rivière Traverspine, et Sollows *et al.* (1953) indiquent que la rivière n'offre aucun potentiel pour ce type d'activité. Dans le passé, des filets ont été tendus dans la rivière et auraient provoqué, selon Riche (1965), une baisse de la production de saumons.

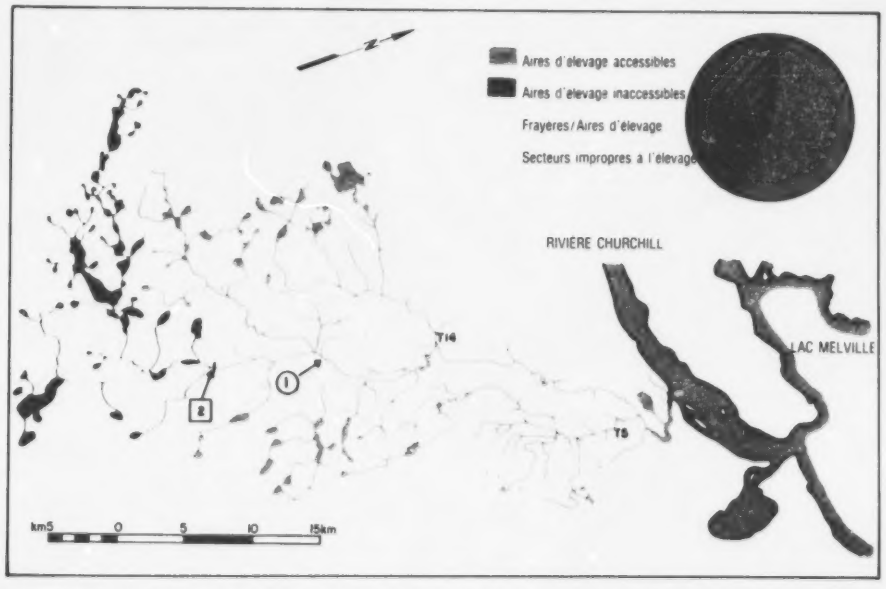

FIG. 51. Carte de la rivière Traverspine montrant les aires d'élevage accessibles et inaccessibles au tacon du saumon de l'Atlantique.

TABLEAU 210. Caractéristiques physiques de la rivière Traverspine.

Référence cartographique:	Minipi 13C Goose Bay 13F 1:250 000	Élévation du bassin versant:	518 m
Latitude de l'embouchure:	53°17′N	Longueur réelle de l'axe principal (en suivant les méandres):	95 km
Longitude de l'embouchure:	60°17′W	Longueur totale, y compris des tributaires:	464 km
Direction générale de l'écoulement:	Nord	Nombre de tributaires:	26
Superficie du bassin versant:	728 km²	Formation géologique:	Gneiss, anorthosite et roches associées
Largeur moyenne	18 km		
Longueur de l'axe	48 km		
Périmètre du bassin versant	148 km		

TABLEAU 211. Obstacles de la rivière Traverspine (Murphy et Porter 1974a)

Renvoi à la figure 51	Emplacement	Distance de l'embouchure (km)	Type	Description			Obstacle au passage du poisson
				Hauteur (m)	Largeur (m)	Pente (°)	
1	Axe principal	51.2-56.6	Chutes	—	—	—	Franchissable
2	Axe principal	60.8	Chutes	3.7	6.1	—	Infranchissable

TABLEAU 212. Résumé des données sur les unités d'élevage et de frai et la production annuelle potentielle estimative de smolts et de saumons de l'Atlantique adultes de la rivière Traverspine (Murphy et Porter 1974a)

Emplacement	Secteurs accessibles		Secteurs inaccessibles	
	Unités de frai	Unités d'élevage	Unités de frai	Unités d'élevage
Axe principal	618	19 749	0	3 714
Total	618	19 749	0	3 714
Production estimative				
Smolts	39 498		7 428	
Adultes	5 925		1 114	

Rivière Churchill

N° 39, fig. 46

La rivière Churchill, autrefois la rivière Hamilton, est le plus grand cours d'eau du Labrador (fig. 52). Son bassin versant délimite pour une large part la frontière entre le Québec et le Labrador. Le bassin hydrographique de la rivière Churchill a une superficie de 93 415 km^2 (tableau 213), dont 12 000 km^2 environ ont été déviés du cours supérieur des rivières Naskaupi et Kanairiktok dans le cadre des travaux d'aménagement hydro-électrique des chutes Churchill. Ces travaux, qui ont pris fin en 1971, permettent de produire 5 225 MW. D'autres travaux d'aménagement hydro-électrique sont prévus dans l'île Gull et aux chutes Muskrat. Selon des estimations, ces sites ont une capacité respective de 1 700 et 600 MW.

Le bassin versant du cours supérieur de la rivière Churchill (en amont des chutes Churchill) a une superficie de 69 266 km^2, ce qui représente 24 % des terres du Labrador. Situé sur un immense plateau, il comprend le réservoir Smallwood (autrefois le lac Michikamau et le cours supérieur des rivières Naskaupi et Kanairiktok), Forebay ouest et Forebay est. L'eau autrefois déviée des chutes Churchill (76 m) jusqu'à la centrale électrique pénètre maintenant dans le chenal original, 30 km en aval des chutes. À partir de là, le cours inférieur de la rivière Churchill (en aval des chutes Churchill) s'écoule vers l'est en direction de l'Atlantique. Elle traverse une vallée fluviale bien définie et, malgré quelques rapides, des petits bateaux ou canots peuvent y naviguer. Le lac Winokapau, dans la partie centrale du bassin, s'étire sur près de 50 km. L'île Gull, à 110 km en amont de l'embouchure de la rivière, est le site d'un futur complexe hydro-électrique qui utilisera 75 % de la charge totale estimative de 121 m en aval des chutes Churchill. On projette également d'aménager un complexe hydro-électrique aux chutes Muskrat, à 40 km en amont de l'embouchure. D'une hauteur totale d'environ 8 m, ces chutes ne peuvent être franchies par les poissons migrateurs. En aval, la rivière traverse un delta sableux et plat, et mesure plus d'un kilomètre de largeur à son embouchure. Des échantillons d'eau ont été prélevés à presque tous les quatre kilomètres, de l'embouchure de la rivière jusqu'aux remous des chutes Churchill. Les résultats des analyses sont donnés dans le tableau 214 (Jamieson 1979).

En 1973, le ministère des Pêches et des Océans a mis en œuvre un programme à long terme pour inventorier les ressources halieutiques des lacs naturels et du réservoir Smallwood dans la partie occidentale du Labrador. Les résultats obtenus ont été publiés par les auteurs suivants, pour des régions spécifiques: Bruce (1974), lac Jacopie; Bruce (1975), lacs Lobstick et Sandgirt; Bruce (1979), régulateur du lac Lobstick; Bruce et Parsons (1979), réservoir Ossokmanuan; Bruce et Parsons (1976) et Parsons (1975), lac Ten Mile; et Wheeler (1977), rivière Valley. Dans l'éventualité de la construction d'un complexe hydro-électrique dans l'île Gull ou aux chutes Muskrat, des études ont été faites en 1975 et 1976 pour déterminer l'abondance relative et la biologie des espèces de poisson dans le cours inférieur de la rivière Churchill. Les résultats de ces études ont été publiés par Ryan (1980).

Au total, vingt espèces de poisson ont été répertoriées dans la rivière Churchill (tableau 215), dont dix-neuf ont été observées dans le cours inférieur par Ryan (1980). Scott et Crossman (1974) ont signalé la présence du mulet perlé dans l'ouest du Labrador. Les résultats d'études sur ces espèces sont résumés dans les pages suivantes.

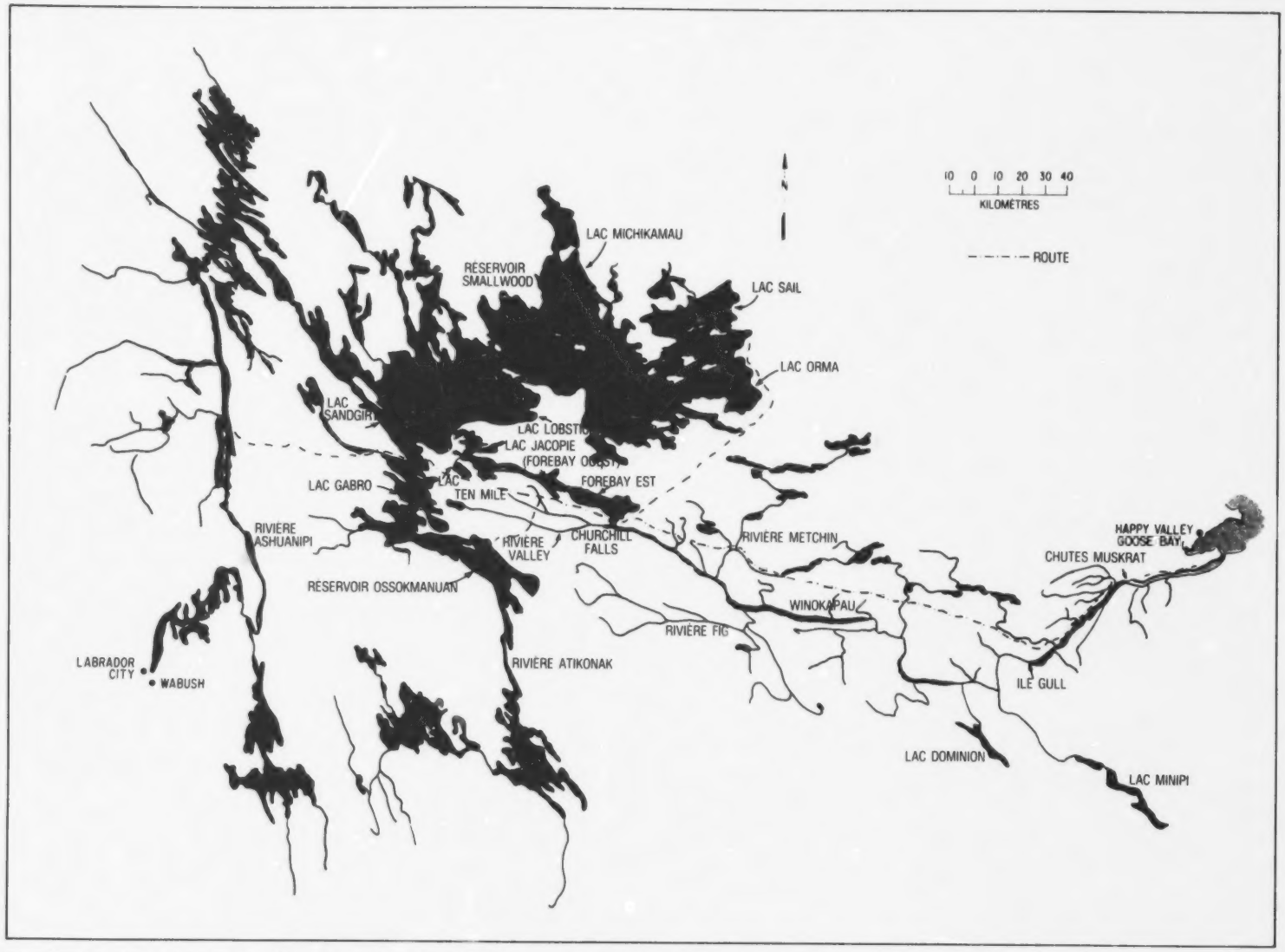

FIG. 52. Carte de la rivière Churchill montrant les aires d'élevage accessibles et inaccessibles au tacon du saumon de l'Atlantique.

Grand brochet (*Esox lucius*)

Le grand brochet a une distribution circumpolaire dans l'hémisphère nord et fréquente habituellement les étangs et les eaux chaudes à courant faible et entourés d'une végétation dense (Scott et Crossman 1974). Dans la rivière Churchill, le rythme de croissance du grand brochet est plus rapide dans le cours inférieur que dans le cours supérieur (fig. 53). Partout dans la rivière, le brochet atteint sa maturité à une longueur moyenne d'environ 40 cm, généralement à l'âge de quatre à cinq ans (Parsons 1975; Ryan 1980).

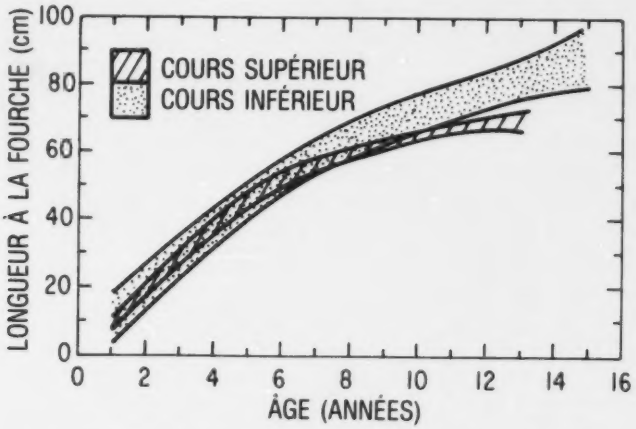

FIG. 53. Variation du rythme de croissance du grand brochet dans le cours supérieur et le cours inférieur de la rivière Churchill. Sources: Bruce (1974), Parsons (1975) et Ryan (1980).

Grand corégone (*Coregonis clupeaformis*)

Le grand corégone préfère les eaux fraîches et profondes (Scott et Crossman 1974) et abonde dans tout le réseau hydrographique de la rivière Churchill. Son rythme de croissance est plus rapide dans le cours supérieur (fig. 54) caractérisé par de vastes étendues d'eau stagnante. Il atteint la maturité à l'âge de trois à neuf ans (Bruce 1974; Ryan 1980).

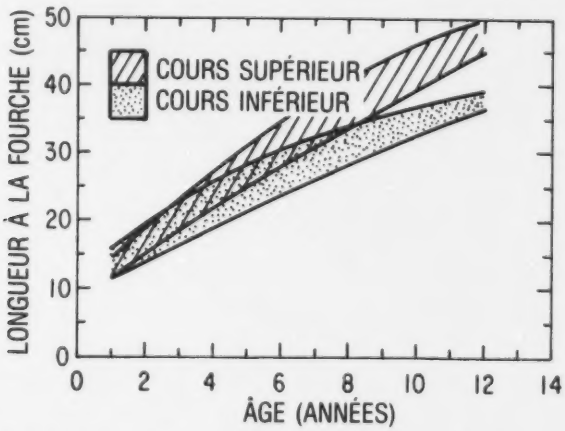

FIG. 54. Variation du rythme de croissance du grand corégone dans le cours supérieur et le cours inférieur de la rivière Churchill. Sources: Bruce (1974, 1975), Parsons (1975) et Ryan (1980).

Meunier rouge (*Catostomus catostomus*)

Le meunier rouge se rencontre dans les lacs d'eau douce et froide et les cours d'eau tributaires (Scott et Crossman 1974) et est assez abondant dans le réseau hydrographique de la rivière Churchill. Les variations du rythme de croissance sont plus grandes dans le cours supérieur (fig. 55) caractérisé par de vastes étendues d'eau stagnante. Ryan (1980) a signalé que le meunier rouge du cours inférieur de la rivière Churchill atteignait la maturité à 20 cm environ en moyenne, dans sa sixième ou septième année.

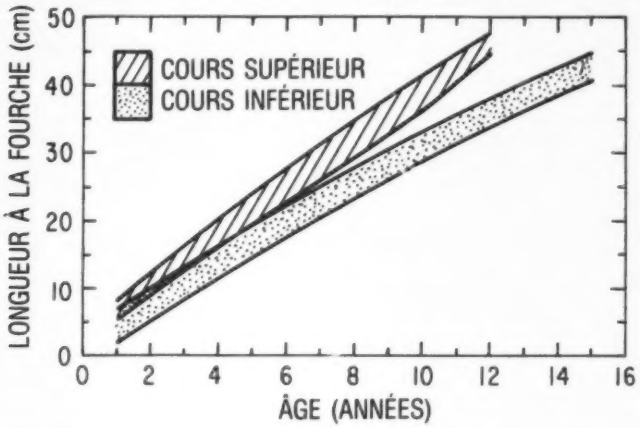

FIG. 55. Variation du rythme de croissance du meunier rouge dans le cours supérieur et le cours inférieur de la rivière Churchill. Sources: Bruce (1974) et Ryan (1980).

Meunier noir (*Catostomus commersoni*)

Le meunier noir fréquente habituellement les lacs chauds peu profonds et les tributaires de grands lacs (Scott et Crossman 1974). Les taux de croissance sont un peu plus élevés dans le cours supérieur de la rivière Churchill (fig. 56). En moyenne, le meunier noir de cours inférieur atteint la maturité à une longueur de 22 cm, dans sa cinquième ou sixième année (Ryan 1980).

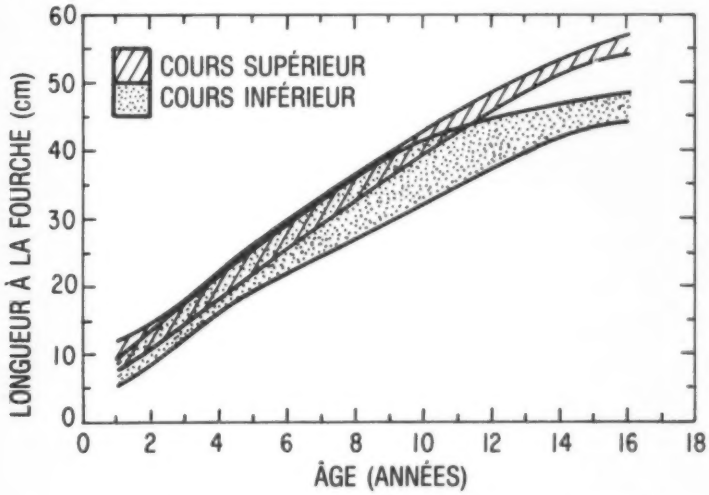

FIG. 56. Variation du rythme de croissance du meunier noir dans le cours supérieur et le cours inférieur de la rivière Churchill. Sources: Parsons (1975) et Ryan (1980).

Omble de fontaine (*Salvelinus fontinalis*)

L'omble de fontaine habite les cours d'eau et les lacs d'eau fraîche, claire et bien oxygénée (Scott et Crossman 1974). L'omble de fontaine anadrome se rencontre dans le cours inférieur de la rivière Churchill jusqu'aux chutes Muskrat tandis que l'omble de fontaine dulçaquicole est répandue dans tout le réseau. Les taux de croissance sont très variables et plus élevés en moyenne dans le cours supérieur (fig. 57). Wheeler (1977) a observé que les mâles et les femelles présents dans la rivière Valley atteignaient généralement la maturité à l'âge de deux ans ou plus ; dans le cours inférieur de la rivière Churchill, l'omble de fontaine atteint la maturité à trois ou quatre ans (Ryan 1980).

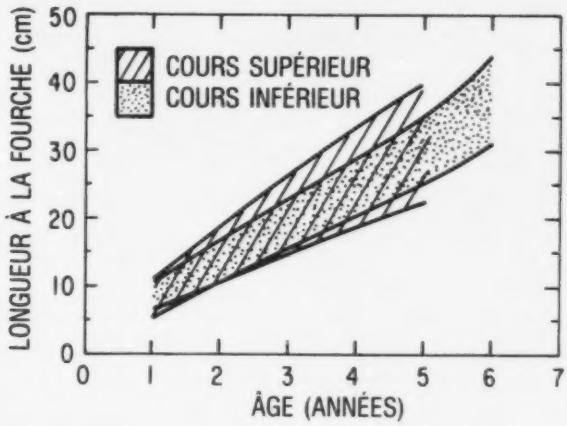

FIG. 57. Variation du rythme de croissance de l'omble de fontaine dans le cours supérieur et le cours inférieur de la rivière Churchill. Sources : Bruce (1974), Parsons (1975), Ryan (1980) et Wheeler (1977).

Lotte (*Lota lota*)

La lotte fréquente ordinairement les lacs et les grandes rivières profonds (Scott et Crossman 1974). Dans le réseau hydrographique de la rivière Churchill, la lotte semble assez rare ; au total, 39 captures ont été signalées par Bruce (1974, 1975), Bruce et Parsons (1976) et Parsons (1975). Ryan (1980) a signalé 85 captures au total dans le cours inférieur. Les rythmes de croissance de ce poisson sont indiqués à la figure 58. Selon Ryan, la lotte atteint la maturité à une longueur moyenne d'environ 33 cm, à l'âge de 5 ans.

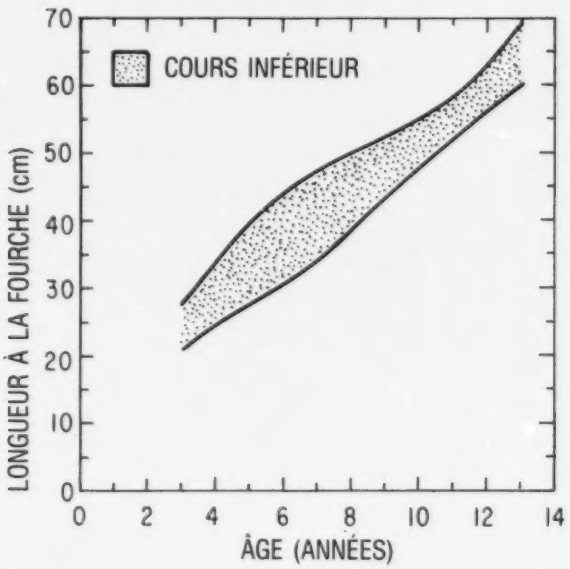

FIG. 58. Variation du rythme de croissance de la lotte dans le cours inférieur de la rivière Churchill. Sources : Ryan (1980).

Touladi (*Salvelinus namaycush*)

Le touladi se rencontre dans les lacs peu profonds et les rivières, mais préfère les lacs profonds (Scott et Crossman 1974). Il est présent dans tout le réseau hydrographique de la rivière Churchill et il abonde notamment dans le cours supérieur de la rivière. La figure 59 indique que le taux de croissance du touladi est plus élevé dans le cours inférieur, mais cela est peut-être dû au petit nombre d'échantillons (15) prélevés dans le cours inférieur. L'âge des spécimens capturés par Ryan (1980) variait de 6 à 15 ans; Bruce et Parsons (1979) ont pêché des touladis dont l'âge s'échelonnait entre 3 et 37 ans dans le réservoir Ossokmanuan.

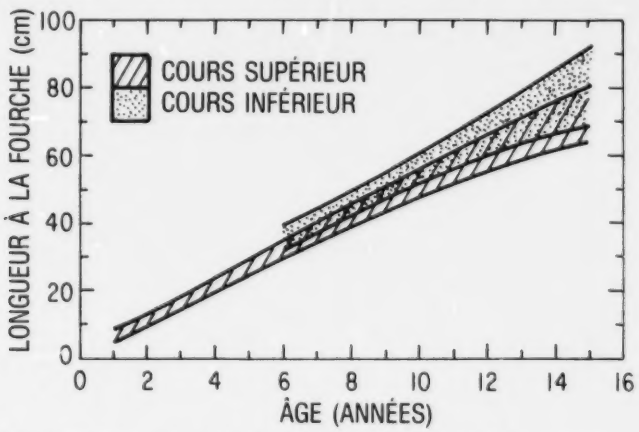

FIG. 59. Variation du rythme de croissance du touladi dans le cours supérieur et le cours inférieur de la rivière Churchill. Sources: Bruce (1974, 1975), Parsons (1975) et Ryan (1980).

Saumon de l'Atlantique (*Salmo salar*)

Le saumon de l'Atlantique se rencontre dans la rivière Churchill, tant sous sa forme anadrome que sous sa forme landlockée (ouananiche). Le saumon anadrome fréquente exclusivement les eaux en aval des chutes Muskrat. D'après les captures effectuées lors d'études antérieures, il semble que la ouananiche soit assez rare, onze spécimens seulement ayant été capturés par Bruce (1974, 1975), Bruce et Parsons (1976) et Parsons (1975) dans le cours supérieur et 30 seulement par Ryan (1980) dans le cours inférieur de la rivière. Les taux de croissance de la ouananiche dans les cours supérieur et inférieur de la rivière, estimés d'après le petit nombre d'échantillons prélevés, sont indiqués à la figure 60. Les ouananiches capturées dans le cours inférieur étaient âgées de 3 à 9 ans; celles pêchées dans le cours supérieur étaient âgées de 4 à 9 ans.

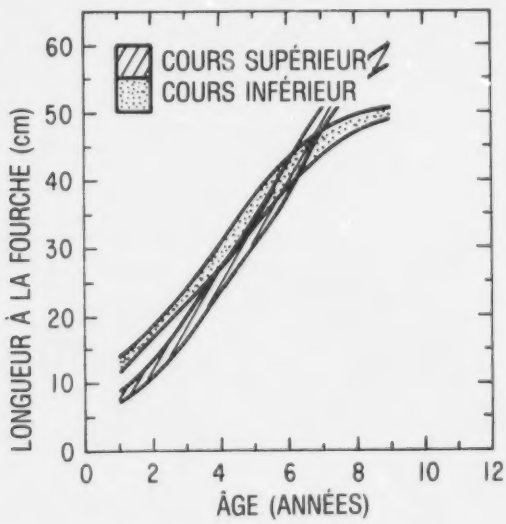

FIG. 60. Variation du rythme de croissance du saumon de l'Atlantique landlocké dans le cours supérieur et le cours inférieur de la rivière Churchill. Sources: Bruce (1974, 1975), Bruce et Parsons (1976), Parsons (1975) et Ryan (1980).

Ménomini rond (*Prospium cylindraceum*)

Le ménomini rond est une espèce d'eau froide qui se rencontre dans les étangs, les rivières et les cours d'eau du Labrador occidental (Scott et Crossman 1974). Des études faites sur le réseau hydrographique de la rivière Churchill révèlent que l'espèce est assez rare et vient au sixième rang dans le cours inférieur de la rivière en termes d'abondance (Ryan 1980) et au quatrième rang dans le cours supérieur (Bruce 1975). Les taux de croissance semblent légèrement plus élevés dans le cours supérieur (fig. 61).

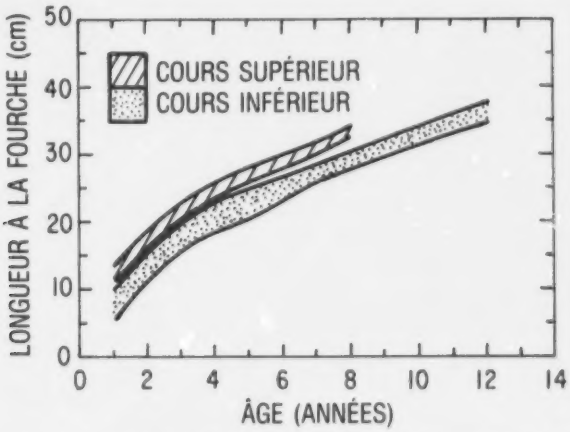

FIG. 61. Variation du rythme de croissance du ménomini rond dans le cours supérieur et le cours inférieur de la rivière Churchill. Sources: Bruce (1975), Parsons (1975) et Ryan (1980).

Éperlan arc-en-ciel (*Osmerus mordax*)

L'éperlan arc-en-ciel est rare dans le réseau hydrographique de la rivière Churchill; les relevés font état de deux captures dans le cours inférieur et d'aucune capture dans le cour supérieur (Ryan 1980). Les deux éperlans capturés dans le cours inférieur mesuraient respectivement 17,8 et 19,4 cm (longueur à la fourche) et pesaient 53 et 61 g. Dans les deux cas, il s'agissait de femelles de trois ans ayant atteint la maturité.

Omble arctique (*Salvelinus alpinus*)

Aucun omble arctique n'a été capturé durant les études du ministère des Pêches et des Océans sur les populations de poissons de la rivière Churchill, bien que Scott et Crossman (1974) incluent le cours inférieur de la rivière dans l'aire de distribution de l'omble arctique. L'omble anadrome, s'il y en a, se retrouverait en aval des chutes Muskrat.

Anguille d'Amérique (*Anguilla rostrata*)

Aucune anguille d'Amérique n'a été capturée au cours des relevés du ministère des Pêches et des Océans sur les populations de poissons de la rivière Churchill. Scott et Crossman (1974) incluent le cours inférieur de la rivière dans l'aire de distribution de l'espèce.

Méné de lac (*Couesius plumbeus*)

Le méné de lac fréquente les lacs froids et clairs, les étangs et les cours d'eau et remonte les tributaires au moment du frai, au printemps (Scott et Crossman 1974). Ryan (1980) a signalé trois captures dans le cours inférieur de la rivière Churchill. Ces poissons dont l'âge variait de 5 à 8 ans étaient des femelles rendues à maturité. Dans le cours supérieur de la rivière, plus précisément dans le lac Ten Mile, Bruce et Parsons (1976) ont capturé 150 spécimens les 10 et 11 juin 1975. Ces poissons âgés de 2 à 4 ans comptaient 37,3 % de femelles.

Épinoche à trois épines (*Gasterosteus aculeatus*)
Épinoche à neuf épines (*Pungitius pungitius*)

L'épinoche à trois épines et l'épinoche à neuf épines sont des poissons fourrage qui se rencontrent partout dans le réseau hydrographique de la rivière Churchill (Scott et Crossman 1974). Les relevés effectués par le MPO sur les populations de poissons du cours inférieur de la rivière Churchill ont permis d'identifier des restes d'épinoches à trois épines dans les estomacs du grand brochet, du grand corégone, de l'omble de fontaine, de la lotte, du touladi et de la ouananiche (Ryan 1980). Des restes identifiés comme *Gasterosteus* sp. ont été trouvés dans l'estomac d'une ouananiche capturée dans le réservoir Smallwood en 1974 (Bruce 1975).

Chabot tacheté (*Cottus bairdi*)
Chabot visqueux (*Cottus cognatus*)

Le chabot tacheté et le chabot visqueux sont d'importants poissons fourrage qui se rencontrent dans tout le réseau hydrographique de la rivière Churchill (Scott et Crossman 1974). Dans le cours inférieur de la rivière, des restes de *Cottus* sp. ont été identifiés dans l'estomac d'une lotte, d'un omble de fontaine, d'un grand corégone et d'un grand brochet (Ryan 1980). Dans le cours supérieur de la rivière, des restes de *Cottus* sp. ont été identifiés dans l'estomac d'un grand brochet et d'un touladi (Bruce 1974; Bruce et Parsons 1979).

Naseux des rapides (*Rhinichthys cataractae*)

Le naseux des rapides habite généralement des cours d'eau propres à courant rapide. Scott et Crossman (1974) incluent le réseau hydrographique de la rivière Churchill dans l'aire de distribution du naseux des rapides. Aucun spécimen n'a été capturé au cours des relevés du MPO sur les populations de poissons.

Mulet perlé (*Semotilus margarita*)

Le mulet perlé se rencontre habituellement dans les cours d'eau d'amont frais et clairs et les étangs. Scott et Crossman (1974) ont signalé la présence du mulet perlé au Labrador. Aucun spécimen n'a été capturé au cours des relevés du MPO.

Esturgeon noir (*Acipenser oxyrhynchus*)

Ce poisson anadrome qui se nourrit sur le fond est restreint à la côte atlantique de l'Amérique du Nord (Scott et Crossman 1974). Bien que Ryan (1980) ait inclu ce poisson dans la liste des espèces présentes dans la rivière Churchill, aucune capture n'a été enregistrée. Backus (1975) a signalé la capture d'un spécimen dans l'inlet Hamilton.

Renseignements supplémentaires

Comme il a déjà été mentionné, la rivière Churchill, le plus grand cours d'eau du Labrador, a été aménagée en vue de produire de l'hydro-électricité, et d'autres aménagements sont prévus. En plus du MPO, plusieurs organismes ont fait des recherches sur les populations de poissons et d'autres aspects du bassin versant. En raison de la très grande abondance de renseignements disponibles, il a été impossible de faire un résumé détaillé de chaque étude. Voici une liste des principales références, selon les domaines d'étude.

Prospection
Grenfell (1909); Hubbard (1908); Low (1896); Wallace (1905).

Propriétés biophysiques du bassin versant
Blair (1943); Jamieson (1979); Lopoukhine *et al.* (1978); Riche (1965); Sollows *et al.* (1953); Sutton (1972); Wilton (1965).

Limnologie/planctonologie
Duthie et Ostrofsky (1974, 1985); Ostrofsky (1978); Ostrofsky et Duthie (1975).

Aménagement hydro-électrique
Smith (1975)

Populations de poissons

Backus (1957); Bruce (1974, 1975 et 1979); Bruce et Parsons (1976, 1979); Bruce et Spencer (1979); Bruce *et al.* (1975, 1979); Flick (1977); Kendall (1909, 1910); Munroe (1949); Parsons (1975); Ryan (1980); Scott et Crossman (1974); Sollows *et al.* (1953); Wheeler (1977, 1980).

De plus, de nombreux rapports et mémoires sur les populations de poissons et les incidences écologiques de l'aménagement sur le bassin versant ont été publiés par les sociétés suivantes:

Beak Consultants Ltd.
6870 Goreway Drive
Mississauga (Ontario)
L4V 1L9

Sheppard T. Powell Associated (Canada) Ltd.
1245 Martingrove Road
Toronto 603 (Ontario)

Newfoundland and Labrador Hydro
Lower Churchill Development Corporation Ltd.
C.P. 9800
St. John's (Terre-Neuve)
A1A 3W3

Thurlow and Associates
Environmental Control Consultants Ltd.
C.P. 2728, Station D
Ottawa (Ontario)

TABLEAU 213. Caractéristiques physiques de la rivière Churchill.

Référence cartographique:	Lac Minipi 13C	La Brûle 13D
	Lac Winokapau 13E	Goose Bay 13F
	Lac Kasheshibaw 13L	Lac Joseph 23A
	Lac Opocopa 23B	Lac Shabogamo 23G
	Lac Ossokmanuan 23H	Lac Michikamau 23-I
	Shefferville 23J	
	1:250 000	
Latitude de l'embouchure:	53°19'N	
Longitude de l'embouchure:	60°10'W	
Superficie du bassin versant:	En aval des chutes Muskrat	1 062 km^2
	En aval de l'île Gull	4 318 km^2
	En aval des chutes Churchill	24 149 km^2
	En amont des chutes Churchill	69 266 km^2
	Réseau entier	93 415 km^2
Longueur de l'axe principal en aval des chutes Churchill (en suivant les méandres):		
Nombre de tributaires (en aval des chutes Churchill): 241		
Formation géologique: Gneiss précambrien et affleurements de grès et de schiste argileux		

TABLEAU 214. Mesures de la qualité de l'eau dans le cours inférieur de la rivière Churchill. Les sites d'échantillonnage sont distancés de 4 km à partir de l'embouchure vers l'amont (Jamieson 1979).

Date d'échantillonage	Site d'échantillonage	pH	Dureté totale (ppm)	Conductivité spécifique ($\mu S \cdot cm^{-1}$ à 25°C)	Turbidité (UTJ)	Alcalinité totale (ppm)	Calcium (ppm)	Chlorure (ppm)
28-6-75	W 1	6.6	5	14.3	3.5	4	0.8	1.0
30-6-75	W 2	6.8	5	15.4	4.0	5	0.9	1.0
3-6-75	W 3	6.4	8	15.4	4.0	4	0.9	1.0
5-6-75	W 4	6.3	6	16.5	5.0	5	1.0	1.0
7-6-75	W 6	6.6	7	17.4	20.0	5	1.0	1.0
10-6-75	W 7	6.1	6	18.0	11.0	5	1.0	1.0
11-6-75	W 8	6.0	10	18.3	16.5	5	1.0	1.0
13-6-75	W 9	6.3	7	19.1	20.0	6	1.1	1.0
14-7-75	W 10	6.2	8	18.8	10.0	6	1.4	1.0
3-8-75	W 11	6.2	8	18.0	6.0	3	1.1	1.0
5-8-75	W 12	6.0	8	19.1	3.5	5	1.4	1.0
6-8-75	W 13	6.1	8	19.7	9.0	4	1.4	1.0
7-8-75	W 14	6.2	6	20.9	4.0	5	1.1	2.0
9-8-75	W 15	6.2	7	18.6	4.5	6	1.4	1.0
10-8-75	W 16	6.1	8	18.1	4.5	6	1.3	1.0
14-8-75	W 17	6.1	7	18.1	5.5	6	1.4	1.0
15-8-75	W 18	6.1	7	18.7	9.0	6	1.4	1.0
17-8-75	W 19	6.1	7	18.7	6.0	5	1.2	1.0
18-8-75	W 20	6.2	8	19.2	3.5	6	1.5	1.0
21-8-75	W 21	6.0	9	20.3	5.5	5	1.1	1.0
21-8-75	W 22	6.5	8	18.7	4.0	7	1.4	1.0
22-8-75	W 23	6.4	8	18.7	5.0	7	1.2	1.0
23-8-75	W 24	6.3	8	18.7	9.0	6	1.1	1.0
20-6-76	W 25	6.3	8	17.0	1.0	5	1.2	0.6
20-6-76	W 26	6.2	7	17.0	0.8	4	1.3	0.7
23-6-76	W 27	6.4	8	18.0	0.8	5	1.3	0.6
22-6-76	W 28	6.3	8	18.0	0.8	5	1.3	0.6
24-6-76	W 29	6.3	8	18.0	0.6	5	1.3	0.6
24-6-76	W 30	6.3	8	19.0	1.2	5	1.2	0.6
27-6-76	W 31	6.4	8	17.0	1.4	5	1.1	0.6
27-7-76	W 32	6.2	8	17.0	0.5	5	1.3	0.6
27-7-76	W 33	6.4	7	17.0	0.6	5	1.3	0.6
27-7-76	W 34	6.3	8	19.0	2.0	5	1.3	0.6
21-7-76	W 35	6.2	10	22.0	1.0	6	2.0	0.6
21-7-76	W 36	6.3	10	20.0	0.7	5	1.6	0.7
23-7-76	W 37	6.5	10	20.0	2.5	7	1.8	0.7
23-7-76	W 38	6.5	10	20.0	1.2	8	1.8	0.6
24-7-76	W 39	6.2	10	19.0	1.0	6	2.0	0.7
24-7-76	W 40	6.3	10	19.0	1.0	6	1.6	0.6
29-7-76	W 41	6.3	10	20.0	0.5	5	1.7	0.7
25-7-76	W 42	6.4	10	19.0	1.1	6	1.6	0.8
26-7-76	W 43	6.2	9	21.0	0.8	7	1.6	0.6
26-7-76	W 44	6.3	10	18.0	1.5	6	1.3	0.8
27-7-76	W 45	6.5	10	18.0	0.5	5	1.4	0.8
27-7-76	W 46	6.5	8	20.0	0.8	8	2.0	0.6
28-7-76	W 47	6.6	8	20.0	0.7	8	2.0	0.6
28-7-76	W 48	6.3	8	19.0	1.5	7	2.0	0.6
29-7-76	W 49	6.4	10	18.0	4.0	5	1.8	0.8
29-7-76	W 50	6.3	10	19.0	0.5	6	1.7	0.7
31-7-76	W 51	6.4	9	21.0	2.2	7	1.8	0.6
31-7-76	W 52	6.4	9	20.0	1.5	7	1.5	0.6
1-8-76	W 53	6.3	8	18.0	1.2	5	1.4	0.6
1-8-76	W 54	6.4	9	21.0	0.7	6	1.7	0.6

TABLEAU 214. (*fin*)

Date d'échantillonnage	Site d'échantillonnage	pH	Dureté totale (ppm)	Conductivité spécifique ($\mu S \cdot cm^{-1}$ à 25°C)	Turbidité (UTJ)	Alcalinité totale (ppm)	Calcium (ppm)	Chlorure (ppm)
2-8-76	W 55	6,5	9	22,0	1,5	6	1,6	0,7
2-8-76	W 56	6,2	10	21,0	0,9	6	1,6	0,6
3-8-76	W 57	6,3	9	19,0	1,0	6	1,3	0,6
3-8-76	W 58	6,3	10	19,0	1,2	7	1,4	0,6
4-8-76	W 59	6,3	7	18,0	0,6	6	1,3	0,6
4-8-76	W 60	6,3	8	18,0	1,4	5	1,3	0,6
5-8-76	W 61	6,4	8	19,0	1,0	6	1,5	0,6
5-8-76	W 62	6,3	8	18,0	0,8	6	1,6	0,7
6-8-75	W 63	6,4	10	20,9	1,5	6	1,1	0,5
5-8-75	W 64	6,4	8	17,1	0,7	6	1,1	0,5
5-8-75	W 65	6,1	6	13,2	0,3	4	0,8	0,5
27-7-75	W 66	6,4	10	20,9	0,9	8	1,1	0,5
30-7-75	W 67	6,5	12	26,4	1,5	8	2,3	0,5
27-7-75	W 68	6,4	10	20,4	1,6	8	1,7	1,0
27-7-75	W 69	6,5	10	20,4	1,7	8	1,3	1,0
25-7-75	W 70	6,5	10	22,0	3,7	8	1,7	1,5
20-7-75	W 71	6,4	8	22,0	1,5	6	1,3	0,5

TABLEAU 215. Espèces de poisson observées dans le cours inférieur de la rivière Churchill.

Espèce	Nom scientifique
Grand brochet	*Esox lucius*
Grand corégone	*Coregonis clupeaformis*
Meunier rouge	*Catostomus catostomus*
Meunier noir	*Catostomus commersoni*
Omble de fontaine (anadrome et dulçaquicole)	*Salvelinus fontinalis*
Lotte	*Lota lota*
Touladi	*Salvelinus namaycush*
Saumon de l'Atlantique (anadrome et ouananiche)	*Salmo salar*
Ménomini rond	*Prospium cylindraceum*
Éperland arc-en-ciel (anadrome)	*Osmerus mordax*
Omble arctique	*Salvelinus alpinus*
Épinoche à trois épines	*Gasterosteus aculeatus*
Épinoche à neuf épines	*Pungitius pungitius*
Chabot tacheté	*Cottus bairdi*
Chabot visqueux	*Cottus cognatus*
Anguille d'Amérique	*Anguilla rostrata*
Naseux des rapides	*Rhinichthys cataractae*
Mulet perlé	*Semotilus margarita*
Méné de lac	*Couesius plumbeus*
Esturgeon noir (anadrome)	*Acipenser oxyrhynchus*

Rivière Goose *N° 40, fig. 46*

La rivière Goose, orientée vers l'est, draine les plateaux Hamilton et Mecatina et se jette dans la baie Goose du lac Melville (fig. 62). Happy Valley-Goose Bay est située à 5 km au sud de l'embouchure de la rivière, et la route qui relie les agglomérations de North West River et de Sheshatshit franchit le cours inférieur. Au cours d'un relevé, Millan (1974) a estimé à 246 MW le potentiel hydro-électrique de la rivière Goose, ce qui représente le double du potentiel de tout autre site proposé dans l'île de Terre-Neuve, et place la rivière au huitième rang au Labrador. De 1969 à 1977, la partie inférieure du bassin versant a connu une exploitation forestière intensive. Tous les arbres ont été coupés et les secteurs déboisés sont identifiés à la figure 62; la superficie des secteurs déboisés est indiquée dans le tableau 216.

Le bassin versant de la rivière Goose occupe une superficie de 3 432 km^2 (tableau 217). De son embouchure jusqu'au kilomètre 30, la rivière est large et peu profonde et serpente entre des petites îles, des deltas et des barres de sable. La vallée en V située dans cette région est bien boisée sauf dans les secteurs ayant fait l'objet d'une exploitation forestière. En amont du kilomètre 30, le courant devient plus rapide. Le lit se compose principalement de blocs et de moellons (Murphy 1973). Collins *et al.* (1972a) ont observé que le fond de la rivière était couvert d'immenses blocs, aux environs du kilomètre 130, qui formaient des chutes et des rapides. Les chutes Little Goose, situées au kilomètre 130,4, mesurent 5,4 m de haut et empêchent les poissons de poursuivre leur migration (tableau 218). À 8,1 km en aval se trouvent les chutes Goose dont la hauteur (15,3 m) empêche pratiquement la construction d'échelles à poissons. Le cours supérieur de la rivière Goose est formé d'un ensemble de petits lacs sur un plateau à modelé glaciaire connu sous le nom de Hamilton Upland. Le tributaire 13 (T13) est le plus large à se jeter dans la rivière et est accessible aux poissons anadromes. Il compte 4 778 unités d'élevage (tableau 219). Les autres tributaires sont plus petits et bon nombre d'entre eux comportent à proximité de leur embouchure des chutes qui font obstacle aux poissons migrateurs (tableau 218).

Des résidents ont signalé la présence de saumons de l'Atlantique, d'ombles de fontaine, de grands brochets et de meuniers dans la rivière Goose (Sollows *et al.* 1953). Le 27 août 1951, les membres de l'expédition du *Blue Dolphin* ont tendu un filet maillant à 100 m en amont de l'embouchure de la rivière et capturé un omble de fontaine de 282 mm de long (Backus 1957). Dans un filet maillant tendu le 12 août 1977, Bruce *et al.* (1979) ont capturé un grand corégone, quatre meuniers rouges, un omble de fontaine et un meunier noir. Le tableau 220 présente un sommaire des données sur la longueur à la fourche, le poids, le sexe et l'âge de ces spécimens.

Il n'existe aucune statistique sur la pêche sportive dans la rivière Goose. Sollows *et al.* (1953) ont signalé que deux filets étaient tendus à l'embouchure de la rivière à des fins commerciales; ils capturaient en moyenne un seul saumon par jour au moment de la montaison. Le piètre rendement de la pêcherie commerciale de saumon dans la région immédiate révèle que la production actuelle est bien inférieure à la production potentielle de 10 068 poissons adultes (tableau 219) estimée par Murphy (1973). L'envasement provoqué par le substrat à grain fin dans le cours inférieur pourrait constituer un facteur limitant la production de poissons.

TABLEAU 216. Récoltes annuelles dans le bassin versant de la rivière Goose, 1969-1977.

Renvoi à la figure 62	Année	Superficie des zones de récolte (ha)
A	1969	273
B	1970	1 439
C	1971	1 620
D	1972	2 146
E	1973	2 208
F	1974	2 346
G	1975	3 011
H	1976	1 303
I	1977	300
Total		14 646

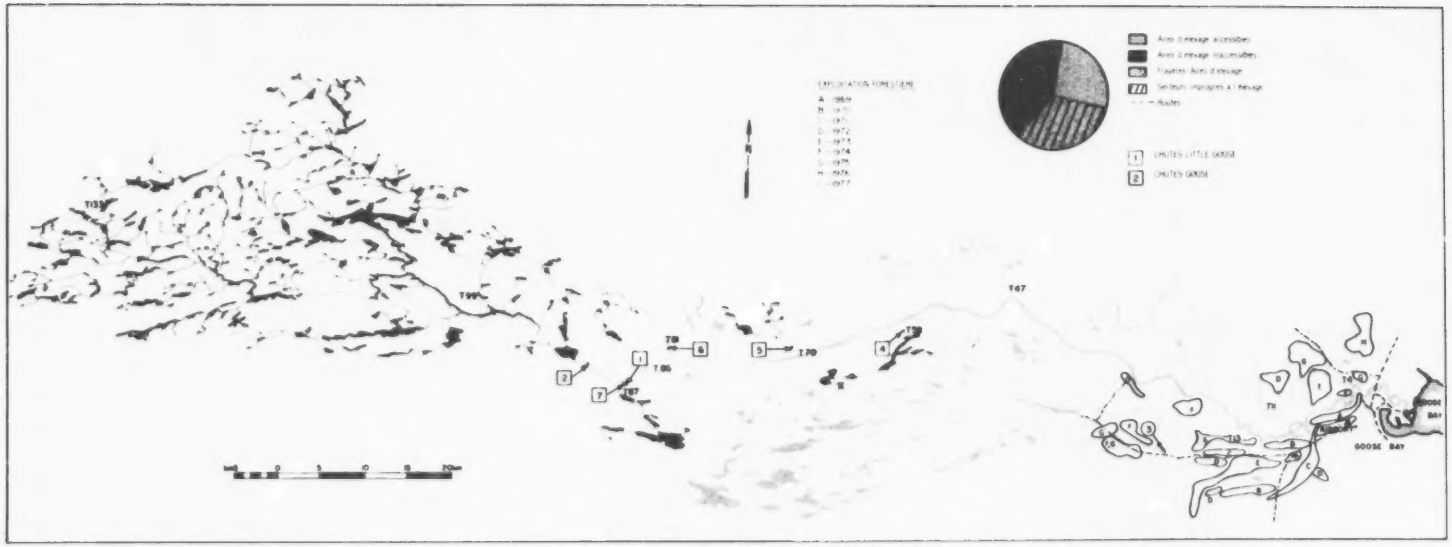

FIG. 62. Carte de la rivière Goose montrant les aires d'élevage accessibles et inaccessibles au tacon du saumon de l'Atlantique.

TABLEAU 217. Caractéristiques physiques de la rivière Goose.

Référence cartographique:	Goose Bay 13F 1:250 000	Élévation maximale du bassin versant:	610 m
Latitude de l'embouchure:	53°22′N	Longueur réelle de l'axe principal (en suivant les méandres):	213 km
Longitude de l'embouchure:	60°22′W	Longueur totale, y compris des tributaires:	1356 km
Direction générale de l'écoulement:	Est	Nombre de tributaires:	133
Superficie du bassin versant:	3432 km^2	Formation géologique:	Anorthosite et roches associées; gneiss
Largeur moyenne	20 km		
Longueur de l'axe	165 km		
Périmètre du bassin versant	477 km		

TABLEAU 218. Obstacles de la rivière Goose (Murphy 1973).

Renvoi à la figure 62	Emplacement	Distance de l'embouchure (km)	Type	Description			Obstacle au passage du poisson
				Hauteur (m)	Largeur (m)	Pente (°)	
1	Axe principal	130,4	Chutes	5,4	30,5	80	Infranchissable
2	Axe principal	138,5	Chutes	15,3	22,9	90	Infranchissable
3	T13	16,1	Chutes	2,4	15,3	45	Franchissable
4	T59	1,6	Chutes	22,9	6,1	90	Infranchissable
5	T70	3,2	Chutes	7,6	6,1	80	Infranchissable
6	T81	1,6	Chutes	7,6	7,6	90	Infranchissable
7	T87	0,0	Chutes	6,1	15,3	90	Infranchissable

TABLEAU 219. Résumé des données sur les unités d'élevage et de frai et la production annuelle potentielle estimative de smolts et de saumons de l'Atlantique adultes de la rivière Goose (Murphy 1973).

Emplacement	Secteurs accessibles		Secteurs inaccessibles	
	Unités de frai	Unités d'élevage	Unités de frai	Unités d'élevage
Axe principal	2 308	20 425	0	19 565
T4	0	1 207	0	0
T11	0	850	0	0
T13	0	4 778	0	0
T47–T86	630	6 300	0	0
T87–T133	0	0	630	6 300
Total	2 938	33 560	630	25 865
Production estimative				
Smolts		67 120		51 730
Adultes		10 068		7 760

TABLEAU 220. Résumé des données sur le sexe, la longueur à la fourche, le poids entier, l'âge et la teneur en mercure du grand corégone, du meunier rouge, de l'omble de fontaine et du meunier noir capturés dans la rivière Goose le 12 juillet 1977 (Bruce *et al.* 1979).

Espèce	Sexe	*N*	Longueur moyenne à la fourche (cm)	Poids entier moyen (kg)	Âge moyen (années)	Teneur moyenne en mercure (ppm)	Plage des teneurs en mercure (ppm)
Grand corégone	F	1	26,0	0,70	4,0	0,18	—
Meunier rouge	F	4	21,6	0,22	5,8	0,08	0,05–0,11
Omble de fontaine	M	1	30,6	0,50	4,0	0,17	—
Meunier noir	M	1	27,0	0,50	4,0	0,10	—

Rivière Cape Caribou *N° 41, fig. 46*

La rivière Cape Caribou est l'un des cinq grands cours d'eau qui se jettent dans le lac Grand, une longue et étroite nappe d'eau qui se déverse dans le lac Melville à North West River (fig. 63). Wallace (1905) désigne cette rivière sous le nom de Cape Corbeau, baptisée ainsi par un missionnaire français en raison de la présence constante de corbeaux près de son embouchure. Depuis 1971, des travaux d'abattage sont effectués dans le bassin versant; une route d'accès traverse la rivière à plusieurs endroits (fig. 63).

La rivière Cape Caribou draine une superficie de 546 km^2 et traverse des peuplements arrivés à maturité sur toute sa longueur (tableau 221). Le bassin versant est accessible aux poissons anadromes malgré la présence de chutes au kilomètre 12,9 qui constituent un obstacle partiel à leur migration (tableau 222). Le réseau hydrographique comprend une aire d'élevage pour les tacons. En 1976 et 1977, des chercheurs du MPO ont aperçu des tacons et des smolts (T. Curran, comm. pers.). Murphy et Porter (1974a) estiment à 4 477 saumons adultes la production annuelle de la rivière (tableau 223).

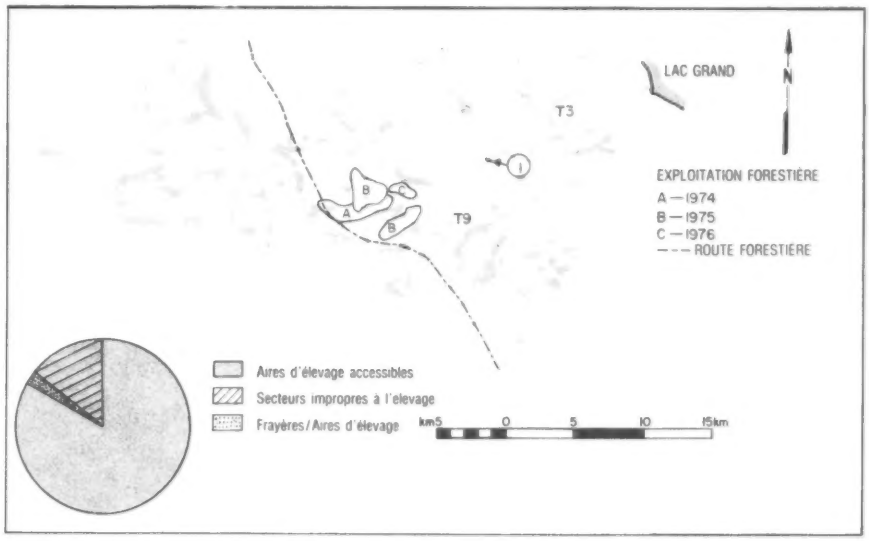

FIG. 63. Carte de la rivière Cape Caribou montrant les aires d'élevage accessibles au tacon du saumon de l'Atlantique.

TABLEAU 221. Caractéristiques physiques de la rivière Cape Caribou.

Référence cartographique:	Goose Bay 13F 1:250 000	Élévation maximale du bassin versant:	397 m
Latitude de l'embouchure:	53°37'N	Longueur réelle de l'axe principal (en suivant les méandres):	55 km
Longitude de l'embouchure:	60°25'W	Longueur totale, y compris des tributaires:	338 km
Direction générale de l'écoulement:	Nord-est	Nombre de tributaires:	30
Superficie du bassin versant:	546 km^2	Formation géologique:	Anorthosite et roches associées; gneiss
Largeur moyenne	12 km		
Longueur de l'axe	43 km		
Périmètre du bassin versant	126 km		

TABLEAU 222. Obstacles de la rivière Cape Caribou (Murphy et Porter 1974a).

Renvoi à la figure 63	Emplacement	Distance de l'embouchure (km)	Type	Description			Obstacle au passage du poisson
				Hauteur (m)	Largeur (m)	Pente (°)	
1	Axe principal	12,9	Chutes	4,6	18,3	60	Franchissable

TABLEAU 223. Résumé des données sur les unités d'élevage et de frai et la production annuelle potentielle estimative de smolts et de saumons de l'Atlantique adultes de la rivière Cape Caribou (Murphy et Porter 1974a). Aucun secteur inaccessible n'y a été répéré.

Emplacement	Secteurs accessibles	
	Unités de frai	Unités d'élevage
Axe principal	407	12 373
T3	0	929
T9	0	1 620
Total	407	14 922
Production estimative		
Smolts		29 844
Adultes		4 477

Rivière Beaver

N° 42, fig. 46

La rivière Beaver traverse la partie centrale et dénudée du plateau du Labrador en direction est et se jette dans l'extrémité ouest du lac Grand (fig. 64). Son bassin versant, d'une superficie de 1 878 km^2, comprend 64 tributaires (tableau 224). Selon Millan (1974), le potentiel hydro-électrique de la rivière est de 126 MW, soit à peu près le même que celui du site de Pipers Hole, dans l'île de Terre-Neuve.

Sur les huit premiers kilomètres, la rivière Beaver mesure 30 m de large et serpente entre des hauts-fonds sableux et de petites îles. Ce tronçon, d'une profondeur de 0,5 m seulement, est bordé d'un peuplement serré d'aulnes. Sur les trois premiers kilomètres, on note la présence de vieux troncs (aulnes morts) enfoncés dans le fond de la rivière. L'eau est trouble et le fond vaseux a une consistance très épaisse et visqueuse. Le cours moyen de la rivière mesure 50 m de large en moyenne. Le fond est composé de blocs et de moellons. Au kilomètre 61,2 se trouvent des chutes de 2,7 m qui font légèrement obstacle aux poissons migrateurs (tableau 225). Il pourrait s'agir des chutes observées par Blair (1943). À 80 km de l'embouchure, la rivière comprend de vastes étendues d'eau tranquille et des lacs parsemés de hauts-fonds sableux et graveleux. Le seul grand tributaire du réseau (T22) comporte 11 789 unités d'élevage accessibles; la présence de chutes de 4,6 m à l'embouchure du tributaire T22-9 empêche les poissons migrateurs d'atteindre 7 245 unités d'élevage (tableau 226). Un échantillon d'eau a été prélevé en août 1973; le tableau 227 présente les résultats des analyses (Jamieson 1979).

Wallace (1905) signale la capture d'ombles de fontaine, de touladis et de grands brochets dans le cours supérieur de la rivière. Des tacons et des smolts ont été observés par des trappeurs de l'endroit et par le personnel itinérant du MPO (T. Curran, comm. pers.). L'absence de pêche sportive et le piètre rendement de la pêche commerciale dans le lac Grand révèlent que la production actuelle de saumons est bien inférieure au chiffre de 13 875 saumons adultes (tableau 226) avancé par Murphy et Porter (1974a). La forte turbidité dans le cours inférieur pourrait réduire notablement le potentiel de la rivière Beaver.

TABLEAU 224. Caractéristiques physiques de la rivière Beaver.

Référence cartographique:	Lac Winokapau 13E Goose Bay 13F 1:250 000	Élévation maximale du bassin versant:	671 m
Latitude de l'embouchure:	53°44′N	Longueur réelle de l'axe principal (en suivant les méandres):	103 km
Longitude de l'embouchure:	60°57′W	Longueur totale, y compris des tributaires:	853 km
Direction générale de l'écoulement:	Est	Nombre de tributaires:	64
Superficie du bassin versant:	1878 km^2	Formation géologique:	Gneiss
Largeur moyenne	22 km		
Longueur de l'axe	89 km		
Périmètre du bassin versant	270 km		

TABLEAU 225. Obstacles de la rivière Beaver (Murphy et Porter 1974a).

Renvoi à la figure 64	Emplacement	Distance de l'embouchure (km)	Type	Description			Obstacle au passage du poisson
				Hauteur (m)	Largeur (m)	Pente (°)	
1	Axe principal	61,2	Chutes	2,7	30,4	60	Franchissable
2	T22	19,3	Chutes	2,4	15,2	80	Franchissable
3	T22-9	0,0	Chutes	4,6	30,4	90	Infranchissable

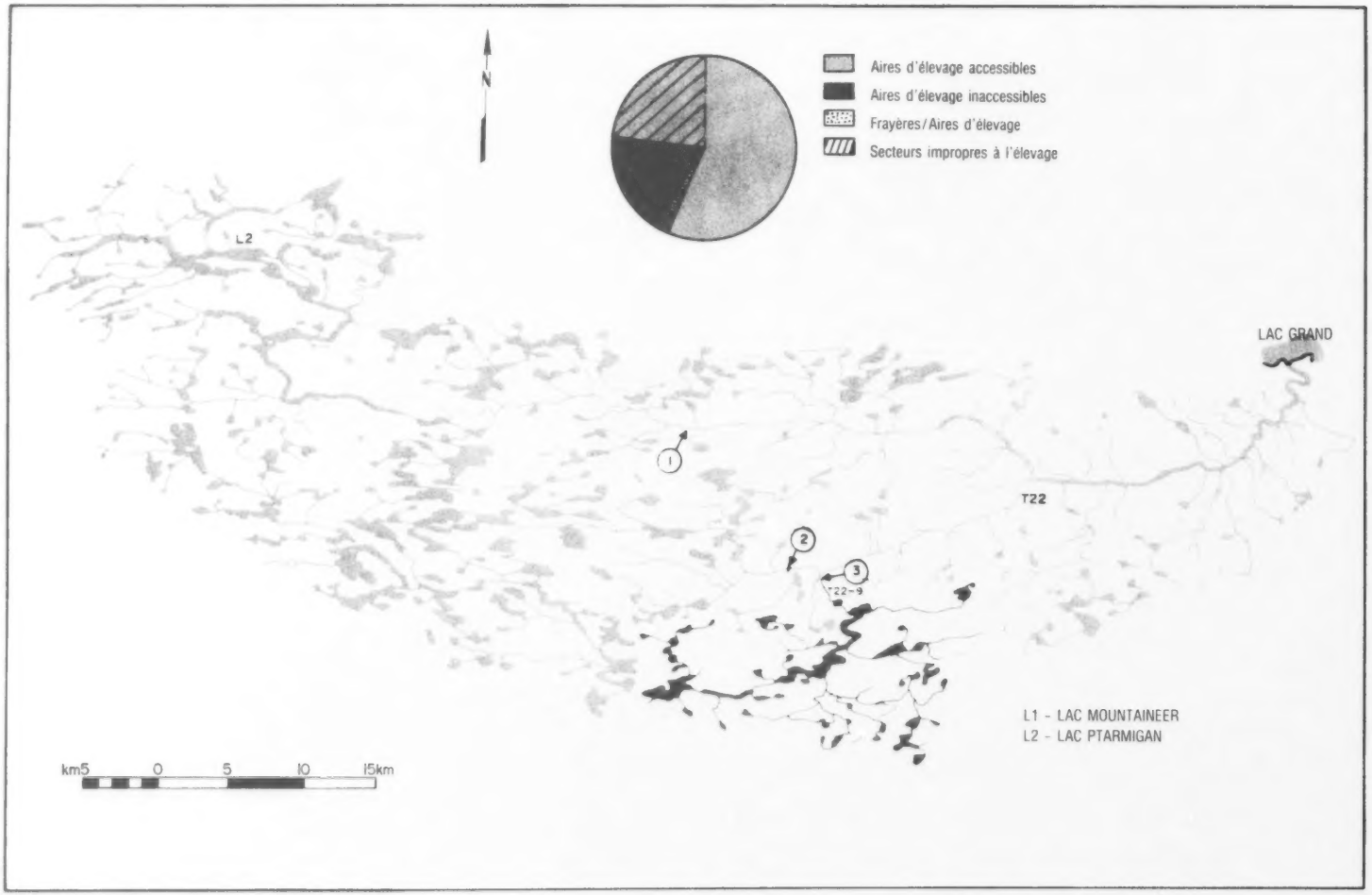

FIG. 64. Carte de la rivière Beaver montrant les aires d'élevage accessibles et inaccessibles au tacon du saumon de l'Atlantique.

TABLEAU 226. Résumé des données sur les unités d'élevage et de frai et la production annuelle potentielle estimative de smolts et de saumons de l'Atlantique adultes de la rivière Beaver (Murphy et Porter 1974a).

	Secteurs accessibles		Secteurs inaccessibles	
Emplacement	Unités de frai	Unités d'élevage	Unités de frai	Unités d'élevage
Axe principal	667	34 462	0	0
T22	892	11 789	0	7 245
Total	1 559	46 251	0	7 245
Production estimative				
Smolts		92 502		14 490
Adultes		13 875		2 174

TABLEAU 227. Résultats des analyses d'un échantillon d'eau prélevé dans la rivière Beaver, 1973 (Jamieson 1979).

Année	pH	Dureté totale (ppm)	Conductivité spécifique ($\mu S \cdot cm^{-1}$ à 25°C	Turbidité (UTJ)	Alcalinité totale (ppm)	Calcium (ppm)	Chlorure (ppm)	Bicarbonate (ppm)
1973	6,6	8,0	15,0	3,8	8,0	2,0	1,1	9,8

Rivière Susan *N° 43, fig. 46*

La rivière Susan est la plus petite des cinq grandes rivières qui se jettent dans le lac Grand (fig. 65). Son bassin versant occupe une superficie de 363 km^2 (tableau 228) et son cours supérieur traverse un plateau dénudé et plat à 58 km de l'embouchure. À partir de ces méandres tranquilles et de ces petits étangs, la rivière coule vers l'est. À vingt-cinq kilomètres de l'embouchure, elle pénètre dans une vallée profonde couverte de conifères. La meilleure description de ce tronçon nous a probablement été donnée par Wallace (1905) qui a très difficilement exploré cette étendue d'eau peu profonde, au courant rapide, jonchée de blocs. À 10 km de l'embouchure, la rivière s'élargit et atteint 50 m, et le substrat se compose en alternance de fin gravier et de sable. Blair (1943) ne signale aucun obstacle à la migration des poissons, ce que confirment Murphy et Porter (1974a).

Les espèces de poisson présentes dans la rivière Susan sont le saumon de l'Atlantique (Blair 1943) et l'omble de fontaine (Wallace 1905). Comme d'autres cours d'eau de la région, la rivière Susan supporte probablement des populations de meuniers, d'épinoches, d'éperlans et de corégones. La production annuelle potentielle de saumons de l'Atlantique adultes, estimée par Murphy et Porter (1974a), est de 3 350 poissons (tableau 229). Il semble que la production actuelle soit légèrement inférieure à cette estimation comme en témoignent l'absence de pêche sportive et la faible quantité de saumons débarqués par les pêcheurs commerciaux du lac Grand.

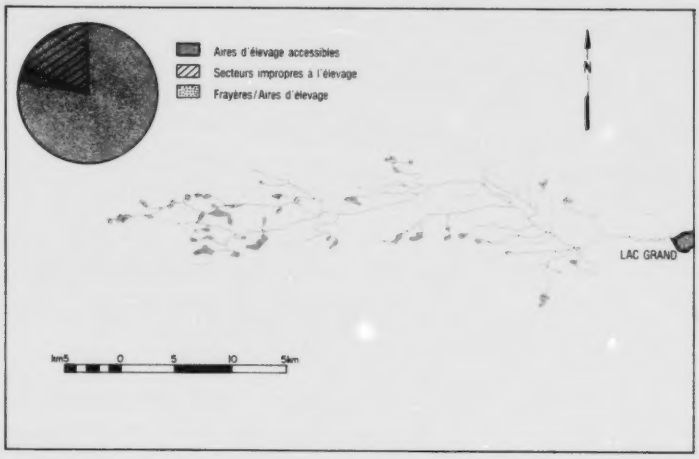

FIG. 65. Carte de la rivière Susan montrant les aires d'élevage accessibles au tacon du saumon de l'Atlantique.

TABLEAU 228. Caractéristiques physiques de la rivière Susan.

Référence cartographique:	Goose Bay 13F 1:250 000	Élévation maximale du bassin versant:	488 m
Latitude de l'embouchure:	53°44′N	Longueur réelle de l'axe principal (en suivant les méandres):	58 km
Longitude de l'embouchure:	60°58′W	Longueur totale, y compris des tributaires:	230 km
Direction générale de l'écoulement:	Est	Nombre de tributaires:	27
Superficie du bassin versant:	363 km^2	Formation géologique:	Gneiss
Largeur moyenne	8 km		
Longueur de l'axe	52 km		
Périmètre du bassin versant	119 km		

TABLEAU 229. Résumé des données sur les unités d'élevage et de frai et la production annuelle potentielle estimative de smolts et de saumons de l'Atlantique adultes de la rivière Susan (Murphy et Porter 1974a). Aucun secteur inaccessible n'y a été repéré.

	Secteurs accessibles	
Emplacement	Unités de frai	Unités d'élevage
Axe principal	488	11 166
Total	488	11 166
Production estimative		
Smolts	22 332	
Adultes	3 350	

Rivière Naskaupi

N° 44, fig. 46

La rivière Naskaupi, deuxième en importance au Labrador, coule vers le sud-est et se jette à l'extrémité nord du lac Grand (fig. 66). Depuis toujours, elle constitue une des principales voies d'accès aux terres intérieures du Labrador. Elle doit son nom aux indiens Naskaupi qui l'utilisaient pour atteindre les hordes de caribous dans les terres adjacentes au lac Michikamau.

Le 28 avril 1971, par la fermeture d'un réseau de digues, la société d'aménagement des chutes Churchill a dévié les eaux du Lac Michikamau, situé dans le cours supérieur de la rivière Naskaupi, dans le réseau hydrographique de la rivière Churchill, ce qui a entraîné une diminution de la superficie du bassin hydrographique de la rivière, qui est passée de 23 310 km^2 à 12 691 km^2 (tableau 230). Millan (1974) a estimé à 1 933 MW le potentiel hydro-électrique de la rivière Naskaupi, soit le deuxième en importance au Labrador après celui du bas Churchill (2 400 MW).

Riche (1965) a effectué une étude biologique préliminaire de la rivière Naskaupi et fourni également des données détaillées sur ses caractéristiques physiques. Depuis la dérivation de 1971, la description du bassin hydrographique de Riche n'est plus à jour. LeDrew (1972) et Collins *et al.* (1972b) ont recueilli des renseignements après la dérivation des eaux.

De son embouchure jusqu'au kilomètre 30, la rivière Naskaupi traverse une large vallée fluviale. Le couvert forestier se compose principalement d'épinettes noires et de bouleaux blancs, et le lit de la rivière est formé de sable et de vase. La rivière se rétrécit au kilomètre 30. Au kilomètre 35 se trouvent les rapides Aigeau, long ruban d'eau tourbillonnante que franchissent facilement les poissons migrateurs (LeDrew 1972). Du kilomètre 35 au kilomètre 125, le lit de la rivière se compose de blocs et de moellons. LeDrew (1972) signale la présence de petits rapides aux kilomètres 55, 60 (rapides North Pole) et 96. Le lac Wuchusk (L6) se trouve au kilomètre 125 et de son entrée, au kilomètre 128, jusqu'à la gorge, au kilomètre 188, le fond de la rivière se compose en alternance de vase (kilomètres 125 à 167) et de vastes zones de gravier (kilomètres 168 à 188). LeDrew (1972) indique que la rivière atteint 100 m de large dans le tronçon à fond vaseux. Dans ce secteur, la forêt comprend surtout des épinettes noires, mais on ne remarque aucune végétation sur les rives. Au kilomètre 188, à l'emplacement de la gorge, la rivière a moins de 10 m de large, et jusqu'au lac Marie (près de 35 km), on a dénombré quinze obstacles à la migration des poissons (tableau 231) (Riche 1965). On ne connaît pas l'emplacement exact de ces obstacles, mais plusieurs, comme les chutes Gritwood, Isabella et Maid Marion, ne peuvent être franchis par les poissons migrateurs. Collins *et al.* (1972b) signalent qu'un mince filet d'eau coule désormais sur ce terrain très accidenté depuis l'aménagement des chutes Churchill, ce qui empêche le passage des poissons.

La rivière Naskaupi est alimentée par 105 tributaires au total (tableau 230) dont le plus important est la rivière Red Wine (T7) qui n'a pas été touchée par la dérivation des eaux. Selon Riche (1965), c'est un lieu de reproduction idéal pour les saumons de l'Atlantique en raison de la présence de bassins, de bancs, de petits rapides et de frayères sur les cent premiers kilomètres. Wallace (1907) indique que, bien que les eaux de ce tributaire ne soient pas troubles, elles sont brunâtres contrairement à celles de l'axe principal. Selon Riche (1965), d'autres tributaires comme les rivières North Pole (T22), Wapustan (T23) et Thomas (T35) constituent de bonnes aires d'élevage pour les poissons juvéniles. Des échantillons d'eau ont été prélevés en 1974 et 1978 et les résultats des analyses sont indiqués dans le tableau 232 (Jamieson 1979).

Au total, quinze espèces de poissons ont été identifiées dans la rivière Naskaupi (tableau 233). Les premiers rapports nous viennent des explorateurs qui intégrèrent le poisson à leur régime souvent insipide. Certains lacs comme le lac Namaycush (L4) ont été désignés d'après les prises effectuées dans leurs eaux (Wallace 1907). Les premiers explorateurs ont également fait mention des prédateurs en désignant le lac Seal (L5) d'après les populations de phoques observées par Wallace (1907) et Hubbard (1908). Blair (1943) signale la présence de saumons de l'Atlantique anadromes jusque dans la gorge, au kilomètre 188.

Backus (1957), Riche (1965), LeDrew (1972) et Bruce *et al.* (1979) ont fait des études sur les populations de poissons.

Les membres de l'expédition du *Blue Dolphin* de 1951 ont capturé des spécimens de sept espèces de poissons (Backus 1957). Les sites d'échantillonnage se trouvaient à 1,6 et 12,8 km en amont de l'embouchure de la rivière. Les nombres et la longueur des spécimens capturés sont indiqués dans le tableau 234. Riche (1965) a publié les résultats d'une étude sur la pêche au filet maillant effectuée en 1964 (tableau 235). Parmi les 640 poissons capturés, 482 étaient des meuniers rouges, des meuniers noirs et des grands brochets. Au total, 550 poissons ont été pris dans des filets à maille de 1,8, 5,1 et 7,6 cm, mais 30 des 31 saumons de l'Atlantique adultes ont été capturés dans des filets à maille de 12,7 et 14,0 cm. La longueur, le poids, l'âge et le sexe d'un échantillon de 21 saumons adultes sont indiqués dans le tableau 236. L'âge moyen des poissons capturés en eau douce est de 3,8 années; 95 % des madeleineaux sont des mâles et les deux gros saumons sont des femelles. Sept espèces sont représentées

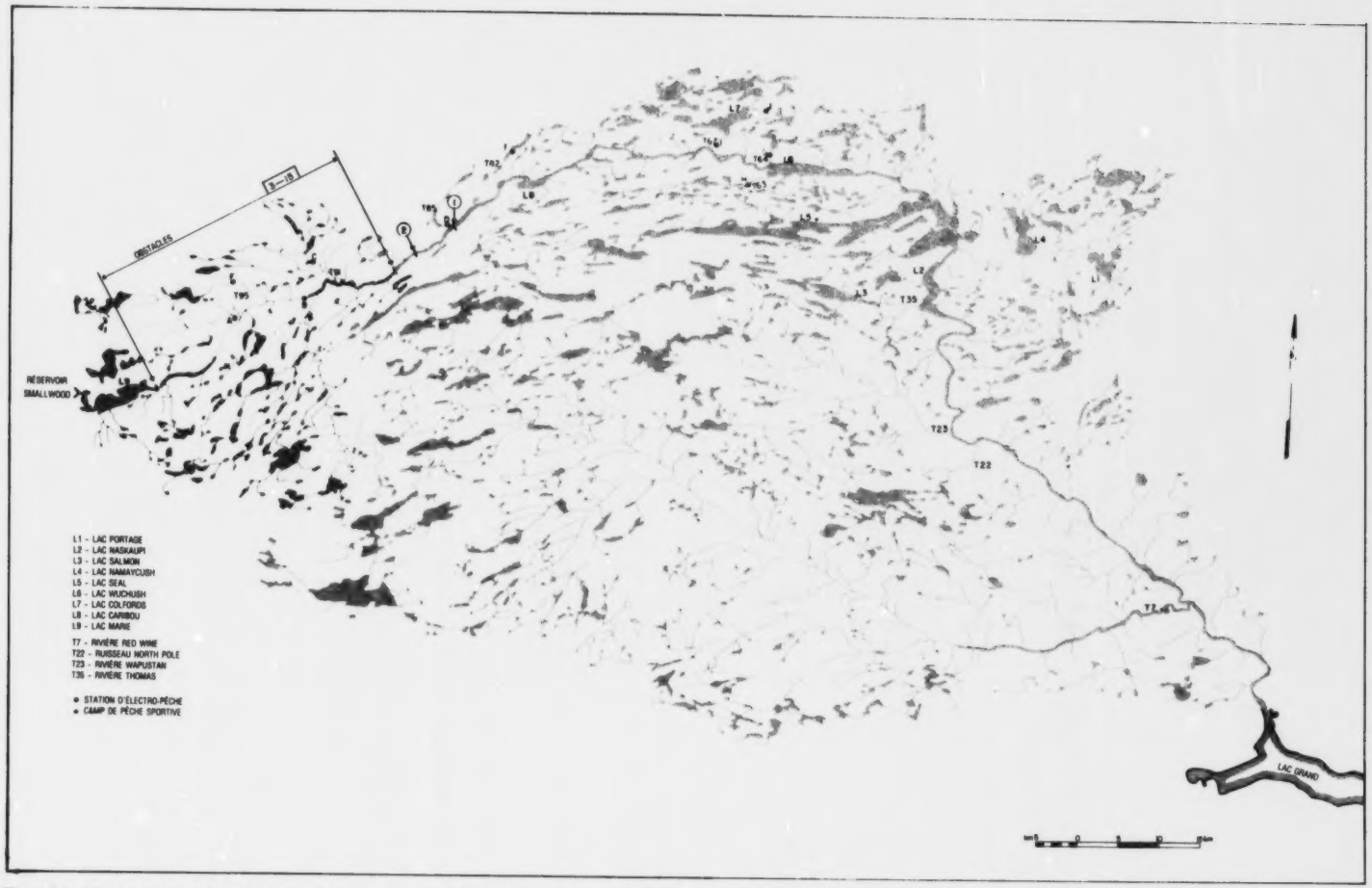

FIG. 66. Carte de la rivière Naskaupi montrant les aires d'élevage accessibles et inaccessibles au tacon du saumon de l'Atlantique.

parmi les 96 poissons capturés dans un filet maillant tendu le 18 août 1971 dans le lac Wuchush (L6) par LeDrew (1972) (tableau 237).

Les dimensions et caractéristiques physiques de dix stations d'électro-pêche visitées par LeDrew (1972) en 1971 sont indiquées dans le tableau 238 et les résultats des analyses d'échantillon d'eau prélevés dans neuf de ces stations sont donnés dans le tableau 239. Les données sur l'électro-pêche ont été analysées par la méthode de régression de Delury (Ricker 1958), et le tableau 240 montre les estimations de la biomasse de poissons, par station et par espèce. L'omble de fontaine représente 60 % de la biomasse estimée et LeDrew (1972) mentionne que le tacon du saumon de l'Atlantique compte pour une part négligeable dans la biomasse. Des tacons ont été observés uniquement à l'embouchure des tributaires et dans l'axe principal. Étant donné que les tacons, dans les stations A, B et C, ont été capturés en amont d'obstacles infranchissables dans l'axe principal de la rivière, il ne fait aucun doute qu'il s'agisssait d'une espèce landlockée. Selon LeDrew, l'absence de frayère sur fond de gravier dans les eaux d'amont et le faible débit en hiver expliquent la sous-utilisation apparente du cours supérieur de la rivière Naskaupi par le saumon de l'Atlantique anadrome. Le 10 juillet 1978, 13 touladis, 5 grands corégones et 3 meuniers rouges ont été pris au filet dans le lac Seal (L5) (Bruce *et al.* 1979). Le tableau 241 présente un résumé des données sur la longueur, le poids, le sexe et l'âge de ces spécimens.

À l'aide d'une méthode mise au point par O'Reilly (1959), et en utilisant le tronçon accessible de la rivière Naskaupi, Riche (1965) a estimé à 41 000 saumons adultes la production potentielle de la rivière. Selon lui, la population actuelle est bien inférieure à ce chiffre, et il serait plus réaliste de l'estimer à moins de 5 000 poissons. Il n'y a aucune raison apparente à cet écart, mais il a indiqué que certaines propriétés physiques ou chimiques de la rivière ou une surexploitation de la pêcherie commerciale dans le passé pourraient en être la cause.

TABLEAU 230. Caractéristiques physiques de la rivière Naskaupi après dérivation de son cours supérieur en 1971.

Référence cartographique:	Lac Winokapau 13E Goose Bay 13F Lac Michikamau 23-I 1:250 000	Élévation maximale du bassin versant:	610 m
Latitude de l'embouchure:	53°47′N	Longueur réelle de l'axe principal (en suivant les méandres):	271 km
Longitude de l'embouchure:	60°51′W	Longueur totale, y compris des tributaires:	1237 km
Direction générale de l'écoulement:	Sud-est	Nombre de tributaires:	105
Superficie du bassin versant:	12 691 km²	Formation géologique:	Sédiments précambriens, roches volcaniques et gneiss
Largeur moyenne	51 km		
Longueur de l'axe	197 km		
Périmètre du bassin versant	493 km		

TABLEAU 231. Obstacles de l'axe principal de la rivière Naskaupi (tous les obstacles entre les kilomètres 188 et 233).

Renvoi à la figure 66	Type	Description			Obstacle au passage du poisson
		Hauteur (m)	Largeur (m)	Pente (°)	
1	Chutes	1,2	15,2	45	Franchissable
2	Chutes	2,1	61,0	90	Franchissable
3	Rapides	—	—	—	Infranchissable
4	Rapides et chutes	—	91,4	—	Franchissable
5	Chutes (Gritwood)	15,2	18,3	90	Infranchissable
6	Chutes	9,1	24,4	—	Franchissable
7	Rapides et chutes	6,1	45,7	—	Franchissable
8	Chutes	4,6	12,2	—	Infranchissable
9	Chutes (Isabella)	30,1	36,6	—	Infranchissable
10	Chutes (Maid Marion)	24,4	137,2	90	Infranchissable
11	Rapides et chutes	3,1	—	90	Franchissable
12	Rapides et chutes	4,6	18,3	90	Franchissable
13	Chutes	3,1	70,0	90	Franchissable
14	Rapides et chutes	1,5	137,2	90	Franchissable
15	Rapides	—	121,9	—	Franchissable

TABLEAU 232. Résultats des analyses de deux échantillons d'eau prélevés dans la rivière Naskaupi, 1974 et 1978 (Jamieson 1979).

Année	pH	Dureté totale (ppm)	Conductivité spécifique ($\mu S \cdot cm^{-1}$ à 25°C)	Turbidité (UTJ)	Alcalinité totale (ppm)	Calcium (ppm)	Chlorure (ppm)	Bicarbonate (ppm)
1974	6,7	12,0	30,0	2,1	10,0	2,0	3,5	12,2
1978	6,7	12,0	26,0	0,3	9,0	1,5	1,0	11,0

TABLEAU 233. Liste des espèces de poissons dans la rivière Naskaupi.

Espèce	Nom commun	
Salmo salar	Saumon de l'Atlantique	(anadrome et landlocké)
Salvelinus alpinus	Omble arctique	
Salvelinus fontinalis	Omble de fontaine	(anadrome et landlocké)
Salvelinus namaycush	Touladi	
Coregonus clupeaformis	Grand corégone	
Prosopium cylindraceum	Ménomini rond	
Osmerus mordax	Éperlan arc-en-ciel	
Esox lucius	Grand brochet	
Couesius plumbeus	Méné de lac	
Catostomus commersoni	Meunier noir	
Catostomus catostomus	Meunier rouge	
Lota lota	Lotte	
Gasterosteus aculeatus	Épinoche à trois épines	
Rhinichthys cataractae	Naseux des rapides	
Cottus cognatus	Chabot visqueux	

TABLEAU 234. Résumé des captures effectuées par les membres de l'expédition du *Blue Dolphin*, rivière Naskaupi, 1951 (Backus 1957).

Date	Emplacement (en amont de l'embouchure) (km)	Espèces	Méthode de capture	Nombre d'échantillon	Longueur (mm)
22 juillet	1,6	Saumon de l'Atlantique	Seine de 18,6 m	1	181
22 juillet	12,8	Saumon de l'Atlantique	Canne et moulinet	1	89
23 juillet	12,8	Omble de fontaine	Canne et moulinet	1	129
22 juillet	1,6	Meunier rouge	Seine de 18,6 m	20	57-205
23 juillet	12,8	Meunier rouge	Seine de 3 m	1	233
22 juillet	1,6	Ménomini rond	Seine de 18,6 m	14	27-34
				6	66-125
23 juillet	12,8	Ménomini rond	Seine de 3 m	4	27-36
22 juillet	1,6	Épinoche à trois épines	Seine de 18,6 m	4	51-62
23 juillet	12,8	Épinoche à trois épines	Seine de 3 m	2	60-67
22 juillet	1,6	Méné de lac	Seine de 18,6 m	8	39-76
23 juillet	12,8	Méné de lac	Seine de 3 m	4	79-105
22 juillet	1,6	Naseux des rapides	Seine de 18,6 m	3	32-39

TABLEAU 235. Résumé des prises au filet maillant dans la rivière Naskaupi, juillet-août 1964 (Riche 1965).

Espèce	Prises par grandeur de maille (cm)						Total
	1,8	5,1	7,6	10,2	12,7	14,0	
Saumon de l'Atlantique (adulte)	0	1	0	0	26	4	31
Saumon de l'Atlantique (smolt)	0	1	0	0	0	0	1
Omble arctique	0	1	0	0	0	0	1
Omble de fontaine (dulçaquicole)	12	15	1	1	3	0	32
Omble de fontaine (anadrome)	6	2	3	0	1	0	12
Touladi	0	4	2	3	0	0	9
Grand corégone	10	35	4	2	1	0	52
Éperlan arc-en-ciel	2	0	0	0	0	0	2
Grand brochet	0	46	13	20	21	2	102
Méné de lac	2	0	0	0	0	0	2
Meunier noir	15	90	137	6	0	0	248
Meunier rouge	14	62	56	0	0	0	132
Meuniers (non identifiés)	7	7	0	0	0	0	14
Lotte	2	0	0	0	0	0	2
Total	70	264	216	32	52	6	640

TABLEAU 236. Longueur, poids, sexe et âge des saumons de l'Atlantique adultes capturés au filet maillant dans la rivière Naskaupi, 1964 (Riche 1965).

Emplacement	Longueur à la fourche (cm)	Poids (kg)	Âge (années)		Sexe
			Eau douce	Eau salée	
Axe principal (24,0 km)	59,0	2,0	3	1+	M
	56,0	2,0	4	1+	M
	58,0	1,8	5	1+	M
	75,0	5,0	4	2+	F
	77,0	5,4	4	2+	F
Rivière Red Wine	53,0	1,8	3	1+	M
	54,0	1,8	3	1+	M
	55,0	1,8	3	1+	M
	55,0	1,8	3	1+	M
	56,0	2,0	3	1+	M
	57,0	1,8	3	1+	M
	58,0	2,0	3	1+	M
	51,0	1,4	4	1+	F
	52,0	1,8	4	1+	M
	52,5	1,8	4	1+	M
	55,0	1,8	4	1+	M
	55,0	1,8	4	1+	M
	56,0	2,0	4	1+	M
	57,0	1,8	4	1+	M
	58,0	2,3	4	1+	M
	54,0	1,6	6	1+	M
Moyenne	57,31	2,17	3,8	1,1	

TABLEAU 237. Nombre et espèces de poissons capturés au filet maillant dans le lac Wuchush, le 18 août 1971 (LeDrew 1972).

Espèce	Prises par grandeur de maille (cm)					Total
	1,8	5,1	6,9	7,2	Inconnues	
Omble de fontaine	0	0	1	0	0	1
Touladi	1	3	5	4	0	13
Grand corégone	—	—	—	—	35	35
Ménomini rond	—	—	—	—	3	3
Meuniers (noirs et rouges)	4	14	11	13	0	42
Lotte	2	0	0	0	0	2
Total	7	17	17	17	38	96

TABLEAU 238. Description des stations d'électro-pêche, rivière Naskaupi, 1971 (LeDrew 1972).

Station	Emplacement	Dimensions				Obstacle sur les rives	Écoulement		Temp. (°C)		Composition du fond				
		Longueur (m)	Largeur moyenne (m)	Profondeur (cm)	Superficie (unités)[a]		Vitesse ($m \cdot s^{-1}$)	Vol. ($m^3 \cdot s^{-1}$)	Eau	Air	Substrat	Bloc	Mœllon	Gravier grossier	Gravier fin et moyen
A	T98	48	16	38	7,7	Franchissable	0,85	4,13	15	18	0	0	50	50	0
B	Axe principal	44	16	25	7,0	Libre	0,91	2,91	15	17	0	10	20	20	50
C	T91	43	16	28	6,9	Infranchissable	0,67	2,40	17	19	10	70	20	0	0
D	T85	46	13	32	6,0	Franchissable	0,82	2,73	18	18	0	0	80	20	0
E	T82	24	5	18	1,2	Infranchissable	0,73	0,53	19	21	30	15	15	40	0
F	T95	37	12	26	4,4	Infranchissable	1,00	2,50	17	14	0	50	50	0	0
G	T64	24	16	20	3,8	Infranchissable	1,04	2,66	15	18	10	65	25	0	0
H	T63	50	6	46	3,0	Franchissable	0,73	1,61	16	19	10	0	0	0	90
I	T67	46	8	22	3,7	Franchissable	0,79	1,11	14	16	0	35	65	0	0
J	T67	33	8	25	2,6	Libre	0,61	0,98	15	9	40	40	20	0	0

[a] 1 unité = 100 m^2

TABLEAU 239. Résultats d'analyses d'échantillons d'eau prélevés dans des stations d'électro-pêche, rivière Naskaupi, 1971 (LeDrew 1972).

Station	A	B	C	D	E	F	G	H	J	Moyenne	Plage
pH	7,25	7,24	7,26	7,26	7,25	6,90	6,82	6,51	6,91	7,04	6,51–7,26
Dureté totale (ppm, $CaCO_3$)	10,00	11,00	11,00	21,00	12,00	6,00	8,00	9,00	10,00	10,89	6,00–21,00
Turbidité (UTJ)	0,70	0,65	0,73	0,52	1,30	0,90	0,71	2,50	0,69	0,97	0,52–2,50
Alcalinité totale (ppm, $CaCO_3$)	10,00	11,00	10,00	11,00	10,00	6,50	5,00	6,00	7,00	8,50	5,00–11,00
Conductivité spécifique ($\mu S \cdot cm^{-1}$ à 25°C)	20,40	19,30	20,90	21,50	19,30	8,60	12,90	23,60	14,00	17,83	8,60–23,60
Résistance spécifique ($ohms \cdot cm^{-1} \times 10^3$)	49,00	52,00	48,00	46,50	52,00	116,50	77,50	42,50	71,00	61,67	42,50–116,50
Matières solides dissoutes totales (ppm)	21,70	20,90	22,00	22,50	21,00	13,20	16,30	24,00	17,10	19,86	13,20–24,00

TABLEAU 240. Estimations des populations de poissons d'après les données sur l'électro-pêche, rivière Naskaupi, 1971 (LeDrew 1972); 1 unité = 100 m^2

	Saumon de l'Atlantique		Omble de fontaine		Naseux des rapides		Chabot visqueux		Lotte		Meunier rouge		Ménomini rond		Meunier noir		Total	
Station	g·unité$^{-1}$	Nbre· unité$^{-1}$	g·unité$^{-1}$	Nbre· unité$^{-1}$	g·unité$^{-1}$	Nbre· unité$^{-1}$	g·unité$^{-1}$	Nbre· unité$^{-1}$	g·unité$^{-1}$	Nbre· unité$^{-1}$	g·unité$^{-1}$	Nbre· unité$^{-1}$	g·unité$^{-1}$	Nbre· unité$^{-1}$	g·unité$^{-1}$	Nbre· unité$^{-1}$	g·unité$^{-1}$	Nbre· unité$^{-1}$
A	0.6	0.1	10.8	2.4	33.5	8.4	9.6	4.8	0.7	0.1	0.0	0.0	0.0	0.0	0.0	0.0	55.2	15.8
B	10.8	1.2	0.0	0.0	39.4	6.0	16.7	7.2	3.0	0.1	0.0	0.0	0.0	0.0	0.0	0.0	69.9	14.5
C	13.1	0.5	229.4	16.7	104.0	10.8	17.9	8.4	0.0	0.0	2.4	0.1	32.3	1.0	0.0	0.0	399.1	37.5
D	0.0	0.0	135.0	3.6	19.1	3.6	9.6	4.8	15.5	0.8	26.3	0.7	1.2	0.4	6.7	0.5	213.4	14.4
E	0.0	0.0	358.5	34.7	58.6	9.6	0.0	0.0	13.1	0.8	0.0	0.0	0.0	0.0	0.0	0.0	430.2	45.1
F	0.0	0.0	107.6	7.2	8.4	1.2	0.0	0.0	0.0	0.0	38.2	9.6	0.0	0.0	0.0	0.0	154.2	18.0
G	0.0	0.0	104.0	6.0	0.0	0.0	17.9	12.0	6.0	0.2	0.0	0.0	0.0	0.0	0.0	0.0	127.9	18.2
H	0.0	0.0	39.4	7.2	47.8	8.4	32.3	20.3	153.0	4.8	8.4	5.4	8.4	1.3	0.0	0.0	289.3	47.4
I	2.4	0.2	31.1	4.8	21.5	3.6	17.9	7.2	22.7	1.2	0.0	0.0	0.0	0.0	0.0	0.0	95.6	17.0
J	0.0	0.0	389.6	22.7	133.8	25.1	0.0	0.0	0.0	0.0	3.6	0.4	0.0	0.0	0.0	0.0	527.0	48.2
Total	26.9	2.0	1405.4	105.3	466.1	76.7	121.9	64.7	214.0	8.0	78.9	16.2	41.9	2.7	6.7	0.5	2361.8	276.1
Moyenne	2.7	0.2	140.5	10.5	46.6	7.7	12.2	6.5	21.4	0.8	7.9	1.6	4.2	0.3	0.7	0.1	236.2	27.6

TABLEAU 241. Résumé des données sur le sexe, la longueur à la fourche, le poids entier, l'âge et la teneur en mercure des grands corégones, des meuniers rouges et des touladis capturés dans le lac Seal, rivière Naskaupi, 10 juillet 1978 (Bruce *et al*. 1979).

Espèce	Sexe	*N*	Longueur moyenne à la fourche (cm)	Poids entier moyen (kg)	Âge moyen (années)	Teneur moyenne en mercure (ppm)	Plage des teneurs en mercure (ppm)
Grand corégone	M	4	41.6	1.04	11.3	0.10	0.09–0.12
	F	1	40.5	0.72	10.0	0.13	—
Total		5	41.4	0.98	11.0	0.11	0.09–0.13
Meunier rouge	M	3	33.8	0.40	9.7	0.08	0.07–0.23
Touladi	M	5	46.3	0.99	12.0	0.35	0.24–0.46
	F	8	63.9	3.12	15.7	0.61	0.31–1.06
Total		13	57.1	2.31	14.2	0.51	0.24–1.06

Rivière Crooked

N° 45, fig. 46

La rivière Crooked a un bassin versant de 2 391 km^2 (tableau 242) et coule vers le sud pour se jeter dans l'extrémité nord-ouest du lac Grand (fig. 67). Le cours inférieur, large et peu profond, a été exploré en canot par Wallace (1907) et Scott (1933) lors de leurs expéditions respectives dans l'intérieur du Labrador. Millan (1974) a estimé à 153 MW le potentiel hydro-électrique de la rivière, ce qui est supérieur au potentiel d'autres cours d'eau dans l'île de Terre-Neuve. Blair (1943) signale la présence de chutes de 15 m au kilomètre 11,2 dans la rivièree Crooked. Au cours de leur étude, Murphy et Porter (1974a) n'ont aperçu aucune chute à cet endroit et ils mentionnent que la seule série de chutes, situées au kilomètre 30,6 peut être facilement franchie par les poissons anadromes (tableau 243). Un échantillon d'eau a été prélevé en 1977, et les résultats des analyses sont résumés dans le tableau 244 (Jamieson 1979).

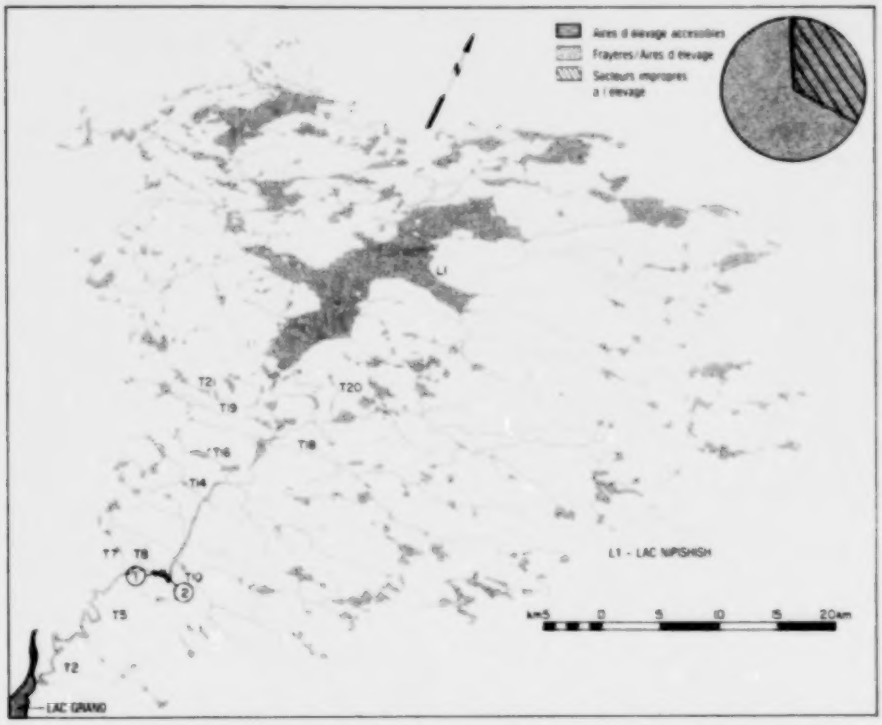

FIG. 67. Carte de la rivière Crooked montrant les aires d'élevage accessibles au tacon du saumon de l'Atlantique.

Murphy et Porter (1974a) indiquent que le cours inférieur de la rivière Crooked, de l'embouchure au kilomètre 23, est large (59 m) et peu profond, et que le substrat est composé principalement de sable. À partir du kilomètre 23 jusqu'à la sortie du lac Nipishish, au kilomètre 55, le fond se compose en alternance et de blocs et de moellons. Des dépôts glaciaires épars ont donné au relief un aspect accidenté sur ces 55 premiers kilomètres qui sont couverts de peuplements d'épinette noire et de sapin baumier. On trouve des lichens et des tourbières dans les zones drainées. Le lac Nipishish, d'une superficie de 10 100 ha (tableau 242) est situé sur un plateau dénudé caractérisé par des affleurements rocheux et des arbres rabougris.

Selon Murphy et Porter (1974a), la zone allant de l'embouchure de la rivière au kilomètre 55 compte près de 16 000 unités d'élevage pour les saumons de l'Atlantique juvéniles (tableau 245). Les tributaires du lac Nipishish comprendraient 10 868 unités d'élevage pour les tacons. On a identifié 20 000 autres unités d'élevage des tacons dans d'autres tributaires.

Étant donné la proximité de la rivière Naskaupi, Murphy et Porter (1974a) ont identifié une faune piscicole similaire dans la rivière Crooked. Dans un premier rapport sur la pêche sportive présenté en 1905, Wallace (1907) signale une abondance d'ombles de fontaine et de saumons landlockés de grande taille (tableau 246). Les relevés sur la pêche sportive de 1964 à 1968 font état de captures d'ombles de fontaine, de touladis et de saumons landlockés (tableau 247). Dans un filet maillant tendu dans le lac Nipishish le 4 août 1977, on a prélevé un échantillon de 4 meuniers noirs, 18 meuniers rouges, 14 ouananiches, 14 ombles de fontaine et 7 ombles arctiques (Bruce *et al.* 1979). Le tableau 248 présente un résumé des données sur la longueur, le poids, le sexe et l'âge de ces poissons.

Le piètre rendement de la pêche sportive et commerciale du saumon dans le lac Grand laisse croire que la production actuelle de la rivière Crooked est inférieure à celle estimée par Murphy et Porter (1974a). L'éloignement de la rivière à l'intérieur des terres et la forte teneur en limon du cours inférieur peuvent nuire à la production de saumons.

TABLEAU 242. Caractéristiques physiques de la rivière Crooked.

Référence cartographique:	Goose Bay 13F Lac Snegamook 13K 1:250 000	Élévation maximale du bassin versant:	427 m
Latitude de l'embouchure:	53°48′N	Longueur réelle de l'axe principal (en suivant les méandres):	48 km
Longitude de l'embouchure:	60°50′W	Longueur totale, y compris des tributaires:	551 km
Direction générale de l'écoulement:	Sud	Nombre de tributaires:	25
Superficie du bassin versant:	2391 km^2	Superficie des lacs > 100 ha:	
Largeur moyenne	31 km	L1 Lac Nipishish	10 100 ha
Longueur de l'axe	76 km		
Périmètre du bassin versant	264 km	Formation géologique:	Gneiss

TABLEAU 243. Obstacles de la rivière Crooked (Murphy et Porter 1974a).

Renvoi à la figure 67	Emplacement	Distance de l'embouchure (km)	Type	Description			Obstacle au passage du poisson
				Hauteur (m)	Largeur (m)	Pente (°)	
1	Axe principal	30,6	Chutes	3,7	30,5	45	Franchissable
2	Axe principal	30,6	Chutes	3,7	30,5	45	Franchissable

TABLEAU 244. Résultats des analyses d'un échantillon d'eau prélevé dans la rivière Crooked, 1977 (Jamieson 1979).

Année	pH	Dureté totale (ppm)	Conductivité spécifique ($\mu S \cdot cm^{-1}$ à 25°C)	Turbidité (UTJ)	Alcalinité totale (ppm)	Calcium (ppm)	Chlorure (ppm)	Bicarbonate (ppm)
1977	6,5	20,0	123,0	0,8	8,0	0,9	33,0	9,8

TABLEAU 245. Résumé des données sur les unités d'élevage et de frai et la production annuelle potentielle estimative de smolts et de saumons de l'Atlantique adultes de la rivière Crooked (Murphy et Porter 1974a). Aucun secteur inaccessible n'y a été repéré.

	Secteurs accessibles	
Emplacement	Unités de frai	Unités d'élevage
Axe principal	99	15 967
T2	0	915
T5	0	915
T7	0	389
T8	0	1 045
T10	34	2 178
T14	0	436
T16	0	364
T18	0	4 016
T19	0	1 037
T20	0	5 558
T21	0	2 608
Tributaires du lac Nipishish	0	10 868
Total	133	46 836
Production estimative		
Smolts	93 672	
Adultes	14 051	

TABLEAU 246. Espèces de poissons capturées dans la rivière Crooked en 1905 (Wallace 1907).

Emplacement	Espèce	Longueur (cm)	Poids (kg)	Tour (cm)
Cours inférieur	Saumon landlocké	69,9	—	29,2
	Saumon landlocké	55,9	—	—
	Saumon landlocké	50,8	—	—
	Omble de fontaine	57,8	—	—
Tributaire du lac Nipishish	Omble de fontaine (87)	—	0,1-1,8	—

TABLEAU 247. Résumé des données sur les prises à la ligne dans le lac Nipishish, rivière Crooked, 1964-1968 (MPO, données inédites).

Année	Omble de fontaine <0,5 kg	Touladi	Saumon landlocké
1964	136	10	60
1965	194	25	50
1966	26	0	0
1967	0	0	0
1968	30	0	0
Total	386	35	110

TABLEAU 248. Résumé des données sur le sexe, la longueur à la fourche, le poids entier, l'âge et la teneur en mercure de meuniers rouges, d'ombles de fontaine, d'ombles arctiques, de meuniers noirs et de ouananiches capturés dans le lac Nipishish, rivière Crooked, le 4 août 1977 (Bruce *et al.* 1979).

Espèce	Sexe	*N*	Longueur moyenne à la fourche (cm)	Poids entier moyen (kg)	Âge moyen (années)	Teneur moyenne en mercure (ppm)	Plage des teneurs en mercure (ppm)
Meunier rouge	M	6	23,2	0,16	8,5	0,12	0,07–0,23
	F	12	23,4	0,17	9,3	0,12	0,08–0,17
Total		18	23,3	0,17	9,0	0,12	0,07–0,23
Omble de	M	8	29,0	0,44	3,6	0,12	0,03–0,41
fontaine	F	6	26,0	0,27	3,6	0,07	0,03–0,20
Total		14	27,7	0,37	3,6	0,10	0,03–0,41
Omble arctique	M	4	27,6	0,21	7,5	0,36	0,28–0,46
	F	3	33,5	0,49	8,5	0,33	0,28–0,39
Total		7	30,1	0,33	8,0	0,35	0,28–0,46
Meunier noir	M	3	31,7	0,43	6,7	0,09	0,08–0,10
	F	1	24,0	0,52	7,0	0,08	—
Total		4	29,8	0,45	6,8	0,09	0,08–0,10
Ouananiche	M	8	27,1	0,26	5,9	0,13	0,03–0,31
	F	6	30,3	0,33	6,7	0,20	0,12–0,26
Total		14	28,5	0,29	6,2	0,16	0,03–0,31

Rivière Sebaskachu *N° 46, fig. 46*

La rivière Sebaskachu coule vers le sud-est et se jette dans la baie Sebaskachu, qui borde le lac Melville (fig. 68). Elle mesure 211 km et comprend un bassin versant de 580 km^2 (tableau 249). Compte tenu du relief peu accidenté du secteur inférieur, la rivière forme plusieurs méandres près de son embouchure. Jusqu'au kilomètre 32, le fond de la rivière se compose principalement de sable et de gravier. Plus en amont, le courant augmente et le substrat se compose de blocs et de moellons. Les terres environnantes sont couvertes d'une forêt dense sauf dans la zone des eaux d'amont où les étangs et les lacs peu profonds sont situés sur un plateau dénudé.

Les rapports divergent quant à la présence d'obstacles à la migration des poissons dans le réseau. Blair (1943) signale la présence de chutes au kilomètre 6,4, lesquelles seraient infranchissables pour les saumons. Il en fait une description détaillée et précise qu'elles mesurent 122 m de long et qu'elles comprennent trois chenaux ceinturant deux îles. Étant donné le grand nombre de dénivellations et de pentes, la vitesse du courant et l'absence de bassins d'eau calme, Blair estime qu'il serait très difficile aux saumons d'escalader ces chutes. Il note également qu'on a vu des madeleineaux et des saumons essayer de franchir les chutes et que la présence d'un charognard mort en aval des chutes prouve que des saumons ont frayé dans ce secteur. Sollows *et al.* (1953) signale la présence de gros rapides au kilomètre 6,4 qui ne constituent pas un gros obstacle pour les saumons. Les membres de son expédition qui remontaient la rivière ont en fait pêché des saumons dans les rapides. Murphy et Porter (1974a) n'ont vu ni rapides ni chutes dans la rivière et ont indiqué que le seul obstacle aux poissons migrateurs était le cours d'eau vaseux, à courant lent et à méandres qui pouvait empêcher le saumon d'atteindre les secteurs supérieurs. T. Curran (comm. pers.) signale la présence d'un obstacle franchissable au kilomètre 6,4. D'après cette information, l'auteur estime que de petits rapides, aperçus exceptionnellement par Blair en période d'étiage, se trouvent à cet endroit. De plus, la pente de la rivière peut avoir diminué à cet endroit sous l'effet de l'érosion. Murphy et Porter (1974a) ont effectué un relevé en hélicoptère et aperçu l'obstacle.

On a signalé la présence de saumons de l'Atlantique et d'ombles de fontaine dans la rivière Sebaskachu. La montaison des gros saumons a lieu entre le début et la fin de juillet, et celle des madeleineaux commence

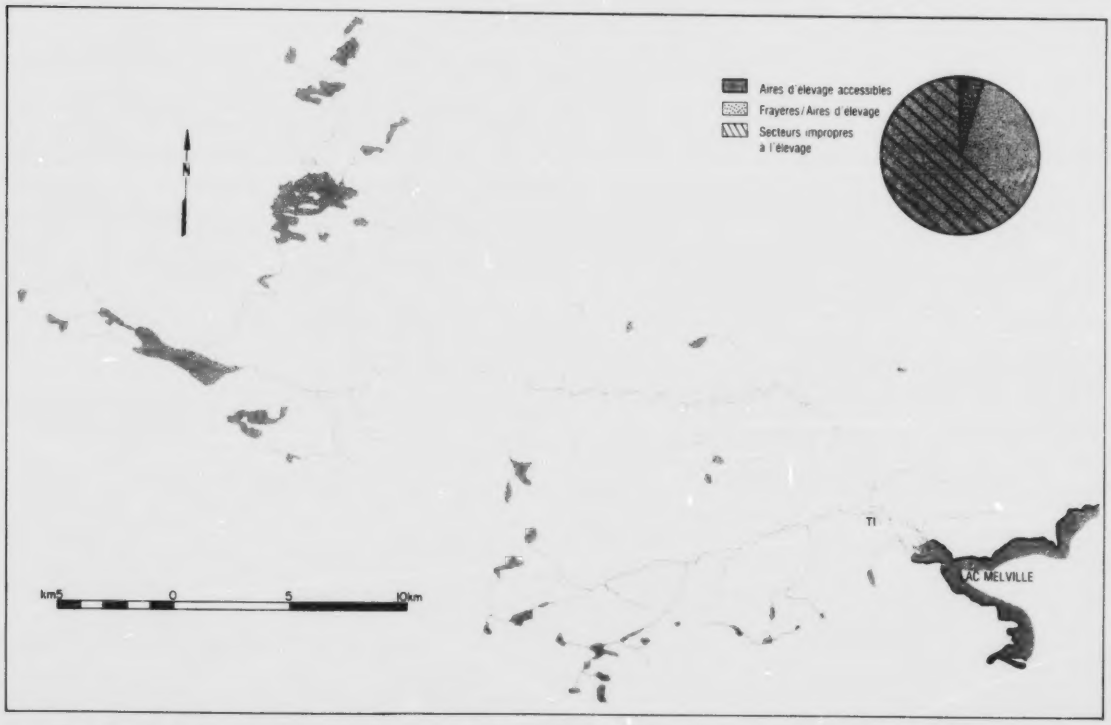

FIG. 68. Carte de la rivière Sebaskachu montrant les aires d'élevage accessibles au tacon du saumon de l'Atlantique.

à la mi-juillet et se termine à la mi-août (Blair 1943). Des estimations, faites d'après la capacité d'élevage de l'axe principal et du tributaire 1 (T1), indiquent que la rivière peut produire 568 saumons de l'Atlantique adultes par année (tableau 250).

TABLEAU 249. Caractéristiques physiques de la rivière Sebaskachu.

Référence cartographique:	Goose Bay 13F 1:250 000	Élévation maximale du bassin versant:	336 m
Latitude de l'embouchure:	53°46′N	Longueur réelle de l'axe principal (en suivant les méandres):	56 km
Longitude de l'embouchure:	60°07′W	Longueur totale, y compris des tributaires:	211 km
Direction générale de l'écoulement:	Sud-est	Nombre de tributaires:	36
Superficie du bassin versant:	580 km^2	Formation géologique:	Gneiss
Largeur moyenne	13 km		
Longueur de l'axe	41 km		
Périmètre du bassin versant	122 km		

TABLEAU 250. Résumé des données sur les unités d'élevage et dc frai et la production annuelle potentielle estimative de smolts et de saumons de l'Atlantique adultes de la rivière Sebaskachu (Murphy et Porter 1974a). Aucun secteur inaccessible n'y a été repéré.

	Secteurs accessibles	
Emplacement	Unités de frai	Unités d'élevage
Axe principal	235	1781
T1	22	112
Total	257	1893
Production estimative		
Smolts	3786	
Adultes	568	

Rivière Mulligan

N° 47, fig. 46

La rivière Mulligan coule vers le sud-est et se jette dans la baie Mulligan, dans le nord du lac Melville (fig. 69). Sollows *et al.* (1953) signalent la présence d'un petit campement abandonné depuis lors à l'embouchure du cours d'eau. Le bassin versant occupe une superficie de 1 062 km^2 (tableau 251).

Le cours inférieur mesure environ 25 m de large en moyenne, serpente sur une plaine plate et coule sur des dépôts de sable et de vase. À l'exception d'arbres sur la rive, la végétation de la région a presque toute été brûlée. À partir du kilomètre 13, des blocs et des moellons composent le lit de la rivière, et le courant devient plus fort. Le tributaire 7 (T7), connu sous le nom de bras West, pénètre dans l'axe principal au kilomètre 19; le reste de l'axe principal est connu dans la région sous le nom de bras North. Deux chutes, l'une dans le bras West, au kilomètre 4,8, et l'autre dans le bras North, au kilomètre 25,8 ont été signalées par Murphy (1972a). Bien qu'aucune ne soit infranchissable, Blair (1943), Sollows *et al.* (1953) et Murphy (1972a) ont tous qualifié d'obstacle majeur la chute située dans le bras North (tableau 252). En amont des chutes, au kilomètre 25,8 la rivière coule parmi des eaux tranquilles et de petits lacs. Les eaux d'amont, situées sur un plateau dénudé au nord du lac Melville, comprend plusieurs gros lacs.

Les espèces de poisson observées dans la rivière Mulligan sont le saumon de d'Atlantique et l'omble de fontaine. Blair (1943) fait état de saumons capturés par des Indiens jusqu'aux chutes du bras North. Sollows *et al.* (1953) signalent que des ombles de fontaine ainsi que des tacons et des alevins de saumons de l'Atlantique ont été vus dans la rivière. Les membres de l'expédition ont capturé plusieurs ombles de fontaine pesant environ 0,9 kg chacun dans le cours inférieur. Murphy (1972a) a estimé que le tiers des 9 902 unités d'élevage accessibles aux saumons de l'Atlantique juvéniles se trouvait dans les tributaires 7 et 14, et le reste, dans l'axe principal (tableau 253). Rien n'indique que la production annuelle actuelle de saumons de l'Atlantique adultes corresponde à la production potentielle estimée par Murphy (1972a), soit 2 971 poissons. La présence de chutes dans l'axe principal pourrait être un facteur limitant pour les populations de poissons anadromes de la rivière.

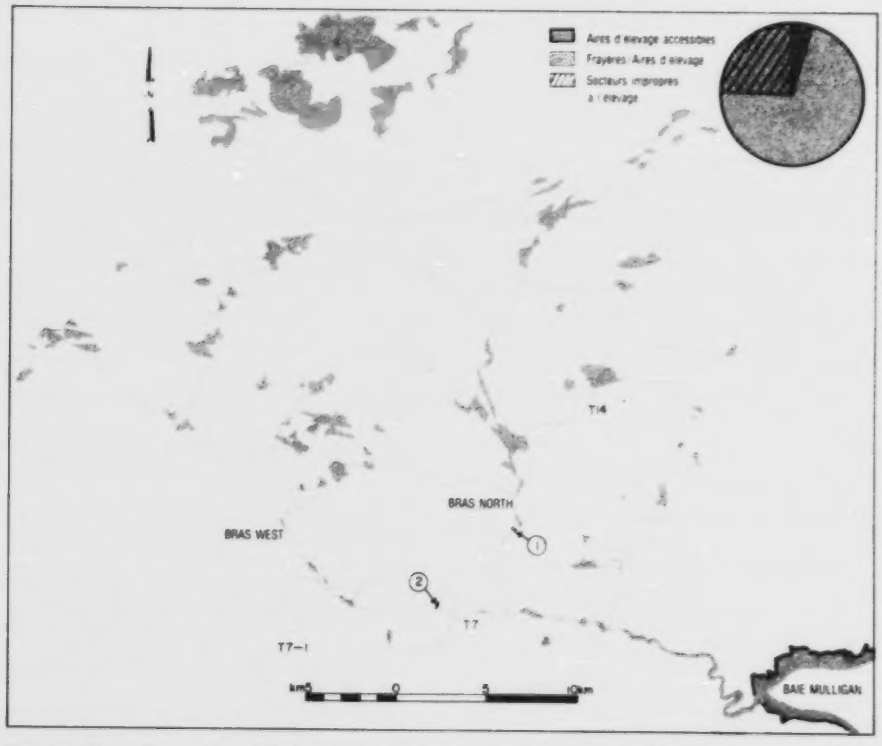

FIG. 69. Carte de la rivière Mulligan montrant les aires d'élevage accessibles au tacon du saumon de l'Atlantique.

TABLEAU 251. Caractéristiques physiques de la rivière Mulligan.

Référence cartographique:	Goose Bay 13F Lac Melville 13G Rigolet 13J Lac Snegamook 13K 1:250 000	Élévation maximale du bassin versant:	366 m
Latitude de l'embouchure:	53°49′N	Longueur réelle de l'axe principal (en suivant les méandres):	68 km
Longitude de l'embouchure:	59°54′W	Longueur totale, y compris des tributaires:	229 km
Direction générale de l'écoulement:	Sud-est	Nombre de tributaires:	30
Superficie du bassin versant:	1062 km^2	Formation géologique:	Gneiss, roches volcaniques et sédiments précambriens
Largeur moyenne	20 km		
Longueur de l'axe	45 km		
Périmètre du bassin versant	143 km		

TABLEAU 252. Obstacles de la rivière Mulligan (Murphy 1972a).

Renvoi à la figure 69	Emplacement	Distance de l'embouchure (km)	Type	Description			Obstacle au passage du poisson
				Hauteur (m)	Largeur (m)	Pente (°)	
1	Axe principal	25,8	Chutes	4,6	6,1	—	Franchissable
2	T7	4,8	Chutes	1,8	—	—	Franchissable

TABLEAU 253. Résumé des données sur les unités d'élevage et de frai et la production annuelle potentielle estimative de smolts et de saumons de l'Atlantique adultes de la rivière Mulligan (Murphy 1972a). Aucun secteur inaccessible n'y a été repéré.

	Secteurs accessibles	
Emplacement	Unités de frai	Unités d'élevage
Axe principal	286	6 316
T7	283	2 822
T7-1	0	240
T14	0	524
Total	569	9 902
Production estimative		
Smolts		19 804
Adultes		2 971

Rivière Double Mer

N° 48, fig. 46

La rivière Double Mer se jette dans l'extrémité ouest d'un long et étroit inlet du lac Melville connu sous le nom de Double Mer (fig. 70). La région est assez isolée; l'agglomération la plus proche, Rigolet, se trouve à 75 km à l'est.

L'axe principal de la rivière Double Mer est alimenté par 23 tributaires; la longueur totale de l'axe principal et des tributaires est de 225 km (tableau 254). Le bassin versant a une superficie de 1 425 km^2. Une grosse île se trouve au milieu de l'estuaire et le cours inférieur, qui mesure 60 m de large en moyenne, est parsemé de barres de sable. Les rives sont couvertes principalement par des aulnes et des saules, la majorité de la flore de conifères ayant été détruite en 1967 par un gros incendie de forêt. Les rives s'élèvent brusquement à 6 km de l'embouchure. Le premier de deux obstacles mineurs se trouve au kilomètre 9,7 (tableau 255), le deuxième, au kilomètre 22,5. Plus en amont, la pente diminue et la rivière traverse des terres ondulées à faible inclinaison. Les eaux d'amont sont constituées d'un labyrinthe de nappes d'eau tranquille et de lacs étroits entremêlés de tourbières cordées et d'eskers.

Depuis toujours, l'omble de fontaine est pêché dans le cours inférieur et sert d'aliment soit pour les hommes, soit pour les chiens (Association inuit du Labrador 1977). La rivière est désignée pour la pêche sportive au saumon de l'Atlantique, bien que l'omble de fontaine semble être l'espèce prédominante. La pêche sportive de l'omble de fontaine anadrome, pratiquée sur les hauts-fonds sablonneux à l'embouchure de la rivière Double Mer, est excellente, et le personnel du MPO stationné à Goose Bay signale que les pêcheurs font généralement mouche à tout coup. Le tableau 256 présente un résumé des données sur les prises à la ligne connues d'ombles de fontaine anadromes (1967–1976) effectuées dans l'inlet Double Mer. Les prises réelles sont peut-être bien supérieures à ces chiffres, car les prises d'un grand nombre de pêcheurs ne sont pas enregistrées (T. Curran, comm. pers.). Une étude sur la pêche au filet maillant (maille de 10,2 cm) et à la ligne faite par le personnel itinérant du MPO au début d'octobre 1968 dans le cours inférieur de la rivière Double Mer révèle que l'omble de fontaine anadrome est l'espèce prédominante. Un saumon seulement a été capturé (tableau 257). Un filet maillant tendu dans l'inlet Double Mer le 3 août 1977 a pris 4 grands corégones, 66 ombles de fontaine et 11 ombles arctiques (Bruce *et al.* 1979). Le tableau 258 présente un résumé des données sur la longueur, le poids, le sexe et l'âge de ces poissons. En 1978, pendant dix jours, des pêcheurs à la ligne ont tenté de capturer des saumons, mais en vain (Moores et Tucker 1979).

Les aires d'élevage et de frai du saumon de l'Atlantique, relevées par Murphy (1972a), sont distribuées sur l'axe principal et dans sept tributaires (fig. 70). Le tableau 259 résume le potentiel d'élevage. Sur un total de 19 502 unités d'élevage, la production annuelle estimative de saumons de l'Atlantique adultes serait de 5 851 poissons. Le nombre limité de saumons capturés à la ligne laisse supposer que la production actuelle est inférieure à celle estimée par Murphy (1972a).

TABLEAU 254. Caractéristiques physiques de la rivière Double Mer.

Référence cartographique:	Rigolet 13J 1:250 000	Élévation maximale du bassin versant:	366 m
Latitude de l'embouchure:	54°03′N	Longueur réelle de l'axe principal (en suivant les méandres):	64 km
Longitude de l'embouchure:	59°40′W	Longueur totale, y compris des tributaires:	225 km
Direction générale de l'écoulement:	Sud-est	Nombre de tributaires:	23
Superficie du bassin versant:	1425 km^2	Formation géologique:	Gneiss
Largeur moyenne	22 km		
Longueur de l'axe	53 km		
Périmètre du bassin versant	216 km		

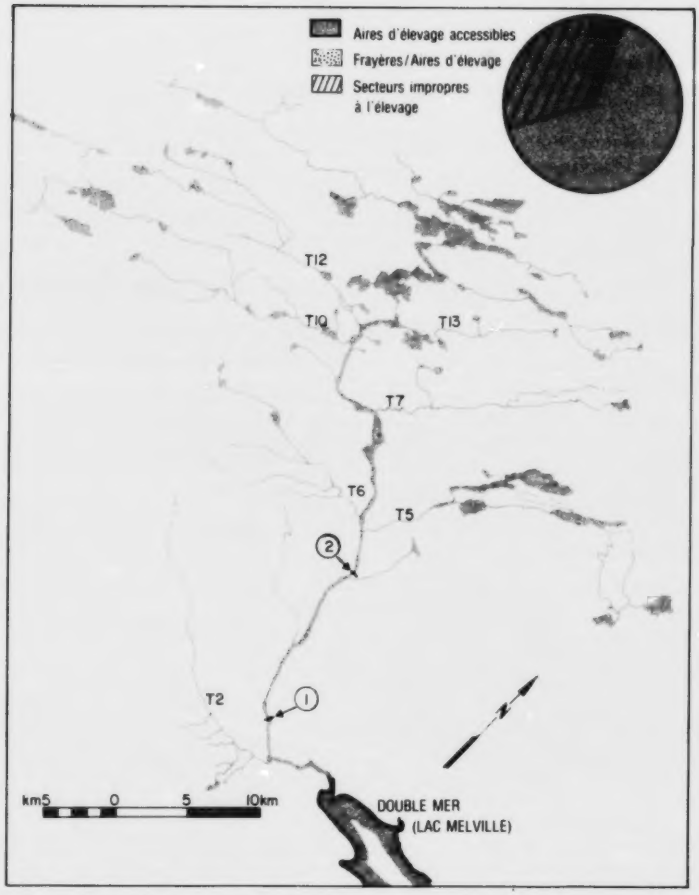

FIG. 70. Carte de la rivière Double Mer montrant les aires d'élevage accessibles au tacon du saumon de l'Atlantique.

TABLEAU 255. Obstacles de la rivière Double Mer (Murphy 1972a).

Renvoi à la figure 70	Emplacement	Distance de l'embouchure (km)	Type	Description			Obstacle au passage du poisson
				Hauteur (m)	Largeur (m)	Pente (°)	
1	Axe principal	9,7	Chutes	—	—	—	Franchissable
2	Axe principal	22,5	Chutes	—	—	—	Franchissable

TABLEAU 256. Résumé des données sur les prises à la ligne d'ombles de fontaine anadromes, Double Mer, 1967-1976 (MPO, données inédites). Les données ne tiennent compte que des prises connues et peuvent être sous-estimées (voir texte).

Année	Poids (kg)				Poids inconnu	Total
	<0,5	>0,5	<0,9	0,9-1,8		
1967	200	150	—	—	0	350
1968	250	200	—	—	0	450
1969	—	—	2500	0	0	2500
1970	—	—	1500	0	0	1500
1971	—	—	300	0	0	300
1972	—	—	100	25	0	125
1973	—	—	100	25	0	125
1974	—	—	150	50	0	200
1975	—	—	—	—	—	—
1976	—	—	—	—	57	57
Total	450	350	4650	100	57	5607

TABLEAU 257. Spécimens capturés à la ligne et au filet maillant à maille de 10,2 cm du 7 au 9 octobre 1968 dans la rivière Double Mer (MPO, données inédites).

Date	Méthode d'échantillonnage	Espèces	Longueur (cm)	Poids (kg)
7 octobre	Ligne	Omble de fontaine anadrome (6)	—	0,2-0,9
	Filet maillant	Omble de fontaine anadrome (3)	—	0,9-1,1
	Filet maillant	Omble de fontaine anadrome (1)	55,9	—
8 octobre	Filet maillant	Omble de fontaine anadrome (1)	—	1,1
	Filet maillant	Omble de fontaine anadrome (1)	—	1,6
	Filet maillant	Saumon de l'Atlantique (1)	—	2,0
9 octobre	?	Omble de fontaine anadrome (1)	53,3	1,6
	?	Omble de fontaine anadrome (1)	44,5	0,9
	Ligne	Omble de fontaine anadrome (24)	—	—
	Ligne	Omble de fontaine anadrome (6)	—	0,5-1,5

TABLEAU 258. Résumé des données sur le sexe, la longueur à la fourche, l'âge et la teneur en mercure de grands corégones, d'ombles de fontaine et d'ombles arctiques capturés dans la rivière Double Mer, 3 août 1977 (Bruce *et al.* 1979).

Espèce	Sexe	*N*	Longueur moyenne à la fourche (cm)	Âge moyen (années)	Teneur moyenne en mercure (ppm)	Plage des teneurs en mercure (ppm)
Grand corégone	M	2	37,7	8,5	0,08	0,07-0,08
	F	2	38,0	7,5	0,11	0,06-0,15
Total		4	37,8	8,0	0,09	0,06-0,15
Omble de fontaine	M	34	25,0	3,7	0,03	0,01-0,09
	F	32	27,2	3,8	0,04	0,01-0,10
Total		66	26,0	3,7	0,04	0,01-0,10
Omble arctique	M	7	28,0	7,3	0,04	0,02-0,08
	F	4	25,6	6,0	0,02	0,01-0,04
Total		11	27,1	6,8	0,04	0,01-0,08

TABLEAU 259. Résumé des données sur les unités d'élevage et de frai et la production annuelle potentielle estimative de smolts et de saumons de l'Atlantique adultes de la rivière Double Mer (Murphy 1972a). Aucun secteur inaccessible n'y a été repéré.

	Secteurs accessibles	
Emplacement	Unités de frai	Unités d'élevage
Axe principal	1 039	11 903
T2	157	466
T5	0	576
T6	0	407
T7	97	483
T10	290	2 608
T12	0	1 610
T13	0	1 449
Total	1 583	19 502
Production estimative		
Smolts	39 004	
Adultes	5 851	

Rivière 49 (sans nom) *N° 49, fig. 46*

La rivière coule vers le sud-ouest et se déverse dans l'extrémité ouest de l'inlet Double Mer (fig. 71). Murphy (1972a) signale que le bassin versant inférieur est densément boisé et que la zone dénudée des eaux d'amont est parsemée d'eskers et de parcelles boisées.

La rivière, alimentée par 17 tributaires, draine une superficie de 855 km^2 (tableau 260). Selon Murphy (1972a), les obstacles à la migration des poissons situés aux kilomètres 4,8 et 25,8 ont peu d'effet sur les poissons anadromes migrateurs (tableau 261). La capacité d'élevage de l'axe principal et des sept tributaires, estimée par Murphy (1972a), serait de 18 635 unités (tableau 262). La production annuelle potentielle de saumons adultes a été évaluée à 5 591 poissons (Murphy 1972a). Comme pour la rivière Double Mer (rivière n° 48), ce chiffre semble être surestimé, compte tenu de l'absence de pêche sportive. D'après l'auteur, cette rivière, comme la rivière Double Mer, abrite un grand nombre d'ombles de fontaine et la population de saumons de l'Atlantique ne représente qu'une faible part de la population de poissons.

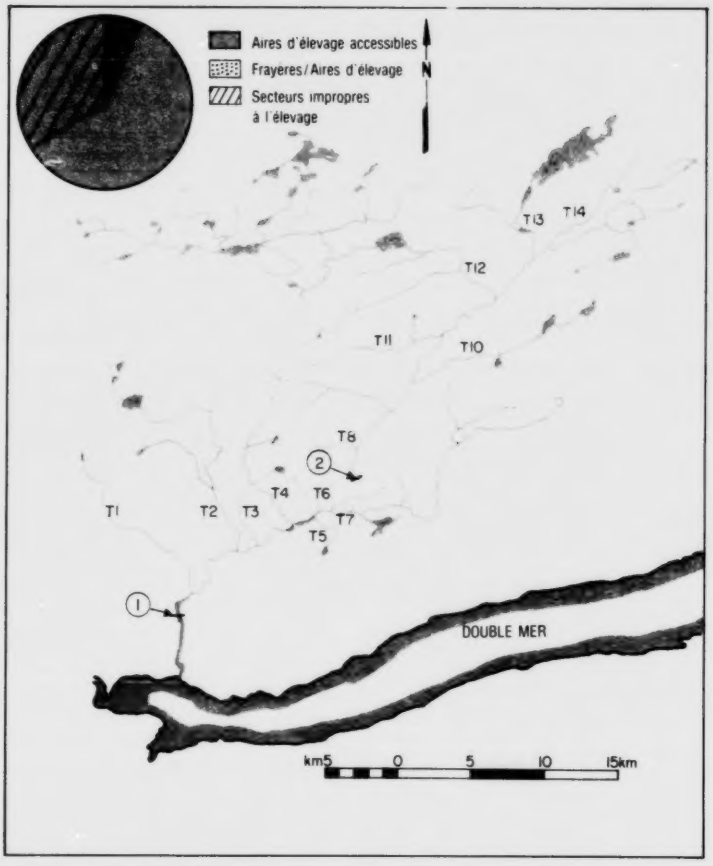

FIG. 71. Carte de la rivière 49 (sans nom) montrant les aires d'élevage accessibles au tacon du saumon de l'Atlantique.

TABLEAU 260. Caractéristiques physiques de la rivière 49.

Référence cartographique:	Rigolet 13J 1:250 000	Élévation maximale du bassin versant:	488 m
Latitude de l'embouchure:	54°03′N	Longueur réelle de l'axe principal (en suivant les méandres):	64 km
Longitude de l'embouchure:	59°35′W	Longueur totale, y compris des tributaires:	209 km
Direction générale de l'écoulement:	Sud-ouest	Nombre de tributaires:	17
Superficie du bassin versant:	855 km²	Formation géologique:	Gneiss et roches volcaniques du Précambrien
Largeur moyenne	16 km		
Longueur de l'axe	51 km		
Périmètre du bassin versant	184 km		

TABLEAU 261. Obstacles de la rivière 49 (Murphy 1972a).

Renvoi à la figure 71	Emplacement	Distance de l'embouchure (km)	Type	Description			Obstacle au passage du poisson
				Hauteur (m)	Largeur (m)	Pente (°)	
1	Axe principal	4,8	Chutes	—	—	—	Franchissable
2	Axe principal	25,8	Chutes	—	—	—	Franchissable

TABLEAU 262. Résumé des données sur les unités d'élevage et de frai et la production annuelle potentielle estimative de smolts et de saumons de l'Atlantique adultes de la rivière 49 (Murphy 1972a). Aucun secteur inaccessible n'y a été repéré.

	Secteurs accessibles	
Emplacement	Unités de frai	Unités d'élevage
Axe principal	838	13 567
T1, T2, T10, T11, T12, T13, T14	1 014	5 068
Total	1 852	18 635
Production estimative		
Smolts	37 270	
Adultes	5 591	

Ruisseau Tom Luscombe *N° 50, fig. 46*

Le ruisseau Tom Luscombe coule vers l'est et se déverse dans un inlet peu profond, dans la partie nord de la baie Groswater (fig. 72). L'agglomération la plus proche, Rigolet, se trouve à 35 km à l'est. On accède difficilement au ruisseau par bateau et par avion en raison de l'estran situé à l'embouchure du cours d'eau qui s'étend vers la mer sur près de 8 km.

Le ruisseau Tom Luscombe draine une superficie de 1 010 km^2 et mesure 359 km de long au total (tableau 263). À son embouchure, le cours d'eau est large, peu profond et tranquille. Peet (1971) signale que l'effet des marées se fait sentir sur plusieurs kilomètres en amont et qu'à marée haute, un petit bateau peut remonter le cours d'eau sur 8 km. Dans ce tronçon, le ruisseau mesure de 60 à 90 m de large; les rives et le lit du ruisseau sont composés de sable, de vase et de gravier. Le premier obstacle à la migration des poissons, de petits rapides, se trouve au kilomètre 8,0 (tableau 264). Puis, en amont, le ruisseau se rétrécit pour atteindre 30 à 60 m de large, et le substrat est constitué de blocs et de moellons.

Au kilomètre 12,1, d'autres petits rapides font légèrement obstacle aux poissons migrateurs. En amont, le ruisseau traverse des terres assez plates et comprend des étendues d'eau tranquille et de petites îles. Il se divise au kilomètre 21 et draine un réseau de petits étangs et d'étendues d'eau tranquille à l'ouest. Le tributaire 6 (T6) se jette dans l'axe principal au kilomètre 21 et alimente presque tout le nord du bassin versant. Au kilomètre 1,3 dans le tributaire 6, on remarque plusieurs petites chutes et petits rapides qui, selon Peet (1971), peuvent être franchis par les poissons migrateurs (tableau 264). Un échantillon d'eau a été prélevé dans le ruisseau en 1976; les résultats des analyses sont présentés dans le tableau 265 (Jamieson 1979).

Le ruisseau Tom Luscombe est désigné pour la pêche sportive au saumon de l'Atlantique, mais il existe peu de données sur la taille ou la composition de la population de poissons. Peet (1971), après analyse des données provenant d'une échelle à poissons dans le ruisseau Middle (rivière n° 52), estime qu'en raison de la proximité des deux cours d'eau et de la similarité de leurs bassins versants, les espèces de poissons seraient similaires. Le ruisseau Tom Luscombe abriterait donc des ombles arctiques, des ombles de fontaine anadromes et quelques madeleineaux de saumon de l'Atlantique. On ne possède aucune donnée sur la pêche sportive.

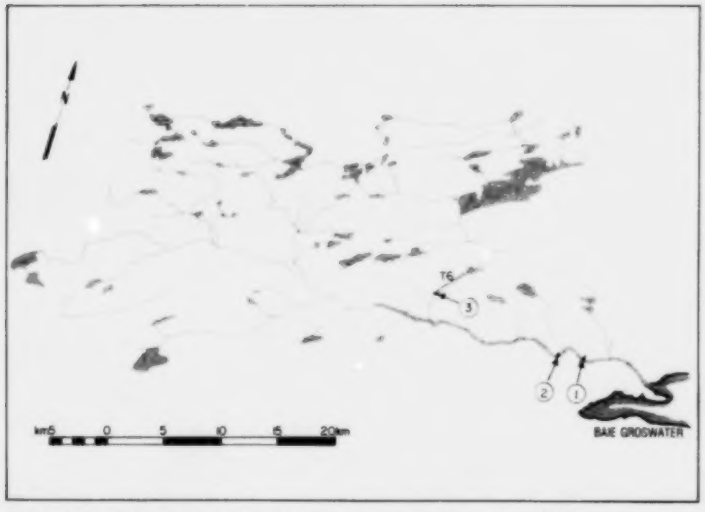

FIG. 72. Carte du ruisseau Tom Luscombe montrant les aires d'élevage accessibles au tacon du saumon de l'Atlantique.

L'Association inuit du Labrador (1977) signale que le cours inférieur du ruisseau constitue un lieu de pêche traditionnel à l'omble arctique et à l'omble de fontaine en hiver. Peet (1971) mentionne également que la baie Groswater est un lieu propice à la pêche commerciale au saumon et, en 1967, plusieurs pêcheurs exploitaient des fonds de pêche dans la baie peu profonde située à l'embouchure du ruisseau. Peet a recueilli des preuves de braconnage, notamment des pieux servant à maintenir en place des filets à l'embouchure du ruisseau, et fait mention de problèmes de braconnage signalés par le personnel du MPO. Des jeunes phoques communs (*Phoca vitulina*) passent l'hiver et se reproduisent dans le cours inférieur du ruisseau et constituent sans aucun doute des prédateurs pour les populations de poissons (Association inuit du Labrador 1977).

TABLEAU 263. Caractéristiques physiques du ruisseau Tom Luscombe.

Référence cartographique:	Rigolet 13J 1:250 000	Élévation maximale du bassin versant:	336 m
Latitude de l'embouchure:	54°21′N	Longueur réelle de l'axe principal (en suivant les méandres):	63 km
Longitude de l'embouchure:	58°14′W	Longueur totale, y compris des tributaires:	359 km
Direction générale de l'écoulement:	Est	Nombre de tributaires:	16
Superficie du bassin versant:	1010 km^2	Formation géologique:	Gneiss
Largeur moyenne	17 km		
Longueur de l'axe	56 km		
Périmètre du bassin versant	164 km		

TABLEAU 264. Obstacles du ruisseau Tom Luscombe (Peet 1971).

Renvoi à la figure 72	Emplacement	Distance de l'embouchure (km)	Type	Description			Obstacle au passage du poisson
				Hauteur (m)	Largeur (m)	Pente (°)	
1	Axe principal	8,0	Rapides	—	—	—	Franchissable
2	Axe principal	12,1	Rapides	—	—	—	Franchissable
3	T6	1,3	Rapides et chutes	—	—	—	Franchissable

TABLEAU 265. Résultats des analyses d'un échantillon d'eau prélevé dans le ruisseau Tom Luscombe, 1976 (Jamieson 1979).

Année	pH	Dureté totale (ppm)	Conductivité spécifique ($\mu S \cdot cm^{-1}$ à 25°C)	Turbidité (UTJ)	Alcalinité totale (ppm)	Calcium (ppm)	Chlorure (ppm)	Bicarbonate (ppm)
1976	6,1	6,0	20,0	1,0	2,0	1,0	3,0	2,4

Ruisseau West

N° 51, fig. 46

Le ruisseau West coule vers le sud-est et se déverse dans un inlet peu profond, dans le nord de la baie Groswater (fig. 73). Il forme, avec le ruisseau Middle (rivière n° 52), le réseau connu localement sous le nom de Double Brook, bien que les deux cours d'eau aient des embouchures et des bassins versants distincts.

Le ruisseau West a un bassin versant de 149 km^2 et mesure 66 km de long, y compris l'axe principal et les tributaires (tableau 266). À l'embouchure, il mesure environ 25 m de large. Le cours inférieur serpente sur une plaine marécageuse et plate, et le substrat est formé de blocs, de moellons et de gravier grossier (Peet 1971). À 8 km en amont, le relief devient accidenté et le débit devient beaucoup plus fort. Il n'y a toutefois aucun obstacle à la migration des poissons. Le couvert forestier est rare dans le bassin versant sauf près de la rive où croissent des peuplements d'aulnes et de saules.

L'Association inuit du Labrador (1977) mentionne que l'omble arctique est pêché depuis toujours dans le cours inférieur du ruisseau West et fait partie du régime des chiens. Une maison abandonnée à l'embouchure du ruisseau indique que l'endroit fut peut-être un poste de pêche au saumon ou à l'omble.

En 1967, Peet (1971) a installé une barrière de comptage dans le ruisseau West pour dénombrer les poissons migrateurs. La barrière, située à 0,5 km de l'embouchure du ruisseau, a fonctionné du 24 juillet au 27 août 1967. Pendant cette période, 14 madeleineaux de saumon de l'Atlantique, 1 gros saumon, 34 ombles arctiques et 219 ombles de fontaine anadromes ont été capturés (tableau 267). L'échantillonnage d'ombles de fontaine anadromes révèle que la longueur moyenne à la fourche est de 36,50 cm et le poids moyen, 701,40 g (tableau 268). Au total, 26 ombles arctiques mesuraient 31,68 cm en moyenne à la fourche, et 8 ombles arctiques, dont la longueur à la fourche variait de 33,0 à 62,8 cm, pesaient en moyenne 1 143,75 g (tableau 269). Le tableau 270 montre la distribution des saumons de l'Atlantique capturés à cet endroit selon la longueur à la fourche, le poids et l'âge.

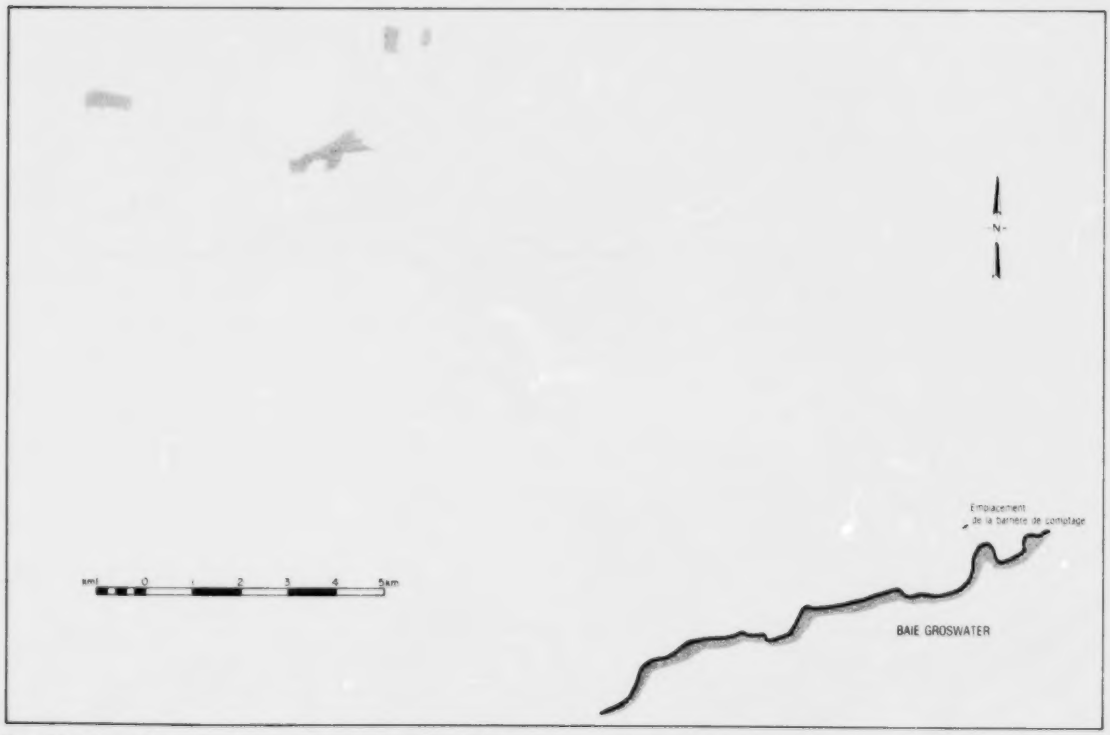

FIG. 73. Carte du ruisseau West montrant les aires d'élevage accessibles au tacon du saumon de l'Atlantique.

TABLEAU 266. Caractéristiques physiques du ruisseau West.

Référence cartographique:	Rigolet 13J 1:250 000	Élévation maximale du bassin versant:	214 m
Latitude de l'embouchure:	54°23′N	Longueur réelle de l'axe principal (en suivant les méandres):	26 km
Longitude de l'embouchure:	58°06′W	Longueur totale, y compris des tributaires:	66 km
Direction générale de l'écoulement:	Sud-est	Nombre de tributaires:	5
Superficie du bassin versant:	149 km^2	Formation géologique:	Gneiss
Largeur moyenne	6 km		
Longueur de l'axe	22 km		
Périmètre du bassin versant	55 km		

TABLEAU 267. Nombres hebdomadaires de poissons migrateurs remontant le ruisseau West, 1967. Piège situé à 0,5 km de l'embouchure. Mortalités entre parenthèses (Peet 1971).

Semaine se terminant le	Madeleineau <2,7 kg	Grand saumon ≥2,7 kg	Omble arctique	Omble de fontaine anadrome	Total
30 juillet	0	0	0	4(1)	4(1)
6 août	8	0	6	109	123
13 août[a]	1	1(1)	1	29	32(1)
20 août	2	0	1	25	28
27 août	3	0	26(5)	52(8)	81(13)
Total	14	1(1)	34(5)	219(9)	268(15)

[a] Piège retiré le 13 août.

TABLEAU 268. Distribution selon la longueur à la fourche et le poids de l'omble de fontaine migrateur remontant le ruisseau West, 1967 (Peet 1971).

Longueur		Poids	
Limites des classes (cm)	Fréquence	Limites des classes (g)	Fréquence
17,95–20,44	2	5–144	2
20,45–22,94	7	145–284	16
22,95–25,44	20	285–424	14
25,45–27,94	6	425–564	21
27,95–30,44	15	565–704	17
30,45–32,94	14	705–844	23
32,95–35,44	17	845–984	17
35,45–37,94	15	985–1124	10
37,95–40,44	39	1125–1264	8
40,45–42,94	22	1265–1404	2
42,95–45,44	14	1405–1544	1
45,45–47,94	13	1545–1684	0
47,95–50,44	5	1685–1824	2
50,45–52,94	4	1825–1964	2
52,95–55,44	2		
Total	195		135
Longueur moyenne = 36,50 cm Écart type = 7,96 cm		Poids moyen = 701,40 g Écart type = 363 g	

TABLEAU 269. Distribution selon la longueur à la fourche et le poids de l'omble arctique migrateur remontant le ruisseau West, 1967 (Peet 1971).

Longueur à la fourche (cm)	Fréquence	Poids (g)	Fréquence
20,3	2	—	—
22,7	2	—	—
23,3	1	—	—
23,7	2	—	—
25,4	1	—	—
25,6	1	—	—
26,3	1	—	—
26,5	1	—	—
27,2	1	—	—
27,9	3	—	—
29,4	1	—	—
29,7	1	—	—
33,0	1	440	1
37,5	1	560	1
38,4	1	740	1
39,1	1	680	1
43,3	1	950	1
43,4	1	1110	1
46,5	1	1400	1
49,2	1	—	—
62,8	1	3270	1
Total	26		8
Longueur moyenne à la fourche = 31,68 cm Écart type = 10,44 cm		Poids moyen = 1143,75 g Écart type = 913,34 g	

TABLEAU 270. Distribution selon la longueur à la fourche, le poids et l'âge du saumon de l'Atlantique remontant le ruisseau West, 1967 (Peet 1971).

Longueur à la fourche (cm)	Fréquence (*f*)	Poids (g)	*f*	Âge total (années)	Eau douce (années)	Mer (années)	*f*
41,3	1	—	—	5+	4	1	1
48,0	1	—	—	6+	5	1	1
48,7	1	1210	1	—	—	—	—
49,4	1	1240	1	—	—	—	—
50,6	1	1380	1	—	—	—	—
50,9	1	1310	1	—	—	—	—
51,1	1	1530	1	4+	3	1	1
52,4	1	—	—	6+	5	1	1
53,1	1	1630	1	5+	4	1	1
53,8	1	1540	1	—	—	—	—
54,3	1	—	—	4+	3	1	1
54,9	1	1710	1	—	—	—	—
56,6	1	1880	1	—	—	—	—
56,9	1	—	—	5+	4	1	1
57,2	1	1990	1	4+	3	1	1
71,7	1	3440	1	7+	5	2	1
Total	16		11				9

Ruisseau Middle

N° 52, fig. 46

Le ruisseau Middle coule vers le sud et se jette dans le nord de la baie Groswater (fig. 74). À 1 km à l'ouest se trouve le ruisseau West (cours d'eau n° 51), l'une des composantes du réseau Double Brook. Les deux cours d'eau drainent un relief similaire décrit dans la section consacrée au ruisseau West.

L'embouchure du ruissseau Middle est divisée par une grande île. Le chenal est, large d'environ 35 m, forme l'axe principal tandis que le chenal ouest s'assèche presque totalement en juillet et en août. Jusqu'au kilomètre 10, le substrat se compose surtout de blocs, de moellons et de gravier grossier (Peet 1971). Plusieurs chutes et rapides ont été aperçus dans ce tronçon par Peet, mais aucun ne fait vraiment obstacle à la migration des poissons. En amont du kilomètre 10, la rivière mesure de 9 à 15 m de large et comprend des frayères à fond de gravier au kilomètre 15. L'axe principal est alimenté par 11 tributaires (tableau 271), mais ne compte aucune aire de frai ou d'élevage importante pour le saumon de l'Atlantique.

En raison de l'éloignement du cours d'eau et de son accès difficile, les pêcheurs à la ligne n'ont jamais été nombreux (T. Curran, comm. pers.). Il n'existe aucun relevé sur la pêche sportive. Peet (1971) mentionne avoir enlevé deux filets à saumon tendus illégalement à des fins commerciales en 1967 près de l'embouchure. Avant l'apparition des motoneiges, on pêchait l'omble arctique dans le cours inférieur pour nourrir les chiens (Association inuit du Labrador 1977).

Une barrière de comptage a été installée en 1967 au kilomètre 0,5 pour dénombrer les poissons migrateurs (Peet 1971). La barrière a fonctionné du 17 juillet au 27 août et a permis de dénombrer 115 madeleineaux de saumon de l'Atlantique, 9 gros saumons, 10 ombles de fontaine dulçaquicoles, 1 148 ombles de fontaine anadromes et 664 ombles arctiques (tableau 272). Dans un échantillon de plus de 850 ombles de fontaine andromes, la longueur moyenne à la fourche était de 39,5 cm, et le poids moyen, de 689 g (tableau 273). Dans un échantillon de 574 ombles arctiques, la longueur moyenne à la fourche était de 41,9 cm, et le poids moyen, de 1 161 g (tableau 274). L'âge de 182 ombles arctiques variait de 2 à 10 ans, dont 44,5 % de 5 à 6 ans (tableau 275). Dans un échantillon de 83 saumons de l'Atlantique adultes, la longueur à la fourche variait de 43,95 à 73,94 cm, et le rapport de masculinité était de 54 M:29 F (tableau 276).

TABLEAU 271. Caractéristiques physiques du ruisseau Middle.

Référence cartographique:	Rigolet 13J 1:250 000	Élévation maximale du bassin versant:	275 m
Latitude de l'embouchure:	54°23'N	Longueur réelle de l'axe principal (en suivant les méandres):	40 km
Longitude de l'embouchure:	58°05'W	Longueur totale, y compris des tributaires:	156 km
Direction générale de l'écoulement:	Sud	Nombre de tributaires:	11
Superficie du bassin versant:	323 km²	Formation géologique:	Gneiss
Largeur moyenne	14 km		
Longueur de l'axe	27 km		
Périmètre du bassin versant	97 km		

FIG. 74. Carte du ruisseau Middle montrant les aires d'élevage accessibles au tacon du saumon de l'Atlantique.

TABLEAU 272. Nombres hebdomadaires de poissons migrateurs remontant le ruisseau Middle, 1967. Parc en filet situé à 0,5 km de l'embouchure. Mortalités entre parenthèses (Peet 1971).

Semaine se terminant le	Madeleineau <2,7 kg	Grand saumon ≥2,7 kg	Omble de fontaine		Omble arctique	Total
			Dulçaquicole	Anadrome		
23 juillet	7	1	3	9	32(1)	52(1)
30 juillet[a]	4	0	6	27	35	72
6 août	45	5	1	383(6)	195(2)	629(8)
13 août[b]	41	3	0	269(19)	144(4)	457(23)
20 août	13	0	0	215(77)	179(24)	407(101)
27 août	5	0	0	245(91)	79(40)	329(131)
Total	115	9	10	1148(193)	664(71)	1946(264)

[a] Effondrement partiel de la barrière de comptage, 24–27 juillet.
[b] Parc en filet retiré le 13 août.

TABLEAU 273. Distribution selon la longueur à la fourche et le poids de l'omble de fontaine migrateur remontant le ruisseau Middle, 1967 (Peet 1971).

Longueur		Poids	
Limites des classes (cm)	Fréquence	Limites des classes (g)	Fréquence
17,95–20,44	12	5–144	53
20,45–22,94	31	145–284	133
22,95–25,44	39	285–424	111
25,45–27,94	66	425–564	100
27,95–30,44	63	565–704	87
30,45–32,94	77	705–844	73
32,95–35,44	76	845–984	81
35,45–37,94	69	985–1124	57
37,95–40,44	99	1125–1264	55
40,45–42,94	92	1265–1404	35
42,95–45,44	72	1405–1544	32
45,45–47,94	78	1545–1684	22
47,95–50,44	49	1685–1824	8
50,45–52,94	16	1825–1964	1
52,95–55,44	9	1965–2104	2
55,45–57,94	3	2105–2244	2
Total	851		852
Longueur moyenne = 39,50 cm Écart type = 8,34 cm		Poids moyen = 689,0 g Écart type = 439,4 g	

TABLEAU 274. Distribution selon la longueur à la fourche et le poids de l'omble arctique migrateur remontant le ruisseau Middle, 1967 (Peet 1971).

Longueur		Poids	
Limites des classes (cm)	Fréquence	Limites des classes (g)	Fréquence
17,95–21,94	22	0–324,94	127
21,95–25,94	29	324,95–649,94	137
25,95–29,94	77	649,95–974,94	61
29,95–33,94	73	974,95–1299,94	39
33,95–37,94	60	1299,95–1624,94	37
37,95–41,94	53	1624,95–1949,94	38
41,95–45,94	36	1949,95–2274,94	38
45,95–49,94	40	2274,95–2599,94	40
49,95–53,94	55	2599,95–2924,94	20
53,95–57,94	50	2924,95–3249,94	17
57,95–61,94	41	3249,95–3574,94	6
61,95–65,94	22	3574,95–3899,94	4
65,95–69,94	8	3899,95–4224,94	3
69,95–73,94	6	4224,95–4549,94	3
		4549,95–4874,94	0
73,95–77,94	2	4874,95–5199,94	3
Total	574		574
Longueur moyenne = 41,9 cm Écart type = 13,1 cm		Poids moyen = 1161 g Écart type = 1011 g	

TABLEAU 275. Distribution comparée de l'omble arctique migrateur remontant le ruisseau Middle selon l'âge et la longueur à la fourche, 1967 (Peet 1971).

Limites des classes longueur à la fourche (cm)	Classe d'âge									Total
	2 +	3 +	4 +	5 +	6 +	7 +	8 +	9 +	10 +	
17,95–21,94	2	13	0	0	0	0	0	0	0	15
21,95–25,94	0	8	2	0	0	0	0	0	0	10
25,95–29,94	0	6	16	0	0	0	0	0	0	22
29,95–33,94	0	1	8	13	4	0	0	0	0	26
33,95–37,94	0	0	0	17	1	0	0	0	0	18
37,95–41,94	0	0	0	2	13	5	0	0	0	20
41,95–45,94	0	0	1	2	7	3	1	0	0	14
45,95–49,94	0	0	0	2	5	2	2	0	0	11
49,95–53,94	0	0	0	2	7	9	2	2	0	22
53,95–57,94	0	0	0	0	2	10	1	0	0	13
57,95–61,94	0	0	0	0	3	2	1	1	1	8
61,95–65,94	0	0	0	0	1	0	2	0	0	3
Total	2	28	27	38	43	31	9	3	1	182

TABLEAU 276. Distribution du saumon de l'Atlantique migrateur remontant le ruisseau Middle selon l'âge par sexe et la longueur à la fourche, 1967 (Peet 1971).

Limites des classes		Âge (années)													
		4		5		6				7				Total	
		3:1		4:1		5:1		4:2		6:1		5:2			
Longueur à la fourche (cm)	Marque de classe	M	F	M	F	M	F	M	F	M	F	M	F	M	F
43,95–46,94	45,45	0	0	1	1	0	0	0	0	0	0	0	0	1	1
46,95–49,94	48,45	3	3	9	2	1	2	0	0	0	0	0	0	13	7
49,95–52,94	51,45	5	3	8	7	5	1	0	0	0	0	0	0	18	11
52,95–55,94	54,45	1	1	6	3	5	2	0	0	1	0	0	0	13	6
55,95–58,94	57,45	1	0	3	2	1	0	1	0	0	0	0	0	6	2
58,95–61,94	60,45	0	0	1	0	0	0	0	0	0	0	0	0	1	0
61,95–64,94	63,45	0	1	0	0	0	0	0	0	0	0	0	0	0	1
64,95–67,94	66,45	0	0	0	0	0	0	1	1	0	0	0	0	1	1
67,95–70,94	69,45	0	0	0	0	0	0	0	0	0	0	0	0	0	0
70,95–73,94	72,45	0	0	0	0	0	0	0	0	0	1	0	0	1	0
Total selon le sexe		10	8	28	15	12	5	2	1	1	1	0	0	54	29
Total		18		43		17		3		2		0		83	

Les rivières 53 et 54 sont deux cours d'eau non identifiés qui se jettent dans la baie Pottles (fig. 75, 76). Cette baie fut autrefois le site d'une petite agglomération dont les habitants vivaient de la pêche à la morue et au saumon dans la baie Groswater.

La rivière nº 53, dont le bassin versant est de 135 km^2, est alimentée par 12 tributaires et coule vers l'est (tableau 277). En 1976, un échantillon d'eau a été prélevé et les résultats des analyses sont présentés dans le tableau 278 (Jamieson 1979).

La rivière nº 54, dont le bassin versant est de 78 km^2, est alimentée par 4 tributaires et coule vers le sud (tableau 279).

En septembre 1977, des chasseurs ont aperçu beaucoup de saumons de l'Atlantique (surtout des madeleineaux) qui ont été revus plusieurs kilomètres en amont. D'anciens résidents ont indiqué que la remonte de saumons, d'ombles arctiques et d'ombles de fontaine anadromes était excellente (T. Curran, comm. pers.).

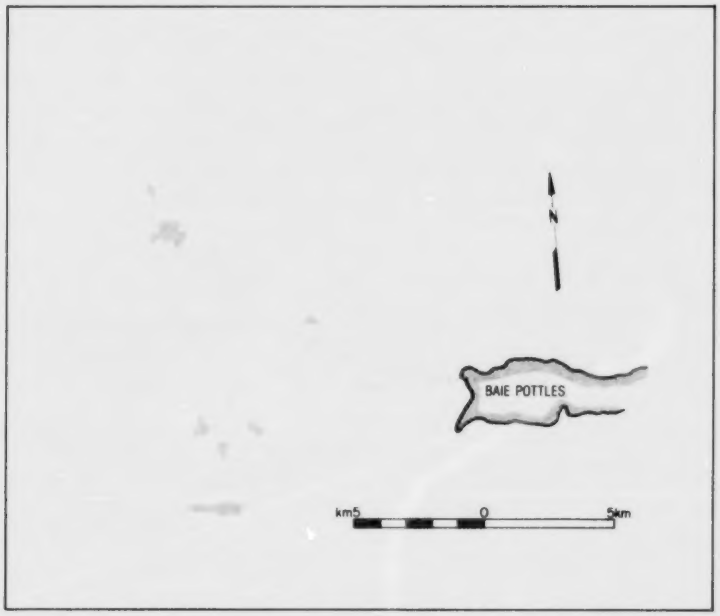

FIG. 75. Carte de la rivière 53 (sans nom) montrant les aires d'élevage accessibles au tacon du saumon de l'Atlantique.

TABLEAU 277. Caractéristiques physiques de la rivière 53.

Référence cartographique:	Baie Groswater 13-I 1:250 000	Élévation maximale du bassin versant:	214 m
Latitude de l'embouchure:	54°29′N	Longueur réelle de l'axe principal (en suivant les méandres):	16 km
Longitude de l'embouchure:	57°43′W	Longueur totale, y compris des tributaires:	84 km
Direction générale de l'écoulement:	Est	Nombre de tributaires:	12
Superficie du bassin versant:	135 km^2	Formation géologique:	Gneiss
Largeur moyenne	9 km		
Longueur de l'axe	15 km		
Périmètre du bassin versant	45 km		

TABLEAU 278. Résultats des analyses d'un échantillon d'eau prélevé dans la rivière 53, 1976 (Jamieson 1979).

Année	pH	Dureté totale (ppm)	Conductivité spécifique ($\mu S \cdot cm^{-1}$ à 25°C)	Turbidité (UTJ)	Alcalinité totale (ppm)	Calcium (ppm)	Chlorure (ppm)	Bicarbonate (ppm)
1976	5,7	6,0	24,0	7,0	1,0	0,6	5,0	1,2

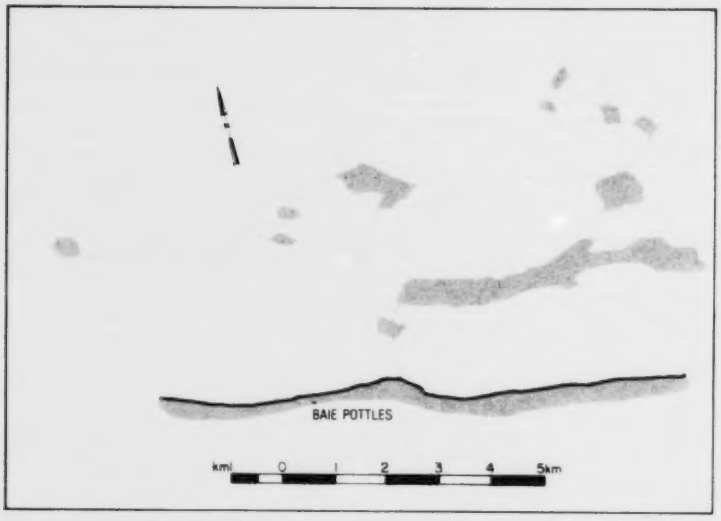

FIG. 76. Carte de la rivière 54 (sans nom) montrant les aires d'élevage accessibles au tacon du saumon de l'Atlantique.

TABLEAU 279. Caractéristiques physiques de la rivière 54.

Référence cartographique:	Baie Groswater 13-I 1:250 000	Élévation maximale du bassin versant:	92 m
Latitude de l'embouchure:	54°29'N	Longueur réelle de l'axe principal (en suivant les méandres):	10 km
Longitude de l'embouchure:	57°35'W	Longueur totale, y compris des tributaires:	24 km
Direction générale de l'écoulement:	Sud	Nombre de tributaires:	4
Superficie du bassin versant:	78 km^2	Formation géologique:	Gneiss
Largeur moyenne	9 km		
Longueur de l'axe	11 km		
Périmètre du bassin versant	39 km		

RÉGION IV
MAKKOVIK–DAVIS INLET

La région de Makkovik–Davis Inlet englobe le territoire drainé par les cours d'eau se jetant dans la mer du Labrador immédiatement au nord de la baie Groswater, de Holton Harbour à Davis Inlet (fig. 77). La région est bordée au sud par les bassins versants des cours d'eau se jetant dans l'inlet Hamilton, à l'ouest par le bassin versant de la rivière Naskaupi et la frontière Québec–Labrador, et au nord, par le bassin versant de la rivière Notakwanon. Elle comporte actuellement quatre collectivités qui sont décrites brièvement ci-dessous.

Makkovik

Les 347 habitants de cette collectivité (Statistique Canada 1981) sont des Blancs, des Inuit et des Métis. La pêche à la morue y a toujours été le pilier de l'économie. Toutefois, après plusieurs mauvaises saisons de pêche pendant les années 60, l'effort de pêche s'est orienté vers le saumon de l'Atlantique. Celui-ci donne lieu à une importante industrie depuis la création en 1972 d'une usine de traitement dotée d'installations de congélation.

Postville

Cet établissement de 223 habitants (Statistique Canada 1981) tire son nom du poste de traite de la Compagnie de la Baie d'Hudson qui a été exploité dans la baie Kaipokok jusqu'en 1879. La pêche à la morue y a été pratiquée jusqu'au déclin des années 60, lorsque la pêche commerciale au saumon de l'Atlantique a pris le dessus. Toutefois, l'Association inuit du Labrador (1977) estime que moins du tiers des résidents pêchent maintenant le saumon à des fins commerciales. La pêche à l'omble arctique n'est pas couramment pratiquée.

Hopedale

Les 425 habitants de cet établissement (Statistique Canada 1981) se composent de Blancs, d'Inuit et de Métis. Le piégeage, la chasse et la pêche à la morue ont toujours été les principales activités économiques de cette collectivité. Le saumon de l'Atlantique était en fait considéré comme une nuisance, car il s'empêtrait dans les filets d'amenée des trappes à morues et les faisait couler. L'effort de pêche à la morue a ralenti pendant la construction des stations radar de la collectivité à la fin des années 50 et a disparu pendant le milieu des années 60, après de mauvaises saisons de pêche consécutives. L'effort de pêche commerciale s'est alors dirigé vers le saumon de l'Atlantique qui était saumuré jusqu'en 1973, année de la construction d'installations de congélation à Hopedale.

Davis Inlet

Plus de 90 % des 240 habitants (Statistique Canada 1981) de cette collectivité font partie de la tribu indienne des Naskaupis. Ils sont par tradition des chasseurs et des trappeurs qui gagnent l'intérieur des terres à l'automne. Certains estiment que le saumon de l'Atlantique et l'omble arctique pourraient faire l'objet d'une pêche commerciale même si des tentatives antérieures en ce sens ont eu peu de succès (Rapport annuel de la Northern Labrador Services Division, 1967, 1969, 1974).

Le gneiss, roche métamorphique feuillée ou rubanée, est la principale composante géologique de la région (Sutton 1972). Des secteurs de granite et de roches associées se retrouvent le long de la côte et de la partie nord de la frontière Québec–Labrador. Une bande de sédiments et de dépôts du Précambrien, appelée Central Ore Belt (Ceinture centrale de minerais), s'étend à l'intérieur des terres à partir de Makkovik et, en 1958, la British Newfoundland Exploration Limited (Brinex) y a découvert de l'uranium.

Des peuplements matures de conifères tapissent les rives des trois longues baies étroites (Kaipokok, Kanairiktok et Adlatok/Ugjoktok) qui dominent cette région. Le reste de la côte est parsemé d'îles et de petits inlets. L'assise rocheuse exposée est souvent parsemée de blocs. À l'intérieur des terres, les dépôts glaciaires offrent un milieu propice à la végétation, mais la rigueur du climat et la courte saison de croissance limitent la flore à l'épinette noire et au sapin baumier à faible taux de croissance, alternant avec des lichens. Sur les hauts-plateaux des monts Benedict et de la région du lac Harp, l'assise rocheuse exposée alterne avec une végétation éparse de lichens. Le long de la frontière Québec–Labrador, de nombreux lichens jonchent le sol entre les conifères éparpillés.

Cette région est dominée par deux grands réseaux fluviaux, celui de la Kanairiktok et celui de l'Adlatok/Ugjoktok, leurs bassins versants ayant une superficie de plus de 10 000 km^2 chacun et s'étendant jusqu'à la frontière Québec–Labrador. Ces rivières et de nombreux autres cours d'eau prennent naissance sur un énorme plateau de l'intérieur et sont caractérisés par un écoulement lent à moyen tout au long des méandres qu'ils tracent au travers des nombreux dépôts de sable et de gravier du plateau. Bon nombre des grands lacs sont entourés par

de petits chaînons et des affleurements rocheux élevés sur le plateau. Près du littoral, le plateau se termine abruptement et le cours inférieur de nombreuses rivières est obstrué par des rapides et des chutes. Sollows *et al.* (1954), Peet (1971), Murphy (1973) et Murphy et Porter (1974a) ont effectué des recherches sur les caractéristiques physiques des cours d'eau de cette région. Des échantillons d'eau d'un bon nombre de ces cours d'eau ont été prélevés et analysés (Jamieson 1979). En raison de leur éloignement, la grande majorité des rivières de cette région est dans un état quasi vierge. L'Association inuit du Labrador a établi une documentation bien étoffée sur l'utilisation traditionnelle des rivières pour la pêche, la chasse et le piégeage (1977).

Des études des espèces de poissons de la région ont été effectuées par les membres des expéditions du *Blue Dolphin* au Labrador en 1949, 1950 et 1951 (Backus 1957). D'autres auteurs, comme Sollows *et al.* (1954), Peet (1971), Murphy (1973), Murphy et Porter (1974a) et Bruce *et al.* (1979), ont également des données sur les espèces de poissons. Le tableau 1, qui signale la présence de 12 espèces, est basé sur l'ouvrage de Scott et Crossman (1974).

Même si le saumon de l'Atlantique se retrouve partout au Labrador, la région IV est habituellement consédirée comme la limite nordique des stocks abondants de saumons anadromes. Plus au nord, l'omble arctique y domine, tant en nombre que sur le plan commercial et récréatif. Sept cours d'eau de la région sont inscrits à l'annexe du Règlement de pêche de Terre-Neuve pour la pêche à la ligne au saumon de l'Atlantique et la plupart des activités halieutiques se pratiquent à partir de camps de pêche sportive situés en bordure de six rivières. L'omble arctique est répandu dans bon nombre des cours d'eau et se distingue par la pâleur de sa chair comparativement aux stocks d'ombles à chair rouge foncé qu'on retrouve au nord de Nain. Dans cette région, la pêche récréative à l'omble n'est pas populaire; de plus, les prises commerciales de 15 645 kg (poids rond) de 1976 ne représentent que 10,4 % des prises totales d'ombles au Labrador (B. Dempson, comm. pers.).

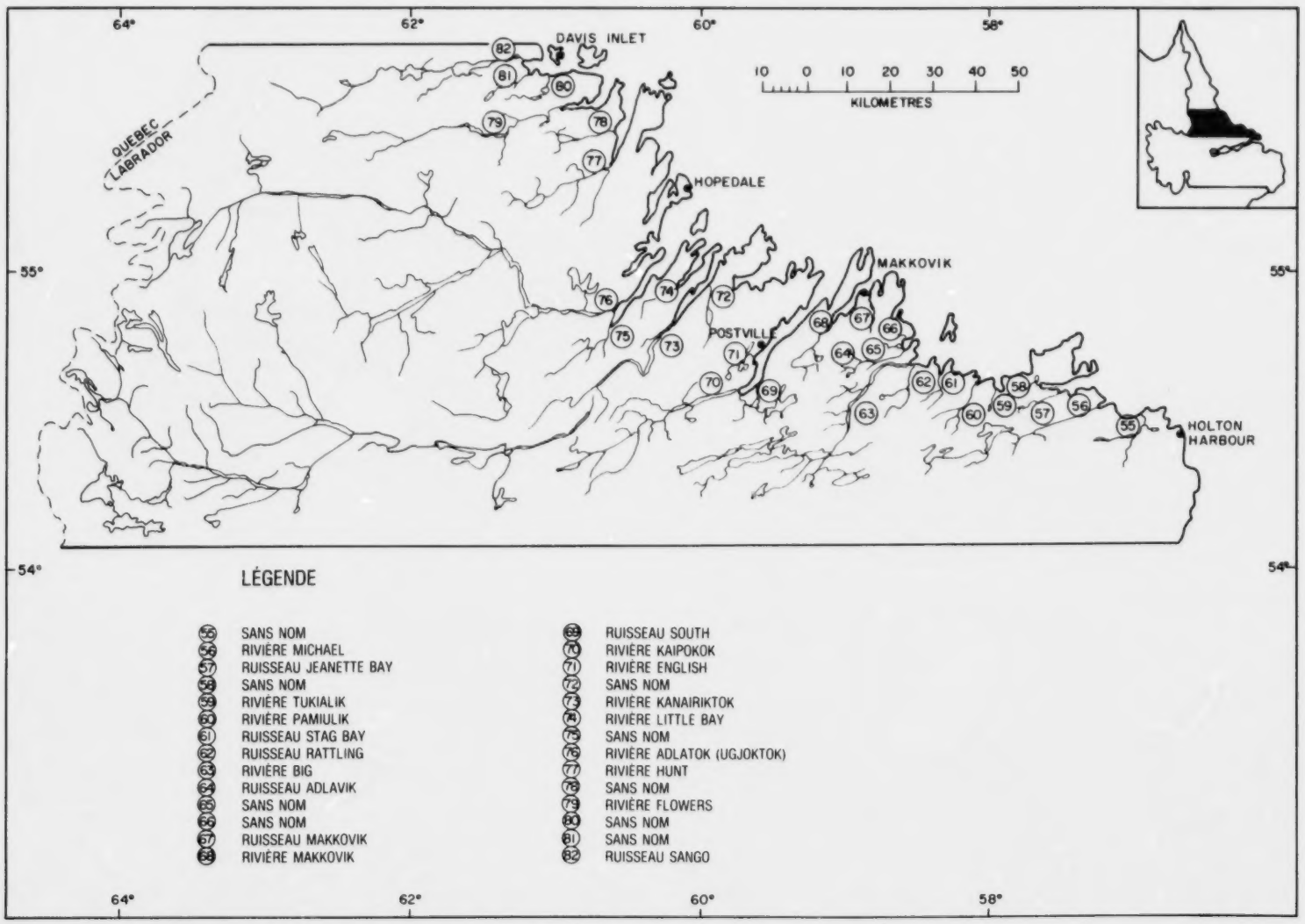

FIG. 77. Carte de la région IV, Makkovik–Davis Inlet. Les cours d'eau ont été numérotés pour faciliter les renvois dans le texte.

Rivière 55 (sans nom) *N° 55, fig. 77*

Cette rivière coule en direction nord-est pour se jeter dans la baie Byron (fig. 78). Les rives de cette baie sont sablonneuses et Parsons (1970) a observé des peuplements d'épinettes noires matures au fond de la baie. La rivière a un bassin versant d'une superficie de 163 km^2; la longueur totale de l'axe principal et des 12 tributaires est de 77 km (tableau 280). L'Association inuit du Labrador (1977) signale que l'omble arctique, qui servait surtout à nourrir les chiens, a toujours été pêché dans le cours inférieur de la rivière. Nous ne disposons d'aucun autre renseignement sur les caractéristiques physiques et les populations de poissons de ce cours d'eau.

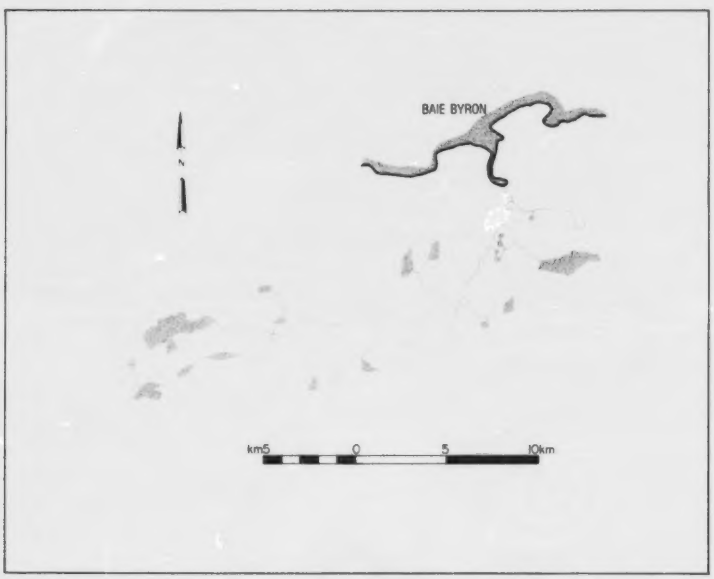

FIG. 78. Carte de la rivière 55 (sans nom) montrant les aires d'élevage accessibles au tacon du saumon de l'Atlantique.

TABLEAU 280. Caractéristiques physiques de la riviere 55.

Référence cartographique:	Baie Groswater 13-I 1:250 000	Élévation maximale du bassin versant:	244 m
Latitude de l'embouchure:	54°38′N	Longueur réelle de l'axe principal (en suivant les méandres):	32 km
Longitude de l'embouchure:	57°35′W	Longueur totale, y compris des tributaires:	77 km
Direction générale de l'écoulement:	Nord-est	Nombre de tributaires:	12
Superficie du bassin versant:	163 km^2	Formation géologique:	Gneiss
Largeur moyenne	6 km		
Longueur de l'axe	27 km		
Périmètre du bassin versant	74 km		

Rivière Michael
(rivière St. Michaels, rivière Shellbird)

N° 56, fig. 77

La rivière Michael coule vers le nord-est le long de la limite sud des monts Benedict pour se jeter dans la baie Byron, à 4 km au nord de la pointe Red Rock (fig. 79). Son embouchure est protégée par une plage sablonneuse élevée qui forme une lagune d'environ 1,5 km de longueur. Deux camps de pêche sportive, le premier situé à l'embouchure et l'autre au lac Michael (L1), sont exploités de la mi-juin à la mi-septembre.

Le bassin versant de la rivière Michael a une superficie de 285 km^2 (tableau 281) et a été divisé en trois sections par Peet (1971) pour en faciliter la description. La première section, qui va de l'embouchure au lac Michael, comprend les 40 km du secteur aval de la rivière. La largeur du chenal varie de 25 à 50 m et les substrats du fond se composent de blocs, de moellons et de graviers. Quatre tributaires importants, T7, T10, T11 et T12, se jettent dans ce tronçon; Sollows *et al.* (1954) considèrent les habitats de ces tributaires comme idéals pour l'élevage des jeunes saumons. On sait que des phoques communs passent l'hiver et se reproduisent dans les 10 premiers kilomètres de cette rivière et qu'ils sont probablement des prédateurs des populations de poissons (Association inuit du Labrador 1977). La deuxième section mentionnée par Peet (1971) s'étend du kilomètre 40 au kilomètre 53 et se compose du lac Michael (L1) et de ses tributaires. Murphy (1973) n'a effectué aucun relevé des tributaires en raison de leur petite taille. La rivière en amont du lac Michael, soit la troisième section désignée par Peet (1971), a une largeur moyenne de 18 m et serpente sur un terrain plat et dénudé. Un échantillon d'eau a été prélevé dans la rivière Michael en 1976; le tableau 282 présente les résultats des analyses de cet échantillon (Jamieson 1979).

Le poisson migrateur peut accéder à l'ensemble du bassin versant de la rivière Michael. Le saumon de l'Atlantique anadrome, l'omble arctique, l'omble de fontaine anadrome et dulçaquicole ont tous été signalés dans le réseau. En 1967, 25 ombles de fontaine dulçaquicoles pesant plus de 0,5 kg chacun ont été pêchés à la ligne. Le tableau 283 présente les données sur les prises à la ligne annuelles d'ombles de fontaine anadromes et d'ombles arctiques. La fiabilité de ces chiffres n'a pas été établie.

Sollows *et al.* (1954) ont déclaré que la rivière ne peut pas être qualifiée de bonne rivière pour la pêche à la ligne, pas plus que la baie située à l'extérieur ne peut être considérée comme un endroit idéal pour la pêche commerciale. Toutefois, d'après des rapports récents, il semble que la pêche à la ligne au saumon de l'Atlantique y soit excellente. De plus, Peet (1971) signale que le secteur situé près de l'embouchure est connu depuis longtemps comme un bon poste de pêche commerciale. Les prises moyennes à la ligne signalées par les camps de pêche sportive pour huit années sont 244 madeleineaux et 39 grands saumons par année (tableau 284). La majorité du saumon et de l'omble est pêchée à la ligne pendant une période de trois à quatre semaines à la fin juillet et en août (T. Curran, comm. pers.).

À partir de son relevé de 1972, Murphy (1973) a enregistré un total de 22 059 unités d'élevage dans l'axe principal et les tributaires de la rivière Michael (tableau 285). Nous ne savons pas si la taille actuelle de la population est aussi importante que la production annuelle potentielle de 6 618 saumons de l'Atlantique estimée par Murphy (1973); toutefois, les prises à la ligne semblent indiquer une montaison importante de saumons dans la rivière.

TABLEAU 281. Caractéristiques physiques de la rivière Michael (rivière St. Michaels, rivière Shellbird).

Référence cartographique:	Baie Groswater 13-I Rigolet 13J 1:250 000	Élévation maximale du bassin versant:	305 m
Latitude de l'embouchure:	54°41′N	Longueur réelle de l'axe principal (en suivant les méandres):	95 km
Longitude de l'embouchure:	57°47′W	Longueur totale, y compris des tributaires:	427 km
Direction générale de l'écoulement:	Nord-est	Nombre de tributaires:	35
Superficie du bassin versant:	285 km^2	Superficie des lacs de plus de 100 ha:	
Largeur moyenne	10 km	L1 Lac Michael	2589 ha
Longueur de l'axe	84 km		
Périmètre du bassin versant	190 km	Formation géologique:	Gneiss

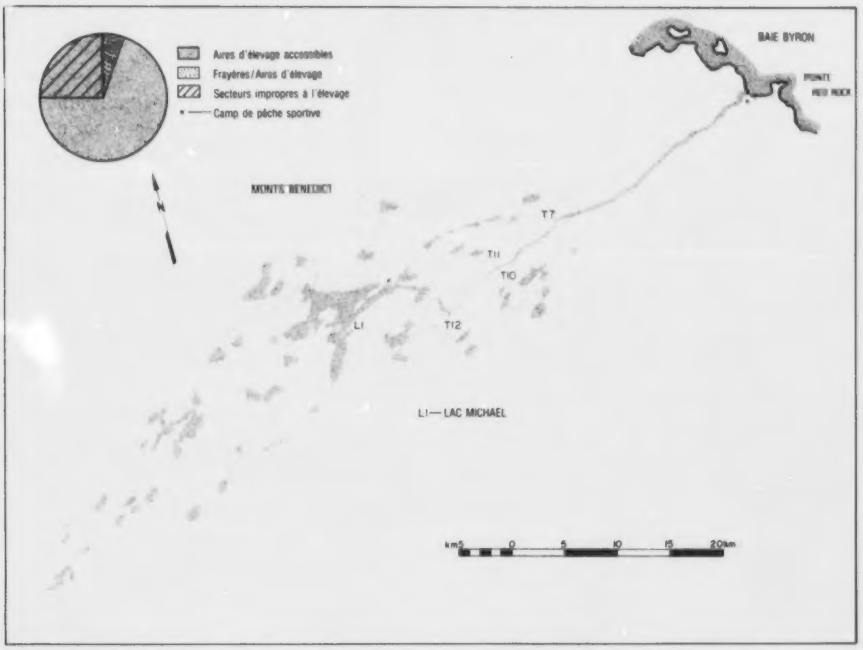

FIG. 79. Carte de la rivière Michael montrant les aires d'élevage accessibles au tacon du saumon de l'Atlantique.

TABLEAU 282. Résultats des analyses d'un échantillon d'eau prélevé dans la rivière Michael, 1976 (Jamieson 1979).

Année	pH	Dureté totale (ppm)	Conductivité spécifique ($\mu S \cdot cm^{-1}$ à 25°C)	Turbidité (UTJ)	Alcalinité totale (ppm)	Calcium (ppm)	Chlorure (ppm)	Bicarbonate (ppm)
1976	5,9	6,0	21,0	1,0	2,0	0,6	4,0	2,4

TABLEAU 283. Résumé des données sur les prises à la ligne d'ombles de fontaine anadromes et d'ombles arctiques des camps de pêche sportive de la rivière Michael, 1968–1974 (MPO, données inédites).

Année	Poids des ombles de fontaine (kg)					Total	Omble arctique (poids inconnu)
	<0,5	0,5–0,9	1,0–1,8	>1,8	Inconnu		
1968	0	31	0	0	127[a]	158	881[b]
1969	0	0	23	0	0	23	79
1970	0	0	9	239	0	248	454
1971	0	0	96	0	0	96	110
1972	0	43	335	4	0	382	386
1973	0	30	220	0	0	250	0
1974	0	0	481	0	0	481	295
Total	0	104	1164	243	127	1638	2205

[a] 96 poissons remis à l'eau
[b] 265 poissons remis à l'eau

TABLEAU 284. Résumé des données sur la pêche à la ligne au saumon de l'Atlantique, rivière Michael, 1967–1980 (Moores *et al.* 1978; Moores et Tucker 1979, 1980, 1981).

Année	Madeleinaux <2,7 kg	Grands saumons ≥2,7 kg	Total	Jours de pêche à la ligne	Prises par jour de pêche à la ligne
1967	27	34	61	90	0,68
1968	129	47	176	131	1,34
1969	—	—	—	—	—
1970	167	41	208	315	0,66
1971	347	38	385	216	1,78
1972	459	39	498	313	1,59
1973	482	0	482	364	1,32
1974	246	43	289	332	0,87
1975	—	—	—	—	—
1976	—	—	—	—	—
1977	—	—	—	—	—
1978	—	—	—	—	—
1979	310	107	417	266	1,57
1980	27	1	28	69	0,41
Moyenne	244	39	283	233	1,21

TABLEAU 285. Résumé des données sur les unités d'élevage et de frai et la production annuelle potentielle estimative de smolts et de saumons de l'Atlantique adultes de la rivière Michael. Aucun secteur inaccessible n'y a été repéré.

	Secteurs accessibles	
Emplacement	Unités de frai	Unités d'élevage
Axe principal	1 473	18 374
T7	175	1 746
T10	0	485
T11	0	96
T12	0	1 358
Total	1 648	22 059
Production estimative		
Smolts	44 118	
Adultes	6 618	

Ruisseau Jeanette Bay *N° 57, fig. 77*

Le ruisseau Jeanette Bay est un petit cours d'eau qui coule vers le nord-est, de l'extrémité est des monts Benedict jusqu'à son embouchure dans la baie Jeanette (fig. 80). Ce ruisseau, qui a un bassin versant d'une superficie de 67 km^2, a une longueur totale de seulement 19 km (tableau 286). La partie inférieure de son bassin versant est boisée et le substrat de son lit se compose principalement de graviers; la végétation de la partie supérieure du bassin versant est éparse et le substrat du lit est fait de blocs et de moellons. Murphy (1973) signale la présence de deux obstacles à la migration du poisson anadrome, un obstacle franchissable au kilomètre 5,6 de l'axe principal et un obstacle insurmontable au kilomètre 4,8 du tributaire 3 (tableau 287).

On sait très peu de choses des populations de poissons du ruisseau. La partie extérieure de la baie est depuis longtemps un excellent poste de pêche commerciale au saumon (Association inuit du Labrador 1977) même si l'on croit que les prises se composent surtout de saumons gagnant des cours d'eau situés plus au nord (T. Curran, comm. pers.). En raison de son emplacement géographique et de l'absence d'obstacles au passage du poisson,

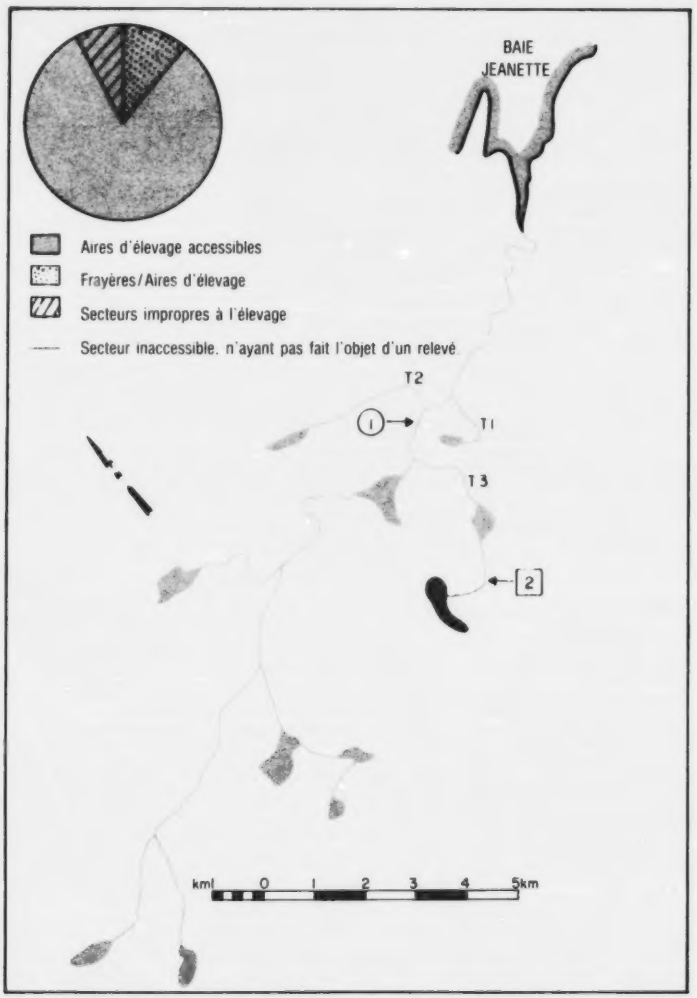

FIG. 80. Carte du ruisseau Jeanette Bay montrant les aires d'élevage accessibles et inaccessibles au tacon du saumon de l'Atlantique.

le saumon de l'Atlantique, l'omble de fontaine et l'omble arctique devraient vraisemblablement fréquenter ce cours d'eau. Murphy (1973) estime le potentiel du cours d'eau à 457 saumons de l'Atlantique adultes par année (tableau 288).

TABLEAU 286. Caractéristiques physiques du ruisseau Jeanette Bay.

Référence cartographique:	Rigolet 13J 1:250 000	Élévation maximale du bassin versant:	305 m
Latitude de l'embouchure:	54°43′N	Longueur réelle de l'axe principal (en suivant les méandres):	19 km
Longitude de l'embouchure:	58°05′W	Longueur totale, y compris des tributaires:	13 km
Direction générale de l'écoulement:	Nord-est	Nombre de tributaires:	6
Superficie du bassin versant:	67 km²	Formation géologique:	Gneiss
Largeur moyenne	4 km		
Longueur de l'axe	19 km		
Périmètre du bassin versant	39 km		

TABLEAU 287. Obstacles du ruisseau Jeanette Bay (Murphy 1973).

Renvoi à la figure 80	Emplacement	Distance de l'embouchure (km)	Type	Description			Obstacle au passage du poisson
				Hauteur (m)	Largeur (m)	Pente (°)	
1	Axe principal	5.6	Chutes	1.8	3.1	90	Franchissable
2	T3	4.8	Chutes	3.1	3.1	90	Infranchissable

TABLEAU 288. Résumé des données sur les unités d'élevage et de frai et la production annuelle potentielle estimative de smolts et de saumons de l'Atlantique adultes du ruisseau Jeanette Bay (Murphy 1973). Aucun secteur inaccessible n'y a fait l'objet d'un relevé.

	Secteurs accessibles	
Emplacement	Unités de frai	Unités d'élevage
Axe principal	176	1307
T3	0	216
Total	176	1523
Production estimative		
Smolts	3046	
Adultes	457	

Rivière 58 (sans nom) *N° 58, fig. 77*

La rivière 58 coule vers le nord-est, des monts Benedict jusqu'à son embouchure dans le fond de la baie Jeanette (fig. 81). Son bassin versant a une superficie de 13 km^2 et l'axe principal et les deux tributaires ont une longueur totale de 16 km (tableau 289). Selon les rapports, l'embouchure de la rivière est de 6 m de largeur et ses rives sont très boisées. Nous ne disposons d'aucun renseignement sur les populations de poissons.

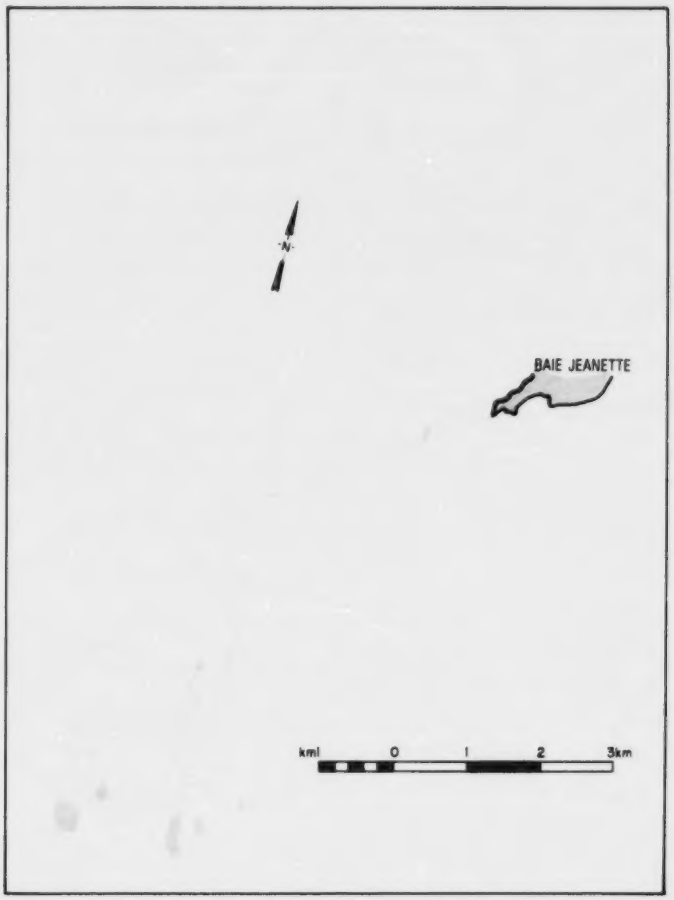

FIG. 81. Carte de la rivière 58 (sans nom) montrant les aires d'élevage accessibles au tacon du saumon de l'Atlantique.

TABLEAU 289. Caractéristiques physiques de la rivière 58.

Référence cartographique:	Rigolet 13J 1:250 000	Élévation maximale du bassin versant:	244 m
Latitude de l'embouchure:	54°44′N	Longueur réelle de l'axe principal (en suivant les méandres):	13 km
Longitude de l'embouchure:	58°12′W	Longueur totale, y compris des tributaires:	16 km
Direction générale de l'écoulement:	Nord-est	Nombre de tributaires:	2
Superficie du bassin versant:	13 km^2	Formation géologique:	Gneiss
Largeur moyenne	3 km		
Longueur de l'axe	10 km		
Périmètre du bassin versant	19 km		

Rivière Tukialik
(rivière Tuchialic) *N° 59, fig. 77*

La rivière Tukialik coule vers le nord à partir des monts Benedict pour se jeter dans la baie Tukialik (fig. 82). Quelques maisons abandonnées sont situées en bordure de l'embouchure, signe qu'une pêche commerciale de petite envergure aurait peut-être été pratiquée dans cette baie abritée.

La rivière a un bassin versant d'une superficie de 47 km^2 et l'axe principal est alimenté par cinq tributaires (tableau 290). Selon Murphy (1973), l'embouchure de la rivière est de 9 m de largeur. Jusqu'au kilomètre 2, son cours est rapide et son lit est composé d'un substrat de blocs et de moellons. Du kilomètre 2 au kilomètre 6, la rivière se rétrécit à 6 m et son lit se compose alternativement de moellons et de l'assise rocheuse. Au kilomètre 6, un long lac, situé dans les monts Benedict, forme la majeure partie des eaux de source de la rivière. La partie inférieure du bassin versant est boisée d'épinettes noires; les rives du cours supérieur sont dénudées. Le réseau ne comporte aucun obstacle à la migration du poisson.

Murphy (1973), compte tenu de la taille relativement petite du cours d'eau, le considère principalement comme un habitat propice à l'omble de fontaine et à l'omble arctique, pouvant recevoir probablement une montaison de saumons. D'après la quantité d'habitats d'élevage propices aux jeunes poissons, Murphy (1973) a évalué la production annuelle à 205 saumons de l'Atlantique adultes (tableau 291).

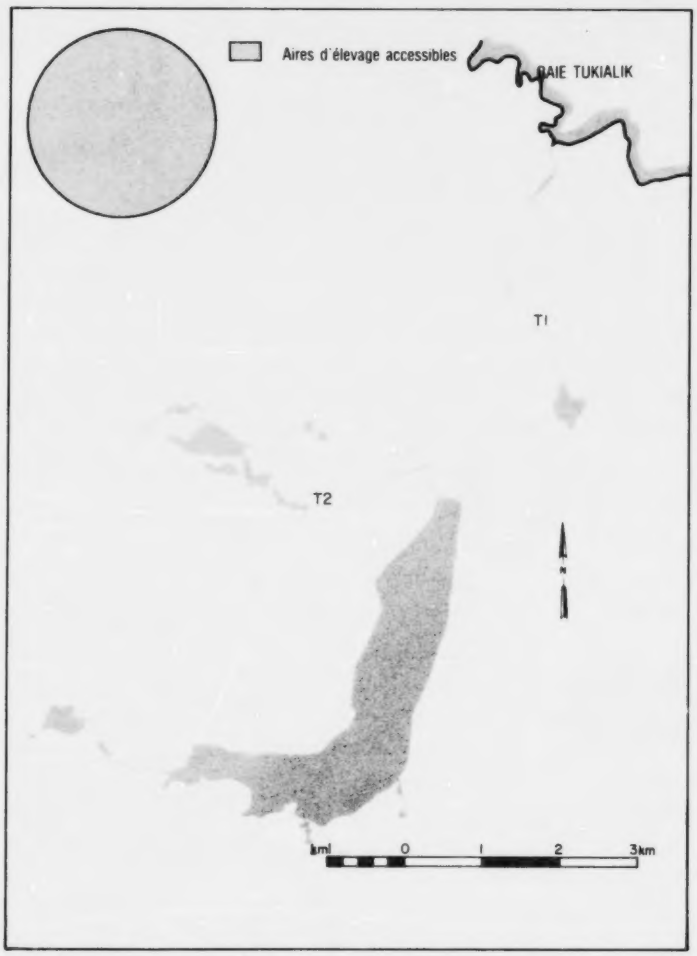

FIG. 82. Carte de la rivière Tukialik montrant les aires d'élevage accessibles au tacon du saumon de l'Atlantique.

TABLEAU 290. Caractéristiques physiques de la rivière Tukialik (rivière Tuchialic).

Référence cartographique:	Rigolet 13J 1:250 000	Élévation maximale du bassin versant:	275 m
Latitude de l'embouchure:	54°44′N	Longueur réelle de l'axe principal (en suivant les méandres):	6 km
Longitude de l'embouchure:	58°26′W	Longueur totale, y compris des tributaires:	13 km
Direction générale de l'écoulement:	Nord	Nombre de tributaires:	5
Superficie du bassin versant:	47 km^2	Formation géologique:	Gneiss
Largeur moyenne	4 km		
Longueur de l'axe	11 km		
Périmètre du bassin versant	29 km		

TABLEAU 291. Résumé des données sur les unités d'élevage et de frai et la production annuelle potentielle estimative de smolts et de saumons de l'Atlantique adultes de la rivière Tukialik (Murphy 1973). Aucun secteur inaccessible n'y a été repéré.

	Secteurs accessibles	
Emplacement	Unités de frai	Unités d'élevage
Axe principal	0	432
T1, T2	0	252[a]
Total	0	684
Production estimative		
Smolts	1368	
Adultes	205	

[a] Évaluées à partir d'une carte topographique.

Rivière Pamiulik
(rivière Pamialik)

N° 60, fig. 77

La rivière Pamiulik coule en direction nord-est sur un plateau dénudé pour se jeter dans la baie Pamiulik (fig. 83). Cette baie est peu profonde et exposée et s'avance à l'intérieur des terres sur environ 5 km. L'établissement le plus proche est Makkovik, à 72 km par voie de mer.

Le bassin versant, qui draine une superficie de 493 km^2 (tableau 292), peut se diviser en trois sections: la section inférieure sinueuse, la section médiane au débit rapide et les étangs et lacs des eaux d'amont. La section inférieure, qui s'étend sur 4 km, a une largeur de 50 à 75 m. Le lit est surtout composé de sable et de graviers et de quelques blocs éparpillés (Peet 1971). Au kilomètre 4, l'inclinaison de la rivière augmente; entre cet endroit et le kilomètre 25, deux obstacles franchissables barrent partiellement la migration du poisson (tableau 293). Dans cette section, la rivière passe de 45 à 18 m de largeur et le lit est surtout fait de moellons et de blocs. Les eaux d'amont se composent de plusieurs lacs longs et étroits réunis par des tronçons de 10 à 20 m de largeur qui, selon Murphy (1973), renferment des graviers propices au frai. Un échantillon d'eau a été prélevé dans la rivière Pamiulik en août 1976; le tableau 294 présente les résultats des analyses de cet échantillon (Jamieson 1979).

Selon l'Association inuit du Labrador (1977), le saumon de l'Atlantique et l'omble arctique frayent dans le cours inférieur de cette rivière. Peet (1971) et Murphy (1973) estiment que celle-ci pourrait vraisemblablement être fréquentée par des populations de saumon de l'Atlantique, d'omble arctique et d'omble de fontaine. Même si les deux chutes de l'axe principal n'obstruent que partiellement la migration du saumon de l'Atlantique, elles peuvent bloquer complètement celle d'espèces moins vigoureuses, comme l'omble arctique et l'omble de fontaine. Murphy (1973) estime la production annuelle potentielle à 4 465 saumons de l'Atlantique adultes (tableau 295). Nous ne connaissons pas la taille actuelle de la population.

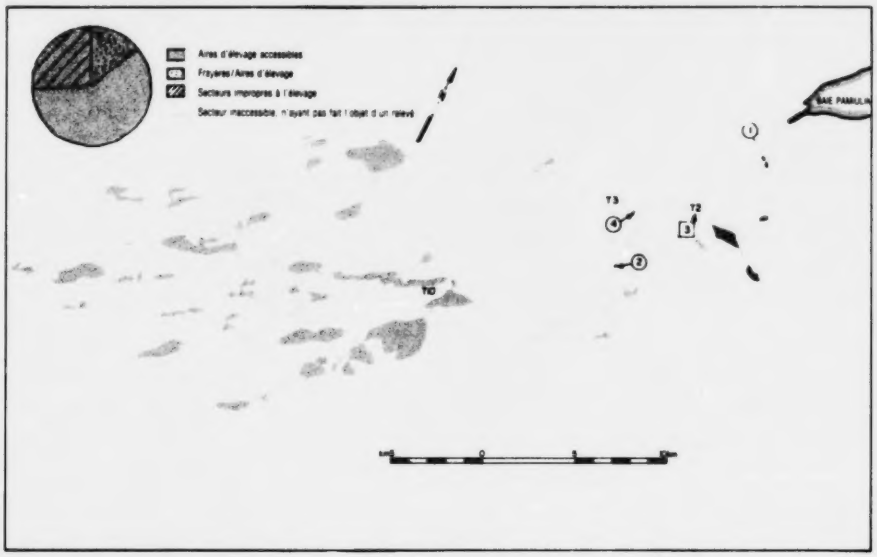

FIG. 83. Carte de la rivière Pamiulik montrant les aires d'élevage accessibles et inaccessibles au tacon du saumon de l'Atlantique.

TABLEAU 292. Caractéristiques physiques de la rivière Pamiulik (rivière Pamialic).

Référence cartographique:	Rigolet 13J 1:250 000	Élévation maximale du bassin versant:	37 m
Latitude de l'embouchure:	54°46'N	Longueur réelle de l'axe principal (en suivant les méandres):	56 km
Longitude de l'embouchure:	58°34'W	Longueur totale, y compris des tributaires:	188 km
Direction générale de l'écoulement:	Nord-est	Nombre de tributaires:	19
Superficie du bassin versant:	493 km^2	Formation géologique:	Gneiss
Largeur moyenne	10 km		
Longueur de l'axe	45 km		
Périmètre du bassin versant	103 km		

TABLEAU 293. Obstacles de la rivière Pamiulik (Murphy 1973).

Renvoi à la figure 83	Emplacement	Distance de l'embouchure (km)	Type	Description			Obstacle au passage du poisson
				Hauteur (m)	Largeur (m)	Pente (°)	
1	Axe principal	4,8	Chutes	2,4	27,2	45	Franchissable
2	Axe principal	17,7	Chutes	1,8	15,3	75	Franchissable
3	T2	0,8	Chutes	3,7	—	—	Infranchissable
4	T3	1,6	Chutes	3,1	15,3	45	Franchissable

TABLEAU 294. Résultats des analyses d'un échantillon d'eau prélevé dans la rivière Pamiulik, 1976 (Jamieson 1979).

Année	pH	Dureté totale (ppm)	Conductivité spécifique ($\mu S \cdot cm^{-1}$ à 25°C)	Turbidité (UTJ)	Alcalinité totale (ppm)	Calcium (ppm)	Chlorure (ppm)	Bicarbonate (ppm)
1976	6,3	4,0	8,0	1,2	2,0	1,8	0,7	2,4

TABLEAU 295. Résumé des données sur les unités d'élevage et de frai et la production annuelle potentielle estimative de smolts et de saumons de l'Atlantique adultes de la rivière Pamiulik (Murphy 1973). Aucun secteur inaccessible n'y a fait l'objet d'un relevé.

Emplacement	Secteurs accessibles	
	Unités de frai	Unités d'élevage
Axe principal	2 386	9 208
T2	0	72
T3	185	3 861
T10	232	1 741
Total	2 803	14 882
Production estimative		
Smolts	29 764	
Adultes	4 465	

Ruisseau Stag Bay

N° 61, fig. 77

Le ruisseau Stag Bay coule vers le nord-est pour se jeter dans la baie Stag (fig. 84). Le bassin versant, dont la superficie est de 155 km^2, comprend sept tributaires (tableau 296) et est densément boisé d'épinettes noires. Murphy (1973) signale que la partie inférieure du ruisseau a une largeur de 25 m et que celui-ci coule rapidement sur un lit de blocs et de moellons. Des graviers propices au frai ont été observés au kilomètre 8 où la vitesse du courant diminue. Au kilomètre 11,3, Murphy a découvert une série de trois chutes qu'il classifie comme obstacle franchissable (tableau 297). En amont de ces chutes, le cours d'eau a une largeur moyenne de 15 m et s'écoule doucement sur un lit de moellons, de blocs et de graviers. Deux tributaires principaux, le T1 et le T2, se jettent dans le cours inférieur du ruisseau et offrent des habitats adéquats pour l'élevage de jeunes poissons. Les résultats des analyses d'un échantillon d'eau prélevé dans le ruisseau Stag Bay en août 1972 sont présentés au tableau 298 (Jamieson 1979).

Nous ne disposons d'aucun renseignement sur les populations de poissons fréquentant ce cours d'eau, même si le saumon de l'Atlantique, l'omble arctique et l'omble de fontaine devraient le fréquenter. Murphy (1973) estime que le ruisseau devrait pouvoir produire 1 428 saumons de l'Atlantique adultes par année (tableau 299). Des phoques communs habitent le cours inférieur de la rivière et l'estuaire et se nourrissent sans aucun doute des espèces de poissons qui s'y trouvent (Association inuit du Labrador 1977).

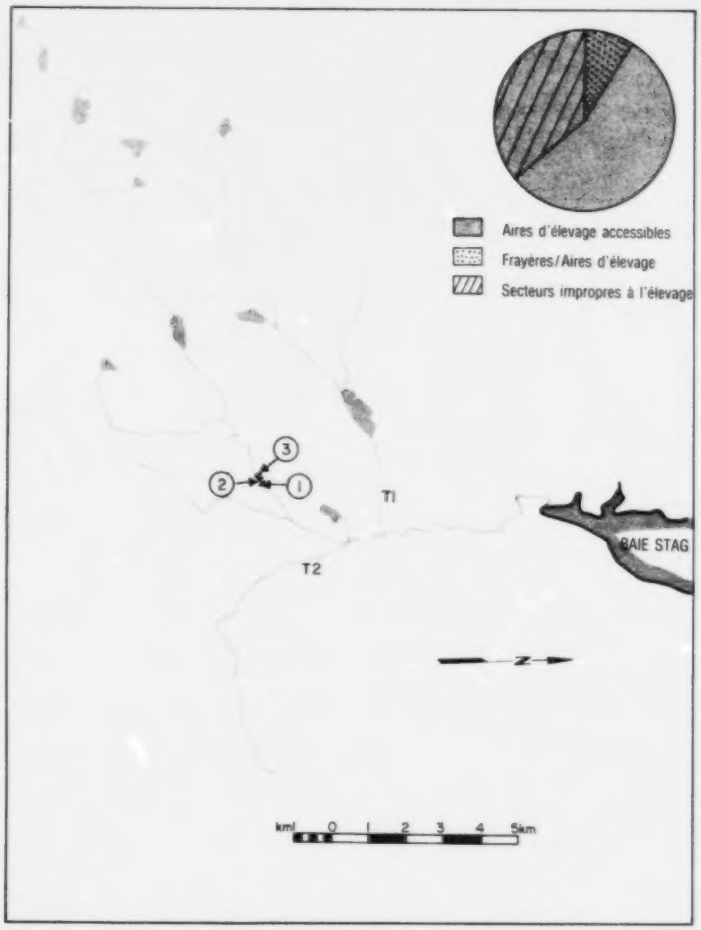

FIG. 84. Carte du ruisseau Stag Bay montrant les aires d'élevage accessibles au tacon du saumon de l'Atlantique.

TABLEAU 296. Caractéristiques physiques du ruisseau Stag Bay.

Référence cartographique:	Rigolet 13J 1:250 000	Élévation maximale du bassin versant:	336 m
Latitude de l'embouchure:	54°48′N	Longueur réelle de l'axe principal (en suivant les méandres):	26 km
Longitude de l'embouchure:	58°46′W	Longueur totale, y compris des tributaires:	61 km
Direction générale de l'écoulement:	Nord-est	Nombre de tributaires:	7
Superficie du bassin versant:	155 km^2	Formation géologique:	Gneiss
Largeur moyenne	8 km		
Longueur de l'axe	20 km		
Périmètre du bassin versant	58 km		

TABLEAU 297. Obstacles du ruisseau Stag Bay (Murphy 1973).

Renvoi à la figure 84	Emplacement	Distance de l'embouchure (km)	Type	Description			Obstacle au passage du poisson
				Hauteur (m)	Largeur (m)	Pente (°)	
1	Axe principal	11,3	Chutes	1,8	15,3	90	Franchissable
2	Axe principal	11,3	Chutes	1,8	15,3	90	Franchissable
3	Axe principal	11,3	Chutes	2,4	9,2	90	Franchissable

TABLEAU 298. Résultats des analyses d'un échantillon d'eau prélevé dans le ruisseau Stag Bay, 1972 (Jamieson 1979).

Année	pH	Dureté totale (ppm)	Conductivité spécifique ($\mu S \cdot cm^{-1}$ à 25°C)	Turbidité (UTJ)	Alcalinité totale (ppm)	Calcium (ppm)	Chlorure (ppm)	Bicarbonate (ppm)
1972	6,2	4,0	8,0	0,6	2,0	1,5	0,6	2,4

TABLEAU 299. Résumé des données sur les unités d'élevage et de frai et la production annuelle potentielle estimative de smolts et de saumons de l'Atlantique adultes du ruisseau Stag Bay (Murphy 1973). Aucun secteur inaccessible n'y a été repéré.

	Secteurs accessibles	
Emplacement	Unités de frai	Unités d'élevage
Axe principal	484	3326
T1	44	786
T2	36	648
Total	564	4760
Production estimative		
Smolts		9520
Adultes		1428

Ruisseau Rattling

N° 62, fig. 77

Le ruisseau Rattling coule vers le nord sur une distance de 29 km puis se jette dans la mer du Labrador (fig. 85). De son embouchure jusqu'au kilomètre 6, il a une largeur moyenne de 50 km et il serpente sur un substrat de graviers et de moellons (Murphy 1973). La vitesse du courant est élevée du kilomètre 6 aux eaux d'amont. De nombreux bassins se forment entre le lit de moellons et de blocs et les affleurements rocheux éparpillés çà et là. La vallée fluviale arrondie des secteurs inférieur et médian est recouverte d'épinettes rabougries. La région des eaux d'amont est dénudée. Le bassin versant a une superficie de 285 km^2 et est alimenté par 10 tributaires qui ont une longueur totale de 71 km (tableau 300) ; Murphy (1973) considérait qu'aucun des tributaires n'était assez important pour justifier des recherches.

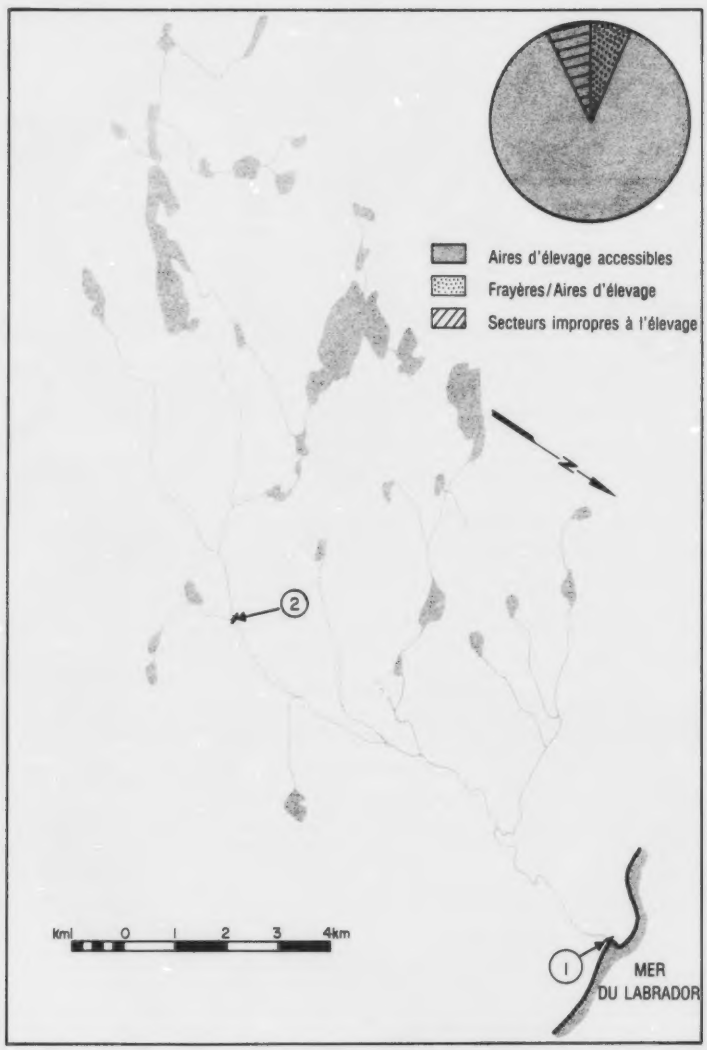

FIG. 85. Carte du ruisseau Rattling montrant les aires d'élevage accessibles au tacon du saumon de l'Atlantique.

Des obstacles franchissables se trouvent au kilomètre 16,1 de l'axe principal du ruisseau Rattling, et à son embouchure (tableau 301). Le saumon de l'Atlantique, l'omble de fontaine anadrome et l'omble arctique se rassemblent en aval des premières chutes où les pêcheurs à la ligne ont souvent attrapé des madeleineaux. On ne sait pas si la rivière a atteint sa production annuelle potentielle, évaluée par Murphy (1973) à 3 392 saumons de l'Atlantique adultes (tableau 302).

TABLEAU 300. Caractéristiques physiques du ruisseau Rattling.

Référence cartographique:	Rigolet 13J 1:250 000	Élévation maximale du bassin versant:	305 m
Latitude de l'embouchure:	54°51'N	Longueur réelle de l'axe principal (en suivant les méandres):	32 km
Longitude de l'embouchure:	58°56'W	Longueur totale, y compris des tributaires:	103 km
Direction générale de l'écoulement:	Nord	Nombre de tributaires:	10
Superficie du bassin versant:	285 km^2	Formation géologique:	Gneiss
Largeur moyenne	9 km		
Longueur de l'axe	31 km		
Périmètre du bassin versant	77 km		

TABLEAU 301. Obstacles du ruisseau Rattling (Murphy 1973).

Renvoi à la figure 85	Emplacement	Distance de l'embouchure (km)	Type	Description			Obstacle au passage du poisson
				Hauteur (m)	Largeur (m)	Pente (°)	
1	Axe principal	0,0	Chutes	3,1	31,5	60	Franchissable
2	Axe principal	16,1	Chutes	3,1	31,5	50	Franchissable

TABLEAU 302. Résumé des données sur les unités d'élevage et de frai et la production annuelle potentielle estimative de smolts et de saumons de l'Atlantique adultes du ruisseau Rattling (Murphy 1973). Aucun secteur inaccessible n'y a été repéré.

	Secteurs accessibles	
Emplacement	Unités de frai	Unités d'élevage
Axe principal	785	11 308
Total	785	11 308
Production estimative		
Smolts		22 616
Adultes		3 392

Rivière Big

N° 63, fig. 77

La rivière Big court vers le nord-est sur une distance de 135 km, depuis sa source formée de lacs et d'étangs jusqu'à son embouchure située à 30 km au sud du village de Makkovik (fig. 86). Depuis quelques années, la rivière a pris de l'importance en raison d'une découverte d'uranium, appelé gîte Michelin, près d'un petit tributaire des eaux d'amont. Brinex, une filiale à part entière de la Brinco Limited créée pour l'exploration, a évalué les réserves à 2 826 800 t à cet endroit (d'après les carottes de sondage). Millan (1974) estime le potentiel hydro-électrique de la rivière Big à 230 MW, le dixième en importance des 19 sites étudiés au Labrador. Le bassin versant ne compte aucun résident permanent même si des habitants de Makkovik visitent l'embouchure de la rivière pour chasser les phoques de la baie qui, selon les rapports de Sollows *et al.* (1954), y sont abondants. Le camp de pêche sportive de la rivière Big est exploité en saison, dans le cours inférieur, depuis 1967.

Le bassin versant de la rivière Big a une superficie de 2 849 km^2 (tableau 303). Sa partie inférieure a une largeur variant de 100 à 350 m et s'écoule sur un lit de vase et de sable en pente douce. À dix kilomètres de l'embouchure, la rivière se rétrécit, la vitesse du courant augmente et le substrat du fond devient plus grossier (surtout des graviers, des moellons et des blocs). Il y a plusieurs petits rapides dans cette section et des chutes, situées aux kilomètres 38,6 et 43,5, qui obstruent partiellement la migration du poisson (tableau 304). Le lac White Bear (L1), situé au kilomètre 52, est le premier d'un chapelet de lacs qui forme les eaux d'amont.

Plusieurs des tributaires de la rivière Big offrent d'importantes aires d'élevage du jeune poisson. Murphy (1973) a effectué des relevés dans sept de ces cours d'eau et enregistré 8 796 unités d'élevage, les tributaires T3, T15 et T16 (rivière Stanfords) offrant le potentiel le plus élevé (tableau 305). Le passage du poisson est partiellement obstrué dans deux tributaires, le T3 et le T6 (tableau 304). Le bassin versant de la rivière Big est recouvert de forêts denses d'épinettes noires, sauf dans le secteur des eaux d'amont où les terres sont dénudées. Le tableau 306 présente les résultats d'analyses d'un échantillon d'eau prélevé en septembre 1976 (Jamieson 1979).

Le 9 juillet 1978, 48 poissons (16 meuniers rouges, 12 ombles de fontaine, 5 meuniers noirs et 15 ouananiches) ont été capturés au filet dans le lac White Bear. Le tableau 307 présente un résumé des données sur la longueur, le poids, le sexe et l'âge de ces poissons (Bruce *et al.* 1979). Les registres montrent que l'omble de fontaine et le saumon de l'Atlantique ont été pêché à la ligne dans la rivière Big, et Murphy (1973) et l'Association inuit du Labrador (1977) laissent à entendre que l'omble arctique pourrait également la fréquenter. Les prises à la ligne d'ombles de fontaine dulçaquicoles pesant plus de 0,5 kg chacune sont les suivantes: 75 en 1965, 100 en 1966 et 75 en 1967. Les prises d'ombles de fontaine anadromes, effectuées accessoirement au camp de pêche situé à l'embouchure, étaient au total de 743 de 1968 à 1975, 68 d'entre eux pesant au moins 1,8 kg chacun (tableau 308). Nous ne connaissons pas le degré de fiabilité de ces relevés.

La rivière Big est désignée pour la pêche à la ligne au saumon de l'Atlantique qui, selon les rapports, est excellente. Les prises moyennes par jour de pêche à la ligne sont de 1,43 pour les 15 années où des données ont été recueillies (tableau 309). La plupart de ces poissons ont été capturés à moins d'un mille d'un camp touristique situé dans la partie inférieure de la rivière pendant une période de quatre à cinq semaines, à la fin juillet et en août (T. Curran, comm. pers.). En 1975, un échantillon de 75 saumons a été prélevé dans les prises à la ligne. Le tableau 310 présente les données sur le rapport des sexes, l'âge, le poids et la longueur à la fourche des individus. On pense que la migration du saumon commence par une montaison précoce des grandes femelles à la fin juin et au début juillet, suivie d'une remonte de madeleineaux et ensuite des grands saumons mâles à la fin d'août et au début de septembre (W. Anderson, comm. pers.). D'après les unités d'élevage observées lors de son relevé de 1972, Murphy (1973) estime la production annuelle potentielle à 3 264 saumons de l'Atlantique (tableau 305). Les données sur les prises à la ligne révèlent que ce cours d'eau est fréquenté par une population importante de saumons. La production pourrait être supérieure à celle estimée par Murphy en raison de la présence de vastes étendues d'eaux stagnantes.

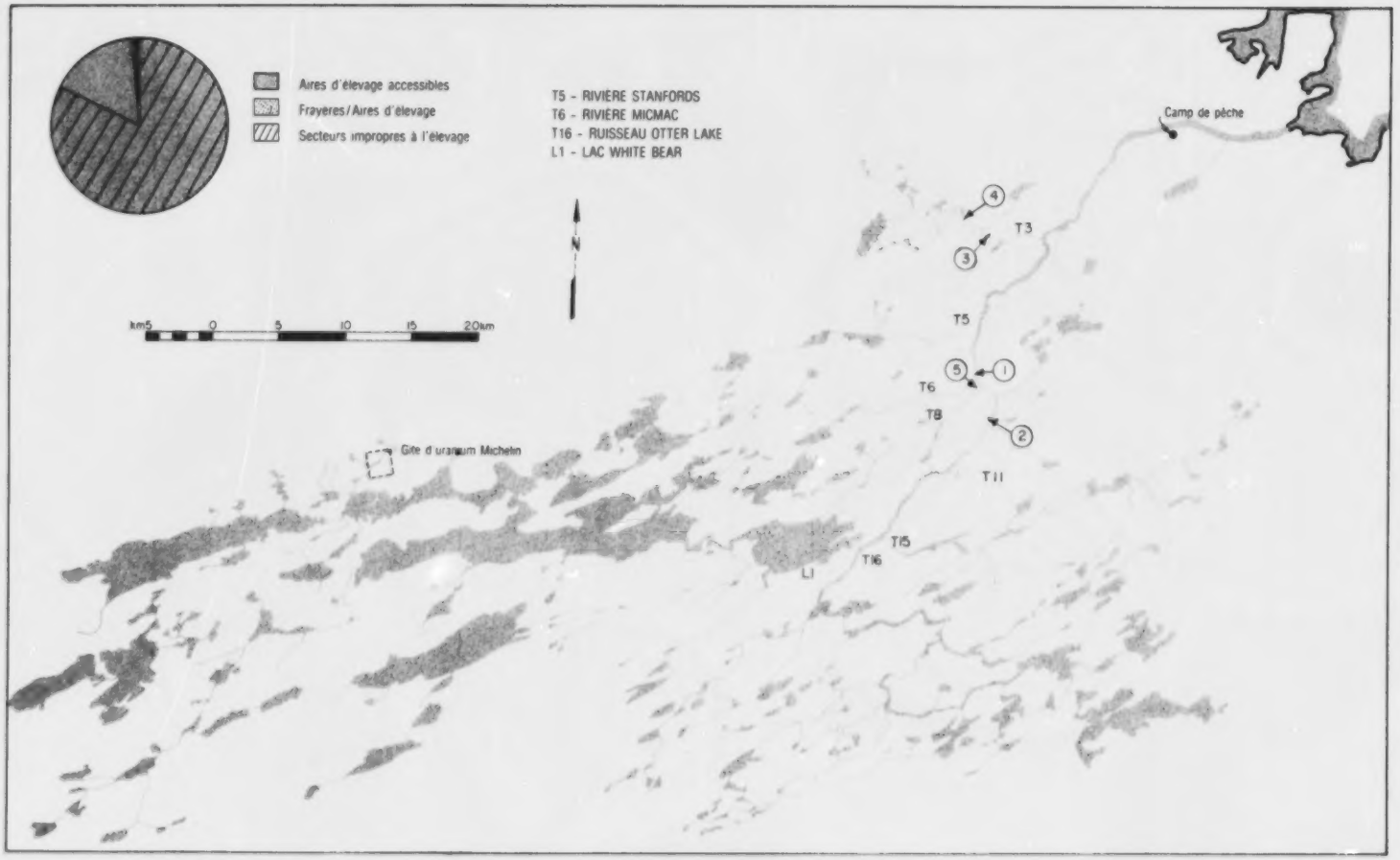

FIG. 86. Carte de la rivière Big montrant les aires d'élevage accessibles au tacon du saumon de l'Atlantique.

TABLEAU 303. Caractéristiques physiques de la rivière Big.

Référence cartographique:	Rigolet 13J Lac Snegamook 13K 1:250 000	Élévation maximale du bassin versant:	366 m
Latitude de l'embouchure:	54°50'N	Longueur réelle de l'axe principal (en suivant les méandres):	52 km
Longitude de l'embouchure:	58°55'W	Nombre de tributaires:	17
Direction générale de l'écoulement:	Nord-est	Formation géologique:	Gneiss
Superficie du bassin versant:	2849 km^2		
Largeur moyenne	26 km		
Longueur de l'axe	110 km		
Périmètre du bassin versant	343 km		

TABLEAU 304. Obstacles de la rivière Big (Murphy 1973).

Renvoi à la figure 86	Emplacement	Distance de l'embouchure (km)	Type	Description			Obstacle au passage du poisson
				Hauteur (m)	Largeur (m)	Pente (°)	
1	Axe principal	38,6	Chutes	3,1	45,6	45	Franchissable
2	Axe principal	43,5	Chutes	4,6	45,6	30	Franchissable
3	T3	6,4	Chutes	3,1	22,9	45	Franchissable
4	T3	9,7	Chutes	2,4	7,6	45	Franchissable
5	T6	0,0	Chutes	2,4	9,2	60	Franchissable

TABLEAU 305. Résumé des données sur les unités d'élevage et de frai et la production annuelle potentielle estimative de smolts et de saumons de l'Atlantique adultes de la rivière Big (Murphy 1973). Aucun secteur inaccessible n'y a été repéré.

	Secteurs accessibles	
Emplacement	Unités de frai	Unités d'élevage
Axe principal	429	2 083
T3	130	2 552
T5	461	1 334
T6	225	914
T8	0	388
T11	29	248
T15	0	1 680
T16	0	1 680
Total	1 274	10 879
Production estimative		
Smolts	21 758	
Adultes	3 264	

TABLEAU 306. Résultats des analyses d'un échantillon d'eau prélevé dans la rivière Big, 1976 (Jamieson 1979).

Année	pH	Dureté totale (ppm)	Conductivité spécifique ($\mu S \cdot cm^{-1}$ à 25°C)	Turbidité (UTJ)	Alcalinité totale (ppm)	Calcium (ppm)	Chlorure (ppm)	Bicarbonate (ppm)
1976	5,5	4,0	16,0	2,5	1,0	0,7	1,7	1,2

TABLEAU 307. Résumé des données sur le sexe, la longueur à la fourche, le poids entier, l'âge et la teneur en mercure du meunier rouge, de l'omble de fontaine et du meunier noir capturés dans le lac White Bear, 9 juillet 1978 (Bruce *et al.* 1979).

Espèce	Sexe	*N*	Longueur moyenne à la fourche (cm)	Poids entier moyen (kg)	Âge moyen (années)	Teneur moyenne en mercure (ppm)	Plage des teneurs en mercure (ppm)
Meunier rouge	M	8	35,7	0,49	10,4	0,21	0,14–0,30
	F	8	37,3	0,59	11,3	0,12	0,06–0,17
Total		16	36,5	0,54	10,8	0,17	0,06–0,30
Omble de	M	10	37,0	0,51	5,1	0,09	0,02–0,31
fontaine	F	2	33,8	0,41	4,5	0,04	0,04–0,05
Total		12	36,4	0,50	5,0	0,08	0,02–0,31
Meunier noir	M	2	35,0	0,53	7,5	0,12	0,08–0,16
	F	3	39,4	0,81	7,7	0,22	0,08–0,38
Total		5	37,6	0,70	7,6	0,18	0,08–0,38
Ouananiche	M	9	37,6	0,50	8,2	0,36	0,23–0,61
	F	6	37,1	0,65	7,5	0,41	0,07–1,03
Total		15	37,4	0,56	7,9	0,38	0,07–1,03

TABLEAU 308. Résumé des données sur les prises à la ligne d'ombles de fontaine anadromes, rivière Big, 1968–1975 (MPO, données inédites).

	Poids (kg)				
Année	<0,5	≥0,5 à 0,9 kg	≥0,9 à <1,8 kg	≥1,8	Total
1968	0	75	0	0	75
1969	0	0	300	0	300
1970	0	0	79	0	79
1971	0	2	50	0	52
1972	0	3	26	43	72
1973	0	0	25	25	70
1974	0	0	26	0	26
1975	—	—	—	—	89[a]
Total	0	80	506	68	743

[a] Poids entier inconnu

TABLEAU 309. Résumé des données sur la pêche à la ligne du saumon de l'Atlantique, rivière Big, 1964-1980 (Moores *et al.* 1978; Moores et Tucker 1979, 1980, 1981).

Année	Madeleineaux <2,7 kg	Grands saumons ≥2,7 kg	Total	Jours de pêche à la ligne	Prises par jour de pêche à la ligne
1964	5	0	5	12	0,42
1965	20	5	25	65	0,38
1966	70	15	85	45	1,89
1967	10	28	38	140	0,27
1968	68	99	167	243	0,69
1969	—	—	—	—	—
1970	73	32	105	95	1,11
1971	93	25	118	190	0,62
1972	263	57	320	193	1,66
1973	325	0	325	200	1,63
1974	54	3	57	75	0,76
1975	—	—	—	—	—
1976	199	75	274	129	2,12
1977	215	120	335	121	2,77
1978	399	62	461	198	2,33
1979	274	49	323	293	1,10
1980	570	130	700	343	2,04
Moyenne	176	47	223	156	1,43

TABLEAU 310. Rapport des sexes (% de F), âge, poids et longueur à la fourche du saumon de l'Atlantique prélevé parmi les prises à la ligne, juillet et août 1975, rivière Big (MPO données inédites).

	Madeleineaux								Saumons dibermarins							
	Femelles		Nombre d'années passées en eau douce		Poids (g)		Longueur à la fourche (cm)		Femelles		Nombre d'années passées en eau douce		Poids (g)		Longueur à la fourche (cm)	
	%	*n*	an	*n*	$\bar{x}$	*n*	$\bar{x}$	*n*	%	*n*	an	*n*	$\bar{x}$	*n*	$\bar{x}$	*n*
	50,0	12	3	12	1963	12	55,4	12	0,0	2	3	2	4470	2	74,5	2
	72,9	48	4	48	1942	48	54,9	48	60,0	5	4	5	4150	5	67,4	5
	57,1	7	5	7	1954	7	54,1	7	100	1	5	1	4540	1	75,0	1
		67		67		67		67		8		8		8		8
Moyenne	67,2		3,9		1947		54,9		50,0		3,9		4279		70,1	

Ruisseau Adlavik

N° 64, fig. 77

Le ruisseau Adlavik (ruisseau South) est un cours d'eau relativement petit qui se jette dans la baie Adlavik (fig. 87). Il coule vers l'est et traverse une vallée densément boisée. Son bassin versant est de 233 km^2; le tableau 311 en présente les caractéristiques physiques.

Murphy (1973) y a effectué un relevé en 1972 et signale que même si l'ensemble du réseau est accessible aux poissons anadromes, des chutes situées au kilomètre 22,5 de l'axe principal et dans les tributaires T3 et T4 forment des obstacles qui obstruent partiellemeent leur migration (tableau 312). De son embouchure au kilomètre 2, le cours d'eau a 61 m de largeur et coule en pente douce sur un substrat de sable et de vase. Plus en amont, le cours d'eau se rétrécit à 30 m. Il reste lent et serpente dans des sédiments vaseux qui donnent une teinte brunâtre à l'eau. Du kilomètre 10 au kilomètre 16, la vitesse du courant augmente et la composition du fond change, les blocs se mêlant aux moellons. En amont du kilomètre 16, le cours d'eau a 18 m de largeur. La vitesse du courant diminue en raison du terrain plat. Murphy (1973) signale que quatre des six tributaires du réseau renferment de bonnes frayères ou des aires d'élevage adéquates pour le saumon de l'Atlantique, ou les deux (tableau 313). Le tableau 314 présente les résultats d'analyses des deux échantillons prélevés dans ce cours d'eau en 1972 (Jamieson 1979).

Selon Murphy (1973), ce réseau fluvial abrite des populations de saumon de l'Atlantique, d'omble arctique et d'omble de fontaine. Les résidents de cette région se sont déjà rendus dans ce cours d'eau au printemps pour y capturer des poissons de l'importante dévalaison d'ombles de fontaine et d'ombles arctiques (W. Anderson, comm. pers.). D'après son relevé, Murphy a estimé la production annuelle potentielle du ruisseau Adlavik à 2 156 saumons de l'Atlantique (tableau 313).

TABLEAU 311. Caractéristiques physiques du ruisseau Adlavik.

Référence cartographique:	Rigolet 13J 1:250 000	Élévation maximale du bassin versant:	244 m
Latitude de l'embouchure:	54°52′N	Longueur réelle de l'axe principal (en suivant les méandres):	32 km
Longitude de l'embouchure:	58°58′W	Longueur totale, y compris des tributaires:	73 km
Direction générale de l'écoulement:	Est	Nombre de tributaires:	6
Superficie du bassin versant:	233 km^2	Formation géologique:	Sédiments du Précambrien, roches volcaniques et gneiss.
Largeur moyenne	7 km		
Longueur de l'axe	29 km		
Périmètre du bassin versant	103 km		

TABLEAU 312. Obstacles du ruisseau Adlavik (Murphy 1973).

Renvoi à la figure 87	Emplacement	Distance de l'embouchure (km)	Type	Description			Obstacle au passage du poisson
				Hauteur (m)	Largeur (m)	Pente (°)	
1	Axe principal	22,5	Chutes	—	—	—	Franchissable
2	T3	—	Chutes (2)	—	—	—	Franchissable
3	T4	—	Chutes	—	—	—	Franchissable

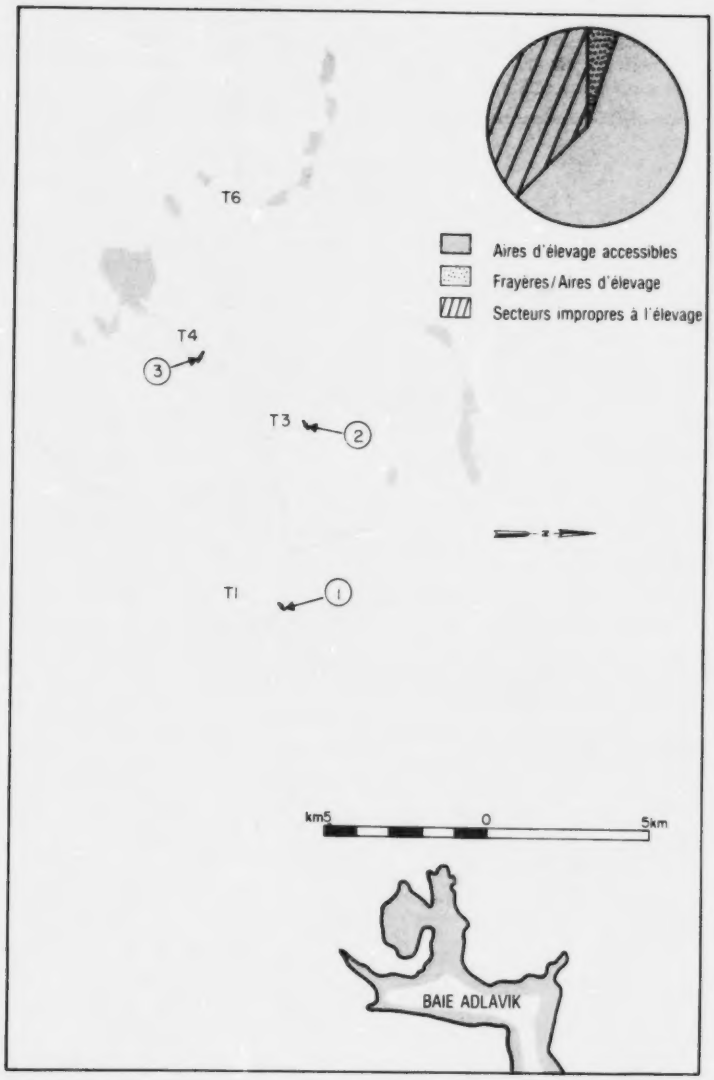

FIG. 87. Carte du ruisseau Adlavik montrant les aires d'élevage accessibles au tacon du saumon de l'Atlantique.

TABLEAU 313. Résumé des données sur les unités d'élevage et de frai et la production annuelle potentielle estimative de smolts et de saumons de l'Atlantique adultes du ruisseau Adlavik (Murphy 1973). Aucun secteur inaccessible n'y a été repéré.

	Secteurs accessibles	
Emplacement	Unités de frai	Unités d'élevage
Axe principal	546	4 765
T1	0	876
T3	58	969
T4	0	288
T6	0	288
Total	604	7 186
Production estimative		
Smolts	14 372	
Adultes	2 156	

TABLEAU 314. Résultats des analyses de 2 échantillons d'eau prélevés dans le ruisseau Adlavik, 1972 (Jamieson 1979).

Année	pH	Dureté totale (ppm)	Conductivité spécifique ($\mu S \cdot cm^{-1}$ à 25°C)	Turbidité (UTJ)	Alcalinité totale (ppm)	Calcium (ppm)	Chlorure (ppm)	Bicarbonate (ppm)
1972	6,5	5,0	13,0	0,7	2,0	2,5	0,8	2,4

Rivière 65 (sans nom) *N° 65, fig. 77*

Ce petit cours d'eau coule vers l'est pour se jeter dans la baie Adlavik (fig. 88). Son bassin versant a une superficie de 39 km^2 (tableau 315). Murphy (1973) indique que le cours d'eau passe de 9 m de largeur sur les 3 kilomètres du cours inférieur à 5 m sur les six autres kilomètres qu'il a étudiés. Le réseau ne comporte aucun obstacle à la migration du poisson; sur les huit derniers kilomètres, la rivière coule sur un substrat de moellons et de blocs et on retrouve des graviers dans le secteur d'amont. Le bassin versant est recouvert de forêts denses d'épinettes noires, végétation caractéristique de cette section du littoral.

Peu de choses sont connues sur les populations de poissons de ce cours d'eau. Murphy (1973) prétend que la rivière est surtout un « cours d'eau à truite » et qu'elle n'est fréquentée que par un nombre très limité de saumons de l'Atlantique. D'après son relevé, il a évalué la production potentielle annuelle à 160 saumons de l'Atlantique adultes (tableau 316).

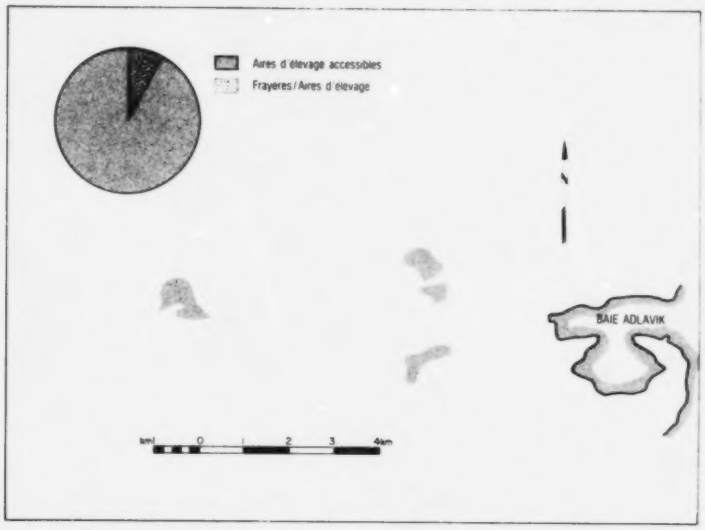

FIG. 88. Carte de la rivière 65 (sans nom) montrant les aires d'élevage accessibles au tacon du saumon de l'Atlantique.

TABLEAU 315. Caractéristiques physiques de la rivière 65.

Référence cartographique:	Rigolet 13J 1:250 000	Élévation maximale du bassin versant:	214 m
Latitude de l'embouchure:	54°52′N	Longueur réelle de l'axe principal (en suivant les méandres):	10 km
Longitude de l'embouchure:	59°02′W	Longueur totale, y compris des tributaires:	10 km
Direction générale de l'écoulement:	Est	Nombre de tributaires:	1
Superficie du bassin versant:	39 km^2	Formation géologique:	Gneiss
Largeur moyenne	5 km		
Longueur de l'axe	11 km		
Périmètre du bassin versant	26 km		

TABLEAU 316. Résumé des données sur les unités d'élevage et de frai et la production annuelle potentielle estimative de smolts et de saumons de l'Atlantique adultes de la rivière 65 (Murphy 1973). Aucun secteur inaccessible n'y a été repéré.

	Secteurs accessibles	
Emplacement	Unités de frai	Unités d'élevage
Axe principal	42	533
Total	42	533
Production estimative		
Smolts	1066	
Adultes	160	

Ce ruisseau coule vers l'est pour se jeter du côté nord de la baie Adlavik (fig. 89). Ce petit bassin versant (29 km^2) se compose principalement de plusieurs étangs et d'un lac situés dans les eaux d'amont. La longueur totale de l'axe principal et de son unique tributaire est de 8 km (tableau 317).

Deux chutes, l'une à l'embouchure et l'autre en amont du premier étang de l'axe principal, ont été signalées (tableau 318), mais leur degré d'obstruction à la migration des poissons n'a pas été établi (Murphy, renseignements inédits). La rivière a 15 m de largeur à son embouchure et se rétrécit à 6 m en amont du troisième étang où le substrat comporte un fort pourcentage de gravier. Nous ne disposons d'aucun renseignement sur les espèces de poissons fréquentant cette rivière ; on devrait toutefois y trouver des populations d'ombles de fontaine et d'ombles arctiques, compte tenu de la taille et de l'emplacement de ce cours d'eau.

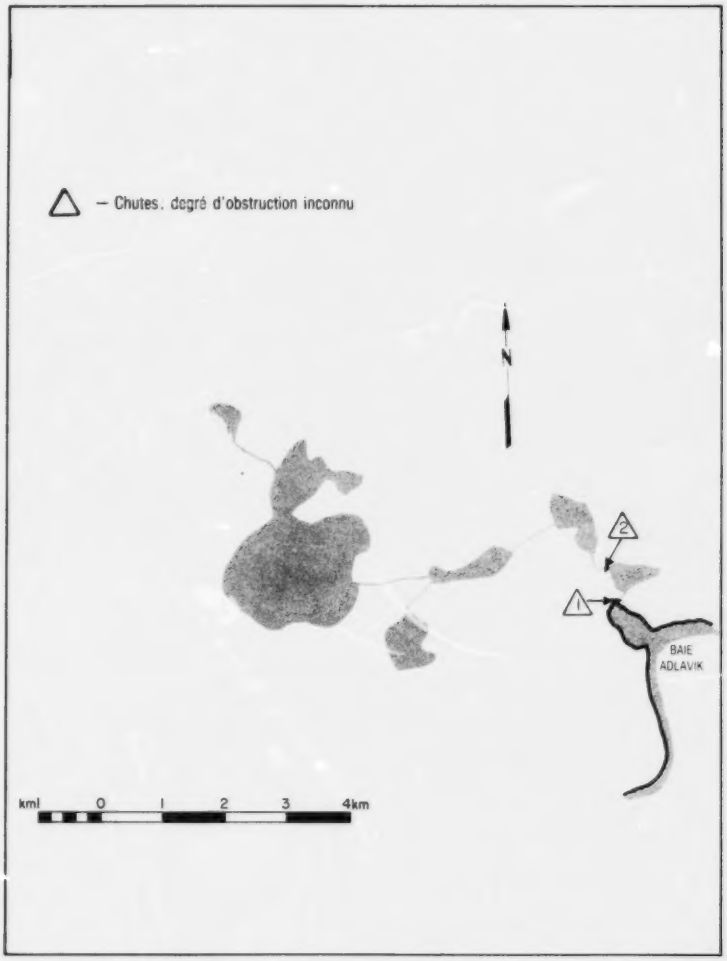

FIG. 89. Carte de la rivière 66 (sans nom) montrant les aires d'élevage accessibles ou inaccessibles au tacon du saumon de l'Atlantique.

TABLEAU 317. Caractéristiques physiques de la rivière 66.

Référence cartographique:	Rigolet 13J 1:250 000	Élévation maximale du bassin versant:	122 m
Latitude de l'embouchure:	54°54′N	Longueur réelle de l'axe principal (en suivant les méandres):	6 km
Longitude de l'embouchure:	58°59′W	Longueur totale, y compris des tributaires:	8 km
Direction générale de l'écoulement:	Est	Nombre de tributaires:	1
Superficie du bassin versant:	29 km^2	Formation géologique:	Sédiments du Précambien et roches volcaniques
Largeur moyenne	5 km		
Longueur de l'axe	8 km		
Périmètre du bassin versant	23 km		

TABLEAU 318. Obstacles de la rivière 66 (H.P. Murphy, renseignements inédits).

Renvoi à la figure 89	Emplacement	Distance de l'embouchure (km)	Type	Description			Obstacle au passage du poisson
				Hauteur (m)	Largeur (m)	Pente (°)	
1	Axe principal	0,0	Chutes	2,4	—	—	Inconnu
2	Axe principal	—	Chutes	—	—	—	Inconnu

Ruisseau Makkovik *N° 67, fig. 77*

Le ruisseau Makkovik se jette dans le havre du même nom à 2 km de la collectivité de Makkovik (fig. 90). Son bassin versant a une superficie de 111 km^2 et l'axe principal coule vers le nord sur une distance de 21 km (tableau 319). L'embouchure du cours d'eau a une largeur de 46 m, se rétrécissant à 30 m au kilomètre 1. Entre les kilomètres 3 et 16, le ruisseau se divise en une série de quatre petits lacs. Entre le premier et le deuxième lacs, la pente est abrupte et les obstacles franchissables se retrouvent aux kilomètres 6,4 et 8,1; au kilomètre 9,7, une chute verticale de 4,6 m obstrue complètement la migration du poisson (tableau 320). Les six tributaires du réseau sont relativement petits et souvent à sec pendant l'été. Le cours d'eau traverse des montagnes, et la végétation environnante se compose d'épinettes noires rabougries dans la partie inférieure du bassin versant et de mousses et de lichens dans le secteur d'amont. Le tableau 321 présente les résultats des analyses d'un échantillon d'eau prélevé en 1972 (Jamieson 1979).

Les habitants de Makkovik signalent une montaison de saumons de l'Atlantique et de truites (ombles arctiques, ombles de fontaine ou les deux) dans le ruisseau Makkovik (Murphy 1973). Nous ne disposons d'aucun

FIG. 90. Carte du ruisseau Makkovik montrant les aires d'élevage accessibles et inaccessibles au tacon du saumon de l'Atlantique.

renseignement sur la taille des populations et la période des migrations. À partir d'un relevé effectué en 1972, Murphy (1973) a évalué la production annuelle potentielle des secteurs accessibles du ruisseau Makkovik à 654 saumons de l'Atlantique adultes (tableau 322). Il a évalué que les secteurs inaccessibles devraient pouvoir produire 156 poissons.

TABLEAU 319. Caractéristiques physiques du ruisseau Makkovik.

Référence cartographique:	Rigolet 13J Makkovik 13-O 1:250 000	Élévation maximale du bassin versant:	275 m
Latitude de l'embouchure:	55°04′N	Longueur réelle de l'axe principal (en suivant les méandres):	21 km
Longitude de l'embouchure:	59°10′W	Longueur totale, y compris des tributaires:	34 km
Direction générale de l'écoulement:	Nord	Nombre de tributaires:	6
Superficie du bassin versant:	111 km^2	Formation géologique:	Sédiments du Précambien et roches volcaniques
Largeur moyenne	7 km		
Longueur de l'axe	17 km		
Périmètre du bassin versant	48 km		

TABLEAU 320. Obstacles du ruisseau Makkovik (Murphy 1973).

Renvoi à la figure 90	Emplacement	Distance de l'embouchure (km)	Type	Description			Obstacle au passage du poisson
				Hauteur (m)	Largeur (m)	Pente (°)	
1	Axe principal	6,4	Chutes	2,4	30,5	45	Franchissable
2	Axe principal	8,1	Chutes	2,4	22,9	90	Franchissable
3	Axe principal	9,7	Chutes	4,6	3,1	90	Infranchissable

TABLEAU 321. Résultats des analyses d'un échantillon d'eau prélevé dans le ruisseau Makkovik, 1972 (Jamieson 1979).

Année	pH	Dureté totale (ppm)	Conductivité spécifique ($\mu S \cdot cm^{-1}$ à 25°C)	Turbidité (UTJ)	Alcalinité totale (ppm)	Calcium (ppm)	Chlorure (ppm)	Bicarbonate (ppm)
1972	6,3	5,0	15,0	0,8	3,0	2,5	0,6	3,7

TABLEAU 322. Résumé des données sur les unités d'élevage et de frai et la production annuelle potentielle estimative de smolts et de saumons de l'Atlantique adultes du ruisseau Makkovik (Murphy 1973).

Emplacement	Secteurs accessibles		Secteurs inaccessibles	
	Unités de frai	Unités d'élevage	Unités de frai	Unités d'élevage
Axe principal	63	2179	44	520
Total	63	2179	44	520
Production estimative				
Smolts	4358		1040	
Adultes	654		156	

Rivière Makkovik

N° 68, fig. 77

La rivière Makkovik coule en direction nord-est pour se jetter dans la baie du même nom à 25 km au sud-est de la collectivité de Makkovik (fig. 91). Cette rivière a un bassin versant d'une superficie de 259 km^2; la longueur totale de l'axe principal et de ses sept tributaires est de 92 km (tableau 323). L'embouchure a une largeur de 36 m; les trois premiers kilomètres sont peu profonds et coulent sur un substrat de moellons et de blocs. Un lac s'étend du kilomètre 3 au kilomètre 6. L'Association inuit du Labrador (1977) signale que des phoques communs fréquentent le cours inférieur de la rivière, y passent souvent l'hiver et s'y reproduisent. Du kilomètre 8 aux eaux d'amont, le courant est souvent interrompu par des étendues d'eau calme et de petits étangs. La seule chute du réseau, située au kilomètre 11,3, bloque partiellement la migration du poisson (tableau 324). Trois tributaires du réseau, le T4, le T5 et le T6, sont assez importants pour être fréquentés par le saumon de l'Atlantique et contiennent près de 50 % de l'ensemble des aires d'élevage du jeune poisson (tableau 325). Murphy (1973) signale que la végétation environnante de la partie inférieure du bassin versant se compose de forêts denses d'épinettes noires qui ont toutefois été récemment détruites par le feu. Dans la section des eaux d'amont, la végétation dominante est celle propre aux terres dénudées. Le tableau 326 présente les résultats d'analyses d'un échantillon d'eau prélevé en 1976 (Jamieson 1979).

Les habitants de Makkovik signalent une montaison de saumons de l'Atlantique et d'ombles de fontaine dans cette rivière (Murphy 1973); l'omble arctique fraye presque partout dans les eaux d'amont (Association inuit du Labrador 1977). D'après Sollows *et al.* (1954), les grands saumons, les madeleineaux, les tacons et les ombles de fontaine y sont nombreux. La rivière Makkovik n'est pas désignée pour la pêche à la ligne au saumon de l'Atlantique même si un camp de pêche sportive y est exploité depuis 1974. L'unique capture de saumon de l'Atlantique enregistrée officiellement date de 1976 lorsqu'un grand saumon a été attrapé après six jours de pêche à la ligne. En 1974, on a signalé un total de 37 ombles de fontaine dulçaquicoles pêchés à la ligne. En 1954, des trappeurs ont dit à Sollows *et al.* (1954) qu'ils avaient observé un grand nombre de saumons dans cette rivière au début de l'automne. Murphy (1973) estime que la production annuelle de saumons de l'Atlantique adultes est de 1 569 (tableau 325). Cette évaluation pourrait être réaliste d'après les renseignements de relevés précédents et les activités de pêche à la ligne.

TABLEAU 323. Caractéristiques physiques de la rivière Makkovik.

Référence cartographique:	Rigolet 13J 1:250 000	Élévation maximale du bassin versant:	275 m
Latitude de l'embouchure:	54°58′N	Longueur réelle de l'axe principal (en suivant les méandres):	35 km
Longitude de l'embouchure:	59°25′W	Longueur totale, y compris des tributaires:	92 km
Direction générale de l'écoulement:	Nord-est	Nombre de tributaires:	7
Superficie du bassin versant:	259 km^2	Formation géologique:	Sédiments du Précambien et roches volcaniques
Largeur moyenne	9 km		
Longueur de l'axe	32 km		
Périmètre du bassin versant	77 km		

TABLEAU 324. Obstacles de la rivière Makkovik (Murphy 1973).

Renvoi à la figure 91	Emplacement	Distance de l'embouchure (km)	Type	Description			Obstacle au passage du poisson
				Hauteur (m)	Largeur (m)	Pente (°)	
1	Axe principal	11,3	Chutes	2,1	15,3	45	Franchissable

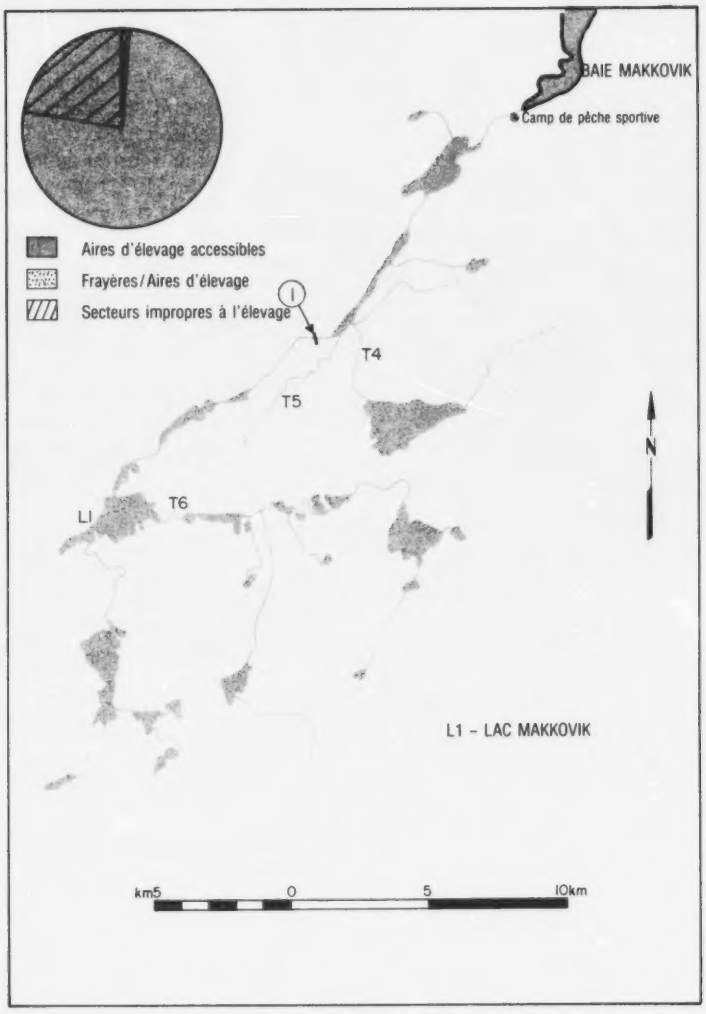

FIG. 91. Carte de la rivière Makkovik montrant les aires d'élevage accessibles au tacon du saumon de l'Atlantique.

TABLEAU 325. Résumé des données sur les unités d'élevage et de frai et la production annuelle potentielle estimative de smolts et de saumons de l'Atlantique adultes de la rivière Makkovik (Murphy 1973). Aucun secteur inaccessible n'y a été repéré.

	Secteurs accessibles	
Emplacement	Unités de frai	Unités d'élevage
Axe principal	44	2 761
T4	0	679
T5	24	168
T6	36	1 623
Total	104	5 231
Production estimative		
Smolts	10 462	
Adultes	1 569	

TABLEAU 326. Résultats des analyses d'un échantillon d'eau prélevé dans la rivière Makkovik en 1976 (Jamieson 1979).

Année	pH	Dureté totale (ppm)	Conductivité spécifique ($\mu S \cdot cm^{-1}$ à 25°C)	Turbidité (UTJ)	Alcalinité totale (ppm)	Calcium (ppm)	Chlorure (ppm)	Bicarbonate (ppm)
1976	5,9	6,0	21,0	1,0	2,0	0,6	4,0	2,4

Ruisseau South

N° 69, fig. 77

Le ruisseau South coule vers le nord-ouest pour se jeter dans la baie Kaipokok à environ 2 km au sud de l'embouchure de la rivière Kaipokok (fig. 92). Ce bassin versant renferme plusieurs lacs et étangs et deux des plus grands lacs indiqués à la fig. 92 (L1 et L2) ont respectivement une superficie de 1 040 et 3 370 ha (tableau 327). Il a une étendue de 399 km^2; Murphy (1973) indique que le ruisseau ne présente aucun obstacle à la migration du poisson malgré sa situation en région montagneuse. La végétation de la vallée fluviale se compose d'épinettes noires et les régions les plus élevées du bassin versant sont dénudées.

Les lacs et les étangs de ce ruisseau sont reliés par des tronçons au courant rapide qui offrent des aires d'élevage adéquates pour le jeune saumon de l'Atlantique. Murphy (1973) indique que le seul tributaire du réseau offrant des habitats propices au jeune saumon est le tributaire 2 (T2), qui contient 2 090 unités d'élevage et 232 unités de frai (tableau 328). Les sections de l'axe principal où Murphy a effectué des relevés contenaient 1 180 unités d'élevage et, d'après les aires d'élevage disponibles, ce dernier a évalué la production potentielle à 981 saumons de l'Atlantique adultes (tableau 328).

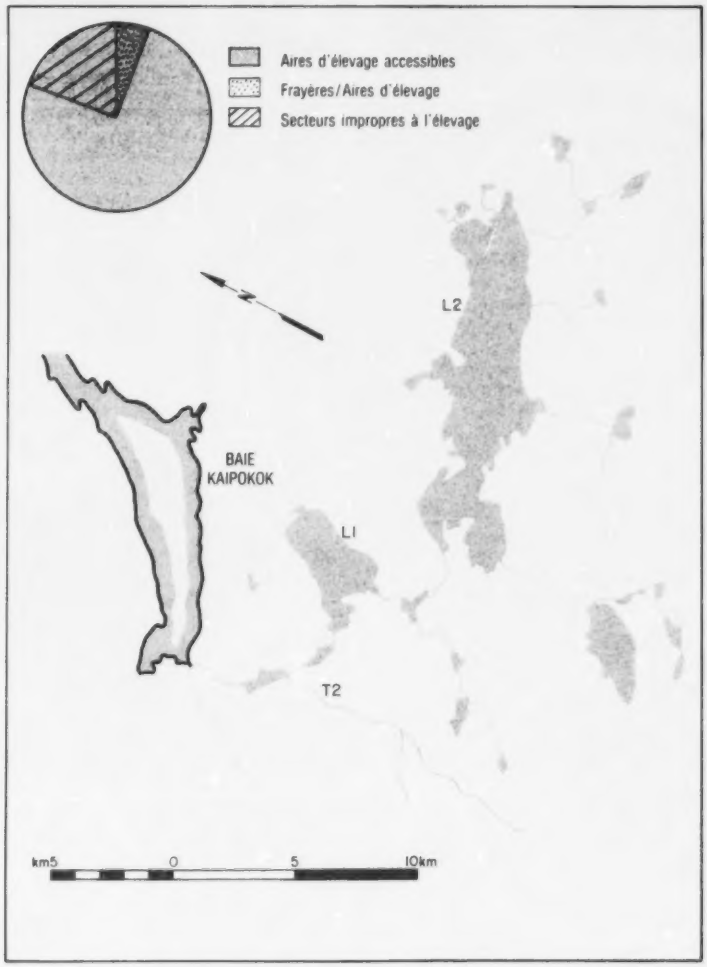

FIG. 92. Carte du ruisseau South montrant les aires d'élevage accessibles au tacon du saumon de l'Atlantique.

L'Association inuit du Labrador (1977) signale que le saumon de l'Atlantique pénètre dans ce cours d'eau au début de juillet; celui-ci est appelé « grey-backed, green-backed ou hooked-bill salmon » par les habitants de l'endroit. Ils les considèrent différents du saumon capturé à l'extérieur de la baie Kaipokok. L'omble arctique et l'omble de fontaine fréquentent également le ruisseau, même si la taille de la population n'est pas connue.

TABLEAU 327. Caractéristiques physiques du ruisseau South.

Référence cartographique:	Rigolet 13J Lac Snegamook 13K 1:250 000	Élévation maximale du bassin versant:	397 m
Latitude de l'embouchure:	54°45'N	Longueur réelle de l'axe principal (en suivant les méandres):	15 km
Longitude de l'embouchure:	59°56'W	Longueur totale, y compris des tributaires:	40 km
Direction générale de l'écoulement:	Nord-est	Nombre de tributaires:	9
Superficie du bassin versant:	399 km²	Superficie des lacs de plus de 100 ha:	
Largeur moyenne	12 km		
Longueur de l'axe	31 km	L1	1040 ha
Périmètre du bassin versant	100 km	L2	3370 ha
		Formation géologique:	Sédiments du Précambien et roches volcaniques

TABLEAU 328. Résumé des données sur les unités d'élevage et de frai et la production annuelle potentielle estimative de smolts et de saumons de l'Atlantique adultes du ruisseau South (Murphy 1973). Aucun secteur inaccessible n'y a été repéré.

	Secteurs accessibles	
Emplacement	Unités de frai	Unités d'élevage
Axe principal	0	1180
T2	232	2090
Total	232	3270
Production estimative		
Smolts	6540	
Adultes	981	

Rivière Kaipokok

N° 70, fig. 77

La rivière Kaipokok est un cours d'eau relativement important dont le bassin versant a une superficie de 2 499 km^2 (tableau 329). Elle coule vers le nord-est pour se jeter dans la baie Kaipokok, à 23 km au nord-ouest de la collectivité de Postville (fig. 93). Les scieries ont été le pilier économique de cette collectivité depuis sa création en 1941. L'Association inuit du Labrador (1977) estime que moins du tiers des 233 résidents (Statistique Canada 1981) pratiquent la pêche commerciale au saumon.

De son embouchure au kilomètre 3, la rivière Kaipokok a une largeur de 45 m et coule sur un substrat de moellons et de graviers. Le lac East Micmac (L1) est situé au kilomètre 3 et est alimenté par le lac West Micmac (L2); la superficie de ces lacs est respectivement de 700 et 910 ha (tableau 329). Sollows *et al.* (1954) et Murphy (1973) indiquent que ces lacs sont très peu profonds et vaseux, d'où l'envasement du cours inférieur de la rivière. Les habitants de Postville ont toujours chassé les oiseaux migrateurs dans cette région, piégé les animaux à fourrure et pêché l'éperlan. Des phoques communs fréquentent les deux lacs et y sont chassés en été (Association inuit du Labrador 1977). De l'entrée du lac West Micmac, au kilomètre 19, jusqu'au kilomètre 60, la rivière se rétrécit, passant de 119 à 23 m et coule lentement sur un substrat surtout sablonneux. Du kilomètre 60 aux eaux d'amont, situées au kilomètre 106, le fond se compose de matériaux plus grossiers, des graviers alternant avec des blocs et des moellons. Au kilomètre 67,6, une chute, dont la hauteur est de 1,8 à 2,4 m, n'obstrue pas complètement la migration du poisson contrairement à une autre chute verticale de 3,1 m au kilomètre 96,6 (tableau 330). Le lac Moran (L3) est situé au kilomètre 76 et est l'emplacement d'un camp d'exploitation minière. Pendant son relevé de 1972, Murphy (1973) a effectué des recherches dans 12 des 51 tributaires de cette rivière pour déterminer leur accessibilité et leur potentiel pour l'élevage des jeunes poissons. Sept de ces tributaires présentaient un obstacle ralentissant ou interrompant la migration du poisson (tableau 330). Le tableau 331 présente les unités de frai et d'élevage accessibles et inaccessibles. Le tableau 332 présente les résultats des analyses d'un échantillon d'eau prélevé le 21 août 1972 (Jamieson 1979).

Les habitants de Postville ont dit au personnel du MPO que le saumon de l'Atlantique, l'omble de fontaine, l'omble arctique et l'éperlan arc-en-ciel fréquentent la rivière Kaipokok. La migration du saumon comprend deux montaisons, la première de la mi-juillet à la mi-août et la seconde en octobre. Ces dernières années, le saumon de l'Atlantique y a été pêché au filet à des fins de consommation domestique (Asociation inuit du Labrador 1977). Sollows *et al.* (1954) jugent que les possibilités de pêche à la ligne dans la partie inférieure de la rivière sont pratiquement nulles en raison de la lenteur du courant et de l'envasement des eaux. Murphy (1973) souligne que l'absence de camp de pêche dans la région permet de supposer que la pêche à la ligne y est peu ou pas pratiquée. Sollows *et al.* (1954) auraient vu quelques saumons de l'Atlantique dans la partie inférieure de la rivière et des trappeurs ont vu des grands saumons dans les section d'aval à la fin de l'automne. Murphy (1973), d'après son relevé de 1972, estime la production annuelle des secteurs accessibles de la rivière Kaipokok à 7 202 saumons de l'Atlantique adultes (tableau 331). La vase pourrait être une entrave majeure à la reproduction du saumon (T. Curran, comm. pers.).

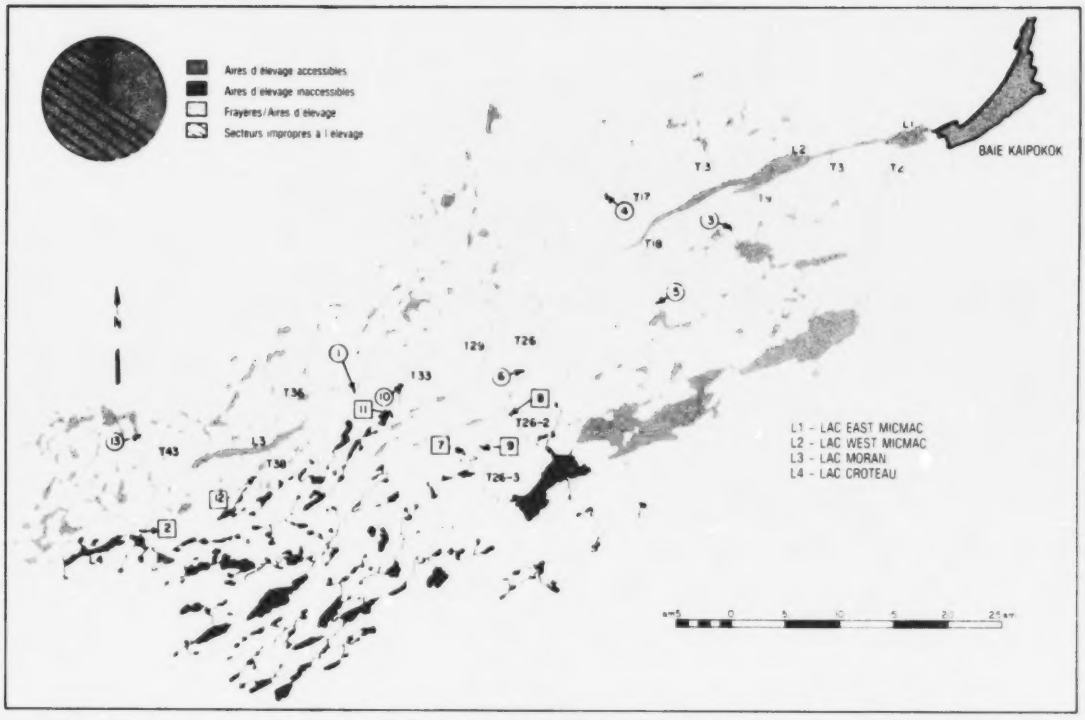

FIG. 93. Carte de la rivière Kaipokok montrant les aires d'élevage accessibles et inaccessibles au tacon du saumon de l'Atlantique.

TABLEAU 329. Caractéristiques physiques de la rivière Kaipokok.

Référence cartographique:	Rigolet 13J Snegamook 13K 1:250 000	Élévation maximale du bassin versant:	397 m
Latitude de l'embouchure:	54°45′N	Longueur réelle de l'axe principal (en suivant les méandres):	110 km
Longitude de l'embouchure:	60°04′W	Longueur totale, y compris des tributaires:	673 km
Direction générale de l'écoulement:	Nord-est	Nombre de tributaires:	51
Superficie du bassin versant:	2499 km²	Superficie des lacs de plus de 100 ha:	
Largeur moyenne	27 km	Lac East Micmac L1	700 ha
Longueur de l'axe	95 km	Lac West Micmac L2	910 ha
Périmètre du bassin versant	287 km	Lac Moran L3	830 ha
		Formation géologique:	Sédiments du Précambien, gneiss et roches volcaniques

TABLEAU 330. Obstacles de la rivière Kaipokok (Murphy 1973).

Renvoi à la figure 93	Emplacement	Distance de l'embouchure (km)	Type	Description			Obstacle au passage du poisson
				Hauteur (m)	Largeur (m)	Pente (°)	
1	Axe principal	67,6	Chutes	1,8–2,4	31,5	45	Franchissable
2	Axe principal	96,6	Chutes	3,1	—	90	Infranchissable
3	T9	4,8	Chutes	1,5	6,1	—	Franchissable
4	T17	6,4	Chutes	1,8	6,1	45	Franchissable
5	T18	6,4	Chutes	—	—	—	Franchissable
6	T26	9,7	Chutes	2,4–3,1	15,4	45	Franchissable
7	T26	20,9	Chutes	3,1–3,7	15,4	90	Infranchissable
8	T26-2	3,2	Chutes	2,4	3,1	75	Infranchissable
9	T26-3	1,6	Chutes	2,4	3,1	45	Infranchissable
10	T33	3,2	Chutes	1,8	4,6	60	Franchissable
11	T33	6,4	Chutes	4,6	6,1	90	Infranchissable
12	T38	3,2	Chutes	6,1	—	90	Infranchissable
13	T43	6,4	Chutes (3)	1,2–1,8	—	—	Franchissable

TABLEAU 331. Résumé des données sur les unités d'élevage et de frai et la production annuelle potentielle estimative de smolts et de saumons de l'Atlantique adultes de la rivière Kaipokok (Murphy 1973).

Emplacement	Secteurs accessibles		Secteurs inaccessibles	
	Unités de frai	Unités d'élevage	Unités de frai	Unités d'élevage
Axe principal	490	10 598	87	436
T2	80	402	0	0
T3	0	96	0	0
T9	161	1 610	0	0
T13	0	604	0	0
T17	0	685	0	0
T18	0	793	0	0
T26	0	6 409	0	2 320
T29	0	241	0	0
T33	0	448	0	0
T36	138	688	0	0
T38	48	480	0	0
T43	756[a]	952[a]	0	0
Total	1 673	24 006	87	2 756
Production estimative				
Smolts	48 012		5 512	
Adultes	7 202		827	

TABLEAU 332. Résultats des analyses d'un échantillon d'eau prélevé dans la rivière Kaipokok en 1972 (Jamieson 1979).

Année	pH	Dureté totale (ppm)	Conductivité spécifique ($\mu S \cdot cm^{-1}$ à 25°C)	Turbidité (UTJ)	Alcalinité totale (ppm)	Calcium (ppm)	Chlorure (ppm)	Bicarbonate (ppm)
1972	6,7	10,0	19,0	24,0	6,0	2,5	1,8	7,3

Rivière English

N° 71, fig. 77

La rivière English coule en direction est pour se jeter dans la baie Kaipokok à environ 8 km au sud-ouest de Postville (fig. 94). Elle a un bassin versant d'une superficie de 326 km^2 et est alimentée par huit tributaires (tableau 333). À son embouchure, elle est parsemée d'îles et renferme des amas de gravier propices au frai du saumon (Murphy 1973). En amont de l'embouchure jusqu'au kilomètre 1, la rivière est rapide et émerge d'un lac de 13 km de longueur (L1). En amont du lac L1, la rivière se compose d'un réseau de petits étangs reliés par des tronçons à substrat de blocs et de moellons. Le réseau comporte quatre chutes (tableau 334) dont l'une forme un obstacle infranchissable. Aucun habitat de tacon n'a été vu en amont de cet obstacle.

Le saumon de l'Atlantique pénètre dans la rivière English en juillet et les résidents de l'endroit soutiennent qu'une deuxième montaison se produit en octobre (Association inuit du Labrador 1977). La présence de l'omble de fontaine a déjà été signalée dans cette rivière et Murphy (1973) est d'avis que celle-ci pourrait être fréquentée par une population importante d'ombles arctiques en raison du vaste réseau d'étangs et de lacs. Murphy (1973)

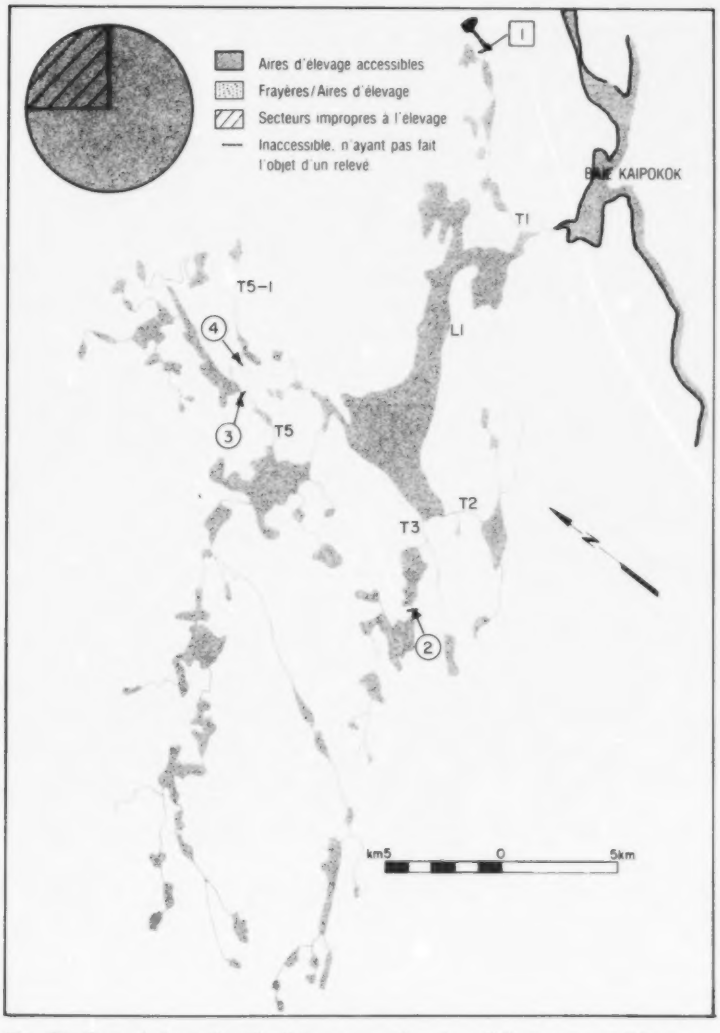

FIG. 94. Carte de la rivière English montrant les aires d'élevage accessibles au tacon du saumon de l'Atlantique.

signale également que la majeure partie de la capacité d'élevage de ce réseau fluvial est observée dans les tributaires. À partir de l'ensemble des aires d'élevage propices au jeune saumon de l'Atlantique, il a évalué la production annuelle potentielle à 3 032 poissons adultes (tableau 335). Cette estimation peut varier en raison de la concurrence interspécifique et du nombre de jeunes élevés dans les eaux stagnantes du réseau.

TABLEAU 333. Caractéristiques physiques de la rivière English.

Référence cartographique:	Rigolet 13J Lac Snegamook 13K Hopedale 13N Makkovik 13-O 1:250 000	Élévation maximale du bassin versant:	275 m
		Longueur réelle de l'axe principal (en suivant les méandres):	56 km
Latitude de l'embouchure:	54°58′N	Longueur totale, y compris des tributaires:	131 km
Longitude de l'embouchure:	59°45′W		
		Nombre de tributaires:	8
Direction générale de l'écoulement:	Est	Formation géologique:	Gneiss
Superficie du bassin versant:	326 km^2		
Largeur moyenne	12 km		
Longueur de l'axe	40 km		
Périmètre du bassin versant	129 km		

TABLEAU 334. Obstacles de la rivière English (Murphy 1973).

Renvoi à la figure 94	Emplacement	Distance de l'embouchure (km)	Type	Description			Obstacle au passage du poisson
				Hauteur (m)	Largeur (m)	Pente (°)	
1	T1	3,1	Chutes	6,1	3,1	90	Infranchissable
2	T3	8,0	Chutes	—	—	—	Franchissable
3	T5	6,4	Chutes	2,1	15,2	—	Franchissable
4	T5-1	1,6	Chutes	—	—	—	Franchissable

TABLEAU 335. Résumé des données sur les unités d'élevage et de frai et la production annuelle potentielle estimative de smolts et de saumons de l'Atlantique adultes de la rivière English (Murphy 1973). Aucun secteur inaccessible n'y a fait l'objet d'un relevé.

	Secteurs accessibles	
Emplacement	Unités de frai	Unités d'élevage
Axe principal	15	3 240
T1	0	140
T2	0	80
T3	0	2 100
T5	0	4 545
Total	15	10 105
Production estimative		
Smolts	20 210	
Adultes	3 032	

Rivière 72 (sans nom) *N° 72, fig. 77*

Cette rivière coule vers le nord pour se jeter dans la baie Kanairiktok (fig. 95). Son bassin versant a une superficie de 399 km^2 (tableau 336) et se compose surtout de lacs et d'étangs. Les aires propices à l'élevage de jeunes poissons se retrouvent sur les trois premiers kilomètres, secteur qui a une largeur de 15 à 20 m et où le courant est rapide. De petits amas de gravier propres au frai ont été signalés entre les lacs de l'axe principal (Murphy 1973). L'ensemble du réseau est accessible au poisson anadrome ; Murphy (1973) conclut que l'ensemble des huit tributaires du réseau offre 168 unités d'élevage du jeune saumon (tableau 337). Le bassin versant est dénudé à l'exception d'une bande de forêt mature le long des berges.

On sait que cette rivière abrite des populations de saumons de l'Atlantique et d'ombles arctiques qui hivernent, croit-on, dans des étangs et des lacs différents (Association inuit du Labrador 1977). Murphy (1973) laisse à entendre que la rivière est fréquentée par une petite population annuelle potentielle de 252 saumons de l'Atlantique adultes (tableau 337).

FIG. 95. Carte de la rivière 72 (sans nom) montrant les aires d'élevage accessibles au tacon du saumon de l'Atlantique.

TABLEAU 336. Caractéristiques physiques de la rivière 72.

Référence cartographique:	Hopedale 13N 1:250 000	Élévation maximale du bassin versant:	224 m
Latitude de l'embouchure:	54°44′N	Longueur réelle de l'axe principal (en suivant les méandres):	15 km
Longitude de l'embouchure:	59°56′W	Longueur totale, y compris des tributaires:	40 km
Direction générale de l'écoulement:	Nord	Nombre de tributaires:	9
Superficie du bassin versant:	399 km^2		
Largeur moyenne	6 km		
Longueur de l'axe	19 km		
Périmètre du bassin versant	40 km		

TABLEAU 337. Résumé des données sur les unités d'élevage et de frai et la production annuelle potentielle estimative de smolts et de saumons de l'Atlantique adultes de la rivière 72 (Murphy 1973). Aucun secteur inaccessible n'y a été repéré.

	Secteurs accessibles	
Emplacement	Unités de frai	Unités d'élevage
Axe principal	84	672
T1, T2, T3, T4, T5, T6, T7, T8	0	168
Total	84	840
Production estimative		
Smolts	1680	
Adultes	252	

Rivière Kanairiktok

N° 73, fig. 77

La rivière Kanairiktok, la troisième en importance au Labrador, coule vers le nord-est sur une distance de 322 km, de la région du réservoir Smallwood dans l'ouest du Labrador jusqu'à la baie Kanairiktok (fig. 96). En 1971, dix pour cent du bassin versant a été dérivé dans le réservoir Smallwood dans le cadre du projet d'aménagement hydro-électrique des chutes Churchill ; toutefois, Murphy (1973) signale que cette dérivation n'a entraîné aucune différence notable des débits dans l'axe principal. Millan (1974) estime le potentiel hydro-électrique de ce cours d'eau à 817 MW, le quatrième en importance des 19 sites étudiés au Labrador. Ce vaste bassin hydrographique isolé a été le siège de très peu d'activités de développement, outre la dérivation à des fins d'aménagement hydro-électrique et l'exploitation d'un camp de pêche sportive en bordure du lac Snegamook (L1). La rivière faisait partie de la route d'hiver reliant North West River près du lac Melville à la collectivité de Hopedale, située à 72 km au nord-est de l'embouchure de la rivière. Scott (1933) a emprunté cette route en 1929 lors de ses premiers travaux de cartographie du Labrador, suivant la rivière du lac Pocketknife (L19) jusqu'à un point situé à environ 30 km en amont de l'embouchure. Les phoques communs fréquentent, selon les rapports, le cours inférieur de la rivière (Association inuit du Labrador 1977).

Le cours d'eau a un bassin versant d'une superficie de 12 274 km^2 (tableau 338) et coule sur un substrat composé principalement de sable et de graviers au travers d'un paysage plat. Selon Collins *et al.* (1972c), la rivière n'est nullement un défi pour un canoteur expérimenté. Le poisson migrateur ne peut absolument pas accéder à la rivière en raison de la présence d'une chute de 9,1 m à l'embouchure (tableau 339). Cette chute a tout d'abord été signalée par Sollows *et al.* (1954) et elle a fait l'objet d'un relevé par le personnel du MPO en 1973 qui, à l'époque, évaluait le coût de la construction d'une échelle à poissons entre 500 000 et 700 000 $. Un deuxième obstacle infranchissable, une chute de 7,6 m, est situé au kilomètre 1,6 et, en 1973, le coût du dynamitage et d'installation de chicanes pour aménager une dérivation naturelle permettant de contourner cette chute a été évalué entre 50 000 et 75 000 $. De la deuxième chute jusqu'au kilomètre 27,4, la rivière a une largeur de 140 à 190 m, coule tranquillement sur un substrat de sable et de graviers et est interrompue par plusieurs tronçons où le courant est rapide. Au kilomètre 27,4, on trouve une troisième chute de 4,6 m de hauteur qui a été classée par Murphy (1973) comme un obstacle franchissable. Le relevé des obstacles effectué par le MPO en 1973 évaluait le coût de la construction d'une échelle à poissons à cet endroit entre 500 000 et 600 000 $. De la troisième chute jusqu'au lac Snegamook (L1), au kilomètre 89, le lit de la rivière se compose de sable et de graviers et de quelques amas de moellons. La largeur du chenal varie de 50 à 190 m. Le lac Snegamook a une longueur de 26 km et une étendue de 8 290 ha. Plus loin, la rivière serpente au travers d'un terrain plat sur du sable et des graviers. Au kilomètre 201, son inclinaison augmente, le courant devient plus rapide et le substrat du fond devient un mélange de blocs, de moellons et de graviers sur les 81 km suivants. Au kilomètre 282, là où commencent les eaux d'amont, la pente est moins prononcée et un réseau d'eaux calmes et de petits étangs caractérise la région. Murphy (1973) révèle que la partie inférieure de la vallée fluviale est boisée et que la région des eaux d'amont est dénudée.

Plusieurs des tributaires de la rivière Kanairiktok ajoutent énormément à sa capacité d'élevage du poisson (tableau 340). Les T89 et T90 sont les tributaires les plus importants et ils offrent plus de 35 000 unités d'élevage du jeune poisson. Les tributaires de la rivière Kanairiktok comptent douze obstacles, dont neuf sont infranchissables. Le tableau 341 présente les résultats d'analyse des échantillons d'eau qui ont été prélevés en 1972 et 1978 (Jamieson 1979).

Les populations de poissons signalées dans la rivière Kanairiktok se limitent à la ouananiche ou saumon d'eau douce, à l'omble de fontaine, au touladi, au grand brochet, au grand corégone, au meunier rouge et à la lotte. En juillet 1965, le personnel du MPO de Goose Bay a effectué un relevé dans le tronçon de 16 km situé directement en aval du lac Snegamook. Au total, 84 poissons ont été pêchés à la ligne (tableau 342) ; un rapport mentionne que plusieurs gros poissons ont été échappés parce que les agrès de pêche étaient trop légers. Cette année-là, des prises à la ligne de 60 ombles de fontaine pesant plus de 0,5 kg chacun et de 60 touladis (poids inconnu) ont été enregistrées au lac Pocketknife (L19). Les prises à la ligne dans le lac Snegamook ont également été enregistrées en 1964, 1965 et 1973–1975 ; le nombre total de captures était de 509 poissons (tableau 343). Le 13 juillet 1978, 52 grands corégones, 3 meuniers rouges, 15 touladis et 2 lottes ont été capturés au filet dans le lac Snegamook. Le tableau 344 présente un résumé des données sur les sexe, la longueur à la fourche, le poids et l'âge de ces échantillons (Bruce *et al.* 1979).

La production potentielle de saumons de l'Atlantique anadromes de la rivière Kanairiktok est énorme. Pendant son relevé de 1972, Murphy (1973) a enregistré 113 109 unités d'élevage et 80 071 unités de frai. Si l'on pouvait aplanir les obstacles du cours inférieur de l'axe principal, la rivière pourrait produire près de 39 933 saumons de l'Atlantique adultes par année. Cette rivière semble offrir une occasion idéale pour mettre en valeur le saumon de l'Atlantique au Labrador.

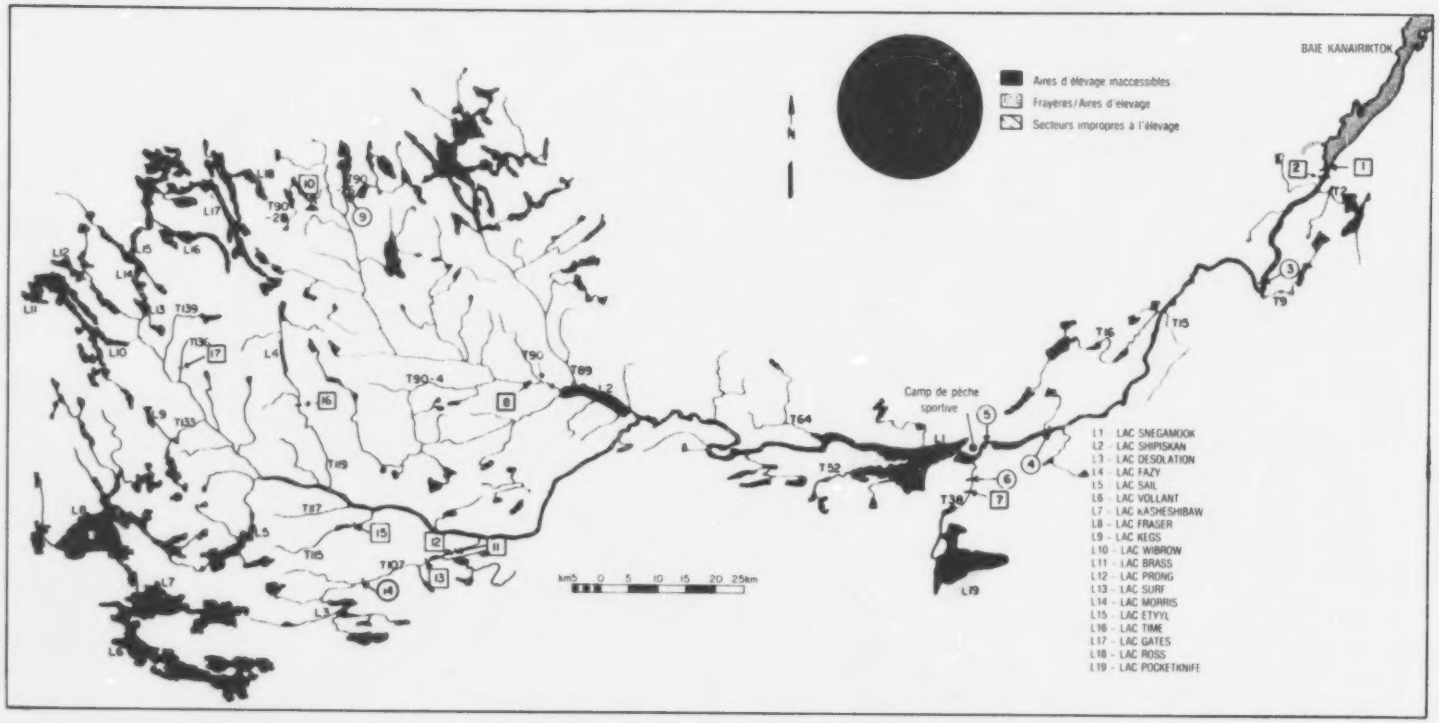

FIG. 96. Carte de la rivière Kanairiktok montrant les aires d'élevage inaccessibles au tacon du saumon de l'Atlantique.

TABLEAU 338. Caractéristiques physiques de la rivière Kanairiktok.

Référence cartographique:	Lac Snegamook 13K Lac Kasheshibaw 13L Hopedale 13N 1:250 000	Élévation maximale du bassin versant:	168 m
Latitude de l'embouchure:	55°02′N	Longueur réelle de l'axe principal (en suivant les méandres):	322 km
Longitude de l'embouchure:	60°18′W	Longueur totale, y compris des tributaires:	1449 km
Direction générale de l'écoulement:	Nord-est	Nombre de tributaires:	153
Superficie du bassin versant:	12 274 km^2	Superficie des lacs de plus de 100 ha:	
Largeur moyenne	48 km	L1 Lac Snegamook	8290 ha
Longueur de l'axe	263 km	L2 Lac Shipiskan	2330 ha
Périmètre du bassin versant	948 km	Formation géologique:	Sédiments du Précambrien et roches volcaniques; anorthosite et roches associées; gneiss

TABLEAU 339. Obstacles de la rivière Kanairiktok (Murphy 1973).

Renvoi à la figure 96	Emplacement	Distance de l'embouchure (km)	Type	Description			Obstacle au passage du poisson
				Hauteur (m)	Largeur (m)	Pente (°)	
1	Axe principal	0,0	Chutes	9,1	91,4	60	Infranchissable
2	Axe principal	1,6	Chutes	7,6	61,0	45	Infranchissable
3	Axe principal	27,4	Chutes	4,6	61,0	40	Franchissable
4	Axe principal	66,0	Rapides	3,1	15,2	45	Franchissable
5	Axe principal	82,1	Chutes	1,8	61,0	45	Franchissable
6	T38	4,8	Chutes	1,8	15,2	45	Franchissable
7	T38	16,1	Chutes	3,1	30,5	75	Infranchissable
8	T90	40,2	Chutes	6,1	15,2	90	Infranchissable
9	T90-26	3,2	Chutes	2,4	22,9	45	Franchissable
10	T90-28	4,8	Chutes	6,1	7,6	90	Infranchissable
11	T107	3,2	Chutes	2,8	15,2	90	Infranchissable
12	T107	6,4	Chutes	3,0	15,2	75	Infranchissable
13	T107	9,7	Chutes	4,6	9,1	90	Infranchissable
14	T107	17,7	Chutes	2,4	15,2	45	Franchissable
15	T115	6,4	Chutes	—	—	—	Infranchissable
16	T119	17,7	Chutes	3,9	9,2	90	Infranchissable
17	T136	1,6	Chutes	—	—	—	Infranchissable

TABLEAU 340. Résumé des données sur les unités d'élevage et de frai et la production annuelle potentielle estimative de smolts et de saumons de l'Atlantique adultes de la rivière Kanairiktok (Murphy 1973).

	Secteurs accessibles		Secteurs inaccessibles	
Emplacement	Unités de frai	Unités d'élevage	Unités de frai	Unités d'élevage
Axe principal	0	0	76 098	76 098
T2	0	0	348	1 741
T9	0	0	0	496
T15	0	0	0	774
T16	0	0	904	1 278
T38	0	0	0	2 970
T52	0	0	0	46
T64	0	0	0	232
T89	0	0	580	10 444
T90	0	0	1 461	24 690
T107	0	0	298	3 284
T117	0	0	0	644
T119	0	0	382	8 983
T133	0	0	0	1 205
T139	0	0	0	224
Total	0	0	80 071	133 109
Production estimative				
Smolts			266 218	
Adultes			39 933	

TABLEAU 341. Résultats des analyses de 3 échantillons d'eau prélevés dans la rivière Kanairiktok, 1972 et 1978 (Jamieson 1979).

Année	pH	Dureté totale (ppm)	Conductivité spécifique ($\mu S \cdot cm^{-1}$ à 25°C)	Turbidité (UTJ)	Alcalinité totale (ppm)	Calcium (ppm)	Chlorure (ppm)	Bicarbonate (ppm)
1972[a]	7,3	13,0	24,0	0,4	10,5	1,0	2,3	12,8
1978	6,7	14,0	32,0	0,6	9,0	3,8	2,0	11,0

[a] Moyenne de deux échantillons.

TABLEAU 342. Résumé des prises à la ligne, rivière Kanairiktok, du 11 au 16 juillet 1965 (MPO, données inédites).

Espèces	Nombre de poissons pêchés à la ligne	Poids moyen (kg)	Remarques
Touladi	30	6,8	En période de frai (?); se nourrit de ouananiches.
Omble de fontaine	4	0,2	En période de frai (?); livrée argentée; sans parasites.
Grand brochet	15	4,5	Frai terminé
Ouananiche (adulte)	25	0,9	En période de frai; se nourrit d'insectes volants.
Tacon	10	0,2	Serait une jeune ouananiche.
Total	84		

TABLEAU 343. Résumé des données sur les prises à la ligne, lac Snegamook, rivière Kanairiktok, 1964, 1965, 1973–1975 (MPO, données inédites).

	Omble de fontaine		Touladi				Grand brochet	Ouananiche			
Année	<0,5 kg	≥0,5 kg	<2,3 kg	≥2,3 à <4,5 kg	≥4,5 à <6,8 kg	Poids inconnu	>0,5 kg	<0,5 kg	≥0,5 kg	Poids inconnu	Total
1964	0	10	—	—	—	20	—	—	—	50	80
1965	0	50	—	—	—	50	—	—	—	60	160
1973	11	5	0	97	0	0	32	38	29	0	212
1974	20	10	0	0	0	0	20	0	0	0	50
1975	—	—	0	3	1	0	0	3	0	0	7
Total	31	75	0	100	1	70	52	41	29	110	509

TABLEAU 344. Résumé des données sur le sexe, la longueur à la fourche, le poids entier, l'âge et la teneur en mercure du grand corégone, du meunier rouge, du touladi et de la lotte capturés dans le lac Snegamook, rivière Kanairiktok, 13 juillet 1977 (Bruce *et al.* 1979).

Espèce	Sexe	*N*	Longueur moyenne à la fourche (cm)	Poids entier moyen (kg)	Âge moyen (années)	Teneur moyenne en mercure (ppm)	Plage des teneurs en mercure (ppm)
Grand corégone	M	28	44,9	1,23	12,2	0,17	0,08–0,31
	F	24	47,1	1,44	13,2	0,20	0,08–0,33
Total		52	45,9	1,33	12,7	0,19	0,08–0,33
Meunier rouge	M	1	30,5	0,32	10,0	0,06	—
	F	2	30,8	0,33	9,5	0,07	0,05–0,10
Total		3	30,7	0,33	9,7	0,07	0,05–0,10
Touladi	M	5	46,2	1,06	10,8	0,34	0,22–0,42
	F	10	56,4	2,17	15,0	0,47	0,30–0,79
Total		15	53,0	1,80	13,6	0,43	0,22–0,79
Lotte	M	2	56,8	1,09	9,5	0,18	0,13–0,23

Rivière Little Bay

N° 74, fig. 77

La rivière Little Bay coule au nord-est pour se jeter dans la baie Little, un inlet long et étroit situé entre la baie Kanairiktok et la baie Ugjoktok (fig. 97). Elle a un bassin versant d'une superficie de 244 km^2 (tableau 345). L'axe principal coule le long d'un chaînon de collines qui font face à la baie Ugjoktok. Aucune chute n'y a été signalée.

Les résidents de Hopedale (à 48 km plus au nord) signalent une bonne montaison de saumons de l'Atlantique et d'ombles arctiques dans la rivière. Ils soutiennent que les différentes espèces passent l'hiver dans des étangs et des lacs distincts (Association inuit du Labrador 1977). Cette rivière est désignée pour la pêche à la ligne au saumon de l'Atlantique. Bien qu'aucune donnée sur les prises ou l'effort de pêche n'ait été recueillie, les résidents affirment que la pêche y est excellente. La plupart des pêcheurs à la ligne pratiquent leur sport dans les bassins en amont et en aval du premier étang. La pêche commerciale au saumon de la baie Little est limitée en raison de son éloignement de Hopedale. On sait que les phoques communs fréquentent l'ensemble du cours inférieur de la rivière, passant souvent l'hiver et se reproduisant en eau douce (Association inuit du Labrador 1977). La capacité d'élevage du cours d'eau n'a fait l'objet d'aucun relevé, mais tous les rapports indiquent que la production de saumons de l'Atlantique et d'ombles arctiques devrait y être bonne.

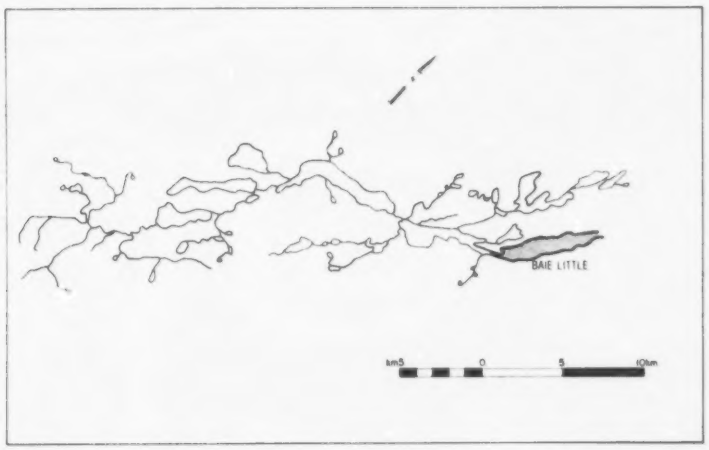

FIG. 97. Carte de la rivière Little Bay (n'ayant pas fait l'objet d'un relevé).

TABLEAU 345. Caractéristiques physiques de la rivière Little Bay.

Référence cartographique:	Hopedale 13N Lac Snegamook 13K 1:250 000	Élévation maximale du bassin versant:	183 m
Latitude de l'embouchure:	55°06'N	Longueur réelle de l'axe principal (en suivant les méandres):	35 km
Longitude de l'embouchure:	60°18'W	Longueur totale, y compris des tributaires:	113 km
Direction générale de l'écoulement:	Nord-est	Formation géologique:	Gneiss
Superficie du bassin versant:	244 km^2		
Largeur moyenne	7 km		
Longueur de l'axe	31 km		
Périmètre du bassin versant	97 km		

Rivière 75 (sans nom) *N° 75, fig. 77*

Cette rivière coule vers le nord-est pour se jeter dans la baie Ugjoktok (fig. 98). Son bassin versant est de 475 km^2 et elle est alimentée par 23 tributaires (tableau 346). Nous ne disposons d'aucun renseignement sur ce réseau fluvial relativement important, outre ceux présentés au tableau 346.

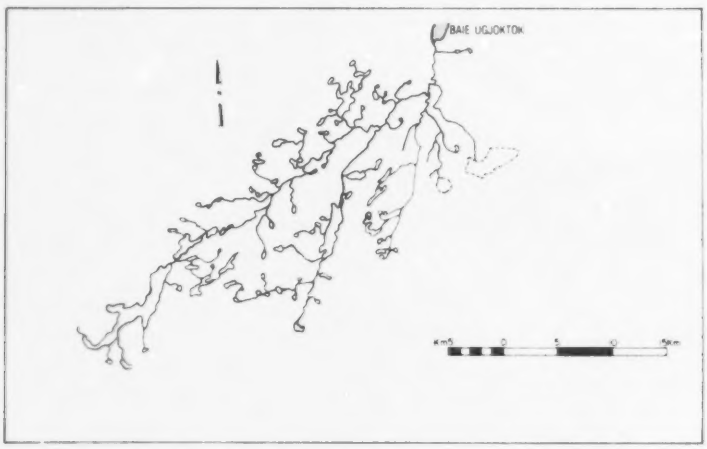

FIG. 98. Carte de la rivière 75 (sans nom) (n'ayant pas fait l'objet d'un relevé).

TABLEAU 346. Caractéristiques physiques de la rivière 75.

Référence cartographique:	Lac Snegamook 13K 1:250 000	Élévation maximale du bassin versant:	336 m
Latitude de l'embouchure:	54°59′N	Longueur réelle de l'axe principal (en suivant les méandres):	52 km
Longitude de l'embouchure:	60°41′W	Longueur totale, y compris des tributaires:	171 km
Direction générale de l'écoulement:	Nord-est	Nombre de tributaires:	23
Superficie du bassin versant:	475 km^2	Formation géologique:	Gneiss
Largeur moyenne	10 km		
Longueur de l'axe	47 km		
Périmètre du bassin versant	129 km		

Rivière Adlatok (Ugjoktok) *N° 76, fig. 77*

Cette rivière, la quatrième en importance au Labrador, prend naissance à la frontière Québec-Labrador et coule vers l'est sur 258 km pour se jeter dans la mer (fig. 99). Cette rivière est exceptionnelle: elle bifurque à 15 km de la mer et a deux embouchures, une dans la baie Ugjoktok et l'autre dans la baie Adlatok. Le tronçon en aval du bras se jetant dans la baie Ugjoktok est appelé rivière Ugjoktok; le reste du réseau a pour nom rivière Adlatok. La superficie du bassin versant est relativement grande (111 106 km^2) et des camps de pêche sportive créés à l'embouchure de la rivière Adlatok sont les seuls à témoigner de la présence de l'homme. Hopedale, collectivité de 425 habitants (Statistique Canada 1981), est située à 48 km au nord-est de la rivière. Murphy et Porter (1974a) signalent que l'axe principal de la rivière coule doucement dans un chenal profond et que le paysage environnant se compose d'une forêt rabougrie, sauf dans la région des eaux d'amont où le terrain est dénudé. Quatre-vingt-dix-huit tributaires, d'une longueur totale de 4 694 km, ont été dénombrés (tableau 347).

Sollows *et al.* (1954) citent des rapports mentionnant que la rivière Ugjoktok est obstruée par une haute chute. Même si Murphy et Porter (1974a) n'y ont pas effectué de relevé, ils estiment qu'elle est inaccessible au poisson anadrome en raison de la présence d'une immense chute à l'embouchure. T. Curran (comm. pers.) a confirmé la présence de cet obstacle. Sur les deux premiers kilomètres, la rivière Adlatok coule au travers d'une étroite gorge (22 m) bordée de sentiers empruntés par les pêcheurs à la ligne. Du kilomètre 2 au kilomètre 37, Collins *et al.* (1972d) soulignent la présence de grandes barres de sable sur les berges, la lenteur du courant (minimum de 0,3 m/s) et un relief assez plat. Murphy et Porter (1974a) ont relevé 2 639 unités de frai dans cette section. Du kilomètre 37 au kilomètre 79, la largeur de la rivière va de 24 à 31 m et les vastes étendues de blocs et de moellons offrent de bons habitats d'élevage du jeune poisson. Collins *et al.* (1972d) ont établi que ce tronçon avait des débits modérés et qu'il était interrompu par des rapides et des chutes. Murphy et Porter (1974a) signalent deux chutes dans ce tronçon, mais ne les qualifient toutefois pas comme un obstacle grave à la migration du poisson (tableau 348). Dans le tronçon allant du kilomètre 79 au kilomètre 114, le chenal de la rivière se fraye un passage à travers des berges graveleuses abruptes et atteint, en certains endroits, une largeur de 120 m. En amont du kilomètre 114, la rivière se rétrécit à 47 m, la pente devient plus abrupte et les matériaux du fond deviennent plus grossiers. Collins *et al.* (1972d) soulignent la présence de plusieurs rapides et chutes dans cette section, même si Murphy et Porter (1974a) n'y ont signalé qu'une chute, franchissable, au kilomètre 133,6 (tableau 348). La rivière devient à nouveau plus large pour atteindre 274 m sur une distance de 25 km en amont de cet obtacle. De cette large étendue d'eau calme jusqu'au kilomètre 209,2, la largeur va de 37 à 91 m et le fond se compose de graviers, de moellons et de blocs. Au kilomètre 209,2 une chute de 3,7 m bloque complètement la migration du poisson (tableau 348).

Murphy et Porter (1974a) ont effectué des relevés dans neuf des tributaires de la rivière Adlatok pour déterminer les frayères et les aires d'élevage potentielles. Sept des tributaires sont partiellement ou totalement inaccessibles au poisson migrateur, même si le plus grand d'entre eux, le réseau du lac Shapio (T14), contient plus de 19 000 unités d'élevage complètement accessibles au poisson anadrome (tableau 349). Le tableau 350 présente les résultats des analyses des échantillons d'eau prélevés dans la rivière Adlatok en 1975 et 1978 (Jamieson 1979).

Les espèces de poissons signalées dans la rivière Adlatok comprennent, entre autres, le saumon de l'Atlantique anadrome, la ouananiche, l'omble de fontaine, l'omble arctique, le grand brochet et le meunier rouge. Weed (1934) signale que des touladis ont été capturés dans la rivière Adlatok, ce qui pourrait indiquer qu'ils fréquentent le réseau. En août 1977, 26 ombles arctiques et 12 ouananiches ont été capturés au filet dans le lac Shapio (L1). En juillet 1978, 13 ombles arctiques et 1 ouananiche ont été capturés au filet dans le lac Mistinippi (L2). Les tableaux 351 et 352 présentent un résumé des données sur la longueur à la fourche, le poids, l'âge et le sexe de ces poissons (Bruce *et al.* 1979).

Certaines données sur la pêche à la ligne ont été compilées pour l'omble de fontaine, l'omble arctique et le saumon de l'Atlantique. Des prises totales à la ligne de 1 552 ombles de fontaine anadromes et 983 ombles arctiques ont été établies pour 1967-1974 (tableau 353); on soupçonne toutefois que ces données soient très inférieures à la réalité (T. Curran, comm. pers.). La rivière Adlatok et le bras appelé rivière Ugjoktok sont désignés pour la pêche à la ligne au saumon de l'Atlantique et la rivière est reconnue pour son fort pourcentage de grands saumons dans les prises. Ces dernières proviennent surtout de la région située près des camps de pêche sportive, non loin de l'embouchure. Pour les dix années pendant lesquelles des données ont été recueillies, les prises sportives moyennes de saumon étaient de 71 poissons et l'effort moyen de pêche à la ligne de 191 jours (tableau 354). Des échantillons ont été prélevés dans les prises à la ligne de saumon en 1973 et 1974; le tableau 355 présente les données sur le rapport des sexes, l'âge, le poids et la longueur à la fourche de ces poissons.

D'après un relevé effectué en 1973, Murphy et Porter (1974a) estiment la production annuelle des secteurs accessibles de la rivière Adlatok à 39 000 saumons de l'Atlantique adultes (tableau 349). Il y a 48 918 unités d'élevage des jeunes poissons inaccessibles au poisson anadrome.

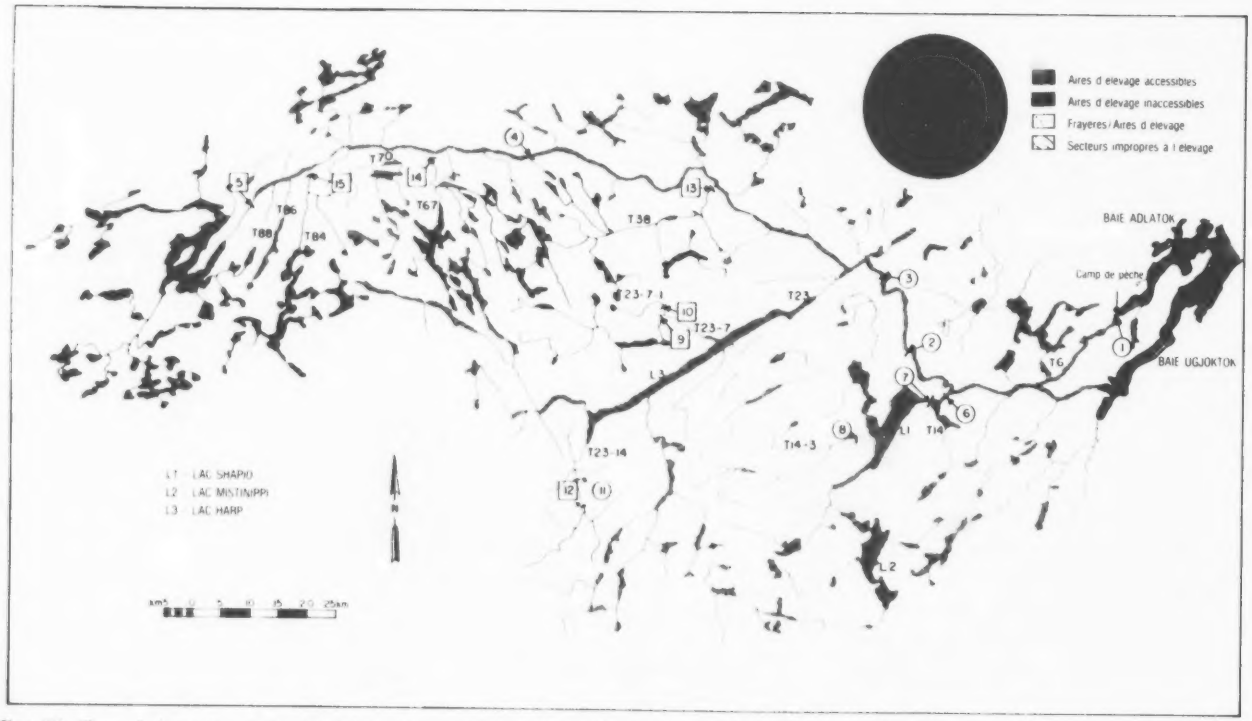

FIG. 99. Carte de la rivière Adlatok (Ugjoktok) montrant les aires d'élevage accessibles et inaccessibles au tacon du saumon de l'Atlantique.

TABLEAU 347. Caractéristiques physiques de la rivière Adlatok (Ugjoktok).

Référence cartographique:	Lac Mistastin 13M Lac Snegamook 13K Hopedale 13N Lac Kasheshibaw 13L 1:250 000	Élévation maximale du bassin versant:	671 m
Latitude de l'embouchure:	55°09′N	Longueur réelle de l'axe principal (en suivant les méandres):	258 km
Longitude de l'embouchure:	60°35′W	Longueur totale, y compris des tributaires:	4952 km
Direction générale de l'écoulement:	Est	Nombre de tributaires:	98
Superficie du bassin versant:	11 106 km^2	Formation géologique:	Gneiss, anorthosite et roches associées; granite et roches associées.
Largeur moyenne	53 km		
Longueur de l'axe	196 km		
Périmètre du bassin versant	774 km		

TABLEAU 348. Obstacles de la rivière Adlatok (Murphy 1973).

Renvoi à la figure 99	Emplacement	Distance de l'embouchure (km)	Type	Description			Obstacle au passage du poisson
				Hauteur (m)	Largeur (m)	Pente (°)	
1	Axe principal	1,6	Gorge	—	—	—	Franchissable
2	Axe principal	53,1	Chutes	2,4	30,5	60	Franchissable
3	Axe principal	70,8	Chutes	3,1	91,5	60	Franchissable
4	Axe principal	133,6	Chutes	2,1	—	—	Franchissable
5	Axe principal	209,2	Chutes	3,7	9,1	80	Infranchissable
6	T14	1,6	Chutes	4,6	61,0	60	Franchissable
7	T14	8,1	Chutes	2,1	9,1	80	Franchissable
8	T14-3	8,1	Chutes	1,8	15,2	90	Franchissable
9	T23-7	9,7	Chutes	3,1	3,1	90	Infranchissable
10	T23-7-1	0,5	Chutes	—	—	—	Infranchissable
11	T23-14	6,4	Chutes	3,1	6,1	45	Franchissable
12	T23-14	9,7	Chutes	3,8	6,1	90	Infranchissable
13	T38	0,0	Chutes	4,6	4,6	60	Infranchissable
14	T67	0,0	Chutes	—	—	—	Infranchissable
15	T84	0,0	Chutes	—	—	—	Infranchissable

TABLEAU 349. Résumé des données sur les unités d'élevage et de frai et la production annuelle potentielle estimative de smolts et de saumons de l'Atlantique adultes de la rivière Adlatok (Murphy 1973).

	Secteurs accessibles		Secteurs inaccessibles	
Emplacement	Unités de frai	Unités d'élevage	Unités de frai	Unités d'élevage
Axe principal	38 049	97 488	0	20 870
T6	102	7 689	0	0
T14	662	19 109	0	0
T23	115	5 714	1 066	8 780
T38	0	0	531	8 237
T67	0	0	0	3 000[a]
T70	0	0	0	3 448[a]
T84	0	0	0	2 000[a]
T86	0	0	0	1 424
T88	0	0	0	1 159
Total	38 928	130 000	1 597	48 918
Production estimative				
Smolts		260 000		97 836
Adultes		39 000		14 675

[a] Évaluées à partir d'une carte topographique

TABLEAU 350. Résultats des analyses de 3 échantillons d'eau prélevés dans la rivière Adlatok, 1973 et 1978 (Jamieson 1979).

Année	pH	Dureté totale (ppm)	Conductivité spécifique ($\mu S \cdot cm^{-1}$ à 25°C)	Turbidité (UTJ)	Alcalinité totale (ppm)	Calcium (ppm)	Chlorure (ppm)	Bicarbonate (ppm)
1973	6,7	12,0	25,0	3,6	12,0	0,5	2,2	14,6
1978	6,6	10,0	16,0	0,2	6,0	0,7	1,0	7,3
1978	6,5	4,0	17,0	0,7	4,0	0,5	1,5	4,9

TABLEAU 351. Résumé des données sur le sexe, la longueur à la fourche, l'âge et la teneur en mercure de l'omble arctique et de la ouananiche capturés dans le lac Shapio, rivière Adlatok, 21 août 1977 (Bruce *et al.* 1979).

Espèce	Sexe	*N*	Longueur moyenne à la fourche (cm)	Âge moyen (années)	Teneur moyenne en mercure (ppm)	Plage des teneurs en mercure (ppm)
Omble arctique	M	15	44,5	9,9	0,66	0,09-1,75
	F	11	30,9	8,6	0,29	0,08-1,71
Total		26	38,3	9,1	0,49	0,08-1,75
Ouananiche	M	9	33,3	6,3	0,13	0,02-0,52
	F	3	30,3	6,3	0,06	0,02-0,10
Total		12	32,5	6,3	0,11	0,02-0,52

TABLEAU 352. Résumé des données sur le sexe, la longueur à la fourche, le poids entier, l'âge et la teneur en mercure de l'omble arctique et de la ouananiche capturés dans le lac Mistinippi, rivière Adlatok, 4 juillet 1978 (Bruce *et al.* 1979).

Espèce	Sexe	*N*	Longueur moyenne à la fourche (cm)	Poids entier moyen (kg)	Âge moyen (années)	Teneur moyenne en mercure (ppm)	Plage des teneurs en mercure (ppm)
Omble arctique	M	4	41.0	0.69	10.0	0.45	0.24–0.67
	F	9	40.4	0.62	11.0	0.52	0.13–0.96
Total		13	40.6	0.64	10.7	0.50	0.13–0.96
Ouananiche	F	1	26.0	0.10	5.0	0.50	—
Total		1	26.0	0.10	5.0	0.50	—

TABLEAU 353. Résumé des données sur les prises à la ligne d'ombles de fontaine anadromes et d'ombles arctiques, rivière Adlatok, 1967–1974 (MPO, données innédites).

	Ombles de fontaine anadromes			
Année	<0,5 kg	0,5–0,9 kg	1,0–1,8 kg	Ombles arctiques (poids inconnu)
1967	0	400	0	—
1968	89	80	0	—
1969	0	172	19	—
1970	0	150	50	500
1971	0	236	28	92
1972	0	149	25	191
1973	0	99	0	70
1974	0	55	0	130
Total	89	1341	122	983

TABLEAU 354. Résumé des données sur les prises à la ligne de saumon de l'Atlantique, rivière Adlatok, 1965–1980 (Moores *et al.* 1978; Moores et Tucker 1979, 1980, 1981).

Année	Madeleineaux <2,7 kg	Grands saumons ≥2,7 kg	Total	Jours de pêche à la ligne	Prises par jour de pêche à la ligne
1965	20	7	27	78	0,35
1966	125	67	192	200	0,96
1967	22	4	26	154	0,17
1968	34	19	53	220	0,24
1969	—	—	—	—	—
1970	29	0	29	65	0,45
1971	25	12	37	171	0,22
1972	56	15	71	363	0,20
1973	56	28	84	285	0,29
1974	17	5	22	169	0,13
1975	—	—	—	—	—
1976	—	—	—	—	—
1977	—	—	—	—	—
1978	—	—	—	—	—
1979	104	60	164	201	0,82
1980	—	—	—	—	—
Moyenne	49	22	71	191	0,37

TABLEAU 355. Rapport des sexes (% de F), âge, poids et longueur à la fourche du saumon de l'Atlantique prélevé dans les prises à la ligne, juillet 1973 et juillet 1974, rivière Adlatok (MPO, données inédites).

	Madeleineau								Saumons dibermarins							
	Femelles		Nombre d'années passées en eau douce		Poids (g)		Longueur à la fourche (cm)		Femelles		Nombre d'années passées en eau douce		Poids (g)		Longueur à la fourche (cm)	
	%	*n*	an	*n*	$\bar{x}$	*n*	$\bar{x}$	*n*	%	*n*	an	*n*	$\bar{x}$	*n*	$\bar{x}$	*n*
1973			3						50,0	2	3	2	5221	2	78,5	2
	0,0	5	4	5	1793	5	55,1	5	57,1	7	4	7	5156	7	79,0	7
	0,0	1	5	1	1816	2	54,6	2	100	1	5	1	4540	1	77,5	1
		6		6		7		7		10		10		10		10
Moyenne	0,0		4,2		1800		55,0		60,0		3,9		5107		78,8	
1974	14,3	7	4	7					75,0	4	4	4				
	0,0	2	5	2					0,0	1	5	1				
	0,0	1	6	1					33,3	3	6	3				
		10		10						8		8				
Moyenne	10,0		4,4						50,0		4,9					

Rivière Hunt

N° 77, fig. 77

La rivière Hunt coule vers le nord-est; elle prend naissance dans une série de petits étangs et de lacs et son embouchure est dans le fond de la baie Big (baie Jack Lane), à 35 km au nord-ouest de la collectivité de Hopedale (fig. 100). On trouve des étendues d'eau calme et de petits étangs partout dans l'axe principal et les 23 tributaires en raison du faible relief du paysage. L'ensemble du bassin versant de 1 344 km^2 est accessible aux poissons migrateurs (tableau 356). Selon Murphy et Porter (1974a), la rivière a une largeur de 91 m à son embouchure et le substrat du fond du cours inférieur (16 km) est un mélange de moellons et de blocs. Les phoques communs passent l'hiver dans le cours inférieur de la rivière (Association inuit du Labrador 1977). Un lac long et étroit (L1) s'étend du kilomètre 16 au kilomètre 31. Le premier et le deuxième lacs sont reliés par un tronçon de 46 m de largeur qui coule sur un substrat de moellons et de blocs. Le deuxième lac va du kilomètre 34 au kilomètre 47. Murphy et Porter (1974a) ont effectué un relevé dans le tronçon de 11 km de l'axe principal situé en amont de ce lac et observé un chenal d'une largeur de 27 m et un fond se composant surtout de graviers. Ils ont également effectué une reconnaissance dans six des tributaires et relevé des aires d'élevage totalisant 167 à 2 759 unités (tableau 357). Des camps de pêche à la ligne sont situés près de l'embouchure et à l'extrémité aval du premier lac. Le tableau 358 présente les résultats des analyses d'un échantillon d'eau prélevé en 1973 (Jamieson 1979).

La rivière Hunt est l'une des rivières les plus septentrionales du Labrador à être fréquentées par une population importante de saumons de l'Atlantique. Elle est désignée pour la pêche à la ligne au saumon de l'Atlantique. Le MPO a toujours considéré les pourvoyeurs des deux camps de pêche sportive comme des gens coopératifs qui présentaient des rapports précis des prises à la ligne et de l'effort de pêche et les chiffres présentés au tableau 359 sont considérés comme fiables (T. Curran, comm. pers.). Les prises élevées par jour de pêche à la ligne (1,31) et le fort pourcentage de grands saumons révèlent un stock de saumons vigoureux. Des échantillons ont été prélevés dans les prises à la ligne de 1973 à 1975 et de 1980 et le tableau 360 présente les données sur le rapport des sexes, l'âge, la longueur et le poids du saumon. Murphy et Porter (1974a) ont évalué, à partir de leurs relevés de 1973, la production annuelle de la rivière Hunt à 7 397 saumons de l'Atlantique adultes (tableau 357); les données sur la pêche à la ligne ont tendance à corrober cette évaluation.

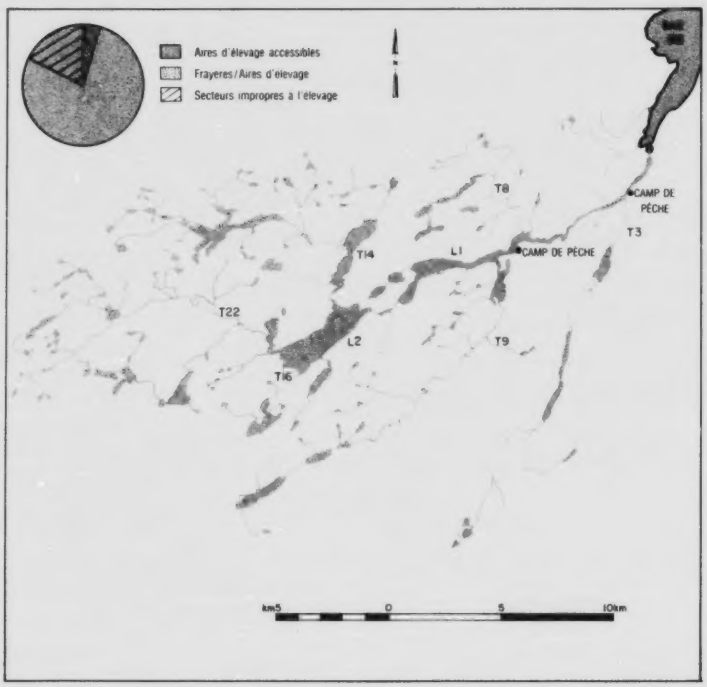

FIG. 100. Carte de la rivière Hunt montrant les aires d'élevage accessibles au tacon du saumon de l'Atlantique.

D'autres espèces de poissons signalées dans la rivière Hunt sont l'omble de fontaine anadrome et dulçaquicole et l'omble arctique. Ces espèces sont capturées de façon accessoire par les pêcheurs de saumons et le tableau 361 présente les prises annuelles pour les années où des rapports ont été rédigés, de 1966 à 1974.

TABLEAU 356. Caractéristiques physiques de la rivière Hunt.

Référence cartographique:	Hopedale 13N 1:250 000	Élévation maximale du bassin versant:	366 m
Latitude de l'embouchure:	55°31'N	Longueur réelle de l'axe principal (en suivant les méandres):	258 km
Longitude de l'embouchure:	60°42'W	Longueur totale, y compris des tributaires:	454 km
Direction générale de l'écoulement:	Nord-est	Nombre de tributaires:	23
Superficie du bassin versant:	1344 km^2	Formation géologique:	Gneiss, anorthosite, granite et roches associées.
Largeur moyenne	23 km		
Longueur de l'axe	63 km		
Périmètre du bassin versant	209 km		

TABLEAU 357. Résumé des données sur les unités d'élevage et de frai et la production annuelle potentielle estimative de smolts et de saumons de l'Atlantique adultes de la rivière Hunt (Murphy et Porter 1974a). Aucun secteur inaccessible n'y a été repéré.

	Secteurs accessibles	
Emplacement	Unités de frai	Unités d'élevage
Axe principal	605	15 461
T3	743	2 759
T8	0	1 254
T9	0	1 672
T14	0	1 672
T16	0	167
T22	0	1 672
Total	1 348	24 657
Production estimative		
Smolts	49 314	
Adultes	7 397	

TABLEAU 358. Résultats des analyses d'un échantillon d'eau prélevé dans la rivière Hunt, 1973 (Jamieson 1979).

Année	pH	Dureté totale (ppm)	Conductivité spécifique ($\mu S \cdot cm^{-1}$ à 25°C)	Turbidité (UTJ)	Alcalinité totale (ppm)	Calcium (ppm)	Chlorure (ppm)	Bicarbonate (ppm)
1973	6,9	12,0	31,0	3,6	12,0	3,0	2,0	14,6

TABLEAU 359. Résumé des données sur les prises à la ligne de saumon de l'Atlantique, rivière Hunt, 1964–1980 (Moores *et al.* 1978; Moores et Tucker 1979, 1980, 1981).

Année	Madeleineaux <2,7 kg	Grands saumons ≥2,7 kg	Total	Jours de pêche à la ligne	Prises par jour de pêche à la ligne
1964	13	3	16	32	0,50
1965	17	63	80	135	0,59
1966	172	170	342	152	2,25
1967	87	74	161	174	0,93
1968	90	104	194	285	0,68
1969	—	—	—	—	—
1970	173	97	270	260	1,04
1971	50	45	95	150	0,63
1972	98	91	189	113	1,67
1973	132	46	178	169	1,05
1974	0	254	254	112	2,27
1975	379	117	496	245	2,02
1976	655	285	940	701	1,34
1977	398	384	782	477	1,64
1978	450	365	815	471	1,73
1979	180	200	380	399	0,95
1980	51	89	140	181	0,77
Moyenne	184	149	333	254	1,31

TABLEAU 360. Rapport des sexes (% de F), âge, poids et longueur à la fourche du saumon de l'Atlantique prélevé dans les prises à la ligne, juillet et août (1973–1975) et juillet 1980, dans la rivière Hunt (MPO, données inédites).

	Madeleineau								Saumons dibermarins							
	Femelles		Nombre d'années passées en eau douce		Poids (g)		Longueur à la fourche (cm)		Femelles		Nombre d'années passées en eau douce		Poids (g)		Longueur à la fourche (cm)	
	%	*n*	an	*n*	$\bar{x}$	*n*	$\bar{x}$	*n*	%	*n*	an	*n*	$\bar{x}$	*n*	$\bar{x}$	*n*
1973	40,0	5	3	5					66,7	3	3	3				
	25,0	12	4	12					70,0	10	4	10				
	9,1	11	5	11					50,0	6	5	6				
	0,0	1	6	1					100	1	6	1				
		29		29						20		20				
Moyenne	20,7		4,3						65,0		4,3					
1974	0,0	1	3	1	1816	1					3					
	70,2	47	4	47	1983	47			100	6	4	6	3820	6		
	63,3	30	5	30	2095	30			20,0	5	5	5	4062	5		
	0,0	1	6	1	2270	1					6					
		79		79		79				11		11		11		
Moyenne	65,8		4,4		2027				63,6		4,5		3930			
1975	28,6	21	4	21	2054	21			75,0	12	4	12	4436	12		
	46,5	43	5	43	2006	43			81,3	16	5	16	4741	16		
	40,0	5	6	5	1907	5			100	2	6	2	5448	2		
		69		69		69				30		30		30		
Moyenne	40,6		4,8		2013				80,0		4,7		4666			
1980	0,0	1	3	1	2270	1	58,4	1	100	2	3	2	4770	2	78,8	2
	0,0	2	4	2	1935	2	56,5	2	100	2	4	2	4660	2	78,8	2
		3		3		3		3		4		4		4		4
Moyenne	0,0		3,7		2047		57,1		100		3,5		4715		78,8	

TABLEAU 361. Résumé des données sur les prises à la ligne d'ombles de fontaine anadromes et dulçaquicoles et d'ombles arctiques, rivière Hunt, 1966–1974 (MPO, données inédites).

Année	Ombles de fontaine anadromes <0,5 kg	Ombles de fontaine dulçaquicoles 0,9–1,8 kg	Ombles arctiques (poids inconnu)
1966	—	100	—
1967	—	150	—
1968	—	100	17
1969	211	—	62
1970	273	—	20
1971	—	—	25
1972	—	—	31
1973	195	—	—
1974	8	—	16
Total	687	350	171

Rivière 78 (sans nom)

N° 78, fig. 77

Cette rivière coule vers l'est et se jette du côté est de la baie Big (fig. 101). Elle a un bassin versant d'une superficie de 338 km^2 et la longueur totale de son axe principal et de ses tributaires est de 103 km (tableau 362). Le saumon de l'Atlantique et l'omble arctique ont été signalés dans ce réseau (Association inuit du Labrador 1977). Selon les renseignements reçus par le personnel du MPO, cette rivière serait fréquentée par une excellente remonte d'ombles arctiques qui sont pêchés par les clients du camp de pêche sportive de la rivière Hunt (T. Curran, comm. pers.). On croit que la population de saumons de cette rivière est petite.

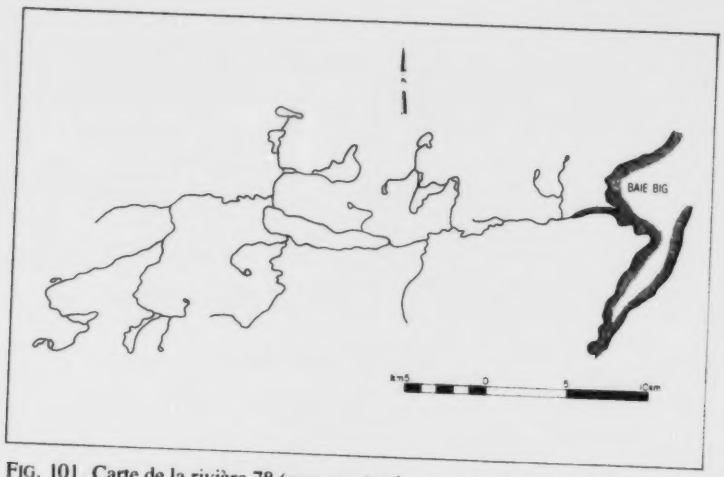

FIG. 101. Carte de la rivière 78 (sans nom) (n'ayant pas fait l'objet d'un relevé).

TABLEAU 362. Caractéristiques physiques de la rivière 78.

Référence cartographique:	Hopedale 13N 1:250 000	Élévation maximale du bassin versant:	549 m
Latitude de l'embouchure:	55°38′N	Longueur réelle de l'axe principal (en suivant les méandres):	45 km
Longitude de l'embouchure:	60°38′W	Longueur totale, y compris des tributaires:	103 km
Direction générale de l'écoulement:	Est	Nombre de tributaires:	10
Superficie du bassin versant:	338 km^2	Formation géologique:	Gneiss
Largeur moyenne	45 km		
Longueur de l'axe	38 km		
Périmètre du bassin versant	93 km		

Rivière Flowers

N° 79, fig. 77

La rivière Flowers coule en direction nord-est pour se jeter dans la baie du même nom (ou baie Jem Lane), à environ 20 km au sud de la collectivité de Davis Inlet (fig. 102). Deux camps de pêche sportive sont exploités en saison près de cette rivière.

La rivière Flowers a un bassin versant d'une superficie de 1 443 km^2 ; la longueur totale de l'axe principal et des 37 tributaires est de 705 km (tableau 363). De l'embouchure jusqu'au kilomètre 24, la vitesse du courant est de lente à modérée, la largeur du chenal de 46 à 59 m et le fond se compose surtout de sable et de graviers. Des étendues d'eau calme interrompent l'écoulement de l'eau entre les kilomètres 24 et 31 et entre les kilomètres 34 et 35. Du kilomètre 35 au kilomètre 48, la vitesse du courant augmente et le fond se modifie et se compose de blocs et de moellons. Au kilomètre 46,7, une chute de 4,3 m obstrue partiellement la montaison du poisson (tableau 364). Murphy et Porter (1974a) signalent que les chutes constituent un obstacle important en période d'étiage. Un réseau d'eau calme forme l'axe principal du kilomètre 48 au kilomètre 71 ; du kilomètre 71 au kilomètre 114, la largeur du chenal va de 22 à 37 m et le fond se compose de blocs et de moellons. Les sept tributaires où Murphy et Porter (1974a) ont effectué des relevés contiennent au total 4 777 unités d'élevage (tableau 365). Le tableau 366 présente les résultats des analyses d'un échantillon d'eau prélevé en 1973 (Jamieson 1979).

Le saumon de l'Atlantique, l'omble de fontaine et l'omble arctique ont été signalés dans la rivière Flowers. Le nombre d'ombles de fontaine anadromes pesant 0,9 à 1,8 kg chacune et pêchées à la ligne en 1973 et 1974 est respectivement de 38 et de 11, selon les rapports. Les prises d'omble arctique (poids inconnu) signalées pour 1971, 1972 et 1974 étaient respectivement de 25, 44 et 96. L'omble de fontaine et l'omble arctique sont probablement des prises fortuites de la pêche à la ligne au saumon de l'Atlantique.

La rivière Flowers est la rivière la plus septentrionale du Labrador à être désignée pour la pêche du saumon de l'Atlantique. Des camps de pêche sportive sont exploités à l'embouchure et au kilomètre 24. Les prises à la ligne de saumon de l'Atlantique ont fait l'objet de rapports de 1971 à 1980 (à l'exclusion de 1975) et les prises moyennes par jour de pêche à la ligne pendant cette période sont de 0,49 (tableau 367). La fiabilité des données sur les prises à la ligne n'est pas connue. En 1973, un échantillon de 27 saumons a été prélevé dans les prises à la ligne. Le tableau 368 présente les données sur le rapport des sexes, l'âge, le poids et la longueur à la fourche. Murphy et Porter (1974a) estiment la production annuelle de cette rivière à 8 725 saumons de l'Atlantique adultes. En raison de sa nordicité, cette rivière est fréquentée par une importante population d'ombles artiques. Cetains soupçonnent que la population de saumons de l'Atlantique est plus petite que celle évaluée par Murphy et Porter (T. Curran, comm. pers.).

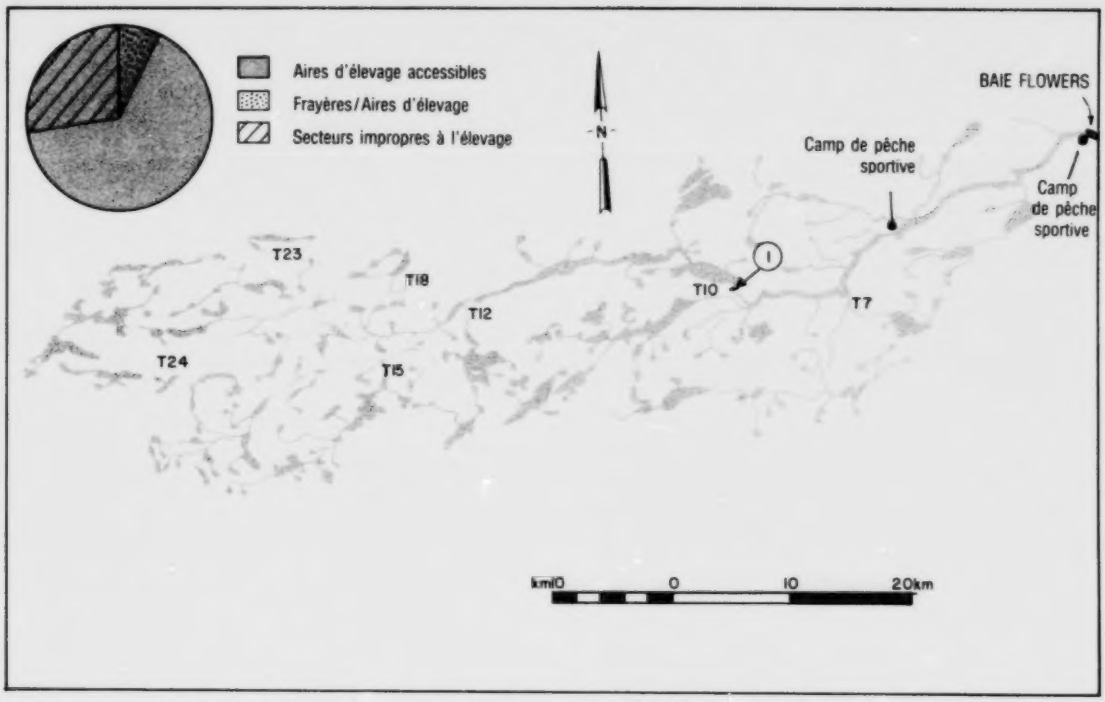

FIG. 102. Carte de la rivière Flowers montrant les aires d'élevage accessibles au tacon du saumon de l'Atlantique.

TABLEAU 363. Caractéristiques physiques de la rivière Flowers.

Référence cartographique:	Lac Mistastin 13M Hopedale 13N 1:250 000	Élévation maximale du bassin versant:	549 m
Latitude de l'embouchure:	55°44′N	Longueur réelle de l'axe principal (en suivant les méandres):	113 km
Longitude de l'embouchure:	60°56′W	Longueur totale, y compris des tributaires:	705 km
Direction générale de l'écoulement:	Nord-est	Nombre de tributaires:	37
Superficie du bassin versant:	1443 km^2	Formation géologique:	Gneiss, anorthosite, granite et roches associées.
Largeur moyenne	16 km		
Longueur de l'axe	93 km		
Périmètre du bassin versant	235 km		

TABLEAU 364. Obstacles de la rivière Flowers (Murphy et Porter 1974a).

Renvoi à la figure 102	Emplacement	Distance de l'embouchure (km)	Type	Description			Obstacle au passage du poisson
				Hauteur (m)	Largeur (m)	Pente (°)	
1	Axe principal	46,7	Chutes	4,3	22,8	—	Franchissable

TABLEAU 365. Résumé des données sur les unités d'élevage et de frai et la production annuelle potentielle estimative de smolts et de saumons de l'Atlantique adultes de la rivière Flowers (Murphy et Porter 1974a). Aucun secteur inaccessible n'y a été repéré.

Emplacement	Secteurs accessibles	
	Unités de frai	Unités d'élevage
Axe principal	2 208	24 307
T7	724	1 304
T10	0	1 216
T12	0	418
T15	0	836
T18	0	167
T23, T24	0	836
Total	2 932	29 084
Production estimative		
Smolts	58 168	
Adultes	8 725	

TABLEAU 366. Résultats des analyses d'un échantillon d'eau prélevé dans la rivière Flowers, 1973 (Jamieson 1979).

Année	pH	Dureté totale (ppm)	Conductivité spécifique ($\mu S \cdot cm^{-1}$ à 25°C)	Turbidité (UTJ)	Alcalinité totale (ppm)	Calcium (ppm)	Chlorure (ppm)	Bicarbonate (ppm)
1973	6,7	8,0	16,0	2,9	8,0	1,0	1,0	9,8

TABLEAU 367. Résumé des données sur les prises à la ligne du saumon de l'Atlantique, rivière Flowers, 1971–1980 (Moores *et al.* 1978; Moores et Tucker 1979, 1980, 1981).

Année	Madeleinaux <2,7 kg	Grands saumons ≥2,7 kg	Total	Jours de pêche à la ligne	Prises par jour de pêche à la ligne
1971	3	0	3	12	0,25
1972	33	7	40	21	1,90
1973	20	54	74	46	1,61
1974	30	6	36	113	0,32
1975	—	—	—	—	—
1976	37	7	44	92	0,48
1977	75	29	104	211	0,49
1978	26	5	31	25	1,24
1979	37	14	51	208	0,25
1980	56	12	68	187	0,36
Moyenne	35	15	50	102	0,49

TABLEAU 368. Rapport des sexes (% de F), âge, poids et longueur à la fourche du saumon de l'Atlantique prélevé dans les prises des pêcheurs à la ligne, juillet et août 1975, rivière Flowers (MPO, données inédites).

	Madeleineau								Saumons dibermarins							
	Femelles		Nombre d'années passées en eau douce		Poids (g)		Longueur à la fourche (cm)		Femelles		Nombre d'années passées en eau douce		Poids (g)		Longueur à la fourche (cm)	
	%	*n*	an	*n*	$\bar{x}$	*n*	$\bar{x}$	*n*	%	*n*	an	*n*	$\bar{x}$	*n*	$\bar{x}$	*n*
	0,0	2	4	2	1703	2	54,0	2	87,5	8	4	8	5221	8	76,7	8
	0,0	1	5	1	1476	1	52,1	1	85,6	14	5	14	5133	14	77,0	14
			6						100	2	6	2	4767	2	76,8	2
		3		3		3		3		24		24		24		24
Moyenne	0,0		4,3		1627		53,4		87,4		4,8		5132		76,9	

Rivières 80 et 81 (sans noms) *Nos 80 et 81, fig. 77*

Ces deux rivières coulent en direction nord-est pour se jeter dans la baie Sango (fig. 103 et 104). La rivière 80 a un bassin versant d'une superficie de 200 km^2 et une longueur totale, y compris les tributaires, de 58 km (tableau 369). La rivière 81 a un bassin versant de 310 km^2 et une longueur totale, y compris les tributaires, de 145 km (tableau 370). Nous ne disposons d'aucun autre renseignement d'ordre physique ou biologique sur ces rivières.

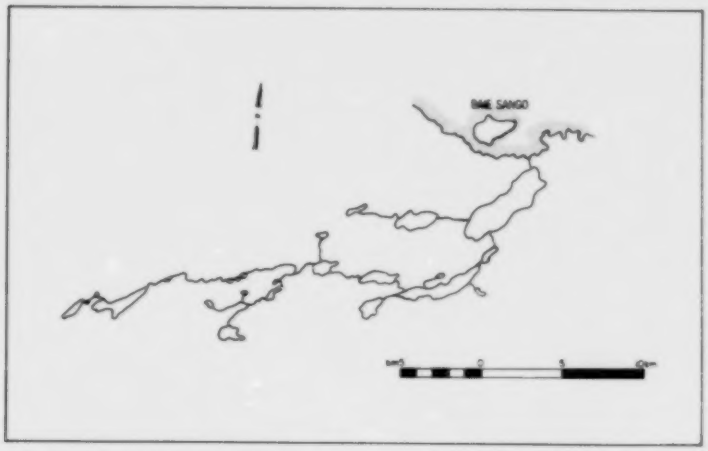

FIG. 103. Carte de la rivière 80 (sans nom) (n'ayant pas fait l'objet d'un relevé).

TABLEAU 369. Caractéristiques physiques de la rivière 80.

Référence cartographique:	Hopedale 13N 1:250 000	Élévation maximale du bassin versant:	305 m
Latitude de l'embouchure:	55°51′N	Longueur réelle de l'axe principal (en suivant les méandres):	35 km
Longitude de l'embouchure:	60°03′W	Longueur totale, y compris des tributaires:	58 km
Direction générale de l'écoulement:	Nord-est	Nombre de tributaires:	6
Superficie du bassin versant:	200 km^2	Formation géologique:	Anorthosite et roches associées
Largeur moyenne	6 km		
Longueur de l'axe	314 km		
Périmètre du bassin versant	77 km		

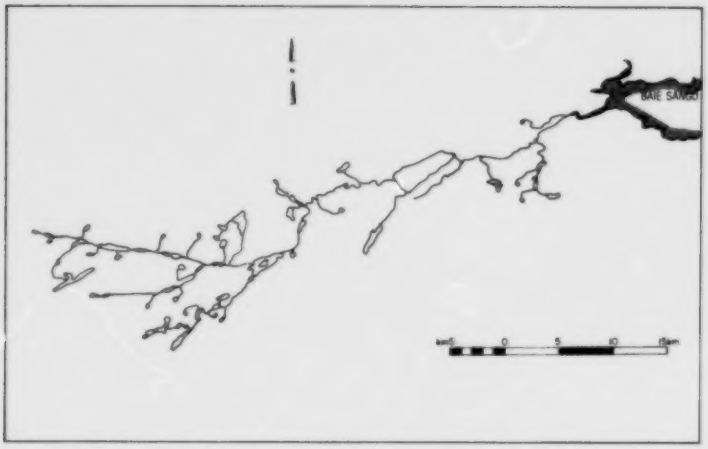

FIG. 104. Carte de la rivière 81 (sans nom) (n'ayant pas fait l'objet d'un relevé).

TABLEAU 370. Caractéristiques physiques de la rivière 81.

Référence cartographique:	Hopedale 13N 1:250 000	Élévation maximale du bassin versant:	488 m
Latitude de l'embouchure:	55°52′N	Longueur réelle de l'axe principal (en suivant les méandres):	58 km
Longitude de l'embouchure:	61°12′W	Longueur totale, y compris des tributaires:	145 km
Direction générale de l'écoulement:	Nord-est	Nombre de tributaires:	19
Superficie du bassin versant:	310 km^2	Formation géologique:	Anorthosite, granite et roches associées
Largeur moyenne	9 km		
Longueur de l'axe	55 km		
Périmètre du bassin versant	135 km		

Le ruisseau Sango coule vers l'est pour se jeter dans la baie Sango, à environ 15 km à l'ouest de la collectivité de Davis Inlet (fig. 105).

Le ruisseau Sango a un bassin versant d'une superficie de 806 km^2 (tableau 371). De son embouchure jusqu'au kilomètre 11, la rivière est relativement large (moyenne de 90 m de largeur) et coule lentement sur un substrat de vase et de sable à faible déclivité. Un lac étroit et long (L1) s'étend des kilomètres 11 à 29; de l'exutoire de ce lac jusqu'au kilomètre 71, la rivière varie de 23 à 46 m de largeur et coule surtout sur des graviers et des moellons. Un autre lac (L2) se retrouve entre le kilomètre 71 et le kilomètre 77 et, en amont de ce lac, la rivière coule sur des blocs, des moellons et des graviers sur une distance de 8 km. Au kilomètre 85,3, une chute de 4,6 m empêche toute migration en amont; une deuxième chute, située au kilomètre 93,4, forme un obstacle infranchissable (tableau 372). Du kilomètre 85 au kilomètre 100, la rivière a de 9 à 27 m de largeur et s'écoule sur un substrat de blocs et de moellons. En raison de la petitesse et de la capacité limitée d'élevage du tacon des 16 tributaires, Murphy et Porter (1974a) n'y ont effectué aucun relevé. Le tableau 373 présente les résultats des analyses d'un échantillon prélevé dans la rivière en août 1973 (Jamieson 1979).

On ne dispose que de peu de renseignements sur les espèces de poissons fréquentant le ruisseau Sango. Murphy et Porter (1974a) signalent que le saumon de l'Atlantique et l'omble arctique sont répandus dans la région et ils évaluent, d'après le relevé de 1973, la production annuelle potentielle à 4 668 saumons de l'Atlantique adultes (tableau 374). Cette production estimative pourrait être élevée puisque le ruisseau Sango est situé près de la limite nord de l'aire de répartition des stocks abondants de saumon de l'Atlantique au Labrador.

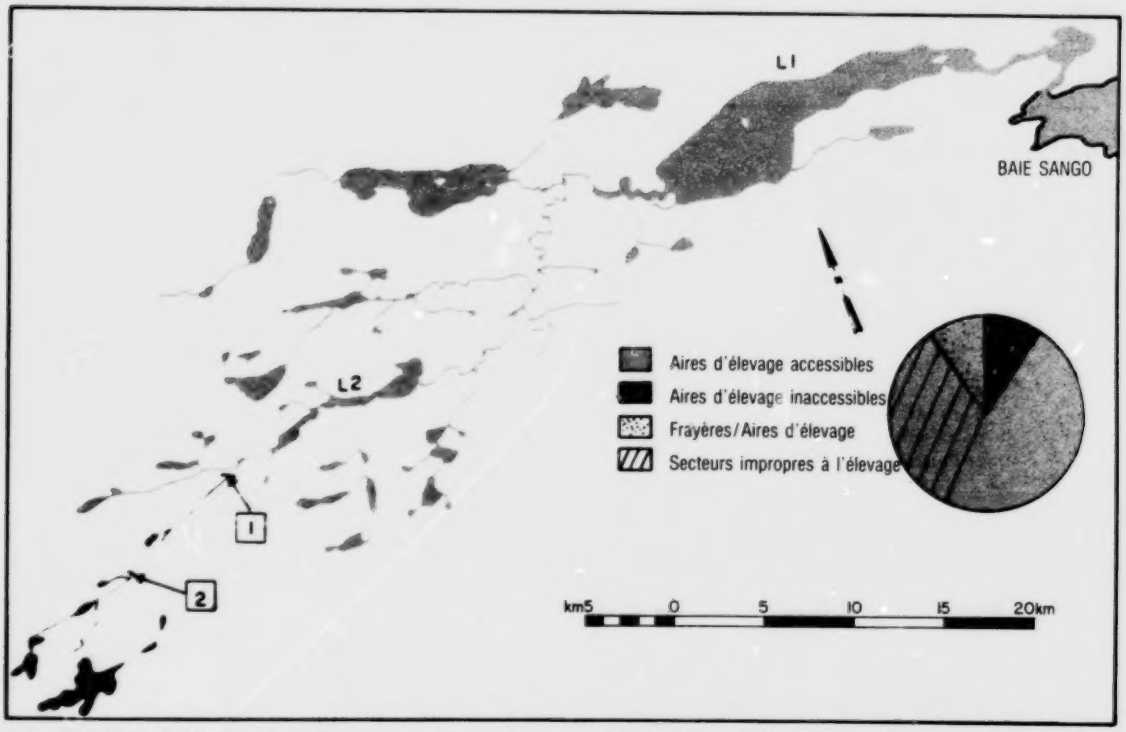

FIG. 105. Carte du ruisseau Sango montrant les aires d'élevage accessibles et inaccessibles au tacon du saumon de l'Atlantique.

TABLEAU 371. Caractéristiques physiques du ruisseau Sango.

Référence cartographique:	Hopedale 13N Lac Mistastin 13M 1:250 000	Élévation maximale du bassin versant:	488 m
Latitude de l'embouchure:	55°54′N	Longueur réelle de l'axe principal (en suivant les méandres):	77 km
Longitude de l'embouchure:	61°10′W	Longueur totale, y compris des tributaires:	238 km
Direction générale de l'écoulement:	Est	Nombre de tributaires:	16
Superficie du bassin versant:	806 km²	Formation géologique:	Granite et roches associées; anorthosite et roches associées
Largeur moyenne	12 km		
Longueur de l'axe	68 km		
Périmètre du bassin versant	187 km		

TABLEAU 372. Obstacles du ruisseau Sango (Murphy et Porter 1974a).

Renvoi à la figure 105	Emplacement	Distance de l'embouchure (km)	Type	Description			Obstacle au passage du poisson
				Hauteur (m)	Largeur (m)	Pente (°)	
1	Axe principal	85,3	Chutes	4,6	22,9	80	Infranchissable
2	Axe principal	93,4	Chutes	4,6	15,3	90	Infranchissable

TABLEAU 373. Résultats des analyses d'un échantillon d'eau prélevé dans le ruisseau Sango, 1973 (Jamieson 1979).

Année	pH	Dureté totale (ppm)	Conductivité spécifique ($\mu S \cdot cm^{-1}$ à 25°C)	Turbidité (UTJ)	Alcalinité totale (ppm)	Calcium (ppm)	Chlorure (ppm)	Bicarbonate (ppm)
1973	6,7	12,0	27,0	2,6	12,0	3,5	2,0	14,6

TABLEAU 374. Résumé des données sur les unités d'élevage et de frai et la production annuelle potentielle estimative de smolts et de saumons de l'Atlantique adultes du ruisseau Sango (Murphy et Porter 1974a).

Emplacement	Secteurs accessibles		Secteurs inaccessibles	
	Unités de frai	Unités d'élevage	Unités de frai	Unités d'élevage
Axe principal	2 562	15 561	0	2 745
Total	2 562	15 561	0	2 745
Production estimative				
Smolts		31 122		5 490
Adultes		4 668		824

RÉGION V
NAIN–OKAK

La région Nain–Okak s'étend vers l'est, de la frontière Québec–Labrador jusqu'à la mer du Labrador, et se compose du territoire bordé par la rivière Notakwanon au sud et les monts Kaumajet au nord, sur une distance d'environ 180 km (fig. 106). La région ne compte qu'une seule collectivité, celle de Nain (938 habitants; Statistique Canada 1981), qui a été créée en 1771 et qui est aujourd'hui l'établissement le plus septentrional du Labrador. Trois autres endroits ont déjà occupés par l'homme dans cette région et leurs dates de fondation et d'abandon sont les suivantes: Okak (1776–1919), Zoar (1865–1890) et Nutak (1929–1956) (Association inuit du Labrador 1977).

Comme dans la plupart des régions côtières du Labrador, la pêche à la morue a été la principale activité économique du XX^{e} siècle jusqu'à son déclin pendant les années 60. L'effort de pêche se porta donc vers l'omble arctique. Ce poisson était salé ou saumuré jusqu'au début des années 70, décennie pendant laquelle une usine de transformation du poisson dotée d'installations de congélation et de fumage a été construite à Nain. La hausse du prix du saumon de l'Atlantique a également favorisé ce type de pêche qui a remporté un certain succès (Association inuit du Labrador 1977).

La haute chaîne de montagnes du nord du Labrador prend naissance dans la région de Nain–Okak. Les monts Kiglapait s'élèvent à plus de 600 m du niveau de la mer immédiatement au nord de Nain et les monts Kaumajet et leurs pics de 835 m qui bordent la région au nord font saillie sur une étroite presqu'île s'avançant dans la mer du Labrador.

Sur le plan géologique, la région se compose de secteurs de graphite, d'anorthosite et de gneiss (Sutton 1972). Les roches de la région sont très anciennes (jusqu'à 2 000 millions d'années) et l'action des glaces qui se sont déplacées d'ouest en est a modelé des vallées abruptes et repoussé la majeure partie des débris dans la mer du Labrador. Le reste des dépôts glaciaires a depuis été transporté dans les vallées fluviales par les tributaires qui drainent les collines et les montagnes environnantes.

Lopoukhine *et al.* (1978) soutiennent que la limite septentrionale du couvert forestier continu du Labrador se retrouve dans les vastes vallées de cette région. Même si les fluctuations saisonnières des cours d'eau limitent la végétation, des épinettes noires et des épinettes blanches relativement grandes poussent dans les vallées plus profondes. Au milieu des années 60, une petite scierie a été exploitée à Nain (Rapports annuels de 1965 à 1967 des Northern Labrador Affairs). Des mélèzes, des sapins baumiers et des épinettes rabrougris poussent sur les versants des vallées fluviales. Des saules, des aulnes et des buissons se retrouvent au-delà de la limite des arbres. Des lichens, des mousses, des graminées et des herbes graminéennes arctiques se retrouvent dans les régions exposées.

Les cours d'eau de cette région coulent en général vers l'est dans des vallées profondes; leur lit se compose d'un substrat à fort pourcentage de sable et de gravier. La majeure partie des tributaires sont inaccessibles au poisson migrateur en raison de l'abrupt des parois de canyon parallèles aux axes principaux. De grands lacs, comme les lacs Tasialuk, Kingurutik, Cabot et Tasisuak se retrouvent dans les régions où les vallées fluviales s'élargissent. Même si de nombreux cours d'eau s'étendent vers l'ouest jusqu'à la frontière Québec–Labrador, il y a peu d'obstacles dans les axes principaux, sauf dans les cours supérieurs. En raison des parois abruptes de canyons et de la végétation éparse, les crues printanières et nivales entraînent d'énormes fluctuations des niveaux habituels de l'eau dans le cours inférieur des cours d'eau. Des descriptions des caractéristiques physiques de cette région sont présentées dans les ouvrages publiés par l'Association inuit du Labrador (1977) et par Lopoukhine *et al.* (1978). Murphy et Porter (1974a, b) présentent des descriptions de différentes rivières. La presque totalité des rivières de cette région sont vierges, n'étant utilisées que pour la chasse et la pêche traditionnelles.

Prichard (1911) et Backus (1957) ont été les premiers à traiter des populations de poissons de cette région et à remarquer la présence d'ombles arctiques dans la rivière Fraser. Sollows *et al.* (1954) ont effectué des relevés préliminaires dans deux cours d'eau, la Kogaluk et la Fraser et y ont observé des ombles arctiques et des ombles de fontaine. Scott et Crossman (1974) soulignent la présence de six espèces dans la région, soit l'omble arctique, l'omble de fontaine, le saumon de l'Atlantique, le touladi, l'épinoche à trois épines et l'épinoche à neuf épines (tableau 1). Bruce *et al.* (1979) ont relevé la présence du ménomini rond dans la région pendant leur étude effectuée à l'aide de filets maillants en 1977–1978. Pendant les relevés effectués dans neuf cours d'eau de la région, Murphy et Porter (1974a, b) ont relevé deux espèces de poissons, l'omble arctique et l'omble de fontaine. Le MPO a effectué des études dans la rivière Fraser de 1975 à 1979. Coady et Best (1976), Dempson (1978), Dempson et Best (1978) et Dempson *et al.* (1979) présentent les nombres annuels de migrateurs remontant la rivière, leur longueur et leur poids et des statistiques sur les prises, l'effort de pêche et les échantillons prélevés dans les pêches commerciales à l'omble arctique. Andrews et Lear (1956) avaient déjà effectué des études des pêches commerciales à l'omble près de Nain et d'Okak.

Les relevés effectués par Murphy et Porter (1974a, b) dans les cours d'eau de la région, comme dans toutes les eaux du Labrador, comprennent des estimations des aires de frai et d'élevage du saumon de l'Atlantique. Ces chiffres ont toutefois peu de valeur pour calculer la taille éventuelle des populations de saumons des cours d'eau de cette région puisque l'omble arctique y est maintenant l'espèce dominante. Les tentatives d'évaluation

de la production d'ombles arctiques à l'aide de ces unités de frai et d'élevage ont eu peu de succès et R.F. Peet (comm. pers.) a déclaré qu'on ne dispose pas du nombre suffisant d'unités d'élevage pour l'omble arctique et qu'il serait très compliqué, sinon impossible, d'établir une relation entre la production d'ombles arctiques et les unités d'élevage. La différence entre les cycles biologiques de l'omble arctique et du saumon de l'Atlantique de même que leurs besoins différents en matière de frayères et d'aires d'élevage en sont probablement les raisons. L'omble arctique ne migre habituellement pas loin de sa rivière natale et retourne en eau douce pour y passer l'hiver et non pas nécessairement pour y frayer. D'autres méthodes servant à évaluer les populations d'ombles arctiques, comme celles consistant à mesurer la taille du bassin versant accessible, ne sont pas fiables (R.F. Peet, comm. pers.). Les unités d'élevage et de frai établies par Murphy et Porter (1974a, b) seront présentées dans un tableau à la suite des données portant sur chaque cours d'eau ayant fait l'objet d'un relevé, à des fins de comparaison avec d'autres cours d'eau du Labrador. Nous ne tenterons pas d'évaluer les populations éventuelles de ces espèces.

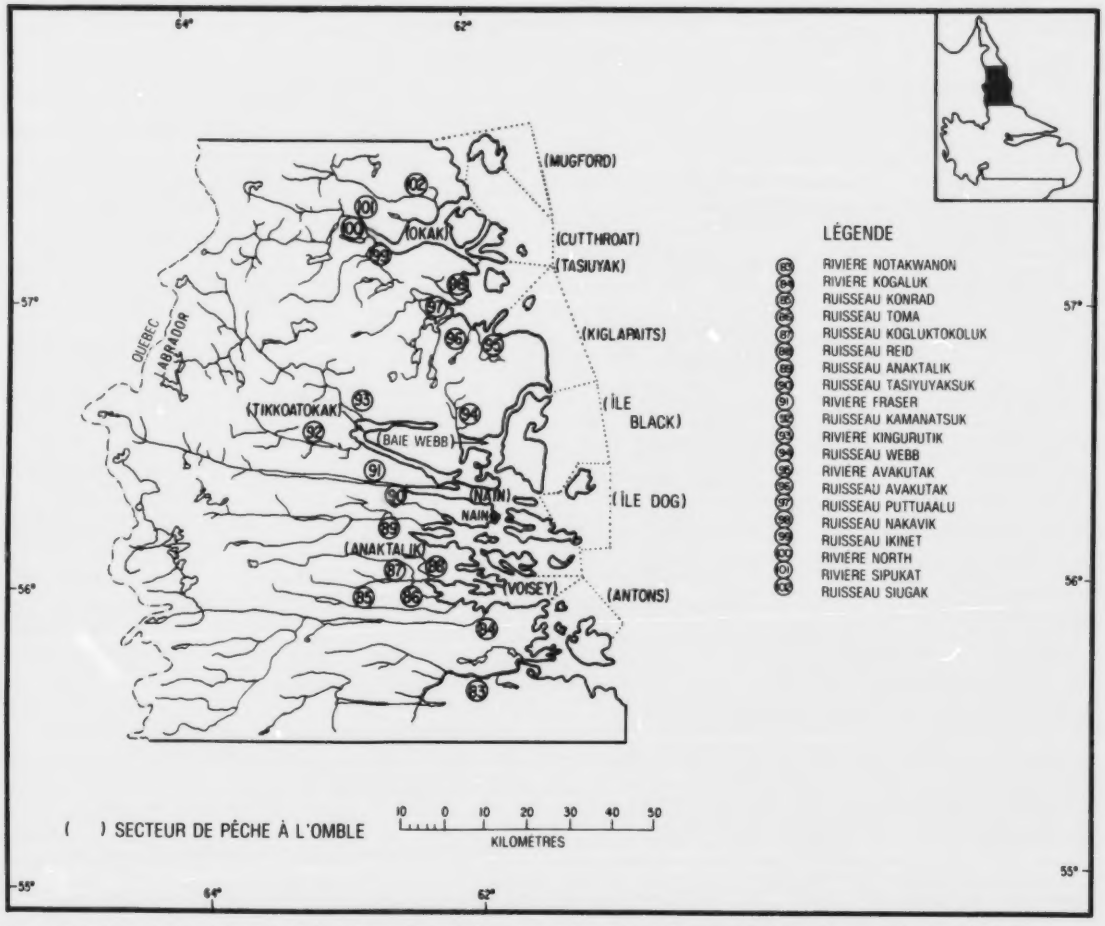

FIG. 106. Carte de la région V, Nain–Okak. Les rivières ont été numérotées pour faciliter les renvois dans le texte.

Plusieurs auteurs ont remarqué que tout le cycle évolutif de l'omble arctique se déroule assez près de sa rivière natale (Nielsen 1961; Le Jeune 1967; Moore 1975). Jensen et Berg (1977) mentionnent, dans un rapport rédigé à la suite d'un programme de marquage dans la rivière Vardnes en Norvège, que 74 % des 556 ombles recapturés en mer l'ont été à moins de 25 km de l'embouchure de la rivière. Dans le tributaire Northwest de la rivière Sandhill, dans le sud du Labrador, 89 des 205 ombles arctiques étiquetés en 1971 et 1972 ont été recapturés. Quatre-vingt-seize pour cent de ces reprises provenaient du voisinage immédiat de l'embouchure de la rivière (anse Sandhill); les autres 4 % ont été recapturés à moins de 25 km du lieu d'étiquetage (Dempson 1978). Quatre-vingt-six pour cent des poissons marqués dans le cadre d'un programme d'étiquetage de l'omble arctique dans la rivière Fraser dans le nord du Labrador ont été recapturés dans le voisinage immédiat de l'embouchure. Les autres 14 % ont été repris à moins de 50 km de l'embouchure (Dempson 1978). Ces exemples illustrent le fait que les pêches commerciales locales à l'omble arctique peuvent exploiter exclusivement les stocks des rivières du voisinage immédiat. Le tableau 375 présente les débarquements d'ombles arctiques de 1974 à 1980 provenant des régions indiquées à la fig. 106.

TABLEAU 375. Débarquements de la pêche commerciale à l'omble arctique par secteur, région Nain–Okak, 1974–1980 (Dempson 1978; Dempson, comm. pers.).

	Débarquements enregistrés (poids rond en kg)						
Secteur	1974	1975	1976	1977	1978	1979	1980
Pointe Antons	9 135	3 489	3 172	2 010	4 008	19 376	8 459
Baie Voisey	20 045	238	12 232	22 490	33 594	21 881	11 557
Anaktalik	7 821	2 548	14 670	21 604	13 073	14 914	8 043
Baie Nain	12 461	0	3 119	8 463	Fermée	Fermée	Fermée
Île Dog	2 659	653	212	2 038	386	1 438	3 049
Tikkoatokak	9 960	27 695	31 568	39 489	55 065	37 920	42 138
Baie Webb	580	833	4 550	2 516	3 475	3 036	3 008
Île Black	4 264	2 101	2 725	3 391	2 966	10 638	20 058
Kiglapaits	5 131	1 504	6 089	4 320	12 105	17 615	16 543
Tasiuyak	1 467	0	281	0	2 280	1 838	1 138
Okak	34 250	2 354	17 812	19 099	36 134	26 176	17 434
Cutthroat	12 641	2 703	7 526	13 216	41 161	17 803	32 403
Mugford	0	0	1 970	1 376	1 148	170	513
Total	120 414	44 118	105 926	140 012	205 395	172 805	164 343

Rivière Notakwanon

N° 83, fig. 106

La rivière Notakwanon, qui prend naissance à la frontière Québec–Labrador, coule vers l'est pour se jeter dans la baie Merrifield, parcourant ainsi plus de 150 km (fig. 107). Peu d'activités ont été signalées dans ce bassin versant, en raison de son éloignement; la majeure partie des renseignements sur ce réseau fluvial provient de Murphy et Porter (1974a).

Cette rivière a un bassin versant de 4 999 km^2 et elle est alimentée par 78 tributaires (tableau 376). La végétation du bassin se compose de lichens et d'arbrisseaux alternant avec des boisés de conifères épars. De l'embouchure au kilomètre 55, la largeur de la rivière va de 69 à 137 m et le substrat du fond est fait de sable fin et de gravier. En amont de cette section jusqu'au kilomètre 72, la rivière se rétrécit à 24 m et le substrat devient plus grossier avec des blocs et des moellons alternant avec des amas de gravier. Au kilomètre 72, la rivière débouche dans une série d'étendues d'eaux calmes, d'une largeur de 155 m, qui s'étend jusqu'au kilomètre 89 où se trouve une large zone de gravier de 387 m de largeur et de 3 km de longueur. Entre les kilomètres 91 et 116, la rivière se rétrécit à 37 m et le fond se modifie et se compose de blocs et de moellons. Des plans d'eau calme se trouvent entre les kilomètres 116 et 121, suivis d'une autre section de blocs et de moellons du kilomètre 121 au kilomètre 130. Au kilomètre 130,4, une chute de 9,2 m obstrue complètement la migration du poisson (tableau 377); la rivière se compose principalement d'étendues d'eau calme en amont de cette chute jusqu'au kilomètre 234.

Murphy et Porter (1974a) ont également étudié les principaux tributaires lors de leurs relevés; le tableau 377 énumère les obstacles trouvés dans ces cours d'eau. Le tableau 378 résume les données sur les unités de frai et d'élevage de chaque tributaire. Le tableau 379 représente les résultats des analyses des deux échantillons d'eau prélevés dans la rivière en 1973 (Jamieson 1979).

On dispose de peu de renseignements sur les espèces de poissons fréquentant la rivière Notakwanon. Murphy et Porter (1974a) ont vu des ombles arctiques pendant leurs relevés de 1973; on devrait également y trouver le saumon de l'Atlantique et l'omble de fontaine.

Murphy et Porter (tableau 378) ont relevé un total de 61 280 unités d'élevage accessibles, ce qui indique une capacité d'élevage comparable à celle de la rivière Paradise dans le sud du Labrador.

TABLEAU 376. Caractéristiques physiques de la rivière Notakwanon.

Référence cartographique:	Nain 14C Lac Tasisuak 14D Lac Mistastin 13M Hopedale 13N 1:250 000	Élévation maximale du bassin versant:	610 m
Latitude de l'embouchure:	56°01'N	Longueur réelle de l'axe principal (en suivant les méandres):	255 km
Longitude de l'embouchure:	61°31'W	Longueur totale, y compris des tributaires:	1895 km
Direction générale de l'écoulement:	Est	Nombre de tributaires:	78
Superficie du bassin versant:	4999 km^2	Formation géologique:	Gneiss, anorthosite, granite et roches associées
Largeur moyenne	31 km		
Longueur de l'axe	155 km		
Périmètre du bassin versant	494 km		

FIG. 107. Carte de la rivière Notakwanon montrant les aires d'élevage accessibles et inaccessibles au tacon du saumon de l'Atlantique.

TABLEAU 377. Obstacles de la rivière Notakwanon (Murphy et Porter 1974a).

Renvoi à la figure 107	Emplacement	Distance de l'embouchure (km)	Type	Description			Obstacle au passage du poisson
				Hauteur (m)	Largeur (m)	Pente (°)	
1	Axe principal	130,4	Chutes	9,2	31,0	70	Infranchissable
2	T9	11,3	Chutes	9,2	31,0	80	Infranchissable
3	T25	6,4	Chutes	2,1	—	90	Franchissable
4	T35	0,5	Chutes	4,6	22,9	80	Infranchissable
5	T37	0,5	Chutes	4,6	—	90	Infranchissable

TABLEAU 378. Résumé des données sur les unités d'élevage et de frai des secteurs accessibles et inaccessibles de la rivière Notakwanon (Murphy et Porter 1974a).

Emplacement	Secteurs accessibles		Secteurs inaccessibles	
	Unités de frai	Unités d'élevage	Unités de frai	Unités d'élevage
Axe principal	16 973	44 881	0	9 403
T2	580	7 006	0	0
T9	216	1 559	888	4 439
T20	0	2 623	0	0
T25	145	2 025	0	0
T31	0	1 737	0	0
T32	0	1 449	0	0
T35	0	0	0	4 180
T37	0	0	0	418
T39–T63	0	0	0	8 360
Total	17 914	61 280	888	26 800

TABLEAU 379. Moyenne des résultats des analyses de 2 échantillons d'eau prélevés dans la rivière Notakwanon, 1973 (Jamieson 1979).

Année	pH	Dureté totale (ppm)	Conductivité spécifique ($\mu S \cdot cm^{-1}$ à 25°C)	Turbidité (UTJ)	Alcalinité totale (ppm)	Calcium (ppm)	Chlorure (ppm)	Bicarbonate (ppm)
1973	6,6	7,0	15,0	5,4	5,0	1,3	1,2	6,1

Rivière Kogaluk
(rivière Koraluk, ruisseau Frank's)

N° 84, fig. 106

La rivière Kogaluk, d'une longueur de 170 km, coule vers l'est à partir de sa source, à la frontière Québec-Labrador, jusqu'à son embouchure, du côté sud de la baie Voisey (fig. 108). Son bassin versant a une superficie de 5 434 km^2 (tableau 380).

Un camp de pêche à la ligne est situé à l'embouchure, où la rivière atteint une largeur de 159 m et coule sur un substrat de sable et de gravier (Murphy et Porter 1974a). On signale que des phoques communs passent l'hiver dans cette section de la rivière (Association inuit du Labrador 1977). Au kilomètre 6,4, une chute de 9,2 m empêche toute migration du poisson vers l'amont (tableau 381). De cette chute jusqu'au kilomètre 42, la rivière est profonde et lente et sa largeur varie de 101 à 110 m. Le lac Cabot (L1) s'étend des kilomètres 42 à 61 et est entouré de hautes collines. Sa superficie est de 2 440 ha. Immédiatement en amont du lac Cabot, le chenal de la rivière se rétrécit à 46 m et le substrat du fond se compose surtout de gravier. Au kilomètre 120,8 se trouve une chute infranchissable de 12,2 m de hauteur. De cette chute jusqu'au kilomètre 127, la rivière a une largeur de 23 m et coule sur un lit de moellons et de blocs. Au-delà de ce point, la rivière se compose d'un réseau d'étangs et d'eaux calmes. Bon nombre des tributaires sont obstrués par des chutes importantes car l'axe principal est bordé de hautes collines. Le plus grand tributaire (T36) est alimenté par le lac Mistastin (L2), d'une superficie de 15 620 ha, et est obstrué par une chute de 5,4 m au kilomètre 22,5. Le cours inférieur du bassin versant est peuplé de conifères ainsi que la majeure partie de la vallée fluviale; la flore des collines se compose surtout de lichens. Le tableau 382 présente les résultats des analyses des échantillons d'eau prélevés en 1973 et 1978 (Jamieson 1979).

L'omble arctique est exploité commercialement dans la baie Voisey (Coady et Best 1976; Dempson 1978; Dempson et Best 1978). L'Association inuit du Labrador (1977) signale que l'omble fréquente le cours inférieur de la rivière et le tributaire T1 pour frayer. Le 14 juillet 1978, trois touladis et quatre ombles arctiques ont été attrapés au filet dans le lac Mistastin et le lendemain, douze touladis, un omble arctique et un ménomini rond

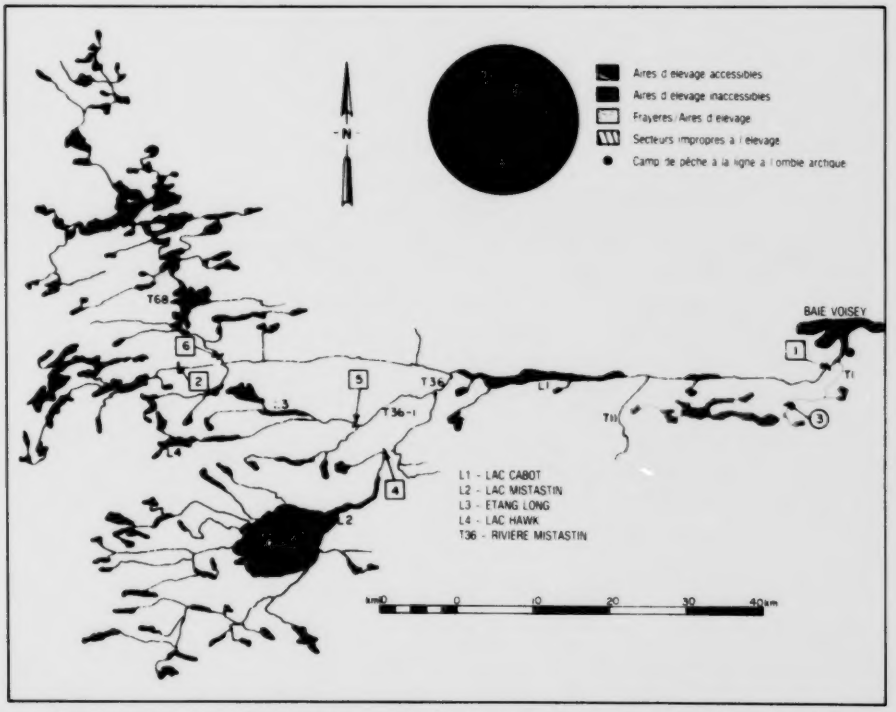

FIG. 108. Carte de la rivière Kogaluk montrant les aires d'élevage accessibles et inaccessibles au tacon du saumon de l'Atlantique.

ont été capturés au filet dans le lac Cabot (Bruce *et al.* 1979). Les tableaux 383 et 384 présentent un résumé des données sur la longueur, le poids, le sexe et l'âge des poissons. La capture d'un ménomini rond permet d'étendre la limite nordique de l'aire de distribution de cette espèce au Labrador. L'omble arctique et l'omble de fontaine sont les principales espèces pêchées à la ligne au camp situé en bordure du cours inférieur de la rivière; on y capture également quelques saumons de l'Atlantique (B. Dempson, comm. pers.). Sollows *et al.* (1954) ont observé de nombreux ombles de fontaine anadromes en aval de la chute située au kilomètre 6,4. Murphy et Porter (1974a) ont évalué à 57 351 le nombre total d'unités d'élevage inaccessibles dans la rivière Kogaluk (tableau 385) qu'on rendrait accessible au poisson anadrome par l'aménagment d'une passe à poissons dans les chutes situées au kilomètre 6,4.

TABLEAU 380. Caractéristiques physiques de la rivière Kogaluk.

Référence cartographique:	Nain 14C Lac Tasisuak 14D Lac Mistastin 13M 1:250 000	Élévation maximale du bassin versant:	549 m
Latitude de l'embouchure:	56°12′N	Longueur réelle de l'axe principal (en suivant les méandres):	129 km
Longitude de l'embouchure:	61°44′W	Longueur totale, y compris des tributaires:	2 222 km
Direction générale de l'écoulement:	Est	Nombre de tributaires:	83
Superficie du bassin versant:	5434 km²	Superficie des lacs de plus de 100 ha:	
Largeur moyenne	32 km	L1 Lac Cabot	2 440 ha
Longueur de l'axe	161 km	L2 Lac Mistastin	15 620 ha
Périmètre du bassin versant	737 km	Formation géologique:	Gneiss, granite et roches associées

TABLEAU 381. Obstacles de la rivière Kogaluk (Murphy et Porter 1974a).

Renvoi à la figure 108	Emplacement	Distance de l'embouchure (km)	Type	Description			Obstacle au passage du poisson
				Hauteur (m)	Largeur (m)	Pente (°)	
1	Axe principal	6,4	Chutes	9,2	61,0	60—90	Infranchissable
2	Axe principal	120,8	Chutes	12,2	45,8	90	Infranchissable
3	T1	24,2	Chutes	6,1	9,2	45	Franchissable
4	T36	22,5	Chutes	5,4	15,3	90	Infranchissable
5	T36-1	16,1	Chutes	5,4	—	90	Infranchissable
6	T68	1,6	Chutes	15,3	—	90	Infranchissable

TABLEAU 382. Résultats des analyses d'échantillons d'eau prélevés dans la rivière Kogaluk, 1973 et 1978 (Jamieson 1979).

Année	pH	Dureté totale (ppm)	Conductivité spécifique ($\mu S \cdot cm^{-1}$ à 25°C)	Turbidité (UTJ)	Alcalinité totale (ppm)	Calcium (ppm)	Chlorure (ppm)	Bicarbonate (ppm)
1973	6,6	6,0	16,0	0,7	4,0	1,0	1,4	4,9
1978	6,7	6,0	18,0	0,9	6,0	0,8	1,0	7,3

TABLEAU 383. Résumé des données sur le sexe, la longueur à la fourche, le poids entier, l'âge et la teneur en mercure du touladi et de l'omble arctique capturés dans le lac Mistastin, rivière Kogaluk, 14 juillet 1978 (Bruce *et al.* 1979).

Espèce	Sexe	*N*	Longueur moyenne à la fourche (cm)	Poids entier moyen (kg)	Âge moyen (années)	Teneur moyenne en mercure (ppm)	Plage des teneurs en mercure (ppm)
Touladi	M	1	62,0	2,40	35,0	0,73	—
	F	2	61,5	2,47	24,5	0,58	0,46–0,71
Total		3	61,7	2,45	28,0	0,63	0,46–0,73
Omble arctique	M	3	49,5	1,30	9,7	0,07	0,04–0,09
	F	1	50,5	1,00	12,0	0,22	—
Total		4	49,8	1,23	10,3	0,11	0,04–0,22

TABLEAU 384. Résumé des données sur le sexe, la longueur à la fourche, le poids entier, l'âge et la teneur en mercure du touladi, de l'omble arctique et du ménomini rond capturés dans le lac Cabot, rivière Kogaluk, 15 juillet 1978 (Bruce *et al.* 1979).

Espèce	Sexe	*N*	Longueur moyenne à la fourche (cm)	Poids entier moyen (kg)	Âge moyen (années)	Teneur moyenne en mercure (ppm)	Plage des teneurs en mercure (ppm)
Touladi	M	9	54,7	2,36	20,6	0,63	0,29–1,25
	F	3	61,5	3,07	26,0	0,66	0,41–0,97
Total		12	56,4	2,45	21,9	0,64	0,29–1,25
Omble arctique	M	1	35,0	0,40	7,0	0,07	—
Ménomini rond	F	1	41,0	0,65	9,0	0,36	—

TABLEAU 385. Résumé des données sur les unités d'élevage et de frai des secteurs accessibles et inaccessibles de la rivière Kogaluk (Murphy et Porter 1974a).

	Secteurs accessibles		Secteurs inaccessibles	
Emplacement	Unités de frai	Unités d'élevage	Unités de frai	Unités d'élevage
Axe principal	762	3 808	7 981	34 380
T1	203	1 307	0	0
T11	0	0	0	418
T36	0	0	1 105	20 045
T68	0	0	0	2 508
Total	965	5 115	9 086	57 351

Ruisseau Konrad

N° 85, fig. 106

Le ruisseau Konrad se jette du côté sud de la baie Voisey (fig. 109). Il coule vers l'est et draine une superficie de 569 km^2 (tableau 386). De son estuaire peu profond au kilomètre 3,2, ce cours d'eau coule lentement sur un substrat de sable et de gravier et a une largeur moyenne de 46 m (Murphy et Porter 1974a). Au kilomètre 3,2, une chute de 9,2 m entrave énormément la migration du poisson (tableau 387). Même si Murphy et Porter prétendent que le saumon de l'Atlantique pourrait surmonter cette chute en période de crue, nous la considérerons comme un obstacle infranchissable jusqu'à ce que nous obtenions des preuves concluantes. En amont de cette chute, le ruisseau serpente sur 48 km sur un substrat de sable et de gravier et sa largeur varie de 18 à 46 m. Un lac étroit s'étend des kilomètres 52 à 63. En amont de ce lac, la vitesse du courant augmente, le ruisseau se rétrécit à 9 à 18 m et le substrat du fond se change en blocs et en moellons. Une chute verticale de 3,1 m se trouve au kilomètre 80,5 et forme un autre obstacle infranchissable. Comme dans la plupart des autres cours d'eau de ce secteur, la hauteur des chutes rend bon nombre des tributaires inaccessibles. Le tableau 388 présente les résultats des analyses des deux échantillons d'eau prélevés dans le ruisseau en 1973 (Jamieson 1979).

On connaît peu de choses sur la population de poissons de ce cours d'eau. Coady et Best (1976), Dempson (1978) et Dempson et Best (1978) signalent la pratique d'une pêche commerciale active à l'omble arctique dans la baie Voisey. Murphy et Porter (1974a), d'après des renseignements connus sur d'autres cours d'eau de la région, prétendent que l'omble arctique fréquente le cours inférieur du ruisseau en aval de la chute située au kilomètre 3,2. Le cours d'eau a un potentiel d'élevage élevé de 15 573 unités inaccessibles (tableau 389).

FIG. 109. Carte du ruisseau Konrad montrant les aires d'élevage accessibles et inaccessibles au tacon du saumon de l'Atlantique.

TABLEAU 386. Caractéristiques physiques du ruisseau Konrad.

Référence cartographique:	Nain 14C Lac Tasisuak 14D 1:250 000	Élévation maximale du bassin versant:	549 m
Latitude de l'embouchure:	56°13′N	Longueur réelle de l'axe principal (en suivant les méandres):	87 km
Longitude de l'embouchure:	61°55′W	Longueur totale, y compris des tributaires:	309 km
Direction générale de l'écoulement:	Est	Nombre de tributaires:	50
Superficie du bassin versant:	569 km^2	Formation géologique:	Secteurs de plus faible élévation: granite et roches associées; secteurs de plus forte élévation: gneiss.
Largeur moyenne	8 km		
Longueur de l'axe	85 km		
Périmètre du bassin versant	213 km		

TABLEAU 387. Obstacles du ruisseau Konrad (Murphy et Porter 1974a).

Renvoi à la figure 109	Emplacement	Distance de l'embouchure (km)	Type	Description			Obstacle au passage du poisson
				Hauteur (m)	Largeur (m)	Pente (°)	
1	Axe principal	3,2	Chutes	9,2	—	—	Infranchissable
2	Axe principal	80,5	Chutes	3,1	—	90	Infranchissable

TABLEAU 388. Moyenne des résultats des analyses de 2 échantillons d'eau prélevés dans le ruisseau Konrad, 1973 (Jamieson 1979).

Année	pH	Dureté totale (ppm)	Conductivité spécifique ($\mu S \cdot cm^{-1}$ à 25°C)	Turbidité (UTJ)	Alcalinité totale (ppm)	Calcium (ppm)	Chlorure (ppm)	Bicarbonate (ppm)
1973	6,5	12,0	24,0	0,5	5,0	1,0	2,0	6,1

TABLEAU 389. Résumé des données sur les unités d'élevage et de frai des secteurs accessibles et inaccessibles de la rivière Konrad (Murphy et Porter 1974a).

Emplacement	Secteurs accessibles		Secteurs inaccessibles	
	Unités de frai	Unités d'élevage	Unités de frai	Unités d'élevage
Axe principal	147	736	5 781	14 737
T1, T21, T34, T38, T43, T46	0	0	0	836[a]
Total	147	736	5 781	15 573

[a] Évaluées à partir d'une carte topographique

Ruisseau Toma

N° 86, fig. 106

Ce petit ruisseau coule vers l'est pour se jeter du côté sud de la baie Voisey (fig. 110). Il a un bassin versant d'une superficie de 46 km^2 et est alimenté par cinq tributaires. Le réseau se caractérise par de nombreux petits lacs étroits (tableau 390). L'Association inuit du Labrador (1977) signale que l'omble arctique remonte jusqu'au premier lac du réseau. Nous ne disposons d'aucun autre renseignement sur ce bassin versant.

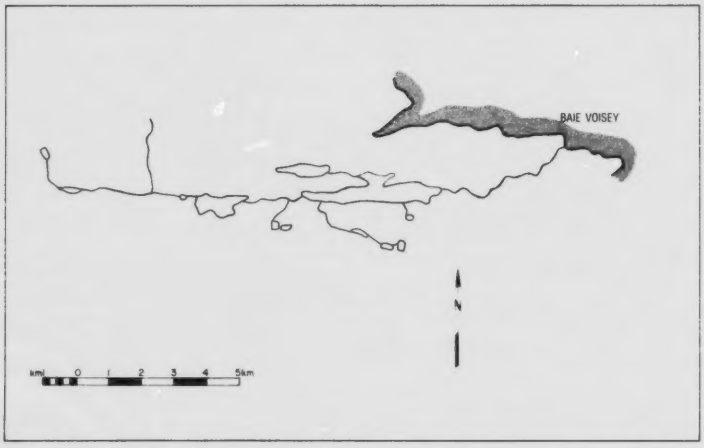

FIG. 110. Carte du ruisseau Toma (n'ayant pas fait l'objet d'un relevé).

TABLEAU 390. Caractéristiques physiques du ruisseau Toma.

Référence cartographique:	Nain 14C 1:250 000	Élévation maximale du bassin versant:	366 m
Latitude de l'embouchure:	56°13′N	Longueur réelle de l'axe principal (en suivant les méandres):	19 km
Longitude de l'embouchure:	61°57′W	Longueur totale, y compris des tributaires:	27 km
Direction générale de l'écoulement:	Est	Nombre de tributaires:	5
Superficie du bassin versant:	46 km^2	Formation géologique:	Granite et roches associées
Largeur moyenne	2 km		
Longueur de l'axe	17 km		
Périmètre du bassin versant	39 km		

Ruisseau Kogluktokoluk *N° 87, fig. 106*

Cette rivière coule vers l'est pour se jeter dans la baie Voisey (fig. 111). Son bassin versant, de 1 095 km^2 (tableau 391), comprend deux grands lacs et 18 tributaires. Le deuxième tributaire (T2) émerge du lac Makhavinekh (L1), grande étentue d'eau à l'ouest du mont Makhavinekh. Le troisième tributaire (T3) draine la partie nord du bassin versant et est appelé ruisseau Ikadlivik. Le tableau 392 présente les résultats des analyses d'un échantillon d'eau prélevé dans ce cours d'eau en 1973 (Jamieson 1979). L'Association inuit du Labrador (1977) signale que le saumon de l'Atlantique et l'omble arctique frayent dans le ruisseau Ikadlivik et dans l'axe principal du cours d'eau jusqu'à l'étang Trout (L2). La baie Voisey est l'un des principaux postes de pêche commerciale à l'omble arctique du nord du Labrador. L'omble natif de ce cours d'eau viendrait donc grossir les captures commerciales de cette espèce.

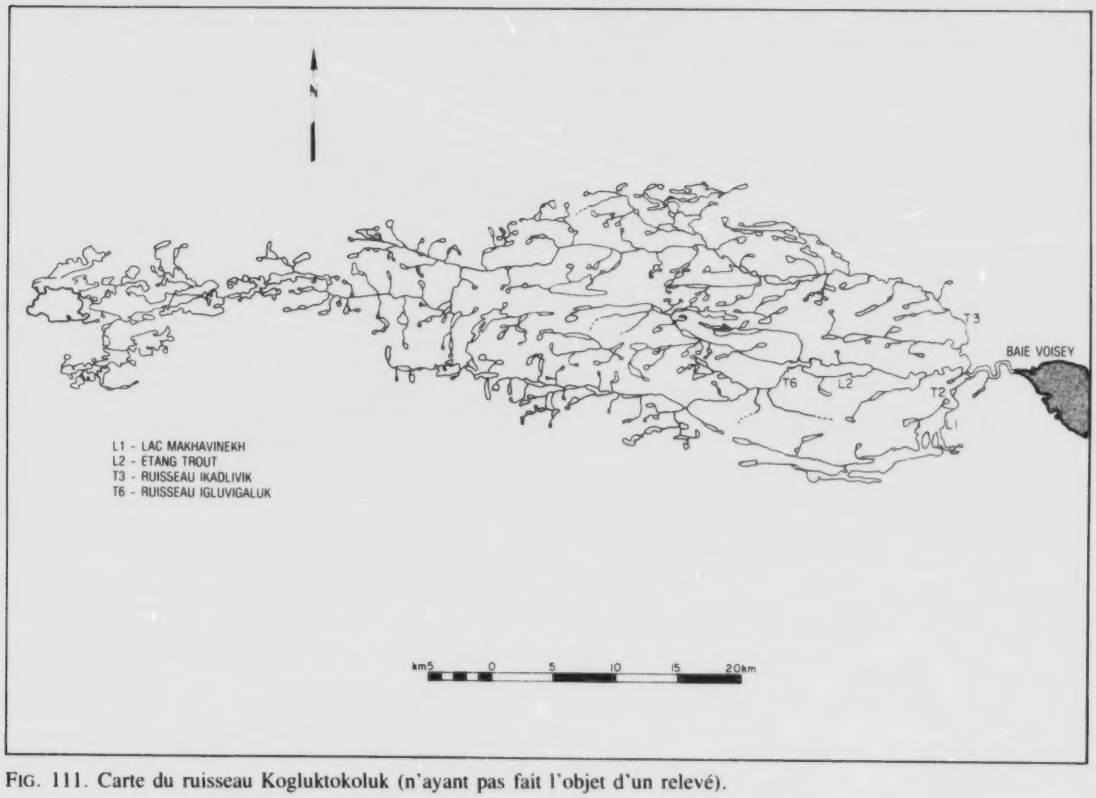

FIG. 111. Carte du ruisseau Kogluktokoluk (n'ayant pas fait l'objet d'un relevé).

TABLEAU 391. Caractéristiques physiques du ruisseau Kogluktokoluk.

Référence cartographique:	Tasisuak 14D 1:250 000	Élévation maximale du bassin versant:	488 m
Latitude de l'embouchure:	56°18′N	Longueur réelle de l'axe principal (en suivant les méandres):	90 km
Longitude de l'embouchure:	62°07′W	Longueur totale, y compris des tributaires:	554 km
Direction générale de l'écoulement:	Est	Nombre de tributaires:	18
Superficie du bassin versant:	1095 km^2	Formation géologique:	Anorthosite et roches associées
Largeur moyenne	14 km		
Longueur de l'axe	81 km		
Périmètre du bassin versant	209 km		

TABLEAU 392. Résultats des analyses d'un échantillon d'eau prélevé dans le ruisseau Kogluktokoluk, 1973 (Jamieson 1979).

Année	pH	Dureté totale (ppm)	Conductivité spécifique ($\mu S \cdot cm^{-1}$ à 25°C)	Turbidité (UTJ)	Alcalinité totale (ppm)	Calcium (ppm)	Chlorure (ppm)	Bicarbonate (ppm)
1973	6,9	16,0	34,0	8,4	16,0	1,0	3,4	19,5

Ruisseau Reid

N° 88, fig. 106

Le ruisseau Reid coule vers le sud-est pour se jeter dans la baie Voisey, près de la rivière Kogluktokoluk (fig. 112). Il a un bassin versant de 171 km^2 et l'axe principal est alimenté par 11 tributaires (tableau 393). L'Association inuit du Labrador (1977) signale que le cours inférieur du bassin versant est fréquenté par l'omble arctique qui est probablement capturé par les pêcheurs commerciaux de la baie Voisey.

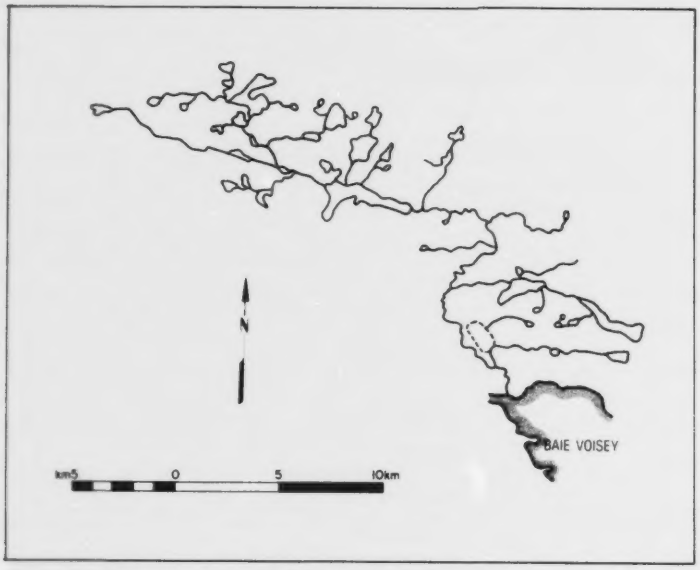

FIG. 112. Carte du ruisseau Reid (n'ayant pas fait l'objet d'un relevé).

TABLEAU 393. Caractéristiques physiques du ruisseau Reid.

Référence cartographique:	Lac Tasisuak 14D 1:250 000	Élévation maximale du bassin versant:	427 m
Latitude de l'embouchure:	56°18′N	Longueur réelle de l'axe principal (en suivant les méandres):	31 km
Longitude de l'embouchure:	62°05′W	Longueur totale, y compris des tributaires:	98 km
Direction générale de l'écoulement:	Sud-est	Nombre de tributaires:	11
Superficie du bassin versant:	171 km^2		
Largeur moyenne	5 km	Formation géologique:	Anorthosite et roches associées; gneiss.
Longueur de l'axe	25 km		
Périmètre du bassin versant	71 km		

Ruisseau Anaktalik *N° 89, fig. 106*

Le ruisseau Anaktalik coule vers l'est dans une étroite vallée fluviale et se jette dans une baie peu profonde à environ 30 km au sud-ouest de Nain (fig. 113). La rivière draine une superficie de 1 813 km^2 (tableau 394) et a une largeur de 91 m à son embouchure. Les 48 kilomètres du cours inférieur coulent sur un substrat de sable et de gravier et le ruisseau se rétrécit ensuite graduellement à 55 m (Murphy et Porter 1974a). Un lac long et étroit (L1) s'étend des kilomètres 48 à 64. En amont de ce lac, le ruisseau coule plus rapidement sur des substrats de moellons, de blocs et de gravier. Une chute de 15,3 m obstrue complètement la migration du poisson au kilomètre 99,8 (tableau 395). Murphy et Porter (1974a) ont effectué des relevés dans dix tributaires dont la plupart sont inaccessibles au poisson migrateur. Le tableau 396 présente les résultats des analyses des échantillons d'eau qui y ont été prélevés en 1973, 1974 et 1978 (Jamieson 1979).

L'omble arctique, le saumon de l'Atlantique et l'omble de fontaine ont été signalés dans le ruisseau Anaktalik. Murphy et Porter (1974a) ont raconté comment ils ont capturé un saumon de l'Atlantique au filet dans le lac L1 et signalent que l'omble de fontaine fraye dans le réseau. Bruce *et al.* (1979) soulignent que sept touladis et trois ombles arctiques ont été capturés au filet dans le lac L1 en juillet 1978; le tableau 397 présente un résumé des données sur la longueur, le poids, le sexe et l'âge de ces poissons. Selon l'Association inuit du Labrador (1977), l'omble arctique fraye dans le cours inférieur du ruisseau. Murphy et Porter (1974a) ont relevé 18 326 unités d'élevage accessibles et 18 744 unités inaccesssibles (tableau 398). Les unités accessibles se retrouvent principalement dans l'axe principal et les unités inaccessibles dans les tributaires. La pêche commerciale à l'omble arctique est pratiquée près de l'embouchure de ce ruisseau.

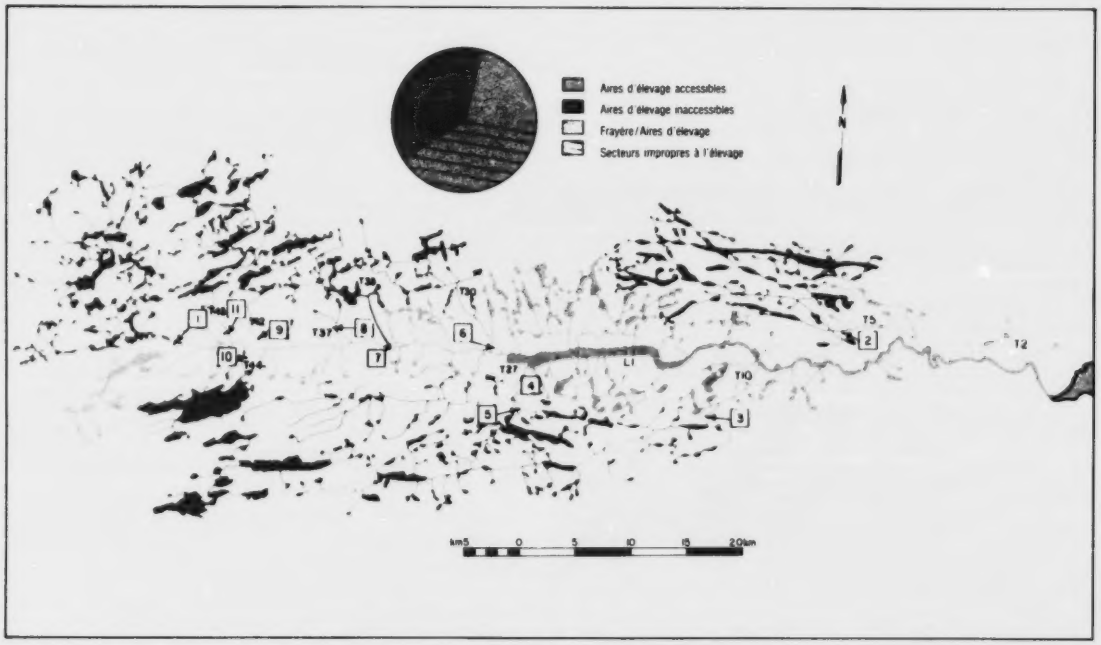

FIG. 113. Carte du ruisseau Anaktalik montrant les aires d'élevage accessibles et inaccessibles au tacon du saumon de l'Atlantique.

TABLEAU 394. Caractéristiques physiques du ruisseau Anaktalik.

Référence cartographique:	Tasisuak 14D 1:250 000	Élévation maximale du bassin versant:	549 m
Latitude de l'embouchure	56°29′N	Longueur réelle de l'axe principal (en suivant les méandres):	124 km
Longitude de l'embouchure:	62°09′W	Longueur totale, y compris des tributaires:	1129 km
Direction générale de l'écoulement:	Est	Nombre de tributaires:	63
Superficie du bassin versant:	1813 km^2	Formation géologique:	Anorthosite et roches associées; gneiss
Largeur moyenne	20 km		
Longueur de l'axe	97 km		
Périmètre du bassin versant	274 km		

TABLEAU 395. Obstacles du ruisseau Anaktalik (Murphy et Porter 1974a).

Renvoi à la figure 113	Emplacement	Distance de l'embouchure (km)	Type	Description			Obstacle au passage du poisson
				Hauteur (m)	Largeur (m)	Pente (°)	
1	Axe principal	99,8	Chutes	15,3	9,2	90	Infranchissable
2	T5	8,1	Chutes	22,9	9,2	60	Infranchissable
3	T10	6,4	Chutes	7,6	7,6	—	Infranchissable
4	T27	3,2	Chutes	4,6	9,2	—	Infranchissable
5	T27	12,9	Chutes	4,6	6,1	90	Infranchissable
6	T30	0,5	Chutes	—	—	—	Infranchissable
7	T35	1,0	Chutes	—	—	—	Infranchissable
8	T37	1,0	Chutes	—	—	—	Infranchissable
9	T42	1,0	Chutes	—	—	—	Infranchissable
10	T44	1,0	Chutes	—	—	—	Infranchissable
11	T45	1,0	Chutes	—	—	—	Infranchissable

TABLEAU 396. Résultats des analyses de 3 échantillons d'eau prélevés dans le ruisseau Anaktalik, 1973, 1974 et 1978 (Jamieson 1979).

Année	pH	Dureté totale (ppm)	Conductivité spécifique ($\mu S \cdot cm^{-1}$ à 25°C)	Turbidité (UTJ)	Alcalinité totale (ppm)	Calcium (ppm)	Chlorure (ppm)	Bicarbonate (ppm)
1973,1974[a]	6,7	11,0	25,0	4,5	8,0	3,7	1,8	9,7
1978	6,6	6,0	17,0	0,4	4,0	1,1	1,0	4,9

[a] Moyenne

TABLEAU 397. Résumé des données sur le sexe, la longueur à la fourche, le poids entier, l'âge et la teneur en mercure du touladi et de l'omble arctique capturés dans le ruisseau Anaktalik, 26 juillet 1978 (Bruce *et al.* 1979).

Espèce	Sexe	*N*	Longueur moyenne à la fourche (cm)	Poids entier moyen (kg)	Âge moyen (années)	Teneur moyenne en mercure (ppm)	Plage des teneurs en mercure (ppm)
Touladi	M	4	48,0	1,72	14,8	0,19	0,12–0,31
	F	3	46,7	1,06	14,0	0,23	0,19–0,27
Total		7	47,4	1,44	14,4	0,21	0,12–0,31
Omble arctique	M	1	55,5	2,44	8,0	0,05	—
	F	2	50,3	1,75	8,0	0,05	—
Total		3	52,0	1,98	8,0	0,05	—

TABLEAU 398. Résumé des données sur les unités d'élevage et de frai des secteurs accessibles et inaccessibles du ruisseau Anaktalik (Murphy et Porter 1974a).

	Secteurs accessibles		Secteurs inaccessibles	
Emplacement	Unités de frai	Unités d'élevage	Unités de frai	Unités d'élevage
Axe principal	1 495	14 958	0	836
T2	0	560	0	0
T5	1 080	1 080	0	720
T10	0	1 152	1 783	6 769
T27	0	576	145	4 644
T30	0	0	0	2 169
T35	0	0	0	1 304
T37	0	0	0	1 161
T42	0	0	0	485
T44	0	0	0	224
T45	0	0	0	432
Total	2 575	18 326	1 928	18 744

Ruisseau Tasiyuyaksuk *N° 90, fig. 106*

Ce petit ruisseau coule vers l'est pour se jeter dans une petite baie à environ 15 km au sud-ouest de Nain (fig. 114). Il a un bassin versant de 104 km^2. La longueur totale de l'axe principal et des tributaires est de 58 km (tableau 399). Le tableau 399 énumère d'autres caractéristiques physiques du cours d'eau. Nous ne disposons d'aucun renseignement sur les populations de poissons du ruisseau Tasiyuyaksuk.

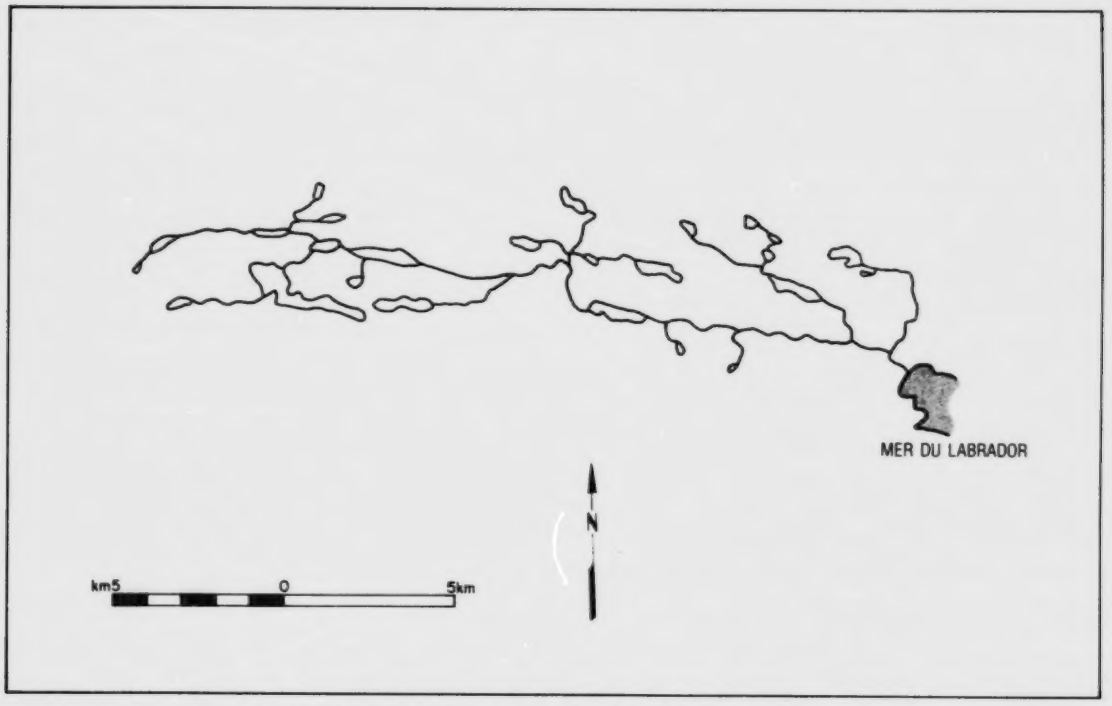

FIG. 114. Carte du ruisseau Tasiyuyaksuk (n'ayant pas fait l'objet d'un relevé).

TABLEAU 399. Caractéristiques physiques du ruisseau Tasiyuyaksuk.

Référence cartographique:	Lac Tasisuak 14D 1:250 000	Élévation maximale du bassin versant:	366 m
Latitude de l'embouchure:	56°31′N	Longueur réelle de l'axe principal (en suivant les méandres):	26 km
Longitude de l'embouchure:	62°02′W	Longueur totale, y compris des tributaires:	58 km
Direction générale de l'écoulement:	Est	Nombre de tributaires:	9
Superficie du bassin versant:	104 km^2	Formation géologique:	Anorthosite et roches associées
Largeur moyenne	4 km		
Longueur de l'axe	24 km		
Périmètre du bassin versant	58 km		

Rivière Fraser

N° 91, fig. 106

La rivière Fraser coule vers l'est, de la frontière Québec–Labrador jusque dans la baie Nain (fig. 115). Un lac étroit, le lac Tasisuak (L1), d'une longueur de 56 km, en forme le cours inférieur. Prichard (1911) a emprunté cette rivière pour se rendre de la côte du Labrador à la rivière George au Québec. Le phoque commun passe l'hiver dans la partie inférieure de la rivière et est chassé par les résidents de Nain (Association inuit du Labrador 1977).

Là où le lac Tasisuak se jette dans la baie Nain, l'eau est peu profonde et on y trouve des rapides à marée basse. Plus loin à l'intérieur des terres, le lac est profond et bordé de chaque côté par des montagnes abruptes. La rivière a un bassin versant d'une superficie de 1 606 km^2 (tableau 400). À son entrée dans le lac Tasisuak, elle a environ 40 m de largeur et serpente sur un substrat de sable et de gravier (Murphy et Porter 1974a). Au kilomètre 22, le courant devient plus rapide, le fond se modifie et comprend des blocs et des moellons et la rivière se rétrécit à 10 m. C'est probablement le secteur décrit par Prichard (1911) en ces termes: « De façon générale, je puis dire que l'ensemble du cours supérieur de la rivière Fraser est rapide »*. De gros blocs accumulés au kilomètre 38,6 transforment le cours d'eau en rivière souterraine et empêchent toute autre migration du poisson en période de sécheresse (tableau 401). Étant donné que la rivière coule dans une faille géologique, la majorité des tributaires tombent en cascades sur d'adruptes parois de canyon et sont totalement inaccessibles au poisson migrateur. La végétation du bassin versant se compose d'étroites bandes d'épinettes et d'arbrisseaux parallèles à la rivière; les lichens poussent çà et là sur les montagnes. Le tableau 402 présente les résultats des analyses des échantillons d'eau qui y ont été prélevés en 1973, 1975 et 1978 (Jamieson 1979).

Les espèces signalées dans la rivière Fraser comprennent notamment l'omble arctique, l'omble de fontaine, le touladi, le chabot tacheté, l'épinoche à trois épines et l'épinoche à neuf épines. Le MPO a surveillé les montaisons de 1975 à 1979 à un endroit situé à 7 km en amont de l'entrée du lac Tasisuak. Anderson et McDonald (1978) donnent une description du type de parc utilisé pour piéger le poisson. Le parc a été emporté par les eaux en raison d'importantes fluctuations de leur niveau en 1976 et 1978. Les tableaux 403 à 407 présentent le poids des poissons et les prises moyennes par semaine et par année. Les tableaux 408 à 412 présentent la répartition hebdomadaire ou quotidienne de la longueur à la fourche de l'omble arctique qui remontait le cours d'eau entre 1975 et 1979.

Backus (1957) signale que cette rivière a été visitée le 9 août 1951 par le *Blue Dolphin* lors de son expédition au Labrador. Quatre-vingt-cinq spécimens d'omble arctique allant de 60 à 419 mm de longueur ont été capturés dans l'estuaire à l'aide d'une seine de 18,3 m. Sollows *et al.* (1954) ont visité cette rivière le 5 août 1954 et n'y ont trouvé absolument aucun poisson. Bruce *et al.* (1979) ont capturé 51 ombles de fontaine à l'aide d'un filet maillant tendu dans la rivière Fraser. Le tableau 413 présente les données sur le sexe, la longueur, le poids et l'âge de ces poissons. Coady et Best (1976), Dempson (1978) et Dempson et Best (1978) se sont servi des renseignements recueillis à la barrière de comptage pour évaluer les stocks d'omble arctique du nord du Labrador et la pêche commerciale de cette espèce. Murphy et Porter (1974a) ont effectué des relevés dans la rivière en 1973 et enregistré 8 701 unités d'élevage accessibles (tableau 414).

TABLEAU 400. Caractéristiques physiques de la rivière Fraser.

Référence cartographique:	Lac Tasisuak 14D 1:250 000	Élévation maximale du bassin versant:	671 m
Latitude de l'embouchure:	56°39′N	Longueur réelle de l'axe principal (en suivant les méandres):	116 km
Longitude de l'embouchure:	63°10′W	Longueur totale, y compris des tributaires:	921 km
Direction générale de l'écoulement:	Est	Nombre de tributaires:	86
Superficie du bassin versant:	1606 km^2	Formation géologique:	Gneiss granitique
Largeur moyenne	13 km		
Longueur de l'axe	112 km		
Périmètre du bassin versant	348 km		

* Traduction libre (N.d.T.)

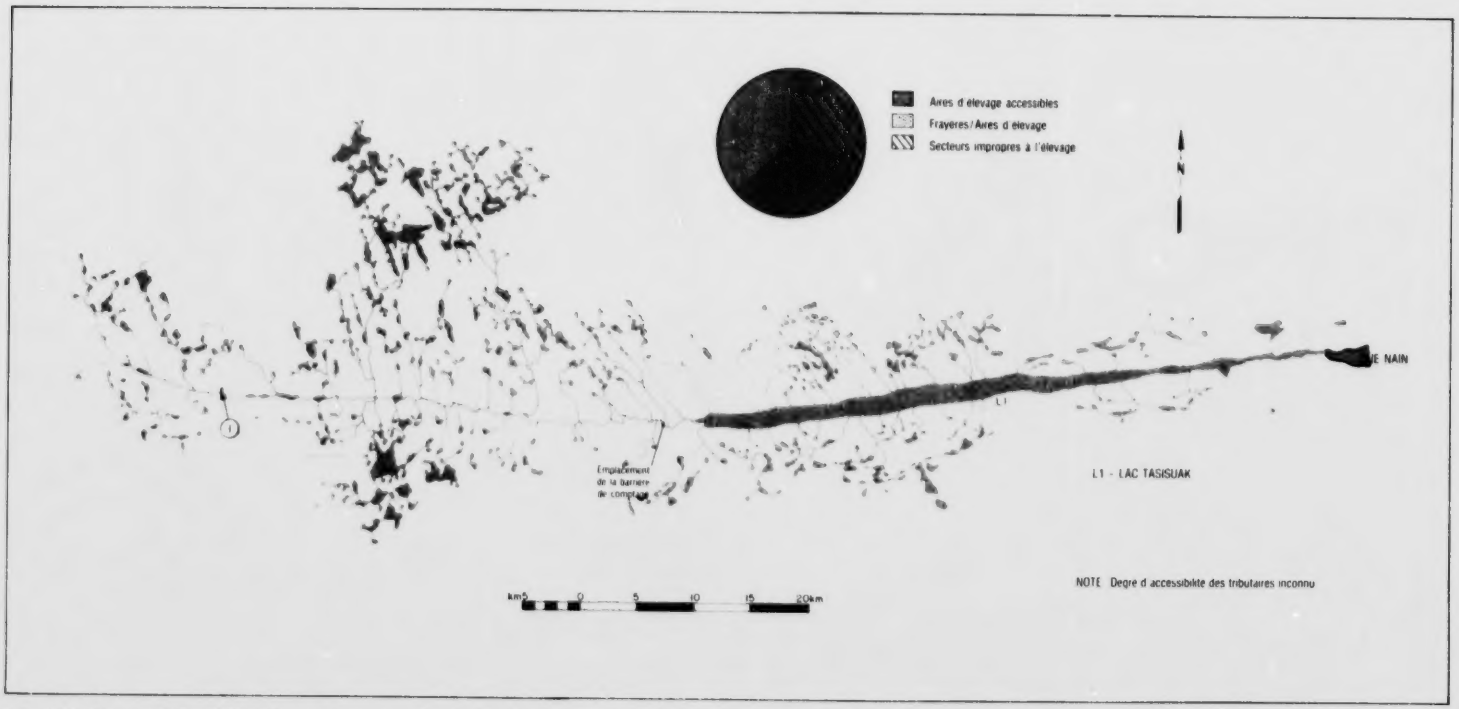

FIG. 115. Carte de la rivière Fraser montrant les aires d'élevage accessibles et inaccessibles au tacon du saumon de l'Atlantique.

TABLEAU 401. Obstacles de l'axe principal de la rivière Fraser (Murphy et Porter 1974a).

Renvoi à la figure 115	Emplacement	Distance de l'embouchure (km)	Type	Description			Obstacle au passage du poisson
				Hauteur (m)	Largeur (m)	Pente (°)	
1	Axe principal	38,6	Blocs (rivière souterraine)	—	—	—	Franchissable

TABLEAU 402. Moyenne des résultats des analyses de 3 échantillons d'eau prélevés dans la rivière Fraser, 1973, 1975 et 1978 (Jamieson 1979).

pH	Dureté totale (ppm)	Conductivité spécifique ($\mu S \cdot cm^{-1}$ à 25°C)	Turbidité (UTJ)	Alcalinité totale (ppm)	Calcium (ppm)	Chlorure (ppm)	Bicarbonate (ppm)
6,5	6,7	16,5	0,9	4,3	1,3	1,1	4,9

TABLEAU 403. Prises hebdomadaires d'ombles arctiques migrateurs remontant la rivière Fraser, 1975. Parc en filet situé à 7 km en amont du lac Tasisuak (MPO, données inédites).

Semaine se terminant le	Prises hebdomadaires	Poids (kg)		Température moyenne de l'eau (°C)
		Nombre de poissons échantillonnés	Moyenne	
3 août	537	330	1,97	13,0
10 août	1043	1034	1,61	13,2
17 août	349	290	1,32	10,4
24 août	720	509	1,40	10,3
31 août	921	354	1,16	11,2
7 sept.	382	278	0,82	11,3
Total	3952	2795	1,45	

TABLEAU 404. Prises hebdomadaires d'ombles arctiques migrateurs remontant la rivière Fraser, 1976. Parc en filet situé à 7 km en amont du lac Tasisuak (MPO, données inédites).

Semaine se terminant le	Prises hebdomadaires	Poids (kg)		Température moyenne de l'eau (°C)
		Nombre de poissons échantillonnés	Moyenne	
11 juillet	0	0	—	8,6
18 juillet[a]	1	1	2,00	10,4
25 juillet[a]	24	23	2,43	11,6
1 août	7	6	2,67	9,4
8 août	356	348	2,10	8,5
15 août	364	355	1,71	9,0
22 août	420	418	1,54	8,9
29 août	1176	489	1,37	9,1
Total	2348	1640	1,66	

[a] Barrière emportée par les eaux du 23 au 27 juillet inclusivement.

TABLEAU 405. Prises hebdomadaires d'ombles arctiques migrateurs remontant la rivière Fraser, 1977. Parc en filet situé à 7 km en amont du lac Tasisuak (MPO, données inédites).

Semaine se terminant le	Prises hebdomadaires	Poids (kg)		Température moyenne de l'eau (°C)
		Nombre de poissons échantillonnés	Moyenne	
3 juillet	0	0	—	8,9
10 juillet	0	0	—	7,9
17 juillet	0	0	—	9,9
24 juillet	0	0	—	13,5
31 juillet	0	0	—	10,2
7 août	431	421	1,44	10,8
14 août	656	466	1,34	9,0
21 août	512	209	1,23	8,9
28 août	174	167	1,19	9,3
4 sept.	287	281	1,22	8,6
11 sept.	30	28	0,73	7,7
18 sept.	79	76	0,87	6,4
25 sept.	165	159	0,87	5,1
Total	2334	1807	1,24	

TABLEAU 406. Prises hebdomadaires d'ombles arctiques migrateurs remontant la rivière Fraser, 1978. Parc en filet situé à 7 km en amont du lac Tasisuak (MPO, données inédites).

Semaine se terminant le	Prises hebdomadaires	Poids (kg)		Température moyenne de l'eau (°C)
		Nombre de poissons échantillonnés	Moyenne	
31 juillet[a]	283	233	2,47	12,3

[a]Barrière emportée par les eaux le 28 juillet.

TABLEAU 407. Prises hebdomadaires d'ombles arctiques migrateurs remontant la rivière Fraser, 1979. Parc en filet situé à 7 km en amont du lac Tasisuak (MPO, données inédites).

Semaine se terminant le	Prises hebdomadaires	Poids (kg)		Température moyenne de l'eau (°C)
		Nombre de poissons échantillonnés	Moyenne	
22 juillet[a]	18	18	1,24	10,7
29 juillet	128	128	1,35	10,3
5 août	1314	270	1,30	10,5
12 août	1296	427	1,35	9,3
19 août	931	569	1,28	9,4
26 août	2171	968	1,07	8,8
2 sept.[b]	545	271	0,92	7,7
Total	6403	2651	1,20	

[a]Barrière installée le 20 juillet.
[b]Barrière enlevée le 31 août.

TABLEAU 408. Répartition hebdomadaire de la longueur à la fourche des ombles arctiques migrateurs remontant la rivière Fraser, 1975 (MPO, données inédites).

Semaine se terminant le	Longueur à la fourche (cm)								Nombre
	10,49–20,48	20,49–30,48	30,49–40,48	40,49–50,48	50,49–60,48	60,49–70,48	70,49–80,48	80,49–90,48	
3 août	3	1	12	195	180	19	1	1	412
10 août	0	2	110	579	324	21	1	0	1037
17 août	0	5	81	137	60	8	0	0	291
24 août	0	0	112	297	100	7	0	0	516
31 août	0	8	99	196	48	3	0	0	354
7 sept.	0	29	144	96	16	0	0	0	285
Total	3	45	558	1500	728	58	2	1	2895

TABLEAU 409. Répartition hebdomadaire de la longueur à la fourche des ombles arctiques migrateurs remontant la rivière Fraser, 1976 (MPO, données inédites).

Semaine se terminant le	Longueur à la fourche (cm)									Nombre
	10,49–20,48	20,49–30,48	30,49–40,48	40,49–50,48	50,49–60,48	60,49–70,48	70,49–80,48	80,49–90,48	90,49–100,48	
18 juillet	0	0	0	0	1	0	0	0	0	1
25 juillet	0	0	1	8	14	1	0	0	0	24
1 août	0	0	0	2	3	1	0	0	0	6
8 août	0	0	47	185	94	22	0	0	0	348
15 août	0	2	62	198	80	13	0	0	0	355
22 août	5	14	127	201	65	6	0	0	0	418
29 août	0	12	172	246	51	8	0	0	0	489
Total	5	28	409	840	308	51	0	0	0	1641

TABLEAU 410. Répartition hebdomadaire de la longueur à la fourche des ombles arctiques migrateurs remontant la rivière Fraser, 1977 (MPO, données inédites).

Semaine se terminant le	Longueur à la fourche (cm)							Nombre
	10,49–20,48	20,49–30,48	30,49–40,48	40,49–50,48	50,49–60,48	60,49–70,48	70,49–80,48	
7 août	3	4	47	289	65	14	0	422
14 août	0	3	73	325	58	5	2	466
21 août	0	12	60	109	25	3	0	209
28 août	0	2	38	107	17	3	0	167
4 sept.	0	7	74	155	14	1	0	281
11 sept.	0	3	11	13	1	0	0	28
18 sept.	0	0	27	47	2	0	0	76
25 sept.	0	7	44	100	8	0	0	159
Total	3	38	374	1145	220	26	2	1808

TABLEAU 411. Répartition quotidienne de la longueur à la fourche des ombles arctiques migrateurs remontant la rivière Fraser, 1978 (MPO, données inédites).

	Longueur à la fourche (cm)							
Date	10,49–20,48	20,49–30,48	30,49–40,48	40,49–50,48	50,49–60,48	60,49–70,48	70,49–80,48	Nombre
25 juillet	0	0	0	1	1	0	0	2
26 juillet	1	0	5	48	48	8	1	111
27 juillet	0	0	5	63	62	12	0	142
Total	1	0	10	112	111	20	1	255

TABLEAU 412. Répartition hebdomadaire de la longueur à la fourche des ombles arctiques migrateurs remontant la rivière Fraser, 1979 (MPO, données inédites).

	Longueur à la fourche (cm)						
Semaine se terminant le	15,0–24,9	25,0–34,9	35,0–44,9	45,0–54,9	55,0–64,9	65,0–74,9	Nombre
22 juillet	0	1	2	11	3	1	18
29 juillet	1	3	14	81	28	1	128
5 août	0	2	213	292	34	5	546
12 août	1	10	246	377	57	3	694
19 août	0	23	310	306	45	1	685
26 août	1	142	526	288	27	2	986
2 sept.	2	55	143	80	6	0	286
Total	5	236	1454	1435	200	13	3343

TABLEAU 413. Résumé des données sur le sexe, la longueur à la fourche, le poids entier, l'âge et la teneur en mercure de l'omble de fontaine capturé dans la rivière Fraser, 1977 (Bruce *et al.* 1979).

Espèce	Sexe	*N*	Longueur moyenne à la fourche (cm)	Poids entier moyen (kg)	Âge moyen (années)	Teneur moyenne en mercure (ppm)	Plage des teneurs en mercure (ppm)
Omble de fontaine	M	29	21,5	0,11	3,6	0,07	0,03–0,11
	F	22	19,8	0,08	3,6	0,06	0,02–0,10
Total		51	20,6	0,10	3,6	0,07	0,02–0,11

TABLEAU 414. Résumé des données sur les unités d'élevage et de frai des secteurs accessibles et inacessibles de la rivière Fraser (Murphy et Porter 1974a)

	Secteurs accessibles		Secteurs inaccessibles	
Emplacement	Unités de frai	Unités d'élevage	Unités de frai	Unités d'élevage
Axe principal	4539	8701	—	—
Total	4539	8701	—	—

Ruisseau Kamanatsuk *N° 92, fig. 106*

Le ruisseau Kamanatsuk coule vers l'est pour se jeter dans la baie Tikkoatokak à environ 50 km au nord-ouest de Nain (fig. 116). Son bassin versant a une superficie de 829 km^2 et la longueur totale de l'axe principal et des tributaires est de 441 km (tableau 415). Le cours inférieur du ruisseau, d'une largeur moyenne de 45 m, serpente à travers un plateau boisé de peuplements épars d'épinettes. Au kilomètre 4,8, une chute de 6,1 m obstrue complètement toute migration plus en amont du poisson (tableau 416). De cette chute à l'exutoire du lac Tasialuk (L1), le ruisseau a une largeur de 45 m et coule sur un substrat de gravier et de moellons. Le lac Tasialuk a une étendue de 10 km, une superficie de 1 110 ha et est bordé de tous côtés par des montagnes abruptes. De l'entrée du lac au kilomètre 64, le substrat du fond se compose principalement de blocs et de moellons et le ruisseau a une largeur variant de 10 à 30 m. Une chute de 1,5 m obstrue partiellement la migration du poisson au kilomètre 40,3 ; au kilomètre 46,7, une chute de 4,6 m est infranchissable. Des montagnes abruptes forment la partie médiane et d'amont de la vallée fluviale. La majorité des tributaires est totalement obstruée par des cascades situées près de leur embouchure. la végétation de la vallée fluviale se compose d'épinettes et de sapins baumiers arbustifs ; on trouve également dans les montagnes des lichens, des cypéracées et des mousses. Le tableau 417 présente les résultats des analyses d'un échantillon d'eau qui y a été prélevé en 1973 (Jamieson 1979).

L'omble arctique est exploité commercialement dans la baie Tikkoatokak. Murphy et Porter (1974b) signalent la présence de l'omble arctique et du saumon de l'Atlantique dans le ruisseau Kamanatsuk. Un filet maillant tendu en juillet 1978 dans le lac Tasialuk a permis de capturer 35 touladis et 24 ombles arctiques (Bruce *et al.* 1979). Le tableau 418 présente un résumé des données sur la longueur, le poids, le sexe et l'âge de ces poissons. Pendant leur relevé de 1973, Murphy et Porter ont enregistré 2 208 unités d'élevage accessibles et 13 066 unités inaccessibles (tableau 419).

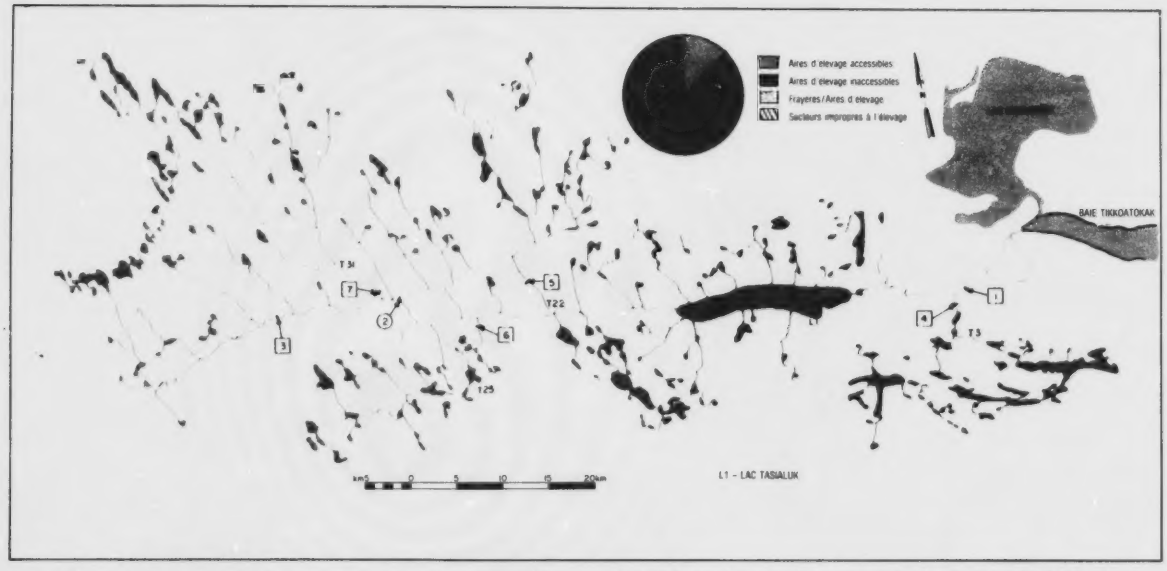

FIG. 116. Carte du ruisseau Kamanatsuk montrant les aires d'élevage accessibles et inaccessibles au tacon du saumon de l'Atlantique

TABLEAU 415. Caractéristiques physiques du ruisseau Kamanatsuk.

Référence cartographique:	Lac Tasisuak 14D 1:250 000	Élévation maximale du bassin versant:	610 m
Latitude de l'embouchure:	56°46′N	Longueur réelle de l'axe principal (en suivant les méandres):	63 km
Longitude de l'embouchure:	62°32′W	Longueur totale, y compris des tributaires:	441 km
Direction générale de l'écoulement:	Est	Nombre de tributaires:	42
Superficie du bassin versant:	829 km²	Superficie des lacs de plus de 100 ha:	
Largeur moyenne	14 km	L1 Lac Tasialuk	1110 ha
Longueur de l'axe	55 km		
Périmètre du bassin versant	187 km	Formation géologique:	Anorthosite et roches associées

TABLEAU 416. Obstacles du ruisseau Kamanatsuk (Murphy et Porter 1974b).

Renvoi à la figure 116	Emplacement	Distance de l'embouchure (km)	Type	Description			Obstacle au passage du poisson
				Hauteur (m)	Largeur (m)	Pente (°)	
1	Axe principal	4,8	Chutes	6,1	15,3	60	Infranchissable
2	Axe principal	40,3	Chutes	1,5	15,3	—	Franchissable
3	Axe principal	46,7	Chutes	4,6	9,2	90	Infranchissable
4	T3	1,6	Chutes	9,2	—	90	Infranchissable
5	T22	3,2	Chutes	—	—	—	Infranchissable
6	T25	1,0	Chutes	—	—	—	Infranchissable
7	T31	1,0	Chutes	—	—	—	Infranchissable

TABLEAU 417. Résultats des analyses d'un échantillon d'eau prélevé dans le ruisseau Kamanatsuk, 1973 (Jamieson 1979).

Année	pH	Dureté totale (ppm)	Conductivité spécifique ($\mu S \cdot cm^{-1}$ à 25°C)	Turbidité (UTJ)	Alcalinité totale (ppm)	Calcium (ppm)	Chlorure (ppm)	Bicarbonate (ppm)
1973	6,3	8,0	14,0	4,5	2,0	1,5	0,8	2,4

TABLEAU 418. Résumé des données sur le sexe, la longueur à la fourche, le poids entier, l'âge et la teneur en mercure du touladi et de l'omble arctique capturés dans le lac Tasialuk, ruisseau Kamanatsuk, 26 juillet 1978 (Bruce *et al.* 1979).

Espèce	Sexe	*N*	Longueur moyenne à la fourche (cm)	Poids entier moyen (kg)	Âge moyen (années)	Teneur moyenne en mercure (ppm)	Plage des teneurs en mercure (ppm)
Touladi	M	18	44,1	0,99	18,4	0,39	0,19–1,20
	F	17	44,3	0,87	17,1	0,35	0,16–1,40
Total		35	44,2	0,93	17,8	0,37	0,16–1,40
Omble arctique	M	8	37,1	0,50	10,0	0,07	0,06–0,10
	F	16	35,1	0,49	10,6	0,10	0,06–0,14
Total		24	35,8	0,50	10,4	0,09	0,06–0,14

TABLEAU 419. Résumé des données sur les unités d'élevage et de frai des secteurs accessibles et inaccessibles du ruisseau Kamanatsuk (Murphy et Porter 1974b).

	Secteurs accessibles		Secteurs inaccessibles	
Emplacement	Unités de frai	Unités d'élevage	Unités de frai	Unités d'élevage
Axe principal	0	2 208	2 851	9 255
T31	0	0	0	1 303
Autres tributaires	0	0	0	2 508[a]
Total	0	2 208	2 851	13 066

[a]Évaluées à partir d'une carte topographique.

La rivière Kingurutik, réseau fluvial long et large, prend naissance à la frontière Québec–Labrador et se jette dans la baie Tikkoatokak (fig. 117). Elle a un bassin versant d'une superficie de 4 157 km^2 (tableau 420). Plusieurs lacs se sont formés entre les montagnes du bassin versant, le plus grand étant le lac Kingurutik (L1), situé à 2 km de l'embouchure de la rivière et d'une superficie de 8 910 ha (tableau 420). L'Association inuit du Labrador (1977) signale que le phoque commun passe l'hiver dans ce lac. D'autres lacs sont situés plus en amont dans l'axe principal et dans le tributaire 34 (T34).

Le cours inférieur de la rivière, entre l'embouchure et le lac Kingurutik, est appelé ruisseau Kotannak et a environ 65 m de largeur. La largeur du reste de la rivière varie de 100 m, directement en amont du lac Kingurutik, à 18 m dans les eaux d'amont, à 122 km de l'embouchure. Le substrat du fond se compose principalement de moellons et de blocs interrompus par des amas de gravier partout dans le réseau. Des chutes se retrouvent dans le cours supérieur de l'axe principal aux kilomètres 112,7 et 115,9, la première étant infranchissable, contrairement à la deuxième. Des obstacles ont également été signalés dans sept tributaires (tableau 421). La vallée fluviale est peuplée d'épinettes et de sapins baumiers arbustifs et les montagnes du bassin versant sont recouvertes de lichens, de cypéracées et de mousses. Le tableau 422 présente les résultats des analyses de l'échantillon qui y a été prélevé en 1973 (Jamieson 1979).

Murphy et Porter (1974b) laissent à entendre que cette rivière est fréquentée principalement par l'omble arctique, ainsi que par une population plus petite de saumons de l'Atlantique. En juillet 1978, 26 ombles arctiques ont été capturés au filet dans le lac Esker (L3). Le tableau 423 présente un résumé des données sur la longueur, le poids, le sexe et l'âge de ces poissons (Bruce *et al.* 1979). L'axe principal et les tributaires de cette rivière

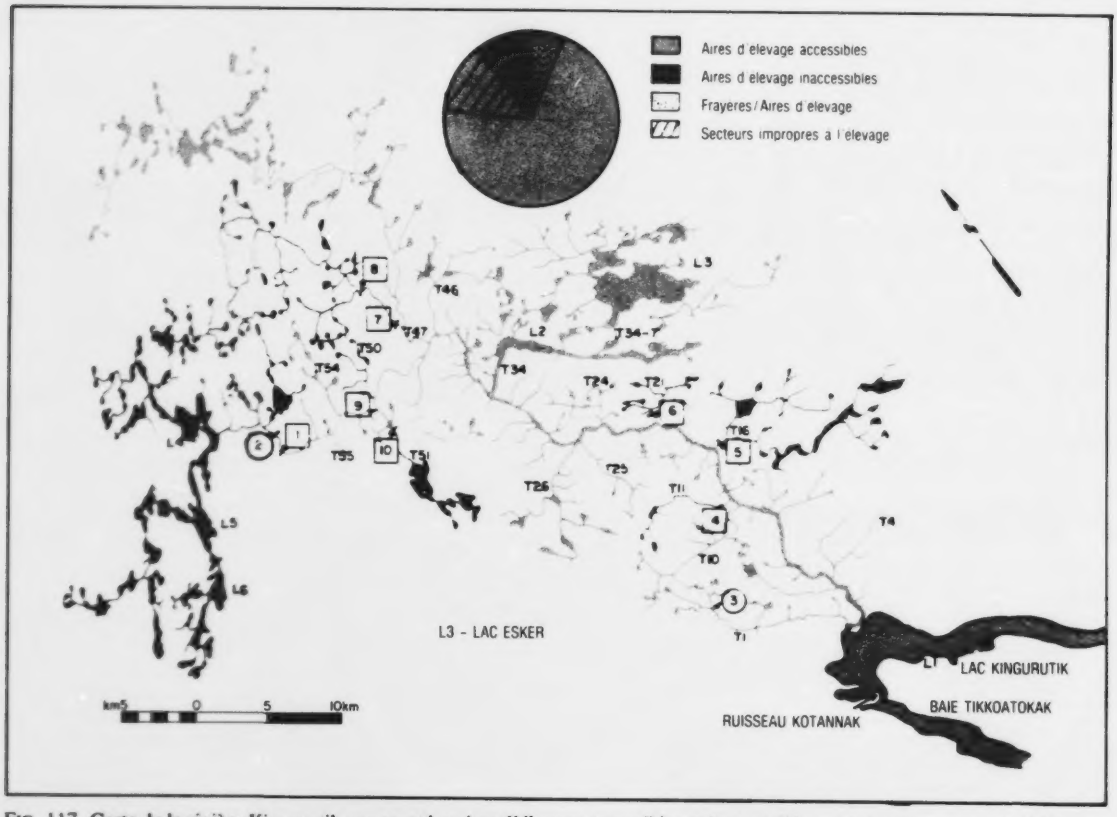

FIG. 117. Carte de la rivière Kingurutik montrant les aires d'élevage accessibles et inaccessibles au tacon du saumon de l'Atlantique.

offrent un potentiel énorme. Murphy et Porter ont enregistré 63 996 unités d'élevage accessibles et 5 895 unités inaccessibles (tableau 424). Nul doute que l'importante pêche commerciale à l'omble arctique de la baie Tikkoatokak exploite un fort pourcentage de l'omble natif de cette rivière.

TABLEAU 420. Caractéristiques physiques de la rivière Kingurutik.

Référence cartographique:	Lac Tasisuak 14D Rivière North 14E 1:250 000	Élévation maximale du bassin versant:	671 m
Latitude de l'embouchure:	56°50′N	Longueur réelle de l'axe principal (en suivant les méandres):	122 km
Longitude de l'embouchure:	62°34′W	Longueur totale, y compris des tributaires:	1584 km
Direction générale de l'écoulement:	Sud-est	Nombre de tributaires:	68
Superficie du bassin versant:	4157 km²	Superficie des lacs de plus de 100 ha:	
Largeur moyenne	38 km	L1 Lac Kingurutik	8910 ha
Longueur de l'axe	106 km	L2	1240 ha
Périmètre du bassin versant	543 km	L3 Lac Esker	4320 ha
		L4	1810 ha
		L5	1300 ha
		L6	780 ha
		Formation géologique:	Anorthosite, gneiss et granite

TABLEAU 421. Obstacles de la rivière Kingurutik (Murphy et Porter 1974b).

Renvoi à la figure 117	Emplacement	Distance de l'embouchure (km)	Type	Description			Obstacle au passage du poisson
				Hauteur (m)	Largeur (m)	Pente (°)	
1	Axe principal	112.7	Chutes	9.1	—	90	Infranchissable
2	Axe principal	115.9	Chutes	1.8	—	—	Franchissable
3	T1	16.1	Chutes	9.1	—	—	Franchissable
4	T11	0.0	Chutes	16.1	3.1	90	Infranchissable
5	T16	0.0	Chutes	—	—	—	Infranchissable
6	T21	1.6	Chutes	—	—	—	Infranchissable
7	T47	6.4	Chutes	1.8	30.5	45	Infranchissable
8	T47	19.3	Chutes	3.1	30.5	—	Infranchissable
9	T50	0.0	Chutes	6.1	—	90	Infranchissable
10	T51	0.0	Chutes	—	—	—	Infranchissable

TABLEAU 422. Résultats des analyses d'un échantillon d'eau prélevé dans la rivière Kingurutik, 1973 (Jamieson 1979).

Année	pH	Dureté totale (ppm)	Conductivité spécifique ($\mu S \cdot cm^{-1}$ à 25°C)	Turbidité (UTJ)	Alcalinité totale (ppm)	Calcium (ppm)	Chlorure (ppm)	Bicarbonate (ppm)
1973	6.3	6.0	11.0	0.8	4.0	1.0	0.8	4.9

TABLEAU 423. Résumé des données sur le sexe, la longueur à la fourche, le poids entier, l'âge et la teneur en mercure de l'omble arctique capturé dans le lac Esker, rivière Kingurutik, 28 juillet 1978 (Bruce *et al.* 1979).

Espèce	Sexe	*N*	Longueur moyenne à la fourche (cm)	Poids entier moyen (kg)	Âge moyen (années)	Teneur moyenne en mercure (ppm)	Plage des teneurs en mercure (ppm)
Omble arctique	M	17	48,6	1,42	15,7	0,33	0,06–0,51
	F	9	44,2	0,92	13,6	0,33	0,06–0,58
Total		26	47,1	1,25	15,0	0,33	0,06–0,58

TABLEAU 424. Résumé des données sur les unités d'élevage et de frai des secteurs accessibles et inaccessibles de la rivière Kingurutik (Murphy et Porter 1974b).

	Secteurs accessibles		Secteurs inaccessibles	
Emplacement	Unités de frai	Unités d'élevage	Unités de frai	Unités d'élevage
Axe principal	3 479	43 349	0	1 613
T1	148	2 852	0	0
T4	0	167	0	0
T10	0	810	0	0
T11	0	0	0	1 449
T16	0	0	0	1 127
T21	0	0	0	482
T24	0	242	0	0
T25	0	645	0	0
T26	0	0	0	0
T34	173	4 315	0	0
T46	84	0	0	0
T47	1 224	10 500	0	580
T50	0	0	0	322
T51	0	0	0	322
T54	0	724	0	0
T55	0	362	0	0
Total	5 108	63 966	0	5 895

Ruisseau Webb

N° 94, fig. 106

Le ruisseau Webb coule vers le sud pour se jeter dans la baie du même nom, inlet bien abrité à environ 30 km au nord de Nain (fig. 118). Ce cours d'eau a un bassin versant de 378 km^2 (tableau 425) et traverse une large vallée encaissée entre des montagnes abruptes. Le tableau 426 présente les résultats des analyses d'un échantillon prélevé en 1976 (Jamieson 1979). D'après l'Association inuit du Labrador, le saumon de l'Atlantique et l'omble arctique frayent partout dans l'ensemble de l'axe principal. T. Curran (comm. pers.) a observé un grand nombre d'ombles dans la rivière à la fin d'août 1977. Une petite pêche commerciale à l'omble arctique a été pratiquée dans la baie Webb en 1977 et 2 516 kg de poisson (poids rond) y ont été capturés (Dempson 1978).

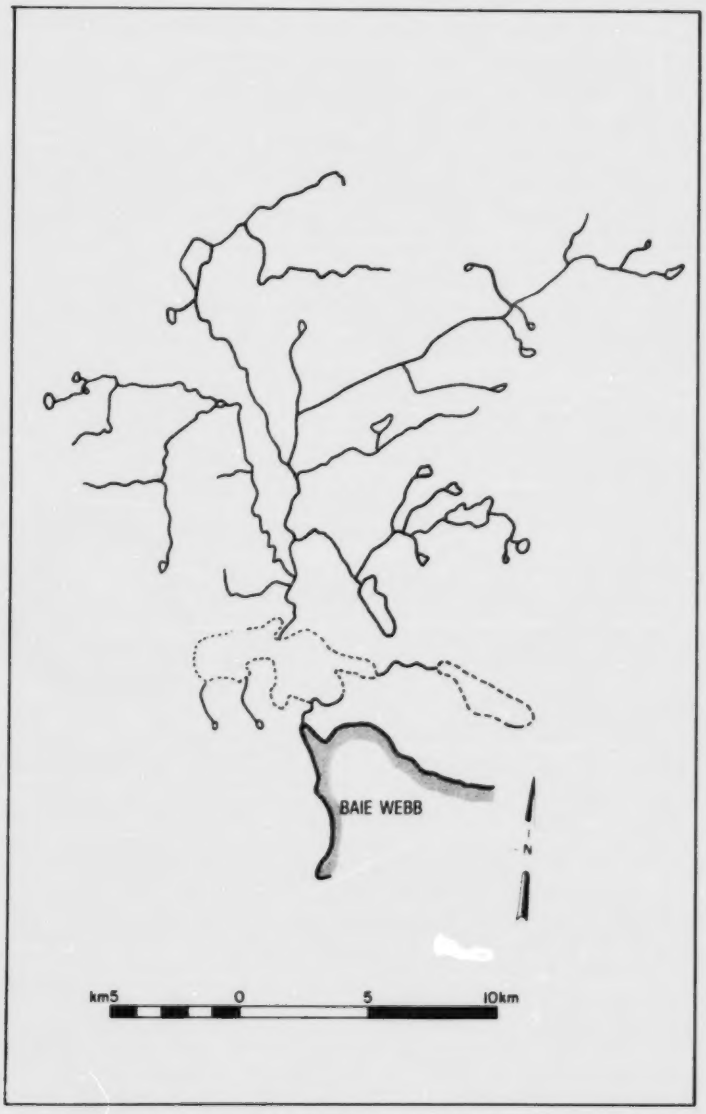

FIG. 118. Carte du ruisseau Webb (n'ayant pas fait l'objet d'un relevé).

TABLEAU 425. Caractéristiques physiques du ruisseau Webb.

Référence cartographique:	Nain 14C Lac Tasisuak 14D Rivière North 14E 1:250 000	Élévation maximale du bassin versant:	427 m
Latitude de l'embouchure:	56°48′N	Longueur réelle de l'axe principal (en suivant les méandres):	26 km
Longitude de l'embouchure:	61°56′W	Longueur totale, y compris des tributaires:	139 km
Direction générale de l'écoulement:	Sud	Nombre de tributaires:	12
Superficie du bassin versant:	378 km^2	Formation géologique:	Anorthosite et roches associées: gneiss.
Largeur moyenne	20 km		
Longueur de l'axe	24 km		
Périmètre du bassin versant	87 km		

TABLEAU 426. Résultats des analyses d'un échantillon d'eau prélevé dans le ruisseau Webb, 1976 (Jamieson 1979).

Année	pH	Dureté totale (ppm)	Conductivité spécifique ($\mu S \cdot cm^{-1}$ à 25°C)	Turbidité (UTJ)	Alcalinité totale (ppm)	Calcium (ppm)	Chlorure (ppm)	Bicarbonate (ppm)
1976	6,4	8,0	23,0	0,8	8,0	1,6	2,0	9,8

Rivière Avakutak

N° 95, fig. 106

La rivière Avakutak coule vers le nord pour se jeter dans la baie du même nom (fig. 119). La rivière draine les versants ouest des monts Kiglapait, et le plus grand lac du réseau, le lac Kiglapait Tasialua (L1), a une élévation de plus de 180 m. La rivière a un bassin versant de 278 km^2 et une longueur totale de 106 km (tableau 427). Nous ne disposons d'aucun renseignement sur ses populations de poissons.

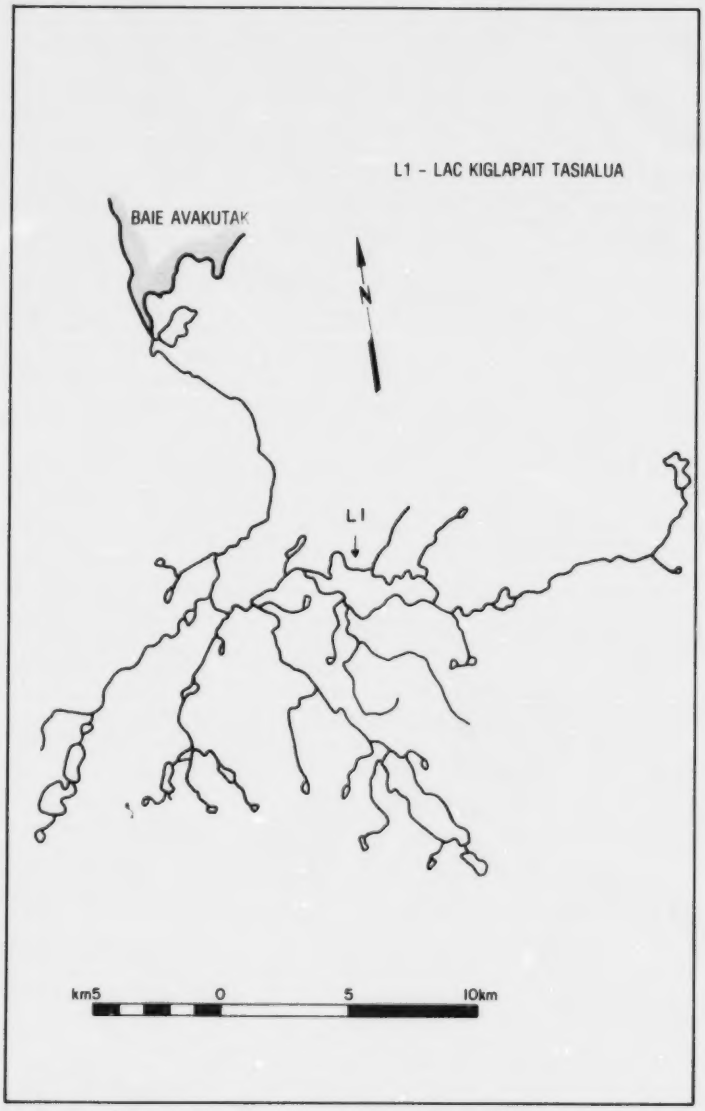

FIG. 119. Carte de la rivière Avakutak (n'ayant pas fait l'objet d'un relevé).

TABLEAU 427. Caractéristiques physiques du ruisseau Avakutak.

Référence cartographique:	Nain 14C Nutak 14F 1:250 000	Élévation maximale du bassin versant:	610 m
Latitude de l'embouchure:	57°09′N	Longueur réelle de l'axe principal (en suivant les méandres):	29 km
Longitude de l'embouchure:	61°52′W	Longueur totale, y compris des tributaires:	106 km
Direction générale de l'écoulement:	Nord-ouest	Nombre de tributaires:	10
Superficie du bassin versant:	278 km^2	Superficie des lacs de plus de 100 ha:	
Largeur moyenne	11 km	L1 Lac Kiglapait Tasialua	710 ha
Longueur de l'axe	26 km		
Périmètre du bassin versant	93 km	Formation géologique:	Anorthosite et roches associées

Ruisseau Avakutak *N° 96, fig. 106*

Ce ruisseau coule vers le nord-est et se jette dans la baie du même nom (fig. 120). Son bassin versant a une superficie de 166 km^2 et sa longueur totale est de 58 km (tableau 428). Nous ne disposons d'aucun renseignement sur ses populations de poissons.

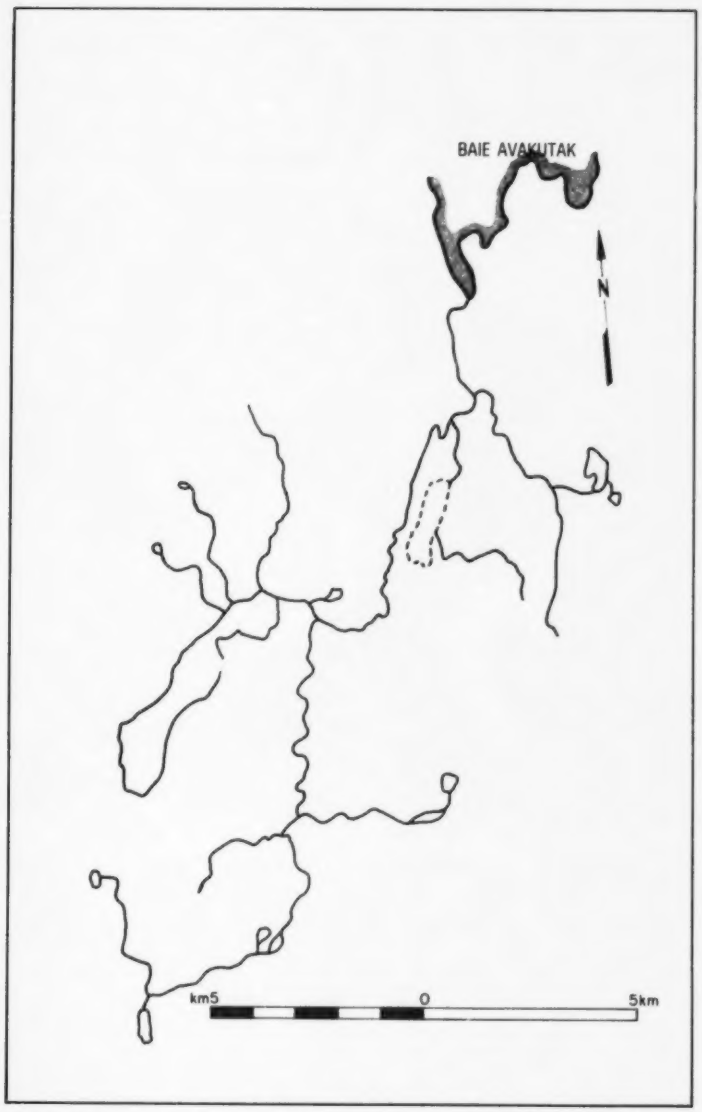

FIG. 120. Carte du ruisseau Avakutak (n'ayant pas fait l'objet d'un relevé).

TABLEAU 428. Caractéristiques physiques du ruisseau Avakutak.

Référence cartographique:	*Nutak* 14F Nain 14C Rivière North 14E Lac Tasisuak 14D 1:250 000	*Élévation maximale* du bassin versant:	366 m
Latitude de l'embouchure:	57°09′N	Longueur réelle de l'axe principal (en suivant les méandres):	23 km
Longitude de l'embouchure:	61°52′W	Longueur totale, y compris des tributaires:	58 km
Direction générale de l'écoulement:	Nord-est	Nombre de tributaires:	8
Superficie du bassin versant:	166 km^2	Formation géologique:	Anorthosite et roches associées
Largeur moyenne	6 km		
Longueur de l'axe	20 km		
Périmètre du bassin versant	58 km		

Ruisseau Puttuaalu

N° 97, fig. 106

Ce ruisseau, qui se caractérise par de vastes plans d'eau calme, coule vers l'est et se jette dans la baie Tasiuyak (fig. 121). Son bassin versant est de 1 471 km^2 et la superficie des divers lacs varie de 470 à 2 410 ha (tableau 429). L'Association inuit du Labrador (1977) signale la présence d'ombles arctiques dans le lac Frank (L1), le lac Laura (L2) et le lac Tasiuyak Tasialua (L3). Un camp de pêche sportive est exploité à la sortie du lac Tasiuyak Tasialua depuis 1966; les prises totales d'ombles arctiques déclarées de 1966 à 1974 sont de 823 poissons (tableau 430). De plus, en 1970, 100 ombles de fontaine anadromes pesant de 0,9 à 1,8 kg et 10 touladis (poids inconnu) y ont été pêchés à la ligne.

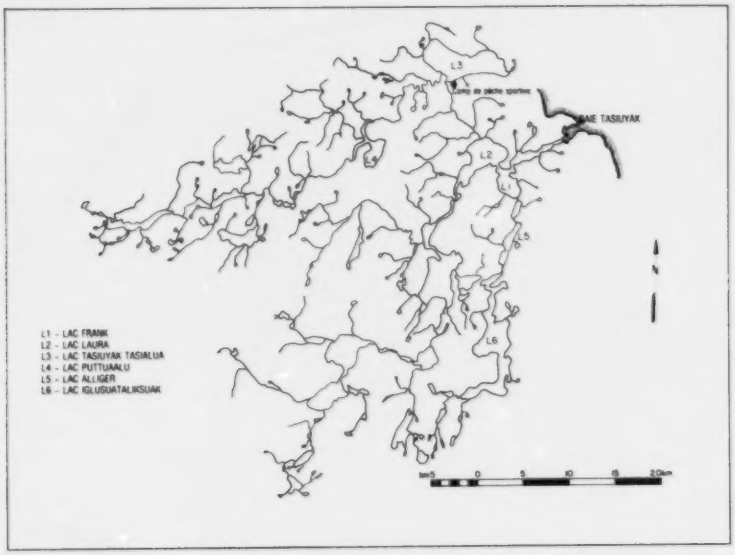

FIG. 121. Carte du ruisseau Puttuaalu (n'ayant pas fait l'objet d'un relevé).

TABLEAU 429. Caractéristiques physiques du ruisseau Puttuaalu.

Référence cartographique:	Nutak 14F Lac Tasisuak 14D Rivière North 14E 1:250 000	Élévation maximale du bassin versant:	549 m
Latitude de l'embouchure:	57°16′N	Longueur réelle de l'axe principal (en suivant les méandres):	71 km
Longitude de l'embouchure:	62°13′W	Longueur totale, y compris des tributaires:	536 km
Direction générale de l'écoulement:	Nord-est	Nombre de tributaires:	16
Superficie du bassin versant:	1471 km^2	Superficie des lacs de plus de 100 ha:	
Largeur moyenne	28 km	L1 Lac Frank	880 ha
Longueur de l'axe	54 km	L2 Lac Laura	1230 ha
Périmètre du bassin versant	216 km	L3 Lac Tasiuyak Tasialua	2330 ha
		L4 Lac Puttuaalu	470 ha
		L5 Lac Alliger	660 ha
		L6 Lac Iglusuataliksuak	2410 ha
		Formation géologique:	Anorthosite et roches associées

TABLEAU 430. Résumé des données sur les prises à la ligne d'ombles arctiques, ruisseau Puttuaalu, 1966–1974.

Année	Prises à la ligne
1966	62
1967	175
1968	37
1969	254
1970	115
1971	50
1972	70
1973	30
1974	30
Total	823

Ruisseau Nakavik

N° 98, fig. 106

Ce ruisseau coule vers le sud-est pour se jeter dans un inlet peu profond du côté nord de la baie Tasiuyak (fig. 122). Il a un bassin versant d'une superficie de 113 km^2 et une longueur totale (y compris les tributaires) de 56 km (tableau 431). L'Association inuit du Labrador (1977) signale la présence de l'omble arctique dans le cours inférieur de l'axe principal.

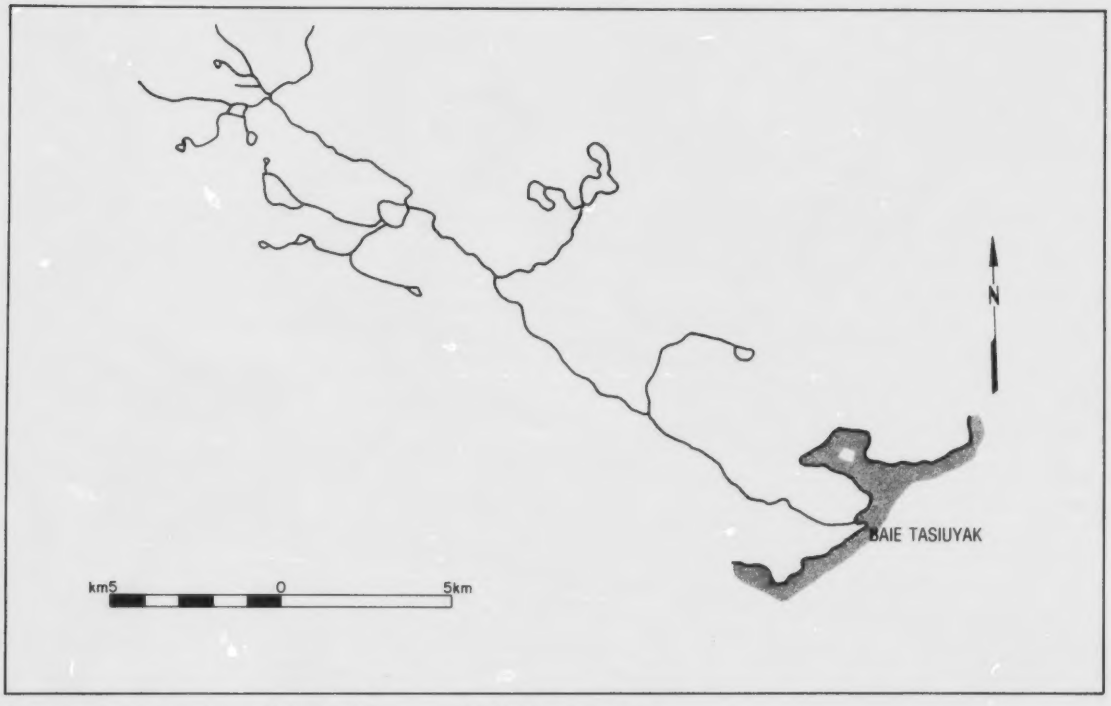

FIG. 122. Carte du ruisseau Nakavik (n'ayant pas fait l'objet d'un relevé).

TABLEAU 431. Caractéristiques physiques du ruisseau Nakavik.

Référence cartographique:	Rivière North 14E 1:250 000	Élévation maximale du bassin versant:	183 m
Latitude de l'embouchure:	57°16′N	Longueur réelle de l'axe principal (en suivant les méandres):	23 km
Longitude de l'embouchure:	61°56′W	Longueur totale, y compris des tributaires:	56 km
Direction générale de l'écoulement:	Sud-est	Nombre de tributaires:	8
Superficie du bassin versant:	113 km^2	Formation géologique:	Gneiss
Largeur moyenne	5 km		
Longueur de l'axe	26 km		
Périmètre du bassin versant	61 km		

Ruisseau Ikinet

N° 99, fig. 106

Le ruisseau Ikinet coule vers le nord-est pour se jeter du côté sud de la baie Okak (fig. 123). À environ 5 km de son embouchure, il se divise en deux bras, le ruisseau Sikkoyavik et le ruisseau Umiakoviarusek (T3). Le lac Umiakoviarusek, d'une superficie de 1 110 ha, se trouve dans le secteur d'amont du ruisseau Umiakoviarusek. Le tableau 432 présente d'autres caractéristiques physiques du ruisseau Iniket. La baie Okak a toujours été un poste estival de pêche commerciale à l'omble arctique, et l'Association inuit du Labrador (1977) signale la présence d'ombles dans le ruisseau Ikinet.

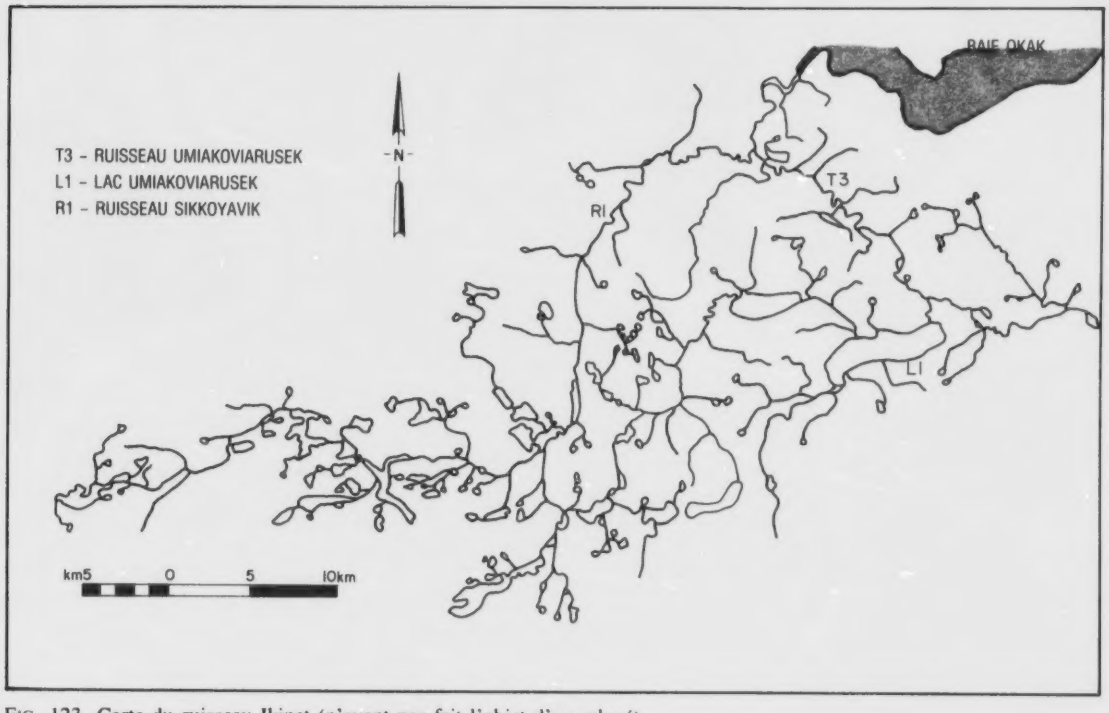

FIG. 123. Carte du ruisseau Ikinet (n'ayant pas fait l'objet d'un relevé).

TABLEAU 432. Caractéristiques physiques du ruisseau Ikinet.

Référence cartographique:	Rivière North 14E 1:250 000	Élévation maximale du bassin versant:	549 m
Latitude de l'embouchure:	57°27′N	Longueur réelle de l'axe principal (en suivant les méandres):	68 km
Longitude de l'embouchure:	62°28′W	Longueur totale, y compris des tributaires:	385 km
Direction générale de l'écoulement:	Nord-est	Nombre de tributaires:	33
Superficie du bassin versant:	872 km²	Superficie des lacs de plus de 100 ha:	
Largeur moyenne	17 km	L1 Lac Umiakoviarusek	1110 ha
Longueur de l'axe	54 km	Formation géologique:	Anorthosite et roches associées
Périmètre du bassin versant	174 km		

Rivière North

N° 100, fig. 106

La rivière North, qui prend naissance sur un plateau de l'intérieur du Labrador septentrional, traverse une vallée fluviale basse bordée de montagnes abruptes. Son embouchure, située dans la baie Okak, se trouve à environ 180 km au nord-est de Nain (fig. 124). Son bassin versant est de 1 655 km^2; sa longueur totale (axe principal et tributaires) est de 515 km (tableau 433).

De son embouchure au kilomètre 13, la rivière a une largeur d'environ 55 m et coule rapidement sur un substrat de blocs et de moellons. Ensuite, le substrat se compose alors de sable et de gravier, le courant diminue et la rivière se rétrécit, passant de 27 à 22 m. Au kilomètre 61, le courant augmente et le substrat du fond se compose de nouveau de blocs et de moellons. Au kilomètre 66,0 des chutes verticales de 7,6 m obstruent complètement la migration du poisson (tableau 434). Cet obstacle est suivi d'une série de quatre chutes infranchissables entre les kilomètres 67,6 et 69,2. Murphy et Porter (1974b) soutiennent que le secteur situé en amont de ces chutes n'offre qu'un potentiel très limité d'élevage des jeunes saumons.

En raison des parois abruptes de la vallée fluviale principale, tous les tributaires, sauf le T5 et le T9, sont inaccessibles au poisson migrateur à moins de 2 km de leur point de confluence avec l'axe principal. Le T5 et le T9 renferment de vastes plans d'eau calme dans leurs secteurs d'amont et un camp de pêche sportive à l'omble arctique a été établi sur le bord du lac Umiakovik (L2), dans le T9. La végétation de la majeure partie du bassin se compose de mousses, de cypéracées et de lichens; la vallée fluviale est bordée d'épinettes rabougries et certains endroits ont été dévastés par des incendies de forêt.

Murphy et Porter (1974b) et l'Association inuit du Labrador (1977) signalent la présence de l'omble arctique dans la rivière North. Bruce *et al.* (1979) ont capturé 49 ombles au filet dans le lac Umiakovik en août 1977 et cinq autres dans le lac L1 en juillet 1978. Les tableaux 435 et 436 présentent un résumé des données sur la longueur, le poids, le sexe et l'âge de ces poissons. Les prises à la ligne d'ombles arctiques déclarées par le camp de pêche du lac Umiakovik sont les suivantes: 50 en 1970, 50 en 1971, 100 en 1972, 3 en 1973 et 25 en 1974. En 1973, quelqu'un a signalé qu'un saumon rose (*Oncorhynchus gorbuscha*) avait été pêché à la ligne dans le lac Umiakovik, rapport qui n'a jamais été confirmé. Cette espèce a été introduite dans la rivière North Harbour de l'île de Terre-Neuve pendant les années 60 (Lear 1975).

Une pêche commerciale active à l'omble arctique est pratiquée chaque année dans la baie Okak, près de l'embouchure de la rivière North. Coady et Best (1976), Dempson (1978) et Dempson et Best (1978) présentent les prises annuelles et les données sur la longueur, le poids, l'âge et le sexe des prises commerciales d'omble arctique de la baie Okak. Murphy et Porter (1974b) estiment que la rivière North renferme 23 787 unités d'élevage accessibles et 14 964 unités inaccessibles (tableau 437).

TABLEAU 433. Caractéristiques physiques de la rivière North.

Référence cartographique:	Rivière North 14E 1:250 000	Élévation maximale du bassin versant:	671 m
Latitude de l'embouchure:	57°31'N	Longueur réelle de l'axe principal (en suivant les méandres):	84 km
Longitude de l'embouchure:	62°33'W	Longueur totale, y compris des tributaires:	515 km
Direction générale de l'écoulement:	Est	Nombre de tributaires:	35
Superficie du bassin versant:	1655 km^2	Superficie des lacs de plus de 100 ha:	
Largeur moyenne	33 km	L1	2070 ha
Longueur de l'axe	56 km	L2 Lac Umiakovik	1550 ha
Périmètre du bassin versant	203 km	L3	390 ha
		L4	780 ha
		Formation géologique:	Gneiss accompagné de granite et de roches associées

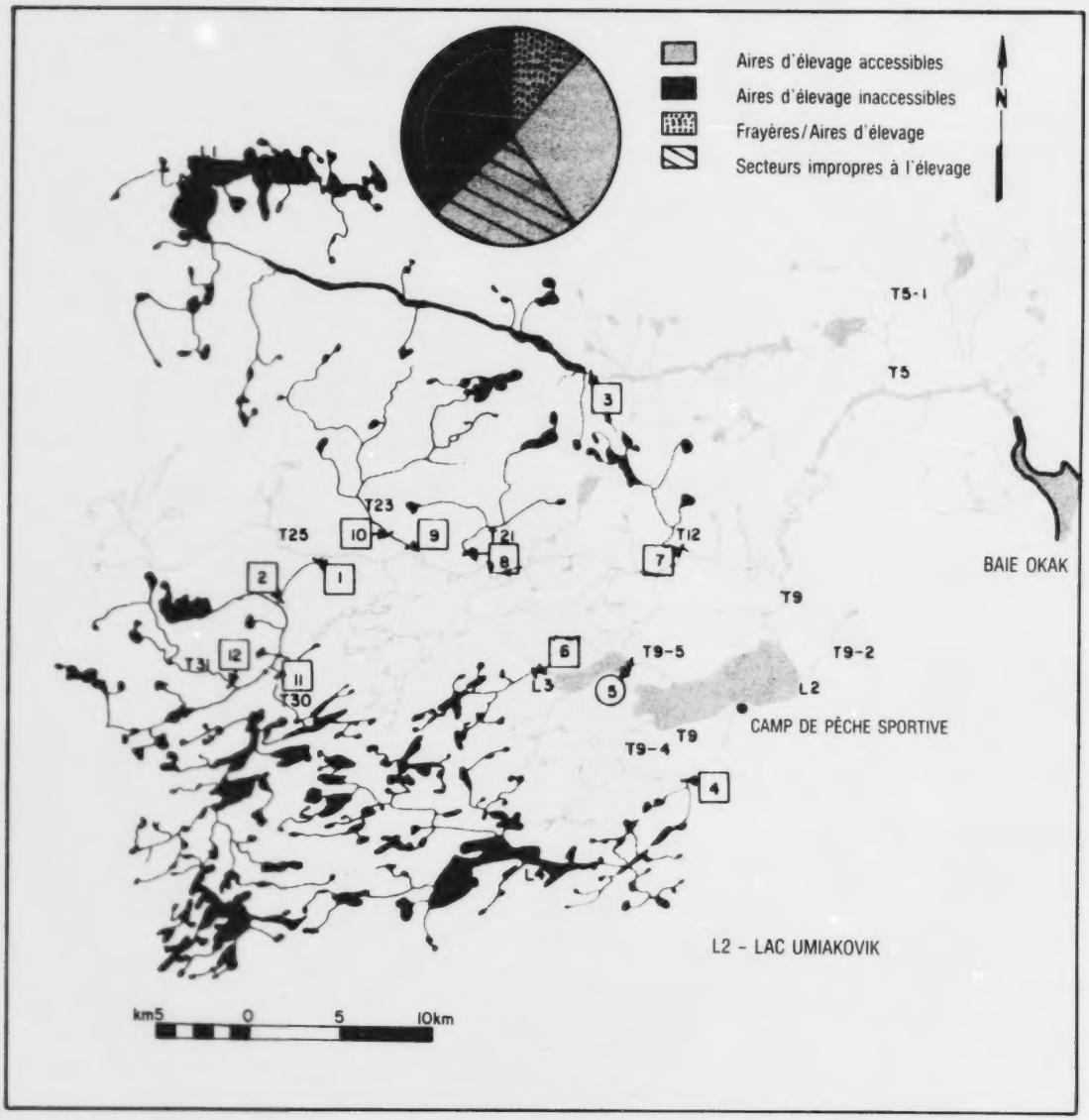

FIG. 124. Carte de la rivière North montrant les aires d'élevage accessibles et inaccessibles au tacon du saumon de l'Atlantique.

TABLEAU 434. Obstacles de la rivière North (Murphy et Porter 1974b).

Renvoi à la figure 124	Emplacement	Distance de l'embouchure (km)	Type	Description			Obstacle au passage du poisson
				Hauteur (m)	Largeur (m)	Pente (°)	
1	Axe principal	66,0	Chutes	7,6	9,1	90	Infranchissable
2	Axe principal	67,6-69,2	Chutes (4)	3,0	15,2	90	Infranchissable
3	T5	24,1	Chutes	4,6	—	90	Infranchissable
4	T9-3	6,4	Chutes	9,1	9,1	75	Infranchissable
5	T9-5	3,2	Chutes	1,8	15,2	30	Franchissable
6	T9-5	8,1	Chutes	7,6	6,1	80	Infranchissable
7	T12	0,0	Chutes	9,1	9,1	80	Infranchissable
8	T21	0,0	Chutes	7,6	9,1	—	Infranchissable
9	T23	1,6	Chutes	7,6	9,1	—	Infranchissable
10	T23	1,6	Chutes	15,2	6,1	90	Infranchissable
11	T30	0,0	Chutes	—	—	—	Infranchissable
12	T31	0,0	Chutes	—	—	—	Infranchissable

TABLEAU 435. Résumé des données sur le sexe, la longueur à la fourche, l'âge et la teneur en mercure de l'omble arctique capturé dans le lac Umiakovik, rivière North, 25 août 1977 (Bruce *et al.* 1979).

Espèce	Sexe	*N*	Longueur moyenne à la fourche (cm)	Âge moyen (années)	Teneur moyenne en mercure (ppm)	Plage des teneurs en mercure (ppm)
Omble arctique	M	23	49,3	9,8	0,03	0,01-0,07
	F	26	46,1	10,2	0,03	0,01-0,07
Total		49	47,6	10,0	0,03	0,01-0,07

TABLEAU 436. Résumé des données sur le sexe, la longueur à la fourche, le poids entier, l'âge et la teneur en mercure de l'omble arctique capturé dans le lac L1, rivière North, 28 juillet 1978 (Bruce *et al.* 1979).

Espèce	Sexe	*N*	Longueur moyenne à la fourche (cm)	Poids entier moyen (kg)	Âge moyen (années)	Teneur moyenne en mercure (ppm)	Plage des teneurs en mercure (ppm)
Omble arctique	F	5	43,7	0,62	12,8	0,33	0,24-0,39

TABLEAU 437. Résumé des données sur les unités d'élevage et de frai des secteurs accessibles et inaccessibles de la rivière North (Murphy et Porter 1974b).

Emplacement	Secteurs accessibles		Secteurs inaccessibles	
	Unités de frai	Unités d'élevage	Unités de frai	Unités d'élevage
Axe principal	3 515	17 949	29	2 894
T5	3 206	3 877	0	4 858
T9	58	1 529	0	2 174
T12	0	0	0	627
T21	0	0	0	627
T23	0	144	0	1 265
T25	0	288	0	1 265
T30	0	0	0	627
T31	0	0	0	627
Total	6 779	23 787	29	14 964

Rivière Sipukat

N° 101, fig. 106

La rivière Sipukat coule vers le sud-est et se jette du côté nord de la baie Okak (fig. 125). Son bassin versant est de 75 km^2; le plus grand lac du réseau, le lac Sipukat (L1), a une superficie de 360 ha (tableau 438). L'Association inuit du Labrador (1977) signale que l'omble arctique fraye dans cette rivière. Nous ne disposons d'aucun autre renseignement sur les espèces de poissons de ce cours d'eau.

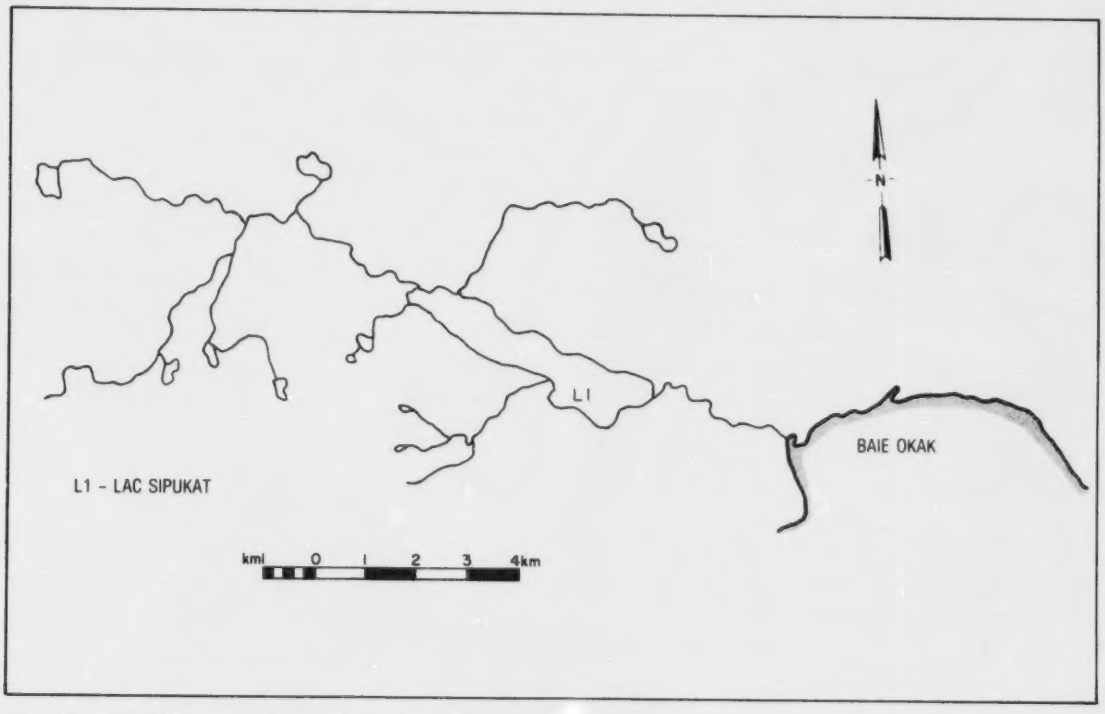

FIG. 125. Carte de la rivière Sipukat (n'ayant pas fait l'objet d'un relevé).

TABLEAU 438. Caractéristiques physiques de la rivière Sipukat.

Référence cartographique:	Rivière North 14E 1:250 000	Élévation maximale du bassin versant:	366 m
Latitude de l'embouchure:	57°32′N	Longueur réelle de l'axe principal (en suivant les méandres):	16 km
Longitude de l'embouchure:	62°17′W	Longueur totale, y compris des tributaires:	32 km
Direction générale de l'écoulement:	Sud-est	Nombre de tributaires:	5
Superficie du bassin versant:	75 km^2	Superficie des lacs de plus de 100 ha:	
Largeur moyenne	5 km	L1 Lac Sipukat	360 ha
Longueur de l'axe	16 km		
Périmètre du bassin versant	40 km	Formation géologique:	Gneiss

Ruisseau Siugak

N° 102, fig. 106

Le ruisseau Siugak traverse une large vallée fluviale bordée par des collines basses et onduleuses et se jette du côté nord de la baie Okak (fig. 126). Son bassin versant est de 1 072 km^2 (tableau 439). L'eau de son embouchure est peu profonde, des bancs de vase et de sable y étant exposés (Murphy et Porter 1974b). De son embouchure au kilomètre 48, sa largeur varie de 27 à 55 m; le fond se compose principalement de moellons et de blocs alternant avec du gravier. Au kilomètre 8,1, une chute de 2,1 m obstrue partiellement la migration du poisson et une autre de 4,6 m située au kilomètre 46,7 est infranchissable (tableau 440). En amont de cette chute, le ruisseau a une largeur de 55 m et coule sur un substrat de gravier, de moellons et de blocs. Au kilomètre 64,4 on retrouve un autre obstacle franchissable. Deux (T7 et T11) des trois tributaires étudiés par Murphy et Porter (1974b) sont accessibles au poisson migrateur; le troisième (T16) se jette dans l'axe principal en amont de la chute du kilomètre 46,7. La toundra subarctique parsemée de petites étendues de forêt rabougrie domine la végétation de l'ensemble du bassin versant.

L'Association inuit du Labrador (1977) signale que l'omble arctique hiverne dans les sections d'aval du ruisseau Siugak. Murphy et Porter (1974b) pensent que, malgré l'absence de renseignements sur les populations de poissons, l'omble arctique utilise vraisemblablement les secteurs accessibles du réseau. Ils ont estimé que cette région renfermait 16 602 unités d'élevage (tableau 441). La baie Okak a toujours été une très bonne pêcherie commerciale à l'omble arctique et, sans aucun doute, l'omble natif des secteurs accessibles du ruisseau Siugak vient grossir cette pêche.

TABLEAU 439. Caractéristiques physiques du ruisseau Siugak.

Référence cartographique:	Rivière North 14E 1:250 000	Élévation maximale du bassin versant:	549 m
Latitude de l'embouchure:	57°35′N	Longueur réelle de l'axe principal (en suivant les méandres):	81 km
Longitude de l'embouchure:	62°06′W	Longueur totale, y compris des tributaires:	322 km
Direction générale de l'écoulement:	Est	Nombre de tributaires:	31
Superficie du bassin versant:	1072 km^2	Formation géologique:	Gneiss
Largeur moyenne	14 km		
Longueur de l'axe	73 km		
Périmètre du bassin versant	219 km		

TABLEAU 440. Obstacles du ruisseau Siugak (Murphy et Porter 1974b).

Renvoi à la figure 126	Emplacement	Distance de l'embouchure (km)	Type	Description			Obstacle au passage du poisson
				Hauteur (m)	Largeur (m)	Pente (°)	
1	Axe principal	8,1	Chutes	2,1	9,2	80	Franchissable
2	Axe principal	46,7	Chutes	4,6	45,8	90	Infranchissable
3	Axe principal	64,4	Chutes	3,1	15,3	90	Franchissable
4	T7	9,7	Chutes	—	1,6	90	Franchissable
5	T16	16,1	Chutes	1,8	15,3	90	Franchissable

TABLEAU 441. Résumé des données sur les unités d'élevage et de frai des secteurs accessibles et inaccessibles du ruisseau Siugak (Murphy et Porter 1974b).

	Secteurs accessibles		Secteurs inaccessibles	
Emplacement	Unités de frai	Unités d'élevage	Unités de frai	Unités d'élevage
Axe principal	3 742	12 799	2 564	18 408
T7	0	2 967	0	0
T11	0	836	0	0
T16	0	0	1 037	8 046
Total	3 742	16 602	3 601	26 454

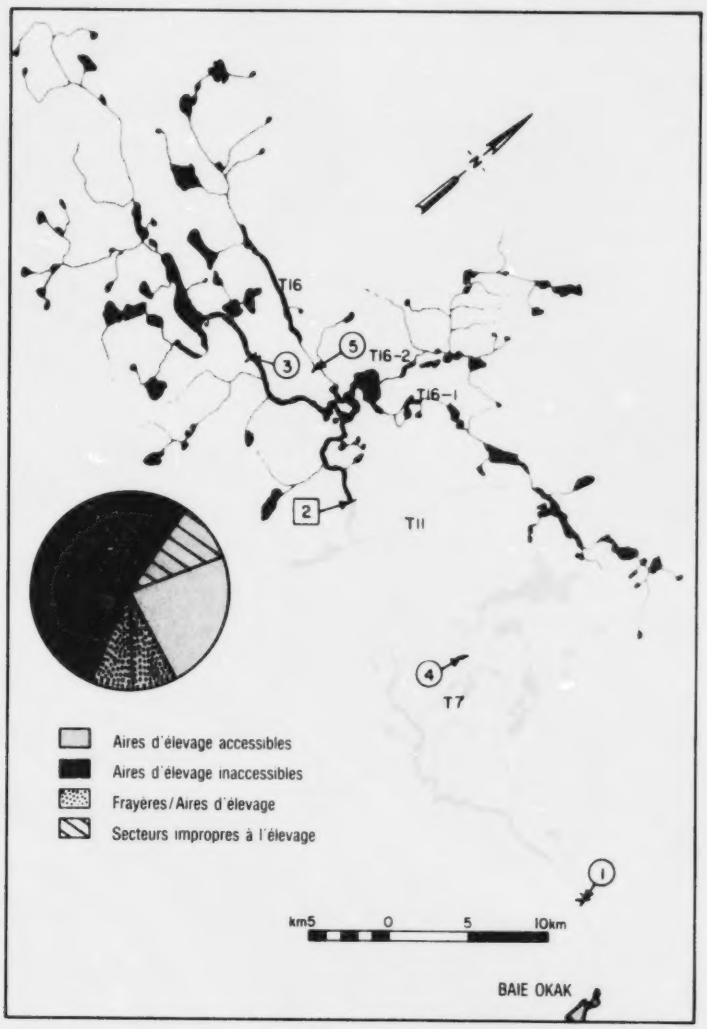

FIG. 126. Carte du ruisseau Siugak montrant les aires d'élevage accessibles et inaccessibles au tacon du saumon de l'Atlantique.

RÉGION VI
SAGLEK–CAP CHIDLEY

La région de Saglek–Cap Chidley, la plus au nord des six régions du Labrador, s'étend des monts Kaumajet jusqu'à l'extrémité la plus septentrionale du Labrador, le cap Chidley (fig. 127). Cette région est dominée par les monts Kaumajet et Torngat qui donnent au paysage un aspect spectaculaire et accidenté. Le chaînon Kaumajet fait saillie sur une étroite presqu'île s'avançant dans la mer du Labrador ; les monts Torngat, dont certains sommets atteignent 1 459 m, sont le chaînon le plus élevé à l'est des Rocheuses (Lopoukhine *et al.* 1978). Des chercheurs, tels que Lopoukhine *et al.* (1978), ont reconnu l'attrait esthétique de ces chaînes de montagnes élevées et des fjords profonds de cette région accidentée ; des relevés préliminaires ont été entrepris afin de déterminer la possibilité de créer un parc national dans la région.

Cette région est maintenant inhabitée ; des anciennes collectivités inuit, Ramah et Hebron, ont été abandonnées respectivement en 1907 et 1959 (Association inuit du Labrador 1977). Les habitants de Nain se sont rendus jusqu'à la baie Seven Islands pour pratiquer la pêche commerciale à l'omble arctique, même si la baie Napartok formait la limite septentrionale de cette pêche en 1978. Lopoukhine *et al.* (1978) signalent que des Inuit venant d'aussi loin que Port Burwell (T.N.-O.) ont exploité les ressources fauniques de l'extrême nord de cette région.

L'ensemble de cette région se compose de gneiss présent sous différentes formes (Sutton 1972). Ces roches qui se météorisent lentement sont exposées et on retrouve à la fois des montagnes arrondies, des sommets pointus et des terrains plats. Les glaces se sont déplacées vers l'est et le sud-est, sculptant des pics aigus, creusant des auges submergées (fjords) et déposant le gros des débris glaciaires dans le nord de la mer du Labrador. Le reste des débris a été charrié dans les grandes vallées fluviales où se trouve la majeure partie du couvert végétal épars.

Selon Lopoukhine *et al.* (1978), la limite nordique des conifères (épinettes blanches et épinettes noires) du Labrador se retrouve le long des côtes de la baie Napartok dans la partie sud de cette région. Les saules, les aulnes et les bouleaux nains sont nombreux sur les versants exposés au sud des vallées fluviales, malgré les énormes fluctuations du niveau de l'eau. Sur les collines et les versants exposés, la lente évolution du sol, l'absence de substrats appropriés, les basses températures et la dessiccation éolienne sont tous des facteurs qui contribuent au couvert de lichens et de mousses épars qui les caractérisent.

Une rivière typique de la région de Saglek–Cap Chidley présente un cours inférieur plat traversant une vallée aux pentes abruptes, suivi d'une section de transition composée de rapides et de chutes menant à des eaux d'amont qui serpentent sur un plateau. Les parois abruptes des vallées rendent habituellement les tributaires inaccessibles. En règle générale, les substrat du fond du cours inférieur se composent de gravier et de sable et présentent des bancs qui canalisent souvent l'embouchure de la rivière. Les sections médianes au courant rapide coulent sur l'assise rocheuse et sur des blocs ; ceux-ci et les moellons sont les matériaux les plus répandus dans les eaux d'amont. La plupart des cours d'eau coulent vers l'est. Murphy et Porter (1974b) présentent des descriptions des différents réseaux fluviaux et l'Association inuit du Labrador (1977) décrit en détail l'utilisation traditionnelle des bassins versants.

Cinq espèces de poissons ont été observées dans la région de Saglek–Cap Chidley (tableau 1). Kendall (1910) et Forbes (1938) ont signalé la présence de l'omble de fontaine et les membres de l'expédition au Labrador du *Blue Dolphin* en 1950 (Backus 1957) ont capturé des spécimens d'ombles arctiques. Scott et Crossman (1974) signalent la présence de l'omble arctique, du saumon de l'Atlantique, de l'épinoche à trois épines et de l'épinoche à neuf épines. Murphy et Porter (1974b) auraient observé des ombles arctiques dans certains cours d'eau ; une étude effectuée à l'aide de filets maillants en 1978 a permis de capturer des ombles arctiques à quatre endroits (Bruce *et al.* 1979).

La pêche commerciale à l'omble arctique s'étendait autrefois jusqu'à la baie Seven Islands. Les prises étaient habituellement salées au cours de la saison de pêche. En 1970, une usine de transformation du poisson a été construite à Nain et l'omble frais est devenu en demande. Les pêcheurs n'allaient plus aussi au nord et concentraient leurs efforts plus près de Nain où un chasseur (bateau de ramassage) ramenait leurs prises à l'usine.

Coady (1974), Coady et Best (1976), Dempson (1978) et Dempson et Best (1978) ont publié des données sur les prises et l'effort de pêche commerciale de l'omble arctique dans la région. La pêche commerciale au saumon de l'Atlantique de cette région est beaucoup moins étendue que celle de l'omble et, en 1978, elle était uniquement pratiquée à l'embouchure de la baie Napartok (B. Dempson, comm. pers.).

Pour les raisons mentionnées dans l'introduction à la région de Nain–Okak, nous n'avons pas présenté les estimations du potentiel de production d'ombles arctiques ou de saumons de l'Atlantique de la région de Saglek–Cap Chidley. La figure 127 présente les secteurs où est pratiquée la pêche commerciale à l'omble arctique ; le tableau 422 présente les prises pour la période de 1974 à 1980.

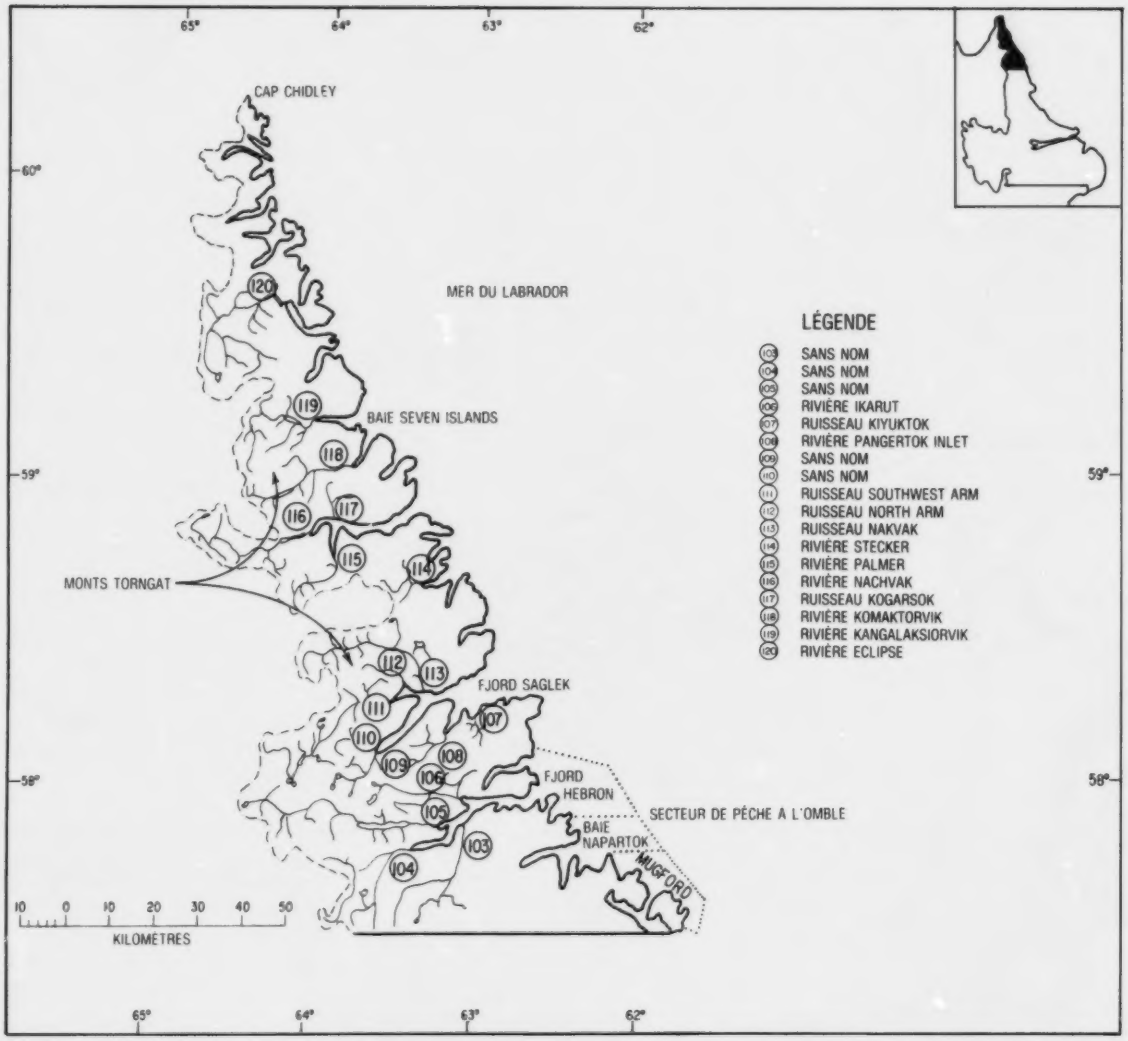

FIG. 127. Carte de la région VI, Saglek–Cap Chidley. Les cours d'eau ont été numérotés pour faciliter les renvois dans le texte.

TABLEAU 442. Débarquements de la pêche commerciale à l'omble arctique par secteur, région Saglek–Cap Chidley, 1974–1980 (Dempson 1978; Dempson, comm. pers.).

	Débarquements enregistrés (poids rond en kg)						
Secteur	1974	1975	1976	1977	1978	1979	1980
Mugford	0	0	1 970	1 376	1 148	170	513
Napartok	0	0	28 972	19 124	8 553	2 486	752
Hebron	0	0	0	5 595	0	0	2 915
Total	0	0	30 942	26 095	9 701	2 656	4 180

Rivière 103 (sans nom) *N° 103, fig. 127*

Cette rivière coule vers le nord-est pour se jeter du côté du fjord Hebron, à mi-chemin entre le fond du fjord et la mer du Labrador (fig. 128). Son bassin versant est de 790 km^2 et l'axe principal est alimenté par 22 tributaires (tableau 443). L'Association inuit du Labrador (1977) signale qu'avant les années 50, l'omble arctique y était pêché et les phoques chassés à partir de camps saisonniers établis à l'embouchure de la rivière.

La rivière 103 traverse une large vallée fluviale bordée des deux côtés par des montagnes abruptes. De son embouchure au kilomètre 23, sa largeur varie de 23 à 30 m et le fond se compose d'un substrat de moellons et de gravier. Au kilomètre 30,6, une chute verticale de 6,1 m obstrue complètement la migration du poisson; un autre obstacle infranchissable se retrouve au kilomètre 35,4 (tableau 444). De la première chute au kilomètre 48, la rivière a une largeur moyenne de 18 m et coule sur un substrat de moellons et de blocs. Le seul tributaire d'importance du réseau, le T10, n'a pas fait l'objet d'un relevé par Murphy et Porter (1974b), même si ces derniers ont estimé qu'il pourrait contenir près de 2 169 unités d'élevage, compte tenu de sa longueur. La végétation du bassin versant se limite à la toundra, des arbustes, des saules et des aulnes colonisant la vallée fluviale. Le tableau 445 présente les résultats des analyses des échantillons d'eau qui y ont été prélevés en 1973, 1977 et 1978 (Jamieson 1979).

L'Association inuit du Labrador (1977) signale que l'omble arctique fraye dans cette rivière et Murphy et Porter (1974b) en ont observé à plusieurs reprises pendant leurs relevés. Le fjord Hebron est depuis longtemps un excellent secteur de pêche commerciale à l'omble arctique et le poisson qui y est capturé est fortement prisé pour sa chair de couleur rouge foncé. Les secteurs accessibles de cette rivière contiennent 7 506 unités d'élevage et 2 420 unités de frai (tableau 446).

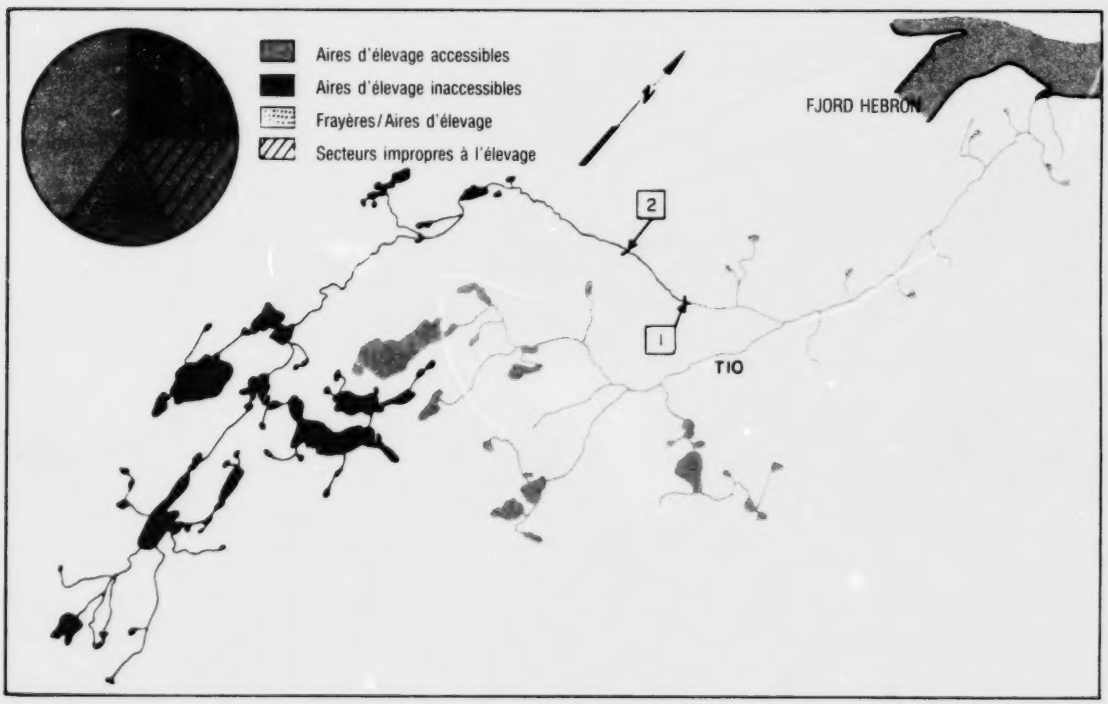

FIG. 128. Carte de la rivière 103 (sans nom) montrant les aires d'élevage accessibles et inaccessibles au tacon du saumon de l'Atlantique.

TABLEAU 443. Caractéristiques physiques de la rivière 103.

Référence cartographique:	Rivière North 14E Hebron 14L 1:250 000	Élévation maximale du bassin versant:	793 m
Latitude de l'embouchure:	58°04′N	Longueur réelle de l'axe principal (en suivant les méandres):	81 km
Longitude de l'embouchure:	63°02′W	Longueur totale, y compris des tributaires:	269 km
Direction générale de l'écoulement:	Nord-est	Nombre de tributaires:	22
Superficie du bassin versant:	790 km^2	Formation géologique:	Gneiss
Largeur moyenne	11 km		
Longueur de l'axe	73 km		
Périmètre du bassin versant	187 km		

TABLEAU 444. Obstacles de la rivière 103 (Murphy et Porter 1974b).

Renvoi à la figure 128	Emplacement	Distance de l'embouchure (km)	Type	Description			Obstacle au passage du poisson
				Hauteur (m)	Largeur (m)	Pente (°)	
1	Axe principal	30,6	Chutes	6,1	4,6	90	Infranchissable
2	Axe principal	35,4	Chutes	4,6	4,6	80	Infranchissable

TABLEAU 445. Résultats des analyses de trois échantillons d'eau prélevés dans la rivière 103, 1973, 1977 et 1978 (Jamieson 1979).

Année	pH	Dureté totale (ppm)	Conductivité spécifique ($\mu S \cdot cm^{-1}$ à 25°C)	Turbidité (UTJ)	Alcalinité totale (ppm)	Calcium (ppm)	Chlorure (ppm)	Bicarbonate (ppm)
1973	6,0	6,0	19,0	0,9	3,0	2,5	0,9	3,7
1977, 1978[a]	6,6	10,0	22,0	1,0	4,5	0,9	2,0	5,5

[a] Moyenne.

TABLEAU 446. Résumé des données sur les unités d'élevage et de frai des secteurs accessibles et inaccessibles de la rivière 103 (Murphy et Porter 1974b).

Emplacement	Secteurs accessibles		Secteurs inaccessibles	
	Unités de frai	Unités d'élevage	Unités de frai	Unités d'élevage
Axe principal	2420	7506	0	3186
Total	2420	7506	0	3186

Rivière 104 (sans nom) *N° 104, fig. 127*

Cette rivière coule vers le nord-est pour se jeter dans le fjord Hebron (fig. 129). Son bassin versant a une superficie de 1 461 km^2 et traverse un terrain montagneux où certains pics atteignent jusqu'à 671 m de hauteur (tableau 447).

Des barres de gravier et de sable divisent l'embouchure de la rivière en plusieurs chenaux (Murphy et Porter 1974b). Le gravier est le principal matériau du lit sur les 34 premiers kilomètres. Au kilomètre 33,8, une chute verticale de 4,6 m obstrue totalement la migration plus en amont du poisson; une chute de 6,1 m se trouve à 1,6 km plus loin (tableau 448). En amont de ce seuil abrupt, la rivière coule sur le plateau où prennent naissance ses eaux d'amont. Le seul tributaire étudié par Murphy et Porter (1974b), le tributaire 2 (T2), est inaccessible au poisson migrateur en amont du kilomètre 19,3 en raison de la présence d'une chute de 6,1 m. Le tableau 449 présente les résultats des analyses d'un échantillon prélevé dans cette rivière en 1976 (Jamieson 1979).

Pendant leur relevé, Murphy et Porter (1974b) ont observé de nombreux ombles arctiques dans les secteurs accessibles de la rivière 104. La partie accessible de l'axe principal, qui s'étend sur une distance de 33,8 km, contient 10 464 unités d'élevage. La partie accessible du T2 renferme 10 615 unités d'élevage (tableau 450). On trouve également dans ces deux sections d'excellentes frayères.

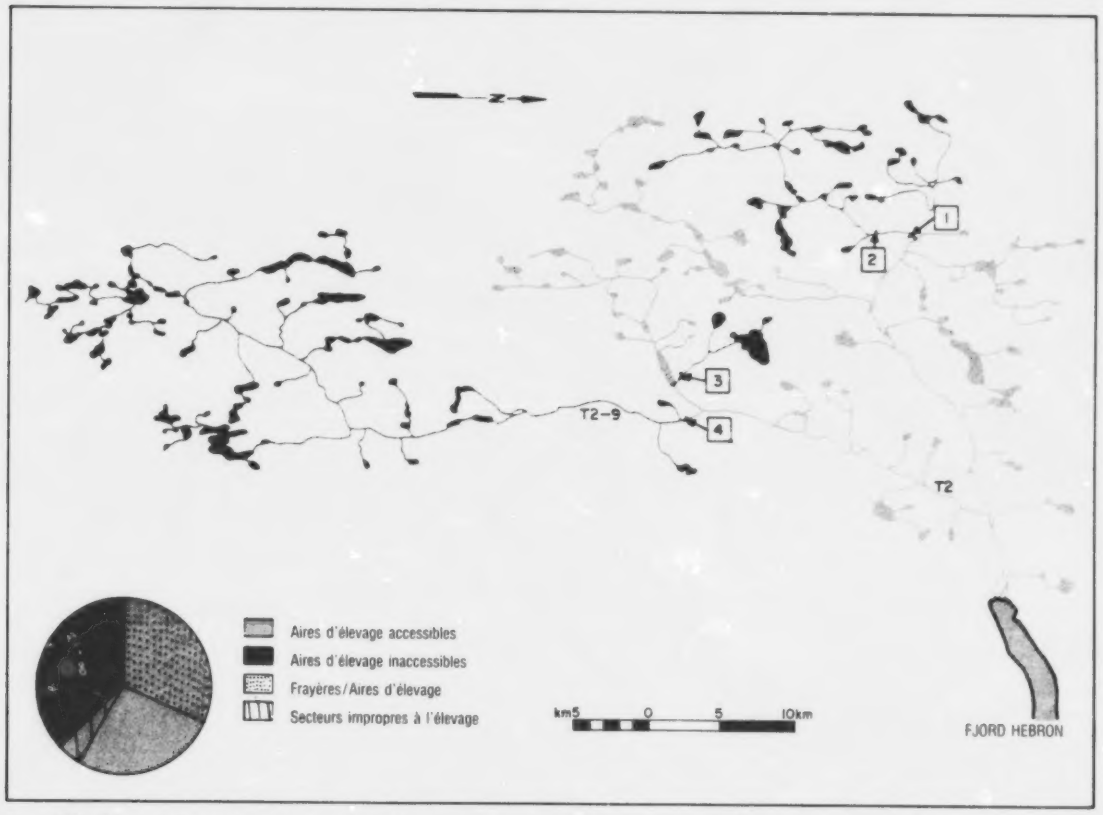

FIG. 129. Carte de la rivière 104 (sans nom) montrant les aires d'élevage accessibles et inaccessibles au tacon du saumon de l'Atlantique.

TABLEAU 447. Caractéristiques physiques de la rivière 104.

Référence cartographique:	Rivière North 14E 1:250 000	Élévation maximale du bassin versant:	671 m
Latitude de l'embouchure:	57°58'N	Longueur réelle de l'axe principal (en suivant les méandres):	37 km
Longitude de l'embouchure:	63°21'W	Longueur totale, y compris des tributaires:	444 km
Direction générale de l'écoulement:	Nord-est	Nombre de tributaires:	16
Superficie du bassin versant:	1461 km^2	Formation géologique:	Gneiss
Largeur moyenne	16 km		
Longueur de l'axe	73 km		
Périmètre du bassin versant	296 km		

TABLEAU 448. Obstacles de la rivière 104. (Murphy et Porter 1974b).

Renvoi à la figure 129	Emplacement	Distance de l'embouchure (km)	Type	Description			Obstacle au passage du poisson
				Hauteur (m)	Largeur (m)	Pente (°)	
1	Axe principal	33,8	Chutes	4,6	6,1	90	Infranchissable
2	Axe principal	35,4	Chutes	6,1	9,1	80	Infranchissable
3	T2	19,3	Chutes	6,1	4,6	70	Infranchissable
4	T2-9	—	Chutes	4,6	4,6	90	Infranchissable

TABLEAU 449. Résultats des analyses d'un échantillon d'eau prélevé dans la rivière 104, 1976 (Jamieson 1979).

Année	pH	Dureté totale (ppm)	Conductivité spécifique ($\mu S \cdot cm^{-1}$ à 25°C)	Turbidité (UTJ)	Alcalinité totale (ppm)	Calcium (ppm)	Chlorure (ppm)	Bicarbonate (ppm)
1976	6,2	8,0	17,0	0,7	3,0	1,1	0,7	3,7

TABLEAU 450. Résumé des données sur les unités d'élevage et de frai des secteurs accessibles et inaccessibles de la rivière 104 (Murphy et Porter 1974b).

Emplacement	Secteurs accessibles		Secteurs inaccessibles	
	Unités de frai	Unités d'élevage	Unités de frai	Unités d'élevage
Axe principal	9 222	10 464	0	0
T2	2 123	10 615	1104	4122
Total	11 345	21 079	1104	4122

Rivière 105 (sans nom) *N° 105, fig. 127*

Cette rivière coule vers l'est pour se jeter dans le fjord Hebron (fig. 130). Comme la plupart des rivières de cette région, elle est entourée de montagnes abruptes d'où les tributaires tombent en cascade. La rivière 105 a un bassin versant d'une superficie de 1 347 km^2 (tableau 451).

D'après Murphy et Porter (1974b), l'embouchure de la rivière a une largeur de 61 m et est profonde, ses eaux coulant tranquillement sur un substrat de moellons. Un lac long et étroit (L1) s'étend des kilomètres 10 à 29 et a une superficie de 2 560 ha (tableau 451). En amont du L1 jusqu'au kilomètre 43, la rivière a une largeur moyenne de 27 m, un débit moyen et un substrat de moellons et de graviers. Au kilomètre 43, la rivière commence à s'élever pour gagner la plateau où coulent les eaux d'amont. Des obstacles infranchissables sont situés aux kilomètres 43,5 et 64,4 (tableau 452). Dans les secteurs d'amont, le courant est rapide et les matériaux du fond sont grossiers (blocs et assise rocheuse). Le tableau 453 présente les résultats des analyses d'un échantillon d'eau qui y a été prélevé en 1973 (Jamieson 1979).

L'omble arctique migre dans les secteurs accessibles de cette rivière et des filets sont tendus près de l'embouchure pendant la saison de pêche commerciale (Association inuit du Labrador 1977). Nous ne disposons d'aucun autre renseignement sur les populations de poissons même si Murphy et Porter (1974b) signalent qu'on y trouve 9 638 unités d'élevage et 1 556 unités de frai (tableau 454).

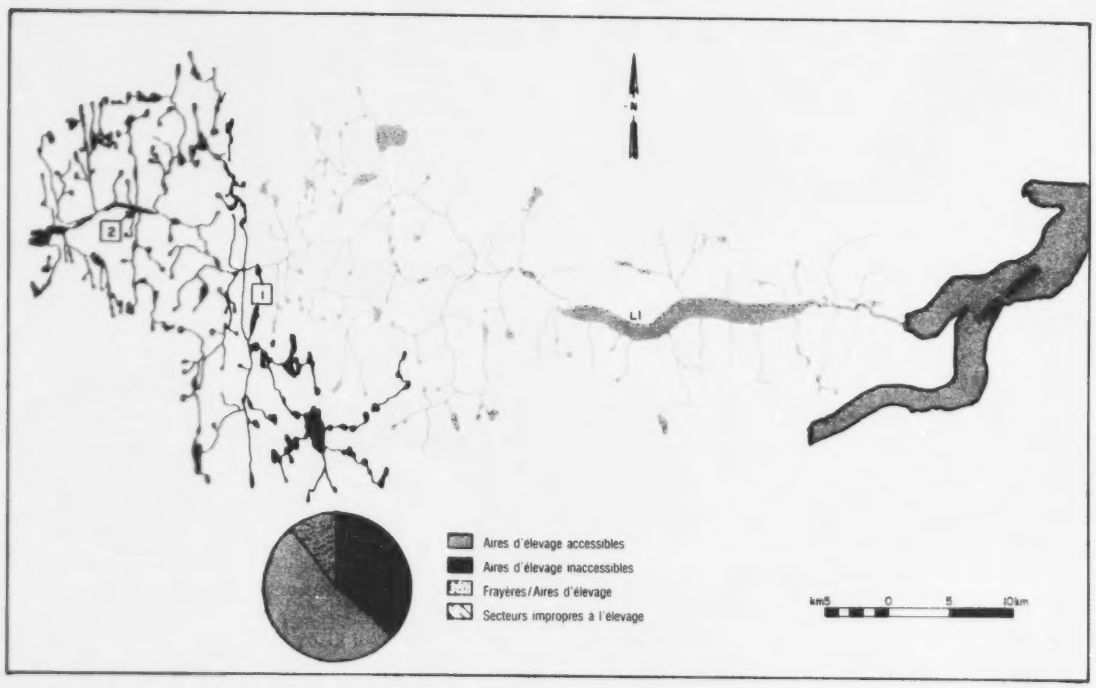

FIG. 130. Carte de la rivière 105 (sans nom) montrant les aires d'élevage accessibles et inaccessibles au tacon du saumon de l'Atlantique.

TABLEAU 451. Caractéristiques physiques de la rivière 105.

Référence cartographique:	Hebron 14L Rivière George 24-I 1:250 000	Élévation maximale du bassin versant:	763 m
Latitude de l'embouchure:	58°03′N	Longueur réelle de l'axe principal (en suivant les méandres):	76 km
Longitude de l'embouchure:	63°13′W	Longueur totale, y compris des tributaires:	481 km
Direction générale de l'écoulement:	Est	Nombre de tributaires:	54
Superficie du bassin versant:	1347 km^2	Superficie des lacs de plus de 100 ha:	
Largeur moyenne	21 km	L1	2560 ha
Longueur de l'axe	73 km		
Périmètre du bassin versant	232 km	Formation géologique:	Gneiss

TABLEAU 452. Obstacles de la rivière 105 (Murphy et Porter 1974b).

Renvoi à la figure 130	Emplacement	Distance de l'embouchure (km)	Type	Description			Obstacle au passage du poisson
				Hauteur (m)	Largeur (m)	Pente (°)	
1	Axe principal	43,5	Chutes	9,1	6,1	90	Infranchissable
2	Axe principal	64,4	Chutes	4,6	3,1	90	Infranchissable

TABLEAU 453. Résultats des analyses d'un échantillon d'eau prélevé dans la rivière 105, 1973 (Jamieson 1979).

Année	pH	Dureté totale (ppm)	Conductivité spécifique ($\mu S \cdot cm^{-1}$ à 25°C)	Turbidité (UTJ)	Alcalinité totale (ppm)	Calcium (ppm)	Chlorure (ppm)	Bicarbonate (ppm)
1973	6,4	8,0	20,0	0,4	4,0	1,5	1,0	4,9

TABLEAU 454. Résumé des données sur les unités d'élevage et de frai des secteurs accessibles et inaccessibles de la rivière 105 (Murphy et Porter 1974b).

Emplacement	Secteurs accessibles		Secteurs inaccessibles	
	Unités de frai	Unités d'élevage	Unités de frai	Unités d'élevage
Axe principal	1556	9638	0	5130
Total	1556	9638	0	5130

Rivière Ikarut *N° 106, fig. 127*

La rivière Ikarut coule vers l'est pour se jeter du côté nord du fjord Hebron (fig. 131). Elle a un bassin versant d'une superficie de 474 km^2 (tableau 455) et elle est semblable aux cours d'eau de cette région qui émergent d'un haut plateau pour tomber brusquement dans une large vallée fluviale plane.

Selon Murphy et Porter (1974b), son cours inférieur a une largeur de 32 m et coule sur un substrat de gravier et de moellons qui, en certains endroits, divise l'écoulement en plusieurs chenaux. Au kilomètre 33,8, une chute verticale de 6,1 m obstrue totalement la migration du poisson (tableau 456). En amont de cet obstacle, la rivière a une largeur maximale de 59 m et un fond à substrat de moellons et de blocs. Le tableau 457 énumère les unités d'élevage et de frai accessibles et inaccessibles.

Murphy et Porter (1974b) ont observé des ombles arctiques à plusieurs reprises pendant leur relevé en hélicoptère et l'Association inuit du Labrador (1977) signale que ce poisson fraye un peu partout dans la rivière. Le 29 juillet 1978, 10 ombles arctiques ont été capturés au filet dans le lac Ikarut (L1) (Bruce *et al.* 1979). Le tableau 458 présente un résumé des données sur la longueur, le poids, le sexe et l'âge de ces poissons.

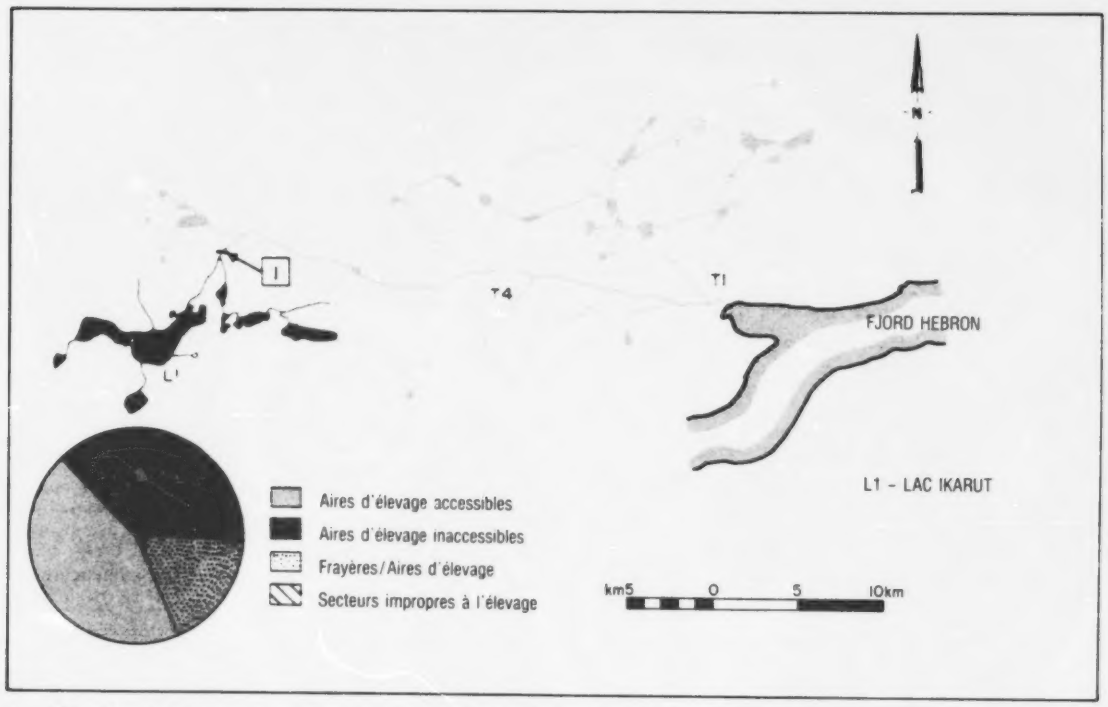

FIG. 131. Carte de la rivière Ikarut montrant les aires d'élevage accessibles et inaccessibles au tacon du saumon de l'Atlantique.

TABLEAU 455. Caractéristiques physiques de la rivière Ikarut.

Référence cartographique:	Hebron 14L 1:250 000	Élévation maximale du bassin versant:	458 m
Latitude de l'embouchure:	58°09′N	Longueur réelle de l'axe principal (en suivant les méandres):	37 km
Longitude de l'embouchure:	63°05′W	Longueur totale, y compris des tributaires:	140 km
Direction générale de l'écoulement:	Est	Nombre de tributaires:	11
Superficie du bassin versant:	474 km^2	Formation géologique:	Gneiss
Largeur moyenne	13 km		
Longueur de l'axe	40 km		
Périmètre du bassin versant	113 km		

TABLEAU 456. Obstacles de la rivière Ikarut (Murphy et Porter 1974b).

Renvoi à la figure 131	Emplacement	Distance de l'embouchure (km)	Type	Description			Obstacle au passage du poisson
				Hauteur (m)	Largeur (m)	Pente (°)	
1	Axe principal	33,8	Chutes	6,1	6,1	90	Infranchissable

TABLEAU 457. Résumé des données sur les unités d'élevage et de frai des secteurs accessibles et inaccessibles de la rivière Ikarut (Murphy et Porter 1974b).

	Secteurs accessibles		Secteurs inaccessibles	
Emplacement	Unités de frai	Unités d'élevage	Unités de frai	Unités d'élevage
Axe principal	2675	9367	0	1888
Total	2675	9367	0	1888

TABLEAU 458. Résumé des données sur le sexe, la longueur à la fourche, le poids entier, l'âge et la teneur en mercure de l'omble arctique capturé dans le lac Ikarut, 29 juillet 1978 (Bruce *et al.* 1979).

Espèce	Sexe	*N*	Longueur moyenne à la fourche (cm)	Poids entier moyen (kg)	Âge moyen (années)	Teneur moyenne en mercure (ppm)	Plage des teneurs en mercure (ppm)
Omble arctique	M	8	41,6	0,53	13,8	0,17	0,07–0,42
	F	2	43,6	0,67	14,0	0,27	0,15–0,39
Total		10	41,8	0,56	13,8	0,19	0,07–0,42

Ruisseau Kiyuktok

N° 107, fig. 127

Le ruisseau Kiyuktok coule vers le nord pour se jeter dans l'anse Kiyuktok, du côté sud de la baie Saglek (fig. 132). Son bassin versant a une superficie de 86 km^2; la longueur totale de l'axe principal et des tributaires est de 32 km (tableau 459). Le tableau 459 présente d'autres caractéristiques physiques de ce bassin versant. Nous ne disposons d'aucun renseignement sur les populations de poissons.

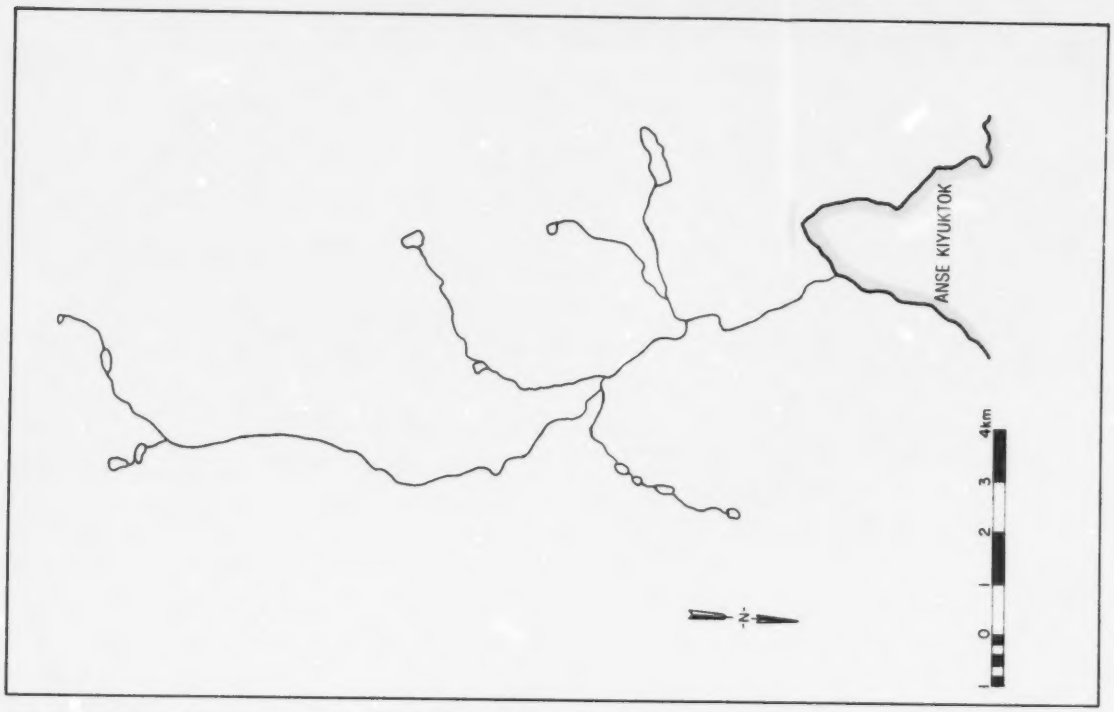

FIG. 132. Carte du ruisseau Kiyuktok (n'ayant pas fait l'objet d'un relevé).

TABLEAU 459. Caractéristiques physiques du ruisseau Kiyuktok.

Référence cartographique:	Hebron 14L 1:250 000	Élévation maximale du bassin versant:	305 m
Latitude de l'embouchure:	58°25′N	Longueur réelle de l'axe principal (en suivant les méandres):	16 km
Longitude de l'embouchure:	63°00′W	Longueur totale, y compris des tributaires:	32 km
Direction générale de l'écoulement:	Nord	Nombre de tributaires:	4
Superficie du bassin versant:	86 km^2	Formation géologique:	Gneiss
Largeur moyenne	5 km		
Longueur de l'axe	16 km		
Périmètre du bassin versant	42 km		

Rivière Pangertok Inlet

N° 108, fig. 127

La rivière Pangertok Inlet coule vers le nord-est pour se jeter dans l'inlet Pangertok situé du côté sud du fjord Saglek (fig. 133). Les caractéristiques physiques de cette rivière et de son bassin versant sont présentées au tableau 460. Les seuls renseignements sur les populations de poissons dont nous disposons nous viennent de l'Association inuit du Labrador (1977) qui signale que l'omble arctique fraye dans l'axe principal, en amont du premier étang.

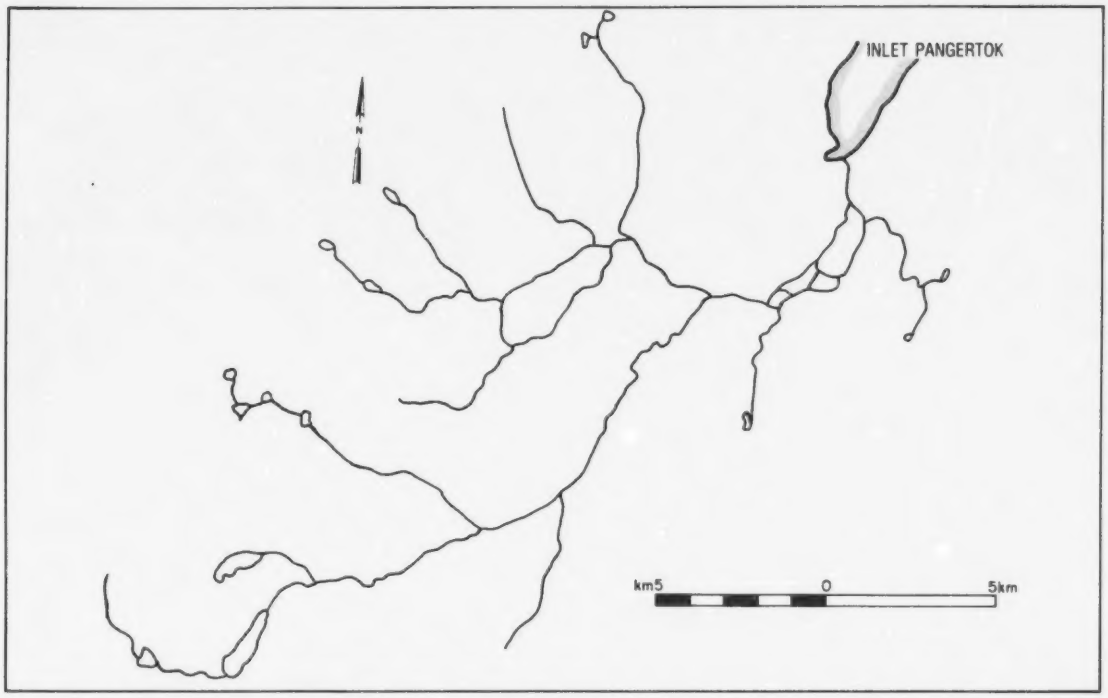

FIG. 133. Carte de la rivière Pangertok Inlet (n'ayant pas fait l'objet d'un relevé).

TABLEAU 460. Caractéristiques physiques de la rivière Pangertok Inlet.

Référence cartographique:	Hebron 14L 1:250 000	Élévation maximale du bassin versant:	458 m
Latitude de l'embouchure:	58°21′N	Longueur réelle de l'axe principal (en suivant les méandres):	21 km
Longitude de l'embouchure:	63°10′W	Longueur totale, y compris des tributaires:	71 km
Direction générale de l'écoulement:	Nord-est	Nombre de tributaires:	7
Superficie du bassin versant:	278 km²	Formation géologique:	Sédiments du Précambrien et roches volcaniques à l'embouchure; gneiss dans l'intérieur.
Largeur moyenne	102 km		
Longueur de l'axe	27 km		
Périmètre du bassin versant	71 km		

Rivière 109 (sans nom) *N° 109, fig. 127*

Cette rivière coule en direction nord-est et se jette dans le fjord Ugjuktok qui débouche dans le fjord Saglek (fig. 134). Elle a un bassin versant d'une superficie de 212 km^2 (tableau 461). Murphy et Porter (1974b) estiment que cette rivière est caractéristique de la région, car elle occupe une large vallée fluviale et elle est entourée de montagnes dans son cours inférieur, qui est suivi d'une pente abrupte menant au plateau où se trouvent ses eaux d'amont. Le gravier et les moellons sont les principaux matériaux du substrat du cours inférieur, dont la largeur varie de 15 à 18 m. Au kilomètre 20,9, une chute de 7,6 m obstrue totalement la migration du poisson (tableau 462). En amont de cette barrière, la rivière a une longueur de 7 km et n'a pas fait l'objet d'un relevé. Le tableau 463 présente les résultats des analyses des deux échantillons d'eau qui y ont été prélevés en 1973 (Jamieson 1979).

Murphy et Porter (1974b) ont souvent observé des ombles arctiques dans la rivière pendant leur relevé de 1973. L'Association inuit du Labrador (1977) signale que l'omble arctique fraye dans les secteurs accessibles de la rivière. Autrefois, des filets étaient tendus près de l'embouchure pendant la saison de pêche commerciale à l'omble. Les unités d'élevage et de frai trouvées dans les secteurs accessibles de cette rivière sont énumérées au tableau 464.

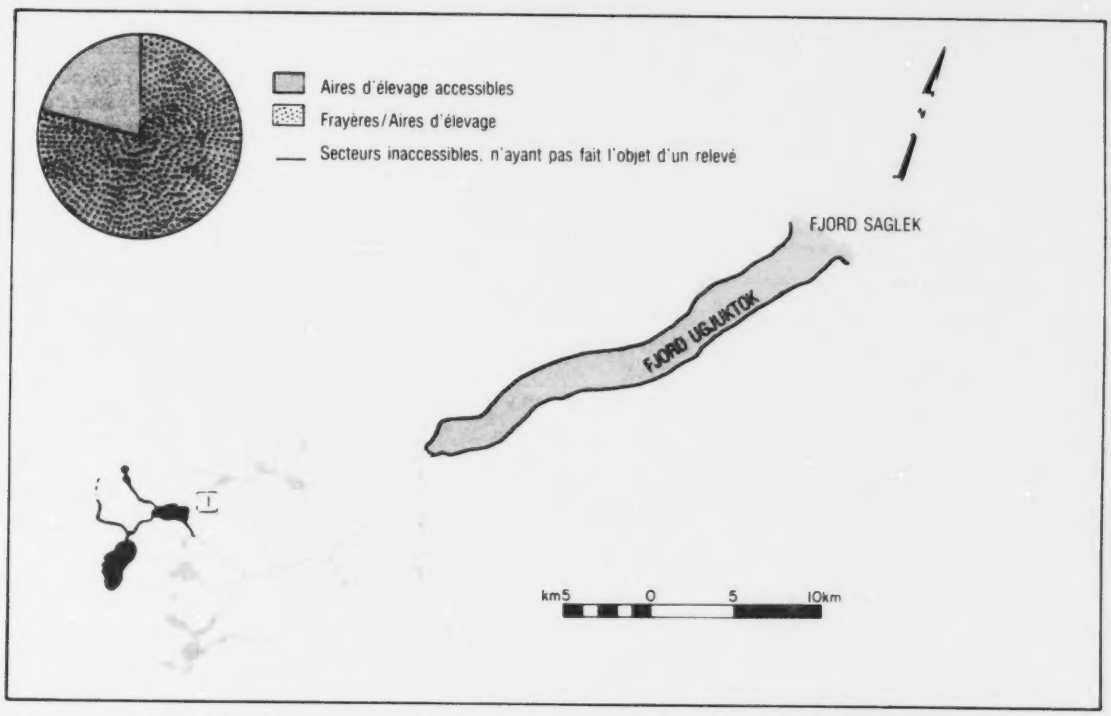

FIG. 134. Carte de la rivière 109 montrant les aires d'élevage accessibles et inaccessibles au tacon du saumon de l'Atlantique.

TABLEAU 461. Caractéristiques physiques de la rivière 109.

Référence cartographique:	Hebron 14L 1:250 000	Élévation maximale du bassin versant:	763 m
Latitude de l'embouchure:	58°17′N	Longueur réelle de l'axe principal (en suivant les méandres):	37 km
Longitude de l'embouchure:	63°35′W	Longueur totale, y compris des tributaires:	94 km
Direction générale de l'écoulement:	Nord-est	Nombre de tributaires:	9
Superficie du bassin versant:	212 km^2	Formation géologique:	Gneiss
Largeur moyenne	11 km		
Longueur de l'axe	21 km		
Périmètre du bassin versant	64 km		

TABLEAU 462. Obstacles de la rivière 109 (Murphy et Porter 1974b).

Renvoi à la figure 134	Emplacement	Distance de l'embouchure (km)	Type	Description			Obstacle au passage du poisson
				Hauteur (m)	Largeur (m)	Pente (°)	
1	Axe principal	20,9	Chutes	7,6	4,6	90	Infranchissable

TABLEAU 463. Résultats des analyses de deux échantillons d'eau prélevés dans la rivière 109, 1973 (Jamieson 1979).

Année	pH	Dureté totale (ppm)	Conductivité spécifique (μS·cm^{-1} à 25°C)	Turbidité (utj)	Alcalinité totale (ppm)	Calcium (ppm)	Chlorure (ppm)	Bicarbonate (ppm)
1973	6,4	9,0	20,0	0,9	4,0	6,3	1,1	4,3

TABLEAU 464. Résumé des données sur les unités d'élevage et de frai des secteurs accessibles et inaccessibles de la rivière 109 (Murphy et Porter 1974b).

Emplacement	Secteurs accessibles		Secteurs inaccessibles	
	Unités de frai	Unités d'élevage	Unités de frai	Unités d'élevage
Axe principal	8279	10 487	—	—
Total	8279	10 487	—	—

Rivière 110 (sans nom) *N° 110, fig. 127*

Cette rivière coule vers l'est pour se jeter du côté nord du fjord Ugjuktok (fig. 135). Elle a un bassin versant d'une superficie de 168 km^2 (tableau 465) et émerge du plateau où elle prend naissance pour se jeter dans une large vallée fluviale bordée de hautes montagnes. Le substrat du fond du cours inférieur se compose de gravier, de sable et de moellons. Dans le secteur d'amont, les moellons et les blocs dominent. Une chute verticale de 7,6 m située au kilomètre 16,1 de l'axe principal obstrue totalement la migration du poisson (tableau 466).

Murphy et Porter (1974b) signalent avoir observé de nombreux ombles arctiques pendant leur relevé dans le cours inférieur accessible de la rivière. D'après l'Association inuit du Labrador (1977), l'omble arctique fraye dans la partie accessible de l'axe principal. Le tableau 467 présente un résumé du nombre d'unités d'élevage et de frai accessibles.

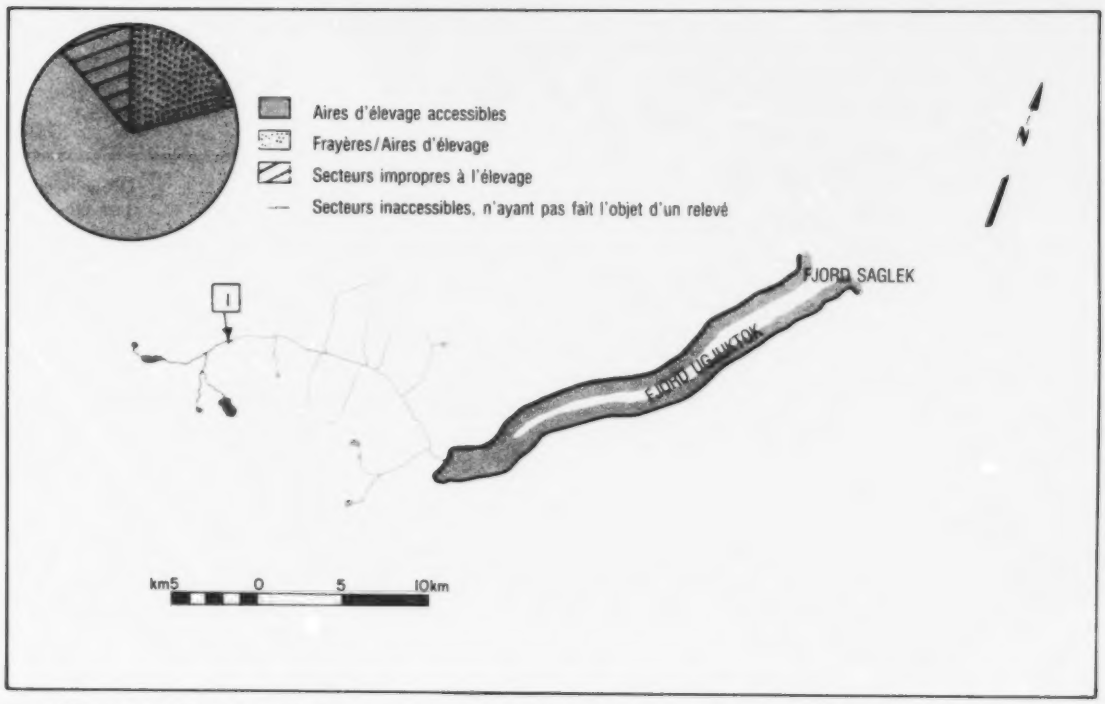

FIG. 135. Carte de la rivière 110 (sans nom) montrant les aires d'élevage accessibles et inaccessibles au tacon du saumon de l'Atlantique.

TABLEAU 465. Caractéristiques physiques de la rivière 110.

Référence cartographique:	Hebron 14L 1:250 000	Élévation maximale du bassin versant:	763 m
Latitude de l'embouchure:	58°18′N	Longueur réelle de l'axe principal (en suivant les méandres):	26 km
Longitude de l'embouchure:	63°35′W	Longueur totale, y compris des tributaires:	68 km
Direction générale de l'écoulement:	Est	Nombre de tributaires:	9
Superficie du bassin versant:	168 km^2	Formation géologique:	Gneiss
Largeur moyenne	10 km		
Longueur de l'axe	21 km		
Périmètre du bassin versant	52 km		

TABLEAU 466. Obstacles de la rivière 110 (Murphy et Porter 1974b).

Renvoi à la figure 135	Emplacement	Distance de l'embouchure (km)	Type	Description			Obstacle au passage du poisson
				Hauteur (m)	Largeur (m)	Pente (°)	
1	Axe principal	16,1	Chutes	7,6	4,6	90	Infranchissable

TABLEAU 467. Résumé des données sur les unités d'élevage et de frai des secteurs accessibles et inaccessibles de la rivière 110 (Murphy et Porter 1974b).

	Secteurs accessibles		Secteurs inaccessibles	
Emplacement	Unités de frai	Unités d'élevage	Unités de frai	Unités d'élevage
Axe principal	1098	4702	—	—
Total	1098	4702	—	—

Ruisseau Southwest Arm

N° 111, fig. 127

Ce ruisseau coule vers le nord-est et se jette dans le bras Southwest, un inlet du fjord Saglek (fig. 136). Il a un bassin versant d'une superficie de 707 km^2 (tableau 468) et s'étend vers l'ouest jusqu'à la frontière Québec-Labrador. Ce cours d'eau est caractéristique de ceux de la région VI, son cours inférieur étant plat, suivi d'une section de transition composée de chutes et de rapides menant aux eaux d'amont qui serpentent sur un plateau. De l'embouchure au kilomètre 26, sa largeur varie de 32 à 73 m et le substrat du fond se compose uniquement de gravier. Des kilomètres 26 à 35, des blocs et des moellons composent le fond. Au kilomètre 35,4, une série de deux chutes obstrue totalement la migration du poisson (tableau 469). Plus haut, au kilomètre 37,0, une autre série de trois chutes est infranchissable. D'autres obstacles infranchissables se trouvent près des exutoires des tributaires T2, T3, T16 et T22. Ces renseignements nous viennent de relevés effectués en 1973 par Murphy et Porter (1974b). Le tableau 470 présente les résultats des analyses d'un échantillon d'eau prélevé en 1973 (Jamieson 1979).

Murphy et Porter (1974b) affirment qu'un grand nombre d'ombles arctiques ont été observés dans le tronçon de l'axe principal en aval des chutes et l'Association inuit du Labrador (1977) signale que ce poisson fraye dans le ruisseau en aval des chutes. Le tableau 471 présente un résumé des données sur les unités d'élevage et de frai des secteurs accessibles.

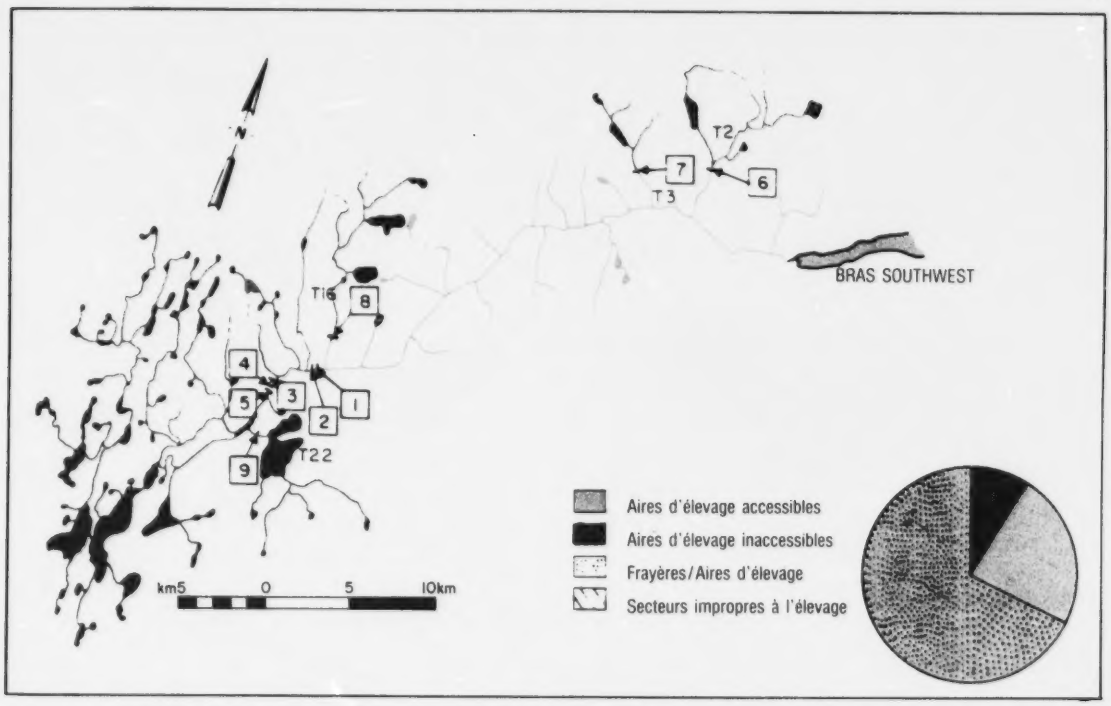

FIG. 136. Carte du ruisseau Southwest Arm montrant les aires d'élevage accessibles et inaccessibles au tacon du saumon de l'Atlantique.

TABLEAU 468. Caractéristiques physiques du ruisseau Southwest Arm.

Référence cartographique:	Rivière George 24-I Hebron 14L 1:250 000	Élévation maximale du bassin versant:	915 m
Latitude de l'embouchure:	58°28′N	Longueur réelle de l'axe principal (en suivant les méandres):	58 km
Longitude de l'embouchure:	63°32′W	Longueur totale, y compris des tributaires:	280 km
Direction générale de l'écoulement:	Nord-est	Nombre de tributaires:	33
Superficie du bassin versant:	707 km^2	Formation géologique:	Gneiss
Largeur moyenne	11 km		
Longueur de l'axe	48 km		
Périmètre du bassin versant	159 km		

TABLEAU 469. Obstacles du ruisseau Southwest Arm (Murphy et Porter 1974b).

Renvoi à la figure 136	Emplacement	Distance de l'embouchure (km)	Type	Description			Obstacle au passage du poisson
				Hauteur (m)	Largeur (m)	Pente (°)	
1	Axe principal	35,4	Chutes	4,6	4,6	80	Infranchissable
2	Axe principal	35,4	Chutes	6,1	4,6	80	Infranchissable
3	Axe principal	37,0	Chutes	6,1	4,6	80	Infranchissable
4	Axe principal	37,0	Chutes	6,1	6,1	90	Infranchissable
5	Axe principal	37,0	Chutes	6,1	6,1	80	Infranchissable
6	T2	3,0	Chutes	—	—	—	Infranchissable
7	T3	2,0	Chutes	—	—	—	Infranchissable
8	T16	1,5	Chutes	—	—	—	Infranchissable
9	T22	1,0	Chutes	—	—	—	Infranchissable

TABLEAU 470. Résultats des analyses d'un échantillon d'eau prélevé dans le ruisseau Southwest Arm, 1973 (Jamieson 1979).

Année	pH	Dureté totale (ppm)	Conductivité spécifique ($\mu S \cdot cm^{-1}$ à 25°C)	Turbidité (UTJ)	Alcalinité totale (ppm)	Calcium (ppm)	Chlorure (ppm)
1973	5,6	2,0	5,0	0,4	<1,0	0,5	0,3

TABLEAU 471. Résumé des données sur les unités d'élevage et de frai des secteurs accessibles et inaccessibles du ruissseau Southwest Arm (Murphy et Porter 1974b).

	Secteurs accessibles		Secteurs inaccessibles	
Emplacement	Unités de frai	Unités d'élevage	Unités de frai	Unités d'élevage
Axe principal	15 308	18 233	—	—
Total	15 308	18 233	—	—

Ruisseau North Arm

N° 112, fig. 127

Ce cours d'eau coule vers le nord-est pour se jeter dans le bras North du fjord Saglek (fig. 137). Son bassin versant est relativement petit avec une superficie de 104 km^2 (tableau 472) et sa largeur moyenne est de 9 m de son embouchure au kilomètre 3. Le substrat du fond de ce tronçon se compose de gravier et de sable. Le lit du reste de la rivière est formé de moellons et de blocs. Une chute de 6,1 m située au kilomètre 8,0 empêche toute migration du poisson (tableau 473). D'autres chutes (qui sont toutes infranchissables) sont situées aux kilomètres 11,3, 14,5 et 19,3. Le tableau 474 présente les résultats d'un échantillon qui y a été prélevé en 1973 (Jamieson 1979).

Murphy et Porter (1974b) et l'Association inuit du Labrador (1977) signalent la présence de l'omble arctique dans les secteurs accessibles de ce cours d'eau. Le tableau 475 présente le nombre d'unités d'élevage et de frai des secteurs accessibles et inaccessibles.

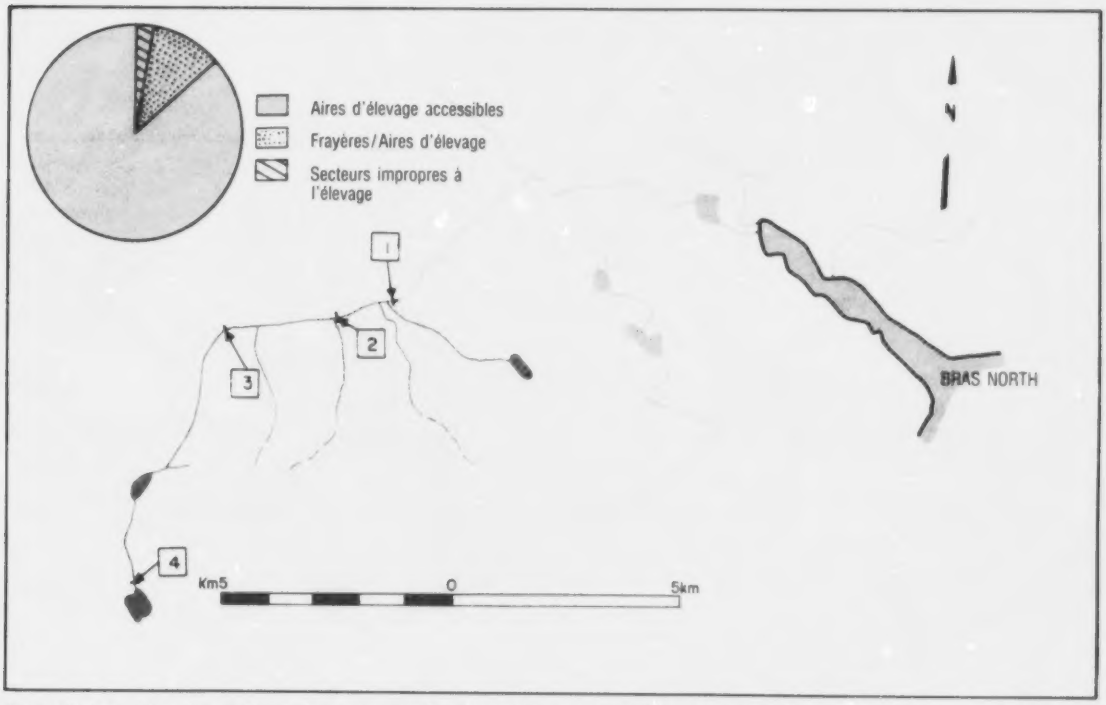

FIG. 137. Carte du ruisseau North Arm montrant les aires d'élevage accessibles et inaccessibles au tacon du saumon de l'Atlantique.

TABLEAU 472. Caractéristiques physiques du ruisseau North Arm.

Référence cartographique:	Hebron 14L 1:250 000	Élévation maximale du bassin versant:	763 m
Latitude de l'embouchure:	58°33'N	Longueur réelle de l'axe principal (en suivant les méandres):	19 km
Longitude de l'embouchure:	63°28'W	Longueur totale, y compris des tributaires:	35 km
Direction générale de l'écoulement:	Nord-est	Nombre de tributaires:	6
Superficie du bassin versant:	104 km^2	Formation géologique:	Gneiss
Largeur moyenne	6 km		
Longueur de l'axe	17 km		
Périmètre du bassin versant	47 km		

TABLEAU 473. Obstacles du ruisseau North Arm (Murphy et Porter 1974b).

Renvoi à la figure 137	Emplacement	Distance de l'embouchure (km)	Type	Description			Obstacle au passage du poisson
				Hauteur (m)	Largeur (m)	Pente (°)	
1	Axe principal	8,0	Chutes	6,1	6,1	70	Infranchissable
2	Axe principal	11,3	Chutes	7,6	6,1	90	Infranchissable
3	Axe principal	14,5	Chutes	9,2	6,1	90	Infranchissable
4	Axe principal	19,3	Chutes	30,5	15,3	70	Infranchissable

TABLEAU 474. Résultats des analyses d'un échantillon d'eau prélevé dans le ruisseau North Arm, 1973 (Jamieson 1979).

Année	pH	Dureté totale (ppm)	Conductivité spécifique ($\mu S \cdot cm^{-1}$ à 25°C)	Turbidité (UTJ)	Alcalinité totale (ppm)	Calcium (ppm)	Chlorure (ppm)
1973	4,8	6,0	16,0	0,3	<1,0	0,5	0,7

TABLEAU 475. Résumé des données sur les unités d'élevage et de frai des secteurs accessibles et inaccessibles du ruisseau North Arm (Murphy et Porter 1974b).

Emplacement	Secteurs accessibles		Secteurs inaccessibles	
	Unités de frai	Unités d'élevage	Unités de frai	Unités d'élevage
Axe principal	230	662	0	1481
Total	230	662	0	1481

Ruisseau Nakvak

N° 113, fig. 127

Le ruisseau Nakvak coule vers le sud-est et se jette du côté nord du fjord Saglek (fig. 138). Son bassin a une superficie de 844 km^2 (tableau 476); le cours supérieur du bassin versant émerge de l'extrémité sud des monts Torngat.

D'après Murphy et Porter (1974b), les graviers, les moellons et les blocs sont répartis partout dans l'ensemble du substrat de l'axe principal. Dempson (comm. pers.) signale qu'une chute d'environ 3 m de hauteur, située à 5 km en amont de l'embouchure, forme une barrière infranchissable. Murphy et Porter (1974b) signalent qu'une chute de 4,6 m située au kilomètre 17,7 empêche toute migration du poisson; on retrouve de tels obstacles aux kilomètres 37,0, 38,6 et 64,4 de l'axe principal (tableau 477). Tous les tributaires de ce réseau sont relativement petits et complètement obstrués par des chutes tombant en cascades sur les parois abruptes de la vallée fluviale. Le tableau 478 donne les résultats des analyses des échantillons d'eau qui y ont été prélevés en 1973, 1977 et 1978 (Jamieson 1979).

L'Association inuit du Labrador (1977) indique que l'omble arctique fraye dans le ruisseau Nakvak. Le 29 juillet 1978, 17 ombles arctiques ont été capturés au filet dans le lac L1 situé dans le tributaire 8 (T8) (Bruce *et al.* 1979). Le tableau 479 présente un résumé des données sur la longueur, le poids, le sexe et l'âge de ces poissons. Le tableau 480 donne le nombre d'unités d'élevage et de frai des secteurs accessibles et inaccessibles de l'axe principal. Ces chiffres, fournis par Murphy et Porter (1974b), ne tiennent pas compte de l'obstacle infranchissable signalé au kilomètre 5 par Dempson (comm. pers.).

FIG. 138. Carte du ruisseau Nakvak montrant les aires d'élevage accessibles et inaccessibles au tacon du saumon de l'Atlantique.

TABLEAU 476. Caractéristiques physiques du ruisseau Nakvak.

Référence cartographique:	Rivière George 24-I Hebron 14L 1:250 000	Élévation maximale du bassin versant:	915 m
Latitude de l'embouchure:	53°30′N	Longueur réelle de l'axe principal (en suivant les méandres):	64 km
Longitude de l'embouchure:	63°18′W	Longueur totale, y compris des tributaires:	219 km
Direction générale de l'écoulement:	Sud-est	Nombre de tributaires:	39
Superficie du bassin versant:	844 km^2	Formation géologique:	Gneiss
Largeur moyenne	16 km		
Longueur de l'axe	48 km		
Périmètre du bassin versant	169 km		

TABLEAU 477. Obstacles du ruisseau Nakvak[a] (Murphy et Porter 1974b).

Renvoi à la figure 138	Emplacement	Distance de l'embouchure (km)	Type	Description			Obstacle au passage du poisson
				Hauteur (m)	Largeur (m)	Pente (°)	
1	Axe principal	17,7	Chutes	4,6	4,6	75	Infranchissable
2	Axe principal	37,0	Chutes	9,2	6,1	90	Infranchissable
3	Axe principal	38,6	Chutes	15,3	6,1	90	Infranchissable
4	Axe principal	64,4	Chutes	15,3	6,1	80	Infranchissable

[a] Dempson (comm. pers.) indique qu'un rapide et une chute de 3 m de hauteur situés à 5 km en amont de l'embouchure obstrue complètement la rivière.

TABLEAU 478. Résultats des analyses de trois échantillons d'eau prélevés dans le ruisseau Nakvak, 1973, 1977 et 1978 (Jamieson 1979).

Année	pH	Dureté totale (ppm)	Conductivité spécifique ($\mu S \cdot cm^{-1}$ à 25°C)	Turbidité (UTJ)	Alcalinité totale (ppm)	Calcium (ppm)	Chlorure (ppm)	Bicarbonate (ppm)
1973	6,1	6,0	16,0	0,2	2,0	1,0	0,9	2,4
1977	6,6	8,0	26,0	3,0	7,0	0,8	1,5	8,5
1978	6,6	6,0	18,0	0,3	3,0	0,5	1,0	3,7

TABLEAU 479. Résumé des données sur le sexe, la longueur à la fourche, le poids entier, l'âge et la teneur en mercure de l'omble arctique capturé dans le ruisseau Nakvak, 29 juillet 1978 (Bruce *et al.* 1979).

Espèce	Sexe	*N*	Longueur moyenne à la fourche (cm)	Poids entier moyen (kg)	Âge moyen (années)	Teneur moyenne en mercure (ppm)	Plage des teneurs en mercure (ppm)
Omble arctique	M	11	49,2	1,08	17,7	0,16	0,11–0,22
	F	6	48,9	1,10	21,2	0,24	0,15–0,34
Total		17	49,1	1,09	18,9	0,19	0,11–0,34

TABLEAU 480. Résumé des données sur les unités d'élevage et de frai des secteurs accessibles et inaccessibles du ruisseau Nakvak (Murphy et Porter 1974b).

	Secteurs accessibles		Secteurs inaccessibles	
Emplacement	Unités de frai	Unités d'élevage	Unités de frai	Unités d'élevage
Axe principal	2 678	7 246	6 065	13 714
Total	2 678	7 246	6 065	13 714

Rivière Stecker

N° 114, fig. 127

La rivière Stecker coule vers l'est et se jete dans la baie Ramah (fig. 139). Le bassin versant, d'une superficie de 172 km^2 (tableau 481), draine le côté est des monts Torngat. L'Association inuit du Labrador (1977) signale que l'omble arctique fraye dans cette rivière. Nous ne disposons d'aucun autre renseignement sur ses populations de poissons.

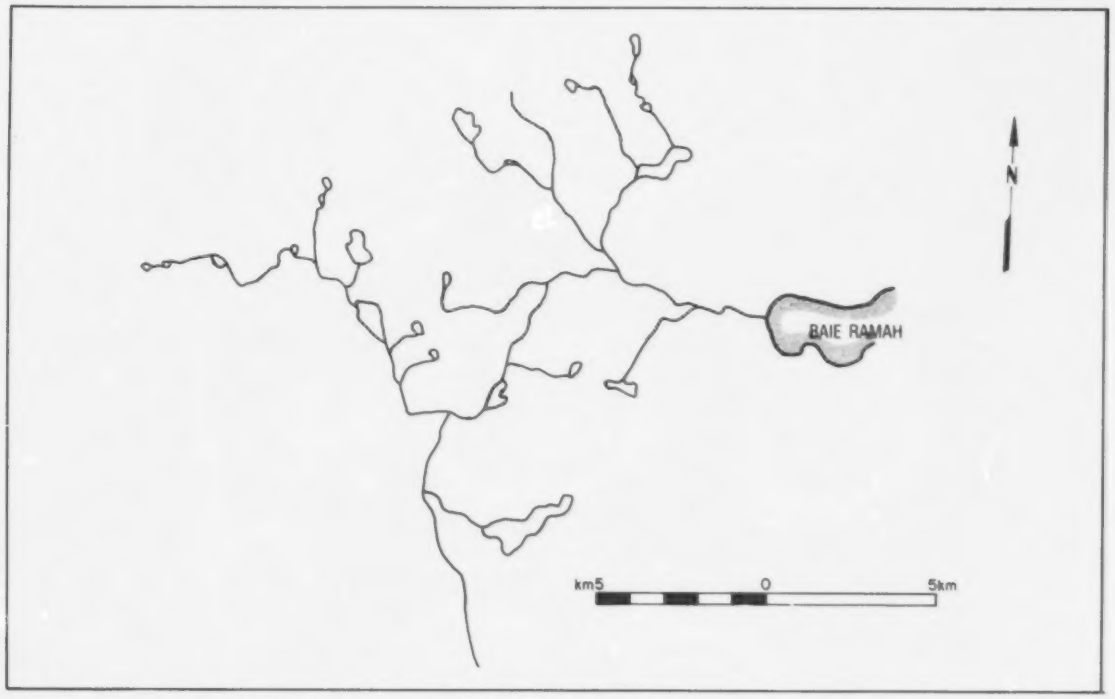

FIG. 139. Carte de la rivière Stecker (n'ayant pas fait l'objet d'un relevé).

TABLEAU 481. Caractéristiques physiques de la rivière Stecker.

Référence cartographique:	Hebron 14L 1:250 000	Élévation maximale du bassin versant:	915 m
Latitude de l'embouchure:	58°52'N	Longueur réelle de l'axe principal (en suivant les méandres):	23 km
Longitude de l'embouchure:	63°20'W	Longueur totale, y compris des tributaires:	64 km
Direction générale de l'écoulement:	Est	Nombre de tributaires:	9
Superficie du bassin versant:	172 km^2	Formation géologique:	Sédiments du Précambrien et roches volcaniques
Largeur moyenne	11 km		
Longueur de l'axe	19 km		
Périmètre du bassin versant	60 km		

Rivière Palmer

N° 115, fig. 127

La rivière Palmer coule vers le nord-est, traverse les monts Torngat et se jette dans le bras Tallek, prolongement méridional du fjord Nachvak (fig. 140). Le bassin versant de la rivière a une superficie de 311 km^2 et la longueur réelle de l'axe principal, en suivant les méandres, est de 32 km (tableau 482). Le substrat du fond de l'axe principal se compose surtout de gravier et l'on retrouve des moellons et du gravier dans les tronçons médians. Le poisson migrateur peut remonter la rivière jusqu'au kilomètre 25,8 où une série de chutes et de rapides l'empêche de poursuivre sa migration (tableau 483). Murphy et Porter (1974b) révèlent que tous les tributaires sont petits et complètement obstrués par des cascades et que bon nombre d'entre eux s'assèchent en été.

Selon l'Association inuit du Labrador (1977), l'omble arctique fraye dans cette rivière. La biologie de l'omble arctique du fjord Nachvak a été étudiée en 1978 (Glova et McCart 1978). Ces auteurs soulignent que l'omble y est abondant, notamment près des embouchures des rivières Palmer et Nachvak et que leur taux de croissance est intermédiaire, entre celui des populations du sud du Labrador et celles de l'île Baffin. Le tableau 484 donne le nombre d'unités d'élevage et de frai enregistrées par Murphy et Porter (1974b) dans les secteurs accessibles et inaccessibles de la rivière Palmer.

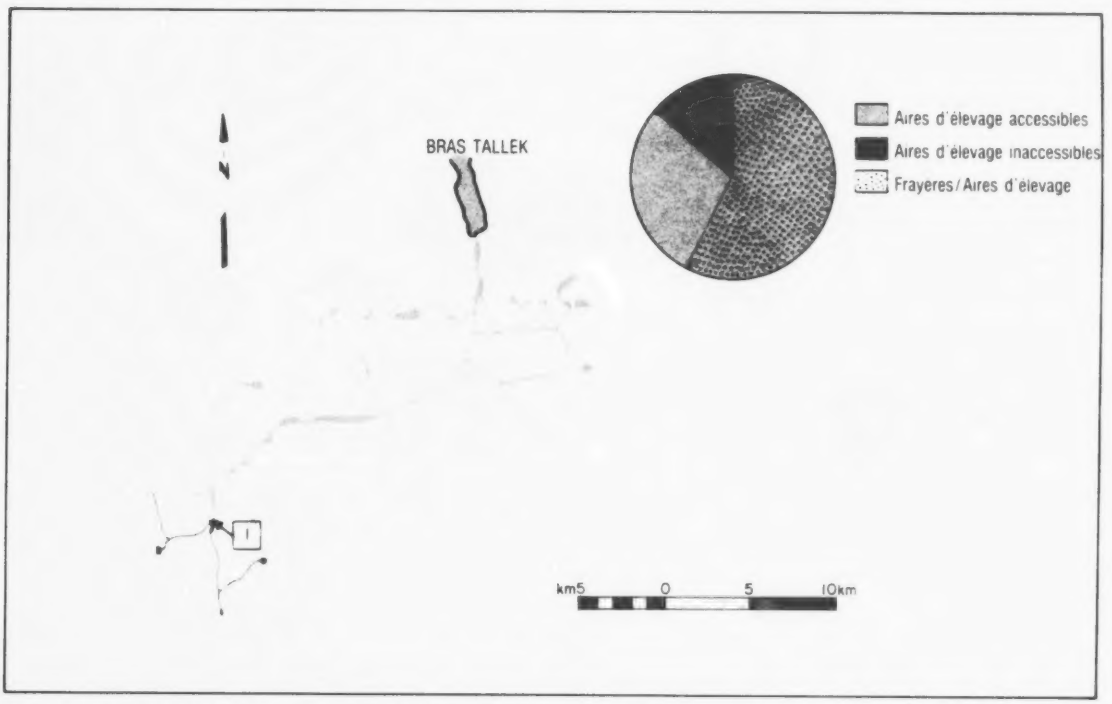

FIG. 140. Carte de la rivière Palmer montrant les aires d'élevage accessibles et inaccessibles au tacon du saumon de l'Atlantique.

TABLEAU 482. Caractéristiques physiques de la rivière Palmer.

Référence cartographique:	Hebron 14L Rivière George 24-I 1:250 000	Élévation maximale du bassin versant:	915 m
Latitude de l'embouchure:	58°55′N	Longueur réelle de l'axe principal (en suivant les méandres):	32 km
Longitude de l'embouchure:	63°53′W	Longueur totale, y compris des tributaires:	110 km
Direction générale de l'écoulement:	Nord-est	Nombre de tributaires:	16
Superficie du bassin versant:	311 km^2	Formation géologique:	Gneiss
Largeur moyenne	11 km		
Longueur de l'axe	27 km		
Périmètre du bassin versant	90 km		

TABLEAU 483. Obstacles de la rivière Palmer (Murphy et Porter 1974b).

Renvoi à la figure 140	Emplacement	Distance de l'embouchure (km)	Type	Description			Obstacle au passage du poisson
				Hauteur (m)	Largeur (m)	Pente (°)	
1	Axe principal	25,8	Chutes et rapides	—	—	—	Infranchissable

TABLEAU 484. Résumé des données sur les unités d'élevage et de frai des secteurs accessibles et inaccessibles de la rivière Palmer (Murphy et Porter 1974b).

	Secteurs accessibles		Secteurs inaccessibles	
Emplacement	Unités de frai	Unités d'élevage	Unités de frai	Unités d'élevage
Axe principal	4791	7173	1152	1152
Total	4791	7173	1152	1152

Rivière Nachvak *N° 116, fig. 127*

La rivière Nachvak coule vers l'est, de la frontière Québec–Labrador en passant par les monts Torngat, pour se jeter dans le bras Tasiuyak du fjord Nachvak (fig. 141). Son bassin versant est de 680 km^2. Le plus grand lac du réseau, le lac Nachvak (L1), est situé à l'embouchure de la rivière et a une superficie de 700 ha (tableau 485). En amont du lac Nachvak jusqu'au kilomètre 16, le fond se compose surtout de gravier; le lit du reste de l'axe principal se compose de moellons et de blocs. Au kilomètre 20,9, une chute verticale de 6,1 m empêche toute migration du poisson; cinq autres chutes infranchissables se retrouvent en amont de cet obstacle (tableau 486). En raison du terrain montagneux qui caractérise le bassin versant, tous les tributaires ont des cascades abruptes près de leur point de confluence avec l'axe principal. Le tableau 487 présente les résultats des analyses des échantillons prélevés dans ce cours d'eau en 1973 et 1978 (Jamieson 1979).

L'Association inuit du Labrador (1977) signale la présence de l'omble arctique dans le lac Nachvak (L1), et un filet qui y a été tendu dans la nuit du 31 juillet 1978 a permis de capturer 20 individus de cette espèce (Bruce *et al.* 1979). Le tableau 488 présente un résumé des données sur la longueur, le poids, le sexe et l'âge de ces poissons. Glova et McCart, dans leurs études sur les populations d'ombles du fjord Nachvak (1978), soulignent que ces poissons se rassemblent près de l'embouchure de la rivière. Les auteurs signalent également qu'ils gagnent cette rivière à la fin d'août. Les échantillons révèlent que leur taux de croissance est à mi-chemin entre celui des populations d'ombles du sud du Labrador et celui des ombles de l'île Baffin. Le tableau 489 donne le nombre d'unités d'élevage et de frai accessibles et inaccessibles de la rivière Nachvak (Murphy et Porter 1974b).

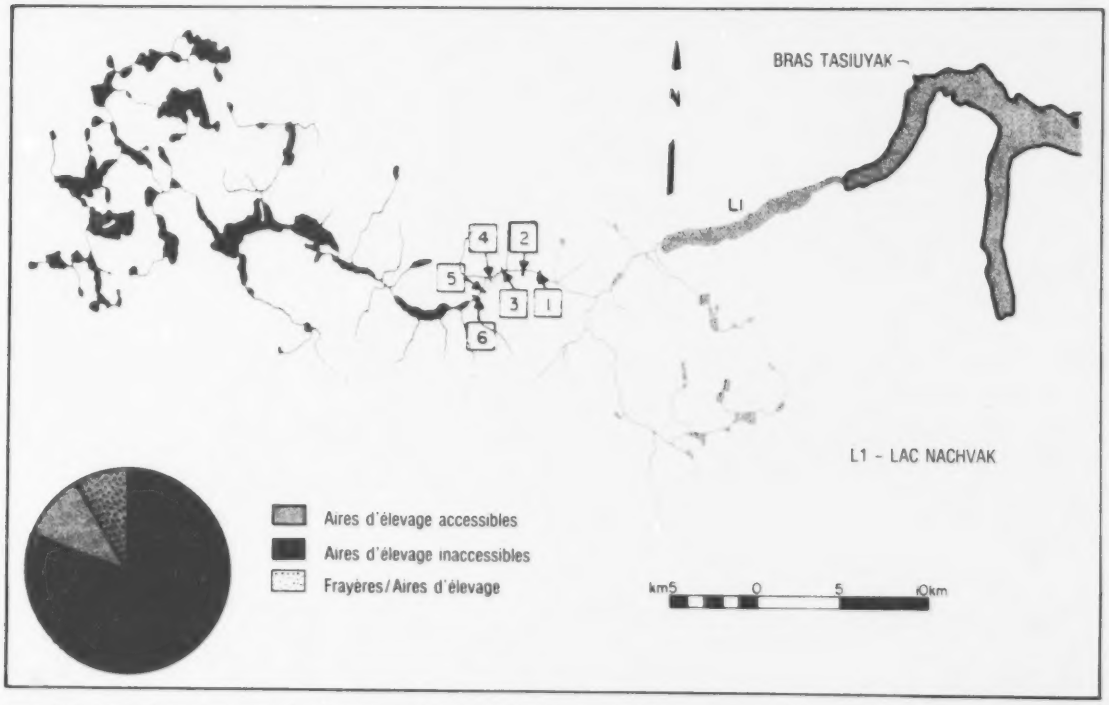

FIG. 141. Carte de la rivière Nachvak montrant les aires d'élevage accessibles et inaccessibles au tacon du saumon de l'Atlantique.

TABLEAU 485. Caractéristiques physiques de la rivière Nachvak.

Référence cartographique:	Rivière George 24-I Pointe Le Droit 24P,O 1:250 000	Élévation maximale du bassin versant:	915 m
Latitude de l'embouchure:	59°01′N	Longueur réelle de l'axe principal (en suivant les méandres):	64 km
Longitude de l'embouchure:	64°03′W	Longueur totale, y compris des tributaires:	238 km
Direction générale de l'écoulement:	Est	Nombre de tributaires:	38
Superficie du bassin versant:	680 km²	Superficie des lacs de plus de 100 ha:	
Largeur moyenne	14 km	L1 Lac Nachvak	700 ha
Longueur de l'axe	49 km		
Périmètre du bassin versant	158 km	Formation géologique:	Gneiss

TABLEAU 486. Obstacles de la rivière Nachvak (Murphy et Porter 1974b).

Renvoi à la figure 141	Emplacement	Distance de l'embouchure (km)	Type	Description			Obstacle au passage du poisson
				Hauteur (m)	Largeur (m)	Pente (°)	
1	Axe principal	20,9	Chutes	6,1	6,1	90	Infranchissable
2	Axe principal	21,7	Chutes	7,6	6,1	90	Infranchissable
3	Axe principal	22,5	Chutes	9,2	6,1	50	Infranchissable
4	Axe principal	23,4	Chutes	9,2	6,1	90	Infranchissable
5	Axe principal	24,2	Chutes	9,2	6,1	90	Infranchissable
6	Axe principal	25,0	Chutes	9,2	6,1	90	Infranchissable

TABLEAU 487. Résultats des analyses de deux échantillons d'eau prélevés dans la rivière Nachvak, 1973 et 1978 (Jamieson 1979).

Année	pH	Dureté totale (ppm)	Conductivité spécifique ($\mu S \cdot cm^{-1}$ à 25°C)	Turbidité (UTJ)	Alcalinité totale (ppm)	Calcium (ppm)	Chlorure (ppm)	Bicarbonate (ppm)
1973	4,8	1,0	16,0	1,4	<1,0	1,0	0,6	—
1978	6,8	8,0	20,0	0,4	6,0	0,5	1,5	7,3

TABLEAU 488. Résumé des données sur le sexe, la longueur à la fourche, le poids entier, l'âge et la teneur en mercure de l'omble arctique capturé dans le lac Nachvak, 31 juillet 1978 (Bruce *et al.* 1979).

Espèce	Sexe	*N*	Longueur moyenne à la fourche (cm)	Poids entier moyen (kg)	Âge moyen (années)	Teneur moyenne en mercure (ppm)	Plage des teneurs en mercure (ppm)
Omble arctique	M	4	50,3	1,37	10,5	0,01	—
	F	16	49,9	1,40	10,9	0,01	—
Total		20	50,0	1,40	10,8	0,01	—

TABLEAU 489. Résumé des données sur les unités d'élevage et de frai des secteurs accessibles et inaccessibles de la rivière Nachvak (Murphy et Porter 1974b).

	Secteurs accessibles		Secteurs inaccessibles	
Emplacement	Unités de frai	Unités d'élevage	Unités de frai	Unités d'élevage
Axe principal	1 978	4 480	0	18 885
Total	1 978	4 480	0	18 885

Ruisseau Kogarsok

N° 117, fig. 127

Le ruisseau Kogarsok coule vers le sud pour se jeter du côté nord du fjord Nachvak (fig. 142). Son bassin versant est de 86 km^2 ; la longueur totale de l'axe principal et des tributaires est de 68 km (tableau 490). Nous ne disposons d'aucun renseignement sur les populations de poissons de ce cours d'eau.

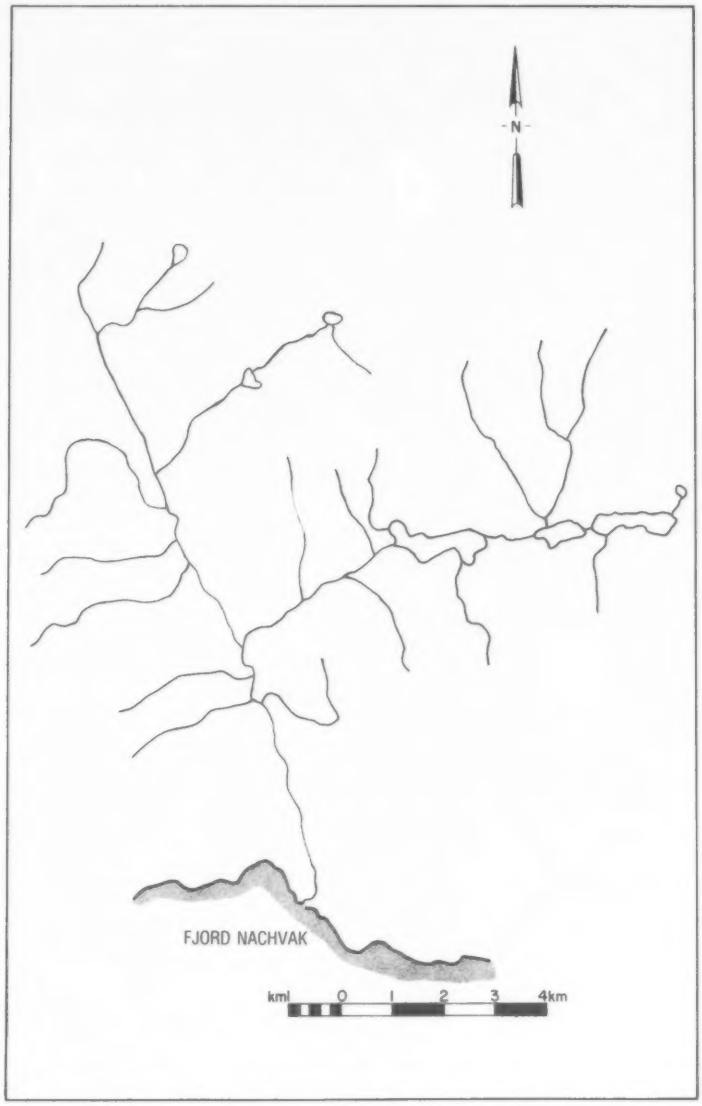

FIG. 142. Carte du ruisseau Kogarsok (n'ayant pas fait l'objet d'un relevé).

TABLEAU 490. Caractéristiques physiques du ruisseau Kogarsok.

Référence cartographique:	Cap White Hankerchief 14M Pointe Le Droit 24P,O 1:250 000	Élévation maximale du bassin versant:	610 m
Latitude de l'embouchure:	59°05′N	Longueur réelle de l'axe principal (en suivant les méandres):	13 km
Longitude de l'embouchure:	63°54′W	Longueur totale, y compris des tributaires:	68 km
Direction générale de l'écoulement:	Sud	Nombre de tributaires:	9
Superficie du bassin versant:	86 km^2	Formation géologique:	Gneiss
Largeur moyenne	10 km		
Longueur de l'axe	14 km		
Périmètre du bassin versant	44 km		

Rivière Komaktorvik *N° 118, fig. 127*

La rivière Komaktorvik coule vers le nord-est, de la frontière Québec–Labrador jusqu'à son embouchure dans le fjord Komaktorvik, une quarantaine de kilomètres plus loin (fig. 143). Son bassin versant est de 699 km^2 et la longueur totale de l'axe principal et des tributaires est de 261 km (tableau 491). Le tableau 492 présente les résultats des analyses d'un échantillon d'eau qui y a été prélevé en 1978 (Jamieson 1979). Le principal tributaire du réseau, le tributaire 9 (T9), est alimenté par le lac Chasm (L2), d'une superficie de 360 ha. Le lac Komaktorvik (L1) est situé dans l'axe principal et a une superficie de 1 000 ha. En 1978, six ombles arctiques ont été capturés au filet dans ce lac (Bruce *et al.* 1979). Le tableau 493 présente un résumé des données sur la longueur, le poids, le sexe et l'âge de ces poissons. L'Association inuit du Labrador (1977) indique que l'omble arctique remonte jusqu'aux lacs Chasm et Komaktorvik

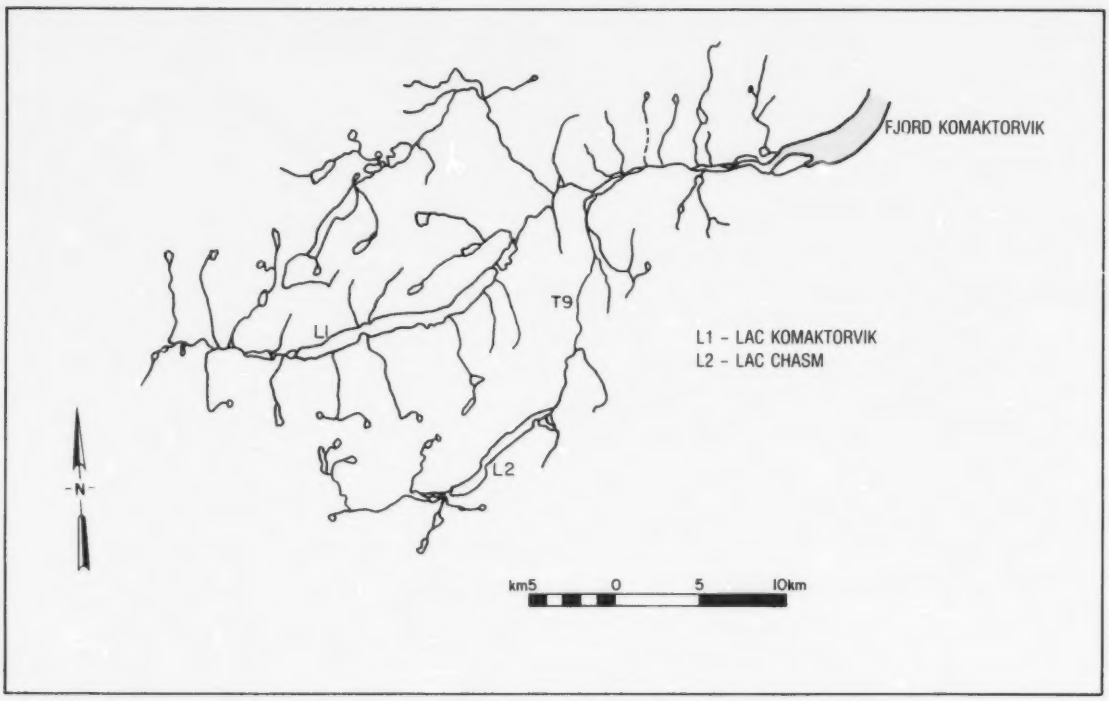

FIG. 143. Carte de la rivière Komaktorvik (n'ayant pas fait l'objet d'un relevé).

TABLEAU 491. Caractéristiques physiques de la rivière Komaktorvik.

Référence cartographique:	Cap White Hankerchief 14M Pointe Le Droit 24P,O 1:250 000	Élévation maximale du bassin versant:	915 m
Latitude de l'embouchure:	59°15′N	Longueur réelle de l'axe principal (en suivant les méandres):	47 km
Longitude de l'embouchure:	63°50′W	Longueur totale, y compris des tributaires:	261 km
Direction générale de l'écoulement:	Nord-est	Nombre de tributaires:	25
Superficie du bassin versant:	699 km^2	Superficie des lacs de plus de 100 ha:	
Largeur moyenne	17 km	L1 Lac Komaktorvik	1000 ha
Longueur de l'axe	42 km	L2 Lac Chasm	360 ha
Périmètre du bassin versant	199 km	Formation géologique:	Gneiss

TABLEAU 492. Résultats des analyses d'un échantillon d'eau prélevé dans la rivière Komaktorvik, 1978 (Jamieson 1979).

Année	pH	Dureté totale (ppm)	Conductivité spécifique ($\mu S \cdot cm^{-1}$ à 25°C)	Turbidité (UTJ)	Alcalinité totale (ppm)	Calcium (ppm)	Chlorure (ppm)	Bicarbonate (ppm)
1978	6,6	8,0	15,0	0,4	3,0	0,5	1,0	3,7

TABLEAU 493. Résumé des données sur le sexe, la longueur à la fourche, le poids entier, l'âge et la teneur en mercure de l'omble arctique capturé dans la rivière Komaktorvik, 31 juillet 1978 (Bruce *et al.* 1979).

Espèce	Sexe	*N*	Longueur moyenne à la fourche (cm)	Poids entier moyen (kg)	Âge moyen (années)	Teneur moyenne en mercure (ppm)	Plage des teneurs en mercure (ppm)
Omble arctique	M	4	44,6	0,78	13,3	0,07	0,06–0,10
	F	2	45,4	0,69	17,0	0,16	0,08–0,25
Total		6	44,9	0,75	14,5	0,11	0,06–0,25

Rivière Kangalaksiorvik *N° 119, fig. 127*

La rivière Kangalaksiorvik coule vers l'est, de la frontière Québec–Labrador jusqu'à son embouchure dans le fjord Kangalaksiorvik, qui débouche dans la baie Seven Islands (fig. 144). Son bassin versant est de 654 km^2 et la longueur totale de l'axe principal et des tributaires est de 193 km (tableau 494). Le tableau 495 présente les résultats des analyses d'un échantillon d'eau prélevé en 1978 (Jamieson 1979). L'Association inuit du Labrador (1977) révèle que l'omble arctique migre dans le lac Upper Kangalaksiorvik (L2), lac long et étroit du cours médian, d'une superficie de 960 ha. En 1950, huit ombles arctiques dont la longueur variait de 18 à 96 mm ont été capturés à main nue à la sortie du premier lac (L1) par les membres de l'expédition du *Blue Dolphin* au Labrador (Backus 1957).

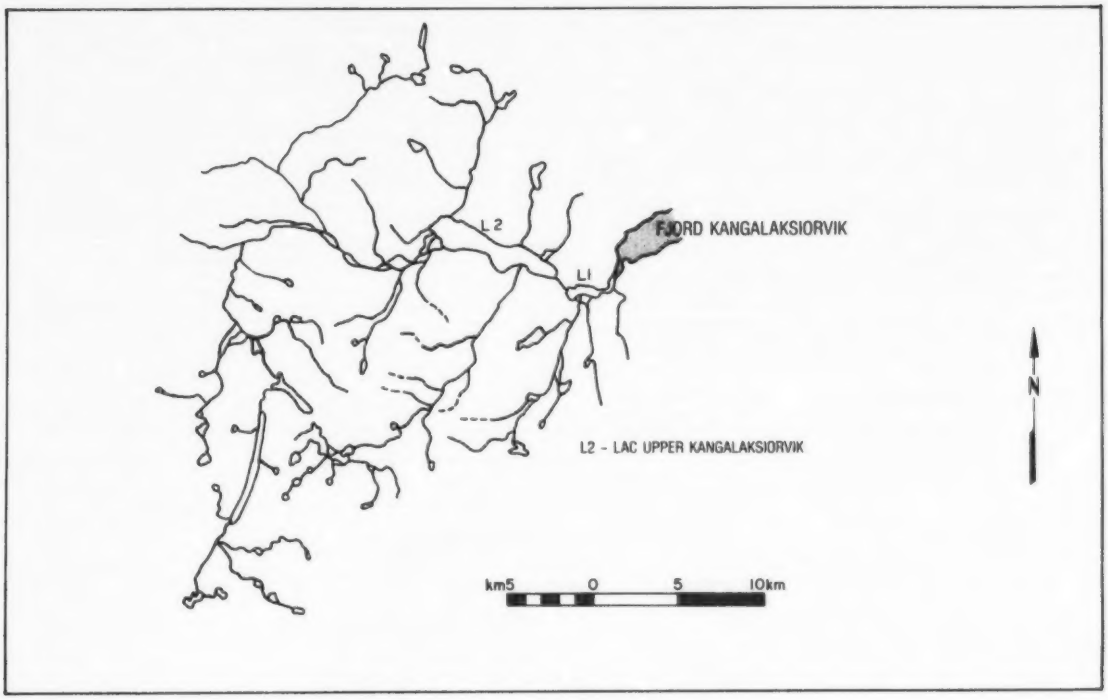

FIG. 144. Carte de la rivière Kangalaksiorvik (n'ayant pas fait l'objet d'un relevé).

TABLEAU 494. Caractéristiques physiques de la rivière Kangalaksiorvik.

Référence cartographique:	Pointe Le Droit 24P,O 1:250 000	Élévation maximale du bassin versant:	763 m
Latitude de l'embouchure:	59°23'N	Longueur réelle de l'axe principal (en suivant les méandres):	48 km
Longitude de l'embouchure:	63°03'W	Longueur totale, y compris des tributaires:	193 km
Direction générale de l'écoulement:	Est	Nombre de tributaires:	26
Superficie du bassin versant:	654 km^2	Superficie des lacs de plus de 100 ha:	
Largeur moyenne	19 km	L2 Lac Upper Kangalaksiorvik	960 ha
Longueur de l'axe	34 km		
Périmètre du bassin versant	119 km	Formation géologique:	Gneiss

TABLEAU 495. Résultats des analyses d'un échantillon d'eau prélevé dans la rivière Kangalaksiorvik, 1978 (Jamieson 1979).

Année	pH	Dureté totale (ppm)	Conductivité spécifique ($\mu S \cdot cm^{-1}$ à 25°C)	Turbidité (UTJ)	Alcalinité totale (ppm)	Calcium (ppm)	Chlorure (ppm)	Bicarbonate (ppm)
1978	6,6	6,0	19,0	0,3	4,0	1,0	2,0	4,9

La rivière Eclipse coule vers le nord-est, à partir de la frontière Québec–Labrador et au travers des monts Torngat jusqu'à son embouchure dans le détroit Eclipse (fig. 145). Son bassin versant est de 1 098 km^2 (tableau 496). Les parties d'aval de l'axe principal coulent rapidement sur des substrats de blocs et sur l'assise rocheuse; dans le reste de l'axe principal, le courant est moyen à fort et le substrat est fait de gravier, de moellons et de blocs. Une chute de 5,4 m bloque la montaison du poisson au kilomètre 1,6; d'autres obstacles infranchissables sont situés aux kilomètres 30,6 et 32,2 de l'axe principal (tableau 497). Trois tributaires importants (T15, T18 et T20) ont été étudiés par Murphy et Porter (1974b) pendant leur relevé en hélicoptère de 1973. Le tableau 498 présente les résultats des analyses des échantillons d'eau qui y ont été prélevés en 1973 et 1978 (Jamieson 1979).

Pendant leur relevé, Murphy et Porter (1974b) ont observé plusieurs grands poissons (d'une cinquantaine de centimètres de longueur) mais n'ont pas été capables de les identifier avec certitude. Ils signalent également que leurs efforts de pêche à la ligne dans cette rivière ont été infructueux. Le tableau 499 présente une liste des unités d'élevage et de frai accessibles et inaccessibles relevées par Murphy et Porter.

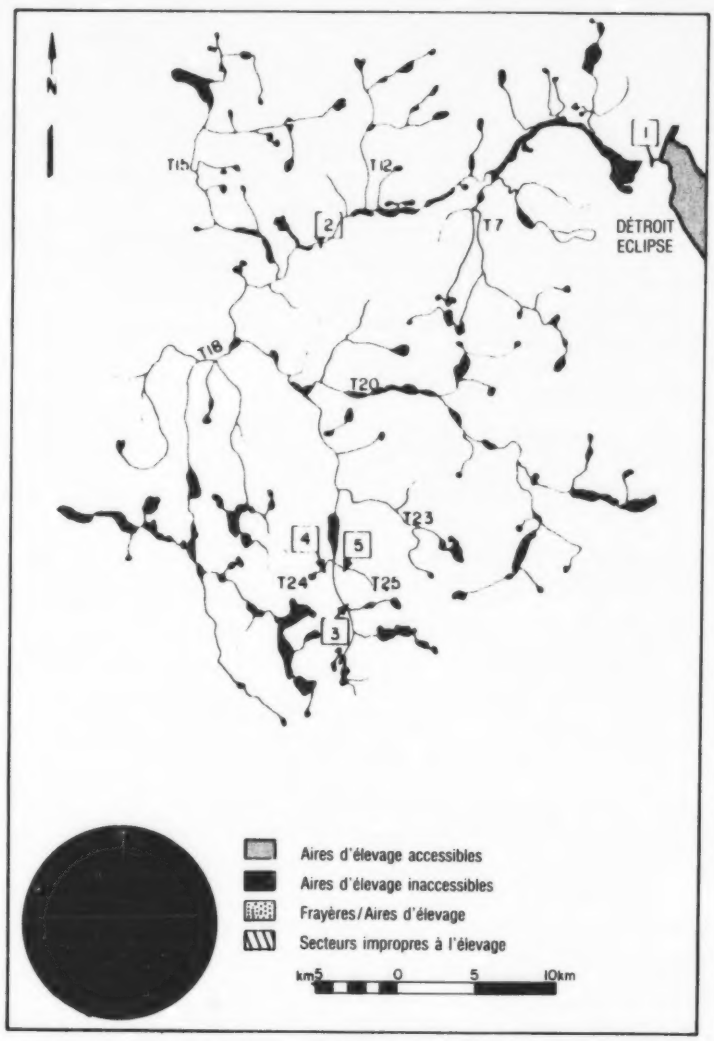

FIG. 145. Carte de la rivière Eclipse montrant les aires d'élevage accessibles et inaccessibles au tacon du saumon de l'Atlantique.

TABLEAU 496. Caractéristiques physiques de la rivière Éclipse.

Référence cartographique:	Pointe Le Droit 24P,O 1:250 000	Élévation maximale du bassin versant:	762 m
Latitude de l'embouchure:	59°47′N	Longueur réelle de l'axe principal (en suivant les méandres):	64 km
Longitude de l'embouchure:	64°17′W	Longueur totale, y compris des tributaires:	378 km
Direction générale de l'écoulement:	Nord-est	Nombre de tributaires:	29
Superficie du bassin versant:	1098 km^2	Formation géologique:	Gneiss
Largeur moyenne	26 km		
Longueur de l'axe	45 km		
Périmètre du bassin versant	179 km		

TABLEAU 497. Obstacles de la rivière Éclipse (Murphy et Porter 1974b).

Renvoi à la figure 145	Emplacement	Distance de l'embouchure (km)	Type	Description			Obstacle au passage du poisson
				Hauteur (m)	Largeur (m)	Pente (°)	
1	Axe principal	1,6	Chutes	5,4	4,6	80	Infranchissable
2	Axe principal	30,6	Chutes (2)	5,4	30,5	90	Infranchissable
3	Axe principal	32,2	Chutes	2,8	4,6	80	Infranchissable
4	T24	0,5	Chutes	—	—	—	Infranchissable
5	T25	0,5	Chutes	—	—	—	Infranchissable

TABLEAU 498. Résultats des analyses de deux échantillons d'eau prélevés dans la rivière Éclipse, 1973 et 1978 (Jamieson 1979).

	pH	Dureté totale (ppm)	Conductivité spécifique ($\mu S \cdot cm^{-1}$ à 25°C)	Turbidité (UTJ)	Alcalinité totale (ppm)	Calcium (ppm)	Chlorure (ppm)	Bicarbonate (ppm)
Moyenne	6,4	4,0	15,8	0,7	3,0	1,0	1,7	3,7

TABLEAU 499. Résumé des données sur les unités d'élevage et de frai des secteurs accessibles et inaccessibles de la rivière Éclipse (Murphy et Porter 1974b).

	Secteurs accessibles		Secteurs inaccessibles	
Emplacement	Unités de frai	Unités d'élevage	Unités de frai	Unités d'élevage
Axe principal	0	512	10 586	25 201
T15	0	0	0	1 129
T18	0	0	0	2 734
T20	0	0	0	8 027
Total	0	512	10 586	37 091

REMERCIEMENTS

Nous désirons remercier E.M.P. Chadwick et T. R. Porter de leur encouragement, leur patience et leurs critiques constructives sans lesquels cette publication n'aurait pu voir le jour. L'ensemble du personnel du Programme sur les poissons anadromes et dulçaquicoles de St. John's a participé à la révision de la présente publication et nous les en remercions. J. B. Dempson et W. J. Bruce ont notamment fourni des renseignements précieux dans leurs domaines de compétence respectifs.

Natalie Sutterlin a revu un premier jet de ce document et a formulé beaucoup de suggestions utiles et de critiques constructives.

M. T. Curran, agent régional à la retraite du MPO, Goose Bay, a revu le manuscrit et formulé de précieux commentaires.

Eric Greening a élaboré les figures préliminaires et Herb Mullett les a préparées pour la publication finale.

Nous désirons remercier sincèrement tous ceux qui ont participé à la transcription du manuscrit, notamment Marg Bursey, Karen Harding, Terry Hutchings, Janice Lannon, Marie Locke, Karen Scott et Patsy Doyle.

GLOSSAIRE

Âge: nombre de cercles concentriques ou annuli sur les écailles des poissons. Dans la présente publication, le nombre d'années passées en eau douce et en mer par les poissons anadromes est présenté comme suit: 3:1,S,1+, par exemple. Le permier chiffre indique le nombre d'années (3) passées en eau douce; tous les autres chiffres suivant les deux points indiquent une année complète en mer. La lettre « S » signale une année où le poisson est retourné en eau douce pour frayer; le symbole « + » indique que le poisson a passé une partie de l'année en mer.

Aire d'élevage: tronçons de cours d'eau présentant des habitats propices au développement du tacon. Dans le présent ouvrage, les aires d'élevage propices sont des tronçons de cours d'eau dont le lit renferme des blocs, des moellons ou du gravier ou un mélange de ceux-ci.

Barrière de comptage du poisson: barrière artificielle utilisée pour capturer le poisson. Elles sont faites généralement de lattes de bois ou de barreaux et sont fixées au lit du cours d'eau ou à des plates-formes de béton (Anderson et McDonald 1978).

Échelle à poissons: structure qui permet aux poissons migrateurs de franchir les obstacles des cours d'eau. Ces échelles artificielles sont habituellement construites en béton et permettent au poisson de gagner des secteurs situés en amont où se trouvent de nombreuses aires d'élevage. Les barrières ou obstacles formés de gradins et d'étangs sont des échelles à poissons naturelles.

Électro-pêche: méthode d'échantillonnage qui consiste à capturer le poisson en faisant passer un courant électrique entre deux électrodes. Le dispositif d'électro-pêche produit des impulsions de courant alternatif qui entraînent une chute de tension le long de l'axe du poisson. Ce dernier se dirige vers l'anode et est recueilli dans une épuisette. Cette méthode sert à prélever des échantillons et à évaluer la taille d'une population de poissons.

Frayère: tronçons d'un cours d'eau jugés propices au frai du saumon de l'Atlantique. Une frayère idéale se compose d'un substrat graveleux sans limon, à gravier de 2 à 8 cm de diamètre (Porter 1975).

Grand saumon: saumon de l'Atlantique qui a passé deux hivers ou plus en mer avant de retourner frayer en eau douce pour la première fois. Il pèse habituellement plus de 2,7 kg. On l'appelle également saumon dibermarin s'il a passé deux hivers en mer et saumon tribermarin s'il en a passé trois.

Jour de pêche à la ligne: toute journée, complète ou non, pendant laquelle une personne pêche à la ligne. Dans la présente publication, l'effort de pêche sportive est mesuré en jours de pêche à la ligne.

Madeleineau: saumon de l'Atlantique qui retourne dans un cours d'eau pour frayer après avoir passé un hiver en mer. Il pèse habituellement moins de 2,7 kg. On l'appelle également grilse ou castillon.

Nid de gravier: nid creusé dans le gravier par les salmonidés (Scott et Crossman 1974).

Obstacle franchissable: tout obstacle naturel ou artificiel qui peut retarder la montaison du saumon. Ces retards peuvent être causés par des variations du niveau ou de la température de l'eau.

Obstacle infranchissable: tout obstacle qui empêche le saumon de l'Atlantique de remonter davantage un cours d'eau, que ce soit des chutes, des rapides, des courants extrêmement rapides, des barrages ou la pollution.

Omble de fontaine anadrome: omble de fontaine qui vit en mer et remonte en eau douce pour frayer. On l'appelle également truite de mer.

Omble de fontaine dulçaquicole: nom donné à l'omble de fontaine confinée en eau douce. On l'appelle également truite mouchetée, truite de ruisseau, truite saumonée.

Ouananiche: saumon de l'Atlantique qui n'est pas anadrome; on l'appelle également saumon landlocké ou saumon d'eau douce.

Pêche des poissons indigènes: pêche commerciale pratiquée près de l'embouchure de la rivière natale. Cette zone est établie dans chaque cours d'eau en fonction de facteurs géographiques et des modes de pêche.

Production de saumons adultes: nombre approximatif de smolts qui survivent en mer pour atteindre l'âge adulte avant d'être exploités par la pêche commerciale ou sportive. Les résultats de recherches effectuées dans la rivière Sandhill montrent un taux de survie des smolts de 15 %.

Rivière désignée: rivière dont le nom figure dans l'annexe A du Règlement de pêche de Terre-Neuve. Les saisons de pêche, les limites de prise et les types d'engins utilisés sont réglementés dans ces rivières.

Rivière natale: rivière où est né un poisson anadrome.

Saumon: nom servant à désigner l'ensemble des grands saumons et des madeleineaux appartenant au genre et à l'espèce *Salmo salar*.

Secteur accessible : tronçons de cours d'eau où le saumon de l'Atlantique anadrome peut pénétrer. À certaines périodes, l'accès peut y être limité par des obstacles franchissables.

Secteur inaccessible : tronçons d'un cours d'eau où ne peut pénétrer le saumon de l'Atlantique qui le remonte, à cause de la présence d'obstacles naturels ou artificiels.

Secteur non productif : tronçons de cours d'eau jugés impropres à l'élevage des jeunes saumons de l'Atlantique. Ces secteurs se caractérisent souvent par la présence de roc ou de sédiments vaseux et la vitesse de leur courant peut être très élevée ou très faible.

Smolt : jeune saumon complètement revêtu d'une livrée argentée et qui se dirige vers la mer (Allan et Ritter 1977). Au Labrador, les smolts sont âgés de 3 à 7 ans et leur production est évaluée en moyenne à 2 smolts par unité d'élevage.

Survie en mer : pourcentage des smolts qui survivent en mer et qui deviennent adultes avant d'être exploités à des fins commerciales ou récréatives. Dans la présente publication, le taux de survie en mer est de 15 %.

Tacon : stade juvénile du cycle évolutif du saumon de l'Atlantique à partir du moment où il quitte le fond de gravier où il est né jusqu'à ce qu'il commence à descendre vers la mer à l'état de smolt (Allan et Ritter 1977). Il se caractérise par des rayures verticales noires le long du corps et une queue fourchue.

Unité d'élevage : aire d'élevage du tacon du saumon de l'Atlantique mesurant 100 m^2 (voir **aire d'élevage**). Dans la présente publication, la production moyenne par unité est de 2 smolts.

Unité de frai : partie de frayère de 100 m^2.

RÉFÉRENCES

ALLAN, H.R.I. ET J. A. RITTER, 1977. Salmonid terminology. J. Cons. Int. Explor. Mer 37(3): 293–299.

ANDERSON, T. C. ET B. P. MCDONALD. 1978. A portable weir for counting migrating fishes in rivers. Fish. Mar. Serv. Tech. Rep. 733:iv + 13 p.

ANDREWS. C. W. ET E. LEAR. 1956. The biology of Arctic ch... (*Salvelinus alpinus* L.) in northern Labrador. J. Fish Res. Board Can. 13: 843–860.

BACKUS. R. H. 1957. The fishes of Labrador. Bull. Am. Mus. Nat. Hist. 113(4): 337 p.

BLAIR, A. A. 1943. Salmon investigations. 1. Obstructions in Newfoundland and Labrador Rivers. Dep. Nat. Resour., St. John's, Newfoundland. Res. Bull. 12: 5–16.

BRINCO LTD. 1975. Uranium from Labrador: European economic community uranium mission to Canada. 16 p.

BRUCE, W. J. 1974. The limnology and fish populations of Jacopie Lake, West Forebay, Smallwood Reservoir, Labrador. Fish. Mar. Serv. Res. Dev. Branch Nfld. Reg. Tech. Rep. Ser. No. NEW/T-74-2: vii + 74 p.

1975. Experimental gillnet fishing at Lobstick and Sandgirt Lakes, Smallwood Reservoir, western Labrador, 1974. Fish. Mar. Serv. Res. Dev. Branch Nfld. Reg. Intern. Rep. Ser. No. NEW/I-75-4: iv +35 p.

1979. Age and growth of brook trout (*Salvelinus fontinalis*) in the Churchill River watershed, Labrador. Fish. Mar. Serv. Tech. Rep. 907: iv + 18 p.

BRUCE, W. J., C. J. MORRY, L. W. ROWE ET R. J. WISEMAN. 1975. An overview of fisheries problems associated with the proposed lower Churchill Hydroelectric Development, Gull Island, Labrador. Res. Dev. Branch Nlfd. Reg. Intern. Rep. Ser. No. NEW/I-75-2: 54 p.

BRUCE, W. J. ET R. F. PARSONS. 1976. Age, growth and maturity of lake chub (*Couesius plumbeus*) in Mile 66 Brook, Ten Mile Lake, western Labrador. Fish. Mar. Serv. Tech. Rep. 683: v + 13 p.

1979. Biology of the fishes of Ossokmanuan Reservoir, Labrador, 1976. Fish. Mar. Serv. Tech. Rep. 836: iv + 33 p.

BRUCE, W. J. ET K. D. SPENCER. 1979. Mercury levels in Labrador fish, 1977–78. Can. Ind. Rep. Fish. Aquat. Sci. 111: iv + 12 p.

BRUCE, W. J., K. D. SPENCER ET E. ARSENAULT. 1979. Mercury content data for Labrador fishes, 1977–78. Fish. Mar. Serv. Data Rep. 142: iv + 263 p.

CHADWICH, M., R. PORTER ET D. REDDIN. 1978. Atlantic salmon management program, Newfoundland and Labrador, 1978. Atl. Salmon J. 1: 9–15.

COADY, L. 1974. The Arctic char fishery of northern Labrador. Res. Dev. Branch Nfld. Reg. Prog. Rep. 104: 31 p.

COADY, L. W. ET C. W. BEST. 1976. Biological and management investigations of the Arctic char fishery at Nain, Labrador. Fish. Mar. Serv. Tech. Rep. 624: 103 p.

COLLINS, H., G. FASSETT, T. FERRY ET S. STESCO. 1972a. The Goose River, Labrador, Newfoundland. A wild rivers survey. Natl. Parks Serv. Descr. Rep: 4 p.

1972b. The Naskaupi River, Labrador, Newfoundland. A wild rivers survey. Natl. Parks Serv. Descr. Rep: 6 p.

1972c. The Kanairiktok River, Labrador, Newfoundland. A wild rivers survey. Natl. Parks Serv. Descr. Rep: 6 p.

1972d. The Ugjoktok River, Labrador, Newfoundland. A wild rivers survey. Natl. Parks Serv. Descr. Rep: 11 p.

DEMPSON, J. B. 1978. Biological assessment of Arctic char (*Salvelinus alpinus* L.) stocks and summary of the Atlantic salmon (*Salmo salar* L.) fishery in northern Labrador. Fish. Mar. Serv. Tech. Rep. 817: v + 54 p.

DEMPSON, J. B. ET C. BEST. 1978. Evaluations of the 1976 Arctic char fishery in northern Labrador. Fish. Mar. Serv. Tech. Rep. 760: iv + 45 p.

DEMPSON, J. B., L. LEDREW ET T. NICHOLLS, 1979. Review of biological information on Arctic char (*Salvelinus alpinus*) in Labrador and present status of the commercial fishery, p. 60–74. Symposium on Research in the Labrador Coastal and Offshore Region. Université Memorial de Terre-Neuve, St John's (Terre-Neuve).

DUTHIE, H. C. ET M. L. OSTROFSKY. 1974. Plankton, chemistry and physics of lakes in the Churchill Falls region of Labrador. J. Fish. Res. Board Can. 31: 1105–1117.

1975. Environmental impact of the Churchill Falls (Labrador) hydroelectric projets: a preliminary assessment. J. Fish. Res. Board Can. 32: 117–125.

FLICK, W. A. 1977. Some observations, age, growth, food habits and vulnerability of large brook trout (*Salvelinus fontinalis*) from four Canadian lakes. Nat. Can. 104: 353–359.

FORBES, A. F. 1938. Northernmost Labrador — mapped from the air. Am. Geogr. Soc. Spec. Publ. No. 22.

GLOVA, G. J. ET P. J. MCCART. 1978. Studies of Arctic char populations in Nachvak Fiord, Labrador. A report prepared for ESSO Resources Canada Ltd; Aquitaine Co. of Canada Ltd. and Canada-Cities Ser. Ltd. Aquatic Environments Ltd., Calgary (Alberta). 116 p.

GRENFELL, W. T. 1909. Labrador, the country, the people. Macmillan, New York (NY). xii + 497 p.

HARE, G. M. ET H. P. MURPHY. 1974. First record of the American shad (*Alosa sapidissima*) from Labrador waters. J. Fish. Res. Board Can. 31: 1536–1537.

HATFIELD, C. T. 1968. Effects of DDT larviciding on aquatic fauna of Bobby's Brook, Labrador. Res. Dev. Branch Nfld. Reg. Prog. Rep. 47: iii + 44 p.

HOLMES, R.F. 1888. A journey into the interior of Labrador, July to October, 1887. Proc. R. Geogr. Soc. 184–205.

HUBBARD, M. 1908. A woman's way through unknown Labrador. John Murray Ltd., Londres. 338 p.

JAMIESON, A. 1979. A water quality atlas for streams and lakes of Labrador. Fish. Mar. Serv. Data Rep. 148: iv + 53 p.

JENSEN, K. W. ET M. BERG. 1977. Growth, mortality and migrations of the anadromous char (*Salvelinus alpinus*, L.) in the Vardnes River, Troms, Northern Norway. Inst. Freshwater Res. Drottningholm Rep. 56: 70–80.

KENDALL, W. C. 1909. The fishes of Labrador. Proc. Portland Soc. Nat. Hist. 2: 207–243.

1910. Report on the fishes collected by Mr. Owen Bryant on a trip to Labrador in the summer of 1908. Proc. U.S. Natl. Mus. 38: 503–510.

LABRADOR INUIT ASSOCIATION. 1977. Our footprints are everywhere. Inuit land use and occupancy in Labrador. Dollco Printing Ltd., Ottawa (Ontario). 381 p.

LEAR, W. H. 1975. Evaluation of the transplant of Pacific pink salmon (*Oncorhynchus gorbuscha*) from British Columbia to Newfoundland. J. Fish. Res. Board Can. 32: 2343–2356.

LEDREW, B. R. 1972. Standing crop estimates and stream survey of the upper Naskaupi River, 1971. Fish. Ser. Res. Dev. Branch Nfld. Reg. Prog. Rep. 85: vi + 88 p.

LEJEUNE, R. 1967. L'omble chevalier anadrome du Kagnersoualoudjouark. Qué. Serv. Faune Bull. 10: 1–45

LOPOUKHINE, N., N. A. PROUT ET H. E. HIRVONEN. 1978. Ecological land classification of Labrador; a reconnaissance Lands Directorate (Atl. Reg.) Environmental Management Serv. Fish. and Environ. Can. Halifax, N.S., Ecological Land Class. Ser. No. 4: viii + 85 p.

LOW, A. P. 1896. Report on the explorations in the Labrador peninsula along the East Main, Koksoak, Hamilton, Minicuagon and portions of other rivers in 1892–93–94–95. Annu. Rep. Geol. Surv. Can. 1895, New. Ser. No. 8, Rep. L: 1–387.

MILLAN, S. M. 1974. Energy in Newfoundland. Geosci. Can. 1(2): 35–40.

MOORE, J. W. 1975. Distribution, movements and mortality of anadromous Arctic char (*Salvelinus alpinus* L.) in the Cumberland Sound area of Baffin Island. J. Fish Biol. 7(3): 339–348.

MOORES, R. B. ET E. G. DAWE, 1980. Atlantic salmon commercial catch data, Newfoundland and Labrador, 1979. Can. Data Rep. Fish. Aquat. Sci. 221: iv + 95 p.

MOORES, R. B., R. W. PENNY ET R. J. TUCKER. 1978. Atlantic salmon angled catch and effort data, Newfoundland and Labrador, 1953–77. Fish. Mar. Serv. Data Rep. 84: xviii + 274 p.

MOORES, R. B. ET R. J. TUCKER. 1979. Atlantic salmon angled catch and effort data, Newfoundland and Labrador, 1978. Fish. Mar. Serv. Data Rep. 147: xv + 105 p.

1980. Atlantic salmon angled catch and effort data, Newfoundland and Labrador, 1979. Can. Data Rep. Fish. Aquat. Sci. 212: xiv + 86 p.

1981. Angled catch and effort data in the Atlantic salmon recreational fishery. Newfoundland and Labrador, 1980. Can. Data Rep. Fish. Aquat. Sci. 263: xiv + 85 p.

MUNROE, E. G. 1949. Notes on fish of the interior of the Labrador peninsula. Arctic 2(3): 165–173.

MURPHY, H. P. 1971. A helicopter reconnaissance survey of Eagle, Paradise and White Bear Rivers, Sandwich Bay, Labrador, August 1970. Fish. Serv. Res. Dev. Branch Nfld. Reg. Prog. Rep. 83: v + 53 p.

1972a. A helicopter reconnaissance survey of 21 Labrador rivers, August–September, 1971. Fish. Serv. Res. Dev. Branch Nfld. Prog. Rep. 95: xi + 164 p.

1972b. A report of biological operations, Sand Hill River, Labrador, 1969, 1970 and 1971. Fish. Serv. Res. Dev. Branch Nfld. Reg. Prog. Rep. 89: iii + 245 p.

1973. A helicopter reconnaissance survey of 17 Labrador rivers, August 1972. Fish. Serv. Res. Dev. Branch Nfld. Reg. Prog. Rep. 101: xi + 177 p.

1974. Biological operations, Sand Hill River, Labrador 1972 and 1973. Fish. Mar. Serv. Res. Dev. Branch Nfld. Reg. Intern. Rep. Ser. No. NEW/1-74-6: iii + 61 p.

MURPHY, H.P. ET T. R. PORTER. 1974a. Stream surveys of 31 rivers of Labrador. Vol. 1: English River to Fraser River. Fish. Mar. Serv. Res. Dev. Branch Nfld. Reg. Intern. Rep. Ser. No. NEW/1-74-8: vii + 141 p.

1974b. Stream surveys of 31 rivers in Labrador. Vol. II: Kamanatsuk River to Eclipse River. Fish. Mar. Serv. Res. Dev. Branch Nfld. Reg. Intern. Rep. Ser. No. NEW/1-74-8: vii + 143 p.

NIELSEN, J. 1961. Preliminary results of tagging experiments with char (*Salvelinus alpinus* L.) in Greenland. Contributions to the biology of the Salmonidae in Greenland. Medd. Grønl. 159(8): 24–48.

NORTHERN LABRADOR SERVICES DIVISION. Rapports annuels, gouvernement de Terre-Neuve et du Labrador. 1952–1974.

O'REILLY, F. 1959. A preliminary report on the Exploits River. Dep. Fish. Can. Fish. Cult. Dev. Branch Nfld. Prog. Rep. 4: i + 100 p.

OSTROFSKY, M. L. 1978. Trophic changes in reservoirs: an hypothesis using phosphorous budget models. Int. Rev. Gesamten Hydrobiol. 63: 481–499.

OSTROFSKY, M. L. ET H. C. DUTHIE. 1975. Primary productivity, phytoplankton and limiting nutrient factors in Labrador lakes. Int. Rev. Gesamten Hydrobiol. 60: 145–158.

PARSONS, J. 1970. Labrador land of the north. Vantage Press Inc., New York (NY). 364 p.

PARSONS, R. F. 1975. The limnology and fish biology of Ten Mile Lake, Labrador. Fish. Mar. Serv. Tech. Rep. Ser. No. NEW/T-75-3: vi + 75 p.

PEET, R. F. 1968. A report on a reconnaissance survey and counting fence operation conducted in southeast Labrador during 1966. Dep. Fish. Can. Res. Dev. Branch Nfld. Reg. Prog. Rep. 48: x + 154 p.

1971. A report on the counting trap and reconnaissance surveys conducted in central coastal Labrador during 1967. Fish. Serv. Res. Dev. Branch Nfld. Reg. Prog. Rep. 68: xiv + 286 p.

PEET, R. F. ET J. D. PRATT. 1972. Distant and local exploitation of a Labrador Atlantic salmon population by commercial fisheries. ICES/ICNAF Res. Doc. 72/82: 65–71.

PEPPER, V. A. 1976. Lacustrine nursery areas for Atlantic salmon in insular Newfoundland. Fish. Mar. Serv. Tech. Rep. 671: xiii + 61 p.

PORTER, T. R. 1975. Biology of the Atlantic salmon in Newfoundland and Labrador. Fish. Mar. Serv. Res. Dev. Branch Nfld. Reg. Inf. Rep. Ser. No. NEW/N-75-2: 11 p.

PRATT, J. D., G. M. HARE ET H. P. MURPHY. 1974. Investigations of production and harvest of an Atlantic salmon population, Sandhill River, Labrador. Fish. Mar. Serv. Res. Dev. Branch Nfld. Reg. Tech. Rep. Ser. No. NEW/T-74-1: iii + 27 p.

PRICHARD, H. H. 1911. Through trackless Labrador. William Heinemann, Londres. 254 p.

RICHE, L. G. 1965. A preliminary biological survey of the Naskaupi, Kenamu and Lower Churchill Rivers. Dep. Fish. Can. Fish. Cult. Dev. Branch Nfld. Prog. Rep. 30: vi + 82 p.

1972. An outline of methods used in stream surveys and estimation of salmon production with a suggested value for Atlantic salmon sports fish in Newfoundland. Fish.

Serv. Res. Dev. Branch Nfld. Reg. Prog. Rep. 81: iii + 23 p.

RICKER, W. E. 1958. Handbook of computations for biological statistics of fish populations. Bull. Fish. Res. Board Can. 119: xviii + 300 p.

RYAN, P. M. 1980. Fishes of the Lower Churchill River. Labrador. Fish. Mar. Serv. Tech. Rep. 922: vii + 189 p.

SCOTT, J. M. 1933. The land that God gave Cain. Chatto and Windus. Londres. 282 p.

SCOTT, W. B. ET E. J. CROSSMAN. 1974. (Réimprimé en 1985). Poissons d'eau douce du Canada. Bull. Off. Recher. Pêch. Can. 184: 1026 p.

SMITH, P. 1975. Brinco. The story of Churchill Falls. McClelland and Stewart Ltd., Toronto (Ontario). 392 p.

SOLLOWS, G. C., J. A. DALZIEL, J. E. CHEESEMAN, G. H. HUXTER ET H. V. E. SMITH. 1953. Salmon investigations — 1953. Preliminary survey of the rivers and commercial fishery of southern Labrador. Part I. Dep. Fish. Can. Fish. Cult. Dev. Branch Nfld. Reg. Prog. Rep. 1:53 p.

SOLLOWS, G. C., J. A. DALZIEL, G. SMITH ET N. STEELE. 1954. Salmon investigations — 1954. Preliminary survey of the rivers and commercial fishery of northern Labrador. Part 2. Dep. Fish. Can. Fish. Cult. Dev. Branch Nfld. Reg. Prog. Rep. 2: 22 p.

STATISTIQUE CANADA. 1981. Recensement du Canada. Répartition géographique de la population. Divisions et subdivisions de recensement. Provinces de l'Atlantique.

STEARNS, W. A. 1883. Notes on the natural history of Labrador. Proc. U. S. Natl. Mus. 6: 111–137.

SUTTON, J. S. 1972. Notes on the geology of Labrador. Mem. Univ. Nfld. Geol. Rep. 5: 12 p.

WALLACE, D. 1905. The lure of the Labrador wild. Breakwater Books. St. John's, Nfld. Reprint of 1905. Rédaction: F. Revell. New York (NY). 285 p.

1907. The long Labrador trail. The Outing Publishing Co. New York (NY). 315 p.

WEED, A. C. 1934. Notes on the sea trouts of Labrador. Copeia 1934: 127–133.

WHEELER, J. P. 1977. Aspects of the biology of the brook trout (*Salvelinus fontinalis*) (Mitchell 1815) in the Valley River, Labrador. Fish. Mar. Serv. MS Rep. 1425: iv + 19 p.

1980. Age determination and biological studies of northern pike, *Esox Lucius* Linneaus, 1758, from Lobstick area, Smallwood Reservoir, Labrador. Mémoire de maitrise. Université Memorial de Terre-Neuve, St. John's (Terre-Neuve). 87 p:.

WILTON, W. C. 1965. The forests of Labrador. Can. Dep. For. Publ. No. 1066: 72 p.